OʻZBEKISTON RESPUBLIKASI FANLAR AKADEMIYASI АКАДЕМИЯ НАУК РЕСПУБЛИКИ УЗБЕКИСТАН

MEXANIKA MUAMMOLARI

OʻZBEKISTON JURNALI

 $\frac{1-2}{2020}$

УЗБЕКСКИЙ ЖУРНАЛ

ПРОБЛЕМЫ МЕХАНИКИ

Журнал под таким названием издается с января 1992 г.

РЕДАКЦИОННАЯ КОЛЛЕГИЯ

Главный редактор - акад. АН РУз Т.Р. РАШИДОВ Зам. главного редактора – докт. техн. наук, проф. Г.Х. ХОЖМЕТОВ Отв. секретарь - PhD H.A. НИШОНОВ

Члены редколлегии: докт. техн. наук, проф. А. АБДУСАТТАРОВ, докт. физ.-мат. наук Р.А. АБИРОВ, докт. техн. наук, проф. Р.И. БАЙМЕТОВ, докт. техн. наук, проф. Г.А. БАХАДИРОВ, докт. физ.-мат. наук, проф. А.Б. БЕГМАТОВ, докт. техн. наук А.Д. ДАМИНОВ, докт. техн. наук, проф. А. ДЖУРАЕВ, докт. физ.-мат. наук, проф. Н.А. КОРШУНОВА, докт. техн. наук, проф. Ш. МАМАТКУЛОВ, докт. физ.-мат. наук, проф. Б.М. МАРДОНОВ, докт. техн. наук, проф. Э.Ж. МАХМУДОВ, докт. техн. наук, проф. А.А. РИЗАЕВ, докт. техн. наук, проф. З. СИРОЖИДДИНОВ, докт. физ.-мат. наук, проф. Б.Х. ХУЖАЁРОВ, докт. техн. наук, проф. А.А. ШЕРМУХАМЕДОВ, докт. техн. наук, проф. Ы.С. ЮЛДАШЕВ, канд. техн. наук X.С. САГДИЕВ

В работе редколлегии принимают участие:

докт. техн. наук, проф. А. АБДУЖАББАРОВ, докт. техн. наук, проф. Е.А. ИСАХАНОВ

Адрес редакции: 100125, Ташкент, Академгородок, Дурмон йули, 33. Институт механики и сейсмостойкости сооружений АН РУз

> Телефон: + 99871 262-78-34 Факс: +99871 262-71-52 E-mail: <u>tur.rashidov@.list.ru</u>

Редактор: Н.А. Нишонов

Технический редактор: Е.В. Ан

Журнал зарегистрирован Агентством по печати и информации Республики Узбекистан 22.12.2006 г. Регистрационный номер 0050.

Сдано в набор 28.05.2020. Подписано в печать 02.07.2020. Формат $60\times84^{-1}/_8$. Гарнитура Times New Roman. Ризография. Усл.-печ. л. 15.34. Уч.-изд. л. 10.23. Тираж 100. Заказ № 631. Цена договорная.

Отпечатано в Минитипографии АН РУз: 100047, г. Ташкент, ул. акад. Я. Гулямова, 70.

Т.Р. РАШИДОВ, Б. МАРДОНОВ, Н.Б. ДЖУРАЕВА

О ПРОДОЛЬНОМ КОЛЕБАНИИ РАБОЧИХ ОРГАНОВ ПОЧВООБРАБАТЫВАЮЩЕЙ МАШИНЫ ПРИ ВЗАИМОДЕЙСТВИИ С ПОЧВЕННОЙ СРЕДОЙ (ГРУНТОМ)

Одной из основных задач при исследовании напряженно-деформированного состояния почвообрабатывающих машин является расчет нагруженности элементов его конструкции [1–2], в частности, рабочего органа глубокорыхлителя, представленного в виде балки, один конец которой закреплен с затупленным телом (рыхлительной лапкой). Вообще, при проектировании конструкций оценка их прочности производится на основании расчетов, которые сводятся в основном к определению напряжений, возникающих в отдельных элементах и частях конструкций под действием различных нагрузок, и к проверке условий прочности, гарантирующих безопасность эксплуатации [3–5]. При этом условия прочности записываются обычно в виде некоторого уравнения и выражают связь между прочностными характеристиками материала и вычисляемыми при расчете напряжениями.

Отправными моментами численно-аналитического метода является возможность линеаризации граничных условий для ранних времен взаимодействия и класса затупленных тел, а также ограниченность области среды, занятой возмущенным движением [6]. Последнее обстоятельство позволяет строить решения волновых уравнений в виде рядов Фурье на интервале, содержащем возмущенную область. В результате удовлетворения смешанным граничным условиям, разрешающая система (для грунта) имеет вид бесконечной системы дифференциальных уравнений второго рода, которая при движении тела дополняется дифференциальным уравнением его движения.

Представим основной рабочий орган почвообрабатывающей машины глубокорыхлителя в виде вертикального стержня (стойки), сопряженного нижним концом с рыхлительной лапой массы m. Рассматривая рабочий орган в сечении, принимаем, что стойка и рыхлительная лапа совершают продольные колебания под действием осевых сил N.

При жестком сопряжении стойки с лапкой составляется система уравнений, описывающая движение центра масс «система—стойка—лапка», где сопротивление почвенной среды определяется из решения соответствующей краевой задачи для деформируемой среды, взаимодействующей с лапкой глубокорыхлителя. При этом основной становится задача определения сопротивления окружающей среды, которая зависит от выбора модели грунтовой среды. Если учитывать деформацию стойки и податливость в местах сопряжения ее с лапкой, то следует рассматривать стойку и лапку наряду с окружающей средой как деформируемую систему.

Как правило, для повышения эффективности работы рыхлительной лапы в грунте на необходимой глубине обработки, стойка нагружается осевой силой $N(t)=N_0+N_1$, где N_0 – постоянная составляющая силы нажатия стойки, а $N_1(t)$ – дополнительная осевая сила, зависящая от времени и возникающая в процессе движения рыхлителя. Таким образом, из-за изменения величины давления на лапку стойка может совершать осевые (продольные) колебания. В связи с этим рассмотрим движение сечения стойки в осевом направлении, где нижнее сечение жестко или упруго сопряжено с массой лапки с помощью безынерционного элемента. Направим ось 0Z вдоль стойки сверху вниз и установим начало координат в начальном сечении стойки. Перемещение сечения стойки, перпендикулярного к оси стойки, обозначим через функцию u(z,t), которая удовлетворяет уравнению

$$S\rho \frac{\partial^2 u}{\partial t^2} - ES \frac{\partial^2 u}{\partial z^2} = 0, \qquad (1)$$

граничным условиям

$$ES\frac{\partial u}{\partial z} = -N_0 + N_1(t)$$
 при $z = 0$, (2)

$$m\frac{\partial^2 u}{\partial t^2} = -ES\frac{\partial u}{\partial z} - Q(u_0)$$
 при $z = l$, (3)

где S — площадь поперечного сечения стойки; ρ — плотность материала стойки; m — масса лапки. В случае упругого сопряжения $u_0(t)$ удовлетворяет уравнению

$$m\ddot{u}_0 = -Q(u_0) + c_0 \left[u(l,t) - u_0(t) \right], \tag{4}$$

где c_0 – коэффициент жесткости упругого элемента, $u_0(t)$ – вертикальное перемещение оси лапки (конуса).

В уравнении (4) через $Q(u_0)$ обозначена полная вертикальная сила, действующая на лапку со стороны грунтовой среды. Для определения этой силы сначала находим распределенные по поверхности соприкосновения лапки с грунтом вертикальные силы реакции грунта на лапку. Предположим, что при действии вертикальной силы самая нижняя точка A произвольного сечения лапки, представляющего собой круг радиусом $R = Htg\beta$, будет опущена ниже поверхности уплотненного грунта на некоторую глубину u_0 . Причем эта глубина одновременно является осадкой грунта под осью лапки (конуса). Осадка в некоторой другой точке B, лежащая на границе круга, с точностью до малых четвертого порядка будет равна

$$u = u_0 - \frac{\xi^2}{2R}$$
, $-\xi_1 \le \xi \le \xi_1$,

где ξ – расстояние до вертикальной плоскости, проходящей через ось конуса (рис. 1); $\xi_1 = \sqrt{2Ru_0}$. Поверхность соприкосновения рыхлительной лапы с конусом представляет часть конической поверхности, передний и задний край которой удалены от вертикальной плоскости, проходящей через ось лапки на расстояниях $\pm \xi_1$. Удельное давление p_1 вдоль образующих поверхности конуса, производимое вертикальными силами, будем считать зависящим от переменных ξ и H. При малых значениях осадки u_0 удельное давление определяем по формуле [7]

$$p_1 = Ku_0$$
,

где K — модуль жесткости грунта, зависящий от степени его уплотненности в зоне контакта лапки с грунтовой средой, и поэтому в общем случае является переменной функции H.

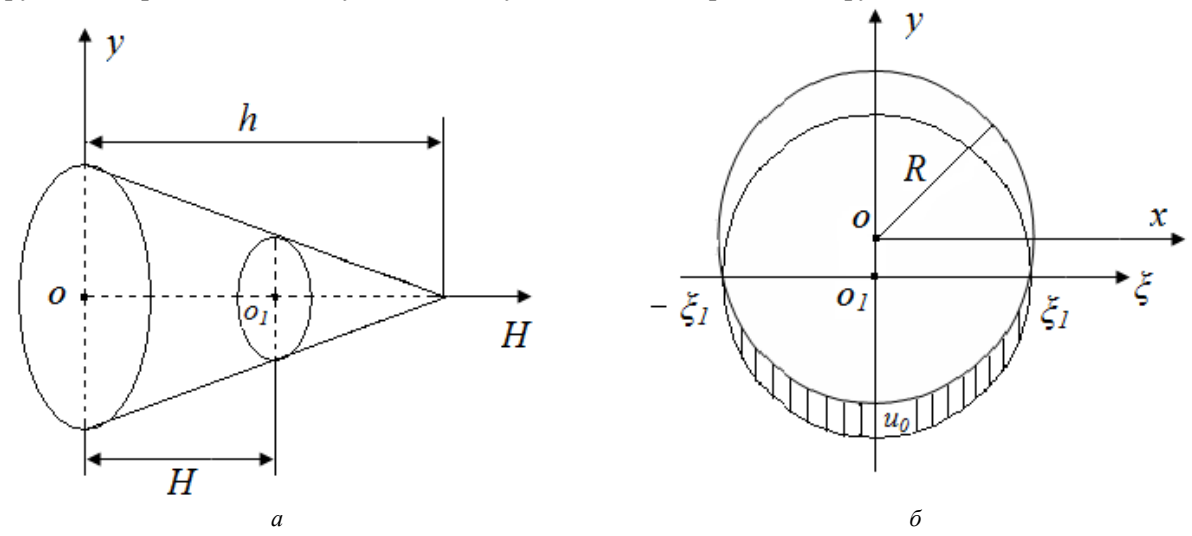


Рис. 1. Осевое (a) и продольное (δ) сечения лапки глубокорыхлителя в грунтовой среде

Вертикальная сила, действующая на лапку со стороны грунта, вычисляется с помощью интеграла

$$Q(u_0) = \int_{-\xi_1}^{\xi_1} d\xi \int_0^h p_1 dH = \frac{4}{3} u_0 \sqrt{u_0} \int_0^h \sqrt{2H \cdot tg\beta} \cdot K(H) dH.$$

Рассмотрим уравнение (1) и его решение представим в виде суммы

$$u = \frac{N_0}{ES}(l-z) + u_{CO} + u_1(z,t),$$

где $u_1(z,t)$ — удовлетворяет следующим граничным условиям:

$$ES\frac{\partial u_1}{\partial z} = N_1(t)$$
, при $z = 0$, (5)

$$m\frac{\partial^2 u_1}{\partial t^2} = -ES\frac{\partial u_1}{\partial x} + N_0 - Q_0(u_{co} + u_{10}), \quad \text{при } z = l,$$
 (6)

где u_{co} — осадка грунта под действием вертикальной силы N_0 , определяемая из уравнения

$$Q(u_{CO}) = N_0$$
. Далее разложим функцию $Q\left[u_{co}\left(1 + \frac{u_{10}}{u_{10}}\right)\right]$ в ряд Тейлора по степеням $\frac{u_{10}}{u_{co}}$, сохра-

нив первые два члена разложения:

$$Q\left[u_{CO}(1+\frac{u_{10}}{u_{CO}})\right] = Q(u_{CO}) + Q'(u_{CO})u_{10} + \dots = N_0 + B_0u_{10}, \ B_0 = Q'(u_{CO}).$$
 (7)

Условие (6) с учетом (7) принимает вид

$$mrac{\partial^2 u_1}{\partial t^2} = -ESrac{\partial u_1}{\partial z} - B_0 u_{10}$$
 при $z=l$.

Первая производная в точках z=0 и z=l терпит разрыв, и поэтому уравнение (1) для функции $u_1(z,t)$ с учетом разрыва первой производной в точках z=0 и z=l перепишем в виде [8]

$$S \cdot \rho \frac{\partial^{2} u_{1}}{\partial t^{2}} - ES \frac{\partial^{2} u_{1}}{\partial z^{2}} + c_{0} \cdot [u_{1}(l,t) - u_{00}] \cdot \delta(l-z) = N_{1}(t) \cdot \delta(z),$$

$$m \cdot \ddot{u}_{00} = -B_{0}u_{00} + c_{0}[u_{1}(l,t) - u_{00}(t)].$$

Далее полагаем

$$u(z,t) = \sum_{k=1}^{n} Z_k(z) \cdot T_k(t).$$

Здесь собственные функции $Z_k(z)$ удовлетворяют уравнению:

$$Z_k'' + \lambda_k^2 Z_k - \gamma_0 \cdot Z_k(l) \cdot \delta(l-z) = 0, \quad \gamma_0 = \frac{c_0}{ES}.$$

Решение уравнения (7) представим в виде

$$Z_{k} = \frac{\gamma_{0}Z_{k}(l) \cdot \cos \lambda_{k}l}{\lambda_{k}\sin \lambda_{k}l} \cdot \cos \lambda_{k}(l-z) + \frac{\gamma_{0}}{\lambda_{k}}Z_{k}(l) \cdot \sin[\lambda_{k}(l-z)] \cdot H(l-z).$$

Пусть z=l, тогда получим уравнение для определения собственных чисел λ_k :

$$\mu_k \cdot tg\mu_k - \gamma = 0,$$

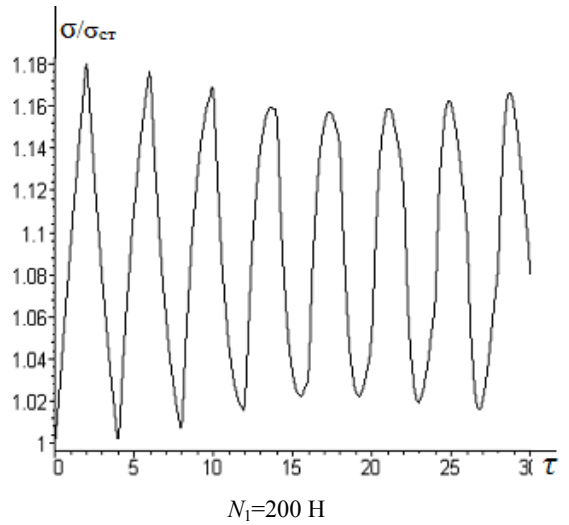
где
$$\mu_k = \lambda_k l$$
 , $\gamma = \frac{c_0 l}{ES}$.

Можно показать, что функции $Z_k(z)$ удовлетворяют следующему условию ортогональности:

$$\int\limits_{0}^{l}Z_{i}(z)Z_{k}(z)dz=0$$
, при $i
eq k$.

На рис. 2. представлены кривые изменения полного напряжения $\sigma = E\partial u/\partial x$ (отнесенного к статическому) от безразмерного времени $\tau = at/l$ для двух значений растягивающей нормальной силы N_1 . В расчетах принято $\lambda = 10^\circ$, $\beta_0 = 20^\circ$, $K_0 = 100$ кH/м³, $N_0 = 200$ H, $h_0 = 0.3$ м, l = 1 м, $S = 4 \cdot 10^{-4}$ м² (стойка с квадратным сечением длиной 0.02 м), $b_1 = 0.9$, $\mu = 0.5$.

Из анализа графиков рис.2 следует, что изменение динамического коэффициента $\sigma/\sigma_{\rm cr}$ по времени носит колебательный характер с сохранением знака. Колебания в начальных моментах происходят с высокими частотами, далее колебания имеют сравнительно высокие периоды, что связано с влиянием коэффициента жесткости упругого элемента на колебательный процесс рабочего органа, переменного в ходе движения лапки в почвенной среде из-за изменения ее сечения. При этом осевое напряжение в зависимости от величины динамической осевой силы N_1 может увеличиваться в 1.1-1.5 раза.



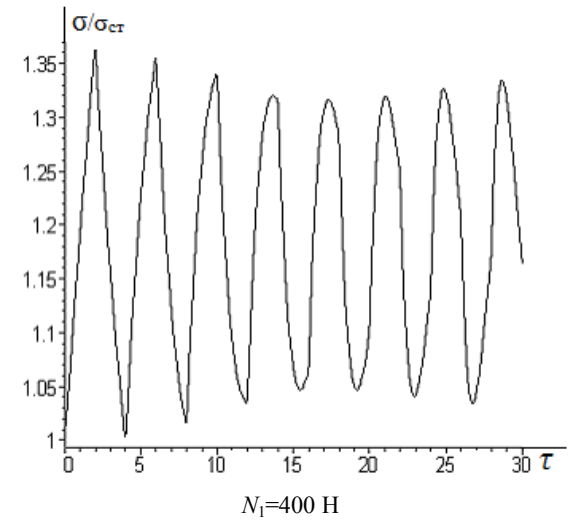


Рис. 2. Изменение полного напряжения в сечении $x=l(\mathbf{m})$ от времени $\tau=at/l$ для различных значений динамической осевой силы N_1

ЛИТЕРАТУРА

- [1] Da Costa Mattos H. S., Teixeira L. P. Martins-Costa M. L. Analysis of small temperature oscillation in a deformable solid matrix containing a spherical cavity filled with a compressible liquid Analytical solutions for damage initiation induced by pore pressure variation // Int. J. Eng. Sci. 2018. №129. P. 1–20.
- [2] Teodosio B., Baduge K.S. Mendis P. Simulating reactive soil and substructure interaction using a simplified hydro-mechanical finite element model dependent on soil saturation, suction and moisture-swelling relationship // Comput. Geotech. 2020. №119. P. 103359.
- [3] Гросс Е.Е., Кокорева А.А., Кулижский С.П.и др. Исследование прочности агрегатов почв при различных сельскохозяйственных нагрузках // Научный журнал «Вестник Томского государственного университета». Биология. 2013. № 368. С. 180–185.
- [4] Julius Diel, Hans-Jörg Vogel, Steffen Schlüter. Impact of wetting and drying cycles on soil structure dynamics // Geoderma. Vol. 345. 1 July. 2019. P. 63–71.
- [5] Павленко А.Л., Звягин А.В. О движении тонких тел в линейно-упругой среде // Газовая и волновая динамика. Вып. № 2. Изд-во МГУ. 1979. С. 57–67.
- [6] Бутенин Н.В. и др. Курс теоретической механики. Динамика. М.: Наука, 1985. 496 с.
- [8] Бабаков И. М. Теория колебаний. М.: Наука, 1965.

Институт механики и сейсмостойкости сооружений им. М.Т. Уразбаева АН РУз

Дата поступления 03.06.2020

Т.Р. Рашидов, Б. Мардонов, Н.Б. Джураева. Тупроқ (грунт) мухити билан ўзаро таъсирдаги тупроққа ишлов берувчи машина ишчи органларининг бўйлама тебраниши

Мақолада ўқий куч таъсиридаги ер юмшатгич тишининг бўйлама тебранишини сонли хисоблаш ўтказилган. Динамик юклама таъсирида ер юмшатгич тиши етарлича кичкина амплитудали гармоник тебранишга яқин тебранма харакат қилиши аниқланди. Бунда ўқий кучланиш динамик юкланишга боглиқ холда 1.1 – 1.5 марта ортиши мумкин.

T.R. Rashidov, B. Mardonov, N.B. Djuraeva. On the longitudinal vibration of the working bodies of the soil processing machine at interaction with the soil environment (soil)

The article provides a numerical calculation of the longitudinal oscillations of the cultivating paw under the action of axial force. It has been established that a ripping paw under the action of dynamic force oscillates close to harmonic with a sufficiently small amplitude. In this case, the axial stress, depending on the magnitude of the dynamic force, can increase 1.1-1.5 times.

А.А. АБДУРАХИМОВ

ВЛИЯНИЕ ПРОДОЛЬНОГО ПЕРЕМЕШИВАНИЯ НА НЕСТАЦИОНАРНЫЙ СДВИГ СТЕПЕНИ ПРЕВРАЩЕНИЯ РЕАГЕНТА В РЕАКТОРЕ

Математический анализ особенностей работы проточного химического реактора в нестационарном режиме, рассмотренный в работе [1], и анализ проведенного эксперимента [2] показали, что использование динамических режимов может привести к повышению эффективности работы химического реактора по сравнению с соответствующим стационарным режимом при одинаковых в среднем условиях. Нестационарный режим в реакторе может быть реализован вследствие вынужденных внешних воздействий параметров реактора (концентрации или входной температуры реагентов), а также может быть следствием неустойчивости состояния или случайных помех и возмущений. Основные особенности влияния в реакторе с однородным кипящим слоем на нестационарный сдвиг степени превращения реагентов рассмотрены в [3]. В данной статье решается задача о влиянии продольного перемешивания на степень превращения реагента в реакторе с неоднородным кипящим слоем.

Постановка задачи. Рассмотрим одномерную модель химического реактора с неоднородным кипящим слоем, где протекает необратимая одностадийная химическая реакция. Нестационарные уравнения переноса вещества в безразмерных переменных имеют следующий вид [4]:

$$\frac{\partial C_1}{\partial t} + U_1 \frac{\partial C_1}{\partial x} = \frac{1}{p_a} \frac{\partial^2 C_1}{\partial x^2} + f(C_1) - A(C_1 - C_2), \qquad (1)$$

$$\frac{\partial C_2}{\partial t} + U_2 \frac{\partial C_2}{\partial x} = A(C_1 - C_2). \tag{2}$$

Граничные условия для задачи можно записать в виде

при
$$x=0$$
 $-\frac{1}{p_e}\frac{\partial C_1}{\partial x} + C_1 = C_f(t), \qquad C_1(t) = C_2(t),$ (3)

при
$$x=1$$

$$\frac{\partial C_1}{\partial x} = 0.$$
 (4)

В качестве начального условия зададим распределение концентрации, соответствующее устойчивому стационарному решению задач (1) – (4), т.е.

при
$$t = 0$$
, $C_n(x,0) = C_{ns}(x)$, $C_{ns} = \frac{C_{ns}(x)}{C_0}$. (5)

Здесь
$$A = \frac{A \cdot L}{UC_0}; \quad C_n = \frac{C_{n^*}}{C_0}; \quad f(C_1) = \frac{F(C_1)L}{C_0U}; \quad P_e = \frac{LU}{D},$$

где C_{n^*} , C_0 — концентрация реагента в фазе n (n=1 соответствует плотной фазе, n=2 — разбавленной фазе) и на входе реактора; A —коэффициент массообмена между плотной и разбавленной фазами; $f(C_1)$ — концентрация реагирующего вещества на входе в реактор; L — длина реактора; U_n — скорость соответствующих фаз и потока U=(1— χ) U_1 + $U_2\chi$; χ — объемная доля разбавленной фазы; X — координата, отсчитываемая по длине реактора; D — эффективный коэффициент диффузии.

Цель анализа—сравнение средней по времени степени превращения реагента в случае периодического изменения концентрации реагирующего вещества на входе со степенью превращения реагента в стационарном режиме работы реактора, соответствующем среднему за период значению входной концентрации различных значений числа P_e в виде функции $f(C_1)$. Относительную эффективность периодического режима по сравнению со стационарным охарактеризуем величиной отклонения средней за период степени превращения в стационарном режиме. Это отклонение назовем далее нестационарным сдвигом.

Решение задачи. Общее решение (1) – (5) будем искать в виде разложения по степеням

при
$$t=0$$
, $C_n(x,t) = \sum_{m=0}^{\infty} \varepsilon^m C_{nm}(x,t)$, $(n=1,2)$, (6)

$$C_n(x,0) = \sum_{m=0}^{\infty} C_{nms}(x) . (7)$$

Таким образом, решение задач (1) – (7) с точностью до членов третьего порядка малости для квазистационарного распределения концентрации реагента смеси на выходе из реактора находим в виде

$$C(x,t) = U_1 C_1(1,t)(1-x) + U_2 C_2(L_1,t)x = C_f - \varepsilon f_1(C_f) E_0 + \varepsilon^2 f_1(C_f) f_1'(C_f) E(P) + f_1^2 (f_1 E_1 + f_1'' E_2 2^{-1}) + 0(e^4),$$
(8)

где $E_0 = E_{11}U_1(1-x) + U_2xE_{21}$; $E(P) = U_1(1-x)E_{12} + U_2xE_{22}$; $E_1 = U_1(1-x)E_{13} + U_2xE_{23}$; $E_2 = U_1(1-x)E_{13}^1 + E_{23}^1U_2x$;

$$E_{11} = (U_2 A^{-1} K_1 - 1) \lambda_{11} \exp(K_1) + (U_2 A^{-1} K_2 - 1) \lambda_{21} \exp(K_2) - \lambda + \frac{1 - U_2 Q^{-1}}{U_1 + U_2}.$$

Угловыми скобками обозначено усреднение по периоду изменения функции. В квазистационарном приближении для величины нестационарного сдвига смеси можно получить

$$\langle \Delta Z \rangle = \varepsilon G_0 E_0(P_e) + \varepsilon^2 G E(P_e) + \varepsilon^3 (G_1 E_1(P_e) + G_2 E(P_e)) + O(\varepsilon^4), \tag{9}$$

где
$$G_0 = \prec f_1(C_f) \succ -f_1(\prec C_f \succ);$$
 $G = \prec f_1(C_f)f_1' \succ -f_1(\prec C_f \succ)f^1(\prec C_f \succ);$, $G_1 = \prec f_1(C_f)(f_1'(C_f))^2 \succ -f_1(\prec C_f \succ)(f_1' \prec (C_f) \succ)^2;$ $G_2 = \prec f_1''(C_f)(f_1(C_f))^2_{12} \succ - \prec f_1''(\prec C_f \succ)^2_{21}(f_1(\prec C_f \succ))^2;$

Для оценки влияния продольной диффузии с учетом нестационарного сдвига необходимо рассмотреть (9) с точностью до членов более высокого порядка по ε . Пусть скорость реакции зависит от концентрации реагента по закону $f_1(C_f) = K_1C^{\frac{1}{2}+\delta}$, b = o(1'). Тогда, используя соотношения

(9), полагая, что
$$\delta = \varepsilon$$
 и учитывая $f_1'(1) = K_1 \left(\frac{1}{2} + \varepsilon b\right)$, $f_1''(1) = K_1 \left(\varepsilon^2 b^2 - \frac{1}{4}\right)$, $f_1'''(1) = K_1 \left(\varepsilon^3 b^3 - \frac{3\varepsilon^2 b^2}{4} - \frac{\varepsilon b}{4} + \frac{3}{8}\right)$, $f_1'''(1) = \left(\varepsilon^4 b^4 - 4\varepsilon^3 b^3 + \frac{7\varepsilon^2 b^2}{2} + \varepsilon b - \frac{15}{16}\right)$,

получаем

Здесь $W_1(P_e) = -\alpha E(P_e) - [E_1(P_e) - 1/2E_2(P_e)],$

$$W(P_e, f, x) = \beta E_0(P_e, A, x) - \alpha E(P_e) - \left(E_1(P_e, A, x) - \frac{E_2(P_e, A, \chi)}{2}\right),$$

где
$$\beta = \frac{5g_1^2}{16K_1^2} - \frac{64b^2}{3K_1^2}$$
; $\alpha = \frac{16b}{3K_1}$; $\gamma_1 = \frac{3g_1^2K_1^3}{64}$.

Как следует из равенства (10), для рассматриваемой кинетической зависимости имеем $<\Delta Z><0$, т.е. в нестационарном режиме степень превращения ниже, чем в стационарном. Характер кривой W(P) существенно зависит от величины, определяемой как порядком реакции, так и константой скорости. Исследование влияния продольного перемешивания на нестационарный сдвиг с учетом коэффициента массообмена и доли разбавленной фазы показало, что поведение функции $W(P_e)$, определяющей влияние перемешивания на нестационарный сдвиг, зависит не только от интенсивности перемешивания, но и от коэффициента массообмена и доли разбавленной фазы. Именно при определенных значениях коэффициента массообмена и доли разбавленной фазы наблюдается экстремум. Найден промежуток значений числа Пекле P_e , где с увеличением интенсивности массообмена между плотной и разбавленной фазами в реакторе наблюдается рост

нестационарного сдвига степени превращения, т.е. оптимальные условия процесса в реакторе с неоднородным псевдоожиженным слоем при достаточно высокой интенсивности массообмена между фазами достигаются в периодическом режиме.

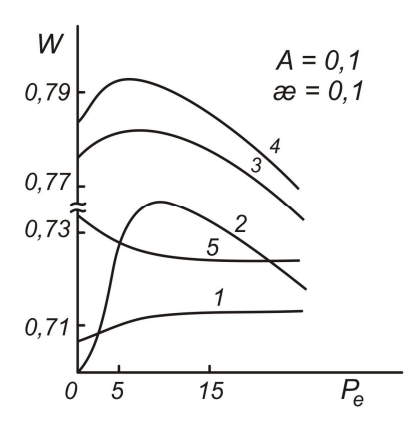


Рис. 1. Зависимость нестационарного сдвига от интенсивности продольного перемешивания для одностадийной реакции при значениях коэффициента массообмена A=0.1 и доли разбавленной фазы χ =0.01

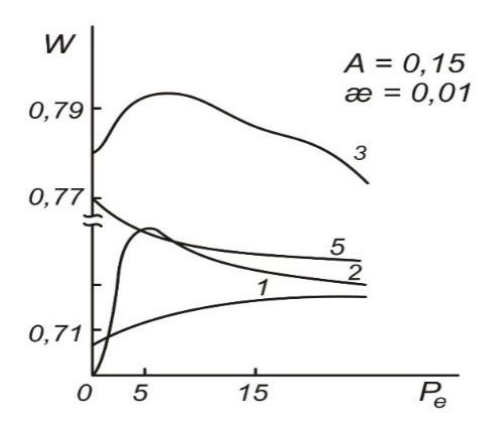


Рис.2. Зависимость нестационарного сдвига от нтенсивности продольного перемешивания для одностадийной реакции при значениях коэффициента массообмена A=0.15 и доли разбавленной фазы χ =0.01

Итак, нестационарный сдвиг сложным образом взаимодействует с продольным перемешиванием, что приводит к разнообразным ситуациям, рассмотренным ранее. Полученные результаты свидетельствуют о том, что наличие продольной диффузии в зависимости от порядка реакции константы скорости, коэффициента массообмена и доли разбавленной фазы оказывает существенное влияние на динамические характеристики проточного химического реактора. Зависимость нестационарного сдвига интенсивности продольного перемешивания для одностадийной реакции при значениях коэффициента массообмена *А* и доли разбавленной фазы χ представлены на рис. 1,2.

Это необходимо учитывать при выборе оптимального типа химического реактора с неоднородным псевдоожиженным слоем, работающего в нестационарном режиме.

ЛИТЕРАТУРА

- [1] Гупало Ю.П., Новиков В.А., Рязанцев Ю.С. Овлиянии продольной дисперсии на динамические характеристики проточного химического реактора // ПММ. Вып.З. 1980. Т.44. С. 120.
- [2] Гупало Ю.П., Новиков В.А., Рязанцев Ю.С. О проточной системе с химической реакцией дробного порядка при наличии аксиальной дисперсии //ПММ. Вып. 2. 1981. Т.45. С. 294.
- [3] Гупало Ю.П., Новиков В.А., Рязанцев Ю.С. Овлиянии продольного перемешивания реагента в проточной системе //Изв. АН СССР. МЖГ. 1981. № 2. С. 84
- [4] Абдурахимов А. Работы реактора в псевдоожиженном слое // Актуальные проблемы прикладной математики и информационных технологий-Аль Хоразми, 2012. С. 167.

Ташкентский архитектурно-строительный институт

Дата поступления 12.02.2020

А.А. Абдурахимов. Реакторда реагентнинг харакати даражасига бўйлама кўчишнинг стацонар бўлмаган силжишнинг таъсири

Мақолада реакторнинг бир хил бўлмаган сулолтирилган химиявий реагентли қатламлар харакатида, бошлангич чегарада квазистацонар даврли концентрация реагенти билан берилган стацонар бўлмаган силжишнинг динамик характеристикаларининг самарадорлиги таққосланган.

A.A. Abdurahimov. The effect of longitudinal mixing on the unsteady shift of the degree of conversion of the reactant in the reactor

In the article the dependence of the unsteady, shear (relative efficiency of batch operation compared with stationary) from the dynamic characteristics of flow chemical reactor with non-uniform fluidized bed in the presence of quasi-stationary periodic perturbations of the concentration of the reagent at the inlet of the reactor.

А. АБДУСАТТАРОВ, Ф.Э. АБДУКАДИРОВ, Н.Х. САБИРОВ

ИССЛЕДОВАНИЕ НДС И СОБСТВЕННЫХ КОЛЕБАНИЙ ОБОЛОЧЕЧНЫХ КОНСТРУКЦИЙ С УЧЕТОМ НЕУПРУГИХ СВОЙСТВ МАТЕРИАЛОВ

Расчетная схема большинства конструкций, используемых в отраслях транспортного строительства, машиностроения и энергетики, сводится к осесимметричным конструкциям из оболочек вращения и круговых шпангоутов. При составлении расчетной схемы оболочечная конструкция мысленно расчленяется на узловые, оболочечные и соединительные элементы.

При выполнении расчета несущих элементов конструкций за пределом упругости при переменных нагружениях используется, главным образом, теория малых упругопластических деформаций, сформулированная А.А. Ильюшиным – В.В. Москвитиным [1, 2]. Ими предложен эффективный метод решения краевых задач – метод упругих решений. В работе [3] приводится сравнение различных методов решения задач деформационной теории пластичности. Отмечаются преимущества одних методов перед другими и формулируются достаточные условия сходимости различных процессов последовательных приближений. В работе [4] изложены фундаментальные основы механики процессов пластического деформировании сплошных сред и конструктивных материалов при сложном нагружении, а также результаты экспериментальных исследований. Работа [5] посвящена построению определяющих соотношений на основе экспериментального исследования, определены области физической достоверности теории пластичности применительно к процессам сложного нагружения и разгрузки с учетом вторичных пластических деформаций.

Работа [6] посвящена разработке методов расчета, оценки НДС и прочности оболочечных конструкций при малоцикловом нагружении. Приведены способы описания диаграмм циклического деформирования для ряда конструкционных материалов, показаны их применения при решении задач переменной пластичности. Рассмотрены вопросы малоцикловой прочности элементов конструкций различных типов. Анализируются результаты исследования НДС в зонах концентрации, их кинетика по циклам нагружения и достижение предельных состояний по условию накопленных повреждений.

В работах Т.Буриева [7, 8] сформулирован ряд краевых задач по расчету несущих элементов тонкостенных конструкций при повторных и переменных упругопластических нагружениях в текущих величинах. Исследована сходимость разработанных алгоритмов и итерационных процессов в зависимости от степени развития пластических деформаций и накопление повреждений, а также вопросы обеспечения безопасности конструкций в экстремальных ситуациях. В книге [9] изложены численные методы и алгоритмы расчета на прочность, устойчивость и колебаний осесимметричных и пространственных конструкций. Показано, что для решения краевых задач оболочечных конструкций эффективным является применение метода численного интегрирования С.К.Годунова.

При проектировании составных оболочечных конструкций наряду с традиционными металлическими материалами широко применяются полимерные материалы и композиты с различными вязкоупругими свойствами. При решении задачи механики вязкоупругих композитов широкое применение нашли метод аппроксимации А.А.Ильюшина [10], метод осреднения Б.Е.Победря [11], ядро релаксации и ползучести А.Р.Ржаницына – М.А.Колтунова [12].

В работах В.В.Москвитина [2] предложены модели и основные соотношения, позволяющие исследовать НДС тонкостенных конструкций при переменных упругопластических и вязкопластических нагружениях с учетом повреждаемости. В работе [13] описаны методы моделирования ползучести и длительной прочности металлов в агрессивных средах с применением кинетического уравнения повреждаемости.

В работе [14] волокнистые композиционные материалы рассмотрены как матрицы, армированные высокопрочными и высокомодульными волокнами, предложен вариационно-матричный подход к расчету многослойных (трехслойных) оболочечных конструкций. Модель конструкции, состоящая из чередующихся несущих слоев из высокопрочных и высокомодульных материалов и слоев пониженной жесткости из полимеров, рассматривается в [15].

Отметим, что наиболее распространенными методами решения краевых задач теории оболочек являются метод конечных разностей, метод конечных и граничных элементов [6, 9, 16, 17].

Ввиду сложности решения задач неупругих оболочечных конструкций их эффективное решение возможно лишь численными методами с применением современных персональных компьютеров. Возникает необходимость создания математических моделей, построения разрешающих систем уравнений, разработки программных средств для исследования НДС и колебаний оболочечных конструкций [18–21].

Постановка задачи. В работе [19] получена разрешающая система уравнений, описывающая упругопластическое поведение тонкостенных конструкций и стержней при переменных нагружениях, а также вязкоупругих свойств элементов. На основе разработанной методики расчета и процедур приводятся решения ряда упругопластических задач при повторном нагружении, анализируются НДС и собственные колебания составных оболочечных конструкций с учетом вязкоупругих свойств материалов.

Результаты исследования. Расчеты оболочечных конструкций при переменных упругопластических нагружениях.

1. Анализ НДС цилиндрической оболочки, связанной с кольцевой пластинкой.

Анализируется напряженное состояние цилиндрической оболочки, связанной по некоторой параллели круглой кольцевой пластинкой и шпангоутом [9, 19] при нагружении из естественного состояния и при повторном нагружении (рис. 1).

Узлы конструкции 1 и 4 — края цилиндрической оболочки. Узел 3 — место стыка цилиндрической оболочки с кольцевой пластинкой, на внутреннем крае которой располагается второй узел. Предполагаем, что торцы оболочки и внутренний край пластинки жестко закреплены. На месте связи пластинки с оболочкой конструкция подкреплена круговым упругим шпангоутом. Геометрические характеристики для оболочечных элементов (мм): $L_1=L_2=R=400$; $R_0=100$; $h_0=h_1=4$; для шпангоута a=b=4; F=16 мм².

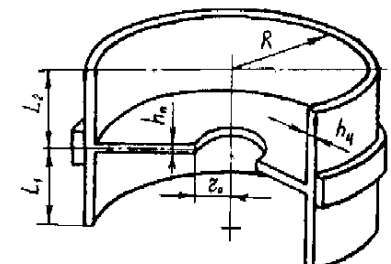


Рис. 1. Цилиндрическая оболочка, связанная по некоторой параллели круглой кольцевой пластинкой и шпангоутом

В табл. 1 представлены результаты расчета кинетики напряженного состояния для узловых точек 1 и 2 рассматриваемой конструкции. Для определения истинных значений напряжений воспользуемся теоремой о переменном нагружении.

Из табл. 1 видно, что значения $\overline{\sigma}_{11}^{(k)}$, $\overline{\sigma}_{22}^{(k)}$, $\overline{\sigma}_{u}^{(k)}$ с увеличением числа циклов нагружения увеличиваются. Причем разница этих величин при K=2 и 5 в узловых точках 1 и 2 соответственно составляет 4.09, 1.90, 4.25%; 4.24, 2.22, 4.36%. Приведены значения масштабного коэффициента для материала М1 (В-96).

Таблица 1 Результаты расчета кинетики напряженного состояния для узловых точек 1 и 2

К	$\alpha_{\rm k}$	N_{y_3}	$oldsymbol{\overline{\sigma}_{11}^{(k)}}$ · 10 ⁻²	$\overline{\sigma}_{22}^{(k)}\cdot 10^{-2}$	$\overline{\sigma}_u^{(k)} \cdot 10^{-2}$
1	1.00	1	3.99231	1.66338	3.47342
1	1.00	2	4.05441	1.78140	3.51982
2	2.08	1	6.97419	2.40429	6.13612
2	2.08	2	7.12482	2.64065	6.23874
3	2.15	1	7.13155	2.43004	6.27966
3	2.13	2	7.28650	2.67268	6.38450
4	2.19	1	7.20900	2.44221	6.35045
4	2.19	2	7.36135	2.68706	6.45208
5	2.22	1	7.26000	2.45003	6.39711
3	2.22	2	7.42663	2.69934	6.51109

Кинетика истинных значений компонентов напряжения в узловых точках 1 и 2 при n-ном нагружении представлена в табл. 2. Значения величин $\sigma_{11}^{(k)}$, $\sigma_{22}^{(k)}$ для второго узла при K=1 и 3 различаются соответственно на 3.99, 1.8%, а при K=1 и 5 – 5.6, 2.49%.

Кинетика истинных значений компонентов напряжения в узловых точках 1 и 2 при п-ном нагружении

Показатель	$N_{y_3} \setminus K$	1	2	3	4	5
$\sigma^{(k)}$	1	3.99231	2.98188	-4.14967	3.05933	-4.20067
o_{11}	2	4.05441	3.07041	-4.21609	3.14526	-4.28137
- (k)	1	1.66338	0.74091	-1.68913	0.75308	-1.69695
O_{22}	2	1.78140	0.85925	-1.81343	0.87363	-1.82571

Расчеты с использованием принципа Мазинга показали, что при данных условиях нагружений в некоторых областях после циклического упругопластического нагружения происходит разгрузка, сопровождающаяся развитием вторичных пластических деформаций. Учет этого приводит к уменьшению остаточных напряжений на 15–20%.

2. Напряженно-деформированное состояние сильфонных компенсаторов. Сильфонные компенсаторы предназначены для уменьшения внутренних усилий, обусловленных различными перемещениями, температурными и остаточными напряжениями. Сильфонные компенсаторы — довольно сложная конструкция, основной несущей и герметизирующей частью которой является

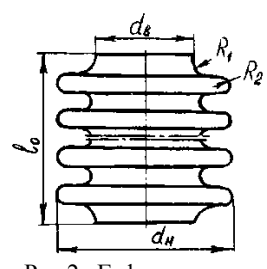


Рис.2. Гофрированная осесимметричная тонкостенная оболочка

гофрированная осесимметричная тонкостенная оболочка (рис. 2). Базовый элемент гофрированной оболочки — полугофр. Основные конструктивные параметры, определяющие геометрию и работоспособность оболочки: наружный d_n и внутренний d_s диаметры оболочки, радиусы выступа R_1 и впадины R_2 , длина L_n линейного участка гофра, h — толщина оболочки. Эффективность применения сильфонных компенсаторов достигается благодаря их конструктивным особенностям.

Сильфонные компенсаторы в большинстве случаев подвергаются повторным воздействиям нагрузки с ограниченным числом циклов. Число циклов нагружения определяется количеством пусков, остановов и резких изменений режима работы агрегата за время эксплуатации. В этих

условиях работы для повышения его компенсирующей способности целесообразно и необходимо допустить пластические деформации в наиболее нагруженных зонах оболочки [5].

На основе разработанной методики расчета тонкостенных конструкций приведены результаты расчета сильфонных компенсаторов при повторном нагружении. Произведен расчет для сильфона с одним и двумя гофрами. Расчетная схема сильфонного компенсатора представлена в [5] и указаны основные конструктивные параметры, определяющие геометрию и работоспособность гофрированной оболочки. Конструктивные параметры сильфона (мм): l=200; R=200, $r_1=r_2=50$; $L_p=200$; h=4.

Численные решения задачи показывают, что характер распределения расчетных величин и уровень деформаций зависят от интенсивности нагрузки, конструктивных параметров, в частности, переменности толщины и формы гофра.

Ввиду симметричности конструкции, граничных условий и режима нагружения представлены результаты расчета для первого полугофра сильфона с цилиндрической частью. Исследованы распределения интенсивности напряжений и деформаций при исходном нагружении для различных значений параметров сильфона. Значения интенсивности напряжений $\overline{\sigma}_u^{(2)}$ в наиболее нагруженной точке сильфона отличаются от соответствующих значений первого нагружения σ_u' примерно в 1.6 раза. В качестве иллюстрации в табл.3 представлены результаты расчета напряжений при повторном нагружении внутренним давлением по обобщенному принципу Мазинга—Москвитина.

Условиями появления вторичных, третичных и т.п. пластических областей являются $\overline{\sigma}_u^{(n)} \geq \alpha_n \sigma_s$, где α_n — масштабный коэффициент. Анализ результатов расчета показывает, что с увеличением числа циклов нагружений кинетика напряженно-деформированного состояния сильфона переходит в стационарное. Это объясняется режимом повторного нагружения, а также стабилизацией диаграмм циклического деформирования для упрочняющихся материалов.

Результаты исследования НДС сильфонных компенсаторов при переменном нагружении показывают, что возникающие в сильфоне пластические деформации локализованы в относительно узких зонах. Поэтому разрушение сильфона при переменном нагружении определяется, главным образом, накоплением повреждений и носит явно выраженный усталостный характер.

Результаты расчета напряжений при повторном нагружении внутренним давлением
по обобщенному принципу Мазинга–Москвитина

N	N_{y_3}	$\overline{\sigma}_{11}^{(k)}10^{-2}$	$\overline{\sigma}_{22}^{(k)} 10^{-2}$	$\overline{\sigma}_u^{(k)} 10^{-2}$	$\overline{\sigma}_{11}^{(k)} 10^{-2}$	$\overline{\sigma}_{22}^{(k)} 10^{-2}$	$\overline{\sigma}_u^{(k)} 10^{-2}$
		M	атериал – сталь ТО	C		Материал – В-	.96
	1	3.77875	1.50897	3.29453	3.77875	1.50897	3.29453
1	2	2.28069	3.54484	3.11171	2.28069	3.54484	3.11171
1	3	1.07162	-2.49826	3.17283	1.07162	-2.49826	3.17283
	4	2.40799	-0.89229	2.9569	2.40799	-0.89229	2.9569
	1	6.04136	1.98930	5.33266	6.22931	2.01320	5.50603
2	2	2.92529	4.87101	4.24675	2.95902	4.94996	4.31403
	3	1.83888	-380093	4.98177	1.91048	-3.91352	5.14221
	4	3.11230	-1.28425	3.91570	3.12805	-1.29356	3.93755
	1	6.07476	1.99373	5.36341	6.32734	2.02467	5.59677
3	2	2.93114	4.88461	4.25835	2.97278	4.98262	4.34177
3	3	1.85305	-3.82330	5.01360	1.94272	-3.96386	5.21412
	4	3.12064	-1.28918	3.92727	3.12806	-1.29356	3.93755

Исследования оболочечных конструкций из вязкоупругих материалов

1. Анализ НДС и собственных колебаний трехслойного резервуара. Рассмотрим вначале задачу определения НДС трёхслойного резервуара, состоящего из полусферических и цилиндрических оболочечных элементов, подкрепленных на стыках круговыми шпангоутами. Расчетная схема представлена на рис.3, где I-III — номер оболочки, 1—4 — номер узловых элементов (узлы 1, 4 — полюса, 2, 3-шпангоуты). Осевые и крутильные перемещения узлов 2 и 3 запрещены.

Геометрические параметры для оболочечных элементов (мм); L=400, R=150; толщина слоев: h_1 =1, h_2 =2, h_3 =1: для шпангоутов a=10; b=5; F=50 мм²; J_z =416.2; J_x =24 мм⁴. Внутренние и наружные слои из полимерных материалов: E_1 = E_3 = 10^5 МПа; v_I = v_3 =0.3; ρ_1 = ρ_3 = $7.8 \cdot 10^{-5}$ кг/мм³. Средний слой и шпангоуты из металлов упругие: E_2 = E_{III} = 10^5 МПа; v_2 = v_{III} =0.3; ρ_2 = ρ_{II} = $7.8 \cdot 10^5$ кг/мм³. Реологические характеристики полимерных слоёв описываются разностным ядром Ржаницына—Колтунова с параметрами: A_1 = A_3 =0.01; a_1 = a_3 =0.05; β_1 = β_3 =0.1.

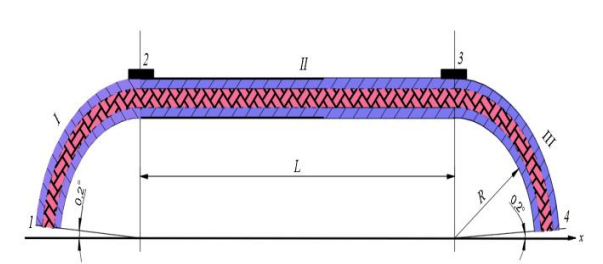
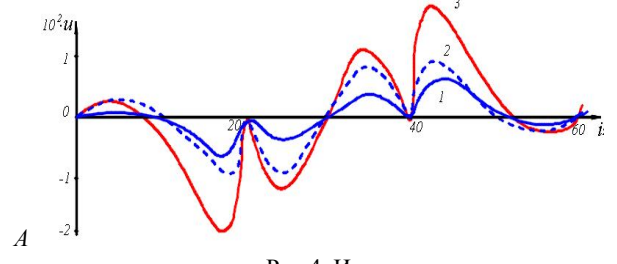


Рис. 3. Расчетная схема трёхслойного резервуара



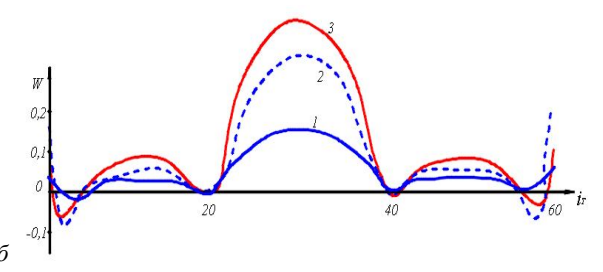


Рис.4. Изменения расчетных величин u, w конструктивных параметров

Рассмотрена также задача о колебаниях резервуара, состоящего из двухслойных полусферических и цилиндрических оболочечных элементов, усиленных в стыках шпангоутом и жестко связанных с цилиндрической оболочкой. Расчетная схема рассматриваемой конструкции представлена в [16]. Предположим, что конец оболочечного элемента 3 защемлённый. На месте связи полусферического и цилиндрического элементов конструкция подкреплена круговым кольцевым шпангоутом.

Первый слой из вязкоупругих материалов, второй слой – упругий. Толщина всех слоёв: h_1 =2; h_2 =2; значение параметров ядра релаксации: A=0.01; α =0.05; β =0.1. Остальные геометрические и механические характеристики, как в предыдущей задаче.

В результате расчёта получены значения частоты колебаний соответственно для первых трёх тонов:1) ω_R^* =39.901; ω_I^* 0.19202; 2) ω_R^* =140.543; ω_I^* =0.45486; 3) ω_R^* =492.001; ω_I^* =0.91752.

2. Исследование НДС и собственных колебаний трехслойного сильфонного компенсатора из вязкоупругих материалов. В различных конструкциях различного назначения широко применяют компенсирующие устройства из композитов, выполняемые часто виде тонкостенных осесимметричных гофрированных оболочек вращения. В [16] приведена конструктивная схема сильфонного компенсатора, в которой отражены основные принципы конструирования устройств подобного типа и параметры, определяющие геометрию и работоспособность оболочки.

Рассмотрим трехслойный сильфонный компенсатор из композиционных материалов, состоящий из набора пластин, цилиндрических u тороидальных оболочек. Сильфон состоит из двух несущих вязкоупругих слоев и упругого заполнителя. Конструктивные параметры (мм): R=200; $R_1=R_2=50(100)$; L=200(300). Толщина всех слоев фиксирована. Толщина наружных $h_1=h_3=2$ мм, толщина заполнителя $h_2=4$ мм. Вязкоупругий слой характеризуется величинами: $E=10^5$ МПа; v=0.3; $\rho=7.8\cdot10^5$ кг/мм³; A=0.01, $\beta=0.1$, $\alpha=0.05$. Механические характеристики упругого слоя: $E=2\cdot10^5$ МПа; v=0.3; $\rho=7.8\cdot10^5$ кг/мм³.

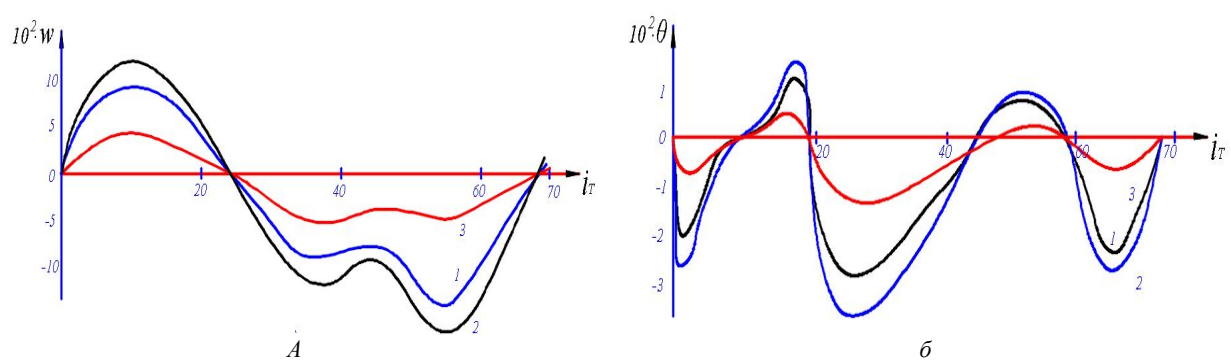


Рис. 5. Изменения расчетных величин от конструктивных параметров

В результате расчетов получены значения частоты колебаний для первого тона в следующих трех случаях, т.е. в зависимости от конструктивных параметров трехслойного сильфона:

- 1. При $R_1 = R_2 = 50$; $L_{II} = 200$, $\omega_R^* = 3.43006 \cdot 10^6$; $\omega_I^* = 1.13724$.
- 2. При $R_1 = R_2 = 50$; $L_{II} = 300$, $\omega_R^* = 3.37481 \cdot 10^6$; $\omega_I^* = 1.00058$.
- 3. При R_1 =50, R_2 =100; L_{II} =200, ω_R^* =5.45164·10⁶; ω_I^* =1.69881.

Из этих данных следует, что на частоту колебаний сильфона существенное влияние оказывает длина линейного участка гофра L_{Π} , радиусы впадины R_2 и выступа R_1 и толщина h. С увеличением L_{Π} частота колебаний уменьшается, а с увеличением R_2 увеличивается.

На рис.6 представлены формы колебаний для четырех оболочечных элементов сильфона, соответствующих указанным случаям.

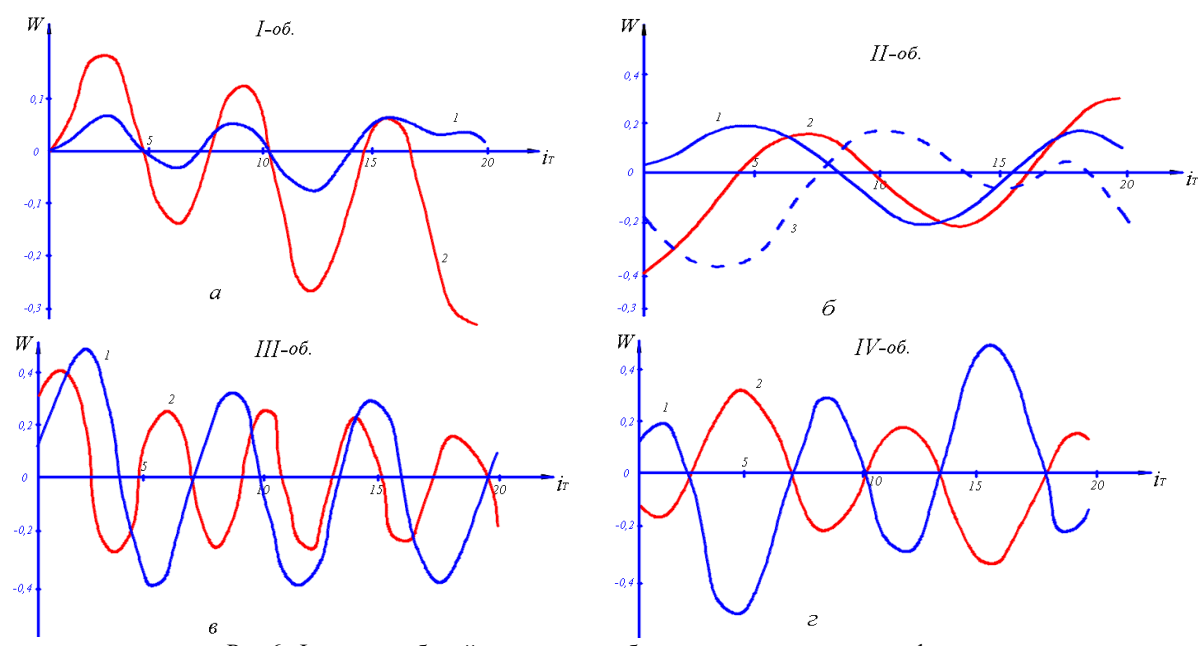


Рис. 6. Форма колебаний для четырех оболочечных элементов сильфона

Выводы. Представлены решения ряда задач оболочечных конструкций с учетом неупругих свойств материалов. Исследована кинетика НДС конструкций при повторном упругопластическом нагружении. Расчеты с использованием принципа Мазинга показали, что при данных условиях нагружений в некоторых областях после циклического упругопластического нагружения происходит разгрузка, сопровождающаяся развитием вторичных пластических деформаций. Анализировано НДС и собственных колебаний резервуара, и сильфонного компенсатора.

ЛИТЕРАТУРА

- [1] Ильюшин А.А. Труды. Пластичность. М.: Логос, 2004. 388 с.
- [2] Москвитин В.В. Циклические нагружения элементов конструкций. М.: Наука, 1981. 344 с.
- [3] Быков Д.Л. О некоторых методах решения задач теории пластичности // Упругость и неупругость. Вып.4. М.: Изд-во МГУ, 1975. С. 119–139.
- [4] Зубчанинов В.Г. Механика процессов пластических сред. М.: Физматлит, 2010. 352 с.
- [5] Абиров Р. А. Развитие математических модели пластичности с учетом деформирования материалов при сложном нагружении: Автореф. дис... докт. физ.-мат. наук Ташкент, 2014. 52 с.
- [6] Гусенков А.П., Москвитин Г.В., Хорошилов В.Н. Малоцикловая прочность оболочечных конструкций. М.: Наука, 1989. 254 с.
- [7] Буриев Т., Абдусаттаров А. Разработка алгоритмов расчета несущих элементов конструкций при переменных нагружениях с учетом упрочнения-разупрочнения и накопления повреждений // Доклады АН РУз. 2000. №2. С.13—17.
- [8] Буриев Т. Обеспечение безопасности конструкций сложных объектов в экстремальных ситуациях. Ташкент, 2009. 148 с.
- [9] Мяченков В.И., Мальцев В.П. Методы и алгоритмы расчета пространственных конструкций на ЭВМ // Машиностроение, 1984. 280 с.
- [10] Илью шин А.А., Победря Б.Е. Основы математической теории термовязкоупругости. М.: Наука, 1970. 280 с.
- [11] Победря Б. Е. Механика композиционных материалов. М.: МГУ, 1984. 336 с.
- [12] Колтунов М. А. Ползучесть и релаксация. М: Высшая школа, 1979. 272 с.
- [13] Локощенко А. М. Моделирование процесса ползучести и длительной прочности материалов. М.: МГУ, 2007. 268 с.
- [14] Алфутов Н.А., Зиновьев П.А., Попов Б.Г. Расчет многослойных пластины и оболочек из композиционных материалов. М.: Машиностроение, 1984. 284 с.
- [15] Болотин В.В., Новичков Ю.Н. Механика многослойных конструкций. М.: Машиностроение, 1980. -375 с.
- [16] Самарский А.А., Михайлов А.П. Математическое моделирование: Идеи. Методы. Примеры. М.: Физматлит, 2002.-300 с
- [17] Расчеты машиностроительных конструкций методом конечных элементов / Под.общ.ред. Мяченкова В.И. М.: Машиностроение, 1989.-520 с.

- [18] Абдусаттаров А. К прогнозированию процессов деформирования, повреждаемости и длительной прочности вязкоупругопластических тел при сложных циклических нагружениях (обзор) // Узбекский журнал «Проблемы механики». 2019. №2. С.84–91.
- [19] Абдусаттаров А., Мавланов Т. К расчету составных оболочечных конструкций с учетом упругопластических свойств элементов при повторном нагружении // Журнал «Проблемы механики». 1993. №3. С. 13–17.
- [20] Абдусаттаров А., Абдукадиров Ф.Э., Собиров Н.Х. Численный расчет элементов тонкостенных конструкций при повторно-переменном нагружении с учетом повреждаемости // Международная научно-техническая конференция «Актуальные проблемы прикладной математики, информатики и механики». Воронеж, 2019. С. 1221–1228.
- [21] Abdusattarov A., Abdukadirov F.E., Sabirov N.X. Numerical calculation of elements of thin-walled structures under alternating loading taking into account damage // IOP Conf. Series: Journal of Physics: Conf. Series 1479. 2020. 012143.

Ташкентский институт инженеров железнодорожного транспорта

Дата поступления 15.03.2020

А. Абдусаттаров, Ф.Э. Абдукадиров, Н.Х. Сабиров. Қобиқ конструкцияларни кучланганлик-деформацияланганлик холати ва хусусий тебранишини материалларнинг ноэластиклик хусусиятини эътиборга олган холда тадқиқ қилиш

Ушбу мақолада цилиндрик қобиқ билан доиравий пластинкани ўзаро богланишидан ташкил топган конструкцияни ва силфон компесаторини такрорий эластик-пластик юкланишлар таъсиридаги кучланганлик ҳолати тадқиқ қилинган. Қовушқоқ эластик материаллардан ташкил топган уч қатламли резервуар ва силфон компесаторини кучланганлик-деформацияланганлик ҳолати ва ҳусусий тебраниши таҳлил қилинган.

A Abdusattarov, F.E Abdukadirov, N.X Sabirov. Research of stress-strain state and own oscillations of shell designs taking into account inelastic properties of materials

The article given the kinetics of SSS (stress-strain state) of a cylindrical shell associated with an annular plate and a bellows compensator under repeated elastic-plastic loading is studied. An analysis was made of the VAT and natural vibrations of a three-layer reservoir and a bellows expansion joint made of a viscoelastic composite.

УДК 621.01

Р.И. КАРИМОВ, Н.Н. БЕГИМОВ, Ш.А. САДУЛЛАЕВ

МОДЕЛИРОВАНИЕ КИНЕТОСТАТИКИ ПЛАНЕТАРНО-РЫЧАЖНОГО МЕХАНИЗМА С ОДНОЙ СТЕПЕНЬЮ ПОДВИЖНОСТИ

Важное значение при проектировании механизмов имеет определение реакции в кинематических парах, а также усилий, воздействующих на звенья механизмов. Расчёт сил, действующих на различные звенья механизма при его движении, может быть сделан в том случае, если известны законы движения всех звеньев механизма и внешних сил, приложенных к механизму.

Силовые расчёты механизмов могут быть произведены самыми различными методами. В теории механизмов и машин широкое применение получил метод силового расчёта механизмов на основе обыкновенных уравнений равновесия твёрдых тел [1, 2]. Этот метод сводится к использованию при решении задач динамики уравнений равновесия в форме Даламбера. При использовании принципа Даламбера к расчёту механизмов, кроме внешних сил, действующих на отдельно взятое звено, прилагаются на эти звенья и силы инерции.

На рис.1 приведена расчетная схема планетарно-рычажного механизма с одной степенью подвижности с действующими на его звенья силами и моментами.

Если угловая скорость водила является постоянной, то сила инерции, действующая на водила и сателлит, будет направлена вдоль водила. Как видно, данный механизм образован путем присоединения групп Ассура второго вида к произвольной точке сателлита и обладает одной степенью подвижности. Рассмотрим условия равновесия отдельных звеньев данного механизма. На рис. 2 показаны расчетные схемы ползуна (a) и шатуна (δ) с действующими на них силами и моментами.

На ползун действуют такие силы, как сила инерции \overline{F}_{u4} , сила технологического сопротивления \overline{F}_{C4} и сила тяжести ползуна \overline{G}_4 . Сила инерции $F_{u4} = -\frac{G_4}{g} \cdot a_B$ и направлена вдоль оси AX, сила технологического сопротивления \overline{F}_{c4} , действующая на ползун, также направлена по оси AX, сила тяжести ползуна \overline{G}_4 направлена вертикально вниз. На ползун также действует неизвестная реакция в шарнире \overline{R}_B , которую представим в виде двух составляющих — \overline{R}_{BX} и \overline{R}_{BY} , направлен-

ных по осям координат. Величина полной реакция в шарнире «В» равна $R_B = \sqrt{(R_{BX})^2 + (R_{BY})^2}$. На ползун также действует реакция со стороны направляющей \overline{N}_4 , которая в данном случае проходит через ось шарнира "В" и направлена перпендикулярно направляющей. Условия равновесия ползуна можно записать в следующем виде:

$$\begin{cases} \Sigma X = 0, & \begin{cases} F_{u4} + F_{C4} + R_{BX} = 0, \\ \Sigma Y = 0, & \begin{cases} R_{BY} + N_4 - G_4 = 0. \end{cases} \end{cases}$$
 (1)

Перейдем теперь к рассмотрению равновесия шатуна. Расчетная схема шатуна с действующими на него силами и моментами показана на рис. $2,\delta$.

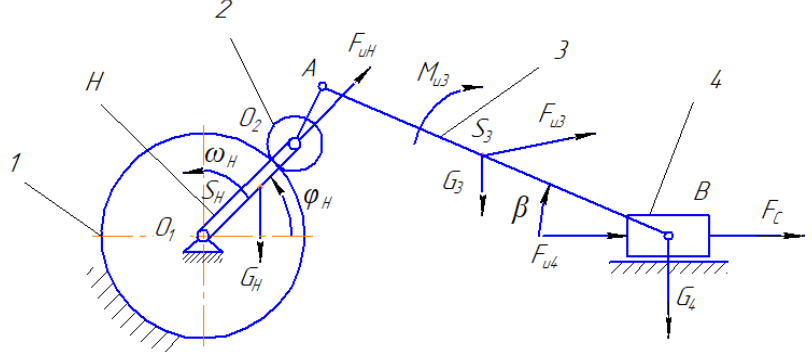


Рис.1. Расчетная схема планетарно-рычажного механизма с одной степенью подвижности с действующими на его звенья силами и моментами: I — неподвижное зубчатое колесо; H — водила; 2 — сателлит; 3 — шатун; 4 — ползун; \overline{G}_H — сила тяжести водила; \overline{G}_2 — сила тяжести сателлита; \overline{G}_3 — сила тяжести шатуна; \overline{G}_4 — сила тяжести ползуна; \overline{F}_c — сила сопротивления, действующая на ползун; M_y — уравновешивающий момент на валу водила; \overline{F}_{u3} — сила инерции, действующая на центр масс шатуна; M_{u3} — момент от сил инерции действующих на шатун; \overline{F}_{u4} — сила инерции, действующая на ползун

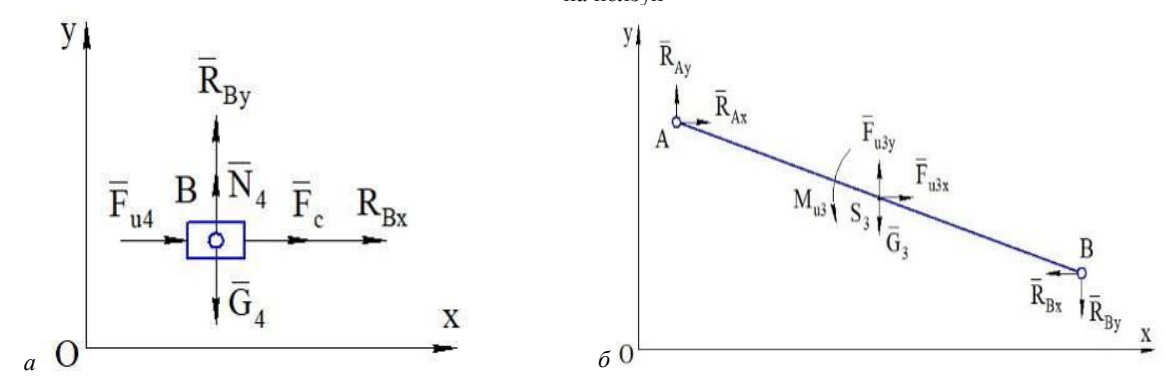


Рис. 2. Расчетные схемы ползуна (а) и шатуна (б)

На шатун действуют известные силы: сила инерции шатуна, которая представлена в виде двух составляющих \overline{F}_{u3X} , \overline{F}_{u3Y} , сила тяжести шатуна \overline{G}_3 , которая направлена вертикально вниз, момент от сил инерции M_{u3} . Составляющие силы инерции \overline{F}_{u3} , действующей в центре масс шатуна S_3 , определяли по следующим формулам: $F_{u3X} = -\frac{G_3}{g} \cdot a_{S3X}$, $F_{u3Y} = -\frac{G_3}{g} \cdot a_{S3Y}$. Момент от сил инерции шатуна равен $M_{u3} = -J_{S3} \cdot \varepsilon_3$. Здесь J_{S3} — момент инерции шатуна относительно центра масс; ε_3 — угловое ускорение шатуна. На шатун действуют неизвестные составляющие силы реакции в шарнире "B", их направления противоположны направлениям составляющих реакции в шарнире "B", действующих на ползун. Неизвестная реакция в шарнире "A" представлена в виде двух составляющих \overline{R}_{AX} , \overline{R}_{AY} . Величина полной реакции в шарнире "A" определялась по формуле $R_A = \sqrt{(R_{AX})^2 + (R_{AY})^2}$.

Для шатуна можно записать три уравнения равновесия: два в проекциях на оси координат X, Y и одно уравнение моментов относительно центра масс шатуна S_3 :

$$\begin{cases} \Sigma X = 0, & R_{AX} + F_{u3X} - R_{BX} = 0, \\ \Sigma Y = 0, & R_{AY} + F_{u3Y} - G_3 - R_{BY} = 0, \\ \Sigma M_{S3} = 0, & -R_{BY} \cdot l_{BS3} \cdot \cos \beta - R_{BX} \cdot l_{BS3} \cdot \sin \beta + M_{u3} - R_{AX} \cdot l_{AS3} \cdot \sin \beta - R_{AY} \cdot l_{AS3} \cdot \cos \beta = 0. \end{cases}$$
(2)

Условия равновесия сателлита следующие: на сателлит со стороны шатуна действуют такие силы реакции, как R_{AY} , R_{AY} , а также сила реакции, действующая на сателлит 2 со стороны неподвижного центрального колеса I \overline{R}_{21} и сила реакции в опоре O_2 сателлита, которые имеют следующие составляющие: $\overline{R}_{O_2 Y}$, $\overline{R}_{O_2 Y}$. Величина полной реакции на валу сателлита \overline{R}_{O_2} определялась по формуле $R_{\scriptscriptstyle O_2} = \sqrt{\left(R_{\scriptscriptstyle O_2 X}\right)^2 + \left(R_{\scriptscriptstyle O_2 Y}\right)^2}$. На рис. 3 показаны расчетные схемы сателлита и водила. Для сателлита можно записать три уравнения равновесия: два в проекциях на оси координат X, Y и одно уравнение моментов относительно оси вращения сателлита O_2 :

$$\begin{cases} \Sigma X = 0, & R_{12}^{\tau}(\cos((3\pi/2) + \varphi_H)) + R_{12}^{n}(\cos\varphi_H) + R_{O_2X} + R_{AX} = 0, \\ \Sigma Y = 0, & R_{12}^{\tau}(\sin((3\pi/2) + \varphi_H)) + R_{12}^{n}(\sin\varphi_H) + R_{O_2}y - R_{AY} = 0, \\ \Sigma M_{O2} = 0, & R_{12}^{\tau} \cdot r^2 - R_{AY}(O_2A) \cdot \cos\varphi_2 + R_{AY}(O_2A) \cdot \sin\varphi_2 = 0. \end{cases}$$

$$\begin{cases} X = 0, & R_{12}^{\tau}(\sin((3\pi/2) + \varphi_H)) + R_{12}^{n}(\cos\varphi_H) + R_{O_2X} + R_{AY} = 0, \\ \Sigma M_{O2} = 0, & R_{12}^{\tau} \cdot r^2 - R_{AY}(O_2A) \cdot \cos\varphi_2 + R_{AY}(O_2A) \cdot \sin\varphi_2 = 0. \end{cases}$$

$$\begin{cases} X = 0, & R_{12}^{\tau}(\sin((3\pi/2) + \varphi_H)) + R_{12}^{n}(\sin\varphi_H) + R_{O_2}y - R_{AY} = 0, \\ R_{AY} = 0, & R_{AY} = 0, \\ R_$$

Рис. 3. Расчетные схемы сателлита (a) и водила (δ)

X

Расчётная схема водила с действующими на него силами показана на рис. 3,6. На водила действуют известная сила тяжести \overline{G}_H , направленная вертикально вниз, сила инерции водила \overline{F}_H , приложенная в его центре масс S_H , которая равна $F_H = -\frac{G_H}{\sigma} \cdot \omega_H^2 \cdot l_{O_1 S_H}$. На водила действуют неизвестные составляющие реакций в шарнирах " O_1 " и " O_2 ", а также уравновешивающий момент M_y .

а

Для водила можно записать три уравнения равновесия: два в проекциях на оси координат X, Y, одно уравнение моментов относительно шарнира " O_1 ":

$$\begin{cases} \Sigma X = 0, & R_{O_1X} - R_{O_2X} + F_{uu} \cos \varphi_u = 0, \\ \Sigma Y = 0, & R_{O_1Y} - G_u - R_{O_2Y} + F_{uu} \sin \varphi_u = 0, \\ \Sigma M_{O_1} = 0, & -G_u \cdot l_{O_1Su} \cdot \cos \varphi_u + M_V - R_{O_2Y}(O_1O_2) \cos \varphi_u + R_{O_2X}(O_1O_2) \sin \varphi_u = 0. \end{cases} \tag{4}$$
 Величина полной реакции в опоре водила \overline{R}_{O_1} определялась по формуле

 $R_{O_1} = \sqrt{(R_{O_1X})^2 + (R_{O_1Y})^2}$.

Система уравнений (1) – (4) решалась на ЭВМ в среде Math CAD 15. По результатам расчётов на компьютере получены закономерности изменения реакций в кинематических парах механизма, а также уравновешивающий момент на валу водила. Расчеты на компьютере производились при вариациях угловой скорости водила с 5 до 25 с⁻¹ с шагом 5 с⁻¹; расстояние от центра сателлита до шарнира «А» – от 0 до 0.1 м с шагом 0.02 м; сила сопротивления, действующая на ползун, с 0 до 1000 Н с шагом 200 Н. Результаты расчетов приведены в таблице.

Анализ результатов расчетов показал, что при вариации ω_H размах колебаний реакции в опоре водила увеличивается с 1408 до 33879 Н; на валу сателлита увеличивается с 1393 до 33879 Н; величина размаха колебаний между ползуном и направляющим повышается с 764 до 19100 Н, уравновешивающий момент на валу водила восрастает с 464 до 11000 Нм.

Результаты расчетов реакции в кинематических парах планетарно-рычажного механизма с одной степенью подвижности

		Степені	ь подвижнос	ти механиз	ма <i>w</i> =1. при	этом $O_2A=0$	0.4 м. F_c =200	Н вариаци	иωн	
No	ω_H ,	$R_{01 max}$	$R_{01 min}$,	H_{R01} ,	$R_{02 max}$,	$R_{02 min}$,	H_{R02} ,	R_{Amax} ,	R_{Amin} ,	H_{RA} ,
	c ⁻¹	H	H	H	H	H	H	H	H	Н
1	5	1440	32	1408	1400	7.1	1393	634	394	240
2	10	5500	39.5	5460.5	5500	23	5477	2500	1600	900
3	15	12000	22.3	11977	12000	42	11958	5600	3600	2000
4	20	22000	58	21942	22000	89	21911	10000	6400	3600
5	25	34000	121	33879	34000	153	33847	16000	10000	6000
	ω_H ,	$R_{B max}$	$R_{B min}$,	H_{RB} ,	$N_{4 max}$	$N_{4 min}$,	H_{N4} ,	$M_{y max}$	$M_{y min}$	H_{My} ,
	c^{-1}	H	H	Н	H	H	H	Hm	Hm	Hm
1	5	422	142	280	472	-292	764	229	-235	464
2	10	1570	570	1000	1600	-1400	3000	895	-897	1782
3	15	3500	1300	2200	3500	-3300	6800	2000	-2000	4000
4	20	6200	2300	3900	6200	-6000	12200	3500	-3500	7000
5	25	9600	3600	6000	9600	-9500	19100	5500	-5500	11000
7	43		лодвижнос							11000
	O_2A ,	$R_{01 max}$	$R_{01 min}$	H_{R01} ,	$R_{02 max}$	$R_{02 min}$	H_{R02}	R_{Amax} ,	R_{Amax} ,	H_{RA} ,
	M	H	H	H	H	H	H	H	H	H
1	0	426	262	164	407	282	125	407	282	125
2	0.02	1021	76	945	1006	65	941	878	69	809
3	0.04	1963	227	1736	1948	228	1720	1374	415	959
4	0.06	3225	100	3125	3210	112	3098	1892	742	1150
5	0.08	4815	69	4746	4799	68	4731	2432	1049	1383
6	0.1	6814	68	6746	6820	38	6782	2992	1336	1656
	O_2A ,	$R_{B max}$,	$R_{B min}$,	H_{RB} ,	$N_{4 max}$,	$N_{4 min}$,	H_{N4}	$M_{y max}$	$M_{y min}$,	H _{My} ,
	М М	H	H	H	H	H	H	Hm	Hm	Hm
1	0	434	142	292	156	24	132	79	69	148
2	0.02	588	38	550	478	298	776	149	162	311
3	0.04	832	11	821	820	641	1461	325	342	667
4	0.06	1163	73	1090	1178	998	2176	559	580	1139
5	0.08	1522	25	1497	1552	1372	2924	851	875	1726
6	0.1	1322								
0		1905								
		1905 Степен	113	1792	1945	1765	3710	1202	1230	2432
		Степен	113 ь подвижнос	1792 ти механиз	1945 ма <i>w</i> =1, при	1765 этом <i>O</i> ₂ <i>A</i> =0	3710 0.4 m ω _H =10	1202 c ⁻¹ , вариаци	1230 и F_c	2432
	F_c ,	Степені $R_{01 max}$,	113 ь подвижнос R _{01 min} ,	1792 сти механиз H_{R01} ,	1945 ма <i>w</i> =1, при <i>R</i> _{02 max} ,	1765 этом $O_2A=0$ $R_{02min},$	3710 0.4 m ω_H =10 H_{R02} ,	1202 c^{-1} , вариаци R_{Amax} ,	1230 и F_c R_{Amax} ,	2432 H _{RA} ,
1		Степен <i>R</i> _{01 <i>max</i>} , Н	113 ь подвижнос $R_{01min},$ Н	1792 ети механиз H_{R01} , Н	1945 ма <i>w</i> =1, при <i>R</i> _{02 max} , Н	1765 этом <i>O</i> ₂ <i>A</i> =0 <i>R</i> _{02 min} , Н	3710 0.4 m ω_H =10 H_{R02} , H	$1202 \ { m c}^{-1}$, вариаци R_{Amax} ,	1230 и F_c R_{Amax} ,	2432 <i>H_{RA}</i> , H
-	F _c , H 0	Степен <i>R</i> _{01 max} , Н 470	113 ь подвижное $R_{01min},$ Н 64	1792 ети механиз H_{R01} , H 406	1945 ма <i>w</i> =1, при <i>R</i> _{02 max} , Н 454	1765 $O_2A = 0$ $R_{02 min}$, O_3 O_3	3710 0.4 m ω_H =10 H_{R02} , H 381	1202 c^{-1} , вариаци R_{Amax} , H 302	1230 и <i>F_c</i> <i>R_{Amax}</i> , Н	2432 <i>H</i> _{RA} , H 169
2	F _c , H 0 200	Степен R _{01 max} , Н 470 1844	113 ь подвижнос $R_{01min},$ Н 64 247	1792 сти механиз <i>H</i> _{R01} , Н 406 1597	1945 ма <i>w</i> =1, при <i>R</i> _{02 max} , Н	1765 этом <i>O</i> ₂ <i>A</i> =0 <i>R</i> _{02 min} , Н 73 248	3710 0.4 m ω_H =10 H_{R02} , H 381 1581	1202 c^{-1} , вариаци R_{Amax} , H 302 1257	1230 и <i>F_c</i> <i>R_{Amax}</i> , Н 133 573	2432 <i>H_{RA}</i> , H 169 684
3	F _c , H 0 200 400	Степен R _{01 max} , Н 470 1844 1923	113 ь подвижнос R _{01 min} , Н 64 247 237	1792 ети механиз <i>H</i> _{R01} , Н 406 1597 1686	1945 ма <i>w</i> =1, при <i>R</i> _{02 <i>max</i>} , Н 454 1829 1908	1765 этом <i>O</i> ₂ <i>A</i> =0 <i>R</i> _{02 min} , H 73 248 238	3710 $0.4 \text{ M } \omega_H = 10$ H_{R02} , H 381 1581 1670	1202 c^{-1} , вариаци R_{Amax} , H 302 1257 1335	1230 IM F _c R _{Amax} , H 133 573 515	2432 H _{RA} , H 169 684 820
2 3 4	F _c , H 0 200 400 600	Степені R _{01 мах} , Н 470 1844 1923 2003	113 ь подвижное R _{01 min} , Н 64 247 237 216	1792 ети механиз <i>H</i> _{R01} , Н 406 1597 1686 1787	1945 ма <i>w</i> =1, при <i>R</i> _{02 <i>max</i>} , Н 454 1829 1908 1987	1765 этом <i>O</i> ₂ <i>A</i> =0 <i>R</i> _{02 min} , H 73 248 238 217	$ \begin{array}{c} 3710 \\ 0.4 \text{ M } \omega_H = 10 \\ \hline H_{R02}, \\ H \\ 381 \\ 1581 \\ 1670 \\ 1770 \end{array} $	1202 с ⁻¹ , вариаци <i>R_{Атах}</i> , Н 302 1257 1335 1414	1230 IM F _c R _{Amax} , H 133 573 515 315	2432 H _{RA} , H 169 684 820 1099
2 3 4 5	F _c , H 0 200 400 600 800	Степені R _{01 мах} , Н 470 1844 1923 2003 2176	113 ь подвижное R _{01 min} , H 64 247 237 216 102	1792 сти механиз H_{R01} , H 406 1597 1686 1787 2074	1945 ма <i>w</i> =1, при <i>R</i> _{02 <i>max</i>} , H 454 1829 1908 1987 2181	1765 этом <i>O</i> ₂ <i>A</i> =0 <i>R</i> _{02 min} , H 73 248 238 217 97	$\begin{array}{c} 3710 \\ 0.4 \text{ M } \omega_{H}\!\!=\!\!10 \\ \hline H_{R02}, \\ \text{H} \\ 381 \\ 1581 \\ 1670 \\ 1770 \\ 2084 \\ \end{array}$	1202 с ⁻¹ , вариаци <i>R_{Атах}</i> , Н 302 1257 1335 1414 1496	1230 IM F _c R _{Amax} , H 133 573 515 315 116	2432 H _{RA} , H 169 684 820 1099 1380
2 3 4	F _c , H 0 200 400 600 800 1000	Степені R _{01 max} , H 470 1844 1923 2003 2176 2429	113 ь подвижное R_{01min} , H 64 247 237 216 102 65	1792 ти механиз H_{R01} , H 406 1597 1686 1787 2074 2364	1945 ма <i>w</i> =1, при <i>R</i> _{02 тах} , Н 454 1829 1908 1987 2181 2436	1765 $9TOM O_2A=0$ $R_{02 min}$, H 73 248 238 217 97 78	$\begin{array}{c} 3710 \\ 0.4 \text{ M } \omega_H\!=\!10 \\ \hline H_{R02}, \\ \text{H} \\ 381 \\ 1581 \\ 1670 \\ 1770 \\ 2084 \\ 2358 \\ \end{array}$	1202 с ⁻¹ , вариаци <i>R_{Атах}</i> , Н 302 1257 1335 1414 1496 1613	1230 IM F _c R _{Amax} , H 133 573 515 315 116 85	2432 H _{RA} , H 169 684 820 1099 1380 1528
2 3 4 5	F _c , H 0 200 400 600 800	Степені R _{01 мах} , Н 470 1844 1923 2003 2176	113 ь подвижное R _{01 min} , H 64 247 237 216 102	1792 сти механиз H_{R01} , H 406 1597 1686 1787 2074	1945 ма <i>w</i> =1, при <i>R</i> _{02 <i>max</i>} , H 454 1829 1908 1987 2181	1765 этом <i>O</i> ₂ <i>A</i> =0 <i>R</i> _{02 min} , H 73 248 238 217 97	$\begin{array}{c} 3710 \\ 0.4 \text{ M } \omega_{H}\!\!=\!\!10 \\ \hline H_{R02}, \\ \text{H} \\ 381 \\ 1581 \\ 1670 \\ 1770 \\ 2084 \\ \end{array}$	1202 с ⁻¹ , вариаци <i>R_{Атах}</i> , Н 302 1257 1335 1414 1496	1230 IM F _c R _{Amax} , H 133 573 515 315 116	2432 H _{RA} , H 169 684 820 1099 1380
2 3 4 5	F _c , H 0 200 400 600 800 1000 F _c ,	Степені R _{01 мах} , H 470 1844 1923 2003 2176 2429 R _{B мах} ,	113 ь подвижное R _{01 min} , H 64 247 237 216 102 65 R _{B min} ,	1792 ги механиз H_{R01} , H 406 1597 1686 1787 2074 2364 H_{RB} ,	1945 ма <i>w</i> =1, при <i>R</i> _{02 <i>max</i>} , H 454 1829 1908 1987 2181 2436 <i>N</i> _{4 <i>max</i>} ,	1765 $270M O_2A=0$ $R_{02 min}$, H 73 248 238 217 97 78 $N_{4 min}$,	$\begin{array}{c} 3710 \\ 0.4 \text{ M } \omega_{H}\!\!=\!\!10 \\ H_{R02}, \\ H \\ 381 \\ 1581 \\ 1670 \\ 1770 \\ 2084 \\ 2358 \\ H_{N4}, \end{array}$	1202 c^{-1} , вариаци R_{Amax} , H 302 1257 1335 1414 1496 1613 $M_{y max}$,	$\begin{array}{c c} 1230 \\ \hline {\it W} F_c \\ \hline R_{Amax}, \\ {\it H} \\ 133 \\ 573 \\ 515 \\ \hline 315 \\ 116 \\ 85 \\ M_{ymin}, \end{array}$	2432 H _{RA} , H 169 684 820 1099 1380 1528 H _{My} ,
2 3 4 5 6	F _c , H 0 200 400 600 800 1000 F _c , H	Степені R _{01 мах} , H 470 1844 1923 2003 2176 2429 R _{B мах} , H	113 ь подвижное R_{01min} , H 64 247 237 216 102 65 R_{Bmin} , H	1792 сти механиз H_{R01} , H 406 1597 1686 1787 2074 2364 H_{RB} , H	1945 ма <i>w</i> =1, при <i>R</i> _{02 max} , H 454 1829 1908 1987 2181 2436 <i>N</i> _{4 max} , H	1765 $3TOM O_2A=0$ $R_{02 min}$, H 73 248 238 217 97 78 $N_{4 min}$, H	$\begin{array}{c} 3710 \\ 0.4 \text{ M } \omega_{H}\!\!=\!\!10 \\ \hline H_{R02}, \\ \text{H} \\ 381 \\ 1581 \\ 1670 \\ 1770 \\ 2084 \\ 2358 \\ \hline H_{N4}, \\ \text{H} \end{array}$	1202 c^{-1} , вариаци R_{Amax} , H 302 1257 1335 1414 1496 1613 $M_{y max}$, Hm	1230 IM F _c R _{Amax} , H 133 573 515 315 116 85 M _{y min} , Hm -68	2432 H _{RA} , H 169 684 820 1099 1380 1528 H _{My} , Hm
2 3 4 5 6	F _c , H 0 200 400 600 800 1000 F _c , H 0	Степені R _{01 мах} , Н 470 1844 1923 2003 2176 2429 R _{B мах} , Н 211	113 ь подвижное R _{01 min} , H 64 247 237 216 102 65 R _{B min} , H	1792 ти механиз H_{R01} , H 406 1597 1686 1787 2074 2364 H_{RB} , H 159	1945 ма <i>w</i> =1, при <i>R</i> _{02 <i>max</i>} , H 454 1829 1908 1987 2181 2436 <i>N</i> _{4 <i>max</i>} , H	1765 этом <i>O</i> ₂ <i>A</i> =0 <i>R</i> _{02 min} , Н 73 248 238 217 97 78 <i>N</i> _{4 min} , Н -81	$\begin{array}{c} 3710 \\ 0.4 \text{ M } \omega_{H}\!\!=\!\!10 \\ H_{R02}, \\ H \\ 381 \\ 1581 \\ 1670 \\ 1770 \\ 2084 \\ 2358 \\ H_{N4}, \\ H \\ 341 \\ \end{array}$	1202 с ⁻¹ , вариаци <i>R_{Атах}</i> , Н 302 1257 1335 1414 1496 1613 <i>М_{у тах}</i> , Нт 69	1230 IM F _c R _{Amax} , H 133 573 515 315 116 85 M _{y min} , Hm	2432 H _{RA} , H 169 684 820 1099 1380 1528 H _{My} , Hm 137
2 3 4 5 6	F _c , H 0 200 400 600 800 1000 F _c , H 0 200	Степені R _{01 тах} , Н 470 1844 1923 2003 2176 2429 R _{B тах} , Н 211 723	113 ь подвижное R _{01 min} , H 64 247 237 216 102 65 R _{B min} , H 52 118	1792 ти механиз H_{R01} , H 406 1597 1686 1787 2074 2364 H_{RB} , H 159 605	1945 ма w=1, при R _{02 max} , Н 454 1829 1908 1987 2181 2436 N _{4 max} , Н 260 759	1765 этом O ₂ A=0 R _{02 min} , H 73 248 238 217 97 78 N _{4 min} , H -81 579	$\begin{array}{c} 3710 \\ 0.4 \text{ M } \omega_{H}\!\!=\!\!10 \\ H_{R02}, \\ H \\ 381 \\ 1581 \\ 1670 \\ 1770 \\ 2084 \\ 2358 \\ H_{N4}, \\ H \\ 341 \\ 1148 \\ \end{array}$	1202 с ⁻¹ , вариаци <i>R_{Атах}</i> , Н 302 1257 1335 1414 1496 1613 <i>М_{у тах}</i> , Нт 69 265	1230 IM F _c R _{Amax} , H 133 573 515 315 116 85 M _{y min} , Hm -68 283	2432 H _{RA} , H 169 684 820 1099 1380 1528 H _{My} , Hm 137 548
2 3 4 5 6	F _c , H 0 200 400 600 800 1000 F _c , H 0 200 400	Степені R _{01 тах} , Н 470 1844 1923 2003 2176 2429 R _{B тах} , Н 211 723 791	113 ь подвижное R _{01 min} , H 64 247 237 216 102 65 R _{B min} , H 52 118	1792 ти механиз H_{R01} , H 406 1597 1686 1787 2074 2364 H_{RB} , H 159 605 711	1945 ма w=1, при R _{02 max} , Н 454 1829 1908 1987 2181 2436 N _{4 max} , Н 260 759 800	1765 этом O ₂ A=0 R _{02 min} , H 73 248 238 217 97 78 N _{4 min} , H -81 579 620	$\begin{array}{c} 3710 \\ \hline 3710 \\ \hline 0.4 \text{ M } \omega_{H}\!\!=\!\!10 \\ \hline H_{R02}, \\ H \\ \hline 381 \\ \hline 1581 \\ \hline 1670 \\ \hline 1770 \\ \hline 2084 \\ \hline 2358 \\ \hline H_{N4}, \\ H \\ \hline 341 \\ \hline 1148 \\ \hline 1420 \\ \\ \end{array}$	1202 с ⁻¹ , вариаци <i>R_{Атах}</i> , Н 302 1257 1335 1414 1496 1613 <i>М_{у тах}</i> , Нт 69 265 305	1230 IM F _c R _{Amax} , H 133 573 515 315 116 85 M _{y min} , Hm -68 283 322	2432 H _{RA} , H 169 684 820 1099 1380 1528 H _{My} , Hm 137 548 627

Установлено, что при увеличении расстояния от оси сателлита " O_2 " до шарнира "A" размах колебаний реакции в опоре водила увеличивается с 164 до 6746 H; на валу сателлита возрастает с 1393 до 33879 H; величина размаха колебаний между ползуном и направляющим увеличивается с 764 до 19100 H.

При вариации F_c выявлено, что изменения сил технологического сопротивления F_c с 0 до 1000 Н приводит к увеличению размаха колебаний в опоре водила с 406 до 2364 Н, на валу сателлита – с 381 до 2358 Н; величина размаха колебаний между ползуном и направляющим возрастает с 341 до 1668 Н.

На основе проведенных исследований можно сделать следующие основные выводы:

- 1. Составлены уравнения для определения реакции в кинематических парах планетарнорычажного механизма с одной степенью подвижности. Полученные уравнения были реализованы на компьютере в среде Math CAD 15.
- 2. Получены закономерности изменения реакции в кинематических парах, а также уравновешивающих моментов в опоре водила при вариации основных геометрических параметров рассматриваемого механизма. Установлено, что наибольшее влияние на реакции в кинематических парах оказывает расстояние от оси сателлита " O_2 " до шарнира "A".

ЛИТЕРАТУРА

- [1] Фролов К.В. Теория механизмов и машин. Учебник для втузов. М.: Высшая школа, 2017. 496 с.
- [2] Каримов Р.И., Бегимов Н.Н.Моделирование кинематики и кинетостатики цикловых механизмов. Ташкент: ТашГТУ, 2015. 164 с.
- [3] Karimov.R.I., Karimov.K.A., Begimov.N.N. Mexanizm va mashinalar nazariyasi / oʻquv qoʻllanma: Toshkent: «Sano-standart» nashriyoti, 2019. 248 b.

Ташкентский государственный технический университет им. Ислама Каримова

Дата поступления 24.01.2020

Р.И.Каримов, Н.Н.Бегимов, Ш.А.Садуллаев. Эркинлик даражаси бирга тенг бўлган планетар-ричагли механизмни кинетостатик моделлаштириш

Мақолада эркинлик даражаси бирга тенг бўлган планетар-ричагли механизм кинетостатикаси бўйича назарий тадқиқотлар натижалари келтирилган. Кўрилаётган механизм звеноларининг мувозанат тенгламалари тузилган. Маth CAD 15 дастуридан фойдаланиб тузилган тенгламалар компьютерда тадқиқ этилган. Ҳисоб натижалари бўйича механизм кинематик жуфтларидаги реакция кучлари ва етакчи звенодаги мувозанатловчи моментнинг сон қийматлари аниқланган.

R.I. Karimov, N.N. Begimov, Sh.A. Sadullayev. Modeling of kinetostatics of planetary-levering mechanism with one degree of mobility

The article presents the results of theoretical studies on the modeling of kinetostatics of the planetary link mechanism with one degree of mobility. Equations are written that describe the equilibrium conditions of the individual links of the mechanism under study. To implement the obtained equations on a computer, a program was compiled in the environment of Math CAD 15. Based on the calculation results, the numerical values of the reaction in kinematic pairs, as well as the balancing moment at the leading link of the mechanism, were determined.

УДК 624.131

3.Р. ТЕШАБАЕВ

РАЗВИТИЕ МЕТОДА ЦЕНТРОБЕЖНОГО МОДЕЛИРОВАНИЯ В УЗБЕКИСТАНЕ

Внедрение в практику центробежных установок для решения различных научнотехнических задач с применением метода центробежного моделирования впервые предложено в 1932 г. Г.И. Покровским и Н.Н. Давиденковым. Практическое применение центрифуг для центробежного моделирования развито И.С. Федоровым, впервые сконструировавшим центрифугу [1–3]. За период с 1933 по 1966 г. на территории бывшего СССР были построены более 20 крупных центробежных установок различной модификации и с различными эффективными радиусами вращения [4–8].

Создание и строительство этих уникальных центробежных установок способствовали решению важнейших вопросов развития народного хозяйства и широкого его внедрения в практику исследований различных физико-механических процессов в грунтах и сооружений из грунтов. За последние 50 лет в области центробежного моделирования в мире накоплен весьма обширный и разнообразный материал по различным направлениям науки.

Впервые были проведены исследования осадки железнодорожных насыпей, свайных фундаментов; динамических процессов в грунтах; устойчивости земляных плотин с учетом динамических нагрузок; горного давления, напряжения вокруг горной выработки; устойчивости откосов земляных сооружений; устойчивости плотин и гидротехнических сооружений; осадки сооружений; давления грунта на подпорные стенки; напряжений по контуру оболочки туннеля; по изучению действия взрыва и сейсмических колебаний и др.[9-10].

За этот период метод центробежного моделирования завоевал признание и стал практически применяться для исследования процессов, происходящих в земной коре, прочности и устойчивости различных сооружений в ряде стран: США, Великобритании, Франции, Японии, Дании, Швеции и др. Подтверждением этому служат работы П.С. Авинариоса, Р.Н. Бассета, М.Д. Болтона, С.С. Хирда, М. Микаса, П.Л. Тиранта, Х. Рамберга и др. [11–17].

Центробежное моделирование – один из наиболее прогрессивных методов, применение которого особенно эффективно в наиболее сложных условиях, не поддающихся даже приближенному математическому моделированию, а также для проверки результатов расчета и проектирования. Этот метод практически единственный, при котором обеспечивается полное сохранение физической природы изучаемых явлений и процессов и автоматически одновременно осуществляется подобие в пространстве и во времени. В связи с этим отпадает необходимость изучения отдельных свойств материалов, их изменения во времени и проявляется неоценимое преимущество этого метода перед другими.

Проведение натурных экспериментальных исследований по определению параметров взаимодействия подземных сооружений с окружающим грунтом требует больших капитальных затрат и длительного времени. Кроме того, создание идентичных не только динамических, но и статических нагрузок в каждой серии опытов чрезвычайно сложно. Эти трудности при экспериментальных исследованиях можно преодолеть, если перейти к модельным экспериментам, в частности, воспользоваться методом центробежного моделирования.

В 1970-е годы академиком Т.Р.Рашидовым была создана сейсмодинамическая теория подземных сооружений, в которой при выполнении численных результатов было необходимым знание параметров взаимодействия, что требовало проведения различных экспериментальных исследований [18].

В это время по инициативе выдающегося ученого-механика современности члена-корреспондента АН СССР А.А.Ильюшина под руководством академика Т.Р.Рашидова и доктора технических наук профессора Г.Х.Хожметова была сконструирована и создана первая в Средней Азии малая центробежная установка с эффективным радиусом $R_{\rm эф}$ =0.75м. На этой установке были проведены предварительные экспериментальные исследования по изучению параметров взаимодействия подземных сооружений с окружающим грунтом, для различных глубин их заложения и способов укладки при действии статических нагрузок. С увеличением различных задач экспериментального характера, решаемых с применением метода центробежного моделирования, возникла необходимость строительства новой более современной усовершенствованной центробежной установки с эффективным радиусом $R_{\rm эф}$ =1.75м. По своим оптимальным геометрическим характеристикам и технической оснащенности установка была единственной в Средней Азии и одной из лучших центробежных машин в бывшем СССР (рис.1).





Рис. 1. Общий вид центробежной установки (a) и пульта управления с измерительным комплексом (b)

Данная центробежная машина была оснащена ртутным токосъемником, имеющим стабильные характеристики для осуществления надежной связи измерительных датчиков с регистрируемыми аппаратурами. В дальнейшем эта система была усовершенствована, сигналы от датчиков, расположенных в каретках центрифуги на регистрирующие аппаратуры, передавались по радиоволнам по специальной технологии. Имелись также щеточные токосъемники для пропускания напряжений до 300 в каретки для питания электромагнитов.

Главным достоинством по сравнению с сушествующими аналогичными центрифугами данной машины является установка по воспроизведению управляемых динамических воздействий

в каретке центрифуги (рис. 2). Для воспроизведения динамических нагрузок с обеспечением возможности создания управляемых по времени колебательных движений с регулированием амплитуды и частоты колебаний, упрощения конструкции и облегчения размещения исследуемой модели сооружения в каретку была разработана, сконструирована и изготовлена принципиально новая центробежная установка. Это запатентованное изобретение «Центрифуга для испытания моделей сооружений» внедрено в различных научных организациях. За разработку и внедрение данной установки авторам изобретения Т.Р.Рашидову, Г.Х.Хожметову, С.Д.Джурабекову, А.Ю.Юсупову и 3.Р.Тешабаеву были вручены нагрудные знаки «Изобретатель СССР» [19].



Рис. 2. Установка по воспроизведению управляемых динамических воздействий в каретке центрифуги: a — общий вид платформы; δ — засыпанная грунтом в 3.0 см

С введением в строй центробежной установки диапазон проводимых экспериментальных исследований расширился. И для каждой последующей задачи требовалась разработка методики проведения исследований, механических приспособлений, а также датчиков, регистрирующих микроперемещения в поле центробежных сил, превосходящих в 40–50 раз силу притяжения земли. Здесь необходимо отметить огромную работу, проведенную в создании центробежной машины и различных приспособлений, а также в разработке методик проведения экспериментов кандидатов технических наук, старших научных сотрудников С.Джурабекова и А.Юсупова.

За период функционирования центробежной установки с 1977 г. были проведены многочисленные экспериментальные исследования по изучению различных статических и динамических процессов с различными типами грунтов и сооружений. В результате этих исследований полученные научные результаты были опубликованы во многих международных и республиканских научных изданиях, а также докладывались на престижных международных научных конференциях. Получены патенты на изобретения, защищены три докторские и более десяти кандидатских диссертаций.

После демонтажа в 2017 г. центробежная установка по техническим причинам находится в законсервированном состоянии. Введение в строй центробежной установки позволит расширить диапазон проводимых научных исследований и получить оригинальные результаты в области сейсмостойкости сооружений, а также снизить временные и финансовые затраты на проведение экспериментальных работ.

ЛИТЕРАТУРА

- [1] Π о к р о в с к и й Γ . И . , Φ е д о р о в Π . С . Центробежное моделирование в строительном деле. М: Стройиздат, 1968. -247 с.
- [2] Покровский Γ . И., Φ едоров И.С. Центробежное моделирование в горном деле. М.: Недра, 1969. -270с.
- [3] Федоров И.С., Мельник В.Г., Тейтельбаум А.И., Саввина В.А. Теория и практика центробежного моделирования в строительстве. М.: Стройиздат, 1984. 245 с.
- [4] Яковлева Т. Г., Иванов Д. И. Моделирование прочности и устойчивости земляного полотна. М.: Транспорт, 1980.-253 с.
- [5] Алиев Г.А. Устройство для испытания моделей сооружений на динамические нагрузки // Бюл. ГКИиО. М.: 1972. № 7. С.167.
- [6] Чижиков П.Г. Исследование несущей способности свай на центрифуге // Труды ЦНИИС. Трансжелдориздат, 1960.
- [7] Джурабеков С., Тешабаев З.Р., Юсупоа А. Определение температурных перемещений подземного теплопровода с применением центробежного моделирования. Материалы 1У-й Всесоюзной конференции по динамике оснований, фундаментов и подземных сооружений. Ташкент: Фан. 1977. Т.2. С. 41–45.

- [8] Джурабеков С., Тешабаев З.Р., Юсупов А. Распределение давления грунта по контуру тоннелей различных конфигураций // Материалы VI-й Всесоюзной конференции по динамике оснований, фундаментов и подземных сооружений. Л., 1985. С.118–122.
- [9] Яковлева Т.Г. Изучение деформируемости железнодорожных насыпей на торфяных основаниях методом центробежного моделирования // Строительство на торфяных грунтах. Калинин, 1972. С. 45–54.
- [10] Тейтельбаум А.И., Саввина В.А.Исследование деформаций каменно-земляной плотины с ядром на объемных моделях в центробежной машине // Труды Ин-та ВНИИВОДГЕО. Вып. 61. 1977. С. 33–36.
- [11] A v e n a r i u o s P. C., S c h o f i e l d A. H. Drawdown Failures of Centrifuged Models. University of Cambridge, Department of Engineering, Cambridge, England. Proceedings of the 7-th International Conference on Soil Mechanics and Foundation Engineering. Vol. 2. Mexico, 1969. P. 497–505.
- [12] Basset R.N. Centrifugal Model Tests of Embankments on Soft Alluvial Foundations. Proceedings of the 8-th International Conference on Soil Mechanics and Foundation Engineering. Vol. 2.2. Moscow, 1973. P. 23–26.
- [13] Bolton M.D., English R.I., Hird C.C., Schofield A.N. Ground Displacements in Centrifugal Models. Proceedings of the 8-th International Conference on Soil Mechanics and Foundation Engineering. Vol. 1 Moscow, 1973. P. 65–70.
- [14] Hird C.C., Marcland A, Schofield A.N. The Development of Centrifugal Models on the Study the Influence of Uplift Pressures on the Stability of a Flood Bank // Geotechnique. Vol.28. No 1.
- [15] Mikasa M., Takada N., Yamada K. Centrifugal Model Test of a Rock-Pill Dam. Proceeding of the 7-th International Conference on Soil Mechanics and Foundation Engineering. Mexico, 1969. P. 325–333.
- [16] Tirant P.L., Luong M.P., Habib P., Gary G. Simulation on Centrifugense de Foundation Marines. Proceeding of the 9-th International Conference on Soil Mechanics and Foundation Engineering, Tokyo, 1977. P. 277–280.
- [17] Рамберг X. Моделирование деформаций земной коры с применением центрифуги / Пер. с анг. М.: Мир, 1970. 223 с.
- [18] Рашидов Т.Р. Динамическая теория сложных систем подземных сооружений. Ташкент: Фан, 1973. –179 с.
- [19] А.с. № 872999 (СССР). Центрифуга для испытания моделей сооружений. Авторы: Рашидов Т., Джурабеков С., Хожметов Г.Х., Тешабаев З.Р., Юсупов А. Опубл. БИ. 1981. № 38.

Институт механики и сейсмостойкости сооружений им. М.Т. Уразбаева АН РУз

Дата поступления 06.02.2020

3.Р.Тешабоев. Ўзбекистонда марказдан қочма усулда моделлаштиришнинг ривожланиши

Мақолада марказдан қочма қурилма – центрифугаларнинг яратилиши тарихи ва улардан фаннинг турли соҳаларида қандай фойдаланилаётгани ту́грисидаги маълумотлар келтирилган. Асосий мақсад шу қурилмалардан зилзилабардошлик муаммоларини ҳал этишда фойдаланишнинг самарадорлиги асослаб берилган.

Z.R. Teshabaev. The development of the centrifugal installation in Uzbekistan

In the article was given information about the history of the using of centrifugal installation in the various branches of the science and the development of research methods. The main goal of the work is to substantiate the effectiveness of using this method to solve the problems of the earthquake resistance of the structures.

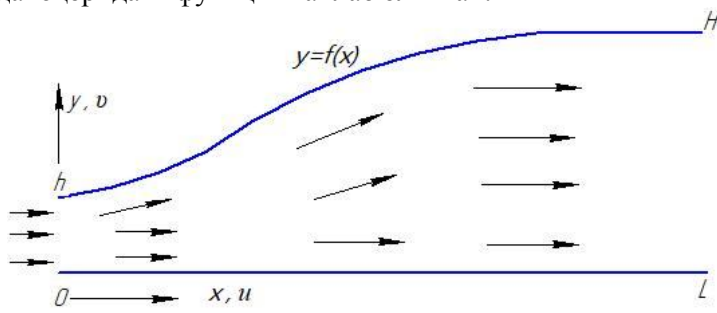
УЎК 532.532.542+533.6.011.32+004.021

Ф.Х НАЗАРОВ

СИҚИЛМАЙДИГАН ЁПИШҚОҚ СУЮҚЛИКНИНГ ЭГРИ ДЕВОРЛИ ҚУВУРЛАРДАГИ ХАРАКАТИ

Техника ва технологияларнинг кўпчилик сохаларида газ ёки суюкликларнинг окимларидан кенг фойдаланилади. Мисол сифатида майда махсулотларни пневмотранспорт усулида ташиш, махсулотларни қуритиш, саноат газларини ифлосликлардан тозалаш, суюқ махсулотларни кувурлар орқали узатиш ва бошка жараёнларни келтириш мумкин. Ушбу жараёнларни ўрганиш учун газ ва суюкликларнинг харакат тенгламаларини ўрганиш мухим ахамиятга эга. Суюклик ва газлар харакати Наве-Стокс тенгламалари орқали аниқланади [1] ва бу тенгламалар математик нуқтаи назардан мураккабдир. Чунки, Навье-Стокс тенгламалари чизиқсиз ва хусусий хосилали тенгламалар системасидан иборат булиб, уларнинг аналитик ечимлари факат содда холлар учун олинган. Техника ва технологияларда ишлатиладиган окимларда мураккаб жараёнлар содир бўлади. Шунинг учун окимнинг харакат тенгламаларини аналитик кўринишдаги ечимини олишнинг имкони йўк. Хозирги замонда мураккаб бўлган математик тенгламаларнинг сонли ечимларини олиш учун ЭХМдан фойдаланилади. Бунинг учун махсус математик алгоритмлардан фойдаланиб, хисоблаш дастури тузилади. Ушбу масалани қуйилишидан асосий мақсад [2-3] масалаларда марказдан қочма күч туфайли чанг зарралари деворга йиғилиб, сўнгра ташқарига чиқариб ташланар эди. Баъзи бир чанг тутгичлар аксинча ҳавони ускуна деворига йўналтириб, чанг зарраларини эса марказга йиғади сўнгра ташқарига чиқарилиб ташланади. Бу принципда

ишлайдиган ускунанинг схемаси 1-расмда келтирилган. Бундай масалалар кувурнинг h баландликка эга кисмидан H баландликка эга иккинчи кисмига ўтишида кузатилади. Шунингдек OL ораликда босим градентининг керакли кийматини ташкил этишда хам айнан шундай масалага келамиз ва бунда берилган p(x) (ёки $\partial p/\partial x$) конуниятга кўра, соха чегараси f(x) ни топиш такозо этилади. Бунда $f(x)=1+(x^2/1+x^2)$ га тенг. Бу функцияни танлаб олиш 1-расмдаги эгри сиртга боғлик. Агар x=0 да киришдаги шарт яъни, y=1 ва $x\to\infty$ да чикишдаги y=2 шарт келиб чикади. Шу шартларни эътиборга олган холда юкоридаги функция танлаб олинган.



1-расм. Оқимнинг схематик кўриниши

Аммо бу ускуналарда ҳаво оқимини узилиши кузатилади. Гидродинамика асосларидан маълумки, оқимнинг узилиши унинг қовушқоқлик ҳусусияти билан узлуксиз боғлиқдир. Шунинг учун ушбу ускуналардаги оқимларни моделлаштиришда Эйлер тенгламалари билан эмас қовушқоқликни ҳисобга оладиган Навье-Стокс тенгламаларидан фойдаланиш мақсадга мувофикдир. Сиқилмайдиган суюқликнинг икки ўлчамли кувурлардаги стационар ҳаракати ва узлуксизлик тенгламаларини қуйидаги кўринишда ҳабул қиламиз [1]:

$$\begin{cases}
\frac{\partial u}{\partial x} + \frac{\partial \theta}{\partial y} = 0, \\
\frac{\partial u}{\partial t} + u \frac{\partial u}{\partial x} + \theta \frac{\partial u}{\partial y} + \frac{1}{\rho} \frac{\partial p}{\partial x} = v \left(\frac{\partial^2 u}{\partial x^2} + \frac{\partial^2 u}{\partial y^2} \right), \\
\frac{\partial \theta}{\partial t} + u \frac{\partial \theta}{\partial x} + \theta \frac{\partial \theta}{\partial y} + \frac{1}{\rho} \frac{\partial p}{\partial y} = v \left(\frac{\partial^2 \theta}{\partial x^2} + \frac{\partial^2 \theta}{\partial y^2} \right).
\end{cases} \tag{1}$$

Киришда (x=0 да) бир жинсли u_0 тезлик майдони берилди. Чиқишда (x=L да) тезликларнинг силлиқ ўтиши

$$\frac{\partial^2 u}{\partial x^2} = 0, \qquad \frac{\partial^2 9}{\partial x^2} = 0$$

шартларидан фойдаланилди.

Каттик чегарада ёпишкоклик туфайли суюклик тезлиги нолга тенг деб олинади:

$$u\Big|_{y=0, y=f(x)} = 0,$$
 $\mathcal{G}\Big|_{y=0, y=f(x)} = 0.$

Масалани сонли ечиш усули. Киришдаги тезлик u_0 ва кириш қалинлиги h га нисбатан тенгламаларни ўлчовсиз катталикларда ёзиб оламиз:

$$\begin{cases}
\frac{\partial \overline{u}}{\partial \overline{x}} + \frac{\partial \overline{g}}{\partial \overline{y}} = 0, \\
\frac{\partial \overline{u}}{\partial \overline{t}} + \overline{u} \frac{\partial \overline{u}}{\partial \overline{x}} + \overline{g} \frac{\partial \overline{u}}{\partial \overline{y}} = -\frac{\partial \overline{p}}{\partial \overline{x}} + \frac{1}{Re} \left(\frac{\partial^2 \overline{u}}{\partial \overline{x}^2} + \frac{\partial^2 \overline{u}}{\partial \overline{y}^2} \right), \\
\overline{u} \frac{\partial \overline{g}}{\partial \overline{t}} + \frac{\partial \overline{g}}{\partial \overline{x}} + \overline{g} \frac{\partial \overline{g}}{\partial \overline{y}} = \frac{\partial \overline{p}}{\partial \overline{y}} + \frac{1}{Re} \left(\frac{\partial^2 \overline{g}}{\partial \overline{x}^2} + \frac{\partial^2 \overline{g}}{\partial \overline{y}^2} \right).
\end{cases} (2)$$

Бу ерда $p = \overline{p}\rho u_0^2$, $Re = \frac{hu_0}{v}$, $\overline{u} = \frac{\partial \psi}{\partial \overline{y}}$, $\overline{\mathcal{G}} = -\frac{\partial \psi}{\partial \overline{x}}$ муносабатлар орқали оқим чизиғи

функцияси $\psi(x, y)$ ни ва

$$\zeta = \frac{\partial \overline{u}}{\partial \overline{y}} - \frac{\partial \overline{\vartheta}}{\partial \overline{x}}$$

боғланиш билан ифодаланувчи оқим уюрмасини киритамиз.

Бундай алмаштиришлар ёрдамида (2) тенгламалар системасида босим қатнашган ҳадлар йўқотилади ва уюрмага нисбатан параболик, оқим чизиғи функциясига нисбатан эллиптик тенгламага келамиз (бундан кейин ўлчовсиз катталикларни ифодаловчи устки чизиқчани ташлаб юборамиз):

$$\begin{cases}
\frac{\partial \zeta}{\partial t} + u \frac{\partial \zeta}{\partial x} + 9 \frac{\partial \zeta}{\partial y} = \frac{1}{\text{Re}} \left(\frac{\partial^2 \zeta}{\partial x^2} + \frac{\partial^2 \zeta}{\partial y^2} \right), \\
\frac{\partial^2 \psi}{\partial x^2} + \frac{\partial^2 \psi}{\partial y^2} = \zeta.
\end{cases}$$
(3)

Ушбу номаълумларга нисбатан шартлар куйидагича бўлади. Оқим чизиғи функцияси учун ўкда шарт ψ =0, киришда – ψ = yu_0 , силлиқ деворда – ψ (x,f(x))= u_0 , чикишда – $\frac{\partial^2 \psi}{\partial v^2}$ = 0.

Ўкда ва киришда уюрма учун шарт ζ =0, силлиқ деворда — $\zeta_{i,j-1} = \frac{2(\psi_{i,j-1} - \psi_{i,j})}{\Delta y^2}$, чиқишда — $\frac{\partial^2 \zeta}{\partial y^2} = 0$.

Хисоб сохасида регуляр (бирлик) чегараларга ўтиш учун янги координаталарга ўтамиз [5, 6].

$$\xi = \frac{x}{L}, \quad \eta = \frac{y}{f(x)}.$$

Бунда y=f(x) функциянинг графиги етарли даражада силлиқ деб қабул қиламиз. Унда тенгламаларнинг (3) системаси қуйидагича ёзилади:

$$\begin{cases}
\frac{\partial \zeta}{\partial t} + \frac{u}{L} \frac{\partial \zeta}{\partial \xi} + A \frac{\partial \zeta}{\partial \eta} - \frac{1}{\text{Re}} \left(\frac{1}{L^2} \frac{\partial^2 \zeta}{\partial \xi^2} - B \frac{\partial^2 \zeta}{\partial \xi \partial \eta} + C \frac{\partial^2 \zeta}{\partial \eta^2} \right) = 0, \\
-A \frac{\partial \psi}{\partial \eta} + A_1 \frac{\partial^2 \psi}{\partial \xi^2} - B \frac{\partial^2 \psi}{\partial \xi \partial \eta} + C \frac{\partial^2 \psi}{\partial \eta^2} - \zeta = 0.
\end{cases} \tag{4}$$

Бу ерда $A = \frac{uyf'(x)}{f^2(x)} - \frac{9}{f(x)} + y\frac{(f''(x)f(x) - 2f'^2(x))}{f^3(x)}, A_1 = \frac{1}{L^2}, B = \frac{2yf'(x)}{Lf^2(x)},$

$$C = \left[\left(\frac{yf'(x)}{f(x)} \right)^2 + 1 \right] \frac{1}{f^2(x)}.$$

Мос чегаравий шартлар қуйидагича бўлади:

$$\xi = 0$$
 да: $\psi(0,\eta) = \eta$, $\zeta(0,\eta) = 0$;
 $\xi = 1$ да: $\psi = 1$, $\zeta = 0$;
 $\eta = 0$ да: $\psi = 0$, $\zeta = 0$;
 $\eta = 1$ да: $\zeta_{i,J} = 2\left(\frac{1 + f^{(2)}(x)}{f^{(2)}(x)}\right)\left(\frac{\psi_{i,J} - \psi_{i,J-1}}{(f(x)\Delta n)^2}\right)$.

Бу ерда $J=\frac{1}{\Delta\eta},\ \Delta\xi,\Delta\eta-$ янги координаталар учун қадамлар.

Масаланинг бошланғич шартлари қуйидагича танланади:

$$\zeta^{0}(\xi,\eta)=0, \qquad \psi^{0}(\xi,\eta)=\eta.$$

Ушбу қийматлар $\xi = \Delta \xi$ кесим учун нолинчи яқинлашувни ташкил этади. ξ нинг k+1 – қадам учун эса нолинчи яқинлашув учун k – кесимнинг ψ ва ζ учун олинган қийматлардан фойдаланилди. k+1 – қадамда берилган нолинчи яқинлашувларга кўра дастлаб оқим чизиғи функцияси учун қуйидагича апроксимациядан фойдаланамиз [4]:

$$-A\frac{\psi_{i,j+1}^{k} - \psi_{i,j-1}^{k}}{2\Delta\eta} + A1\frac{\psi_{i+1,j}^{k} - 2\psi_{i,j}^{k+1} + \psi_{i-1,j}^{k}}{(\Delta\xi)^{2}} - B\frac{\psi_{i+1,j+1}^{k} - \psi_{i-1,j+1}^{k} + \psi_{i+1,j-1}^{k} - \psi_{i-1,j-1}^{k}}{4\Delta\xi\Delta\eta} + C\frac{\psi_{i,j+1}^{k} - 2\psi_{i,j}^{k+1} + \psi_{i,j-1}^{k}}{(\Delta\eta)^{2}} = \zeta.$$

Бундан $\psi_{i,j}^{k+1}$ топиб олинади

$$\psi_{i,j}^{k+1} = \frac{\left(\Delta \xi \Delta \eta\right)^{2}}{2\left(A_{1} \cdot \Delta \eta^{2} + C \cdot \Delta \xi^{2}\right)} \left(A \frac{\psi_{i,j+1}^{k} - \psi_{i,j-1}^{k}}{2\Delta \eta} - B \frac{\psi_{i+1,j+1}^{k} - \psi_{i-1,j+1}^{k} + \psi_{i+1,j-1}^{k} - \psi_{i-1,j-1}^{k}}{4\Delta \xi \Delta \eta} + A_{1} \frac{\psi_{i+1,j}^{k} + \psi_{i-1,j}^{k}}{\left(\Delta \xi\right)^{2}} + C \frac{\psi_{i,j+1}^{k} + \psi_{i,j-1}^{k}}{\left(\Delta \eta\right)^{2}} - \zeta\right).$$
(5)

ва тезлик векторининг ташкил этувчилари хисобланади

$$u_{i,j}^{k} = \frac{\psi_{i,j+1}^{k} - \psi_{i,j-1}^{k}}{2f(x)\Delta\eta}, \ \theta_{i,j}^{k} = -\frac{\psi_{i+1,j}^{k} - \psi_{i-1,j}^{k}}{2L\Delta\xi} + yf'(x)\frac{\psi_{i,j+1}^{k} - \psi_{i,j-1}^{k}}{2f^{2}(x)\Delta\eta}.$$

Олинган тезликлар учун оқим уюрмасининг сақланиш тенгламасига Мак-Кормакнинг икки босқичли схемасини қуллаймиз [5-7]:

предиктор -

$$\widetilde{\zeta}_{i,j}^{n+1} = \zeta_{i,j}^{n} - \frac{u\Delta t}{L} \frac{\zeta_{i+1,j}^{n} - \zeta_{i,j}^{n}}{\Delta \xi} - A\Delta t \frac{\zeta_{i,j+1}^{n} - \zeta_{i,j}^{n}}{\Delta \eta} + \frac{\Delta t}{Re} \left(\frac{\zeta_{i+1,j}^{n} - 2\zeta_{i,j}^{n} + \zeta_{i-1,j}^{n}}{(L\Delta \xi)^{2}} - B \frac{\zeta_{i+1,j+1}^{n} - \zeta_{i+1,j}^{n} - \zeta_{i,j+1}^{n} + \zeta_{i,j}^{n}}{\Delta \xi \Delta \mu} + C \frac{\zeta_{i,j+1}^{n} - 2\zeta_{i,j}^{n} + \zeta_{i,j-1}^{n}}{(\Delta \eta)^{2}} \right),$$
(6)

корректор -

$$\zeta_{i,j}^{n+1} = 0.5 \left(\zeta_{i,j}^{n} + \widetilde{\zeta}_{i,j}^{n+1} - \frac{u\Delta t}{L} \frac{\zeta_{i,j}^{n+1} - \zeta_{i-1,j}^{n+1}}{\Delta \xi} + A\Delta t \frac{\zeta_{i,j}^{n+1} - \zeta_{i,j-1}^{n+1}}{\Delta \eta} + \frac{\Delta t}{Re} \left(\frac{\zeta_{i+1,j}^{n+1} - 2\zeta_{i,j}^{n+1} + \zeta_{i-1,j}^{n+1}}{(L\Delta \xi)^{2}} + C \frac{\zeta_{i,j+1}^{n+1} - 2\zeta_{i,j}^{n+1} + \zeta_{i,j-1}^{n+1}}{(\Delta \eta)^{2}} - B \frac{\zeta_{i,j}^{n+1} - \zeta_{i,j-1}^{n+1} - \zeta_{i-1,j}^{n+1} + \zeta_{i-1,j-1}^{n+1}}{\Delta \xi \Delta \mu} \right) \right).$$
(7)

 $\zeta_{i,j}^{n+1}$ нинг охирги икки яқинлашуви орасидаги фарқлар (i,j) тўр учун хисобланади ва унинг максимал қиймати учун

$$\max_{i,j} \left| \left(\zeta_{i,j}^{n+1} \right)^k - \left(\zeta_{i,j}^{n+1} \right)^{k+1} \right| < \varepsilon$$

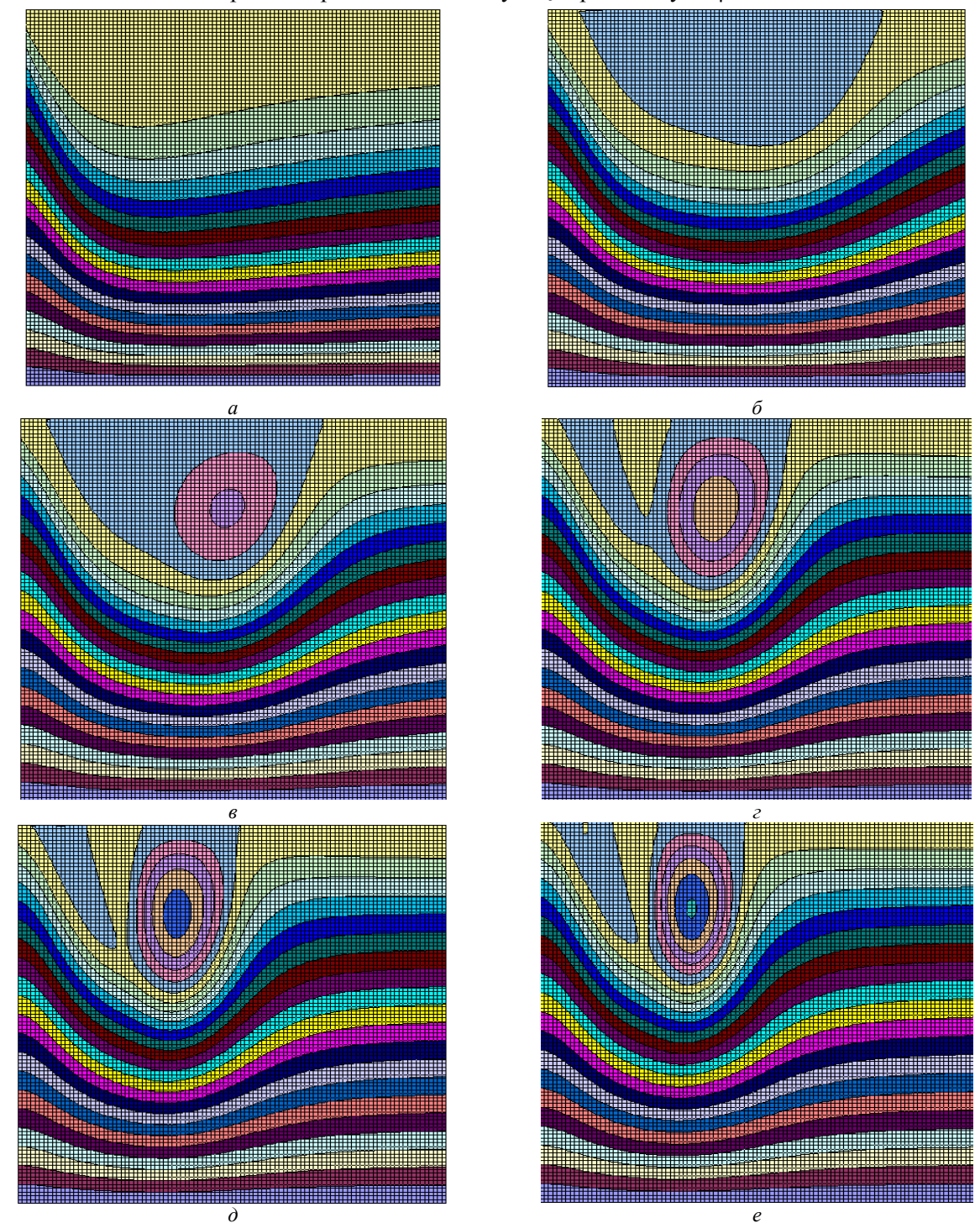
шартнинг бажарилиши текширилади [8]. Шарт бажарилмаганида (5) ифода ζ янги $\left(\zeta_{i,j}^{n+1}\right)^k$ га алмаштирилади ва $\psi_{i,j}^{k+1}$ нинг навбатдаги кийматлари топилади. Улар оркали $u_{i,j}^k$, $\vartheta_{i,j}^k$ ларнинг кийматлари хисобланиб, предиктор, корректор боскичлари асосида уюрма хисобланади. Текширувлар амалга оширилади ва хоказо.

Итерация жараёни ε бўйича шарт бажарилгунга қадар давом эттирилади ва ундан кейингина ξ нинг кейинги қадамига ўтиш мумкин.

Лозим бўлган холларда φ , u, ϑ майдонлари асосида гидростатик босим p(x, y) ни хам аниклаш мумкин.

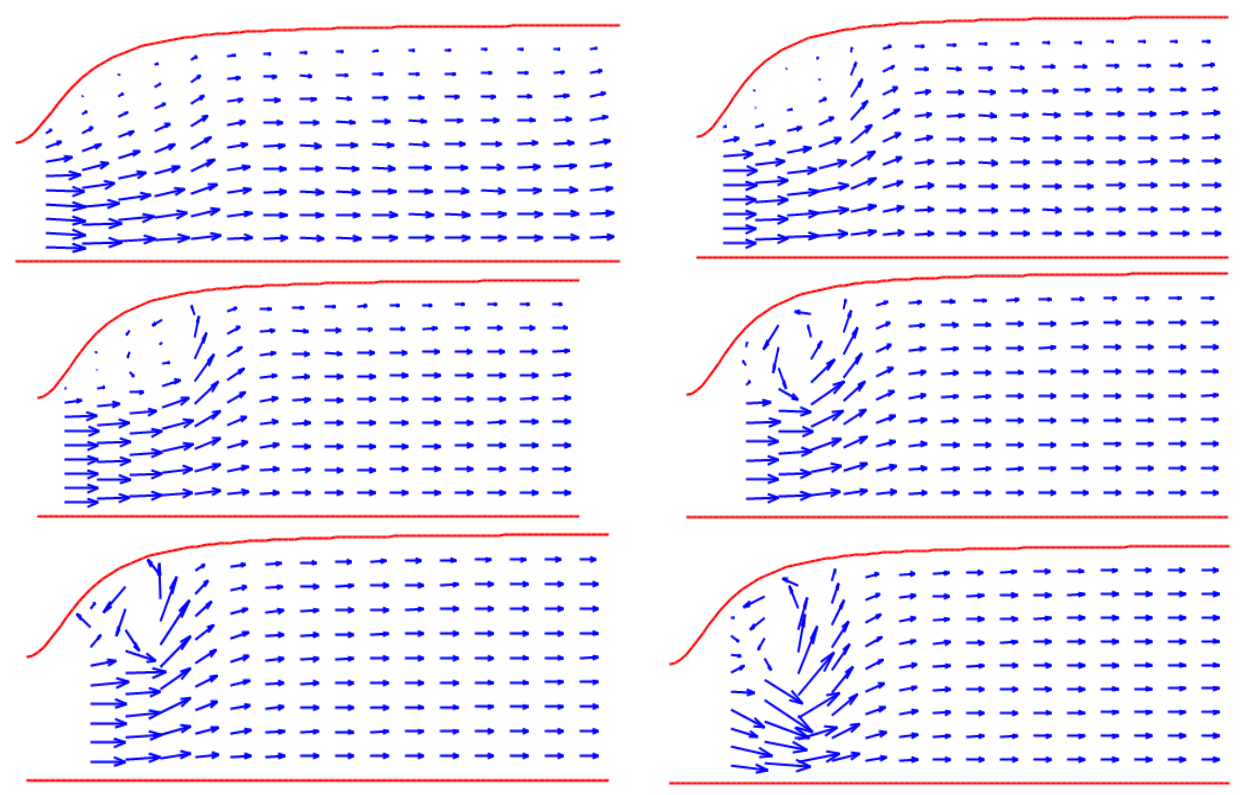
Натижалар тахлили. Ушбу алгоритм асосида хисоблаш дастури тузилиб, ЭХМ да $f(x) = 1 + \frac{x^2}{1 + x^2}$ холи учун натижалар олинди.

2-расмда Рейнольдс сонлари 20, 100, 200, 500, 1000 ва 2000 қийматлари учун бўлганда оқим чизиғи изолиниялари келтирилган. Абцисса ўқи ξ , ордината ўки η га мос келади.



2-расм. Рейнольдс сони 20 (а), 100 (б), 200 (в), 500 (г), 1000(д) ва 2000 (е) га тенг бўлганда оким чизиғи функциясининг координаталардаги изолиниялар

2— ва 3—расмлардан кўриниб турибдики, Рейнольдс сони ортиши билан уюрма ҳосил бўлади. Уюрма ҳисобидан турбулент оқим пайдо бўлади. Рейнольдс сони 2000 дан ошгандан оқим турбулент режимга ўтади. Бундай ҳолда Эйлер тенгламаларидан эмас, турбулентликни ҳисобга оладиган Навье-Стокс тенгламаларидан фойдаланиш мақсадга мувофикдир.



3 – расм. Заррача тезликларининг йўналишлари

Хулоса. Ушбу мақолада сиқилмайдиган ёпишқоқ суюқликнинг эгри чизикли қувурлардаги оқими Навье-Стокс тенгламалари асосида моделлаштирилди ва масала шакллантирилиб, уни ечиш учун сонли алгоритм ва дастур яратилди. Ушбу услубда муайян эгри сирт учун Рейнольдс сонининг турли қийматларида заррача тезликларининг йўналишлари турлича эканлиги, ҳамда оқим чизиғи изолинияларида уюрмалар ҳосил бўлиши кўрсатилган. Аэрогидродинамиканинг мураккаб масалаларини сонли ечишда ушбу услубдан фойдаланса мақсадга мувофиқ бўлади.

АДАБИЁТЛАР

- [1] Лойцянский Л.Г. Механика жидкости и газа. М.: Наука, 1987.–678 с.
- [2] Маликов З.М., Назаров Ф.Х. Математическое моделирование и численное исследование переноса твердых частиц в воздушном классификаторе // Проблемы вычислительной и прикладной математики. Ташкент 2017 г №5 Стр. 42–49.
- [3] Маликов 3. М, Назаров Ф. Х. Машина пахта терими жараёнида ифлосликлардан тозалаш усули ва унинг тадкикоти // Проблемы вычислительной и прикладной математики. Ташкент 2016 г №4 стр. 42–47.
- [4] Самарский А.А. Теория разностных схем. М.: Наука, 1983.–656с.
- [5] Андерсон Д., Тоннехилл Дж., Плетчер Р. Вычислительная гидромеханика и теплообмен. М.: Мир, 1990, Т.1 с. 382.
- [6] Андерсон Д., Таннехилл Дж., Плетчер Р. Вычислительная гидромеханика и теплообмен. М.: Мир 1990. Т 2 -191с.
- [7] Пасконов В.М., Полежаев В.И., Чудов Л.А. Численное моделирование процессов тепло- и массообмена. М.: Наука, 1984. 288 с.
- [8] Патанкар С. Численные методы решения задач теплообмена и динамики жидкости. М.: Наука, 1984. 152 с.

ЎзР ФА М.Т. Ўрозбоев номидаги Механика ва иншоотлар сейсмик мустаҳкамлиги институти

08.01.2020 қабул қилинган

Ф.К.Назаров. Поведение несжимаемой вязкой жидкости в изогнутых трубках

Данная статье предлагается численное решение для исследования динамики сжимаемой вязкой жидкости в изогнутых трубах. Для упрощения уравнения вводится функция линии тока. Завихренность и ограничения, связанные с давлением, теряются. Система уравнений формируется относительно функции тока и завихренности. Поскольку схема расчета состоит из изогнутой линии, она преобразуется в правильную прямоугольную форму. Для численного решения полученных уравнений используются явная схема Мак-Кормака и итерационный метод релаксации. Предложенная в работе методика для численного расчета потоков может быть успешно использована и для исследования более сложных течений

F.K.Nazarov. Incompressible viscous fluid behavior in curved tubes

This article offers a numerical solution for studying the dynamics of a compressible viscous fluid in bent pipes. To simplify the equations, a streamline function is introduced and pressure constraints are lost. A system of equations is formed with respect to the function and curvature of the flow line. Since the calculation scheme consists of a curved line, it is converted to the correct rectangular shape. For the numerical solution of the equations obtained, an explicit Mok-Cormack scheme and an iterative relaxation method are used. The technique proposed in this work for the numerical calculation of flows can be successfully used to study more complex flows.

УДК 624.01

Х.С. САГДИЕВ, А.С. ЮВМИТОВ, З.Р. ТЕШАБОЕВ, В.А. ГАЛИАСКАРОВ, Х.О. ШЕРНИЁЗОВ, Б.Н. МИРЗАКАБИЛОВ

РАСЧЕТ ЗДАНИЙ ОБЩЕОБРАЗОВАТЕЛЬНЫХ ШКОЛ НА СЕЙСМИЧЕСКИЕ ВОЗДЕЙСТВИЯ И РЕКОМЕНДАЦИИ ПО ОБЕСПЕЧЕНИЮ ИХ БЕЗОПАСНОЙ ЭКСПЛУАТАЦИИ

Введение. В научно-технических отчетах и опубликованных статьях [1–4] приведены общая информация и результаты предварительного анализа по зданиям общеобразовательных школ г. Ташкента и г. Андижана. Выборочно проведены предварительные обследования зданий общеобразовательных школ №50, №54, №142, №187, №223 и №256 г. Ташкента и зданий школ №12, №14, №40, №43 и №44 г. Андижана, построенные в соответствии со строительными нормами [5–11], действовавшими в период их строительства, а также без антисейсмических мероприятий. Проведена общая оценка технического состояния строительных конструкций зданий выбранных школ с учетом деформированности, повреждений и физического износа строительных конструкций. Определены объемно-планировочные и конструктивные решения зданий и соответствия их фактических параметров требованиям действующих нормативных документов по сейсмостойкому строительству.

В статье приведены результаты поверочных расчетов выбранных зданий школ, сопоставление расчетных и инструментальных данных и рекомендации по надёжной эксплуатации зданий общеобразовательных школ при сейсмических воздействиях. Расчеты проведены с использованием результатов предварительных обмерно-обследовательских исследований и инструментальных данных, полученных на предыдущем этапе [1, 2] выполнения научного проекта «ФА-Атех-2018-(23+65) — Оценка сейсмостойкости зданий школьных и дошкольных учреждений, построенных в соответствии с требованиями действовавших нормативных документов в период их строительства, и разработка методов расчета сейсмостойкости с учетом их пространственных моделей и комплексной сейсмозащиты». Как показали результаты предыдущего этапа проекта, школьные здания имеют различные конструктивные решения в зависимости от их периода строительства в соответствии со строительными нормами и правилами тех времен. В качестве примера для проведения поверочных расчетов на сейсмостойкость были выбраны школы №54 и №187 в г. Ташкенте и школы №14 и №40 в г. Андижане.

Поверочные расчеты зданий школ №54 и №187

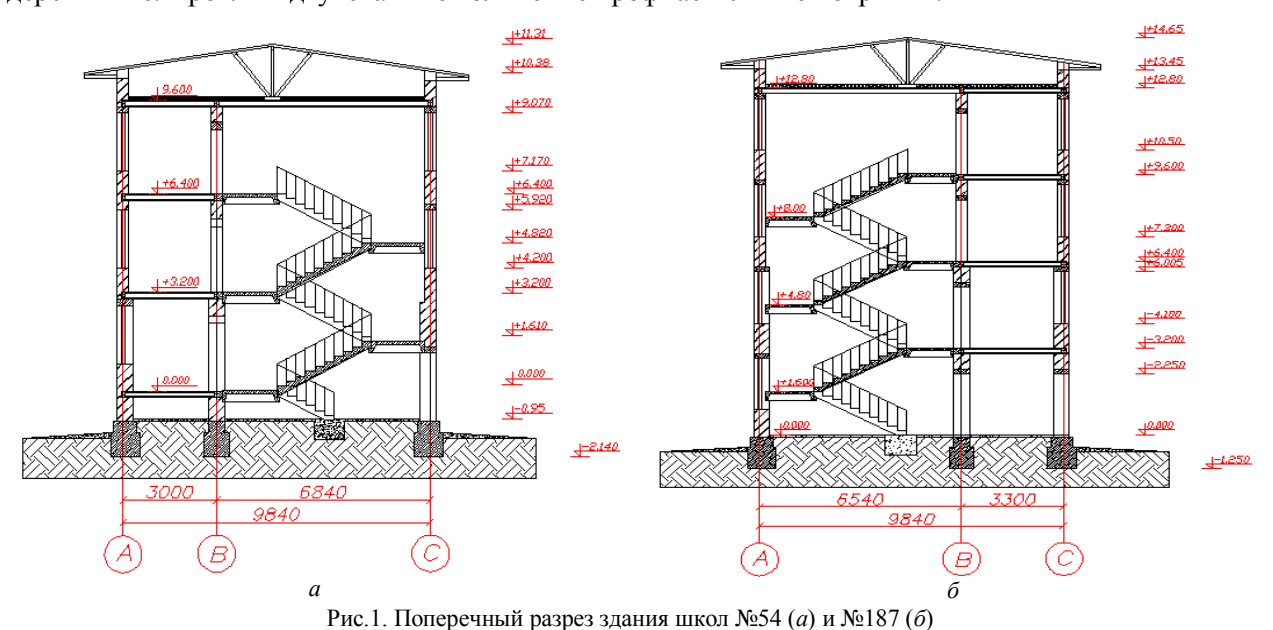
1. Общие данные

- 1. Наименование учреждений: общеобразовательные школы №54 и №187.
- 2. Место размещения учреждений: городок Мирзо Улугбека; массив Ялангач Мирзо Улугбекского района г. Ташкента.
- 3. Поверочный расчет зданий проводился в соответствии с требованиями норм, рекомендаций и пособий [11–31].
 - 4. Проектные материалы зданий школ не имеются.
 - 5. Год ввода в эксплуатацию: ориентировочно в 1957 и 1965 гг. соответственно.
- 6. Конструктивная система зданий: жесткая бескаркасная с продольными и поперечными кирпичными стенами. Несущими конструкциями зданий в учебных блоках являются три продольные кирпичные стены. Здания учебных блоков не имеют выступы в плане и перепады по высоте зданий в целом и в антисейсмических швах.

Здание учебного блока школы №54 состоит из трех этажей без подвала (рис.1,*a*). Блок в плане имеет прямоугольную форму размерами 9.5×62.5 м. Блок разделен на два отсека с помощью

антисейсмического шва. Длина отсеков здания составляет 39.4 и 22.8 м. Высота этажей от пола до потолка — 3.2 м. Стены из полнотелого жженого кирпича $250 \times 120 \times 65$ мм на цементно-песчаном растворе. Толщина продольных стен на первом этаже — 0.51 м, а на втором и третьем — 0.38 м. Толщина поперечных стен на первом этаже — 0.51 м, а на втором и третьем — 0.38 м. Шаг поперечных стен: 3; 6; 8.4; 11.4 и 16.7 м. Пролет продольных стен состоит из ширины коридора и учебных комнат: 3.0×6.5 м. Перегородки состоят из кирпичных кладок толщиной 0.12 м. Ширина простенков — 1.0 м. Ширина и высота оконных и дверных проемов — соответственно: 1.8×1.9 и 0.9×2.8 м. Высота от пола до подоконника — 0.8 м. Перекрытие - железобетонные многопустотные плиты с размерами 1×3 и 1×6.3 м. Две лестничные клетки устроены двухмаршевым сборным опиранием на продольные и поперечные стены в конце и середине блока. Размеры лестничных клеток — 2.8×6.8 м. Полы — деревянные в классах и в коридоре, керамические плитки в санузлах. Крыша — чердачная. Несущие конструкции кровли (стропила и обрешетка) — деревянные. Кровля — двухскатные волнистые шиферные покрытия.

Здание учебного блока школы №187 состоит из четырех этажей без подвала (рис.1,б). Блок в плане прямоугольной формы размером 9.84×77 м. Блок разделен на два отсека с помощью антисейсмического шва. Длина отсеков здания – 37 и 40 м. Высота этажей от пола до потолка – 3 м. Стены из полнотелого жженого кирпича 250×120×65 мм на цементно-песчаном растворе. Толщина продольных стен на первом и втором этажах -0.51 м, на третьем и четвертом этажах -0.38 м. Толщина поперечных несущих стен во всех этажах – 0.51 м. Шаг поперечных стен: 3 м; 5.5 м; 8.6 м; 11.3 м; 14.1 м. Поперечные стены соединяют три несущих продольных стены. В коридоре несущие продольные стены соединены с помощью железобетонной рамы в продолжении поперечной стены. Пролет продольных стен состоит из ширины коридора и учебных комнат: 3.3×6.5м. Перегородки состоят из кирпичных кладок толщиной 0.12 м. Ширина простенков – 0.95 м. Ширина и высота оконных и дверных проемов – соответственно: 1.8×1.9 и 0.9×2.2 м. Высота от пола до подоконника – 0.8 м. Перекрытие – железобетонные многопустотные плиты с размерами: 1.2×3.2 м; 1.2×6.3 м. В блоке расположены две лестничные клетки в середине и в конце блока. Размеры лестничных клеток: 2.8×6.6 м. Полы – деревянные в классах и в коридоре, керамические плитки в санузлах. Крыша - чердачная. Несущие конструкции кровли (стропила и обрешетка) деревянные. Кровля – двухскатные волнистые профнастильные покрытия.



- 7. Характеристика района строительства:
- 7.1. Сейсмичность региона и строительной площадки 8 баллов [12, Прил. 2].
- 7.2. Нормативная снеговая нагрузка: $I paйон s0 = 0.50 \text{ кПа } (50 \text{ кгс/м}^2) [12, Прил. 5].$
- 7.3. Нормативный скоростной напор ветра: I район Wo=0.38 кПа (38 кгс/м²) [12, Прил. 5], тип местности В.
 - 8. Характеристики зданий по нормативному документу:

- 8.1. Класс ответственности здания І (первый).
- 8.2. Коэффициент надежности по назначению: уп=0.95 [12, Прил. 7].
- 8.3. Категория ответственности здания ІІ (вторая).
- 8.4. Коэффициент ответственности Ко= 1.2 [12, табл. 2.3].
- 8.5. Грунты основания лёссовидные суглинки. Категория грунтов по сейсмическим свойствам II (вторая).

Расчет здания школы проведен с помощью программного комплекса ЛИРА 9.6. Расчетные схемы отсеков блока приняты как пространственная схема с соответствующими конечными элементами. Исходные показатели здания по нормативному документу КМК 2.01.03-96 приведены в табл. 1.

Исходные показатели здания школы №187

Таблица 1

$N_{\underline{0}}$	Наименование расчетных показателей	Коэффициент
1	Количество учитываемых форм колебаний	10
2	Матрица масс	Диагональная
3	Поправочный коэффициент для сейсмических сил	1.0
4	Коэффициент ответственности сооружения (КМК 2.01.03-96, табл. 2.3)	1.2
5	Коэффициент учета повторяемости землетрясений (КМК 2.01.03-96, табл.2.4)	1.0
6	Коэффициент этажности сооружения (КМК 2.01.03-96, табл.2.10)	1.0
7	Коэффициент регулярности, п.2.25 (КМК 2.01.03-96, табл. 2.12)	1.0
8	Коэффициент сейсмичности площадки (КМК 2.01.03-96, табл. 2.7)	0.5
9	Индекс региона (КМК 2.01.03-96, табл. 2.2)	П
10	Категория грунта (КМК 2.01.03-96, табл.1.1)	II
11	Декремент колебания (КМК 2.01.03-96, табл. 2.9)	0.3

2. Прочностные и механические характеристики материалов конструкции здания

При строительстве здания школы использованы кирпич марки М75 и раствор марки М50. Категория кладки на основе прочностных характеристик кладки по КМК 2.01.03-96 составляла II с временным расчетным сопротивлением на осевое растяжение по неперевязанным швам (нормальное сцепление): $0.12~\mathrm{M\Pias} R_{\mathrm{tb}} < 0.18~\mathrm{M\Pia}$.

По СНиП II-22-81* "Каменные и армокаменные конструкции" расчетные сопротивления кладки на осевое растяжение и сжатие составляют:

расчетное сопротивление кладки на сжатие: R=1.3 МПа (СНиП II-22-81*, табл.2);

осевое расчетное сопротивление по неперевязанному сечению (нормальное сцепление, в горизонтальном направлении): R_t =0.08 МПа (СНиП II-22-81*, табл.2);

осевое расчетное сопротивление по перевязанному сечению (нормальное сцепление, в вертикальном направлении): R_t =0.16 МПа;

расчетное сопротивление кладки растяжению при изгибе по неперевязанным сечениям: R_{tb} =0.12 МПа (СНиП II-22-81*, табл.10);

расчетное сопротивление кладки растяжению при изгибе по перевязанным сечениям: R_{tb} =0.25 МПа;

расчетное сопротивление главным растягивающим напряжениям по швам кладки по неперевязанным сечениям: R_{tw} =0.12 МПа (СНиП II-22-81*, табл.10);

расчетное сопротивление главным растягивающим напряжениям по швам кладки по перевязанным сечениям: R_{tw} =0.25 МПа;

расчетное сопротивление кладки срезу в горизонтальном неперевязанном сечении (касательное сцепление): R_{sq} =0.16 МПа (СНиП II-22-81*, табл.10);

расчетное сопротивление кладки срезу в вертикальном перевязанном сечении (в вертикальном направлении): R_{sq} =0.24 МПа.

Приведем механические характеристики кирпичной кладки.

Модуль упругости кирпичной кладки по СНиП II-22-81* определяется в следующем виде:

$$E_0 = \alpha \cdot k \cdot R,\tag{1}$$

где k — коэффициент характеризующий вид кладки, и принимается равным 2; α — коэффициент, характеризующий упругость кладки, принимаем равным 1000, на основе прочностных характеристик кирпичной кладки; R — расчетное сопротивление кладки на сжатие.

В результате расчета по полученным данным кирпичной кладки модуль упругости составляет: E_0 =1000·2·0.13=2600 МПа, коэффициент Пуассона кирпичной кладки μ =0.25, удельный вес кирпичной кладки γ =1800 кг/м³.

Для бетонных изделий получены следующие механические свойства: E=30000 МПа, коэффициент Пуассона – $\mu=0,2$, удельный вес бетонного изделия – $\gamma=2500$ кг/м³.

3. Сбор нагрузок

При сборе внешних нагрузок получено всего 6 загружений, в том числе два сейсмических, соответствующих в поперечном X и продольном У направлениях.

Сбор нагрузок приведен в табл 2.

Поверочный расчет здания выполнен на основное и особое сочетание нагрузок.

Загружение 1. Постоянные нагрузки (собственный вес здания задается автоматически с коэффициентом надежности: $\gamma f = 1.1$).

Загружение 2. Постоянные нагрузки, круглые многопустотные плиты, покрытия, перекрытия, утеплитель, пол, перегородка, профнастил и сплошные прогоны.

Загружение 3. Длительная — полезная нагрузка (с коэффициентом надежности: $\gamma f=1.2$ по КМК 2.01.07-96, см. пункт 3.7).

Загружение 4. Кратковременная нагрузка — снег (с коэффициентом надежности: yf=1.4 по КМК 2.01.07-96, см. пункт 5.7).

Загружения 5 и 6. Сейсмическая интенсивность по оси X и Y – 8 баллов.

Сбор нагрузок на модели здания школы №187

Таблииа 2

№ п/п.	Наименование нагрузок	Ед. изм.	Норм. значение	Коэф. услов. работы	Расчетное значение
1	2	3	4	5	6
1.	Постоянные нагрузки на покрытие				
1.1.	Волнистый асбестовый шифер: 1750×1130×5.2	Па	104.2	1.05	109,4
1.2.	Сплошные прогоны длиной 6 м и 3 м	Н/м	240	1.05	252
	Постоянные нагрузки на покрытие на крыше				
1.3.	Утеплитель – керамзит t=0.15 м; γ=800 кг/м ³	Па	1200	1.3	1560
1.4.	Цементно-песчаная стяжка: $t=0.03$ м; $\gamma=1800$ кг/м ³	Па	540	1.3	700
1.5.	Плита перекрытия многопустотная толщиной 0.22 м	Па	3000	1.1	3300
	Всего:				5560 Па
2.	Постоянные нагрузки на перекрытие				
2.1.	Цементно-песчаная стяжка: $t = 0.04$ м; $\gamma = 1800$ кг/м ³	Па	720	1.3	940
2.2.	Покрытие пола (линолеум или керамическая плитка)	Па	100	1.2	120
2.3.	Перегородки (кирпичная кладка)	Па	1000	1.2	1200
2.4.	Плита перекрытия многопустотная толщиной 0.22 м	Па	3000	1.1	3300
	Всего:				5560 Па
3.	Длительная				
3.1.	Полезная	Па	1500	1.3	1950
4.	Кратковременная				
4.1.	Снег	Па	500	1.4	700

4. Результаты и анализ расчета

Используя исходные материалы и результаты инструментально - обследовательских исследований [1–3], с помощью программного комплекса ЛИРА 9.6 вычислены собственные периоды и частоты колебания, перемещения и напряжения в кладке стен отсеков зданий школ №54 и №187 при сейсмической интенсивности воздействия - 8 баллов.

Результаты вычислений и инструментальных измерений динамических характеристик зданий школ №54 и №187 приведены в табл 3. Как установлено значения периодов основного тона собственных колебаний зданий при теоретических расчетах больше, чем значения полученных периодов при инструментальных измерениях микросейсмических колебаний, а значения декремента затухания немного меньше. Это расхождение объясняется тем, что в режиме микроколебаний динамическая жесткость определяется начальным модулем упругости, который всегда больше расчетного.

В качестве примера на рис 2 приведены распределения напряжения в кладке стен и перемещения 2-го отсека здания школы №187 при сейсмическом воздействии в 8 баллов.

Таблица 3

DON'THE TOTAL TOO DOTTING OF THE PARTY OF	HILOTONIA CHECH III IV HOTEL	TODOUGH THEODOG
Результаты теоретических и	і инструментальных ислле	едовании здании школ

	1-й отсек здан	ия школы №54		2-й отсек здания школы №187			
периоды собственных колебаний, с		декременты затухания колебаний		периоды собственных колебаний, с		декременты затухания колебаний	
Экспери- ментальный	Теорети- ческий	Экспери- ментальный	Теорети- ческий	Экспери- ментальный	Теорети- ческий	Экспери- ментальный	Теорети- ческий
0.2	0.25	0.29	0.3	0.29	0.41	0.26	0.3

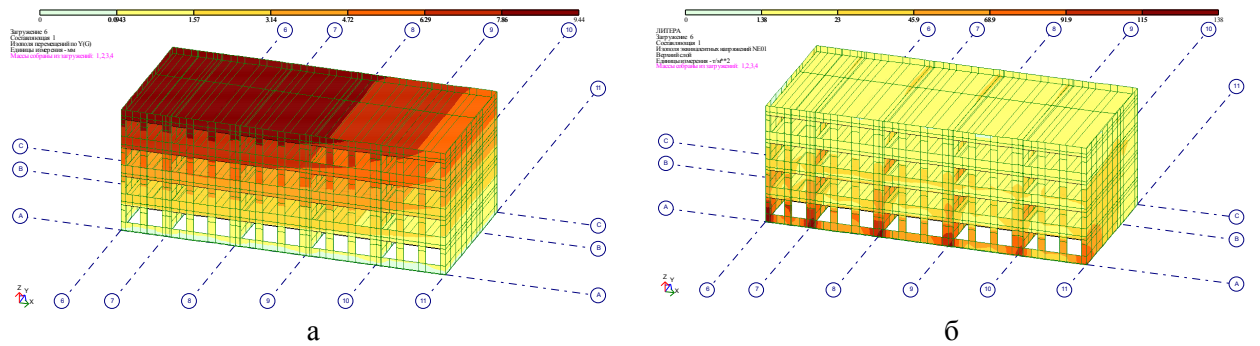


Рис.2. Изополя перемещений по Y (мм) (a) и эквивалентных напряжений Ne т/м 2 (б) в кладке второго отсека здания школы №187

7. Заключение и рекомендации

По результатам проведенного анализа результатов вычислений определены собственные частоты колебаний, максимальные значения перемещений и напряжений в кладке стен зданий школ №54 и №187 при сейсмическом воздействии в 8 баллов.

Установлено, что периоды основного тона собственных колебаний зданий при теоретических расчетах больше, чем полученные периоды при измерениях микросейсмических колебаний, а значения декремента затухания немного меньше. Это расхождение объясняется тем, что в режиме микроколебаний динамическая жесткость определяется начальным модулем упругости, который всегда больше расчетного.

Максимальные значения перемещений зданий школ №54 и №187 по горизонтальным осям в пределах норм [11] и составляют соответственно 0.0106 и 0.0173 м. Напряжения в стенах зданий школ больше, чем расчетное сопротивление на осевое растяжение по неперевязанным швам (нормальное сцепление) и составляют соответственно 1.22 и 1.38 МПа.

Для дальнейшей нормальной эксплуатации зданий школ №54 и №187 рекомендуется применение конструктивных мероприятий по усилению строительной конструкции. При проведении капитального ремонта (реконструкции) обязательными конструктивными мероприятиями являются обрамления проемов и армирование стен.

ЛИТЕРАТУРА

- [1] Отчет о научно-исследовательской работе: ФА-Атех-2018-(23+65) «Оценка сейсмостойкости зданий школьных и дошкольных учреждений, построенных в соответствии с требованиями действовавших нормативных документов в период их строительства и разработка методов расчета сейсмостойкости с учетом их пространственных моделей и комплексной сейсмозащиты». Ташкент: ИМиСС АН РУз. 2018.—342 с.
- [2] Отчет о научно-исследовательской работе: ФА-Атех-2018-(23+65) «Оценка сейсмостойкости зданий школьных и дошкольных учреждений, построенных в соответствии с требованиями действовавших нормативных документов в период их строительства и разработка методов расчета сейсмостойкости с учетом их пространственных моделей и комплексной сейсмозащиты». Ташкент: ИМиСС АН РУз. 2019. 410 с.
- [3] Сагдиев Х.С., Тешабаев З.Р., Ювмитов А.С., Галиаскаров В.А., Шерниёзов Х.О., Мирзакабилов Б.Н. Оценка соответствия школьных зданий нормам сейсмостойкого строительства // Узбекский журнал «Проблемы механики». Ташкент, 2019. №1. С.53–58.
- [4] Сагдиев X.С. Методическая рекомендация для разработки технических паспортов зданий и сооружений // Узбекский журнал «Проблемы механики». Ташкент, 2019. №1. С. 90–95.
- [5] ТУ-58-48. Технические условия проектирования зданий и сооружений для сейсмических районов. Министерство строительства предприятий тяжелой индустрии СССР. М.: Стройиздат, 1949. Дата начала действия: 30.12.1948 г.

- [6] ПСП 101-51. Положение по строительству в сейсмических районах. Госстройиздат, 1951. Введен 01.11.1951 г.
- [7] СН-8-57. Нормы и правила строительства в сейсмических районах. Госстройиздат, 1957. Введен 01.11.1957 г.
- [8] СНиП ІІ-А.12-62. Строительство в сейсмических районах. Госстройиздат, 1963. Введен 01.03.1963 г.
- [9] СНиП II-А.12-69. Строительство в сейсмических районах. Госстрой СССР. М.: Стройиздат, 1970. Введен 01.07.1970 г.
- [10] СНиП ІІ-7-81. Строительство в сейсмических районах. Госстрой СССР. М.: Стройиздат, 1982. Введен 01.01.1982г.
- [11] КМК 2.01.03-96. Строительство в сейсмических районах. Госкомархитектстрой РУз. Ташкент: 1996. Введен 01.03.1996 г.
- [12] КМК 2.01.07-96. Нагрузки и воздействия.
- [13] КМК 2.01.03.-96. Строительство в сейсмических районах. Изменение №1 2006.
- [14] КМК 2.02.01-98. Основания зданий и сооружений.
- [15] КМК 2.03.01-96. Бетонные и железобетонные конструкции.
- [16] КМК 2.03.05-97. Стальные конструкции.
- [17] КМК 2.03.07-98. Каменные и армокаменные конструкции.
- [18] КМК 2.03.11-96. Защита строительных конструкций от коррозии.
- [19] КМК 2.03.10-95. Крыши и кровли.
- [20] КМК 2.08.02-96. Общественные здания и сооружения.
- [21] ШНК 2.01.02-04. Пожарная безопасность зданий и сооружений.
- [22] КМК 3.01.02-00. Техника безопасности в строительстве.
- [23] КМК 3.03.01-98. Несущие и ограждающие конструкции.
- [24] Руководство по определению и оценке прочности бетона в конструкциях зданий и сооружений. М.: Стройиздат.1979.
- [25] Рекомендации по усилению каменных конструкций зданий и сооружений. М.: Стройиздат. 1984.
- [26] Методические указания по паспортизации жилых домов, общественных и промышленных зданий. Госстрой РУз. Ташкент, 1993.
- [27] Положение о проведении планово предупредительного ремонта жилых и общественных зданий. М.: 1965.
- [28] Методические рекомендации по инженерному анализу последствий землетрясений. ЦНИИСК. М.: 1981.
- [29] Рекомендации по восстановлению и усилению зданий массовой застройки. ЦНИИСК. М.: 1990.
- [30] Физдель И.А. Дефекты в конструкциях, сооружениях и методы их устранения. М.: Стройиздат. 1987.
- [31] Кутуков В. Н. Реконструкция зданий. М.: Высшая школа. 1981.

Институт механики и сейсмостойкости сооружений им. М.Т. Уразбаева АН РУз

Дата поступления 29.01.2020

Х.С. Сагдиев, А.С. Ювмитов, З.Р. Тешабоев, В.А.Галиаскаров, Х.О. Шерниёзов, Б.Н. Мирзақобилов. Умумтаълим мактаб биноларини сейсмик кучлар таъсирига хисоблаш ва уларни хавфсиз эксплуатация қилиш бўйича тавсиялар

Мақолада танлаб олинган умумтаълим мактаб бинолари сейсмик кучлар таъсирига хисоблаш натижалари хамда уларни хавфсиз эксплуатация қилиш учун тавсиялар келтирилган.

H.S. Sagdiev, A.S. Yuvmitov, Z.R. Teshaboev, V.A. Galiaskarov, Kh.O. Sherniezov, B.N. Mirzakabilov. Calculation of the school buildings on the seismic forces and recommendations for their security safe operation

In this article were given the results of the verification calculations of the selected school buildings under seismic influences and recommendations for their reliable operation.

УДК 624.012.4

М.Х. МИРАЛИМОВ, Р.А. АБИРОВ

К РАСЧЕТУ ЖЕЛЕЗОБЕТОННЫХ КОНСТРУКЦИЙ С НАЛИЧИЕМ ПОВРЕЖДЕНИЙ

Существует много различных способов и методов, позволяющих с различной степенью точности определять усилия в элементах конструкций с наличием трещин и накопленных повреждений. Но при этом необходимо иметь в виду, что самые сложные из них лишь приближенно отражают истинную картину усилий в элементах конструкции. Они не позволяют точно предсказать усилия в элементах в связи с тем, что многие факторы, от которых зависят усилия, статистически изменчивы. Сравнительно точно можно предсказать лишь возможный диапазон значений, в пределах которого будет находиться истинное значение усилия.

В нормативно-методических документах по проектированию железобетонных конструкций [1, 2] расчёты нормальных сечений по прочности и трещиностойкости (образованию и раскрытию трещин) выполняются с использованием двух упрощённых расчётных моделей:

- по предельным усилиям в бетоне и арматуре (жёстко пластическая модель), решая задачу как статически определимую;

- по теории изгиба, принимая линейными распределение деформаций (гипотеза плоских сечений) и их связь с напряжениями (по закону Гука).

Исчерпание несущей способности изгибаемых элементов может произойти как от изгибающего момента M при небольшой или нулевой поперечной силе Q (нормальное к продольной оси сечение), так и от поперечной силы Q при сравнительно небольшом значении момента M (наклонное сечение) (рис.1). Чтобы понять работу и характер разрушения изгибаемых железобетонных элементов, рассмотрим напряженное состояние балки, нагруженной равномерно распределенной нагрузкой.

От действия изгибающего момента в зоне чистого изгиба возникают только нормальные напряжения σ . На участке, где действует поперечная сила, появляются касательные напряжения τ , которые вместе с σ образуют главные напряжения:

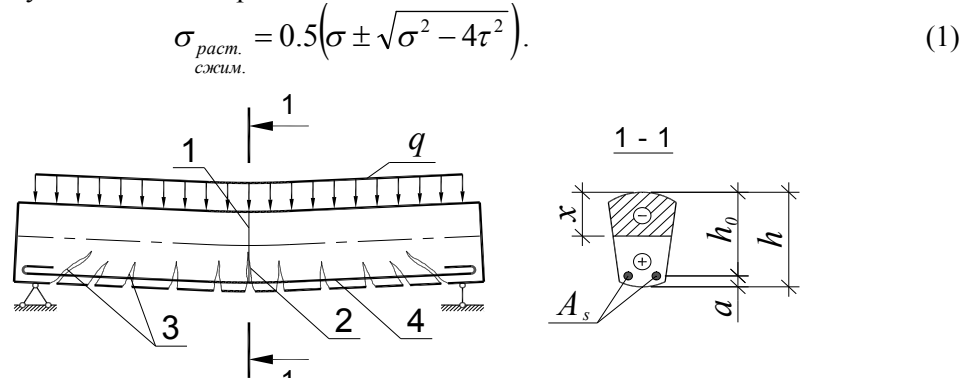


Рис. 1. К расчету изгибаемых элементов: I — нормальное сечение 1-1; 2, 3 — соответственно нормальные и наклонные трещины; 4 — продольная рабочая арматура

Опасными для железобетонных балок являются главные растягивающие напряжения, так как бетон плохо сопротивляется растяжению. В зависимости от соотношения σ и τ главные растягивающие напряжения будут иметь переменное направление по длине элемента. В тех случаях, когда главные растягивающие напряжения превосходят предел прочности бетона на растяжение ($\sigma_{pacm} \geq R_{\delta emona}$) по направлениям, перпендикулярным растягивающим усилиям, образуются трещины. Для восприятия растягивающих напряжений в соответствии с их траекторией в балке ставят продольную и поперечную арматуру (наклонные стержни и хомуты). Наклонные стержни ставят обычно под углом 45° к оси балки по траектории главных растягивающих напряжений. В работе предполагается, что арматура ведет себя как идеально пластическое тело. Концепции механики упругопластического разрушения в работе не рассмотрены.

Поперечные стержни, хотя и не соответствуют направлению σ_{pacm} , но работают по вертикальной составляющей косого усилия. Если в элементе продольная рабочая арматура расположена только в растянутой зоне, то поперечное сечение такого элемента называют сечением с одиночным армированием. В случае усиления сжатой зоны элемента продольной арматурой сечение называют с двойным армированием. Многочисленные экспериментальные исследования показывают, что изгибаемый элемент может разрушиться как по нормальному к оси балки сечению (от действия изгибающего момента), так и по наклонному (от совместного действия изгибающего момента и поперечной силы). В соответствии с этим расчет прочности производится по обоим сечениям.

В зависимости от количества арматуры, расположенной в растянутой зоне элемента, его разрушение по нормальному сечению может произойти по одному из двух случаев: достижением в растянутой арматуре предела текучести (фактического или условного) и заканчивается раздроблением бетона сжатой зоны вследствие достижения в нем предела прочности на сжатие (нехрупкое разрушение); при достижении предела прочности в сжатом бетоне (в переармированных конструкциях).

Рассмотрим вырезанный из балки элемент, армированный как обычной, так и предварительно напряженной арматурой. С левой стороны на этот элемент действует изгибающий момент от расчетных нагрузок, а с правой — внутренние усилия. Расчетные формулы для определения прочности нормальных сечений любой симметричной формы выводят из двух условий равновесия элемента в предельном состоянии $\sum M=0$ (сумма моментов внутренних усилий относительно оси,

нормальной к плоскости изгиба и проходящей через точку приложения равнодействующей усилий в растянутой арматуре) и $\sum N_x$ =0 (сумма проекций сил в расчетных сечениях на горизонтальную ось). В случае армирования сечения изгибаемого элемента двойной ненапрягаемой и напрягаемой арматурой (общий случай армирования) (рис.2) усилия в сжатой и растянутой зонах сечения будут равны:

$$N_{b} = R_{b}A_{b}, \quad N_{s}' = R_{sc}A_{s}', \quad N_{sp}' = \sigma_{sp}'A_{sp}', \quad N_{s} = R_{s}A_{s}, \quad N_{sp} = \gamma_{so}\sigma_{sp}A_{sp}$$

Для сечения с двойной ненапрягаемой и напрягаемой арматурой уравнение $\sum N_x$ =0 можно записать в следующем виде:

$$R_{b}A_{b} + R_{sc}A_{s}' + \sigma_{sp}'A_{sp}' - R_{s}A_{s} - \gamma_{so}\sigma_{sp}A_{sp} = 0,$$
 (2)

где $\gamma_{s\delta}$ — коэффициент условий работы для высокопрочной арматуры различных классов при соблюдении условия $\xi < \xi_R$ при натяжении её выше условного предела текучести.

Из уравнения (2) определяют положение нейтральной линии (высоту сжатой зоны х).

Прочность нормальных сечений изгибаемого элемента будет обеспеченной, если внешний момент M не превосходит несущую способность сечений элемента, выраженную в виде обратно направленного момента M_u внутренних сил ($M \le M_u$). Поэтому уравнение $\sum M=0$ запишется в следующем виде:

$$M \le M_u = R_b A_b z_b + R_{sc} A_s' (h_0 - a') + \sigma_{sp}' A_{sp}' (h_0 - a_{sp}'). \tag{3}$$

где $z_b = f(x)$ – плечо внутренней пары сил.

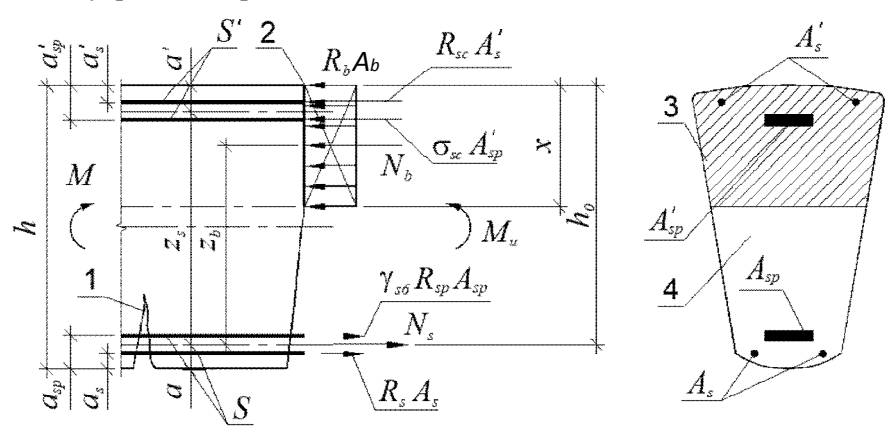


Рис. 2. Схема усилий и напряжений в нормальном расчетном сечении элемента любой симметричной формы: I – нормальные трещины; 2 – расчетное сечение; 3 – сжатая зона сечения; 4 – то же, растянутая арматура

Значение этого коэффициента определяется по формуле [3]

$$\gamma_{s\bar{o}} = \eta - (\eta - 1) \left(\frac{2\xi}{\xi_R} - 1 \right) \le \eta, \tag{4}$$

где η — коэффициент, принимаемый равным для арматуры различных классов от 1.1 до 1.2; $\xi = x/h_0$ — относительная высота сжатой зоны, определяемая без учета коэффициента γ_{so} ; ξ_R — наибольшее (граничное) значение высоты сжатой зоны; $h_0 = h - a$ — рабочая высота сечения; $a = a_1 + 0.5d$ — при однорядном расположении арматуры; $a = a_1 + 0.5d + 0.5c$ — при двухрядном расположении арматуры; a_1 — защитный слой бетона; c — расстояние между осями стержней при двухрядном расположении арматуры. Расстояние от нижней грани сечения до равнодействующей усилий во всей растянутой арматуре может быть определено по выражению

$$a = \frac{R_{s} A_{s} a_{s} + \gamma_{s6} \sigma_{sp} A_{s} a_{sp}}{R_{s} A_{s} + \gamma_{s6} \sigma_{sp} A_{s}}.$$

Напряжения в сжатой арматуре принимаются равными $R_{sc}=R_s$. В предварительно напряженной арматуре, расположенной в сжатой зоне, напряжения принимают $\sigma_{sc}=400-\sigma_0\gamma_{sp}$ при $\gamma_{b2}\ge1$, или $\sigma'_{sc}=500-\sigma_0\gamma_{sp}$ при $\gamma_{b2}\ge1$. Здесь 400~(500) — это снижение предварительного напряжения в арматуре S' к моменту разрушения бетона сжатой зоны. Эта величина напряжения определяется из условия средней величины предельной сжимаемости бетона: $\varepsilon_{bu}=0.002$ и $E_s=2.0\cdot10^5$ МПа.

При $\varepsilon_{bu}=\varepsilon_s$, $\sigma_s=\varepsilon_{bu}$ $E_s=0.002\cdot 2.0\cdot 10^5=400$ МПа, где σ_0 – напряжение в натянутой арматуре сжатой зоны, определяемое с учетом соответствующих потерь; $\gamma_{sp}>1$ – коэффициент точности натяжения, принимаемый по формуле $\gamma_{sp}=1\pm\Delta\gamma_{sp}$. Знак «плюс» принимается при неблагоприятном влиянии предварительного напряжения, знак «минус» – при благоприятном. Значения $\Delta\gamma_{sp}$ при механическом способе натяжения принимаются равными 0.1, а при электротермическом и электро-

термомеханическом способах натяжения определяются по формуле $\Delta \gamma_{sp} = 0.5 \frac{p}{\sigma_{sp}} \left(1 + \frac{1}{\sqrt{n_p}} \right)$, но не

менее 0.1; здесь p, σ_{sp} – предельное отклонение предварительного напряжения и начальное предварительное напряжение арматуры; n_p – число стержней напрягаемой арматуры в сечении элемента.

На основе этих предпосылок была решена задача на основе МКЭ [4]. Для оценки достоверности разработанного метода производим расчет железобетонной балки при воздействии вертикальной распределенной нагрузки (рис.3). Здесь приняты: расчетное сопротивление бетона на сжатие — R_b =14.8 МПа, расчетное сопротивление бетона на растяжение — R_b =1.07 МПа, E_b =30000 МПа, V=0.3, V=0.3, V=0.5 м, V=0.5 м

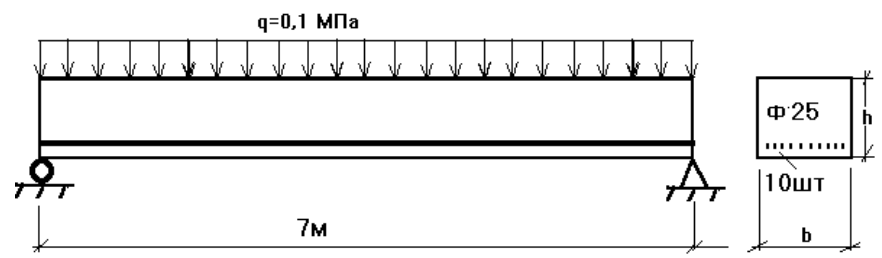


Рис. 3. Конструкция железобетонной балки с одиночным армированием

Настоящая конструкция была рассчитана по разработанной методике по конечноэлементной схеме. В результате получены данные, которые приведены на рис. 4, 5. На рис. 5,a представлена полученная картина появления трещин (экспериментальные данные) и на рис. $5,\delta$ развития разрушения конструкции (теоретические данные по МКЭ) при максимальной нагрузке, равной q=351 кH/м. Здесь видно (см. рис.5,a), что разрушение происходит по трещинам.

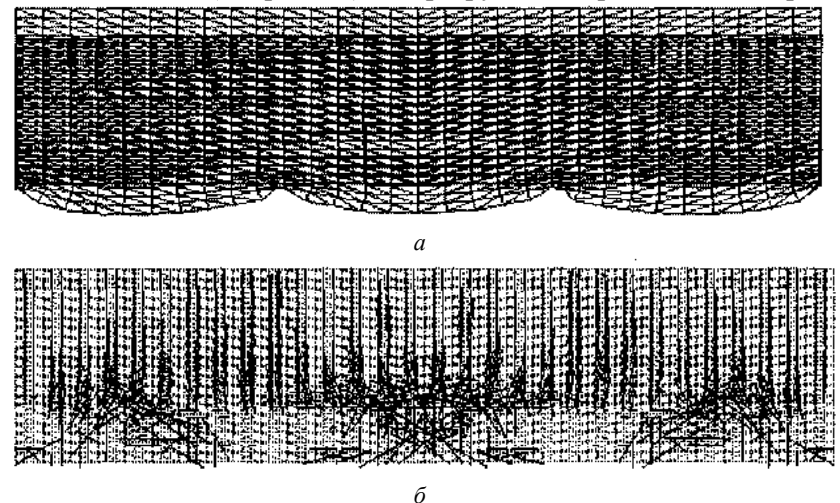


Рис. 4. Картина перемещений (*a*) и векторное поле главных напряжений σ_1 и σ_2 (*б*)

Подробные экспериментальные сведения о методике эксперимента и его результатах приведены в работе [5]. Сравнение результатов, приведенных далее, показывает, что качественная картина НДС железобетонной балки-стенки, полученная путем численного анализа, выявляет правомерный характер развития зон разрушения в данной конструкции. На рис. 5,a показано размещение существующих трещин в теле конструкции, на рис. 5,6 – распределение НДС в теле конструкции, полученное путем численного расчета.

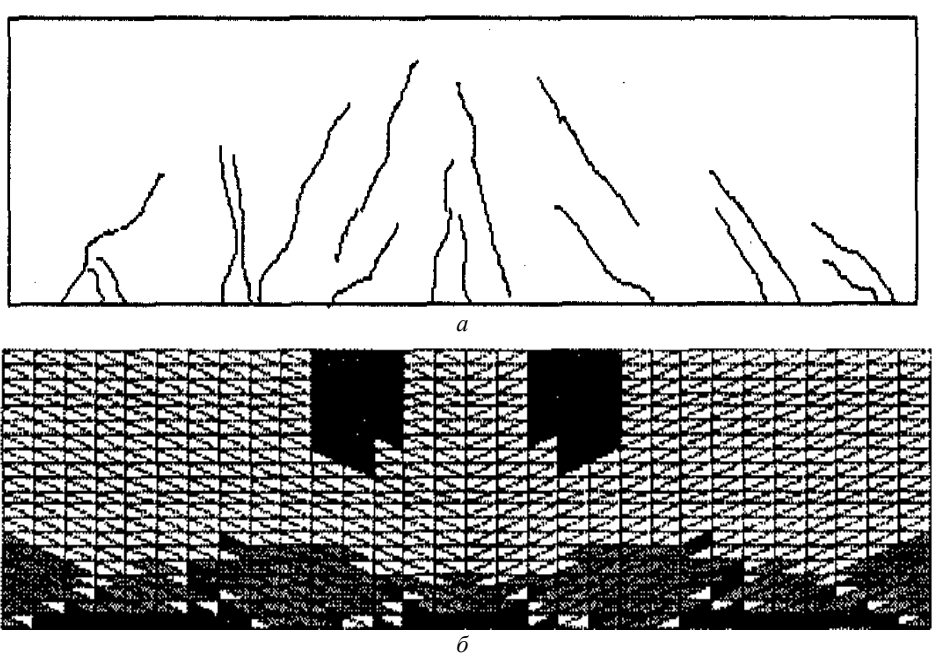


Рис. 5. Трещины в конструкции (по результатам работы [6] (а) и картина разрушения, полученная по МКЭ (б)

Устанавливая главное преимущество, разработанного метода расчета железобетонных конструкций по сравнению с расчетом (с условием прочности, приведенным в строительных нормах) по предельному состоянию, приходим к следующему:

- напряжения вычисляются из неупругого расчета с учетом реальной работы арматуры и бетона;
- в процессе расчета можно наблюдать характер деформирования в каждой точке железобетонной конструкции (различные области сжатия и растяжения, а также зоны разрушения) как в бетоне, так и в арматуре и более точно вычислить нужную предельную нагрузку на конструкцию.

ЛИТЕРАТУРА

- [1] КМК 3.01.02-00. Техника безопасности в строительстве.
- [2] МШН 32-04. Инструкция по определению грузоподъемности железобетонных балочных пролетных строений эксплуатируемых автодорожных мостов.
- [3] Карпенко Н.И., Круглов В.М., Соловьев Л.Ю. Нелинейное деформирование бетона и железобетона. Новосибирск: Изд-во СГУПСа, 2001. 276 с.
- [4] Клованич С.Ф., Мироненко И.Н. Метод конечных элементов в механике железобетона. Одесса: Издво ОНМУ, 2007. 110 с.
- [5] Колчунов В.И. Разрушение железобетонных элементов от совместного действия изгибающего момента и поперечной силы // Строительные конструкции. Вып.32. 1979. С. 51–54.
- [6] Миралимов М.Х. Расчет железобетонной конструкции по предельным состояниям // Проблемы развития транспортных и инженерных коммуникаций. М.: 2004. №1-2. С. 55 61.

Институт механики и сейсмостойкости сооружений им. М.Т. Уразбаева АН РУз

Дата поступления 11.12.2020

М.Х. Миралимов., Р.А. Абиров. Шикастланишларга эга бўлган конструкцияларнинг мустахкамлигини хисоблаш усули

Мазкур илмий мақолада чекли элементлар усули асосида ёриқларга эга бўлган конструкциянинг мустаҳкамлиги чегаравий масаласи ечилган ва натижалари тажрибавий натижалар билан солиштирилган. Текис масала кўрилган ва материалларнинг норматив ҳисоблаш усулларида инобатга олинмайдиган ночизиҳли ҳусусиятлар ҳисобга олинган.

M.Kh. Miralimov., R.A. Abirov. To solution of structures' strength with fissuring

Numerical solution by developed approach on the FEM base for structure with regular fissures and comparing it with experimental data are considered in this issue. Plane problem was described and nonlinear properties of metal and concrete was taken into account here

Х.А. БАЙБУЛАТОВ, М.Ж. БЕРДИБАЕВ

ВЛИЯНИЕ КОРРОЗИИ НА НЕСУЩУЮ СПОСОБНОСТЬ ЖЕЛЕЗОБЕТОННЫХ МОСТОВЫХ КОНСТРУКЦИЙ

На автомобильных дорогах общего пользования Республики Узбекистан эксплуатируется более 7 тысяч автодорожных мостов (в том числе железобетонных и каменных мостов — 93%, металлических — 7%). Износ большинства мостов составляет 40—70%, более 300 автодорожных мостов находится в аварийном и предаварийном состояниях [1]. С учетом мостов на внутрихозяйственных автомобильных дорогах, дорогах и улицах городов и кишлаков их количество достигает более 15 000 сооружений. Статистика по техническому состоянию этих мостов ещё более неудовлетворительная.

На территории Российской Федерации, по данным на 2000 г. [2], на дорогах общего пользования эксплуатируется 41 800 сооружений (в том числе 33 464 капитальных) протяженностью около 1600 км.

В 2020 г. российское правительство утвердило программу по ремонту всех аварийных и изношенных мостов в стране. В нее войдут более 2 тыс. объектов, общее финансирование составит 379.9 млрд руб. Программой предусматривается приведение в нормативное состояние более 2 тысяч аварийных мостов протяженностью 115 тысяч пог. м, работы будут проводиться в период 2020–2024 гг. в 81 субъекте Российской Федерации.

В Соединенных Штатах Америки, по данным [3], имеется около 583 000 мостов, из которых 235 000 изготовлены из обычного железобетона, 108 000 построены с использованием предварительно-напряженного железобетона, 200 000 выполнены из стали и около 40 000 – с использованием других строительных материалов (дерева, камня, композитных материалов). Следовательно, железобетонные мосты в целом составляют 59%, стальные – 34%, а вместе – 93% от всего мостового парка США. По последним данным, в списке ненадежных или функционально устаревших по стране числится 253 521 мост.

И железобетонные, и стальные мостовые сооружения под влиянием окружающей среды подвергаются различным видам разрушения [4–7].

В последние годы наблюдается интенсификация исследований по выявлению причины природы разрушающих процессов в железобетоне и разработки способов их устранения. Разрушающие процессы в железобетоне, причиной которых является коррозионное воздействие окружающей среды, приводят к снижению силового сопротивления, т.е. ослаблению определенной части конструкции (мосты, зданий, сооружения и т.д.), а также может сопровождаться изменением всей расчетной схемы мост – сооружение.

Основным материалом для строительства мостов в республике является железобетон. Из железобетона возводят мостовые сооружения всех видов и систем во всех регионах страны из-за его несомненных достоинств: прочности, долговечности и относительной дешевизны. Однако негативным фактором является коррозия.

По состоянию на сегодняшний день более 50% мостов требуют ремонта гидроизоляции. В условиях коррозии существенно уменьшается несущая способность конструкций. Реальный срок службы мостов составляет 30 - 35 лет вместо 50 - 100 лет по проекту [1, 5].

В процессе эксплуатации на мостовые сооружения оказывают воздействие статические и динамические нагрузки (от собственного веса и проезжающего по ним транспорта, ветровые), температурные условия (весна, лето, осень зима), погодно-климатические воздействия (дожди, туманы, снег, гололед), агрессивное влияние эксплуатационной среды (в промышленных районах атмосферы с высокой влажностью и агрессивными газами (CO₂, SO₂, NO₂ и т.п.), минеральные вещества и соль при использовании антигололедных материалов, электрические блуждающие токи и токи утечки).

Воздействие вышеуказанных факторов приводит к возникновению и интенсивному протеканию на мостовых конструкциях коррозионных процессов — важнейшей из причин, существенно влияющих на долговечность и надёжность мостов и других транспортных сооружений.

Исключение или сведение к минимуму коррозионных процессов диктуется в современных условиях следующими соображениями:

- необходимостью повышать долговечность (срок службы) мостов, мостовых конструкций, их надёжность (снижение аварийных ситуаций);
- экономическими, связанными с уменьшением материальных потерь металла и бетона (их диссипации в окружающую среду), заменой отдельных элементов конструкций, ремонтными затратами и т.п.;
- экологическими: загрязнение окружающей среды продуктами коррозии, другими экологически опасными веществами (продукты метаболизма при бактериальной и других видах биологической коррозии).

В целом коррозионные проблемы и вопросы защиты от коррозии мостов, транспортных сооружений занимают одно из важнейших мест в вопросах их проектирования, строительства и эксплуатации.

Долговечность, надёжность, качество и работоспособность мостовых конструкций и их элементов определяются не только совершенством проекта, правильным выбором материалов (сталей, бетона, арматуры, железобетона, полимеров), качественным исполнением технологии производства, учётом условий эксплуатации, но и грамотным решением коррозионных проблем, сведением их к минимуму или исключением на стадиях проектирования, строительства, эксплуатации.

Одним из больших преимуществ железобетона по сравнению с металлами и другими материалами является его высокая коррозионная стойкость [5]. Однако опыт эксплуатации железобетонных конструкций транспортных сооружений развеял миф о «вечности» железобетона как конструкционного материала, потому что в ряде случаев под воздействием агрессивной среды (атмосферы, грунтов и грунтовых вод, постоянного электрического тока) железобетонные конструкции подвергаются интенсивной коррозии и преждевременному разрушению, что снижает эффективность их применения, а иногда даже создает опасность для движения транспорта [7].

Коррозия бетона (железобетона), подобно коррозии металла, связана с воздействием агрессивной внешней среды, но имеет ряд специфических особенностей.

Бетон – многофазная пористая система, находящаяся в равновесии с водой в порах бетона. При pH=12,5–13 все составляющие бетон фазы устойчивы. При воздействии внешней агрессивной среды равновесие системы нарушается и в бетоне начинают протекать различные процессы, приводящие к коррозии.

На мостовые конструкции и транспортные сооружения воздействуют различные жидкие агрессивные среды. Это пресные речные воды (опоры мостов), грунтовые воды, атмосферные осадки в виде дождей, туманов, промышленные водные стоки, щелочные и кислые среды и т.п. (рис 1–4).



Рис. 1. Коррозия бетона по причине солевой агрессии к опоре моста на км 12+952 автомобильной дороги 4H44 «Куролпа ДФХ – Караузяк ДФХ»



Рис. 2. Коррозия бетона по причине солевой агрессии. Автодорожный мост через канал Кегейли расположен на км 8+900 автомобильной дороги 4Р178 («железнодорожная станция Қумшунгул – Аспантой»)

Согласно современным представлениям, коррозию бетона и железобетона классифицируют в жидких средах на 3 вида:

I вид – коррозия, связанная с воздействием водных сред с малым содержанием солей с преимущественно нейтральной реакцией (pH=6.8–7.2) (см. рис.1);

II вид – коррозия при воздействии весьма агрессивных сред, например, кислот, щелочей, некоторых солей, таких, как хлориды натрия или магния (см. рис.2);

III вид – коррозия, обусловленная проникновением в поры бетона жидких сред, содержащих компоненты, образующие с поровой жидкостью или цементным камнем нерастворимые кристаллические соединения (см. рис. 3, 4).

Каждый вид коррозии характеризуется своими особенностями, специфическими физикохимическими процессами и реакциями, которые определяют характер коррозионного разрушения. В железобетоне, наряду с коррозией бетона, может протекать коррозия стальной арматуры. Кроме того, наблюдаются и специфические виды коррозии, связанные, например, с воздействием на бетон и железобетон бактерий, грибов, водорослей и т.п.



Рис. 3. Автодорожный мост через коллектор расположен на км 1+000 автомобильной дороги 4P176г («подъезд от автомобильной дороги 4P176 к автомобильной дороге 4P175»). Дефекты конструкций опор по причине солевой агрессии



Рис. 4. Автодорожный мост через канал «Таллык» расположен на км 10+925 автомобильной дороги 4Р173 «Кунград – Муйнак». Дефекты конструкций опор по причине солевой агрессии

Атмосферная коррозия — наиболее распространённый вид коррозии. При этом на бетон воздействуют такие факторы атмосферы, как температура (колебания температур), влажность, наличие в атмосфере газов, осадки в виде дождя, снега и т.п.

Сухая атмосфера (относительная влажность <60%) для бетона и железобетона не опасна. При влажности более 60% на поверхности бетона и в капиллярах начинает конденсироваться влага, в которой растворяются различные газы, находящиеся в атмосфере. В зависимости от типа атмосферы (промышленная, морская, сельская и т.п.) в ней могут содержаться различные газы, от растворимости которых в плёнке влаги и в объёме капилляров и пор бетона будет создаваться различная агрессивная среда. Поэтому все газы, присутствующие в той или иной атмосфере, делят на 3 группы в зависимости от их способности влиять на процессы взаимодействия с Ca(OH)₂. По С.Н. Алексееву [8], к первой группе относятся газы, образующие с Ca(OH)₂ малорастворимые или нерастворимые соли с небольшим объёмом продуктов реакции. Это пары плавиковой, уксусной, щавелевой кислот, CO₂ и некоторые другие. Так, при наличии в атмосфере малых концентраций CO₂ в поровой влаге бетона или поверхностной плёнке может протекать реакция

$$CO_2 + Ca(OH)_2 \rightarrow CaCO_3 \downarrow + H_2O.$$

Образующийся карбонат кальция по объёму ненамного превышает объём $Ca(OH)_2$ и не представляет большой опасности для прочностных свойств бетона. Мало того, при оптимальной концентрации CO_2 в воздухе бетон может даже уплотняться. Однако избыточная повышенная концентрация CO_2 может приводить к растворению осадка с образованием растворимого бикарбоната

$$CaCO_3 + H_2O + CO_2 \rightarrow Ca(HCO_3)_2$$

который, вымываясь из бетона, увеличивает объём пор и снижает его прочность.

Другая опасность при наличии в атмосфере таких газов заключается в том, что при их действии на поровую жидкость происходит снижение величины pH, т.е. частичная нейтрализация, и по достижении pH<11.0 - 11.5 может начаться коррозия стальной арматуры и бетон начнёт растрескиваться.

Ко второй группе атмосферных газов относятся газы, образующие при взаимодействии с $Ca(OH)_2$ нерастворимые объёмные продукты реакции. Это SO_2 , SO_3 , H_2S . Эти газы при взаимодействии с известью $Ca(OH)_2$ образуют сульфат кальция:

$$Ca(OH)_2 + SO_3 \rightarrow CaSO_4 \downarrow + H_2O; Ca(OH)_2 + H_2S \rightarrow CaS \downarrow + 2H_2O; \\ CaS + 2O_2 + H_2O \rightarrow CaSO_4 + H_2O.$$

Получающийся гипс $CaSO_4$, как отмечалось, по объёму в 2 раза больше, чем $Ca(OH)_2$, и бетон вначале уплотняется, а затем его поверхностные слои начинают под действием внутренних напряжений отслаиваться от тела бетона и конструкция, в целом, постепенно разрушается. Атмосферы, содержащие такие газы, являются весьма агрессивными по отношению к бетону и железобетону.

Третья группа атмосферных газов — газы, образующие при взаимодействии с $Ca(OH)_2$ растворимые соли. К таким газам относят галогены (Cl_2 , Br_2) и галогенводородные кислоты (HCl_3 , HBr, HJ), некоторые органические летучие кислоты (HCOOH, CH_3COOH). При взаимодействии с этими газообразными веществами получаются растворимые соли, которые вымываются из бетона, при этом увеличивается пористость бетона, снижаются прочностные свойства. Хлор и галогенводородные кислоты могут вызвать интенсивную коррозию стальной арматуры, вследствие чего будет происходить растрескивание бетона вдоль арматуры. К третьей группе относятся и азотсодержащие оксиды NO, NO_2 , а также азотсодержащие пары кислот HNO_2 , HNO_3 и аммиак NH_3 . В результате их попадания в поровое пространство бетона протекают реакции образования растворимых нитратов, например

$$2NO_2 + Ca(OH)_2 \rightarrow Ca(NO_3)_2 + H_2O$$
,

которые, постепенно вымываясь, делают структуру бетона рыхлой, поровое пространство насыщается солями, которые являются гигроскопичными. Гигроскопичные продукты такие, например, как нитрат аммония, хлорид аммония, увеличивают скорость поглощения влаги из атмосферы (примерно в 2 раза), способствуют насыщению бетона водой и дальнейшему его разрушению. Все азотсодержащие газы являются агрессивными по отношению к бетону и неопасными по отношению к стальной арматуре.

Бетонные и железобетонные конструкции, эксплуатирующиеся в различных атмосферных условиях, испытывают воздействие различных факторов. Из множества факторов, определяющих состояние атмосферы, наиболее опасными по воздействию на бетон и железобетон являются повышенная влажность и колебания температуры.

Одна из наиболее опасных и распространённых причин разрушения железобетонных конструкций мостовых сооружений – коррозия стальной арматуры [2].

В бетоне стальная арматура находится в контакте с поровой жидкостью, имеющей рН>11.8. Воздействие щелочной среды на сталь переводит её в пассивное состояние, обусловленное формированием на поверхности металла гидроксидов железа. Кроме того, слой бетона, соприкасающийся с арматурой, в той или иной степени обладает изолирующей способностью и защищает её от коррозии. Коррозионный процесс на стали может развиться в том случае, если будут созданы условия для протекания электрохимических парциальных реакций: катодного процесса деполяризации и анодного процесса растворения. Это возможно в том случае, если нарушается пассивная плёнка, к поверхности стали проникает кислород (деполяризатор катодного процесса), создаются локальные катодные и анодные участки и возникает разность потенциалов, т.е. формируются микрогальванопары.

Причинами развития коррозии арматуры могут быть недостаточная толщина защитного слоя бетона, низкая плотность бетона защитного слоя и как следствие – потеря бетоном пассивирующих свойств (например, в результате карбонизации), особенно опасная в условиях агрессивного воздействия среды (чаще всего хлористых солей) [7].

Нарушение пассивной плёнки, защищающей металл, возможно по следующим причинам: 1) снижение рН поровой жидкости до величин ниже 11.8; 2) проникновение к поверхности стали агрессивных хлорид - ионов и 3) ускорение анодных процессов растворения стали. Снижение рН поровой жидкости возможно при образовании растворимых веществ и вымывании их из цементного камня; это может происходить при воздействии водных растворов кислот, солей, агрессивных газов. Кроме того, в бетоне всегда достаточно влаги, необходимой для снижения рН. Учитывая, что бетон имеет достаточно высокую пористость, весьма высока вероятность проникновения к поверхности арматурной стали кислорода — деполяризатора катодного процесса. Структурная

неоднородность арматурной стали, наличие различного рода включений, внутренние напряжения и т.п. создают предпосылки появления микрогальванопар, их активного функционирования, локализации коррозионных процессов, которые могут проявляться в виде питтингов, язв.

Таким образом, для стальной арматуры создаются условия для возникновения и интенсивного протекания коррозионных процессов. Эти процессы могут ускоряться и другими факторами: наличием трещин в бетоне, облегчающих проникновение агрессивных сред к стальной арматуре, собственной коррозией цементного камня, наличием блуждающих токов, недостаточной толщиной слоя бетона.

Скорость коррозии арматуры зависит от изолирующей способности защитного слоя бетона, его плотности, толщины, химического состава цемента.

Внешними признаками коррозии арматуры в бетоне являются [4]:

- пятна ржавчины на поверхности бетона вдоль расположения стержней;
- трещины, ориентированные по направлению арматурных стержней;
- отслоение защитного слоя бетона с оголением арматуры, наличие ржавчины на поверхности арматуры.

Состояние арматуры может быть оценено по следующим признакам:

- глубине коррозионного поражения и площади коррозионных повреждений;
- характеру коррозионных повреждений (сплошная, пятнами, точечная, язвами, налет ржавчины);
 - толщине и плотности продуктов коррозии.

Сохранность стальной арматуры от коррозии зависит от защитных свойств бетона и агрессивности окружающей среды. Защитные свойства бетона по отношению к арматуре могут быть различными. Они определяются видом вяжущего и добавок, режимом твердения, толщиной и плотностью защитного слоя бетона, шириной раскрытия трещин, пересекающих стальную арматуру. С течением времени, в связи с карбонизацией наружного слоя бетона, его защитные свойства снижаются и могут быть совсем утрачены. Развитие коррозии происходит при наличии переменной влаги и кислорода. Коррозия арматуры является процессом электрохимическим, который предполагает наличие электрического тока, возникающего без внешнего источника. При электрохимической коррозии на поверхности коррозирующего металла образуются анодные и катодные участки. На анодных участках осуществляются растворение металла, ионизация атомов. Электрическая цепь замыкается через раствор электролита.

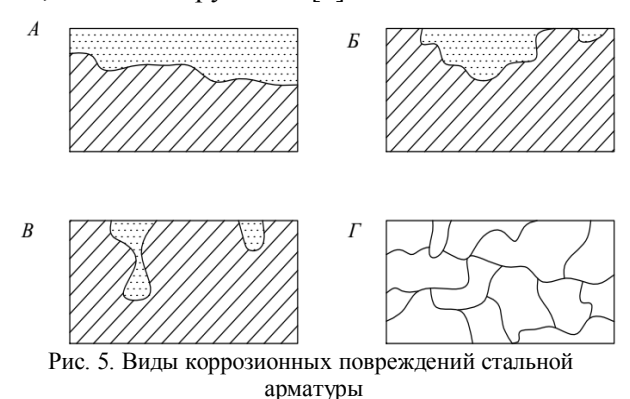
Продукты коррозии являются результатом вторичного процесса взаимодействия гидратированых ионов с кислородом, которые откладываются на поверхности арматуры в виде ржавчины. После нарушения пассивного состояния арматуры ее коррозия может не развиваться, если эксплуатация конструкции происходит в очень сухой среде или в полностью насыщенном водой бетоне.

По характеру разрушения поверхности и структуры металла различают такие основные виды коррозии, которые приведены на рис. 5. Это равномерная или общепринятая, т. е распределенная по всей поверхности арматуры (рис. 5, a); местная или локальная (пятнами) коррозия, сосредоточенная на отдельных участках поверхности металла (рис. 5, δ); точечная коррозия или питтинг, сосредоточенная на очень малых участках поверхности, но отличающаяся очень глубоким проникновением (рис. 5, ϵ); коррозионное растрескивание в результате разрушения связей между кристаллами (рис. 5, ϵ). Коррозионные повреждения арматуры вызывают следующие виды разрушения арматуры в бетоне: уменьшение сечения элементов вследствие коррозионных потерь; хрупкое растрескивание под напряжением; водородное охрупчивание.

Изменение коррозионного поведения арматуры конструкции во времени имеет два этапа (рис. 6): инкубационный период, в течение этого периода металлическая арматура остается пассивной, а время, при котором это состояние нарушается, определяется продолжительностью карбонизации защитного слоя; коррозионный период начинается с момента депассивации и включает в себя развитие коррозии с заметной скоростью, пока арматура конструкции не выйдет из строя, потеряв несущую способность.

Опыт эксплуатации мостовых переходов показывает, что воздействие коррозионных сред на мостовые конструкции неравномерно и зависит от многих факторов. Например, от розы ветров (наветренные фасады страдают от атмосферной коррозии сильнее, чем подветренные) и т.п. Поэтому для выбора оптимальной системы антикоррозионной защиты, обеспечивающей равный срок

службы всех элементов моста, следовало бы организовать изучение влияния этих факторов с тем, чтобы на основе научных исследований увеличить межремонтный срок службы покрытия, а значит, и всего сооружения [4].



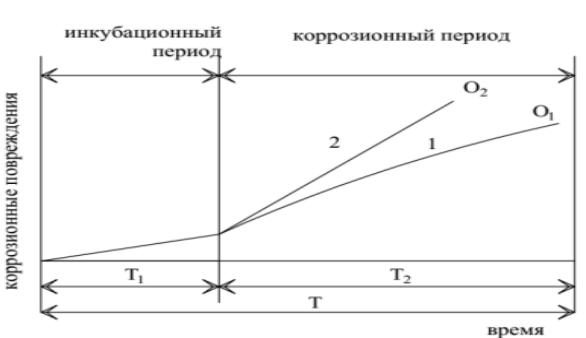


Рис. 6. Периоды коррозионного поведения во времени арматуры с большими пластическими деформациями (I) и арматуры с хрупким разрушением (2); O_1 , O_2 — отказы арматуры

Для этого, кроме принятия мер по первичной защите от коррозии (эффективный водоотвод, доброкачественная дорожная одежда, водонепроницаемые деформационные швы и т.п.), необходимо обеспечить удобный доступ для нанесения покрытия в любом месте конструкции как во время строительства, так и в процессе эксплуатации.

Учитывая, что на железобетонные опоры, особенно массивные, обычно устанавливаются сравнительно долговечные металлические пролетные строения, прежде всего, следует исследовать возможности повышения долговечности опор.

Мерами защиты от коррозии железобетонных конструкций, находящихся в условиях агрессивной среды, в зависимости от степени агрессий являются: снижение фильтрующей способности бетона введением специальных добавок, повышение плотности бетона, увеличение толщины защитного слоя бетона, а также применение лакокрасочных или мастичных покрытий, оклеечной изоляции, замена портландцемента глиноземистым цементом, применение специального кислотостойкого бетона.

ЛИТЕРАТУРА

- [1] Байбулатов Х.А., Бердибаев М.Ж. Дефекты и повреждения мостовых конструкций и их влияние на потребительские свойства мостов// Узбекский журнал «Проблемы механики». Ташкент, 2018. № 4. С.103–106.
- [2] Овчинников И.Г., Ликверман А.И., Распоров О.Н и др. Защита от коррозии металлических и железобетонных мостовых конструкций методом окрашивания. Саратов: Изд-во «Кубик», 2014. 504 с.
- [3] www.nace.org/publicaffairs
- [4] Макаров В. Н. Антикоррозионная защита мостовых сооружений / Макаров В.Н., Овсянников С.В., Овчинников И.Г. Саратов: Издат. Центр «Наука», 2007—192 с.
- [5] Саатова Н.З., Ишанходжаев А.А. Остаточный ресурс железобетонных пролетных строений автодорожных мостов, подверженных солевой коррозии// Узбекский журнал «Проблемы механики». Ташкент, 2017. № 4. С.61–64.
- [6] Иванов Φ . М. Защита железобетонных транспортных сооружений от коррозии. М.: Транспорт, 1968. -110 с.
- [7] Марини А. Н. Сопротивление железобетонных конструкций воздействию хлоридной коррозии и карбонизации / Маринин А.Н., Гарибов Р.Б., Овчинников И.Г. Саратов: Издат. центр «РАТА», 2008. –296 с.
- [8] Алексеев С. Н. Коррозия и защита арматуры в бетоне. М.: Стройиздат, 1968. –230 с.

Институт механики и сейсмостойкости сооружений им. М.Т. Уразбаева АН РУз

Дата поступления 09.03.2020

X.A. Байбулатов, M.Ж. Бердибаев. Темирбетон конструкцияларининг юк кутариш қобилиятига коррозиянинг таъсири

Мақолада ку̂прик иншоотларининг эксплуатация жараёнида темирбетон конструкцияларида пайдо бу̀ладиган коррозия ва унинг келиб чиқиш сабаблари келтирилган. Темирбетон конструкцияларнинг юк ку̀тариш қобилиятига коррозиянинг таъсири у̀рганилган.

H.A. Baybulatov, M.J. Berdibaev. The effect of corrosion on the bearing capacity of reinforced concrete structures

The article presents the corrosion and causes of corrosion in reinforced concrete structures during the operation of bridge structures. The effect of corrosion on reinforced concrete structures on its bearing capacity was studied.

А.А. РИЗАЕВ, А.Т. ЙУЛДАШЕВ, Р.Р. ХУДАЙКУЛИЕВ, Ж. СУЛТАНОВ

АНАЛИЗ И ОЦЕНКА ПНЕВМОТРАНСПОРТНОЙ СИСТЕМЫ ХЛОПКОУБОРОЧНОЙ МАШИНЫ

Аналитический обзор по пневмотранспортной системе машин основывался на результатах исследований отечественных серийных хлопкоуборочных машин и материалах, полученных из Интернета и других источников [1].

Как известно, в хлопкоуборочных машинах транспортировка хлопка-сырца осуществляется всасывающим и эжекционно - нагнетательным способами. Пневмотранспортная система хлопкоуборочной машины должна обеспечить транспортирование собранного урожая из рабочей камеры уборочного аппарата при урожайности хлопка-сырца от 20 до 50 ц/га. При этом должно обеспечиваться бесперебойное всасывание дольки или группы долек коробочки хлопка нижней частью приемной камеры уборочного аппарата с минимальным повреждением семян и волокна при пропускании через рабочее колесо вентилятора. Обеспечение необходимой скорости всасывания воздушным потоком в нижней части приёмной камеры уборочного аппарата существенно предотвращает сбивание хлопка-сырца на землю.

Авторами [2] проведено исследование зоны передних съемников хлопкоуборочных аппаратов со всасывающей и эжекционно - нагнетательной системами пневмотранспорта.

Во всасывающей системе серийной хлопкоуборочной машины ХНП-1,8 в нижней части приемной камеры скорость воздушного потока составляет 4.4 м/с, а в верхней части – 24.5 м/с [2]. При таких скоростях воздушного потока не исключены сбивание хлопка на землю и повреждение семян хлопка, что подтверждено многолетними испытаниями в УзГЦИИТТ. Повышение же скорости воздушного потока требует увеличения скорости вращения вентилятора, которое приводит к увеличению повреждаемости семян хлопка и его засоренности в результате всасывания пылесодержащего воздуха из нижней открытой части приемной камеры. Применение эжекционнонагнетательной системы пневмотранспорта потребует увеличения скорости вращения вентиляторов свыше 3000 об/мин, которое приводит к повышению потребляемой мощности до 16 кВт, а также увеличению засоренности собранного хлопка.

В исследованиях [3] произведены замеры скорости воздушного потока в трубопроводах хлопкоуборочной машины МХ-2,4. В хлопкоуборочной машине МХ-2,4 имеется 8 всасывающих трубопроводов. Замеры произведены при частоте вращения вала двигателя $n_{\partial e}$ =2200 мин⁻¹ и вентилятора n_{een} =1540 мин⁻¹. Результаты замеров показали, что на 8-ми трубопроводах скорости воздушного потока разные и колеблются в верхней точке приёмной камеры от 13.3 до 17.8 м/с, а в нижней части приёмной камеры – от 5.0 до 7.5 м/с. Эти скорости не исключают потери хлопка на землю и повреждаемости семян хлопчатника.

Авторами [4] приведены данные необходимой весовой концентрации смеси воздуха и хлопка-сырца в трубопроводах пневмотранспортной системы хлопкоперерабатывающей отрасли.

Весовая концентрация смеси — это безразмерная величина, которая определяется отношением веса хлопка-сырца $(G_{\rm M})$, переносимого в единицу времени, ко всему расходу воздуха $(G_{\rm B})$ за тот же промежуток времени:

$$\mu = \frac{G_M}{G_R} \,. \tag{1}$$

В хлопкоперерабатывающей отрасли для транспортировки хлопка-сырца применяют трубопроводы диаметром 400-500 мм. При этом весовая концентрация смеси при производительности пневмотранспортной установки 10-12 т/ч хлопка-сырца составляет от 0.6 до 0.8 (μ =0.6-0.8). График зависимости скорости витания хлопка-сырца от его объемного веса и размеров комков, а также от диаметра трубопровода представлен на рисунке [4].

По опытам, проведенным ЦНИИХпромом, установлено, что скорость воздуха, транспортирующего хлопок в трубопроводах (V_6), должна быть больше скорости витания в 1.7 раза:

$$V_{\mathfrak{g}} = 1.7 \cdot V_{\mathfrak{g}}. \tag{2}$$

На основе графика (см. рисунок) для трубопровода d = 0.175 м при объемном весе хлопкасырца $\gamma_{\rm M}$ = 50 кг/м³ скорость витания составляет $V_s = 8$ м/с [4].

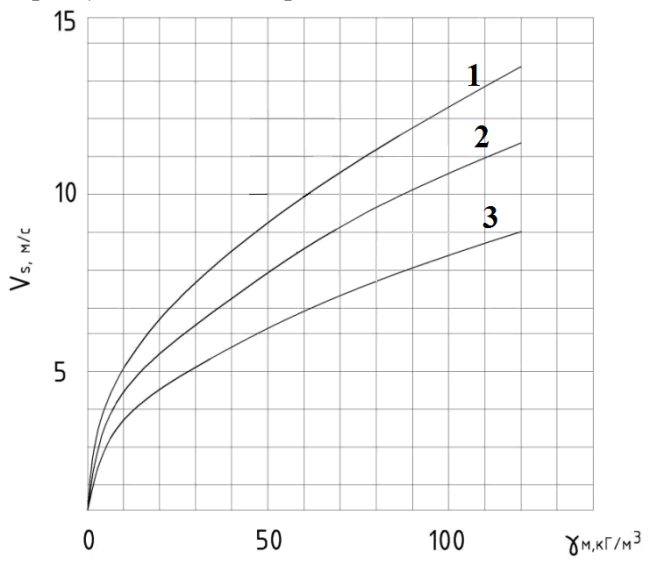


График зависимости витания хлопка-сырца от его объемного веса и размера комков при d, равном: 1 - 0.25 м; 2 - 0.175 м; 3 - 0.1 м.

 $G_p = 2000-5000$ кг/га;

- полнота машинного сбора Π =0.88;
- скорость машины $V_{\rm M} = 4.2 \, {\rm кm/q} = 1.16 \, {\rm m/c};$
- ширина междурядья B = 0.9 м;
- количество всасывающих трубопроводов при сборе с одного рядка n = 2;
- диаметр трубопровода d = 0.18 м;
- скорость воздушного потока в трубопроводах $V_{\rm g} = 24.5 \, {\rm m/c};$
- удельный вес воздуха $\gamma_B = 1.2 \text{ кг/м}^3$.

Транспортирование хлопка-сырца за секунду в одном трубопроводе определяется по формуле
$$G_{\scriptscriptstyle M} = \frac{G_{\scriptscriptstyle p} \cdot B \cdot V_{\scriptscriptstyle M} \cdot \Pi}{n \cdot 10^4} \, \text{кг/c}. \tag{3}$$

Расход воздуха за это время одним трубопроводом равняется

$$G_{\scriptscriptstyle B} = \frac{\pi d^2}{4} \cdot V_{\scriptscriptstyle B} \cdot \gamma_{\scriptscriptstyle B} \text{ KF/c.} \tag{4}$$

Согласно вышеприведенным исходным данным и выражениям (3), (4),

$$G_M = \frac{G_p \cdot 0.9 \cdot 1.16 \cdot 0.88}{2 \cdot 10^4} = G_p \cdot 0.45 \cdot 10^{-4} \,\text{kg/c}, \tag{5}$$

$$G_B = \frac{3.14 \cdot 0.18^2}{4} \cdot 24.5 \cdot 1.2 = 0.747 \text{ Kg/c}.$$
 (6)

Согласно выражению (5), составлена таблица.

Влияние раскрытой части урожайности хлопчатника и скорости машины на весовую концентрацию хлопковоздушной смеси μ

G_p , кг/га	2000	2500	3000	3500	4000	4500	5000
G_{M} , KT/C	0.09	0.112	0.135	0.157	0.18	0.20	0.225
G_B , кг/с	0.747	0.747	0.747	0.747	0.747	0.747	0.749
μ	0.120	0.149	0.181	0.210	0.241	0.267	0.30

Анализ таблицы показывает, что весовая концентрация смеси в трубопроводах хлопкоуборочных машин сравнительно меньше, чем в пневмотранспортной системе хлопкоперерабатывающей отрасли: μ =0.12–0.3.

При этом скорость всасывающего воздуха в трубопроводе равна

$$V_6 = 1.7.8 = 13.6 \text{ m/c}.$$

При μ =0.6 в трубопроводе, согласно выражению (1), возможна транспортировка хлопка-сырца $G_{M} = 0.235$ кг за секунду. Это означает, что при диаметре трубопровода d=0.175 м и скорости воздушного потока V_6 =13.6 м/с можно транспортировать хлопоксырец в $G_{M} = 0.235$ кг.

В хлопкоуборочных машинах применяется трубопровод диаметром d=0.18 м, а скорость воздуха $V_6 = 24.5$ м/с. Расчетным путем определяем, как изменяется весовая концентрация смеси (и) в трубопроводах хлопкоуборочных машин в зависимости от урожайности поля и скорости машин.

Для расчета принимаем следующие исходные параметры:

- раскрытый урожай хлопка с одного гектара

В связи с этим целесообразно разработать новую конструкцию приемной камеры уборочного аппарата, позволяющую транспортировать хлопок-сырец повышенной весовой концентрации (т.е. μ =0.3) за счет уменьшения потребляемой мощности вентилятора.

ЛИТЕРАТУРА

- [1] Jingshan Tian, Xuyi Zhang, Wangfeng Zhang, Hengyi Dong, Zhan Zhao. Leaf adhesivenes affects damage to fiber strength during seed cotton clraning of machine-harvested cotton // Industrial Crops and Products. Vol. 107. November. 2017. P. 211–216.
- [2] Касимов И., Усаров С. Исследования зоны передних съемников хлопкоуборочных аппаратов со всасывающей и эжекционно-нагнетательной системами пневмотранспорта //Механизация хлопководства. 1990. № 6. С.11.
- [3] Отчет о НИР за 2018 г. По проекту МВ-Атех-2018-92 на тему «Разработка и уточнения параметров работы уборочного аппарата с ресурсосберегающими рабочими органами (шпиндель, барабан и др.) пневмосистемы четырехрядной машины» (промежуточный)/ Рук.темы Ризаев А.А. Ташкент: ИМиСС АН РУз, 2018. –108 с.
- [4] Роганов Б.Й., Джабаров Г.Д., Котов Д.А., Балтабаев С.Д., Соловьев Н.Д. Первичная обработка хлопка. М.: Легкая индустрия, 1965. С. 406 417.

Институт механики и сейсмостойкости сооружений им. М.Т. Уразбаева АН РУз

Дата поступления 28.11.2019

А.А. Ризаев, А.Т. Йулдашев, Р.Р. Худайкулиев, Ж. Султанов. Пахта териш машинасида пахтани хаво кувурида ташиш тизимини тахлил қилиш ва бахолаш

Мақолада пахта териш машинасида пахтани сўрувчи ва итарувчи босим остида ҳаво қувурида ташишнинг ютуқ ва камчиликлари қараб чиқилган. Пахта териш машинасининг қувурлари орқали ва пахтани қайта ишлаш корхоналарида ташишда пахта ва ҳаво аралашмаларини қийматларининг ўзгариши ўрганилган. Таҳлилларга асосан пахтани ҳаво қувурида ташишда ҳаво оқимидан самарали фойдаланиш учун сифат кўрсаткичларини камайтирмасдан ҳаво оқимини камайтиришга имкон берувчи терим аппаратидаги пахтани ҳабул ҳилиш камерасининг янги конструкциясини ишлаб чиҳишга тавсия берилган.

A.A. Rizaev, A.T. Yuldashev, R.R. Hudaykuliev, Dj. Sultanov. Analysis and evaluation of the cotton harvesting pneumatic system

The article discusses the advantages and disadvantages of the pneumatic conveying system of the cotton picking machine of the suction and ejection-discharge method. The weight concentration of the air mixture during transportation of raw cotton in the cotton processing industry and transportation of cotton-picking machines in pipelines is considered. Based on the analysis with the aim of economical use of the air flow, it is recommended to develop a new design of the receiving chamber of the cotton-picking apparatus, which allows reducing the air flow requirements.

УДК 629.114.2

А.А. АХМЕТОВ, Ш.А. АХМЕДОВ, Д.У. КАМБАРОВА

ВЛИЯНИЕ КОЛЕСНОЙ ФОРМУЛЫ ТРАКТОРА НА УВОД И ПРОГИБ ШИНЫ ПЕРЕДНЕГО КОЛЕСА

Введение. В хлопкосеющих хозяйствах для обеспечения вписываемости конструкции в междурядья с развитыми кустами хлопчатника на междурядных обработках, при борьбе с вредителями и болезнями, на дефолиации и десикации хлопчатника используются такие высококлиренсные трехколесные тракторы, как TTZ-811. В разгар сезона полевых работ по уходу за хлопчатником, особенно во время культивации междурядья, местами ощущается их острая нехватка. В то же время из-за недостаточности загрузки имеющиеся в хозяйствах четырехколесные тракторы довольно часто простаивают. При этом из-за недостаточной агротехнической проходимости под балкой переднего моста их невозможно использовать на междурядных обработках посевов хлопчатника.

В целях устранения этого недостатка на основе исследований, проведенных в ООО «Конструкторско-технологический центр сельскохозяйственного машиностроения» (ООО «КТЦСМ»), был разработан четырехколесный универсально-пропашной трактор с регулируемым клиренсом ТТZ-1033 [1, 2], имеющий возможность изменения клиренса с низкоклиренсного на высококлиренсное положение и наоборот.

Цель исследования — сравнительная оценка преимуществ и недостатков четырехколесного универсально-пропашного трактора с регулируемым клиренсом и серийного трехколесного универсально-пропашного трактора.

Материалы и методы. Проведенными лабораторно-полевыми исследованиями установлена возможность применения четырехколесного универсально-пропашного трактора с регулируемым клиренсом на междурядных обработках посевов хлопчатника, где он показал хорошую агротехническую проходимость.

С агротехнической и экологической точек зрения, кроме агротехнической проходимости, наиболее важными показателями трактора считаются прямолинейность движения и техногенное воздействия его колес на почву. Прямолинейность движения трактора, главным образом, зависит от бокового увода его направляющих колес, а техногенное воздействие его колес на почву – от нагрузки на переднее колесо и площади контакта его шины с почвой. Причем величина бокового увода и площади контакта шины с почвой в определенной степени зависит от прогиба шины колеса. В свою очередь прогиб шины зависит от нагрузки на переднее колесо, давления воздуха в шине и типоразмеров самой шины. Это объясняется следующими соображениями.

При приложении к шине переднего колеса трактора (рис. 1) вертикальной нагрузки G_n и боковой силы P_{δ} почва реагирует на эти силы вертикальной R_n и горизонтальной F_c силами реакции. Под действием этих сил шина деформируется и прогибается.

В пределах реальных вертикальных нагрузок G_n , действующих со стороны трактора на направляющее колесо, можно принять линейную зависимость между нагрузкой G_n и прогибом шины h_u , которая описывается формулой Хейдекеля [3]

$$h_{uu} = \frac{G_n}{2\pi \rho_w \sqrt{r r_{np}}},\tag{1}$$

где ρ_w – избыточное давление воздуха в шине, МПа; r – статический радиус колеса, м; r_{np} – радиус протектора шины колеса, м. Причем участки шины, которые ближе к поверхности контакта с почвой, сильнее деформируются.

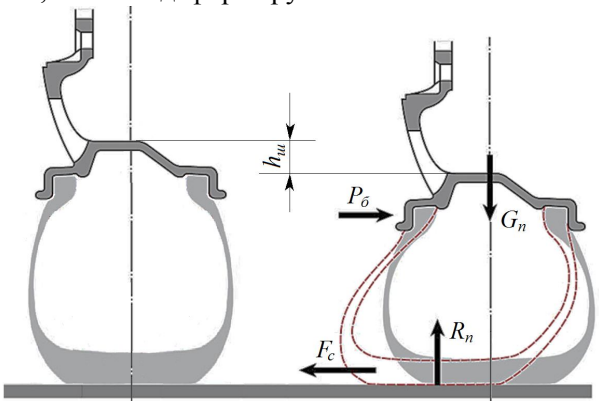


Рис. 1. Прогиб шины при качении колеса, находящегося под воздействием вертикальной нагрузки и бокового усилия

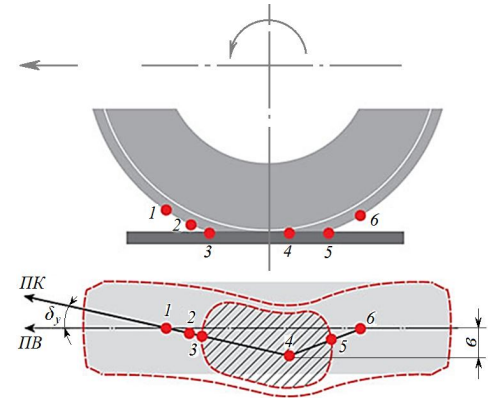


Рис.2. Схема определения увода колес

Возьмем некую точку I (рис. 2) на середине оси симметрии шины колеса. Эта точка чем ближе к поверхности контакта с почвой, займет положение 2 за счет деформации шины, смещаясь в противоположную направлению бокового усилия сторону. Войдя в контакт с поверхностью почвы, за счет прогиба и деформации шины она переместится в положение 3, и в последующем в положение 4. В положении 4 касательное напряжение шины достигает максимального значения по условиям сцепления. Перед выходом из контакта с поверхностью почвы исследуемая точка займет положение 5 и в точке 6 возвратится на серединную плоскость вращения колеса ΠB , т.е. к исходной позиции.

Итак, исследуемая точка за один оборот колеса смещается в боковую сторону на некую величину в, т.е. немного скатывается в сторону. При этом траектория движения исследуемой точки на участке 1—4 не совпадает с плоскостью вращения колеса, и она показывает направления реального движения колеса, а плоскость, проходящая по этой траектории, является плоскостью качения колеса ПК. Угол между плоскостью вращения ПВ колеса и плоскостью его качения (ПК) показывает величину угла увода колеса δ_{ν} .

Таким образом, под воздействием вертикальной нагрузки шина деформируется и прогибается, а наличие бокового усилия приводит к уводу колеса.

Результаты и обсуждение. В целях выявления преимуществ и недостатков четырехколесного универсально-пропашного трактора с регулируемым клиренсом перед трехколесным трактором проводили эксперименты по изучению влияния их эксплуатационных параметров на боковой увод и на величину деформации шины переднего колеса. Для этого проведены многофакторные эксперименты [4] по плану Хартли-3. При этом в качестве факторов, влияющих на угол бокового увода (Y_I) и на величину прогиба шины (Y_2) колеса сравниваемых тракторов, были выбраны вертикальная нагрузка G_n на передние колеса (X_I) , избыточное давление ρ_w воздуха в шине (X_2) и боковое усилие P_{δ} (X_3) , которые приняты как основные управляемые факторы (таблица).

Основные факторы и уровни их варьирования

Фамторы и их размориости	Кодированное	Интервалы	Уровни факторов			
Факторы и их размерности	обозначение	варьирования	верхний	основной	Нижний	
Вертикальная нагрузка на передние колеса, Н	X_I	1069	15186	14117	13048	
Избыточное давление воздуха в шине, МПа	X_2	0.5	0.22	0.17	0.12	
Боковое усилие, Н	X_3	2943	5886	2943	0	

Эксперименты проводились по методикам, изложенным в работе [4]. Для уменьшения влияния внешних неконтролируемых факторов последовательность проведения экспериментов рандомизирована с помощью таблицы случайных величин.

Почвенный фон — серозем, в горизонтах 0—20 см влажность и твердость почвы составили соответственно 16.8% и 1.72 МПа.

Обработку результатов эксперимента, расчет коэффициентов регрессии, оценку их значимости, проверку воспроизводимости процесса и гипотезы адекватности полученных уравнений проводили по общеизвестной методике с использованием компьютерных обработок [4].

В результате регрессионного анализа коэффициентов, сопоставления критериев t_{pac} , полученного расчетным путем, с табличными значениями критерия Стьюдента были составлены уравнения регрессии, адекватно описывающие критерии оценки по углу бокового увода колеса (Y_l , градус) и по величине прогиба шины колеса (Y_2 , мм) для сравниваемых тракторов:

- TTZ-811:

$$Y_{l}=0.566 - 0.240 X_{l} + 0.665 X_{3} + 0.180 X_{l}^{2} + 0.254 X_{l}X_{2} + 0.090 X_{l}X_{3} + 0.045 X_{2}^{2} + 0.330 X_{2}X_{3} + 0.119 X_{3}^{2}; (2)$$

$$Y_{2}=33.947 - 8.700 X_{l} + 5.900 X_{2} + 5.533 X_{3} + 4.032 X_{l}^{2} + 1.750 X_{2}X_{3} + 1.232 X_{3}^{2}; (3)$$

- TTZ-1033:

$$Y_1 = 0.459 - 0.068 X_1 + 0.040 X_2 + 0.473 X_3 - 0.038 X_1^2 - 0.033 X_1 X_2 - 0.102 X_1 X_3 + 0.017 X_3^2;$$
 (4)

$$Y_2 = 23.583 - 5.000 X_1 + 3.667 X_2 + 3.200 X_3 + 9.722 X_1^2 + 4.000 X_1 X_2 - 1.478 X_2^2 - 1.900 X_2 X_3 - 2.678 X_3^2$$
 (5)

В результате анализа полученных данных установлено (рис. 3), что при одинаковом значении исследуемых факторов боковой увод у трактора с колесной формулой 3К2 (TTZ-811) больше на 22.2 – 49.4%, в среднем на 35.8% по сравнению с трактором с колесной формулой 4К2 (TTZ-1033). При этом прогиб шины у трактора с колесной формулой 3К2 при наличии бокового усилия больше в среднем на 43.94 % по сравнению с трактором с колесной формулой 4К2.

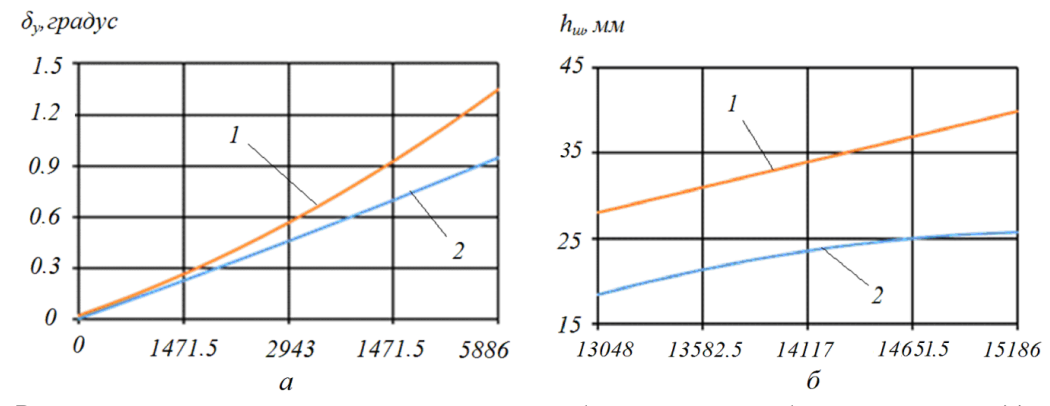


Рис. 3. Влияние вертикальной нагрузки на переднее колесо и бокового усилия на боковой увод колеса (a) и прогиб шины (δ) : 1-TTZ-811; 2-TTZ-1033

Как установлено, интенсивность возрастания бокового увода колеса с возрастанием бокового усилия у трактора с колесной формулой 3К2 больше, чем у трактора с колесной формулой 4К2.

Выводы. Таким образом, значительно большой прогиб шины и боковой увод у трактора с колесной формулой 3К2 по сравнению с трактором с колесной формулой 4К2 приводит к неустойчивости прямолинейного движения этого трактора, особенно при наличии бокового усилия.

ЛИТЕРАТУРА

- [1] $A x m e \tau o b$ A . A . , A x m e д o b III . A . Хлопководческий универсально-пропашной трактор с регулируемым клиренсом. Ташкент: Фан, 2016. 200 с.
- [2] Патент UZ IAP 05840. Колесный трактор с переменным клиренсом / Ахметов А.А., Ахмедов Ш.А. Расмий ахборотнома. 2019. №6.
- [3] Γ у с ь к о в B . В . Тракторы. Минск: Высшая школа, 1977. 384 с.
- [4] Мельников С.В., Алешкин В.Р., Рощин П.М. Планирование эксперимента в исследованиях сельскохозяйственных процессов. Л.: Колос, 1980. 168 с.

ООО «Конструкторско-технологический центр сельскохозяйственного машиностроения»

Дата поступления 16.01.2020

А.А. Ахметов, Ш.А. Ахмедов, Д.У. Камбарова. Олдинги гилдирак шинасининг огиши ва эгилишининг трактор гилдираги формуласига таьсири.

Мақолада клиренси ростланадиган тўрт ғилдиракли универсал-чопиқ трактори ва уч ғилдиракли тракторишини қиёсий бақолаш натижалари келтирилган. Тадқиқот факторларининг салмоқлилиги ҳар хил бўлганида 4К2 ғилдирак формулали тракторларга нисбатан 3К2 ғилдирак формулали тракторда ёнга оғиш ўртача 22.2 — 49.4 % га кўп шу билан бирга бўйлама куч таьсир қилганда бу нисбат 3К2 ғилдирак формулали тракторда 4К2 ғилдирак формулали тракторда 4К2 ғилдирак формулали тракторда 4З.94 % га кўпроқни ташкил қилади.

A. A. Akhmetov, Sh.A. Akhmedov, D. U. Kambarov. In influence of wheel formulas on the tractor pull and deflection of the front tire.

The article presents the results of a comparative evaluation of the work of a four-wheel universal-tilled tractor with adjustable clearance and a serial three-wheel universal-tilled tractor. Studies have found that with the same value of the studied factors, the lateral withdrawal of a tractor with a 3k2 wheel formula (TTZ-811) is greater by 22.2 - 49.4%, on average 35.8% compared to a tractor with a 4K2 wheel formula (TTZ-1033). In this case, the deflection of the tire in a tractor with a 3k2 wheel formula in the presence of lateral force is greater by 43.94% compared to a tractor with a 4K2 wheel formula.

УДК 629.3.023.21

А.А. ШЕРМУХАМЕДОВ, А.А. ТОГАЕВ, Н.Т. ЭРГАШЕВ

ЧИСЛЕННЫЙ АНАЛИЗ НАПРЯЖЕННО-ДЕФОРМАЦИОННОГО СОСТОЯНИЯ ОСНОВАНИЯ КУЗОВА ПРИЦЕПА УНИВЕРСАЛЬНОГО ШАССИ С ИСПОЛЬЗОВАНИЕМ РАЗЛИЧНЫХ МАТЕРИАЛОВ

Общеизвестно, что выращивание, сбор и хранение сельскохозяйственной продукции является одной из важнейших задач для всех стран, включая нашу республику. По мере роста спроса на продукцию важным фактором достижения этой цели является производство недорогой, эффективной и долговечной техники, используемой для ее выращивания, сбора урожая, транспортировки [1]. Поэтому несколько крупных компаний мира, такие как JOCKIN (Бельгия), ANNABURGER MultiLandPlus (Германия), Cargo (Германия), Zavod Kobzarenko (приложение Украинско-Немецкого общества), Weberlane (Канада) и др. работают над производством прицепов с универсальным шасси и сменными кузовами [2–4]. Подобные тракторные прицепы планируется производить на заводе сельскохозяйственного машиностроения в нашей стране.

Проектирование, разработка и тестирование новых типов оборудования требуют от производителей много времени и денег. Выбор параметров конструкции с использованием компьютерного программного обеспечения позволяет сэкономить время и затраты, повысить производительность разработки техники путем проведения раннего анализа их работы. В настоящее время имеются разнообразные компьютерные программы, позволяющие рассчитывать напряженно-деформированное состояние конструкции платформы кузова тракторного прицепа с универсальным шасси. Используя эти программы, многие ученые по всему миру смогли проанализировать напряженно-деформируемое состояние рамных конструкций. Вопросами применения компьютерных программ с использованием метода конечных элементов при анализе напряженно-

деформационного состояния прицепов и полуприцепов занимались ряд исследователей. В частности, Mohd Azizi Muhammad Nor и др. [5] провели сопоставительный анализ данных нагруженности нижнего шасси 35- тонного прицепа в программном комплексе CATIA V5R18 и данных аналитического расчета. Результаты показали хорошее согласование значений максимальных кручений и некоторую разницу по величине. Прочность рамы полуприцепов от нагрузок с помощью МКЭ была проанализирована Koszalka и др. [6]. Анализ проводился для двух типов рам, причем основное внимание уделяется расположению места наибольшей нагрузки на раму. M.M Shivakumar и др. [7] проведено исследование по анализу рамы шасси, в частности, действующих нагрузок на выбранную модель и усталостной прочности. На основе анализа была изменена конструкция рамы шасси и улучшены расчетные модели. Chintada Vinnod Babu [8] исследовал изменение напряженнодеформируемого состояния рам шасси, изготовленных из различных материалов. Деформация рамы шасси EICHER 11.10 была проанализирована с использованием пакета программного обеспечения ANSYS с применением трех различных материалов (St52, Ni-Cr Steel и CFRP). Применение материала CFRP по сравнению с материалом St52 даёт уменьшение перемещения до 63.24%, напряжения – до 12.61%. По сравнению с материалом Ni-Cr Steel перемещение уменьшилось до 64.70%, напряжение – до 12.40%.

В странах СНГ широко используется компьютерный комплекс T-FLEX CAD [9]. Т-FLEX CAD – это автоматизированная система проектирования со всеми современными инструментами для разработки проектов любой сложности. Программа обладает мощными параметрическими возможностями трехмерного моделирования и сочетает в себе инструменты документирования и проектирования. Профессиональный САПР сочетает мощные параметрические возможности 2D и 3D моделирования с инструментами для создания и проектирования чертежей и проектной документации для единой системы проектной документации.

Использование программного обеспечения T-Flex имеет ряд преимуществ. Во-первых, операционная система программы на русском языке и удобна для пользователя. Во-вторых, его стандартная библиотека большая, а используемые элементы соответствуют стандартам ГОСТов, применяемых в нашей стране.

В данной статье проведен сравнительный анализ результатов напряженно-деформируемого состояния конструкции платформы кузова тракторного прицепа с использованием различных материалов (легированных и простых углеродистых сталей) под действием вертикальных сил.

Трехмерная модель платформы кузова прицепа в T-Flex показана на рис. 1.

Как и многие программы, для расчета напряженно-деформируемого состояния T-Flex используют метод конечных элементов. Это интегральный метод для численного решения уравнений в частных производных, возникающих при решении задач практической физики. Метод широко используется в решении задач механики деформируемого твердого тела, теплообмена, гидродинамики и электродинамики.

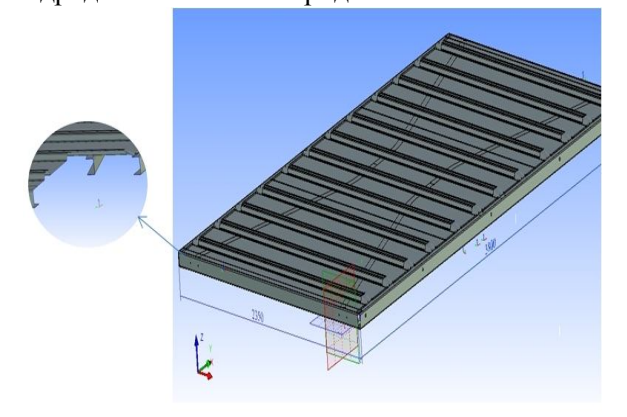


Рис. 1. 3D - модель платформы кузова тракторного прицепа

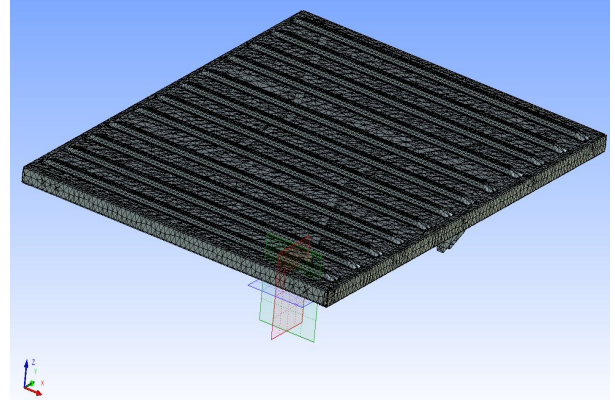


Рис.2. Платформа кузова прицепа с разбивкой на конечные элементы

Конструкция платформы кузова делится на конечные элементы в виде тетраэдров (рис.2). Для выполнения вычислительной работы с использованием программного обеспечения Т-Flex необходимо задать физические свойства материала, соответствующие начальным и граничным условиям.

1. Подбор материалов.

Платформа кузова тракторного прицепа с универсальным шасси должна быть прочной и качественной, поскольку она перемещается в сложных и тяжелых условиях. Поэтому в качестве материала для этой конструкции используются простые углеродистые и легированные стали, характеристики которых представлены в табл. 1.

Таблица 1 Характеристики углеродистой и легированной стали, выбранные для платформы кузова

Показатель	Сталь углеродистая простая	Сталь легированная
Модуль упругости	$2.1E+011 \text{ H/m}^2$	2.1E+011 H/m ²
Коэффициент Пуассона	0.28	0.28
Модуль сдвига	0 H/m^2	0 H/m²
Теплопроводность	43 Bt (m·K)	50 Bт/(м·К)
Коэффициент теплового расширения	1.3E-005 1/K	1.3E-005 1/K
Плотность масс	7800 кг/м ³	7700 кг/ м ³
Предел текучести	2.2059E+008 H/m ²	6.20422E+008 Н/м ²
Предел прочности на растяжение	3.99826E+008 H/m ²	7.23826E+008 H/м ²
Предел прочности на сжатие	3.99826E+008 H/m ²	7.23826E+008 H/м ²
Теплоёмкость	440 Дж (кг-К)	460 Дж/(кг·K)

Граничные условия.

В тех случаях, когда корпус платформы соединен с рамой, он жестко закреплен на опорах поворотного круга. В восьми местах платформы действует нагрузка F = 60000~H при температуре $T_0 = 298~K~(25^{\circ}~C)~[10]$.

Действующие силы и их направления.

На рис. 3 показаны силы, действующие на спроектированную платформу кузова прицепа, при этом силы действуют на выделенную поверхность платформы в вертикальном направлении.

На рис. 4 показаны максимальные напряжения (a, δ) , перемещения (e, ϵ) и эквивалентные деформации (b, ϵ) углеродистых и легированных стальных платформ кузова при максимальной нагрузке (60 kH).

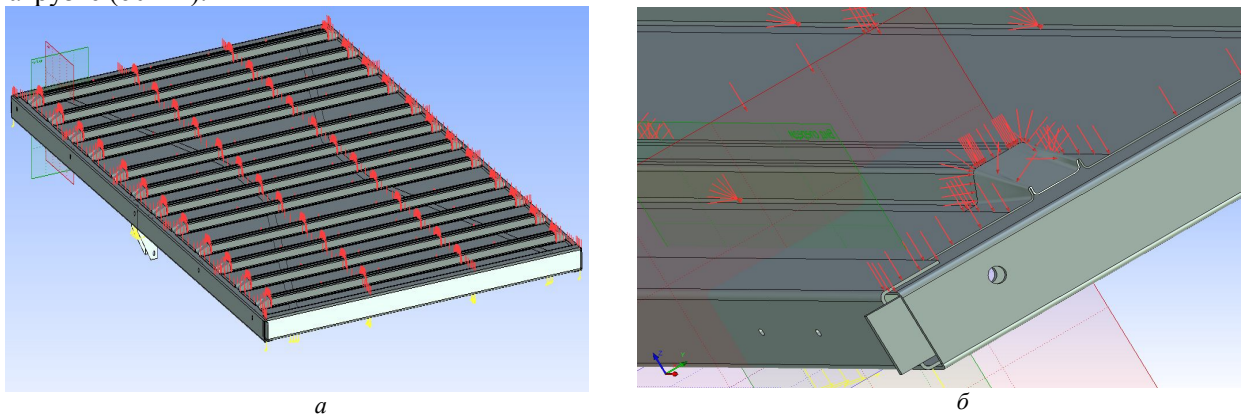


Рис. 3. Силы, действующие на платформу: a – общий вид; δ – фрагмент платформы

Значения напряжения, перемещение и эквивалентной деформации на платформе кузова прицепа приведены в табл.2.

Tаблица 2 Значения напряжения, перемещения и эквивалентной деформации на платформе кузова прицепа

Простая углеродистая сталь	Минимальное значение	Максимальное значение
Напряжение	7.5 МПа	77 МПа
Перемещение	0	4.2 мм
Эквивалентная деформация	0.69 мм	7.19 мм
Легированная сталь	Минимальное значение	Максимальное значение
Напряжение	31.3 МПа	204 МПа
Перемещение	0	4.6 мм
Эквивалентная деформация	3.03 мм	19.7 мм

Таким образом, анализ результатов расчетов показал, что при изготовлении платформы кузова тракторных прицепов с универсальным шасси из простых углеродистых и легированных сталей прочность платформы с легированной сталью по сравнению с углеродистой выше в 2.65 раза.

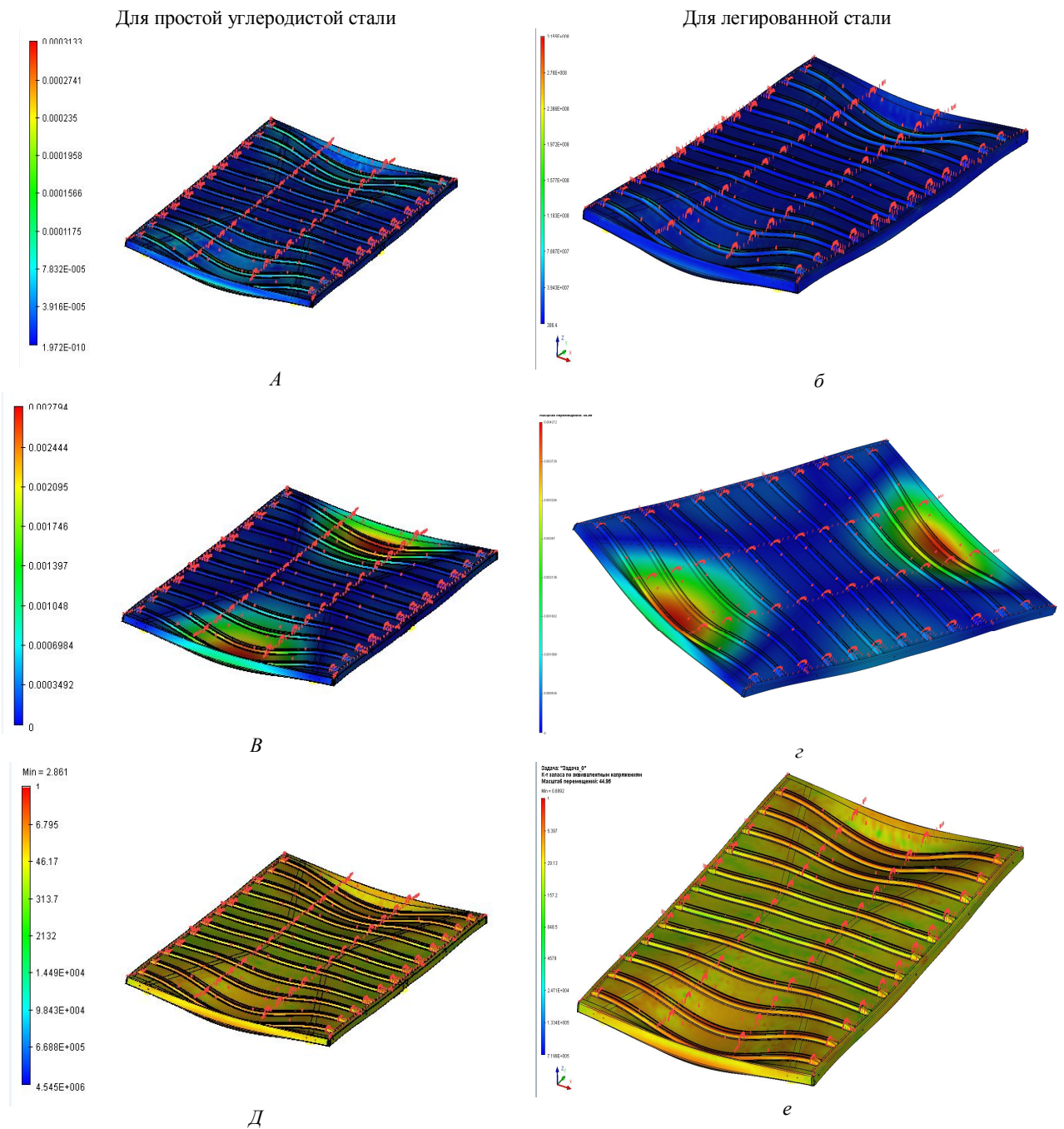


Рис. 4. Максимальные напряжения (a, δ) , перемещения (s, ε) и эквивалентные деформации (∂, e) для углеродистых и легированных стальных платформ кузова

Проверим условия прочности для выбранных материалов и геометрических параметров платформы кузова прицепа. Анализ полученных результатов показывает, что значение максимального напряжения составляет 77 и 204 МПа. Если учесть, что для платформы кузова с материалами сталь 15 и 20ХГСА пределы текучести имеют значения $\sigma_{\rm T}$ =225 МПа и $\sigma_{\rm T}$ =635 МПа, то допускаемые напряжения при расчете на изгиб статической нагрузкой будут иметь значения

$$[\sigma] = \frac{\sigma_{\text{T}}}{k \cdot k_{\text{A}}} = \frac{225}{1.5 \cdot 1} = 150 \text{ M}\Pi \text{a} \text{ u} [\sigma] = \frac{\sigma_{\text{T}}}{k \cdot k_{\text{A}}} = \frac{635}{1.5 \cdot 1} = 423 \text{ M}\Pi \text{a},$$

где k – коэффициент безопасности; $k_{\rm M}$ – динамический коэффициент.

Таким образом, для выбранных материалов и геометрических параметров платформы кузова прицепа условия прочности удовлетворяются.

Данная статья подготовлена на основе результатов, полученных в ходе реализации крупного проекта ГНТП MB-Atex-2018-95 на тему: «Разработка высокопроизводительного и экономич-

ного универсального шасси тракторного прицепа с различными сменными кузовами для использования на многопрофильных объектах».

ЛИТЕРАТУРА

- [1] Шермухамедов А.А., Тогаев А.А., Астанов Б.Ж. Выбор конструктивных параметров тракторных прицепов категории ОЗ // Вестник ТАДИ. 2012. №1–2. С. 60–65.
- [2] https://weberlane.com/industrial/gravel-trailers/
- [3] http://ru.annaburger.de/WechselsystemMultiLandPlus.html
- [4] https://kobzarenko.com.ua/about en.html.
- [5] Mohd Azizi Muhammad Nor., Helmi Rashid., Wan Mohd Faizul Wan Mahyuddin., Mohd Azuan Mohd Azlan., Jamaluddin Mahmud. "Stress Analysis of a Low Loader Chassis" International Symposium on Robotics and Intelligent Sensors, 2012.
- [6] Grzegorz Kolzalka, Debski G., Dziurka H., Kazor M. Design of a Frame to a Semi Low Loader Journal of KONES Powertrain and Transport. Vol. 18. 2011. No.2.
- [7] Shivakumar M. M. Nirmala L. Fatigue Life Estimation of Chassis Frame FESM Bracket for Commercial Vehicle // International Journal of Science and Research (IJSR). Vol 3. Issue 8. August, 2014.
- [8] Chintada. Vinnod, babu Chiranjeeva Rao. Seela, Vykunta Rao. Matta. Structural analysis of Eicher 11.10 chassis frame // International Journal of Engineering Trends and Technology (IJETT). Vol. 22. April 2015. No 7.
- [9] http://www.tflexcad.ru.
- [10] Шермухамедов А.А., Тогаев А.А., Рашидов А.М. Расчет прочности рамной конструкции универсального шасси тракторного прицепа в программном комплексе T-Flex и сопоставительный анализ результатов // Инновации на автомобильном транспорте: основные направления поиска взаимодействия науки и бизнеса. Сборник материалов международного научно-практического семинара. Ташкент: Минтранс РУз, 18–19 сентября, 2019. С. 3–12.

Ташкентский институт по проектированию строительству и эксплуатации автомобильных дорог

Дата поступления 15.01.2020

А.А. Шермухамедов, А.А. Тогаев, Н.Т. Эргашев. Универсал шассили трактор тиркамаси кузови асосини турли материаллардан фойдаланган холда кучланганлик-деформацияланиш холатини сонли тахлили

Мақолада T-Flex дастурий комплексидан фойдаланған қолда универсал шассили трактор тиркамаси кузови асосини турли материаллар учун кучланғанлик-деформацияланиш қолатини сонли тақлили кўриб чиқилған.

A.A. Shermukhamedov, A.A. Togaev, N.T. Ergashev. Numerical analysis of the stress-strain state of the base of the trailer body of a universal chassis using various materials

This article discusses a numerical analysis of the stress-strain state of the base of the trailer body of a universal chassis using the T-Flex software package for various materials.

УДК 625.731.8

А.Д. КАЮМОВ, Д.А. КАЮМОВ

МЕХАНИЗМ НАРУШЕНИЯ ПРОЧНОСТИ СВЯЗЕЙ МЕЖДУ СТРУКТУРНЫМИ ЭЛЕМЕНТАМИ ЗАСОЛЕННЫХ ГРУНТОВ ПОД ВОЗДЕЙСТВИЕМ ПОДВИЖНОЙ НАГРУЗКИ

При проектировании дорожных одежд используются физико-механические свойства, прежде всего, следующие характеристики засоленных грунтов [1]: плотность, влажность, пористость, модуль осадки и так называемые расчетные характеристики: модуль упругости грунта E, удельное сцепление C и угол внутреннего трения φ .

Анализ литературных и нормативных документов по строительству дорог показывает, что физико-механические свойства уплотненных засоленных грунтов также зависят от состояния подвижной нагрузки, т.е. от многократных и кратковременных транспортных нагрузок. Для определения влияния многократных и кратковременных нагрузок на физико-механические свойства, в том числе прочностных и деформационных характеристик уплотненных слабозасоленных супесчаных грунтов хлоридно-сульфатного засоления, проводили соответствующие лабораторные исследования

Лабораторные исследования проводились с слабозасоленными супесчаными грунтами хлоридно-сульфатного засоления. Испытываемый грунт имел следующие характеристики: число пластичности PI=5.35, влажность при текучести $W_{mex}=29.1$ %; влажность при раскатывании $W_P=23.8$ %; максимальная плотность при стандартном уплотнении $\gamma_{max}=1780$ кг/м³ и оптимальную

влажность W_{on} =17.5 %. Для определения вышеотмеченных свойств грунтов образцы подготовлены следующим образом. Слабозасолённый грунт естественного сложения с ненарушенной структурой предварительно увлажняли до 0,6 – 1,0 W_{mex} . Для равномерного распределения влаги увлажненный участок грунта покрывали полиэтиленовой пленкой. После разработки грунта они распадали на систему агрегатов ненарушенной структуры различного размера. Уплотнение грунтов до коэффициента уплотнения K_y =0.94–1.02 на кольце сдвигового прибора ГГП-30 (конструкция Маслова–Лурье), высотой h=3.5 см и диаметром d=7.1 см осуществляли на гидравлическом прессе кратковременно повторяющимся действием при удельном давлении 0.7 МПа. Общее время выдерживания образца под нагрузкой составляло 2 мин. Прежде чем определить свойства уплотненных агрегированных грунтов, на образец прикладывали кратковременные и циклические нагрузки.

Учитывая, что давление на дорожную одежду от колеса автомобиля P=0.6 МПа уменьшается, на грунт земляного полотна оно доходит до P=0.1 МПа, эту нагрузку передавали к образцу циклически [2]. Порядок приложения циклической нагрузки осуществляли следующим образом. На рычаг прибора ГГП-30, передающий вертикальное давление на грунт, установлено специальное устройство, позволяющее превращать постоянную статическую нагрузку на кратковременную циклическую. При проведении эксперимента время действия вертикальной нагрузки на образец составило 0.1–0.3 с., а интервал между погружениями нагрузки – 0.3–0.5 с. Число приложений кратковременной нагрузки фиксировали с помощью электросчетчика, установленного на приборе. Результаты экспериментов показаны в таблице.

Влияние кратковременной и циклической нагрузки на свойства засоленных супесей хлоридно-сульфатного засоления при $W=0.8W_{\rm tek},\,K_y=0.96$

Свойства грунтов	Количество приложенных кратковременных и циклических нагрузок при ΣΝ _р								
Своиства грунтов	0	1	10^{1}	10^{2}	10^{3}	10^{4}	10^{5}	10^{6}	
Остаточная деформация l , мм	0	0.010	0.182	0.328	0.437	0.546	0.656	0.765	
Плотность грунтов γ , кг/м ³	1709	1710	1718	1725	1730	1736	1741	1746	
Пористость <i>n</i> , %	0.360	0.359	0.357	0.354	0.352	0.350	0.348	0.346	
Коэффициент пористости ξ	0.562	0.561	0.555	0.548	0.543	0.538	0.534	0.529	
Модуль осадки а, мм/м	0	0.40	5.20	9.37	12.48	15.60	18.74	21.86	
Влажность грунтов, в долях от W_T	0.981	0.976	0.967	0.958	0.949	0.939	0.930	0.925	

Проведенные лабораторные эксперименты (см.таблицу) показывают, что с увеличением количества воздействия циклических и кратковременных нагрузок на образец и влажности грунта увеличиваются остаточные деформации, плотность и модуль осадки, а пористость, коэффициент пористости, прочностные и деформационные характеристики грунта уменьшаются.

Результаты лабораторных экспериментов можно объяснить следующим образом.

Условия возникновения и накопления остаточных деформаций под воздействием кратковременной многократной прикладываемой нагрузки можно проследить с помощью модели, аналогичной предложенной В.Д.Казарновским [3, 4] и представленной на рисунке.

Рассмотрим совместную работу под нагрузкой различных связей, возникающих между двумя структурными элементами A и B. В модели между двумя структурными элементами действуют включенные параллельно жесткая и вязкая связи. В засоленном грунте роль жестких связей выполняют грунтовый скелет, состоящий из минеральных зерен, и кристалл солей, а также сильно модифицированные пленки связанной воды, адсорбированные на поверхности грунтовой частицы, роль вязких связей — поровая вода и пленки связанной воды. Свойства жестких связей не зависят от временных факторов, а свойства вязких связей зависят.

Жесткая связь характеризуется упругим характером деформирования: приложенная нагрузка вызывает практически мгновенную деформацию; с увеличением нагрузки деформация нарастает, чаще всего примерно линейно. Жесткая связь обладает хрупким характером разрушения. При этом прочность ее практически не зависит от характера и скорости приложения нагрузки. Свойства такой связи моделируются с помощью механического элемента, содержащего пружину (реологическое тело Гука) и включенный с ней последовательно элемент, работающий на трение и моделирующий хрупкое разрушение (элемент срабатывает при превышении растягивающим его усилием некоторого значения $R_{\rm w}$).

Вязкая связь характеризуется тем, что деформируются под нагрузкой не мгновенно, а по времени (упруговязкий характер деформирования). Вязкая связь моделируется с помощью реоло-

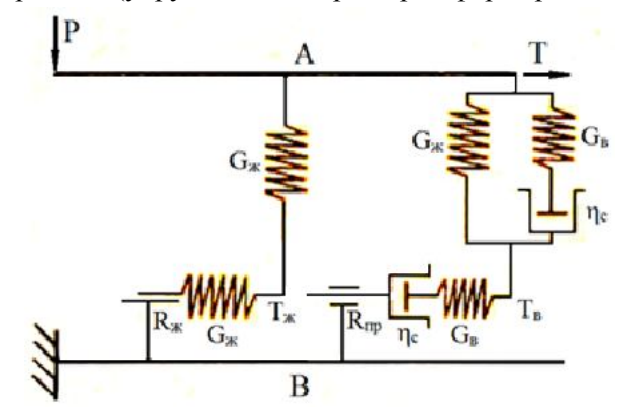


Схема анализа взаимодействия жестких и вязких связей, действующих между отдельными структурными элементами: A и B — структурные элементы; P — нормальное усилие; T — сдвигающее усилие; $G_{\rm B}, G_{\rm ж}$ — жесткость пружин вязкой и жесткой связей; $T_{\rm B}, T_{\rm w}$ — сдвигающие усилия распределяющие между жесткой и вязкой связями; $R_{\rm w}, R_{\rm np}$ — прочности жесткой связи и предельная прочность; $\eta_{\rm c}$ — условная вязкость связи

гического тела Максвелла, тела Гука и дополнительного элемента трения, срабатывающего при чрезмерном усилии. Поведение связи зависит от скорости и ее деформирования

Прочность связей зависит от напряженного состояния, возникающего под действием внешних нагрузок. Изменение напряженного состояния, прежде всего, отражается на сопротивлении жестких связей, так как их прочность прямым образом связывается с элементом трения. Возникновение в этом элементе некоторого нормального усилия вызывает повышение прочности рассматриваемого элемента. Возникновение под влиянием напряженного состояния дополнительного сопротивления разрушению жесткой связи моделируется введением дополнительной жесткой связи, содержащей элемент

трения, сопротивление которого и будет зависеть от напряженного состояния. При некотором напряженном состоянии такая связь не работает. По мере изменения напряженного состояния между структурными элементами может включиться большее или меньшее количество связей, в соответствии с чем суммарная их прочность будет меняться. При этом в работу могут вступить дополнительно жесткие и вязкие связи. Суммарное сопротивление последних не будет непосредственно связано с напряженным состоянием, однако, будет зависеть от числа этих связей, которое, в свою очередь, соответствует данному напряженному состоянию.

Количество связей, которые могут возникнуть при изменении напряженного состояния, ограничено, так как контакт структурных элементов всегда ограничен по площади. С ростом напряженного состояния (с ростом нормальной нагрузки) количество дополнительно вступающих в работу вязких связей не может превысить некоторого значения, при этом суммарное их сопротивление будет до некоторого напряженного состояния возрастать, а потом оставаться постоянным.

Количество дополнительных связей с ростом напряженного состояния также не может превысить некоторого значения. Однако суммарное их сопротивление возрастает и после того, как количество дополнительных связей будет постоянным, так как это сопротивление связано не с количеством таких связей, а со значением суммарного нормального усилия.

Роль вязких связей не ограничивается только вязким сопротивлением сдвигающей нагрузке T. Наличие упруговязких связей в структуре должно отражаться на сжимающих усилиях в жестких связях, поскольку определенную часть внешнего усилия P упруговязкие связи примут на себя. Для отражения этого обстоятельства к упруговязкому элементу, работающему на сдвиг, подключен упруговязкий элемент, работающий на сжатие от нагрузки P. При этом, поскольку рассматривается процесс разрушения от сдвига, а от нагрузки P разрушения произойти не может, этот дополнительный элемент выполнен в виде тела Кельвина бесконечной прочности. Благодаря его введению отражается влияние связи на напряжения в системе от сжимающей нагрузки P.

При кратковременном приложении нагрузки нормальное усилие P и сдвигающее усилие T мгновенно распределяются между жесткой и вязкой связями пропорционально их жесткости:

$$T_{\rm B} = \Delta G_{\rm B},$$
 (1)

$$T_{\mathsf{w}} = \Delta G_{\mathsf{w}},$$
 (2)

где $G_{\scriptscriptstyle B}$ и $G_{\scriptscriptstyle K}$ – жесткость пружин вязкой и жесткой связей; Δ – величина, на которую произошло растяжение пружин.

Жесткость жесткой связи мало изменяется во времени, жесткость вязкой связи снижается благодаря движению поршня в цилиндре. При этом происходит перераспределение усилий в связях, усилие в жесткой связи будет нарастать соответственно с зависимостью

$$T_{\rm w} = T/[1 + (G_{\rm B})_{\rm t}/G_{\rm w}],$$
 (3)

где $(G_{\text{в}})_{\text{t}}$ – жесткость вязкого элемента, падающая во времени до некоторого конечного значения, зависящего от длины цилиндра.

Сопротивление в элементе трения жесткой связи T_0 будет нарастать во времени, по мере роста в ней нормального усилия до его предельной величины Р

$$T_0 = P\psi$$
, (4)

где ψ – коэффициент трения.

Достигнув своего предела, сопротивление жесткой связи в процессе деформирования не теряется, а сохраняется на том же уровне. Это учтено введением в модель бесконечного длинного (с точки зрения пределов деформирования) элемента трения.

Если действующая нагрузка не превысит сопротивления жесткой связи $T < T_0$, то деформация в модели наблюдаться не будет. Если к модели будет приложена такая нагрузка $T > T_0$, при которой в определенный момент времени усилие, возникающее в жесткой связи, превысит сопротивление в элементе трения жесткой связи, то произойдет его смещение. В результате сопротивление системы может снизиться и это вызовет необратимую деформацию в вязкой связи. Деформация будет продолжаться до тех пор, пока не возрастает сопротивление жесткой связи вследствие увеличения в ней нормального усилия. И тогда сопротивление системы снова окажется больше сдвигающего напряжения. Длительность этого процесса будет зависеть от напряжения, первоначально возникающего в вязкой связи, разности первоначального напряжения в жесткой связи и ее прочностью, а также от вязкости вязкой связи, т. е. в конечном итоге от приложенной нагрузки, прочности жесткой связи и соотношения начальных жесткостей вязкой и жесткой связи.

При однократном приложении нагрузки необратимая деформация вязкой связи будет незначительной. Многократное же приложение нагрузки вызовет накопление этой деформации сдвига. Этот процесс будет иметь монотонный характер по мере движения поршня в бесконечно длинном цилиндре.

Таким образом, предложенная модель наглядно показывает, что до некоторого напряженного состояния остаточные деформации в засоленном грунте не возникнут. Если же напряжения, возникающие в жесткой связи, превысят их сопротивление, то при каждом приложении нагрузки будет образовываться остаточная деформация сдвига (за счет необратимой деформации в вязкой связи), которая будет накапливаться с увеличением количества приложений кратковременной нагрузки.

Результаты лабораторных экспериментов показывают, что в условиях многократного нагружения грунтов значения прочностных характеристик ниже, чем при статическом воздействием нагрузок. При этом происходит уменьшение как сцепления, так и угла внутреннего трения. Это можно объяснить следующим образом. В соответствии с предложенной моделью общая сопротивляемость сдвигу складывается из сопротивляемости жестких и вязких связей. В процессе деформирования происходит снижение сопротивляемости системы за счет смещения в элементе трения жесткой связи. В результате должно снизиться сцепление. Так как сопротивляемость жестких связей, согласно модели, достигнув некоторого предела, не теряется совсем, а общая сопротивляемость системы сдвигу падает, то это свидетельствует и о снижении второй прочностной характеристики – угла внутреннего трения.

Можно отметить, что снижение значений прочностных характеристик тем больше, чем больше влажность грунта. Например, для суглинка при 10000 нагружениях происходит уменьшение по сравнению со статическим: при влажности $0.6W_{\rm тек}$ – сцепления на 6 % и угла внутреннего трения на 4 %, а при влажности $0.8W_{\rm тек}$ – сцепление на 25 % и угла внутреннего трения на 27 %.

Увеличение количества приложений кратковременной нагрузки так же вызывает снижение прочностных характеристик грунта. Так, для суглинка с влажностью $0.7W_{\text{тек}}$ уменьшается по сравнению со статическими значениями при N=1000 – сцепление на 10 %, угол внутреннего трения – на 12 %, а при N=1000000 – сцепление на 15 % и угол внутреннего трения – на 17 %.

Анализ результатов экспериментальных работ также показал, что сцепления и модуль упругости грунтов уменьшаются с уменьшением плотности и влажности грунтов, а угол внутреннего трения оказался практически постоянным при изменении плотности (при заданной влажности).

Вывод о независимости угла внутреннего трения от плотности, при статическом испытании глинистых грунтов был получен В.Д.Казарновским [3] и может быть объяснен следующим образом.

Предположим, что сдвиг происходит по некоторой плоскости. Контакт частиц, непосредственно примыкающих к плоскости сдвига с одной стороны, с частицами, непосредственно примыкающими к плоскости сдвига с противоположной стороны, может осуществляться как через точки непосредственного контакта частиц, так и через водные пленки. Общая площадь сдвига

$$F = F_{\Pi\Pi} + F_{PP} + F_{BO3}, \tag{5}$$

где $F_{n\pi}$ – общая (суммарная) площадь контакта через пленки; F_{rp} – общая (суммарная) площадь непосредственного контакта частиц; $F_{воз}$ – часть общей площади сдвига, приходящаяся на долю воздуха.

Нормальное давление Р, приложенное к плоскости сдвига, может передаваться как через пленки, так и через точки непосредственного контакта. Предположим, что распределение напряжений между пленками и непосредственными контактами происходит пропорционально модулям упругости соответственно пленок и частиц грунта, т.е. предположим, что

$$P_{nn} = mP_{rp} = (E_{nn}/E_{rp})P_{rp},$$
 (6)

где: $P_{n\pi}$ – усилие, действующее на единицу площади пленочного контакта; P_{rp} – усилие, действующее на единицу площади непосредственного контакта; $E_{n\pi}$ – модуль упругости пленок; E_{rp} – модуль упругости твердой фазы.

Предположим, что для преодоления сил трения ко всей площади сдвига потребовалось приложить усилие *T*. Тогда коэффициент трения определится как

$$f = T/PF. (7)$$

Поскольку нормальное давление передается через пленки и точки непосредственного контакта, можно записать

$$PF = P_{rp}F_{rp} + P_{nn}F_{nn}, \tag{8}$$

где Р – нормальное давление на единицу площади сдвига.

Подставляя (7) в (8), получим

$$f = T/(P_{rp}F_{rp} + P_{nn}F_{nn}). \tag{9}$$

Далее необходимо учесть, что трение в пленках весьма мало и может быть принято равным нулю. В таком случае сдвигающее усилие преодолевает только сопротивление трению, возникающее в точках непосредственного контакта. Если обозначить коэффициент трения в точках непосредственного контакта, т.е. коэффициент трения сухой частицы по частице, через f_{rp} , то можно записать

$$T = f_{rp} P_{rp} F_{rp}. \tag{10}$$

Подставляя (10) в (9), получим

$$f = f_{rp} P_{rp} F_{rp} / (P_{rp} F_{rp} + P_{nn} F_{nn}) = f_{rp} / (1 + P_{nn} F_{nn} / P_{rp} F_{rp}).$$
 (11)

или, учитывая (6):

$$f = f_{rp}/(1 + m(F_{rp}/F_{rp})),$$
 (12)

где $m = E_{nn}/E_{rp} = P_{nn}/P_{rp}$.

Анализ формулы (12) показывает, что коэффициент трения для данного грунта зависит от отношения площадей непосредственного контакта и контакта через пленки, а также от отношения модулей упругости пленок и твердой фазы. При неизменной величине m увеличение $F_{\rm nn}/F_{\rm rp}$ (что соответствует повышению влажности грунта) понижает величину коэффициента трения f, если $F_{\rm rp}$ =0 f=0. Это положение соответствует переходу грунта в текучее состояние при повышении влажности границы текучести или отвечает грунтам, в которых контакт осуществляется только через пленки. Из формулы (12) также видно, что при $F_{\rm nn}$ =0, то f=f_{гр}. Вместе с тем f_{гр} для данного грунта величина постоянная. Отсюда следует: если влажность грунта понижается настолько, что контакты через пленки практически исчезают, коэффициент трения при дальнейшем понижении влажности должен оставаться постоянным. Далее из формулы (12) следует, что величина части общей площади сдвига, приходящейся на долю воздуха $F_{\rm воз}$, не оказывает влияния на коэффициент трения.

Таким образом, формула (12) позволяет наглядно объяснить факт независимости угла внутреннего трения от плотности при заданной влажности. Экспериментально установленные закономерности деформирования грунта подтвердили правильность высказанных теоретических представлений о механизме деформирования. А именно: при многократном воздействии кратковременной нагрузки и при влажности больше, чем 0.8W, в уплотненном засоленном грунте происходит накопление остаточной деформации в виде сдвига. Ниже этого показателя влажности грунт ведет себя как твердообразное тело и деформация происходит с изменением формы.

Как отмечалось, прочностные и деформационные свойства засоленных грунтов, подстилающих дорожную одежду, прежде всего, зависят от интенсивности и режима действия нагрузок, напряженного состояния, состояния грунтов по влажности и плотности, вида и степени засоления грунтов, структурных особенностей. Эти зависимости можно выразить в следующем виде:

E, C,
$$\varphi = f(N_p, W_p, K_v, A),$$
 (13)

где N_p – количество приложений нагрузки; W_p – расчетная влажность, в долях от текучести; K_y – коэффициент уплотнения, A – вид и степень засоления грунтов.

Многочисленные экспериментальные исследования, проведенные в лабораторных условиях с образцами, приготовленными при различной плотности и влажности, а также полевые исследования позволили определить значения модуля упругости, угла внутреннего трения и сцепления грунтов, в частности, слабозасоленных супесей хлоридно-сульфатного засоления по следующем выражениям:

$$E=E_0(\lg N_P + 187.4) - \Delta E_W(W_P - 0.55) + \Delta E_{Ky}(K_y - 0.1), \tag{14}$$

$$C=C_0(1.032-0.032 \lg N_P)-\Delta C_W(2.35 W_P-1.29)+\Delta C_{Kv}(15.59 K_y-14.51),$$
(15)

$$\varphi = \varphi_0(1-0.032 \lg N_P) - \Delta \varphi_W(1.72 W_P - 0.95), \tag{16}$$

где E_0 , ϕ_0 , C_0 —коэффициенты, учитывающие приращение модуля упругости, угла внутреннего трения и сцепления в зависимости от числа приложения нагрузки N_P , E_0 =0.372 МПа, ϕ_0 =31°, C_0 =0.031 МПа; ΔE_W , $\Delta \phi_W$, ΔC_W —коэффициенты, учитывающие приращения модуля упругости, угла внутреннего трения и сцепления в зависимости от W_P , ΔE_W =130 МПа, $\Delta \phi_W$ =31°, ΔC_W =0.031 МПа; ΔE_{Ky} , ΔC_{Ky} —коэффициенты, учитывающие приращения модуля упругости, угла внутреннего трения и сцепления в зависимости от K_V , ΔE_{Ky} =295 МПа, ΔC_{Ky} =0.031 МПа.

Таким образом, при проектировании конструкции дорожных одежд целесообразно пользоваться прочностными и деформационными характеристиками засоленных грунтов с учётом воздействия на них кратковременных и многократных нагрузок.

ЛИТЕРАТУРА

- [1] МКН 46-2008. Инструкция по проектированию дорожных одежд нежесткого типа. "Узавтойул" ГАК. Ташкент, 2008.-246 с.
- [2] Каюмов А.Д., Махмудова Д.А. Влияние циклических кратковременных нагрузок на физикомеханические свойства лёссовых грунтов // Наука и техника в дорожной отрасли. М., 2019. №4. С. 40-42.
- [3] Казарновский В.Д. Оценка сдвигоустойчивости связных грунтов в дорожном строительстве. М.: Транспорт, 1985. 168 с.
- [4] Пилепенко А.С. Сдвигоустойчивость глинистых грунтов в основании дорожных одежд под действием крат-ковременных многократных нагрузок: Автореф. дис.... канд. техн. наук. М., 1990. –20 с.

Ташкентский институт проектирования, строительства и эксплуатации автомобильных дорог

Дата поступления 05.03.2020

А.Д. Каюмов, Д.А. Каюмов. Харакатланувчи юк таъсирида шўрланган тупрокларнинг таркибий элементлари орасидаги богланиш кучини бузилиш механизми

Харакатланадиган юк таъсирида шўрланган тупроқларнинг таркибий элементлари орасидаги богланиш кучини синдириш механизмининг назарий тушунчалари берилган. Циклик юк ва намлик миқдори кўпайшии билан шўрланган тупроқларнинг мустахкамлиги ва деформация хусусиятлари пасайшии кўрсатилган.

A.D. Kayumov, D.A. Kayumov. The mechanism of infringement of durability of communications between structural elements salted zpyhmob under the influence of mobile loading

Are resulted theoretical representation of the mechanism of infringement of durability of communications between structural elements salted грунтов under the influence of mobile loading. It is shown that with increase in number of appendices of cyclic loadings and humidity decreases durability and deformation characteristics poor ly salted grounds.

А.Г. ЕСТИФЕЕВА, И.Р. МИФТАХОВА, К.Д. САЛЯМОВА, Х.Х. ТУРДИКУЛОВ

ОБЕСПЕЧЕНИЕ БЕЗОПАСНОЙ ЭКСПЛУАТАЦИИ ГРУНТОВОЙ ПЛОТИНЫ ЧАРВАКСКОЙ ГЭС С УЧЕТОМ ДАННЫХ НАТУРНЫХ НАБЛЮДЕНИЙ

Обеспечение безопасной и надежной эксплуатации высокой грунтовой плотины зависит от своевременного и достоверного анализа данных натурных наблюдений.

В работах исследователей [1, 2] на основе сбора и анализа натурных данных (осадки, горизонтальные смещения, напряжения, поровое давление) по высокой каменно-земляной плотине Нурекской ГЭС проведена оценка состояния, а также качества возведения плотины по сравнению с другими плотинами, построенными в бывшем СССР и за рубежом. Результаты натурных наблюдений по земляной плотине Гоцатлинской ГЭС [3] в процессе наполнения водохранилища позволили выявить особенности фильтрационного режима плотины и напряженно-деформированного состояния асфальтобетонной диафрагмы.

Чарвакская плотина высотой 168 м, длиной по гребню 762 м образует водохранилище общей емкостью 2 км³. Она состоит из вертикального симметричного ядра, возведенного из однородного лёссовидного суглинка, двухслойных переходных зон из песчано-гравийного материала и боковых призм из каменной наброски. Основание плотины сложено известняками, неравномерно трещиноватыми с поверхности и имеющими карстообразования. По сейсмичности район строительства отнесен к 8-балльной зоне. Наполнение водохранилища первой очереди началось в сентябре 1970 г., когда плотина, возведенная по неполному профилю, достигла половины проектной высоты. В 1975 г. максимальный напор на плотину составил 105 м или 2/3 полного напора [4].

На плотине в период строительства и дальнейшей эксплуатации проводятся систематические натурные наблюдения за деформациями тела плотины; поровым давлением в ядре; напряжениями в ядре и низовой упорной призме; фильтрационным режимом в основании и ядре плотины а также в обход сооружений; температурой в ядре и на его контакте с основанием; деформациями скального основания плотины, цементационной потерной (осадки секций, раскрытие швов и трещин, напряжения в арматуре и бетоне); состоянием грунта ядра в период эксплуатации плотины; образованием трещин в ядре плотины и сейсмическими воздействиями на плотину.

Основной объем аппаратуры и специальных устройств установлен в 15 измерительных створах, расположенных через 50 м перпендикулярно продольной оси плотины и шести основных ярусах по высоте. Исключение составляют приборы для наблюдений за фильтрацией в основании плотины, расположение которых приурочено к характерным геологическим и топографическим условиям основания и к опасным зонам, выявленным при вскрытии основания и производстве цементационных работ, а также ленточные и вертикальные дренажи, которые закладываются в зонах возможного трещинообразования в ядре плотины.

С учетом длительного периода эксплуатации (около 40 лет) был разработан проект реконструкции сети контрольной измерительной аппаратуры (КИА) с созданием системы автоматизированного сбора информации. Система автоматизированной системы диагностического контроля (АСДК) включает систему опроса КИА, мониторинга и предусматривает реконструкцию пьезометрической сети с дооснащением плотины пьезометрами, а также автоматизацию измерений всех работающих приборов и переустановку новой геодезической КИА.

Огромный практический опыт, накопленный во время строительства и эксплуатации Чарвакского гидроузла, необходимо использовать при возведених новых, а также параллельно эксплуатирующихся в настоящее время гидросооружений.

Наблюдения за деформациями плотины ведутся на дневной поверхности по планово высотным контрольным знакам и маркам, расположенным на бермах и гребне плотины и внутри ее. Большое значение придается наблюдениям за деформациями внутренних зон элементов плотины-ядра, упорных призм и переходных зон. В настоящее время используются 20 горизонтальных датчиков линейных перемещений дистанционного типа и 11 вертикальных телескопических деформометров, телескопически соединенных между собой.

Датчики линейных перемещений (рис. 1) применяются для измерения поперечных и продольных относительных деформаций в местах возможного образования трещин — в верхней части суглинистого ядра и в зонах сопряжения упорных призм с фильтрами. Датчики установлены с базами длиной 4, 6 и 8 м. Телескопические деформометры, опорные плиты марки которых установлены в основании ядра и низовой призмы, а штоки от плит через специальный сальник выходят внутрь цементационной потерны и центральной подходной штольни, позволяют сравнительно просто измерить осадку 10-метрового приконтактного слоя.

Большинство натурных наблюдений за грунтовыми плотинами касается замеров осадок и смещений [1]. Напряжение, поровое давление наблюдаются только на крупных плотинах [5].

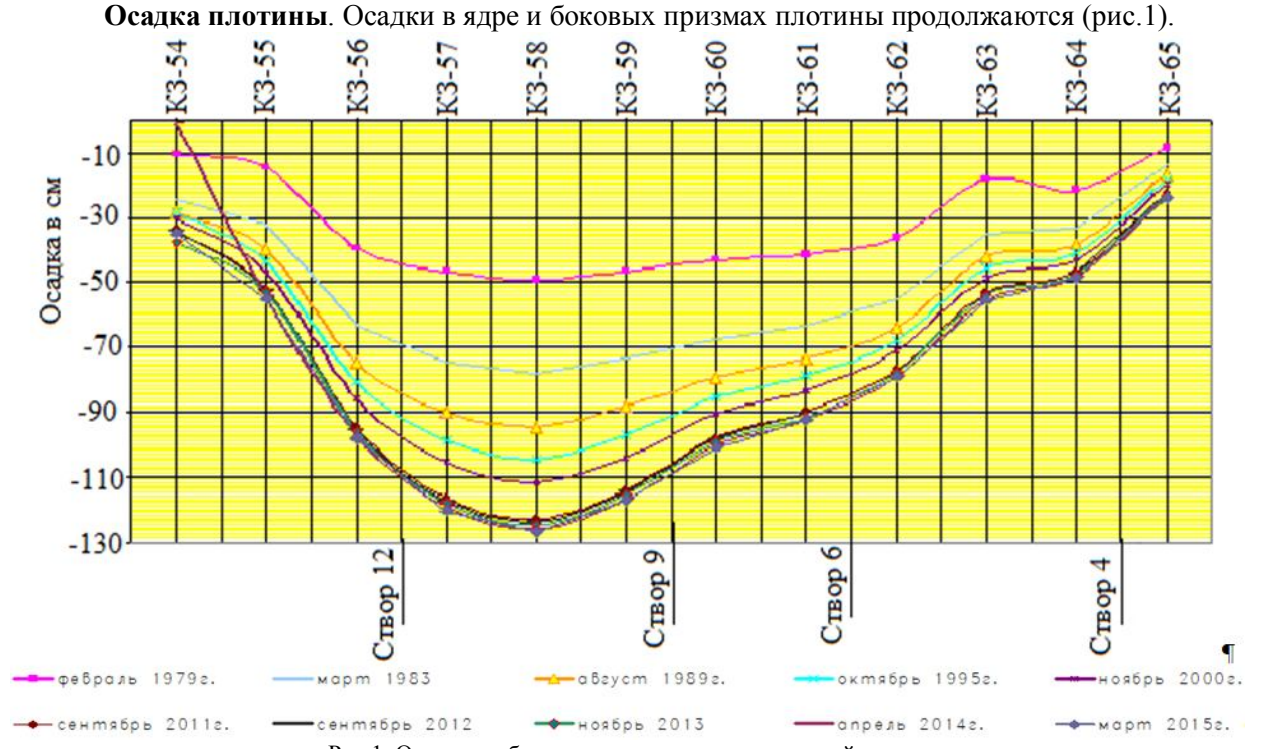


Рис 1. Осадка гребня плотины в эксплуатационный период.

В период строительства величина осадок была намного ниже запроетированной. Максимальная осадка средней по высоте части ядра по проекту в створе каньона составила 3.2 м; а строительная (суммарное сжатие всех слоев) по проекту – 8.4 м. Осадка скального основания под плотиной по глубинным маркам, установленным в потерне, составила 60 – 90 мм.

В период эксплуатации сооружения наибольшая осадка (вертикальные смещения точек плотины) ядра и призм достигает $0.05-0.07~\rm H$, где H-высота плотины в рассматриваемом сечении. Анализ результатов показал, что в середине ядра и в обеих призмах осадка существенно больше, чем в зонах примыкания ядра к фильтрам. При этом со стороны верховой грани ядра осадка больше, чем со стороны низовой, что особенно заметно в русловом сечении. Из результатов данных натурных наблюдений видно, что осадка продолжается практически во всех ее элементах.

Наблюдения за напряжениями производятся в створе 6, расположенном в середине горизонтальной левобережной поймы, где выполняются условия плоской задачи. В нижней и верхней частях напряженное состояние существенно различно, что свидетельствует о резкой неравномерности процесса консолидации по высоте ядра. Одной из главных причин такого положения было различие во влажности: нижняя часть ядра уложена с повышенной влажностью, верхняя — с влажностью, близкой к оптимальной. В последний год строительства процесс консолидации значительно интенсифицировался, однако, поровое давление в нижней части ядра остается высоким и составляет до 60% давления вышележащего грунта [6].

Большое количество датчиков порового давления, размещенных в различных створах, позволяет достаточно полно судить о консолидационных и фильтрационных процессах, происходящих в ядре. Так как почти одновременно с возведением плотины производилось и заполнение водохранилища, в ядре одновременно происходили два процесса: консолидация и фильтрация. Показания

датчиков, размещенных у верховой грани ядра, хорошо согласуются с колебаниями уровня воды в водохранилище.

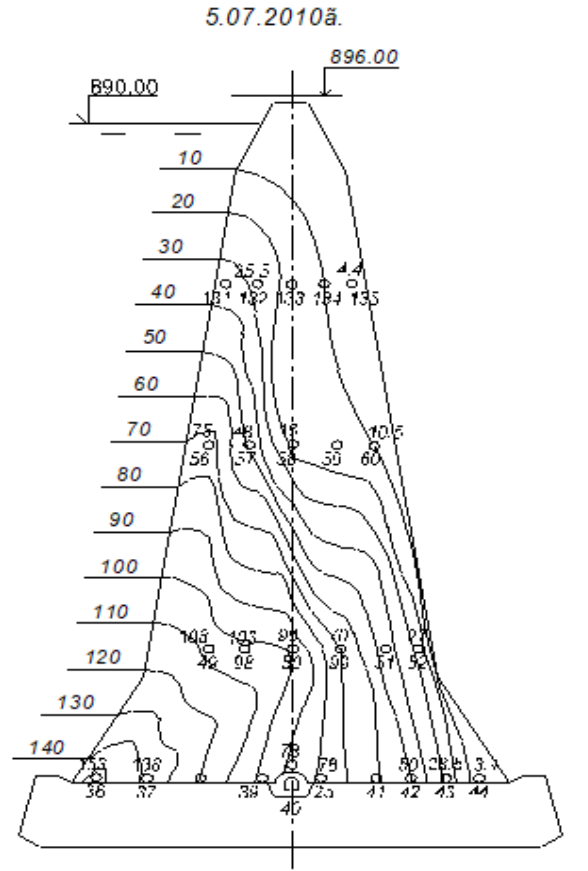


Рис.2. Изолинии равных давлений в ядре и на контакте ядра с основанием при максимальном наполнении водохранилища

На конец строительного периода (де кабрь 1975г.) давления в ядре зафиксирова лись всеми пьезодинамометрами, кроме рас положенных на отметке 853.0 м. Измеренные давления, превышающие давление верхнего бьефа на данном уровне, свидетельствовали об образовании порового давления. Макси мальное значение порового давления возник ло в створе с наибольшей высотой (створ 9) и составило 167 м вод.ст. От центрального створа к створу 12 поровое давление снижа ется, что указывает на дренирующее влияние правого борта (рис.2). В нижней части ядра отмечено образование «ядра» максимальных значений порового давления. Эта зона распо лагается от отм. 770.0 – 780.0 м, что соответ ствует 0.08Н; 0.2Н для створов 6,11,9 (рис.3).

Первое наполнение водохранилища до нормального подпорного уровня вызвало увеличение показаний пьезодинамометров, расположенных в зоне «ядра» порового давления, примерно на 30 м вод.ст. Показания датчиков, расположенных на более высоких отметках, также возросли, причем давление у верховой грани ядра практически увеличилось одновременно с заполнением водохранилища. С течением времени этот процесс распространился и на остальную часть ядра.

Это типично для грунтов ядер плотин, в которых к моменту заполнения водо-

хранилища поровое давление консолидации меньше величины фильтрационного давления.

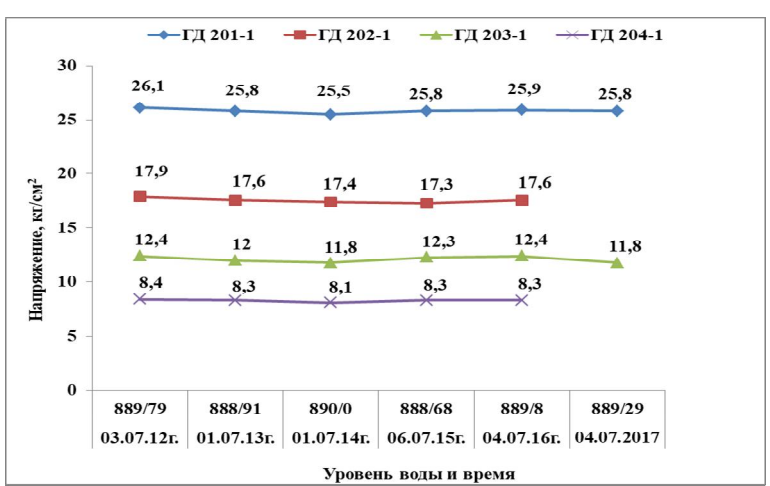


Рис 3. Напряжения в ядре плотины в 6-м створе на отм. 780.0 м

Дальнейшие сработки и наполнения водохранилища вызвали меньшие увеличения порового давления в зоне максимальных значений и показания датчиков, установленных по оси ядра продолжают снижаться. "Ядро" порового давления осталось на отметке 770.0 м, но максимум порового давления уменьшился. Процесс консолидации еще не завершен.

В то же время, сравнительный анализ диагностических параметров порового давления свидетельствует о том, что показания пьезодинамометров, расположенных в разных точках ядра по его высоте и ширине, по- разному реагируют на изменения уровня верхнего бъефа. Вблизи напорных граней ядра и вблизи цементационной потерны, являющейся мощным дренажем, при уменьшении либо увеличении уровня верхнего бъефа последующая временная реакция порового давления происходит гораздо быстрее, чем в глубине ядра, где отток практически отсутствует.

Эффективные напряжения у верховой грани ядра практически постоянны и их величины зависят только от уровня верхнего бъефа. В центральной зоне ядра рассеивание порового давления привело к росту напряжений. В низовой зоне эффективные напряжения выросли в два раза. У низовой грани ядра эффективные напряжения увеличились незначительно.

Выводы. Основой безопасности гидротехнических сооружений служит принцип ответственности эксплуатирующей организации гидротехнических сооружений за обеспечение безопасности объекта и поддержание его в безопасном состоянии. На орган государственного регулирования возлагается ответственность за обеспечение безопасности путем принятия норм безопасности гидротехнических сооружений [7], которыми должна руководствоваться эксплуатирующая организация, и мониторинг действий эксплуатирующей организации гидротехнических сооружений в этом направлении. Это означает, что обязательные положения нормативно-правовой базы обеспечения безопасности плотин нацелены на решение данных основных задач. Разработка и применение этого механизма опирается на внедрение систем мониторинга с оперативной обработкой данных, получаемых непосредственно от контрольно-измерительной аппаратуры, установленной на плотинах и других гидросооружениях. Мониторинг безопасности гидротехнических сооружений предполагает эффективную технологию оперативного контроля, базирующую не только на системе критериев оценки безопасности, но и на оперативности и полноте доступа ко всей накопленной информации о сооружениях. Поэтому организация мониторинга за их безопасным состоянием приобретает особую актуальность и требует соответствующего финансирования со стороны государства.

ЛИТЕРАТУРА

- [1] Рассказов Л.Н., Ядгоров Е.Х. Осадки и смещения Нурекской плотины по данным натурных наблюдений // Гидротехническое строительство. 2017. № 2. С. 18–24.
- [2] Рассказов Л.Н., Ядгоров Е.Х., Николаев В.Б. Натурные наблюдения за осадками грунта, смещениями и поровым давлением в плотинах // Гидротехническое строительство. 2017. № 9. С. 29–391.
- [3] Денисов Г.В., Давыдкин О.Ю., Воробьев К.М. Состояние плотины Гоцатлинской ГЭС в процессе наполнения водохранилища по данным натурных наблюдений и численного моделирования //Гидротехническое строительство. 2017. № 3. С. 54–61.
- [4] Леднев Н.М., Жигарев П.А. и др. Натурные наблюдения за состоянием плотины Чарвакской-ГЭС.//Труды Гидропроекта. Ташкент, 1978.
- [5] Балыков Б.Й., Горелик Л.В., Павчич М.П., Леднев М., Каминский И.И. Некоторые вопросы исследования консолидации ядра Чарвакской плотины // Изв. ВНИИ гидротехники.1973.Т. 102.С.177–181.
- [6] Салямова К.Д., Мифтахова И.Р., Турдикулов Х.Х. Расчет высокой грунтовой плотины с учетом напряженного состояния и порового давления (с учетом данных натурных наблюдений)//Вестник БГТУ им.В.Г. Шухова. 2019. №7. С.24–31.
- [7] Камалов Т.К. Безопасность гидротехнических сооружений в Республике Узбекистан. «Госводхознадзор» // untitled icwc-aral.uz>workshop march08/pdf/kamalov ru.pdf.

АО «Гидропроект» Дата поступления Институт механики и сейсмостойкости сооружений им. М.Т. Уразбаева АН РУз

А.Г. Естифеева, И.Р. Мифтахова, К.Д. Салямова, Х.Х. Турдикулов. Натуравий кузатиш маълумотларини хисобга олган холда Чорвоқ ГЕС грунтли тугонининг хавфсиз эксплуатациясини таъминлаш

Мақолада Чорвоқ ГЭС грунтли тугонида мавжуд булган текшириш-улчаш асбоблари ва ускуналари орқали олинган маълумотлар натижалари тахлил қилинган. Олинган ушбу маълумотларнинг тахлили, сув сақлаш иншоотидан хавфсиз фойдалании имконини беради. Натуравий ва визуал кузатишлардан олинган маълумотларни тахлили ва кайта ишланишини келгусида автоматлаштириш буйича таклифлар-рекомендациялар берилган.

A.G. Estifeeva, I.R. Miftakhova, K.D. Salyamova, H.H. Turdikulov. Ensuring safe operation of the soil dam of the Charvak hpp with account of data of natural observations

The article analyzes the results of data obtained from instrumentation and devices, which are available on the earth

dam of the Charvak hydroelectric station. The analysis of these data obtained from these devices allows us to verify the safe operation of the hydraulic structure. Suggestions are given for further automation of the processing and analysis of field and visual observations.

14.02.2020

А.И.АЛИЛХОДЖАЕВ, Т.Ж. АМИРОВ, У.Г. ЮСУПАЛИЕВ, М.Б.ТЎХТАЕВ

ЦЕМЕНТ БИЛАН МУСТАХКАМЛАНГАН ЧАҚИҚТОШ-ШАҒАЛ-ҚУМ ҚОРИШМАСИНИНГ СИҚИЛИШДАГИ МУСТАХКАМЛИГИ ОРҚАЛИ ЭГИЛИШДАГИ ЧЎЗИЛИШГА МУСТАХКАМЛИГИНИ ПРОГНОЗЛАШ

Мамлакатимизнинг йўл транспорт инфратузилмасини жадал ривожлантириш, илгор технологиялар ва энг яхши хорижий тажрибаларни жорий этиш асосида лойиха ва йўл куриш ишлари сифатини янада ошириш максадида 2018 йил 27 ноябрда Президентнинг ПҚ-4035- сонли "Автомобиль йўлларини куриш ва улардан фойдаланиш сохасида ишларни ташкил этишнинг илгор хорижий услубларини жорий этиш чора-тадбирлари тўгрисидаги" карори қабул қилинди. Ушбу қарор билан автомобиль йўлларини куриш ва улардан фойдаланиш сохасидаги устувор вазифалар белгиланди. Унга кўра, хукумат автомобиль йўллари сохасида замонавий курилиш материалларини ишлаб чикариш бўйича кўшма корхоналар ташкил этиб, ривожланган давлатлар билан хамкорлик ўрнатилиши кўзда тутилган.

Маълумки, дунёнинг ривожланган давлатларида автомобиль йўлларини куришда асосни ноорганик материаллар билан мустаҳкамлаш жуда кенг таркалган. Турли давлатларда номлари турлича номлансада (Бразилияда "cement-treated aggregate", Буюк Британияда "cement-bound material", "cement-treated gravel", Францияда "graves traiteés aux liants hydrauliques" ва АҚШда "Cement Treatment Base", "Soil Cement") лекин курилиш технологияси ва вазифаси деярли фарк килмайди.

Бугунги кунда Ўзбекистонда ҳам қурилаётган ва реконструкция қилинаётган умумфойдаланувдаги автомобиль йўлларининг аксариятида асоснинг юқори қатлами учун цемент билан мустаҳкамланган чақиктош-шағал-қум қоришмасини қўллаш назарда тутилмокда.

Курилиш ишларининг сифат назорати жараёнида ушбу материалнинг номинал таркибини танлаш, мустахкамлик кўрсаткичларини текшириш ва зичланганлигини аниклашда бир канча мураккабликлар ва кийинчиликлар келиб чикмокда. Маълумки, ноорганик боғловчи материаллар билан ишлов берилган чакиктош-шағал-кум коришмалари учун ГОСТ 23558 асосий норматив хужжат хисобланиб, унда мустаҳкамланган материалнинг сикилишга ва эгилишдаги чўзилишга мустаҳкамлиги, музлашга чидамлилиги ва донадорлик таркибига кўйиладиган талаблар кўрсатилган. Масалан, ноорганик боғловчи материаллар билан ишлов берилган чакиктош-шағал-кум қоришмаларининг мустаҳкамлик бўйича маркаси билан сикилишга ва эгилишдаги чўзилишга мустаҳкамлигига кўйилган талаблар орасидаги мослик 1-жадвалга мос келиши белгиланган.

камын на ку ийы ан талаолар орасидаги мослик т-жадвалга мос келиши осы илап ан. 1-жадвал Қоришмаларининг мустаҳкамлик бўйича маркаси билан сиқилишга ва эгилишдаги чўзилишга мустаҳкамлигига қўйилган талаблар

Мустаҳкамлик бўйича маркаси	Мустаҳкамлик чегараси, кг/см², камида						
wiyeraxiaminin oyini la maphaen	Сиқилишдаги, R _{сиқ}	Эгилишдаги чўзилишдаги, $R_{\mbox{\tiny эгил}}$					
M10	10	2					
M20	20	4					
M40	40	8					
M60	60	12					
M75	75	15					
M100	100	20					

1-жадвалга асосан ноорганик боғловчи материал билан мустаҳкамланган материал (М100 маркали) нинг сиқилишдаги мустаҳкамлик чегарасининг лойиҳавий қиймати $R_{\text{сик}}=100~\text{кг/см}^2$ бўлса, эгилишдаги чўзилишга мустаҳкамлиги $R_{\text{эгил}}=20~\text{кг/см}^2$ бўлиши керак. Лекин, амалиётдаги ўтказилган кўп сонли синовлар бу мосликнинг тўғри эмаслигини кўрсатиб, мунозарали вазиятларни юзага келтирмоқда. Шунинг учун ҳам Ўзбекистон шароитида цемент билан мустаҳкамланган чақиқтош-шағал-кум қоришмасининг сиқилишдаги мустаҳкамлиги натижаси орқали эгилишдаги чўзилишга мустаҳкамлигини прогнозлаш моделини аниқлаш масаласи долзарб аҳамиятга эга. Шу мақсадда Чодак карьерининг шағал-кум аралашмаси, Аблиқ карьерининг чақиқтоши ва "Оҳангаронцемент" АЖ нинг цементи танлаб олинди. Энг аввало, шағал-кум аралашмаси ва чақиқтошнинг сифатини баҳолаш учун [1–3] талабларига асосан лаборатория синовлари ўтказилди. Олинган натижалар шағал-кум аралашмаси ва чақиқтош норматив ҳужжатлар асосида қўйилган талабларга мослигини кўрсатди.

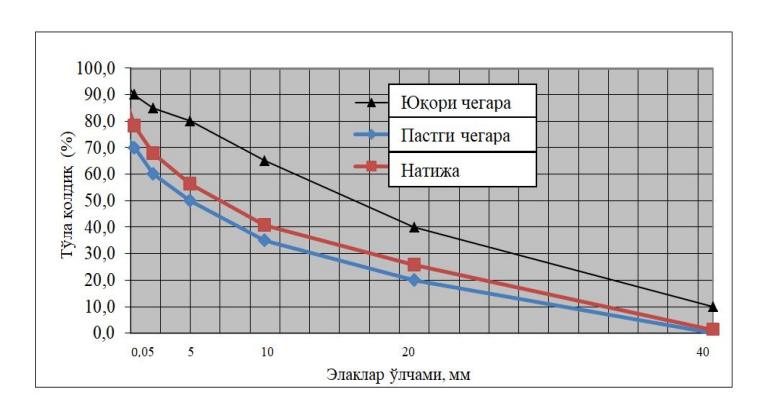
Ноорганик боғловчи сифатида М-400 маркали сульфатга чидамли портландцемент олинган. Ушбу цементни сифатини баҳолаш мақсадида [4] талабларига асосан синовлар ўтказилди. Натижалар 2-жадвалда акс эттирилган.

2-жадвал

Аниқланган кўрсаткичлар	ГОСТ 22266-94 талаблари	Олинган натижалар
28 суткалик намунанинг сикилишдаги мустахкамлиги, МПа	39.2	40.3
Қотиш вақти: - бошланиши - тугаши	Камида 45 мин Ортиғи билан 10 соат	2 соат 15 мин 4 соат 25 мин
Майдалик даражаси (№008 элакдаги қолдиқ), % да	15 гача	10
SO ₃ микдори,%	Ортиғи билан 3.0	2.0
Хлорид ионлар микдори С1,%	Ортиғи билан 0.1	0.06
Клинкер таркиби, оғи	рлиги бўйича % да	
Алюминий оксиди (Al ₂ O ₃)	Ортиғи билан 5.0	4.78
Магний оксиди (MgO)	Ортиғи билан 5.0	2.28
Уч калцийли силикат (3CaO SiO ₂)	Ортиғи билан 50	49.78
Уч калцийли алюминат (3CaO Al ₂ O ₃)	Ортиғи билан 5.0	3.59
Уч калцийли алюминат (3CaO Al_2O_3) ва тўрт калцийли алюминаферрит (4CaO Al_2O_3 Fe_2O_3) ларнинг йиғиндиси	Ортиғи билан 22.0	19.85

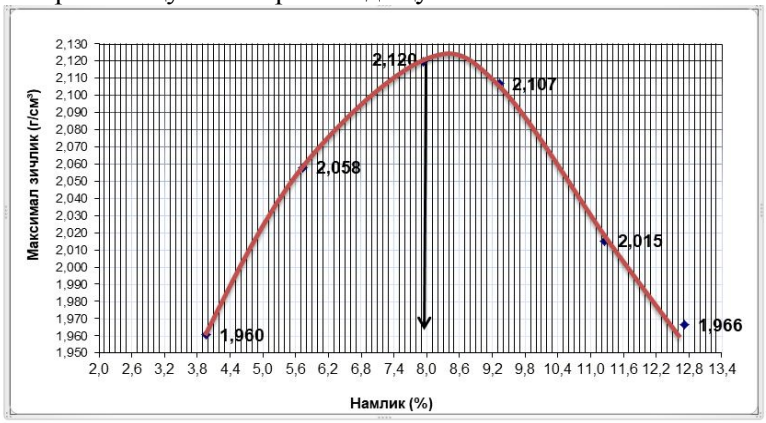
Олинган натижалар цементнинг сифати норматив хужжатлар асосида кўйилган талабларга мослигини кўрсатмокда.

Цемент билан мустаҳкамланган материалнинг сиқилишдаги мустаҳкамлиги натижаси орқали эгилишдаги чўзилишга мустаҳкамлигини прогнозлаш моделини аниқлаш учун 30% микдорида 20-40 мм чақиқтош ва 70 % микдорида 0-40 мм шағал кум аралашмаси аралаштирилиб [1] талабларига асосан донадорлик таркиби текширилди. Олинган натижа куйидаги 1-расмда келтирилган.



1-расм. Чақиқтош-шағал-қум аралашмасининг донадорлик таркиби

Олинган натижалардан куринадики, чақиқтош-шағал-қум аралашмаси (ЧШҚА) нинг донадорлик таркиби норматив хужжатлар асосида куйилган талабга мослигини курсатмоқда.



2-расм. 6% ли цемент билан мустахкамланган материалнинг максимал зичлиги ва оптимал намлигини аниклаш графиги

Берилган таркибдаги чақиқтош-шағал-қум аралашмасига талаб этиладиган оптимал сув миқдорини аниқлаш учун 1 % дан 6 % миқдорида (ЧШҚА массасидан) цемент қушиб, ГОСТ 22733-2002 талабларига асосан максимал зичлик (ρ_{dmax}) ва оптимал намлик (w_{opt}) ни аниқлаш синовлари ўтказилди (2-расм). Ушбу 6 % ли цемент билан мустаҳкамланган материалнинг

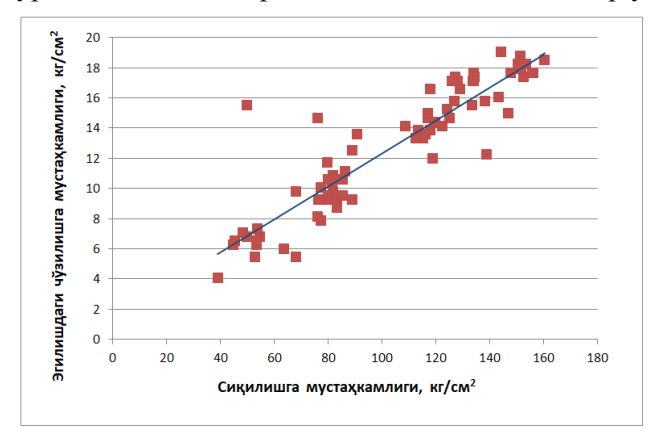
таркибида 20 мм дан йирик зарралар бўлганлиги унинг максимал зичлиги ГОСТ 22733-2002 да келтирилган формула ёрдамида қайта хисобланиб тўғирланди:

$$\rho_{d\,\text{max}}' = \frac{\rho_{d\,\text{max}}\rho_k}{\rho_i - 0.01K(\rho_k - \rho_{d\,\text{max}})} = 2.21\,\text{ г/см}^3 \tag{1}$$
 бу ерда ρ_k – йирик зарраларнинг зичлиги, г/см³; K – материалдаги йирик зарраларнинг микдори, %.

Шунга мос равишда материалнинг оптимал намлиги ҳам ҳайта ҳисобланиб тўғирланди:

$$w'_{opt} = 0.01 w_{opt} (100 - K) = 5.87\%$$
 (2)

Юқоридаги натижалар асосида ЧШҚА га 3% дан 6% гача миқдорда цемент қушилиб қоришмалар тайёрланди ва улардан [5] га мувофиқ сиқилишдаги мустаҳкамликни аниқлаш учун 75 дона куб $(15 \times 15 \times 15 \text{ cm})$ ва эгилишдаги чўзилишга мустахкамлигини аниклаш учун 75 донадан призма (15×15×60 см) намуналар тайёрланди. Намуналар 28 кун давомида норматив хужжатларда кўрсатилган талаблар асосида сакланиб синовлар ўтказилди ва натижалар олинди (3-расм).



3-расм. Цемент билан мустаҳкамланган материалнинг сикилишлаги мустахкамлиги оркали эгилишлаги чўзилишга мустахкамлигини аниклаш графиги

Натижаларни математик-статистик тахлил қилиш учун "Statgraphics 18" дастуридан фойдаланилди. Натижада 6% цемент билан мустахкамланган материалнинг эгилишдаги чўзилишга мустаҳкамлиги ($R_{\text{эгил}}$) ва сиқилишдаги мустаҳкамлиги ($R_{\text{сик}}$) орасидаги корреляция коэффициенти 0.91 (r=0.91) бўлган куйидаги тўғри чизикли боғликлик аникланди:

$$R_{\text{эгил}} = 0.11 * R_{\text{сик}} + 1.36.$$
 (3)

Хулоса қилиб айтганда, прогнозлаш модели махаллий йўл қурилиш материаллари асосида цемент билан мустахкамланган чақиқтош-шағал-қум қурилган коришмасидан йўл асосини назорат сифатини қилиш ишларини

енгиллаштиради. Албатта, бу моделни барча турдаги мустахкамланган асослар учун ишлатиш имкони йўк. Сабаби синовлар бир турдаги, энг йирик зарраси 40 мм гача бўлган цемент билан мустахкамланган чакиктош-шағал-күм қоришмалари устида олиб борилди. Шу билан биргаликда ушбу моделни сиқилишдаги мустаҳкамлиги 60 кг/см² кам булмаган қоришмалар учун қуллаш мумкин.

АДАБИЁТЛАР

- [1] ГОСТ 23558-94 "Смеси щебеночно-гравийно-песчаные и грунты, обработанные неорганическими вяжущими материалами, для дорожного и аэродромного строительства. Технические условия".
- [2] ГОСТ 8267-93 "Щебень и гравий из плотных горных пород для строительных работ. Технические условия".
- [3] ГОСТ 8736-93 "Песок для строительных работ. Технические условия".
- [4] ГОСТ 22266-94 "Цементы сульфатостойкие. Технические условия".
- [5] ГОСТ 10180-2012 "Бетоны. Методы определения прочности по контрольным образцам".
- [6] ГОСТ 22733-2002 "Грунты. Метод лабораторного определения максимальной плотности".
- Адилходжаев А.И., Амиров Т.Ж., Юсупалиев У.Г. Компьютерная программа подбора состава щебеночно-гравийно-песчаной смеси, укрепленной цементом // Агентство по интеллектуальной собственности РУз. Свидетельство № DGU 06567. 30.05.2019 г.

Тошкент автомобиль йўлларини лойихалаш, қуриш ва эксплуатацияси институти

22.04.2020 қабул қилинган

А.И.Адилходжаев, Т.Ж. Амиров, У.Г. Юсупалиев, М.Б. Тухтаев. Прогнозирование прочности на растяжение при изгибе щебеночно-гравийно-песчаной смеси, обработанной цементом

В статье рассматривается вопрос определения модели прогнозирования показателей прочности на растяжение при изгибе щебеночно-гравийно-песчаной смеси, обработанной цементом, на основании результатов испытаний прочности на сжатие. Обосновквается, что данной метод в случае применения позволит упростить процесс контроля качества автомобильных дорог во время строительства.

A.I. Adilkhodjaev, T.Zh. Amirov, U.G. Yusupaliev, M.B. Tukhtaev. Prediction of tensile strength during bending of crushed stone-gravel-sand mixture treated with cement

The article examines the model of prediction of flexural strength of the crushed stone-gravel-sand mixture treated with cement based on the results of compressive strength tests. This method, if applied, will simplify the process of quality control during construction works.

УДК 675.055

Г.А. БАХАДИРОВ, Г.Н. ЦОЙ, А.М. НАБИЕВ

ЭКСПЕРИМЕНТАЛЬНОЕ ОПРЕДЕЛЕНИЕ ВЛИЯНИЯ ФАКТОРОВ НА КОЛИЧЕСТВО УДАЛЕННОЙ ВЛАГИ ИЗ ВЛАГОНАСЫЩЕННЫХ МАТЕРИАЛОВ

Исследованиям физико-механических свойств и характеристик волокнистых материалов посвящаются работы [1, 2]. Вопросы совершенствования технологических процессов, а также оборудования и технологических машин для отжима кож рассматриваются авторами [3, 4] на примере кожевенных полуфабрикатов.

В данной статье исследуется влияние таких факторов, как количество слоев кожи и влагоотводящих материалов на технологический процесс отжима влаги из мокрых кожевенных полуфабрикатов с вертикальной подачей их на опорной плите.

На способ отжима влаги из кож при многослойном пакете с влагоотводящими материалами получен патент на изобретение [5]. Эксперимент проводился на специальном стенде, где отжимные валы установлены горизонтально, а опорная плита изготовлена из металлического листа толщиной 0.005 м, шириной 0.1 м и длиной 0.3 м (рис. 1). Один слой пакета составляет один коже-

венный полуфабрикат и два влагоотводящих материала – сукна ЛАЩ и так далее аналогично.

Материалом кожи для эксперимента послужила бычина среднего развеса после хромового удвоенного дубления. Согласно Международному стандарту ISO 2588-85, выбрано необходимое количество кожевенного полуфабриката по формуле $n=0.2\sqrt{x}$, где x — число кож для эксперимента, составлявших 2500 шт. из партии, т.е. n=10 шт. Из этих 10 кож вырезали резаком полосы поперек хребтовой линии размером 0.05×0.25 м. Пронумерованные полосы комплектовали в группы по 5 шт. по схеме [6].

Эксперимент проводили следующим образом: на металлическую опорную плиту устанавливали полосу из волокнистого сукна ЛАЩ, затем кожевенный полуфабрикат и т.д. После этого включали стенд, устанавливали сжатие пружин по тарировке до нужного усилия прижима отжимных валов, скорость регулировали

3 Ø300 P 1 Ø300 P 0 0

Рис. 1. Схема подачи мокрых кожевенных полуфабрикатов в зону отжима: I, 2 – отжимные валы; 3, 4 – влагоотводящие материалы (БМ); 5 – первый слой кожевенного полуфабриката; 6 – второй слой кожевенного полуфабриката; 9 – влагоотводящие материалы (ЛАЩ); 7 – опорная плита; 8 – цепь

реостатом, а частоту вращения валов — тахометром часового типа ТЧ 10Р. Предварительно пропускали контрольные образцы кожи и при этом замеряли сжатие пружин, т.е. отклонение от установочного. Если отклонение превышало 3%, то затяжкой гаек регулировали пружины. Затем пропускали основные образцы кож. До и после отжима взвешивали на лабораторных весах ВЛТЭ-500б, дискретность — $0.01~\Gamma$ (ISO-9001).

При обработке результатов эксперимента использовали метод D-оптимального планирования второго порядка с использованием матрицы плана К. Кано, так как их применение обеспечивает наибольшую точность в оценках коэффициентов регрессии [7]. При этом учитывалось, что план К. Кано предусматривает варьирование факторов на трёх уровнях: нижнем (-), нулевом (0) и верхнем (+), что целесообразно для данного исследования. На основе априорной информации изучали процесс удаления влаги с учётом трёх факторов: x_1 – интенсивности прижима P, кH/m; x_2 – скорости пропуска V, м/с; N_1 – количества слоев кож с влагоотводящим материалом. Был выбран

диапазон изменения давления прижима от 32 до 96 кH/м; скорость отжимных валов – от 0.17 до 0.34 м/с; количество слоев кож – 2 на основе анализа многообразных отжимных машин производства различных стран.

В исследовании был выбран диаметр отжимных валов 0.3 м и с покрытием толщиной 0.01 м из войлочного сукна марки БМ, покрытие металлической опорной плиты в один слой из сукна марки ЛАЩ (с толщиной 0.004 м каждая).

Перед проведением эксперимента методами математической статистики выбрано необходимое количество измерений (число повторностей), которое обеспечивало требуемую точность.

Рабочую матрицу составили по матрице плана К. Кано для двухфакторного эксперимента. Кодирование факторов осуществляли по формуле

$$x_i = \frac{c_i - c_{i0}}{t_0},$$

где x_i — кодирование значения факторов; c_i , c_{i0} — натуральные значения фактора на текущем и нулевом уровнях; t_0 — натуральное значение интервала варьирования фактора.

Функции цели аппроксимированы полиномом

$$y = b_0 + \sum_{i=1}^{k} b_i x_i + \sum_{i,j=1}^{k} b_{ij} x_i x_j + \sum_{i=1}^{k} b_{ii} x_i^2$$
,

где y— количество удаленной влаги в кодированном виде; b_0 , b_i , b_{ij} , b_{ii} — коэффициенты регрессии. Уровни и интервалы варьирования фактора эксперимента приведены в табл. 1.

Уровни и интервалы варьирования фактора

Таблица 1

Показатель	Кодированное значение факторов	Натуральные значения факторов			
Показатель	Кодированное значение факторов	<i>х</i> ₁ , кН/м	<i>x</i> ₂ , м/c		
Верхний уровень	+	96	0.340		
Нулевой уровень	0	64	0.255		
Нижний уровень	-	32	0.170		
Интервал варьирования		32	0.085		

После реализации рабочей матрицы получены средние арифметические значения (табл. 2).

Однородность дисперсии проведена с помощью критерия Кохрена [6] при доверительной вероятности α =0.95. Зная общее число оценок дисперсии N и число степеней свободы f=k-1, вычисляем по табл.2, а из [7] находим $G_{\rm T}$ =0.358, при N=9; f=k-1=5-1=4; k – число параллельных опытов:

$$S_{out}^{2} = \frac{\sum_{i=1}^{n} (y - \overline{y})^{2}}{n - 1}; \qquad \sum_{i=1}^{N} S_{i}^{2} = \frac{\sum_{i=1}^{N} \sum_{j=1}^{n} (y - \overline{y})^{2}}{N(n - 1)};$$

$$G_{P1} = \frac{S_{\text{max}}^{2}}{\sum_{j=1}^{N} S_{i}^{2}} = \frac{4.55}{17.37} = 0.262; \quad G_{P2} = \frac{S_{\text{max}}^{2}}{\sum_{j=1}^{N} S_{i}^{2}} = \frac{5.02}{21.47} = 0.234;$$

Следовательно, результаты исследования воспроизводимы.

Коэффициенты регрессии b_0 , b_i , b_{ij} , b_{ii} определили из [7].

Для первого слоя кожевенного полуфабриката в кодированном виде b_0 = 21.3362; b_{11} =-2.3448; b_1 = 4.3971; b_{22} = 1.0025; b_2 =-2.0274; b_{12} = -0.30.

 $G_{P1}=0.262 < G_T=0.358$; $G_{P2}=0.234 < G_T=0.358$.

Для второго слоя кожевенного полуфабриката в кодированном виде b_0 = 20.6862; b_{11} =-2.3320; b_1 = 4.5952; b_{22} = 1.0180; b_2 = -1.8470; b_{12} = -0.25.

Получим следующие уравнения регрессии в кодированном виде:

для первого слоя кожевенного полуфабриката

$$y_1 = 21.3362 - 2.3448 \cdot x_1^2 + 1.0025 \cdot x_2^2 + 4.3971 \cdot x_1 - 2.0274 \cdot x_2 - 0.30 \cdot x_1 x_2$$

для второго слоя кожевенного полуфабриката

$$y_2 = 20.6362 - 2.3320 \cdot x_1^2 + 1.0180 \cdot x_2^2 + 4.5952 \cdot x_1 - 1.8470 \cdot x_2 - 0.25 \cdot x_1 x_2.$$

Подставляя вместо $x_1 = \frac{P-64}{32}$, где P- усилие прижима отжимных валов и $x_2 = \frac{V-0.255}{0.085}$,

V – скорость пропуска мокрых кожевенных полуфабрикатов между вращающимися отжимными валами, получаем в натуральном виде уравнение удаленной влаги из мокрого кожевенного полуфабриката между вращающимися отжимными валами.

Матрица планирования эксперимента

Таблица 2

	Р,	V,	№		Резул	ьтаты 1	измере	ний, %		<u>n</u>	2						
№	x_1	x_2	кож.	y_1	y_2	<i>y</i> ₃	y_4	<i>y</i> ₅	\overline{y}	$\sum (y - \overline{y})^2$	S_{ou}^2	y_p	$\overline{y} - y_p$	$(\overline{y}-y_p)^2$			
	<i>J</i> v ₁	302	пол.	-	<i>y</i> 2			95	,	1							
1	2	3	4	5	6	7	8	9	10	11	12	13	14	15			
1	1 0 0	0	1	22.0	20.4	19.8	21.1	21.2	20.9	2.80	0.7	21.34	0.44	0.19			
1	U	U	2	20.3	20.0	21.8	18.8	20.1	20.2	4.58	1.15	20.69	0.49	0.24			
2	+	+	1	22.1	20.1	23.5	22.8	24.0	22.5	9.26	2.32	22.06	0.44	0.19			
			2	21.5	23.8	22.5	24.1	20.6	22.1	5.70	1.43	21.85	0.25	0.06			
3		+	1	14.1	13.4	12.0	14.8	13.2	13.5	3.26	0.82	13.87	0.37	0.14			
3	-		2	12.5	12.0	15.3	11.7	13.5	13.0	8.48	2.12	12.71	0.29	0.08			
4			1	18.6	17.1	16.0	18.8	15.5	17.2	8.86	2.22	17.32	0.12	0.01			
4	4 -	-	-	_		2	14.0	16.9	18.0	15.1	16.0	16.0	9.62	2.41	16.38	0.38	1.44
5	+		1	24.4	28.0	28.8	27.2	26.1	26.5	18.2	4.55	26.11	0.39	0.15			
3		-	2	28.0	27.1	24.4	27.6	23.4	26.1	17.04	4.25	26.09	0.01	0			
6	+	0	1	24.6	21.1	22.5	21.6	25.1	23.0	11.5	2.88	23.38	0.38	1.14			
0	'	U	2	23.8	21.1	21.3	22.3	24.0	22.5	7.38	1.35	22.9	0.44	0.19			
7	0	+	1	18.8	20.0	21.5	21.2	19.5	20.2	5.18	1.30	20.31	0.11	0.01			
'	U		2	20.5	17.3	21.6	18.2	21.4	19.8	14.5	3.65	19.83	0.03	0			
8		0	1	14.6	16.2	14.5	17.6	16.6	15.5	3.88	1.98	14.59	0.91	0.83			
0	-	U	2	14.5	15.5	13.5	14.0	16.5	14.8	3.70	1.37	13.75	1.05	1.10			
9	0		1	26.2	23.3	26.6	24.4	24.5	25.0	6.55	1.64	24.68	0.32	0.10			
9	U	•	2	24.8	25.5	20.2	25.4	25.1	24.2	20.08	5.02	23.57	0.63	0.39			
			•			•	•			Σ 69.48	Σ 17.37			Σ 2.78			
										Σ 85.88	Σ 21.47			Σ 3.52			

Гипотеза об адекватности полученных уравнений проверена с помощью критерия Фишера при доверительной вероятности α =0.95 [7]:

$$F_{p} = \frac{S_{ao}^{2}}{S^{2} \{v\}} < F_{T} ,$$

где $S_{a\partial}^2$ — остаточная дисперсия, или дисперсия адекватности; $S^2\{y\}$ — дисперсия воспроизводимости.

Из табл. 1 и 2 определим S^2_{ao} и $S^2\{y\}$.

Для первого слоя кожевенного полуфабриката

$$S_{ao}^{2} = \frac{\sum_{1}^{N} n \cdot (\overline{y} - y_{p})^{2}}{N - \frac{(k+2)(k+1)}{2}} = \frac{5 \cdot 2.78}{3} = 4.63 \; ; \; S^{2} \{y\} = \frac{\sum_{1}^{N} \sum_{1}^{n} (y - \overline{y})^{2}}{N(n-1)} = \frac{69.48}{9(5-1)} = 1.93 \; .$$

Критерий Фишера об адекватности модели

$$F_{p1} = \frac{S_{ao}^2}{S^2 \{y\}} = \frac{4.63}{1.93} = 2.399$$
,

где N — общее число опытов; k — число факторов; n — число повторений в опыте; y_i — результат отдельного наблюдения; \bar{y} — средние арифметические значения результата опыта; y_p — расчетные значения критерия по уравнению регрессии:

$$F_p = \frac{S_{ao}^2}{S^2 \{y\}} < F_T;$$
 $F_{p1} = 2.399 < F_T = 2.88.$

Для второго слоя кожевенного полуфабриката

$$S_{a\phi}^{2} = \frac{\sum_{1}^{N} n \cdot (\overline{y} - y_{p})^{2}}{N - \frac{(k+2)(k+1)}{2}} = \frac{5 \cdot 3.52}{3} = 5.87 \; ; \; S^{2} \{y\} = \frac{\sum_{1}^{N} \sum_{1}^{n} (y - \overline{y})^{2}}{N(n-1)} = \frac{85.88}{36} = 2.38 \; .$$

Критерий Фишера об адекватности модели:

$$F_{p2} = \frac{S_{a\partial}^2}{S^2 \{y\}} = \frac{5.87}{2.38} = 2.46;$$
 $F_{p2} = 2.46 < F_T = 2.88.$

Следовательно, уравнение регрессии можно считать пригодным с 95 %-ной доверительной вероятностью, которое в именованном виде после раскодировки получит следующий вид:

для первого слоя кожевенного полуфабриката

 $W_1 = 20.2176$ — $0.00229 \cdot P^2 + 138.7543 \cdot V^2 + 0.4586 \cdot P - 88.1453 \cdot V$ — $0.1103 \cdot P \cdot V$, для второго слоя кожевенного полуфабриката

 $W_2 = 15.373 - 0.00228 \cdot P^2 + 140.8997 \cdot V^2 + 0.4585 \cdot P - 87.7066 \cdot V - 0.0919 \cdot P \cdot V.$

Построены графики зависимости количества удалённой влаги W из мокрого кожевенного полуфабриката (%) при различных скоростях пропуска V и усилий прижима P (рис .2).

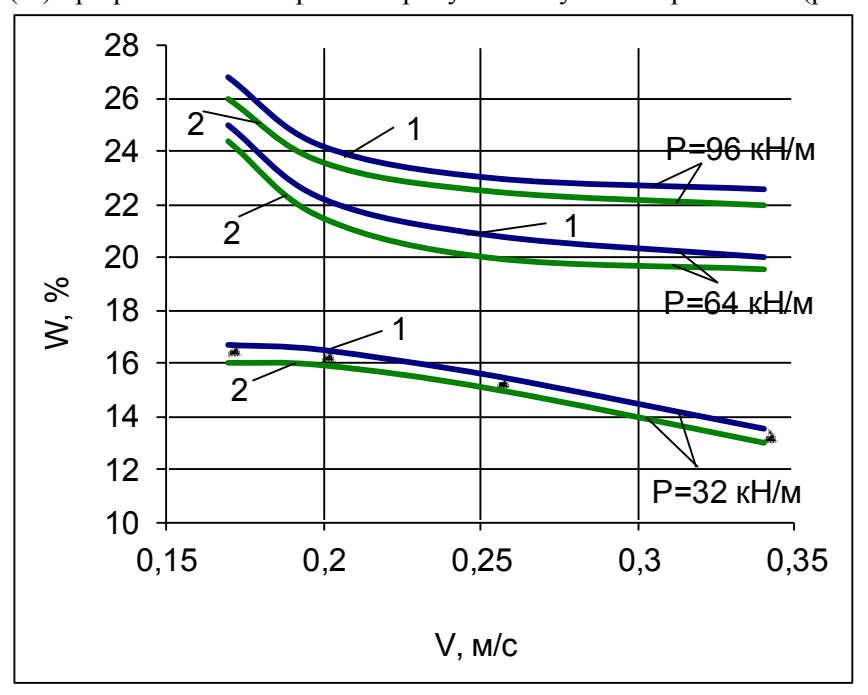


Рис. 2. Зависимость количества удаленной влаги W от скорости пропуска V кожевенного полуфабриката во время усилия прижима при отжимных валах: P=32 кH/м, P=64 кH/м, P=96 кH/м: 1–первый слой кожевенного полуфабриката; 2—второй слой кожевенного полуфабриката

Результаты экспериментов показывают, что разница удалённой влаги из первого и второго слоев кожевенных полуфабрикатов незначительная. С уменьшением усилия прижима отжимных валов P уменьшается разница удалённой влаги W между первым и вторым слоями обработанных кожевенных полуфабрикатов.

Для исследуемого образца кожевенного полуфабриката бычины среднего развеса для готовых кож верха обуви максимальная влажность в полах достигает 73%, а в чепраке — до 65%. Остаточная влажность в кожевенном полуфабрикате после отжима должна быть 55-60% в зависимости от типа кож.

В нашем случае экспериментального исследования остаточная влажность должна быть в порядке 60%. Следовательно, нам необходимо удалить максимум 13% влаги при отжиме на валковой машине. Из этого следует, что можно будет отжимать влагу из мокрого кожевенного полуфабриката при скорости пропуска 0.34 м/с и усилии прижима отжимных валов от 32 до 96 кН/м.

Результаты экспериментов (см. рис. 2) показывают, что можно одновременно отжимать мокрые кожевенные полуфабрикаты и удалять избыточную влагу одновременно из двух кожевен-

ных полуфабрикатов (слоями), что позволяет повысить производительность валковых машин в два раза, а также снизить энергозатраты на отжим влаги из мокрых кожевенных полуфабрикатов.

ЛИТЕРАТУРА

- [1] Дарда И.В. Разработка теоретических основ совершенствования технологического оборудования кожевенно мехового производства: Дис. ... докт. техн. наук. М., 2004. 325 с.
- [2] Bacardit Anna, Baquero Grau, Sorolla Silvia et al. Evaluation of a new sustainable continuous system for processing bovine leather. // Journal of cleaner production. Vol. 101. P. 197–204.
- [3] Olle L., Sorolla S., Casas C. et al. A dehydration process for ovine hide to obtain a new collagenous material // Journal Of The Society Of Leather Technologists And Chemists. Vol. 98. Issue 2. P. 56–62.
- [4] Olle L., Sorolla S., Casas C., et al. Developing of a dehydration process for bovine leather to obtain a new collagenous material. Journal of cleaner production. Vol. 51. P. 177–183.
- [5] Патент РУз № IAP 04451 на изобретение «Способ отжима влаги из мокрых кож» / Аманов Т.Ю., Бахадиров Г.А., Цой Г.Н., Набиев А.М. Официальный бюллетень Агентства по интеллектуальной собственности РУз. 2011. №12. С.46–47.
- [6] Γ о л о в т е е в а A . A . , K у ц и д и \mathcal{A} . \mathcal{A} . , C а н к и н \mathcal{A} . Б . Лабораторный практикум по химии и технологии кожи и меха. М.: Легкая и пищевая промышленность, 1982.-309 с.
- [7] Тихомиров В. А. Планирование и анализ эксперимента. М.: Легкая индустрия. 1974. 283 с.

Институт механики и сейсмостойкости сооружений им. М.Т. Уразбаева АН РУз

Дата поступления 12.02.2020

Г.А. Бахадиров, Г.Н. Цой, А.М. Набиев. Сувга тўйинган материаллардан сиқиб чиқарилган суюқлик миқдорига таъсир этувчи омилларни экспериментал аниқлаш

Мақолада икки қатламли ҳўл кўн ярим маҳсулотларидан ортиқча суюқлигини сиқиб чиқариш технологик жараёнига таъсир этувчи омиллар экспериментал аниқланган. Икки қатламли кўн ярим маҳсулотларидан сиқиб чиқарилган суюқлик миқдорининг уларни айланувчи валлар орасидан ўтказиш тезлигига ҳамда валлар босимига боглиқлигининг математик моделлари келтириб чиқарилган.

G.A. Bahadirov, G.N. Tsoy, A.M. Nabiev. Experimental determination of the influence of factors on the amount of moisture removed from moisture-saturated materials

The article has experimentally determined the factors that influence during the technological process of squeezing excess moisture from a two-layer package of wet leather semi-finished products. Mathematical models of the amount of moisture removed from two layers of leather semi-finished products are obtained depending on the speed of their passage between the rotating shafts and the pressure force of the shafts.

УДК 621.01

Д.М. МУХАММАДИЕВ, Б.Х. ПРИМОВ, Х.А. АХМЕДОВ, Л.Ю. ЖАМОЛОВА

ИССЛЕДОВАНИЕ ДВИЖЕНИЯ СЫРЦОВОГО ВАЛИКА ПО ПОВЕРХНОСТИ ЛОБОВОГО БРУСА ПИЛЬНОГО ДЖИНА

Пильные джины, выпущенные машиностроительными заводами Узбекистана и США, а также Индии, Китая по американским патентам [1–8], широко используются на хлопкоочистительных предприятиях. Практика использования пильных джинов США и Китая на отечественных предприятиях показала их низкую эффективность, дороговизну при изготовлении и эксплуатации, так как они имеют сложные конструктивные агрегаты и механизмы и технологически не взаимозаменяемые.

Анализ конструкций рабочих камер пильных джинов отечественного производства показал, что они имеют увеличенный расход электроэнергии пильным цилиндром и ускоренный износ колосников и пильных дисков с диаметром 320 мм [9]. Поэтому разработка конструкций пильного джина с подачей хлопка-сырца к сырцовому валику через пильный цилиндр является актуальной проблемой в данной области [10–11].

На рис.1 изображен пильный джин с набрасывающим барабаном [12]. Для снижения износа колосников 3, пильных дисков и расхода электроэнергии пильным цилиндром 10 хлопок-сырец подается непосредственно к пильному цилиндру 10 через склиз 6 с помощью вращающегося набрасывающего барабана 7, под которым установлена колосниковая решетка 8.

В статье [13] исследован закон движения сырцового валика по поверхности нижнего фар-

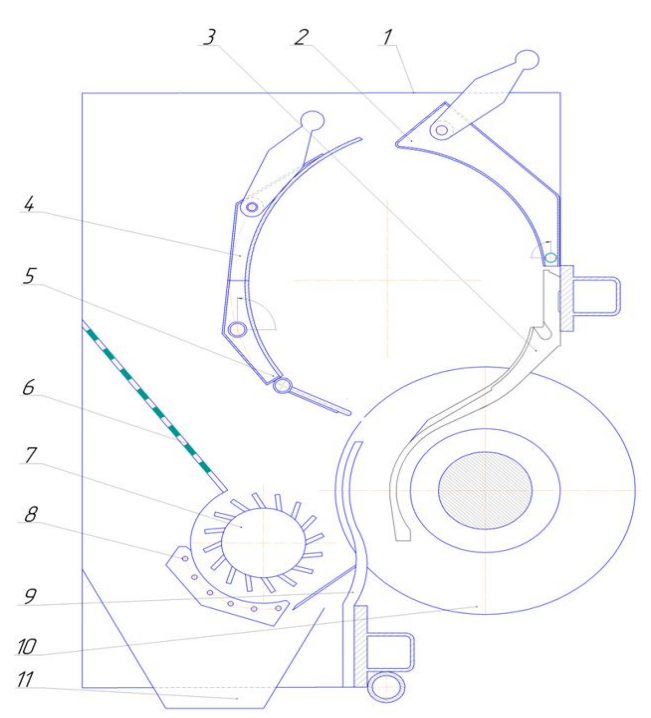


Рис. 1. Схема рабочей камеры пильного джина с набрасывающим барабаном: 1-боковина; 2-лобовой брус; 3-колосник рабочей камеры; 4-фартук верхний; 5-фартук нижний с гребенкой; 6-склиз; 7-набрасывающий барабан; 8-колосниковая решетка очистительной секции; 9-колосник очистительной камеры; 10-пильный цилиндр; 11-сороотвод

тука и изучены факторы, влияющие на его движение для заданных конструктивных и кинематических параметров. В результате установлены влияние радиуса кривизны нижнего фартука, частота вращения сырцового валика и угла поворота нижнего фаротносительно оси гребенки относительной скорости сырцового валика. Определены рациональные расстояния между центром радиуса кривизны нижнего фартука (Ø480) и пильным цилиндром (∅320), при которых относительная скорость сырцового валика увеличивается до 40%.

Однако для эффективной работы предложенного пильного джина с набрасывающим барабаном, обеспечивающего улучшение разрыхления, очистки и равномерной подачи хлопка в рабочую камеру при заданной производительности, необходимо решить следующие задачи:

- 1) разработать математическую модель движения сырцового валика в зоне лобового бруса рабочей камеры до отрыва от него и изучить факторы, влияющие на его движение;
- 2) установить оптимальный радиус лобо-

вого бруса и его месторасположение относительно центра рабочей камеры, при котором обеспечивается максимальная относительная скорость сырцового валика.

В задачу исследований входит нахождение закона движения сырцового валика в зоне лобового бруса до отрыва от него и изучение факторов, влияющих на его движение для заданных конструктивных, кинематических параметров, экспериментально найденных внешних сил и производительности джина, а также максимальная относительная скорость сырцового валика, при которой обеспечивается максимальное перемещение массы сырцового валика по поверхности лобового бруса. Практика использования пильных джинов с набрасывающим барабаном позволила установить необходимость изучения движения сырцового валика внутри рабочей камеры, особенно в зоне лобового бруса, которые зависят от радиуса его кривизны и месторасположения относительно центра рабочей камеры, и приводят к следующим отрицательным процессам:

- 1) снижению скорости вращения сырцового валика;
- 2) увеличению опушенности семян;
- 3) снижению производительности джина и образованию забоя в колосниковой зоне.

Исходя из указанного, мы изучали относительное движение сырцового валика в зоне лобового бруса с использованием расчетной схемы, приведенной на рис. 2.

Расчетная схема движения состоит из массы т, вращающегося с постоянной угловой скоростью сырцового валика ω на поверхности лобового бруса (см. рис 2), который имеет радиус Rи начальный угол φ_0 , и совершающего относительно него перемещения S по радиусу R_I за время t.

Обозначим начальный угол лобового бруса через φ_0 , а угол сброса $-\varphi_1$. Предположим, что масса m сырцового валика в процессе передвижения меняется незначительно, тогда вследствие его малости можно пренебречь.

Выберем неподвижную систему координат с началом в точке O и обозначим её XOV. Подвижную и относительную систему координат выбираем с началом в точке O_I на рабочей камере. Ось $O_I \tau$ направлена по касательной 90° к радиусу R_I лобового бруса относительно к центру рабочей камеры. За положительное направление примем вращение против часовой

стрелки, ось $O_I n$ – перпендикулярна к оси $O_I \tau$, системы координат τ O_I n- жестко связанной с сырцовым валиком и вращается вместе с ним с постоянной угловой скоростью ω .

Масса сырцового валика, движущегося по поверхности лобового бруса, рассматривалась в виде цельного прямоугольника со сторонами $S_{np} = l_{pa\delta} \times L_d$, где $l_{pa\delta} = 0.55 \,\mathrm{m}$ — рабочая длина лобового бруса; $L_d = 0.01 \,\mathrm{m}$ — толщина слоя сырцового валика. При этом предполагалось, что она сосредоточена в центре прямоугольника и в зависимости от производительности джина толщина слоя хлопка, которая выбиралась для $\Pi = 1632.7 \,\mathrm{kr/v}$, $\Delta_{cp} = 0.03 \,\mathrm{m}$ (она зависит от плотности сырцового валика и габаритных размеров джина), меняется.

На массу сырцового валика действуют следующие силы: $P=m\cdot g$ – вес сырцового валика, H; $F_{u}=m\cdot R_{I}\cdot \omega^{2}$ – центробежная сила, H; $F_{mp}=K_{mp}\cdot N$ – сила трения сырцового валика о поверхность лобового бруса, H; N–

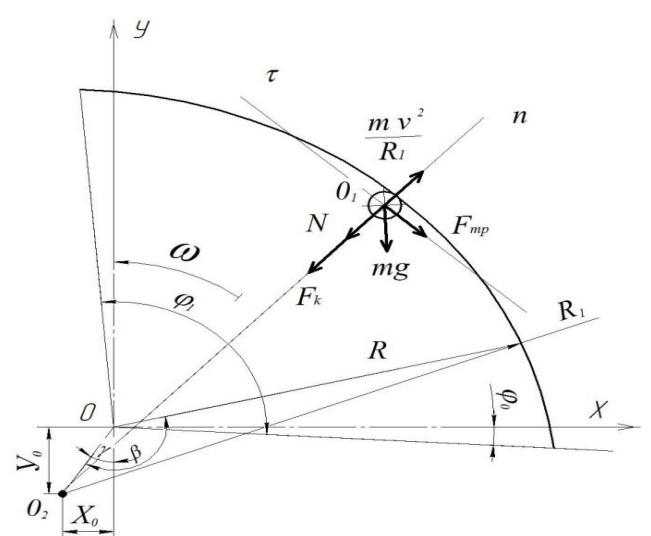


Рис. 2. Расчетная схема движения сырцового валика на поверхности лобового бруса

нормальная сила реакции, H; $F_{conp} = K^* \cdot v^2$ — сила сопротивления воздушного потока, H; $v = \omega \cdot R_1$ — линейная скорость сырцового валика, м/c; $\omega = \pi \cdot n/30$ — угловая скорость сырцового валика, рад/c; $n = 30 \cdot \omega / \pi$, мин⁻¹ — частота вращения сырцового валика.

Составим уравнение динамики материальной точки

$$m \cdot \overline{W} = \overline{F}_{mp} + \overline{P} + \overline{F}_{u} + \overline{N} \,. \tag{1}$$

Так как $\overline{W} = \overline{W_{rn}} + \overline{W_{r\tau}} + \overline{W}_{en} + \overline{W_{e\tau}} + \overline{W_{\kappa op}}$, то для относительного движения получим

$$m \cdot \overline{W_{r\tau}} = -m \cdot \overline{W_{rn}} - m \cdot \overline{W_{en}} + m \cdot \overline{W_{\kappa op}} + \overline{F_{mp}} + \overline{P} + \overline{F_{u}} + \overline{N}$$
 (2)

где $\overline{W}_{\kappa op}=2\cdot\omega\cdot\dot{s}$; $\dot{s}=ds/dt$ — скорость относительного движения сырцового валика, м/с; $\overline{W}_{rn}=\dot{s}^2/R$. $\overline{W}_{e\tau}$ — тангенциальное ускорение, в переносном движении равное нулю, так как $\dot{\omega}=$ const.

Проектируя уравнение (2) на ось $O_{1\tau}$ (рис 2), получим

$$N - \frac{m \cdot \dot{s}^2}{R_1} + 2 \cdot m \cdot \omega \cdot \dot{s} + m \cdot g \cdot \cos(\omega \cdot t + \varphi_o) = 0.$$
(3)

Отсюда находим нормальную реакцию

$$N = \frac{m \cdot \dot{s}^2}{R_1} - 2 \cdot m \cdot \omega \cdot \dot{s} - m \cdot g \cdot \cos(\omega \cdot t + \varphi_o). \tag{4}$$

Проектируя (2) на ось $O_l n$ (см. рис 2) и сокращая массы m, получим уравнение движения сырцового валика по поверхности лобового бруса

$$\ddot{s} = \frac{d^2s}{dt^2} = -g \cdot \sin(\omega \cdot t + \varphi_o) - K_{mp} \cdot \left[\frac{\dot{s}^2}{R_1} - 2 \cdot \omega \cdot \dot{s} - g \cdot \cos(\omega \cdot t + \varphi_o) \right] . \tag{5}$$

При решении уравнения (5) движения сырцового валика по лобовому брусу соблюдались следующие условия:

• движение сырцового валика по поверхности лобового бруса определялось уравнением угла $\alpha = \alpha + 2 \arcsin(s/2R)$ при различных углах $(\omega \cdot t + \varphi_o)$ и в координатах — уравнениями $x = R \cdot \cos \alpha$ и $y = R \cdot \sin \alpha$;

•
$$\gamma = \arcsin \frac{X_0}{\sqrt{X_0^2 + Y_0^2}}; \ \beta = \gamma + \frac{\pi}{2} - \varphi_0;$$

• при $\pi/2 < \varphi_I$ решение уравнения (5) прекращалось, так как это соответствовало отрыву сырцового валика с поверхности лобового бруса, где $\Delta_a = \sqrt{X_0^2 + V_0^2}$ – расстояния между центром кривизны лобового бруса и центром рабочей камеры; X_0 – расстояния между осями кривизны лобового бруса и центром рабочей камеры по оси X; Y_0 – расстояния между осями кривизны лобового бруса и центром рабочей камеры по оси Y.

Для решения уравнения (5) использовался численный метод Рунге–Кутта для дифференциального уравнения второго порядка вида $\ddot{s} = \frac{d^2s}{dt^2} = F(t,s,\dot{s})$ [14]. Перед началом вычислений задавались шаг Δt и начальные значения t_o , $s(t_o) = s_o$ и $\dot{s}(t_o) = \dot{s}_o$.

Нами использованы следующие начальные данные 30-пильного джина, установленного в лаборатории ТММ Института механики и сейсмостойкости сооружений АН РУз:

- конструктивные $l_{pa\delta}$ =0.55 м; L_d =0.01 м; R=0.168 м; φ_o =0°; φ_I =90°;
- кинематические ω =8.168 c⁻¹; V_{ro} = $\omega \cdot R$ =1.96 м/c;
- технологические ρ_e =350 кг/м³; s_{np} = l_{pa6} × L_d =0.55×0,01=0.0055 м²; Δ_{cp} =0.03 м; m= ρ_e : s_{np} · Δ_{cp} =350·0.0055·0.03 =0.057 кг.

Из практики использования пильных джинов известно, что производительность машины прямо пропорциональна скорости вращения сырцового валика. Поэтому нами основным фактором выбрана относительная скорость вращения сырцового валика.

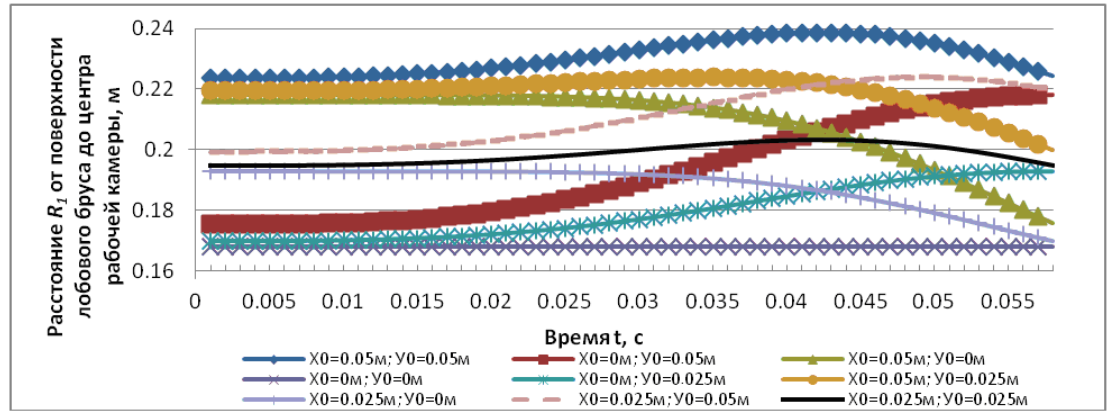


Рис. 3. Изменение расстояния R_1 от поверхности лобового бруса до центра рабочей камеры в функции времени t.

В результате реализации уравнения движения сырцового валика по поверхности лобового бруса на ЭВМ построены графики изменения расстояния R_I от поверхности лобового бруса до центра рабочей камеры (рис.3) и угловой скорости сырцового валика (рис. 4) в функции времени t.

Из рис. З видно, что расстояние R_I при X_0 =0.05 м; Y_0 =0.05 м достигает максимума, а при X_0 =0 м; Y_0 =0 м — минимума.

Анализ рис 4 показал, что угловая скорость сырцового валика при X_0 =0м; Y_0 =0м достигает максимума, а при X_0 =0.05 м; Y_0 =0.05 м – минимума.

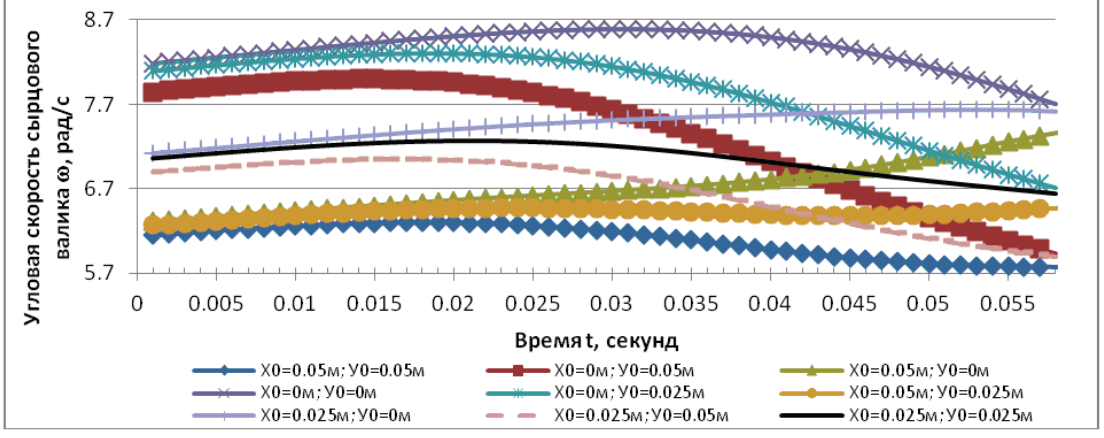


Рис. 4. Изменение угловой скорости сырцового валика в зависимости от времени t.

Численное исследование модели дает возможность определять разнообразные характеристики процессов, оптимизировать конструкции или режимы функционирования проектируемых устройств. Более того, случается, что в ходе вычислительного эксперимента исследователь неожиданно открывает новые процессы и свойства, о которых ему ранее ничего не было известно [15].

Как показал предварительный анализ, основными факторами, влияющими на относительную скорость сырцового валика, является изменение расстояний X_0 и Y_0 (см.рис.2–4).

Для нахождения максимальной относительной скорости сырцового валика в зависимости от $X_1=X_0$ и $X_2=Y_0$ использована матрица ортогонального планирования второго порядка для двухфакторного процесса [16]. Выбор такой матрицы обусловлен тем, что линейная математическая модель неадекватна для исследуемого процесса. Матрица ортогонального планирования второго порядка для двухфакторного процесса с условием проведения эксперимента представлена в таблице.

№ Xo				X1· X2	(X1')2	(X2')2	Рабоча	ая матрица	Относительная ско-	
	Xo	X1	X2				Х0, м	У0, м	рость сырцового ва-	
								3 0, M	лика Δv , мм/с	
1	+	+	+	+	0.33	0.33	0.05	0.05	28.92574	
2	+	-	+	-	0.33	0.33	0	0.05	31.55706	
3	+	+	-	-	0.33	0.33	0.05	0	29.11493	
4	+	-	-	+	0.33	0.33	0	0	31.95601	
5	+	-	0	0	0.33	-0.67	0	0.025	31.77097	
6	+	+	0	0	0.33	-0.67	0.05	0.025	29.03086	
7	+	0	-	0	-0.67	0.33	0.025	0	31.4928	
8	+	0	+	0	-0.67	0.33	0.025	0.05	31.21888	
9	+	0	0	0	-0.67	-0.67	0.025	0.025	31.36853	

Матрица планирования эксперимента

Согласно требованиям ортогонального планирования эксперимента [9], изменяя интервал варьирования расстояний X_1 = X_0 =0-0.05м и X_2 = Y_0 =0-0.05м, проводили вычислительные эксперименты по определению характера изменения относительной скорости сырцового валика (см. таблицу).

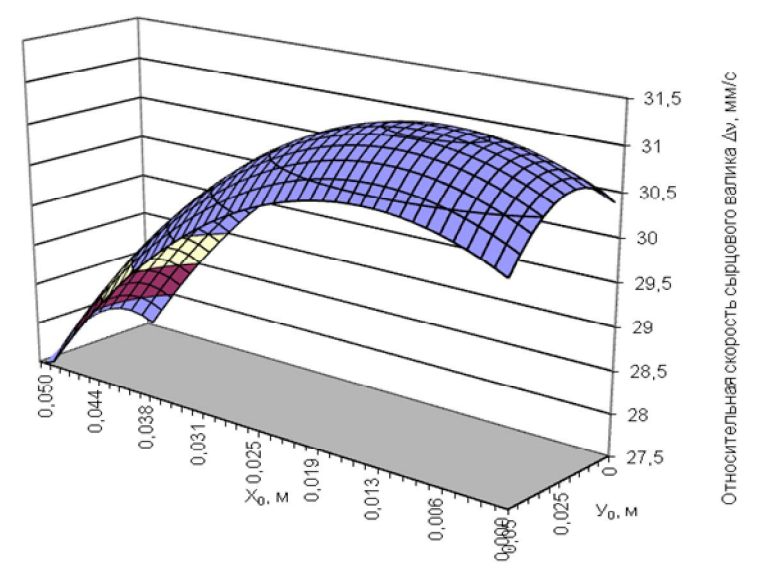


Рис. 5. Изменение относительной скорости Δv в зависимости от расстояний X_0 и Y_0

Подставляя коэффициенты, получим уравнение регрессии со значениями факторов X_1 и X_2 :

$$\Delta v = 30.715 - 1.369 \cdot X_1 - 0.144 \cdot X_2 + 0.052 \cdot X_1 \cdot X_2 - 1.428 \cdot 10^{-6} \cdot X_1^2 - 0.473 \cdot X_2^2. \tag{6}$$

Нахождение рациональных параметров лобового бруса велось методом Гаусса–Зайделя [16] по критерию максимума относительной скорости сырцового валика.

В результате исследования кинематики сырцового валика и типоразмера лобового бруса рабочей камеры пильного джина с использованием движения сырцового валика (радиус лобового

бруса — 168 мм, средняя частота вращения — 72 мин⁻¹, $\Delta_a = \sqrt{X_0^2 + Y_0^2} = 0.0236$ м — расстояния между центром кривизны лобового бруса и центром рабочей камеры; $X_0 = 0.0125$ м — расстояния между осями кривизны лобового бруса и центром рабочей камеры по оси X; $Y_0 = 0.02$ м — расстояния между осями кривизны лобового бруса и центром рабочей камеры по оси Y) установлена средняя относительная скорость сырцового валика в зоне сброса 31.057 мм/с (рис. 5), что на 13.5% больше, чем при $X_0 = 0.05$ м; $Y_0 = 0.05$ м.

Эти параметры позволили установить расстояния между центром радиуса кривизны лобового бруса (168мм) и пильным цилиндром (\varnothing 320мм), составляющие a_w =0.28081м, Δ_x =0.08523 м; Δ_v =-0.26757 м.

ЛИТЕРАТУРА

- [1] Механический завод «RUSART». [Электронный ресурс]. URL: http://www.rusart.uz.
- [2] OOO «RIM-KOLOSS». [Электронный ресурс]. URL: http://www.rimkoloss.uz.
- [3] OOO "Paxtagin KB". [Электронный ресурс]. URL: http://paxtagin-kb.gl.uz.
- [4] Continental Eagle Corporation. [Электронный ресурс]. URL: http://www.continentaleagle.com
- [5] Lummus Corporation. [Электронный ресурс]. URL: http://www.Lummus.com.
- [6] Nipha exports private limited. [Электронный ресурс]. URL: http://www.niphaindia.com/sawgin-feeder.php.
- [7] Шандуньская акционерная компания с ограниченной ответственностью «ЛЕБЕДЬ». URL: http://www.sdmj.com.cn.
- [8] Hughs E., Holt G. Rutherford, R. Saw Gin Stands. Engineering and Ginning//. The Journal of Cotton Science 2017. 21. P. 60-69.
- [9] Mukhammadiev D.M., Rakhmatkariev Sh.U., Arifdzhanov F.Z. Analysis of static and dynamic characteristics of a saw cylinder of a gin. Print version // Journal of Machinery Manufacture and Reliability. Vol. 38. 2009, No. 2. P. 120–123.
- [10] М у х а м м а д и е в Д. М., А х м е д о в Х. А., Пр и м о в Б. Х. Анализ энергетических показателей пильного джина с набрасывающим барабаном и двухбарабанным питателем // Проблемы механики. 2017. №2–3. С. 145–149.
- [11] М у х а м м а д и е в Д. М., К у л и е в Т. М., П р и м о в Б. Х. Экспериментальное исследование потребляемой мощности электродвигателя пильного джина с шелушильной камерой// Проблемы механики. 2019. №1. С. 32—38
- [12] Мухаммадиев Д. М. Рабочая камера пильного джина. Патент РУз ІАР 04761 (от 31.10.2013г.).
- [13] М у х а м м а д и е в Д. М., Пр и м о в Б. Х., К а м а л о в С. Н. Исследование движения сырцового валика по поверхности нижнего фартука пильного джина // Проблемы механики. 2018. №3. С. 47–51.
- [14] Дьяконов В. П. Справочник по алгоритмам и программам на языке БЕЙСИК для персональных ЭВМ. М.: Наука, 1987.—240 с.
- [15] Γ ор бунов Посадов М. М. Расширяемые программы. М.: Полиптих, 1999. 336 с.
- [16] Аугамбаев М., Иванов А.З., Терехов Ю.Т. Основы планирования научно-исследовательского эксперимента. Ташкент: Ўкитувчи, 1993. –141 с.

Институт механики и сейсмостойкости сооружений им. М.Т. Уразбаева АН РУз

Дата поступления 9.10.2019

Д.М. Мухаммадиев, Б.Х. Примов, Х.А. Ахмедов, Л.Ю. Жамолова. Хом ашё валигининг аррали жин олд брус юзасидаги харакатини тадкики

Мақолада хом ашё валигининг олд брус юзасидаги ҳаракат қонуни ва унинг ҳаракатига таъсир этувчи берилган конструктив ва кинематик параметрлар тадқиқ этилган. Хом ашё валигининг кинематикасини ва аррали жин ишчи камераси олд бруси ўлчамларини тадқиқи натижасида (хом ашё валигининг ўртача айланиш частотаси-72 мин $^{-1}$, олд брус радиси 168 мм бўлганда олд брус эгрилик маркази ва ишчи камера маркази орасидаги масофа - Δ_a =0.0236м) хом ашё валиги нисбий тезлигига таъсири 31.057 мм/с (13.5%) ва олд брус эгрилик маркази ва аррали цилиндр орасидаги масофа a_w =0.28081 м эканлиги аникланган.

D.M. Mukhammadiev, B.Kh. Primov, H.A. Akhmedov, L.Yu. Jamolova. Investigation of the raw roll motion along the surface of a frontal beam of the saw gin

The law of motion of a raw roll along the surface of a frontal beam is investigated in the paper and the factors affecting its motion for given structural and kinematic parameters are studies. As a result of studying the kinematics of the raw roll and the size of the frontal beam of the saw gin working chamber (the average rotation speed is 72 min⁻¹, the distance between the center of curvature of the frontal beam and the center of the working chamber is $\Delta_a = 0.0236m$, the radius of curvature of the frontal beam is 168 mm) the relative speed of the raw roll was established at 31.057 mm/s (13.5%) and the distance between the center of curvature of the frontal beam and the saw cylinder is $a_w = 0.28081$ m.

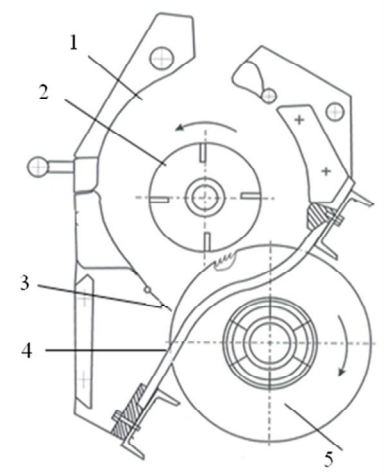
Р.Ш. СУЛАЙМОНОВ, М.Х. АХМЕДОВ, М.А. ГАППАРОВА

ТАКОМИЛЛАШТИРИЛГАН КОЛОСНИКЛИ ПАНЖАРАНИ ЧИГИТНИ ЛИНТЕРЛАШ ЖАРАЁНИГА ВА ИШЛАБ ЧИҚАРИЛАЁТГАН МАХСУЛОТ СИФАТИГА ТАЪСИРИНИНГ ТАДҚИҚОТЛАРИ

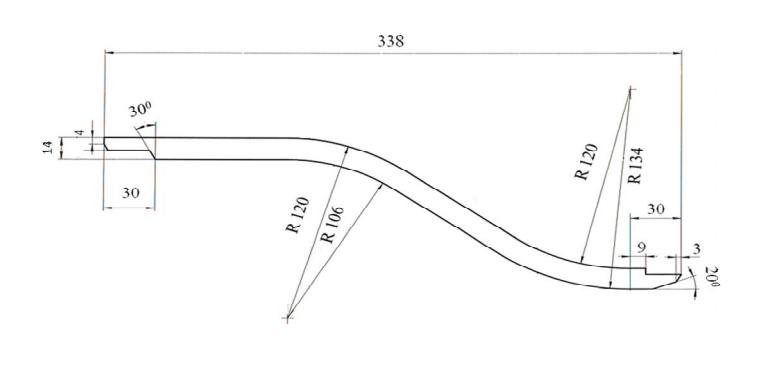
Пахта тозалаш корхоналарида 5ЛП русумли линтер ускунаси ишлатилади [1]. Ўзбекистон Республикаси давлат стандартига кўра O'zDst 596:2016 "Техник чигит" "Техник шарт" бўйича І нав техник чигитнинг линтердан кейинги тукдорлик даражаси 7 % гача бўлса, І нав 1-синф деб қабул қилиниб, улгуржи нархига 20 % устама ҳақ тўланиши белгиланган. Линтернинг иш унумдорлиги бўйича ишлаб чиқаришда олиб борилган тадқиқот ишлари, унинг ҳақиқий иш унумдорлиги техник характеристикасидаги иш унумдорлигига қараганда 50–60 % кам эканлигини кўрсатмоқда [2]. Линтер иш унумдорлигининг пастлигидан 7 % тукдорликдаги техник чигитни ишлаб чиқариш учун чигитни линтерлаш технологик тизимига 10–11 дона 5ЛП линтерларни ўрнатишга тўғри келмоқда. Бу ўз навбатида кўшимча электр энергия, эҳтиёт қисмларни сарфланиши билан бирга цехда чанг микдорининг меъёридан ошишидан экологик муҳитга салбий таъсир этмокда.

Линтер иш унумдорлигининг пастлигига асосий сабаблардан бири линтер ишчи камерасидан линтерланган чигитларни ўз вактида ташкарига чикмаслигидир. Бунинг натижасида линтер ишчи камерасидаги чигитли валик зичлигининг ортиши юзага келиб, таъминловчи системадан ишчи камерага янги чигитларни берилиши кескин камаймокда ва линтер иш унумдорлигининг пасайишига олиб келмокда. Ишчи камерадан линтерланган чигитларни ўз вактида ташкарига чикмаслигига асосий сабаб, линтер ишчи камерасидаги колосник конструкциясининг камчилигидир. Бунинг натижасида чигит тароғи зонасида чигитларнинг тўпланиб қолиб, ишчи камерадан арралар оралиғидан ташкарига чикаётган чигитлар йўлини тўсишидир. Окибатда ташкарига чикиши керак бўлган арралар оралиғидаги чигитларнинг бир кисми ишчи камерага кайтиб кириб кетади ва камерадаги чигитли валикнинг зичлигини ошишига сабаб бўлади. Бу ўз навбатида линтернинг иш унумдорлигини камайишига олиб келади.

Линтер ишчи камерасидан линтерланган чигитларни ташқарига чиқишини жадаллаштириш орқали линтернинг иш унумдорлигини ошириш ва ишлаб чиқарилаётган маҳсулотларнинг сифатини яхшилаш учун линтердаги колосник конструкцияси такомиллаштирилди (1, 2 расм) ва ўтказилган назарий ва амалий тадқиқотлар натижасида унинг рационал катталиклари аниқланди [3].



1 - расм. 30 аррали 5ЛП линтер ишчи камерасининг схемаси: 1 – ишчи камера, 2 – аралаштиргич, 3 – чигит тароғи, 4 – такомиллаштирилган колосник, 5 – аррали цилиндр



2 - расм. 5ЛП линтери учун такомиллаштирилган конструкцияли колосник

Танлаб олинган рационал катталикларга эга бўлган колосникни оддий конструкцияли колосникдан афзаллик томонини ўрганиш учун "Пахтасаноат илмий маркази" АЖнинг технологик

лабораториясидаги 30 аррали 5ЛП линтерда таққослаш-тадқиқот ишлари ўтказилди. Синовтадқиқот ишлари тажриба ўтказиш методикаси асосида олиб борилди. Бунда чигит тароғи билан оддий конструкцияли колосник ўрнатилган колосникли панжара оралиқ масофасини 20 мм дан 35 мм гача ўзгартириб, линтерлаш жараёнига таъсири ўрганилди. Дастлаб 30 аррали линтер ишчи камерасига оддий конструкцияли колосникли панжара ўрнатилиб, линтер техник характеристикасига мос равишда созланди. Тадқиқот ишлари Наманган-77 селекцияли І нав 2-синфли пахтани жинлашдан ишлаб чиқарилган, тукдорлиги ўртача 10.35 %, ифлослиги ўртача 2.23 %, намлиги ўртача 9.74 % ва шикастланганлиги ўртача 3.27 % га тенг бўлган техник чигитда ўтказилди [4]. Линтердан кейинги чигит ва момикнинг сифат кўрсаткичини аниклаш учун чигитни линтерлаш жараёнидан ишлаб чиқарилаётган чигит ва момикдан намуналар олинди. Олинган намуналар "Пахтасаноат илмий маркази" АЖнинг "Стандартлаштириш ва метрология" лабораториясида тахлил қилинди.

Натижалари аниқ бўлиши учун намуналарнинг тахлили 9 марта такрорланди ва натижаларининг ўртачаси олинди. Линтернинг чигит ва момиқ бўйича иш унумдорлигини аниклаш учун хронометраж усулида линтерга берилаётган чигитлар тортиб олинди ва чигитни линтердан ўтиш вакти аникланди. Сўнгра линтерлаш жараёнида ишлаб чикарилаётган чигит ва момик тортиб олинди ҳамда ускунанинг соат бай ишлашида ишлаб чикариши мумкин бўлган маҳсулотларнинг микдори аникланди.

Оддий ва такомиллаштирилган конструкцияли колосникларга эга бўлган 30 аррали 5ЛП линтерларда ўтказилган синов –тадкикот ишларининг натижаси

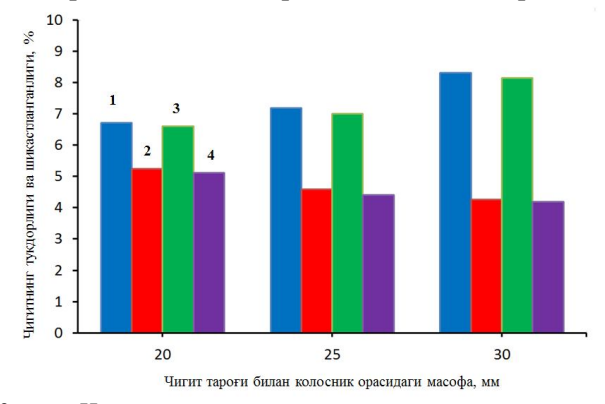
Кўрсаткичларнинг номланиши	Чигит тароғи билан колосникли панжара оралиқ масофаси, мм					
	20	25	30			
Оддий конструкцияли колосникка эга бўлган.	линтерда					
Линтердан кейинги чигит, %:						
- тукдорлиги	6.72	7.18	8.31			
- шикастланганлиги	5.25	4.58	4.27			
Линтернинг иш унумдорлиги, кг/соат						
- чигит буйича	117	129	140			
- момиқ бўйича	5.87	4.96	4.62			
Момикдаги ифлос аралашмалар ва бутун чигитларнинг массавий улуши, %	6.73	6.19	4.69			
Момикнинг штапель узунлиги, мм	6/7	6/7	6/7			
Момикнинг типи	Б	Б	Б			
Момикнинг синфи	"Ифлос"	"Ифлос"	"Ўрта"			
Момиқ ажратиш, %	3.86	3.28	2.25			
Такомиллаштирилган конструкцияли колосникка эга	бўлган линтер	да				
Линтердан кейинги чигит, %:						
- тукдорлиги,	6.6	7.0	8.14			
- шикастланганлиги	5.12	4.41	4.18			
Линтернинг иш унумдорлиги, кг/соат						
- чигит бўйича,	124	146	158			
- момиқ бўйича,	6.0	5.93	4.83			
Момикдаги ифлос аралашмалар ва бутун чигитларнинг массавий улуши, %	6.12	5.44	4.72			
Момикнинг штапель узунлиги, мм	6/7	6/7	6/7			
Момикнинг типи	Б	Б	Б			
Момикнинг синфи	"Ифлос"	"Ўрта"	"Ўрта"			
Момиқ ажратиш, %	3.79	3.46	2.32			

Тадқиқот ишларининг натижаси жадвалда ва 3, 4-расмларда келтирилган. Жадвал натижаларидан 30 аррали 5ЛП линтерга оддий конструкцияли колосникни қўлланилишида ва чигит тароғи билан колосникли панжара оралиқ масофасининг 20 мм дан 35 мм гача ўзгаришида ишлаб чиқарилаётган чигитнинг тукдорлик даражаси ўртача 6.72 дан 8.31% га, шикастланиши 5.25 дан 4.27% гача ўзгарганлигини кўриш мумкин. Момикдаги ифлос аралашмалар ва бутун чигитларнинг массавий улуши эса 6.73 дан 4.69% гача ўзгарди [5, 6]. Линтернинг чигит бўйича иш унумдорлиги 117 кг/соатдан 140 кг/соатга ошди, момик бўйича 5.87 дан 4.62 кг/соатга камайди. ПДИ 48-2014 — линтердан кейинги чигит тукдорлигининг соҳавий меъёрига якин бўлган тукдорликдаги чигитнинг ишлаб чиқарилиши эса чигит тароғи билан колосникли панжара оралиқ масофасининг 25 мм да юзага келиб, 7.18% ни ташкил этди. Бунда чигитнинг шикастланиш

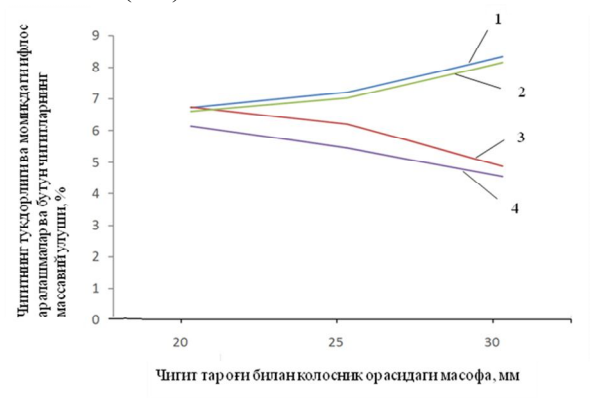
даражаси ўртача 4.58 % га тенг бўлди. Ишлаб чикарилаётган момикдаги ифлос аралашмалар ва бутун чигитларнинг массавий улуши ўртача 6.19 %, штапель узунлиги 6/7 мм ни ташкил этиб [6], сифат кўрсаткичи бўйича давлат стандарти O'zDst 645:2016 га асосан Б тип "Ифлос" синфга тўгри келди [6]. Линтернинг чигит бўйича иш унумдорлиги ўртача 129 кг/соатни, момик бўйича 4.96 кг/соатни ташкил этди.

Такомиллаштирилган колосникли панжарага эга бўлган 30 аррали линтерда чигит тароғи билан колосникли панжара оралиқ масофасининг 20 дан 35 мм гача ўзгаришида эса чигитнинг тукдорлик даражаси 6.67 дан 8.14 % га ошди, шикастланиш даражаси 5.19 дан 4.28 % га камайди. Бунда линтернинг чигит бўйича иш унумдорлиги 124 дан 158 кг/соатга ошди, момик бўйича 6.0 дан 4.83 кг/соатга камайди. Линтердан кейинги чигит тукдорлигининг соҳавий меъёри (ПДИ48-2014) га мос келадиган 7.0 % тукдорлик даражасидаги чигит эса чигит тароғи билан колосникли панжаранинг 25 мм оралиқ масофасида ишлаб чиқарилди.

Чигит тукдорлиги ва момикдаги ифлос аралашмалар ва бутун чигитларнинг массавий улушини чигит тароғи билан колосникли панжара оралиқ масофасига боғлиқлиги даражаси ўртача 4.41 % ни ташкил этиб, оддий конструкцияли колосникли линтердан ишлаб чиқарилаётган чигит шикастланиш даражасига қараганда ўртача 0.17 (абс) % га кам эканлигини кўрсатди. Чигитни линтерлашдан ишлаб чиқарилган момикдаги ифлос аралашмалар ва бутун чигитларнинг массавий улуши ўртача 5.44 %ни ташкил этиб, оддий конструкцияли колосникка эга бўлган 30 аррали линтердан ишлаб чиқарилган момиққа қараганда ўртача 0.75 (абс) % га кам эканлиги аниқланди.



3-расм. Ишчи камерадан чикаёттан чигитнинг тукдорлик ва шикастланганлик даражасининг чигит тароғи билан колосникли панжара оралиқ масофасига боғлиқлиги: 1, 2 – оддий конструкцияли колосникка эга бўлган линтерда; 3, 4 – такомиллаштирилган конструкцияли колосникка эга бўлган линтерда



4 - расм. Чигит тукдорлиги ва момикдаги ифлос аралашмалар ва бутун чигитларнинг массавий улушини чигит тароғи билан колосникли панжара оралиқ масофасига боғликлиги: I, 3 – оддий конструкцияли колосникка эга бўлган линтерда; 2, 4 – такомиллаштирилган конструкцияли колосникка эга бўлган линтерда

Момикнинг штапель узунлиги 6-7 мм га тенг бўлиб, сифатининг яхшиланганлигидан бир синф юкорига кўтарилди ва давлат стандарти O'zDst 645:2016 га асосан Б тип "Ўрта" синфга тўғри келди. Бунда линтернинг чигит бўйича иш унумдорлиги ўртача 146 кг/соатни, момик бўйича ўртача 5.93 кг/соатни ташкил этиб, оддий конструкцияли колосникли 30 аррали линтернинг чигит ва момик бўйича иш унумдорлигига қараганда ўз навбатида чигит бўйича 17 кг/соатга, момик бўйича 0.97 кг/соатга юкори эканлигини кўрсатди. Шу билан бирга чигитни линтерлаш даврида ишчи камерадан ташкарига чикаётган чигитларни чигит тароғи зонасида тўпланиб колиш холатлари кузатилмай, чигитларни чигит тароғи узунлиги бўйича жадаллашган холда ишчи камерадан ташкарига чикиши юзага келди. Натижада таъминловчи системадан ишчи камерага берилаётган янги тукли чигитлар микдорини ошириш имконияти яратилди.

Хулоса. 30 аррали 5ЛП линтерда такомиллаштирилган конструкцияли колосникни кўлланилишида самарали линтерлаш жараёни чигит тароғи билан колосникли панжаранинг танлаб олинган 25 мм оралиғида юзага келди. Бунда линтердан ишлаб чиқарилаётган чигитнинг сифати 0.17 % га, момикнинг сифати 0.75 % га яхшиланди. Линтернинг чигит бўйича иш унумдорлиги ўртача 146 кг/соатга, момик бўйича ўртача 5.93 кг/соатга тенг бўлиб, оддий конструкцияли колосникка эга бўлган 30 аррали 5ЛП линтернинг иш унумдорлигига қараганда, чигит бўйича 17 кг/соатга, момик бўйича 0.97 кг/соатга юқори эканлигини кўрсатди.

АДАБИЁТЛАР

- [1] Пахтани дастлабки ишлаш бўйича кўлланма. "Пахтасаноат илмий маркази" АЖ. "Nodirabegim nashriyoti". Тошкент, 2019. 477 б.
- [2] O'zDst 596:2016 "Пахтанинг техник чигити". "Техник шартлари". Тошкент, 2016.-6 б.
- [3] Сулаймонов Р.Ш., Ахмедов М.Х., Мардонов Б. Чигитни линтерлаш жараёнида арралар оралиғида чигитлар окими харакатини моделлаштириш. Тўкимчилик муаммолари. Тошкент, 2019. №3. 4—11 б.
- [4] Аррали жиндан кейинги чигитни тулиқ тукдорлигининг сохавий меъёрлари (ПДИ 91-2018). "Пахтасаноат илмий маркази" АЖ. Тошкент, 2018. 3 б.
- [5] O'zDst 645:2016 "Пахта момиғи". "Техник шартлари". Тошкент, 2016. 8 б.
- [6] Максудов И.Т., Нуралиев А.Н. Сборник инструкций и методик по техническому контролю и оценке качества хлопка-сырца и продукции его переработки в хлопкоочистительной промышленности. Ташкент: Мехнат, 1992. 340 с.
- [7] O'zDst 660:2016 "Пахта момиғи". "Узунликни аниклаш усуллари". Тошкент, 2016. 9 б.

"Пахтасаноат илмий маркази" АЖ

05.03.2020 й. қабул қилинган

Р.Ш. Сулаймонов, М.Х. Ахмедов, М.А. Гаппарова. Исследование влияния модернизированной колосниковой решетки на процесс линтерования семян и качество выпускаемой продукции

Для повышения производительности линтера 5ЛП, а также улучшения качественных показателей линта и семян предложен колосник новой конструкции. Проведены сравнительные испытания предлагаемого и серийного колосников на стендовой установке, в результате чего выявлены преимущества новых колосников в плане производительности и качества линта и семян.

R.Sh. Sulaymonov, M.H. Ahmedov, M.A. Gapparova. Study of the influence of the modernized grain grid on the seed linting process and quality of produced products

To increase the performance of the 5LP linter, as well as improve the quality of lint and seeds, a grate of a new design is proposed. Comparative tests of the proposed and serial grates on a bench installation were carried out, as a result of which the advantages of the new grates in terms of productivity and quality of lint and seeds were revealed.

УДК 621.01

А. МАМАХОНОВ, К. ЮЛДАШЕВ

РАЗРАБОТКА ЭФФЕКТИВНОЙ КОНСТРУКЦИИ И ОБОСНОВАНИЕ ПАРАМЕТРОВ ВИНТОВОГО КОНВЕЙЕРА ДЛЯ ТРАНСПОРТИРОВКИ И ОЧИСТКИ ХЛОПКОВОГО ЛИНТА

Винтовые конвейеры широко используются для транспортировки различных материалов, в частности, сыпучих и волокнистых [1, 2]. В технологической линии переработки хлопка имеется очистка линта от сорных примесей винтовым очистителем. Известен винтовой конвейер, содержащий неподвижный желоб, нижняя часть которого имеет форму полуцилиндра, закрытого сверху крышкой, и установленный внутри желоба по его оси приводной винт в подшипниках, закрепленных на желобе. Перемещение груза по желобу осуществляется витками вращающегося винта [3]. Недостатком этого аналога являются высокий расход энергии и возможность забоя груза в желобе при увеличенной подаче материала.

В конструкции конвейера волокнистых материалов содержится желоб, нижняя часть которого имеет форму полуцилиндра, закрытый сверху крышкой. К желобу в нижней цилиндрической части прикреплены кольцевые бандажи, посредством которых желоб установлен на роликах с возможностью колебания желоба вокруг своей оси. Ролики упираются в торцевые плоскости кольцевого бандажа на желобе. Желоб для возможности колебания подвешен на подшипниках на валу винта. Крышка имеет в левой части входное отверстие, а желоб – в правой части выходное отверстие. Недостатком данной конструкции является невозможность удаления из общей массы транспортируемых семян хлопка сорных примесей, выделяемые в результате винтового движения. Вследствие этого выделенные сорные примеси попадают в технологическую машину-линтер и сильно загрязняют получаемый продукт-линт [4, 5].

Следует отметить, что в существующих винтовых конвейерах при транспортировке волокнистых материалов, особенно хлопковых, из-за недостаточного разрыхления материала происходит недостаточное выделение сора. Кроме того, из-за недостаточного трения между винтовой поверхностью и волокнистым материалом происходит отставание их при транспортировке, что при-

водит к дополнительным механическим повреждениям волокнистого материала (хлопка и их отходов). Взаимодействие винтовой поверхности на волокнистый материал происходит монотонно в одном направлении, с постоянной движущей силой, что не обеспечивает эффективность их очистки. С целью обеспечения достаточного разрыхления транспортируемого волокнистого материала, повышения очистительного эффекта и требуемой производительности транспортировки усовершенствована конструкция винтового конвейера за счет увеличения площади контакта, силы трения, а также изменения значений направления силы взаимодействия винта с транспортируемым волокнистым материалом.

Винтовой конвейер содержит желоб I (рис. 1), нижняя часть которого имеет форму полуцилиндра, закрытого сверху крышкой 2. Внутри желоба I по его оси транспортирующий материал винт 3. Сверху желоба I имеется входное отверстие 4, а в конце, внизу — выходное отверстие 7. Нижняя рабочая часть желоба I выполнена в виде сетчатой поверхности 8. Рабочие поверхности винта 3 выполнены зигзагообразной формы 5, имеющие треугольные выступы и впадины. Высота треугольников 5 винта 3 выбрана равной среднему размеру семени хлопка, (40—70 мм). Ребра 6 треугольников 5 винта взаимно параллельны, а при навивке на вал направлены по радиусу винта 3.

Винтовой конвейер работает следующим образом. Волокнистый материал (хлопок-сырец, волокнистые отходы) подается в желоб I через входное отверстие 7 в крышке 2 и при вращении винта 3 продвигается скольжением вдоль желоба I протаскиваемые зигзагообразной (треугольной) рабочей поверхностью 5 вращающегося винта 3 к выходному отверстию 8.

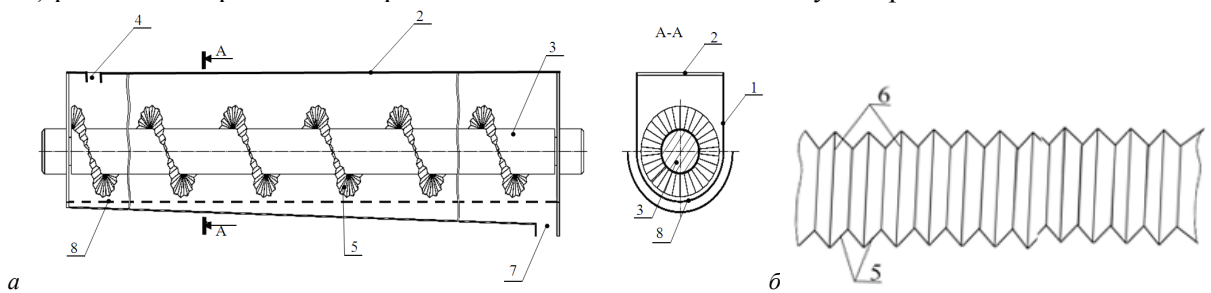


Рис. 1. Винтовой конвейер для транспортировки и очистки волокнистого материала (a), а также деталь 5 в увеличенном виде (6)

Зигзагообразная (треугольные выступы и впадины) 5 форма рабочих поверхностей винта 3 воздействует на семена и летучки хлопка с различной по величине и направлению силой, что приводит к дополнительному выделению хлопка. Это способствует эффективному выделению сора из волокнистого материала (хлопка). Сорные примеси, выделенные из волокнистого материала, выпадают через отверстия сетчатой поверхности 8 желоба 1 и отводятся в самоотвод через отверстие

Рекомендуемая конструкция винтового конвейера обеспечивай эффективное транспортирование волокнистых материалов, необходимый очистительный эффект, что способствует повышению производительности.

Расчетная схема привода винтового конвейера принята в виде трехмассовой системы: I–масса состоит из ротора двигателя, ведущего шкива ременной передачи; 2–масса из ведомого шкива и приведенных масс зубчатых колес редуктора, а также ведущей части муфты; 3–масса включает ведущую часть муфты и винта [6, 7]. Расчетная схема представлена на рис. 2.

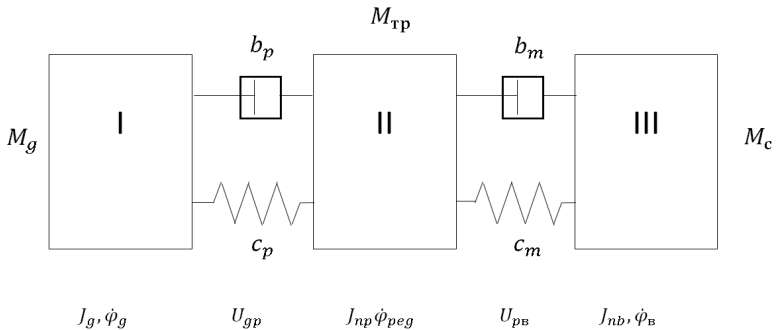


Рис. 2. Расчётная схема машинного агрегата с механизмом привода винта конвейера для транспортировки и очистки линта хлопка

Система дифференциальных уравнений, описывающих движение элементов винтового конвейера, имеет следующей вид [8, 9]:

$$\begin{split} \boldsymbol{M}_{\partial} &= \boldsymbol{f}(\dot{\varphi}_{\partial p}) \; ; \; \boldsymbol{J}_{\partial} \ddot{\varphi}_{\partial p} = \boldsymbol{M}_{\partial} - \boldsymbol{\varepsilon}_{p} \Delta \dot{\varphi}_{\partial p} - \boldsymbol{c}_{p} \Delta \boldsymbol{\varphi}_{\partial p} \; ; \\ \boldsymbol{J}_{np} \ddot{\varphi}_{pe\partial} &= \boldsymbol{u}_{\partial p} (\boldsymbol{\varepsilon}_{p} \Delta \dot{\varphi}_{\partial p} + \boldsymbol{c}_{p} \Delta \boldsymbol{\varphi}_{\partial p}) - \boldsymbol{\varepsilon}_{\scriptscriptstyle{M}} \Delta \dot{\varphi}_{\scriptscriptstyle{M6}} - \boldsymbol{c} \Delta \boldsymbol{\varphi}_{\scriptscriptstyle{M8}} - \boldsymbol{M}_{mp} \; , \\ \boldsymbol{J}_{ne} \ddot{\varphi}_{e} &= \boldsymbol{u}_{pe} \left(\boldsymbol{\varepsilon}_{\scriptscriptstyle{M}} \Delta \dot{\varphi}_{\scriptscriptstyle{eM}} + \boldsymbol{c}_{\scriptscriptstyle{M}} \Delta \boldsymbol{\varphi}_{\scriptscriptstyle{eM}} \right) - \boldsymbol{M}_{me} - \boldsymbol{M}_{c} \; ; \\ \Delta \boldsymbol{\varphi}_{\partial p} &= \boldsymbol{\varphi}_{\partial} - \boldsymbol{\varphi}_{pe\partial} \cdot \boldsymbol{u}_{\partial p} \; ; \; \Delta \boldsymbol{\varphi}_{\scriptscriptstyle{M6}} = \boldsymbol{\varphi}_{pe\partial} - \boldsymbol{u}_{pe} \cdot \boldsymbol{\varphi}_{e} \; ; \; \boldsymbol{M}_{c} = \boldsymbol{M}_{1} + \boldsymbol{M}_{0} \sin \boldsymbol{\omega}_{e} t \pm \delta \boldsymbol{M}_{1} \; , \end{split} \tag{1}$$

где M_{∂} — движущий момент двигателя; J_{∂} , J_{np} , J_{ne} — приведенные моменты инерций масс на валу двигателя, на входном валу редуктора, на валу винта; c_p , $c_{\mathcal{M}}$, e_p , $e_{\mathcal{M}}$ — коэффициенты круговой жесткости и коэффициентов диссипаций ременной передачи и муфты; M_1 , M_0 , δM_1 — составляющие технологической нагрузки от транспортируемого и очищаемого линта хлопка; M_{me} — момент сил трения на валу винта; $\dot{\varphi}_{\partial p}$ — угловая скорость ротора двигателя; $\dot{\varphi}_{pe\bar{\partial}}$ — угловое перемещение входного вала редуктора; $\varphi_{\partial p}$ — угловое перемещение ротора асинхронного двигателя; φ_e — угловое перемещение винта конвейера.

Численное решение системы (1) произвели на ПК, используя стандартные программы при следующих значениях параметров: асинхронный двигатель

У132s-8, P=2.2 кВт; n=710 об/мин; $u_{\partial p}$ =1.27; u_{ps} =20; J_{∂} =1.12 кг·м²; J_{np} =2.89 кг·м²; J_{ns} =7.14 кг·м²; c_p =200–250 Н·м/рад; s_p =5.0–5.5 Н·м·с/рад; c_{m} =400–420 Н·м/рад; s_{m} =9.5–10.5 Н·м·с/рад; M_{1} =46–65 Н·м; M_{0} =5.5–10 Н·м; δM_{1} =0.05–0.07 M_{1} ; M_{ns} =35–45 Н·м.

На основе решения системы дифференциальных уравнений (1) при начальных условиях t=0; $\dot{\phi}_{op}$ = 0; $\dot{\phi}_{e}$ = 0; M_o ; M_c получены закономерности изменения угловых скоростей ротора асинхронного двигателя, винтового конвейера, а также крутящего момента на валу двигателя (рис. 3). Анализ показывает, что с увеличением нагрузки M_1 от транспортируемого и очищаемого линта в пределах 45 – 65 Нм угловая скорость ротора двигателя фактически остается неизменным, её снижение незначительно. Кроме того, размах колебаний угловой скорости ротора двигателя также изменяется в незначительных пределах. Но снижение угловой скорости винта с зигзагообразным профилем будет ощутимым. Так, при M_1 =45 H·м, $\dot{\phi}_e$ снижается до 27.2 c⁻¹, а при нагрузке 65 H·м $\dot{\phi}_e$ уменьшается до 25.9 c⁻¹. При этом размах колебаний $\Delta \dot{\phi}_e$ увеличивается от (1.2 – 1.4) до (3.0 – 3.8) c⁻¹. Увеличение размаха колебаний $\Delta \dot{\phi}_e$ положительно влияет на эффект транспортирования и очистки линта за счет дополнительного их встряхивания.

На базе обоснованных параметров рабочих элементов винтового конвейера был спроектирован и изготовлен опытный образец.

Испытания рекомендуемой конструкции конвейера с зигзагообразной поверхностью винта проведены по сравнению с существующим вариантом в условиях хлопкозавода. Анализ результатов испытаний показывает, что при использовании винта с зигзагообразным профилем в 3-3.5 раза уменьшается выделяемый пух, а также снижается повреждения семян (кожицы) хлопка. Выделение мелкого сора повышается в 2.0-2.5 раза по сравнению с существующим конвейером. Общий эффект очистки хлопкового линта увеличивается в 6.0-10.5% в рекомендуемом конвейере относительно серийной машины.

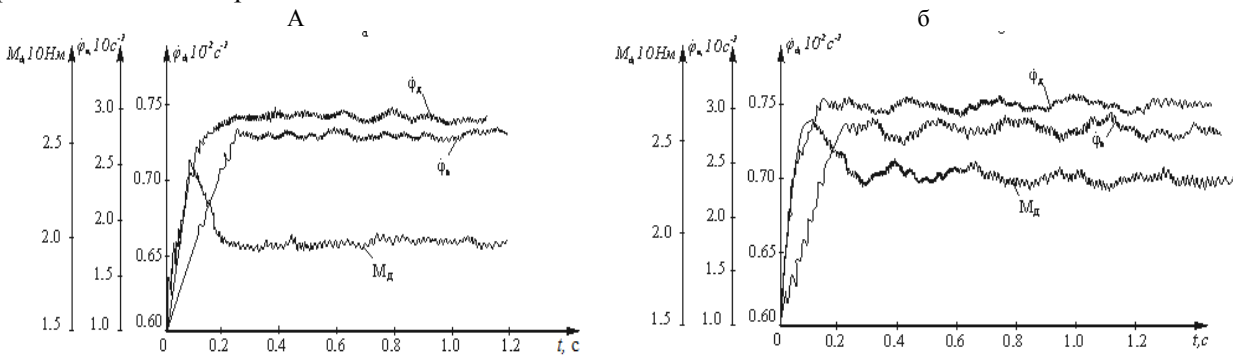


Рис. 3. Закономерности изменения угловых скоростей ротора двигателя, вала винта, а также крутящего момента на валу двигателя: $a-M_c$ =45 $H\cdot M$ +6.55 $\sin \omega_e$ /± δM_1 ; $\delta-M_c$ =45 $H\cdot M$ +6.55 $\sin \omega_e$ /± δM_1

Выводы. Предложен эффективный конвейер с винтом зигзагообразного профиля. На основе теоретических исследований получены закономерности движения ротора двигателя и винта конвейера, обоснованы параметры и режимы движения системы. Экспериментами выявлено, что

рекомендуемый конвейер позволяет значительно повысить эффект очистки и транспортирования линта.

ЛИТЕРАТУРА

- [1] Мирошниченко Г.И. Основы проектирования машин первичной обработки хлопка. М.: Машиностроение, 1972. 486 с.
- [2] Джураев А. и др. Теория механизмов и машин. Ташкент: Изд. им. Г.Гуляма, 2004. 582 с.
- [3] Спиваковский А.О., Дыячков В.К.Транспортирующие машины. Изд. 2-е, перераб. и доп. М.: Машиностроение, 1968. 356 с
- [4] Джураев А., Ташпулатов Д.С., Элмонов С.М., Плеханов А.Ф., ЖилисбаеваР.О. Разработка ресурсосберегающей технологии очистителя натурального волокна от примесей и обоснование параметров колосника на упругих опорах // Технология текстильной промышленности. 2018. № 6. С. 76–79.
- [5] Абдугафаров X.Ж. и др. Винтовой конвейер. FAP №01141. Бюлл. 2016. 10.
- [6] Джураев А., Максудов Р. Теория механизмов и машин. Учебник. Ташкент: Изд. "Наука и технология"., 2019. 300 с.
- [7] Djurayev A., Yunusov S.Z., Normatov E.A. Analysis of the surface of the arralious double plastic consolidated collector // International journal of advanced research in science. Engineering and technology. Vol.5. Issue 12, December 2018, P. 7578–7582.
- [8] Джураев А., Кенжабоев Ш. Разработка конструктивных схем и научные основы анализа и синтеза рычажных механизмов с упругими элементами и гибритными звеньями приводов технологических машин. Монография.. Наманган: Изд. Наманган, 2019. 268 с.
- [9] Djurayev A., Rajabov O. Experimental study of the interaction of multifaceted and cylindrical spinky cylinder in cotton cleaner from small waste. // International journal of advanced research science. Engineering and technology. Vol.6. Issue-3. march 2019. P. 8382–8387.

Наманганский инженерно - технологический институт Андижанский машиностроительный институт

Дата поступления 20.03.2020

А. Мамахонов, К. Юлдашев. Пахта линтини ташувчи ва тозаловчи винтли конвейернинг самарали конструкциясини ишлаб чикиш ва параметрларини асослаш

Мақолада самарали янги зиг-заг профилли винтли конвейернинг конструктив схемаси ва ишлаш принципи келтирилган. Винтли конвейернинг асосий параметрлари, юритма двигатели динамик-механик характеристикаси, инерцияси, қайишқоқ — диссипатив параметрлари шунингдек, ташиш билан бирга тозаланаётган пахта линтининг технологик юкланишлари натижасида ҳаракатланувчи ишчи орган ҳаракат қонуниятларини инобатга олувчи динамик система масаласини ечиш орқали асосланган. Ишлаб чиқаришдаги тажриба синовлари ва таққослашларга асосланиб таклиф этилаётган конвейернинг ишлаб чиқаришдаги самарадорлиги исботланди.

A. Mamakhonov, K. Yuldashev. Development of an effective design and justification of the parameters of a screw conveyor for transporting and cleaning cotton linters

The article presents a new effective structural scheme and the principle of operation of the conveyor with a screw with a zigzag profile. Based on the solution of the problem of system dynamics, taking into account the dynamic mechanical characteristics of the engine, inertial, elastic-dissipative parameters, as well as technological loads from the transported and cleaned cotton lint, regularities of movement of the working body are obtained, the basic parameters of the conveyor are substantiated. Based on production comparative tests of the recommended conveyor, the efficiency of its use in production is substantiated.

УДК 677.025

Н.М. МУСАЕВ, М.М. МУКИМОВ, М.А. МАНСУРОВА

РАЗРАБОТКА ЭФФЕКТИВНОЙ КОНСТРУКЦИИ И ОБОСНОВАНИЕ ПАРАМЕТРОВ МЕХАНИЗМА ОТТЯЖКИ ПЛОСКОВЯЗАЛЬНОЙ ТРИКОТАЖНОЙ МАШИНЫ

Введение. Механизм оттяжки полотна предназначен для постоянного оттягивания связанного полотна. За счет этого гарантируются безупречное образование новых петель, а также надежный перенос петель. На машине установлены три механизма оттяжки полотна, которые дополняют друг друга.

Механизм основной оттяжки располагается под игольницами и состоит из секций в виде оттяжных роликов, которые связаны с валом с помощью спиральных пружин. Прижимные ролики, прижимающие трикотаж к оттяжным роликам, имеют для каждой секции регулировку силы прижатия пружиной с помощью винта. Трикотаж зажимается между оттяжными и прижимными роликами и оттягивается при вращении вала от шагового двигателя, который получает команды из процессора и при вязании работает с постоянным усилием, заданным программой [1].

В другой известной конструкции механизма оттяжки трикотажа используется груз, непосредственно подвешенный к полотну [2–3].

Имеется устройство для автоматической оттяжки изделия на плосковязальной механической машине, включающее приемный и прижимной секционные валы [4]. В механизме оттяжки трикотажа, включающем оттяжной вал с рифлеными секционными роликами, которые связаны между собой зубчатым колесом, регулировка силы оттяжки полотна, проходящая рифлеными роликами и прижимным валом, осуществляется специальным устройством, включающим пружину сжатия и регулировочный винт [5]. Недостатком данного устройства является сложность конструкции: конструкция не обеспечивает равномерность оттяжки по всей ширине трикотажа.

Экспериментальные исследования. Рекомендуемый механизм оттяжки трикотажа (рис.1) состоит из секций в виде оттяжных рифленых роликов I, которые установлены на валу 2 резиновой втулкой 3, выполненной цельной по всей длине вала 2. При этом резиновая втулка 3 может быть выполнена отдельно для каждой секции различной толщины. Наибольшая толщина резиновой втулки 3 в крайних секциях, а наименьшая в средней секции, прижимные ролики 4 также выполнены секционными. Прижимные ролики 4, прижимающие трикотаж к оттяжным роликам I, имеют для каждой секции регулировку силы прижатия пружиной 5 с помощью регулировочного винта 6. Прижимные ролики 4 могут быть выполнены рифлеными (рис.1).

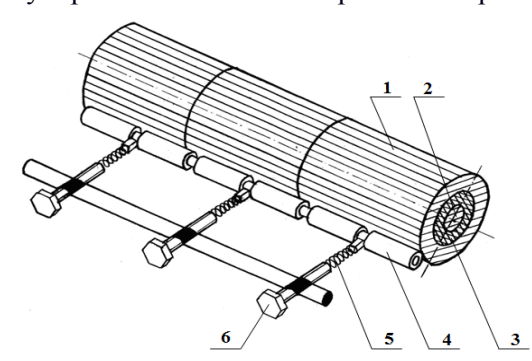


Рис.1. Механизм оттяжки трикотажа

Конструкция работает следующим образом. Поступающий трикотаж зажимается между оттяжными I и прижимными роликами 4 и оттягивается при вращении вала 2 от шагового двигается (на рис.1 не показан). При этом в каждой секции оттяжного ролика I и прижимного ролика 4 заранее устанавливается с необходимой силой прижима с регулировочным винтом 6 и пружины 5 (см. рис.1). При этом изменения толщины трикотажа, изгиба вала 2 могут привести к неравномерности оттяжки трикотажа по всей ширине механизма оттяжки. В зависимости от

изменения величины толщины трикотажа и изгиба вала 2 происходит деформация (сжатие) резиновой втулки 3. Это приводит к равномерности оттяжки трикотажа. При выработке многослойного трикотажа, а также трикотажа с различной плотностью равномерность оттяжки трикотажа по всей ширине обеспечивается путем использования резиновой втулки 3 отдельно для каждой секции и с различной толщиной. Учитывая, что изгиб вала 2 наибольший в средней части, толщина резиновой втулки 3 в этой зоне будет наименьшей, а также соответственно в крайних секциях оттяжки толщина резиновых втулок 3 будет наибольшей. Разница между наибольшей и наименьшей толщиной резиновых втулок 3 выбрана равной или меньшей толщины оттягиваемого трикотажа. Конструкция позволяет равномерность оттяжки трикотажного полотна по всей его ширине.

Результаты и обсуждение. Важным является обоснование параметров оттяжных роликов с учетом деформации резиновой втулки.

Используя уравнения Лагранжа II рода [6, 7], получим следующее дифференциальное уравнение, описывающее колебания оттяжного ролика с резиновой втулкой с учетом деформации оттягиваемого трикотажа и силы прижимного ролика:

уравление, описывающее колеовния оттяжного ролика с резиновой втулкой с утегом деформации оттягиваемого трикотажа и силы прижимного ролика:
$$\frac{d^2x}{dt^2} + \frac{(s_1 - s_2 - s_3)}{m_{op}} \cdot \frac{dx}{dt} + \frac{C_1 \cdot C_2 \cdot C_3}{m_{op} \cdot [C_2 \cdot C_3 - C_1 \cdot (C_2 + C_3)]} \cdot x = \frac{A}{m_{op}} \sin \omega t , \qquad (1)$$

где m_{op} — масса оттяжного ролика; x — перемешение оттяжного ролика по линии воздействия прижимного ролика и деформации оттягиваемого трикотажа; C_1 , e_I — коэффициенты жесткости и диссипации резиновой втулки; C_2 , e_2 — коэффициенты жесткости и дисипации оттягиваемого трикотажа; C_3 , e_3 — коэффициенты жесткости и диссипации пружины прижимного валика; A, ωt — амплитуда и частота колебаний возмущающей силы от изменения неоднородности и толщины оттягиваемого трикотажа.

Аналитическое решение дифференциального уравнения (1) провели с использованием методов [7, 8] и с учетом начальных условий, получив при t=0; x=0, $x_0=0$

$$X = BX^{\frac{Dt}{2}}(D\cos kt + M\sin kt) + \frac{B}{\omega} \left[\left(E^2 - \omega^2 \right) \sin \omega t - 2D\omega \cos \omega t \right], \tag{2}$$

$$\text{где } B = \frac{A\omega}{(E^2 - \omega^2) + 4\omega^2 \cdot D^2}; E = \sqrt{\frac{C_1 \cdot C_2 \cdot C_3}{m_{op} \cdot \left[C_2 \cdot C_3 - C_1 \cdot (C_2 + C_3) \right]}; D = \frac{(\epsilon_1 - \epsilon_2 - \epsilon_3)}{2 \cdot m_{op}};$$

$$M = \frac{1}{K} (2 \cdot D^2 + \omega^2 - E^2); K = \sqrt{E^2 - D^2}.$$

Численное решение дифферециального уравнения осуществляем при следующих расчетных значениях параметров оттяжного ролика:

 $m_{\text{op}} = (4.0-5.0) \cdot 10^{-2} \text{ kr}; C_1 = (0.3-0.4) \cdot 10^4 \text{ H/m}; C_2 = (0.11-0.18) \cdot 10^4 \text{ H/m}; C_3 = (0.6-0.65) \cdot 10^4 \text{ H/m};$ $e_1 = (1.8-2.5) \text{ Hc/m}; e_2 = (2.2-3.0) \text{ Hc/m}; e_3 = (4.0-4.2) \text{ Hc/m}; \omega = (1.5-2.0) \text{ c}^{-1}.$

На основе обработки полученных численных решений задачи (2) построены графические зависимости изменения размаха колебаний оттяжного ролика от измерения коэффициента жесткости резиновой втулки (рис.2).

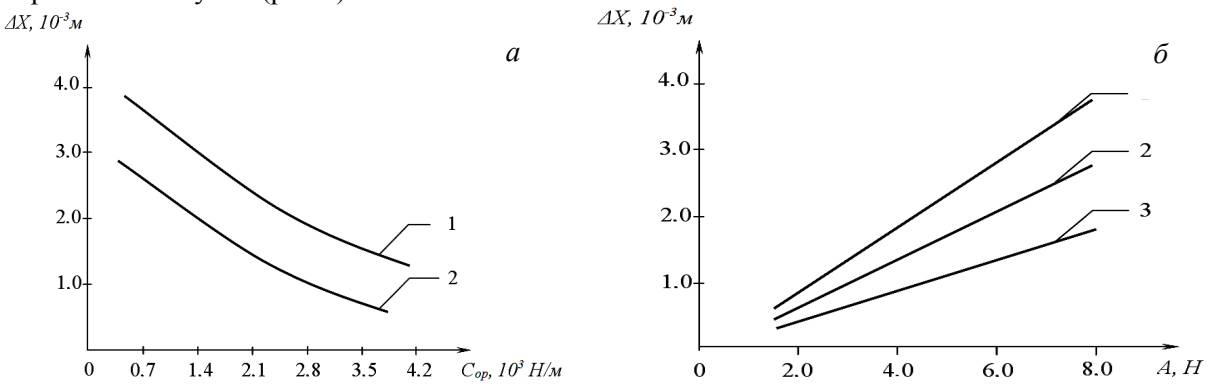


Рис.2. Закономерности изменения размаха колебаний оттяжного ролика от изменения коэффициента жесткости резиновой втулки, 1—при m_{op} = $28\cdot10^{-3}$ кг; 2—при m_{op} = $45\cdot10^{-3}$ кг (а) и изменения амплитуды возмущающей силы от оттягиваемого трикотажа (б) I— при C_1 = $0.3\cdot10^4$ H/м; C_2 = $0.11\cdot10^4$ H/м; C_3 = $0.6\cdot10^4$ H/м; C_3 = $0.6\cdot10^4$

При этом с увеличением коэффициента жесткости резиновой втулки секционного оттяжного ролика от $0.7 \cdot 10^3$ до $4.2 \cdot 10^3$ Н/м размах колебаний ΔX уменьшается от $3.85 \cdot 10^3$ до $1.45 \cdot 10^{-3}$ м при массе m_{op} = $2.8 \cdot 10^{-2}$ кг по нелинейной закономерности. C возрастанием массы секционного оттяжного ролика плоскофанговой трикотажной машины до $4.5 \cdot 10^{-2}$ кг размах колебаний оттяжного ролика по мере прижима трикотажа прижимным роликом снижается от $2.78 \cdot 10^{-3}$ до $0.61 \cdot 10^{-3}$ м. Следует отметить, что чем больше масса секционного оттяжного ролика, тем меньше размах его колебаний. При этом амплитуда колебаний оттяжного ролика не должна превышать суммарного значения деформаций резиновой втулки и оттягиваемого трикотажа. Поэтому для обеспечения значений размаха колебаний оттяжного ролика в пределах $(2.5 - 3.5) \cdot 10^{-3}$ м рекомендуемые значениями системы являются C_1 = $(0.2 - 0.25) \cdot 10^{-3}$ м; m_{op} = $(3.5 - 4.0) \cdot 10^{-4}$ кг.

Увеличение амплитуды возмущающей силы от оттягиваемого трикотажа приводит к увеличению размаха колебаний составного оттяжного ролика по нелинейной закономерности. На рис. 3,6 представлены полученные графические зависимости изменения размаха колебаний оттяжного ролика от изменения амплитуды возникающей силы от оттягиваемого трикотажа. Из графиков видно, что при увеличении A от 2.0 до 8.0 H при $C_1 = 0.3 \cdot 10^4$ H/M, $C_2 = 0.11 \cdot 10^4$ H/M, $C_3 = 0.6 \cdot 10^4$ H/M приводит к возрастанию размаха колебаний оттяжного ролика от $0.62 \cdot 10^{-3}$ до $3.8 \cdot 10^{-3}$ м. При значениях $C_1 = 0.4 \cdot 10^4$ H/M, $C_2 = 0.18 \cdot 10^4$ H/M, $C_3 = 0.65 \cdot 10^4$ H/M размах колебаний оттяжного ролика увеличевается от $0.22 \cdot 10^{-3}$ до $1.92 \cdot 10^{-3}$ H/M. При этом увеличение жесткостных характеристик резиновой втулки оттягиваемого трикотажа, а также пружины прижимного ролика приводит к уменьшению амплитуды колебаний оттяжного ролика в два раза (см. рис. 1-3).

Учитывая, что амплитуда колебаний оттяжного ролика не превымает $(0.8-1.8)\cdot 10^{-3}$ м, рекомендуемыми значениями коэффициентов жесткостей упругих элементов в оттяжном устройстве являются C_1 = $(0.35-0.38)\cdot 10^4$ H/м, C_2 = $(0.15-0.16)\cdot 10^4$ H/м, C_3 = $(0.62-0.63)\cdot 10^4$ H/м.

На рис.3 приведены построенные графические зависимости изменения размаха скорости колебаний составного оттяжного ролика от вариации амплитуды колебаний воздействующей силы от оттягиваемого трикотажа.

Важность изменения скорости колебаний оттяжного ролика обусловлена тем, что в процессе работы возвращение секционного оттяжного ролика в исходное положение должно быть мгновенным. Это, в основном, обеспечивается диссипационными характеристиками резиновой втулки оттяжного ролика. Размах колебаний скорости оттяжного ролика зависит от возмущающей силы и от массы оттяжного ролика. На основании анализа графиков рис.3 и обеспечения $\Delta X_0 \ge (0.8-1.0)$ м/с рекомендуемыми значениями являются $m_{op} = (3.5-4.0) \cdot 10^{-4}$ кг, A = (4.0-5.0) Н.

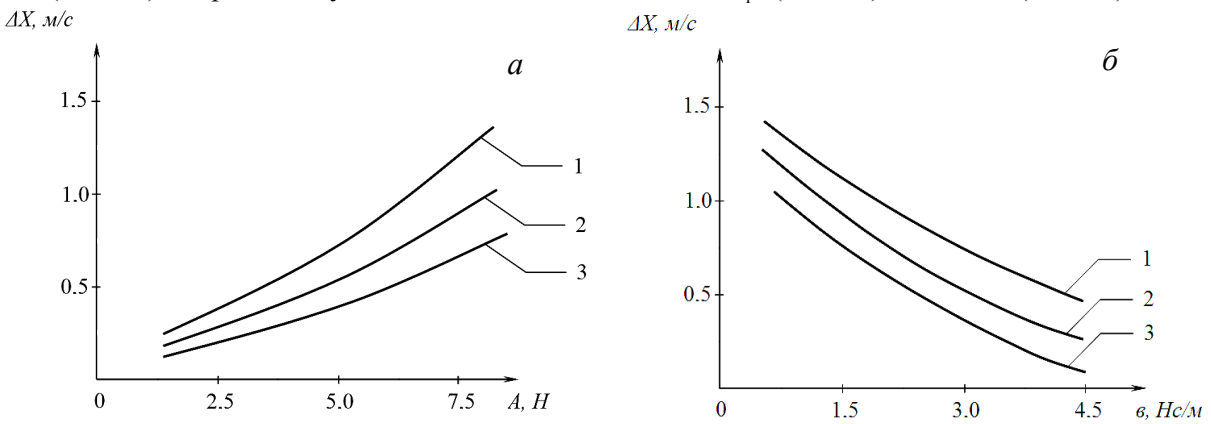


Рис.3. Графическая зависимость изменения размаха скорости оттяжного ролика в плосковязальной трикотажной машине от изменения амплитуды возмущающий силы от оттягиваемого трикотажа (a) и от изменения приведенного коэффициента диссипации резиновой втулки оттяжного ролика и пружины принимного ролика (δ): I – при m_{op} =25·10⁻³ кг; 2 – при m_{op} =35·10⁻³ кг; 2 – при m_{op} =45·10⁻³ кг;

Анализ графика на рис. 3,6 показывает, что увеличение коэффициента диссипации резиновой втулки оттяжного ролика от 0.75 до 3.5 Hc/м приводит к уменьшению $\Delta \dot{X}$ от 0.92 до 0.14 м/с при нагрузке A=3.0 H. При нагрузке A=7.0 H размах колебаний скорости оттяжного ролика уменьшается от 1.33 до 0.41 м/с, т.е. с увеличением нагрузки от оттягиваемого трикотажа значительно возрастает и скорость колебания оттяжного ролика. Поэтому для обеспечения $\Delta X_0 \ge (0.8-1.0)$ м/с рекомендуемыми значениями являются $\varepsilon = (2.5-3.0)$ Hc/м, A = (4.0-5.0) H.

Выводы: Разработана эффективная самонастраивающаяся конструкция оттяжного устройства для плоскофанговой трикотажной машины. На основе теоретических исследований колебаний оттяжного ролика рекомендованы параметры системы.

ЛИТЕРАТУРА

- [1] Строганов Б.Б. Современные кругло и плосковязальные машины. Уч. пос. М.: Всероссийский заочный институт текстильной и легкой промышленности, 2009. С. 89–93.
- [2] Гарбарук В. Н. Проектирование трикотажных машин. Л.:. Машиностроение 1980. С. 392–394.
- [3] Авт. свид. №140624. Устройство оттяжки петель плосковязальной машины. Гогоберидзе В.Г., Кудрявин Л.А., Багатурия Д.А. Бюл. 1988. №24.
- [4] Авт. свид. №154973. Устройство для автоматической оттяжки. Волков Б.А., Гуменщиков Л.А., Шитиков А.В. Бюл. 1963. №12.
- [5] Патент EP 0899369 B 1. Fabric take-down roller device for flat bed knitting machines. 2003. Schmid, Franz 72411 Bodelshausen (DE), Diebold, Armin 72393 Burladingen (DE).
- [6] Джураев А. Колосниковая решетка очистителя волокнистого материала. А.С. № 874776. Бюл. 1981. № 39.
- [7] Пановко Я.Г. Основы прикладной теории колебаний и удара. Л.: Машиностроение, 1976. –320 с.
- [8] Тимошенко С.П., Янг Д.Х., Универ У. Колебания в инженерном деле. М.: Машиностроение, 1985. —472 с.

Ташкентский институт текстильной и легкой промышленности

Дата поступления 14.02.2020

H.M. Мусаев, М.М. Муқимов, М.А. Мансурова. Ясси игнадонли фанг трикотаж машинасининг тортиш механизми конструкциясинини ишлаб чиқиш ва асослаш

Мақолада трикотаж машиналарида самарали тортиш механизми конструктив схемаси ва ишлаш принципи келтирилган. Тортиш ролиги тебраниш амплитудасига таъсир қилувчи параметларнинг боғлиқлик графиклари қурилган ва параметларни тавсия қийматлари аниқланган.

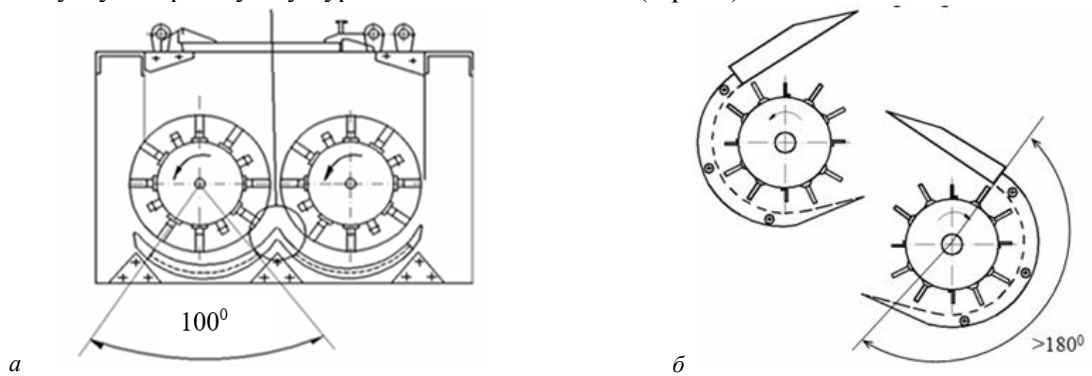
N.M. Musaev, M.M. Mukimov, M.A.Mansurova. Development of an effective and construction of the parameters of the mechanism of the take down roller of a flat knitting machine

In the article provides an effective diagram and principle of operation of a pull-out device for a flat knitting knitting machine. Based on the engineering solution to the problem, graphical dependencies of the system parameters are constructed and recommended.

УЎК 677.21.021

Б.М. МАРДОНОВ, Х.С. УСМАНОВ, Ф.Н. СИРОЖИДДИНОВ, Г.А. ЮЛДОШЕВА

Ўтказилган тадқиқотлар натижасида муаллифлар томонидан [1] пахтани майда ифлосликлардан тозалаш учун такомиллаштирилган тозалагич ускунаси таклиф этилган. Таклиф этилаётган пахта тозалаш ускунасида қозиқчали барабанлари вертикал ва параллел жойлашган пахтани кетма-кет ҳаракатлантирувчи такомиллаштирилган тозалагич бўлиб, унда тўрли юза билан қозиқчали барабанларни қамраб олиш бурчаги 180^{0} дан ошган, ҳамда пахта билан тўрли юзани ишқаланиш коэффициенти тозалаш жараёнида иштирок этувчи қозиқчалар сонини ошиши сабабли тозалаш самарадорлиги ошишига эришилди. Мавжуд пахтани майда ифлосликлардан тозалаш ускуналарида ушбу бурчак 100^{0} дан ошмайди (1-расм).



1-Расм. Мавжуд (a) хамда таклиф этилаётган (δ) ускунанинг асосий ишчи органлари схемаси

Фараз қилайлик пахта оқими биринчи қозиқчали барабандаги тўрли юза бўйлаб AB йўналишида ҳаракатлансин ва қозиқчалар зарба таъсирида унда ифлосликлар ажралиши жараёни амалга оширилсин. Биринчи қозиқчали барабанни айланма ҳаракатидан сўнг, оқим BC йўналишида иккинчи барабанга узатилсин, бу ораликни узатиш оралиги деб қабул қиламиз. Бу ораликда амалда ифлослик ажратиш жараёни ҳосил бўлмайди, унда оқимнинг тезлиги, зичлиги ўзгаради. Иккинчи барабанда қозиқчалар зарбаси ва оқимнинг ҳаракати сабабли унинг иккинчи томонидан (сиртидан) ифлослик ажралиш жараёни ҳосил бўлади, яъни пахта биринчи қозиқчали барабан ва тўрли сирт юзаси бўйлаб ҳаракатланаётган пайтда тозалаш эффекти камрок, иккинчи қозиқчали барабан ва тўрли сирт юзаси бўйлаб ҳаракатланганда тозалаш эффекти ошади, чунки иккинчи барабанда пахта биринчи барабанга нисбатан кўпрок титилган ҳолда, ҳамда пахта оқимининг тескари тарафидан ҳам титилиш ва тозаланиш жараёни амалга оширилади. Бу жараённи стационар ҳолатдаги схемаси 2,6 - расмда келтирилган.

Барабандаги оқим параметрлари оқим тезлиги, зичлиги ва босимларни мос равишда v, ρ ва p билан белгилаймиз. Тўрли юзада оқимнинг қозиқчалар билан ўзаро таъсирланиши натижасида қозиқчалар томонидан оқимга босим p таъсир этилсин.

У холда тўрли юза бўйлаб харакатланаётган оким $ds=Rd\alpha$ элементи учун куйидаги Эйлер тенгламасини ёзиш мумкин:

$$v\rho \frac{dv}{d\alpha} = -\frac{dp}{d\alpha} + \rho gR \sin \alpha - RNf, \qquad (1)$$

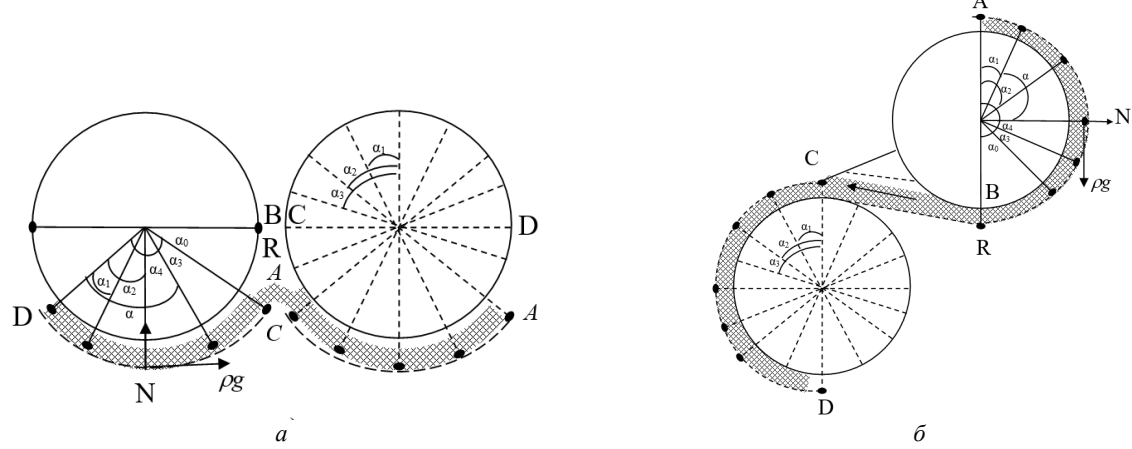
бу ерда α – қутб бурчаги; R – қозиқча радиуси; f – тўрли юза ва пахта окими орасидаги ишқаланиш коэффициенти; N – тўрли юза хосил бўлган нормал куч интенсивлиги бўйлаб, ушбу формула билан аникланади:

$$N = \rho \frac{v^2}{R} + \rho g \cos \alpha \ . \tag{2}$$

(2) формуладаги нормал куч ифодасини (1) га кўйсак

$$v\rho \frac{dv}{d\alpha} = -\frac{dp}{d\alpha} + \rho g R(\sin \alpha + f \cos \alpha) - \rho v^2 f / R.$$
 (3)

(3) тенгламани тўлдириш учун қушимча қуйидаги шартлар қабул қилинади.



2-расм. Мавжуд (a) ва таклиф этилаётган (δ) ускунадаги пахта оқимининг барабанлар ва тўрли юза ораси бўйлаб харакат йўналиши схемаси

1. Босим билан зичлик орасидаги боғланиш, яъни ҳолат тенгламаси мавжуд бўлиши лозим. Бу тенгламада [2] ишга кўра туташ муҳитда зичлик билан босим орасида чизикли боғланиш ўринли бўлади.

$$\rho = \rho_0 [1 + A(p - p_0)] \tag{4}$$

бу ерда ρ_0 , p_0 — пахта хом ашёсининг тозалаш зонасига киришдан олдинги холатидаги зичлиги ва босими, A — тажриба асосида аникланадиган коэффициент бўлиб бу коэффициент хом ашёни хажмий сикилиш модули K га нисбатан тескари катталик хисобланади. (4) тенглик окимнинг хамма зоналарида ўринли деб қабул килинади.

2. Иккинчи шарт стационар окимда хом ашё массасининг вакт бирлигида ўзгармаслиги бўлиб, бу шарт массанинг сакланиш конунини ифодалайди.

$$Q_0 = \rho_0 v_0 h_0 L = \rho v h L . \tag{5}$$

Бу ерда h_0 – хом ашёсининг қалинлиги, ρ ,v,h – хом ашёнинг тозалаш зонасининг ихтиёрий ёйидаги зичлиги, тезлиги ва қалинлиги. L – вал узунлиги.

Хисоблаш жараёнида хом ашё қалинлиги h ўзгармас деб $h=h_0$ деб қабул қиламиз.

(5) ва (6) формулалардан фойдаланиб, A << 1 бўлганда зичлик ва босимни тезлик v орқали ифодалаймиз.

$$\rho = \frac{v_0 \rho_0}{v}, \quad p = p_0 - \frac{1}{A} \left(\frac{v}{v_0} - 1 \right)$$
 (6)

р ва р нинг ифодаларини (3) га куйиб, тезлик учун куйидаги тенгламани оламиз:

$$(1 - M^{-2})\frac{dv}{dx} = \frac{gR}{v}(\sin\alpha + f\cos\alpha) - fv, \qquad (7)$$

бу ерда $M = \frac{v_0}{c_0}$, $c_0 = \sqrt{\frac{1}{A \rho_0}} -$ хом ашёда тўлкин тарқалиш тезлиги.

(7) тенгликни v га кўпайтириб, $y=v^2(x)$ функцияга нисбатан чизикли тенглама хосил киламиз:

$$\frac{dy}{da} + k_1 y = k_2 (\sin \alpha + f \cos \alpha), \tag{8}$$

бу ерда $k_1 = 2fM^2/(M^2-1)$, $k_2 = 2gRM^2/(M^2-1)$.

Қозиқчалар ўрнашган бурчакларни $\alpha = \alpha_{i-1} (i=1...n)$ билан белгилаб, қозиқча зарбаси натижасида оқим $\alpha = \alpha_{i-1}$ да $v = v_k$ тезликка эга бўлади деб қабул қилсак, тенгламанинг ҳар бир оралиқ учун ечими қуйидагича бўлади.

$$y_{i} = \exp[-k_{1}(\alpha - \alpha_{i-1})]\{v_{k}^{2} + k_{2}[F(\alpha) - F(\alpha_{i-1})]\} \quad \alpha_{i-1} < \alpha < \alpha_{i}$$
(9)

Бу ерда n- қозиқчалар сони,
$$F(\alpha) = \frac{g \operatorname{Re}^{K_1 \alpha}}{1 + K_1^2} [(K_1 f - 1) \cos \alpha + (K_1 + f) \sin \alpha].$$

Хом ашё тезлиги (9) формулага кўра $M=v_0/c_0$ сонига боғлиқ бўлади. Аэродинамикада бу сонни Max сони деб айтилади. Ҳаво мухитида ҳаракатланаётган жисмларнинг аэродинамик сифат кўрсаткичи шу сонга боғлиқ бўлиб, уларга таъсир этадиган ҳаво қаршилик ва аэродинамик кўтарувчи кучларнинг ҳосил бўлишида Max сонининг аҳамияти катта аҳамиятта эга. Пахта оқими ҳаракатида бундай соннинг келиб чиқиши унинг стационар ҳаракати ва зичлик билан босим орасидаги чизиқли боғланиш (4) нинг мавжудлиги натижасида бўлади. M<1 ва M>1 шартларида оқим тезлигининг ҳаракатида тезланиши рўй беради, шунинг учун тезлик ошиб, (8) формулага кўра зичлик камаяди, яъни муҳит кўшимча титилади. Тозалаш зонасида ҳаракатланаётган оқимдан ифлослик заррачалари ажралиш жараёнини А.Г. Севостьянов модели [3] асосида назарий тадқиқ этамиз.

Тезлик учун олинган қуйидаги формула ёрдамида оқимдан ажралиб чиқадиган ифлосликларни аниқлаш мумкин (9).

Қозиқчалар сони олтита бўлиб, улар ярим айлана бўйлаб мос равишда α_0 =0, α_1 =30°, α_2 =60°, α_3 =90°, α_4 =120°, α_5 =150°, α_6 =180° бурчакларда ўрнатилган бўлсин. Стационар холатда биринчи секцияда хар икки қозиқча орасидаги хом ашёда ажраладиган ифлосликлар микдорини аниқлаймиз. А.Г.Севостьянов моделига кўра хар бир секцияда ифлосликлар ажралиши натижасида ундаги массанинг камайиш диференциали dm қўйидаги қонуният билан аниқланади.

$$\frac{dm}{m} = \lambda \frac{d\rho}{\rho} \,. \tag{10}$$

Бу ерда λ тажрибавий коэффициент (10) тенгламани $\rho(\alpha_0) = \rho_0$ шартида интеграллаймиз.

$$m = m_0 (\rho / \rho_0)^{\lambda}, \tag{11}$$

бу ерда m_0 тозалаш зонасидаги ифлосликлардан тозаланмаган хом ашёнинг массаси. Ушбу формулани биринчи ва икинчи козикчалар учун кўллаймиз, яьни камайган массани $m=m_1=(\rho_1/\rho_1)^{\lambda}$

белгилаб, $\alpha_0 < \alpha < \alpha_1$ интервал учун $\varepsilon_1 = 1 - \frac{m_1(\alpha)}{m_0}$ ифодани биринчи иккита қозиқчалар орасидаги хом

ашёнинг тозалаш самарадорлиги деб қабул қиламиз.

Ушбу айирма $\Delta m_1 = m_0 - m_1(\alpha_1)$ нинг нисбати

$$\Delta m_1 / m_0 = 1 - \varepsilon_1(\alpha_1) \tag{12}$$

икки қозиқча орасидаги ($\alpha_0 < \alpha < \alpha_1$) хом ашёдан ажралған ифлосликнинг нисбий микдори бўлади.

Иккинчи ва учинчи қозиқчалар орасидаги ($\alpha_1 \le \alpha \le \alpha_2$) хом ашёнинг тозалаш самарадорлиги (11) тенгламага кўра $\varepsilon_2 = \varepsilon_1(\alpha_1)\rho(\alpha)/\rho(\alpha_1)$ формула билан аниқланади.

Шу усул билан қолған қозиқчалар орасидағи ажралған ифлосликларини аниклаймиз

$$\Delta m_2 / m_0 = (m_0 - \Delta m_1) \varepsilon_2(\alpha_2) / m_0 = [1 - \varepsilon_1(\alpha_1)] \varepsilon_2(\alpha_2), \qquad (13)$$

$$\Delta m_3 / m_0 = [1 - \varepsilon(\alpha_1)][1 - \varepsilon(\alpha_2)]\varepsilon_3(\alpha_3)$$
,

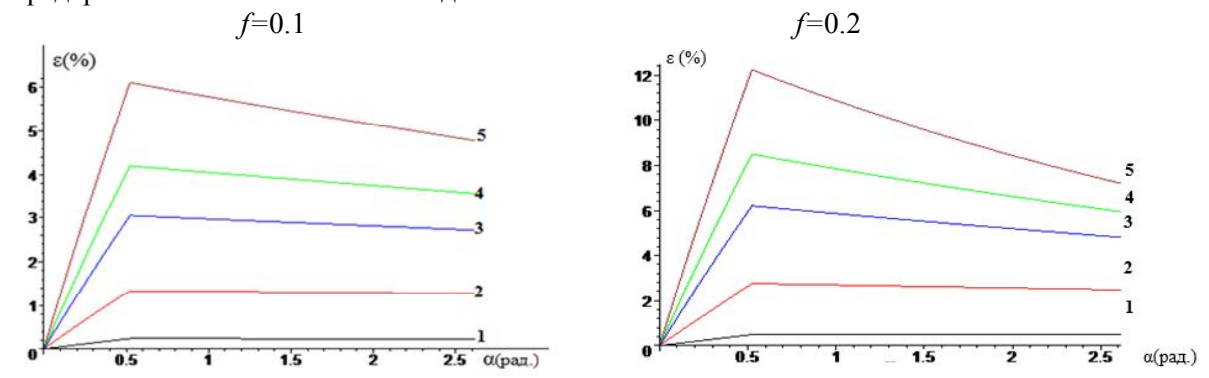
$$\Delta m_4 / m_0 = [1 - \varepsilon_1(\alpha_1)][1 - \varepsilon_2(\alpha_2)][(1 - \varepsilon_3(\alpha_3)]\varepsilon_4(\alpha_4),$$

$$\Delta m_5 / m_0 = [1 - \varepsilon_1(\alpha_1)][1 - \varepsilon_2(\alpha_2)][(1 - \varepsilon_3(\alpha_3)](1 - \varepsilon_4(\varepsilon_4)]\varepsilon_5(\alpha_5),$$
(14)

$$\varepsilon_i = \varepsilon_{i-1}(\alpha_{i-1})\rho(\alpha)/\rho(\alpha_{i-1})$$
.

3-расмда самарадорлик қоэффициенти ε нинг ишқаланиш коэффициенти f ва $M=v_0/c_0$ нисбатнинг ҳар ҳил қийматларида тозалаш ёйи бўйича тақсимланиш қонунининг графиклари келтирилган. Ҳисобларда R=0.2 м, $v_k=9$ м/с, $\lambda=0.5$ қийматлар қабул қилинган. 3-расмда самарадорлик коэффициенти ε максимумнинг ишқаланиш коэффициенти f нинг иккита қийматида M сонига нисбатан ўзгариш графиклари келтирилган. Графиклар таҳлилидан M сонининг кичик қийматларида ҳом ашёдан ифлосликларнинг ажралиш жараёни асосан тозалаш ёйидаги биринчи ва иккинчи қозиқчалар орасидаги ҳом ашёда самарали амалга ошиши, M сонининг ошиши билан тозалаш жараёни ёйининг ҳамма нуқталарида давом этиши ва уларнинг интенсивлиги камайиши

мумкинлигини кузатиш мумкин. Ишқаланиш коэффициентининг ошиши биринчи зонада тозалаш самарадорлигини ошишига олиб келади.



3-расм. Самарадорлик коэффициенти ε нинг ишқаланиш коэффициенти f нинг иккита қийматида ва M сонининг ҳар хил қийматларида тозалаш ёйи бүйича тақсимланиш графиклари: I-M=0.3; Z-M=0.6; Z-M=0.75; Z-M=0.8; Z-M=0.85

Биринчи ҳаракатланиш йўналиши асосан ишлаб чиқаришда кенг қўлланилади ва унинг тозалаш самарадорлиги 30—40 % га тенг. Унда хом ашё ҳар бир секцияга горизонтал йўналишда узатилиб, узатиш чегараларида пахта оқими қисман ўз тезлигини йўқотади. Бундан ташқари кўрсатилган йўналишда узатилаётган хом ашё оқими тозалаш жараёнида тўрли юзага бир томони билан контактда бўлади. Бу хусусият ускунанинг тозалаш самарадорлигига салбий таъсир этади. 2,б-расмда кўринишда келтирилган ҳаракатланиш йўналиши секциялари бир-бирига нисбатан вертикал йўналишда жойлашган бўлиб узатиш чегараларида хом ашё оқими ўз тезлигини сақлаши, баъзи ҳолларда эса ошириши мумкин.

Бундан ташқари секциялар бир-бирига нисбатан ўзаро паралел ўкда жойлашган вертикал йўналишда жойлашганлиги сабабли хом ашёни иккала томони тўрли юза билан контактда бўлиш имконияти пайдо бўлади.

Биринчи кўринишдаги (2,a - расм) ускунада тозалаш жараёнини тахлил этамиз. Аниклик учун тўртта секция ва ҳар бир секция ишчи зонасида мавжуд ускуналар учун 4 та ва таклиф килинаётган ускуна учун эса 6 тадан козикчалар ўрнатилган деб қабул киламиз. Жараённи стационар ҳолатда давом этишини эътиборга олиб тозалаш жараёнида тўртта секция хом ашё билан тўлдирилган бўлиб, бу хом ашё биринчи секцияга узатилган окимнинг бошланғич кесими охирги секциядан чикиб кетишида ҳосил бўлади. Агар қозикчаларнинг бурчак тезлиги ω бўлса тозалаш жараёнининг даврий такрорланиш вакти (t), ёки секцияларга ўзаро узатиш вакти инобатга олинмаса, тўрт секцияда ҳам стационар ҳолатни такрорланиши учун $4\pi/\omega$ вакт керак бўлади. Самарадорлик коэффициентлари ёрдамида биринчи кўринишдаги тозалаш ускунасида ажратилган ифлосликларнинг нисбий микдорини аниклаймиз. Секцияларда ажратилган ифлосликлар нисбий микдори кўйидаги йиғиндига тенг бўлади.

$$M_i = M_{i1} + M_{i2} + M_{i3} + M_{i4}$$
 ($i = 1,2,3,4$);
 $M_i = M_{i1} + M_{i2} + M_{i3} + M_{i4} + M_{i5}$ ($i = 1,2,3,4,5$).

Ускунадан $T=4\pi/\omega$ вақт оралиғида ажралган ифлосликларнинг нисбий миқдори ушбу йиғиндига тенг бўлади.

Мавжуд ускуналарда ажаралиб чиқаётган майда ифлосликлар йиғиндиси қуйидаги $M = \sum_{i=1}^4 \sum_{j=1}^4 M_{ij}$ тенглама асосида ва таклиф этилаётган ускунадан ажралиб чиқаётган ифлосликлар

йиғиндиси $M = \sum_{i=1}^{4} \sum_{j=1}^{5} M_{ij}$ тенглама асосида аниқланади.

Хисоблар жараёнлари қуйидаги қийматларда олиб борилган:

$$v_k = 9 \,\mathrm{m/c} \;,\; R = 0.2 \,\mathrm{m} \;,\; \lambda = 0.15 \;.$$

Хисоблар M сонининг 4 қийматида бажарилган.

Юқорида кўрсатилганидек, бир-бирига горизонтал йўналишда жойлашган секцияларга ўтиш чегараларида оқимнинг ҳаракати пасаяди, шунинг учун бу чегараларда тезликнинг ҳиймати ҳисман камайиши мумкинлиги ҳам эътиборга олинган.

Шунинг учун ҳар бир бўлимлар учун мос равишда M нинг қуйидаги қийматларида амалга оширилди (1-2 жадвал).

1-жадвал

Ишқаланиш коэффициенти f=0.1 бўлганда мавжуд хамда таклиф этилаётган ускуналардан ажралиб чиқаётган майда ифлосликлар микдори

<i>М</i> қийматлари							<i>f</i> =0.1					
		Горизонтал (мавжуд)				Вертикал (таклиф этилаётган)						
	1	2	3	4	жами	1	2	3	4	жами		
0.3	0.47	0.34	0.29	0.24	1.34	0.59	0.59	0.43	0.43	2.03		
0.38	0.90	0.79	0.69	0.60	2.99	1.13	1.13	0.98	0.97	4.20		
0.56	2.64	2.28	2.01	1.77	8.70	3.28	3.28	2.76	2.67	11.98		
0.75	11.36	9.99	7.29	4.42	33.06	13.79	13.79	8.72	7.56	43.86		

2-жадвал

Ишқаланиш коэффициенти f=0.2 бўлганда мавжуд хамда таклиф этилаётган ускуналардан ажралиб чиқаётган ифлослик миқдори

M қийматлари	<i>f</i> =0.2										
		Горизо	нтал (мав	жуд)		Вертикал (таклиф этилаётган)					
	1	2	3	4	жами	1	2	3	4	жами	
0.3	0.97	0.70	0.59	0.49	2.75	1.21	1.21	0.87	0.86	4.15	
0.38	1.86	1.60	1.39	1.20	6.04	2.31	2.31	1.95	1.91	8.47	
0.56	5.32	4.41	3.76	3.25	16.74	6.57	6.57	5.11	4.78	23.02	
0.75	21.09	15.27	9.31	6.33	51.99	24.91	24.91	11.57	8.48	69.87	

Олинган натижалардан қуйидаги хулосаларни келтириш мумкин.

Пахтани майда ифлосликлардан тозалаш жараёнида "қозиқча-пахта-тўрли юза" схемасида ишқаланиш коэффициентини ошиши тозалаш самарадорлигига таъсир этилиши кузатилди.

Тозалаш жараёнида иштирок этувчи қозикчалар сони ҳамда пахта билан тўрли юза майдонининг ошиши натижасида ускунанинг тозалаш самарадорлиги назарий таҳлиллар асосида горизонтал тозалаш усулида 36.2% га, вертикал тозалаш усулда 37.2% га ошиши кузатилди. Ишқаланиш коэффициенти f=0.1 ва f=0.2 бўлганда мос равишда горизонтал тозалаш усулида 33.06% ва 52.0% ҳамда вертикал тозалаш усулида эса 43.86% ва 69.87%ни ташкил этади.

Қозиқчали барабанлари вертикал текисликда иккита қарама-қарши ўқда жойлашған ускунада, пахтани тўрли юза билан контакт юзасининг алмашиниб узатилиши натижасида ажралаётган ифлосликлар миқдори ошғани аниқланди.

M сонини ошиши билан назарий жиҳатдан майда ифлосликлардан тозалаш жараёнидаги 1 ва 2 секцияларда тозалаш самарадорлиги кескин ошиши кузатилди ва ушбу кўрсаткич 20-25% ни ташкил этиши аникланди.

АДАБИЁТЛАР

- [1] Усманов Х.С. Гуляев Р.А., Лугачев А.Е. FAP 01397 Хлопкоочистительный агрегат. Патент на полезную модель. Бюлл. № 7 от 31.07.2019 г.
- [2] Хожиев М.Т., Мардонов Б.М., Сирожиддинов Ф.Н. «Пахта тозалаш жараёнини моделлаштириш» ўкув кўлланма. Тошкент, 2018.-78 с.
- [3] Севостянов А.Г., Севостянов П.Г. Моделирование технологических процессов. М.: Легкая промышленность. 1984.-344 с.

Тошкент тўкимачилик ва енгил саноат институти

11.02.2020 қабул қилинган

Б.М.Мардонов, Х.С.Усманов, Ф.Н.Сирожиддинов, Г.А.Юлдошева. Теоретическое исследование процесса отделения сорных примесей из потока хлопка, движущегося на колковом барабане

В статье изложены результаты теоретического сравнительного анализа существующего очистителя хлопка от мелкого сора и модернизированного очистителя с вертикальными и параллельно расположенными колковыми барабанами, осуществляющими последовательное движение хлопка.

B.M. Mardonov, H.S. Usmanov, F.N. Sirojiddinov, G.A. Yuldosheva. Theoretical research of the process of separation of weed impurities from a flap of cotton moving on a single drum

The article provides a theoretical comparative analysis of the existing cotton cleaner from fine litter and a modernized cleaner with vertical and parallel spiked drums that carry out a consistent movement of cotton.

Р.И. КАРИМОВ, Т.Д. ХОЖИБЕКОВ

ИССЛЕДОВАНИЕ НАГРУЖЕННОСТИ ЗВЕНЬЕВ ЭКСЦЕНТРИКОВОГО КУЛАЧКОВОГО МЕХАНИЗМА

Эксцентриковые кулачковые механизмы получили широкое применение в современных технологических машинах, в частности, в текстильных, в станкостроении, сельхозмашиностроении и т.д. [1-3]. Эти механизмы, как правило, применяются для получения вращательного движения ведущего звена в возвратно-поступательном движении ведомого звена. Основными преимуществами эксцентриковых кулачковых механизмов являются простота изготовления и сборки; возможность регулирования величины хода ведомого звена. Отметим, что эти механизмы обладают такими недостатками, как невозможность получения движения ведомого звена с выстоями; наличие высшей кинематической пары, ограничивающей передачу нагрузок, действующих на ведомое звено. Научная литература располагает значительным числом исследованием этих механизмов, однако, практически в них не рассматривались вопросы совместного учёта кинетостатики и прочности в высшей кинематической паре этих механизмов. В связи с этим целью данной статьи является разработка аналитических выражений, учитывающих совместное изучение кинетостатики и прочности в высшей кинематической паре с учётом сил трения в направляющих толкателя.

Кинематическая схема рассматриваемого механизма приведена на рис. 1,а.

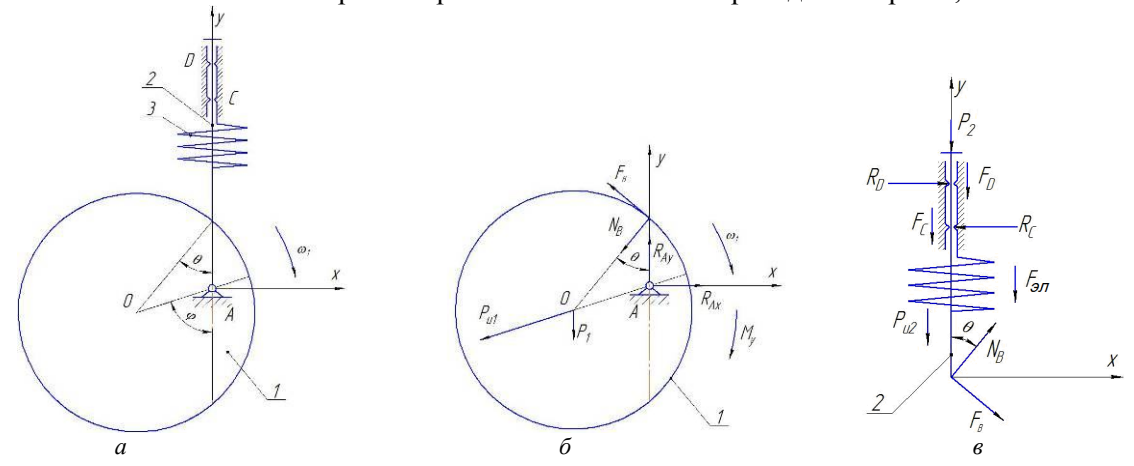


Рис. 1. Расчётные схемы эксцентрикового кулачкового механизма: I – кулачок, 2 – толкатель, 3 – замыкающая пружина

На рис. 1,6 и 1,6 представлена расчётная схема эксцентрикового кулачкового механизма, где F_B – сила сопротивления в высшей кинематической паре; N_B – нормальная реакция в высшей кинематической паре; R_C , R_D – силы реакции в направляющей толкателя; F_C , F_D – силы сопротивления; θ – угол давления; φ – угол поворота эксцентрика; ω_1 – угловая скорость эксцентрика; R_{Ax} , R_{Ay} — составляющие реакций в опоре кулачка; M_y — уравновешивающий момент на валу кулачка; $F_{\rm эл}$ — сила упругости пружины; P_{u1} , P_{u2} — силы инерции.

Кинематические характеристики толкателя эксцентрикового кулачкового механизма определяли по следующим формулам:

$$s_2(t) = -e\cos(\omega_1 t) + r\sqrt{1 - \frac{e^2 \cdot \sin^2(\omega_1 t)}{r^2}},$$
(1)

$$v_{2}(t) = e\omega_{1}\sin(\omega_{1}t) - \frac{\omega_{1} \cdot e^{2} \cdot \sin(\omega_{1}t) \cdot \cos(\omega_{1}t)}{r \cdot \sqrt{1 - \lambda^{2} \cdot \sin^{2}(\omega_{1}t)}}, \qquad \lambda = \frac{e}{r},$$

$$(2)$$

$$a_{2}(t) = e\omega_{1}^{2}\cos(\omega t) - e^{2}\omega_{1}^{2} \frac{\cos^{2}(\omega_{1} \cdot t)}{r \cdot \sqrt{1 - \lambda^{2} \cdot \sin^{2}(\omega_{1} \cdot t)}} + e^{2}\omega_{1}^{2} \frac{\sin^{2}(\omega_{1} \cdot t)}{r \cdot \sqrt{1 - \lambda^{2} \cdot \sin^{2}(\omega_{1} \cdot t)}} - e^{2}\omega_{1}^{2}\lambda^{2}\sin^{2}(\omega_{1} \cdot t) \frac{\cos^{2}(\omega_{1} \cdot t)}{r \cdot \sqrt{(1 - \lambda^{2} \sin^{2}(\omega_{1} \cdot t))^{3}}},$$

$$(3)$$

$$a_{2}(t) = e\omega_{1}^{2}\cos(\omega t) - e^{2}\omega_{1}^{2}\frac{\cos^{2}(\omega_{1} \cdot t)}{r \cdot \sqrt{1 - \lambda^{2} \cdot \sin^{2}(\omega_{1} \cdot t)}} + e^{2}\omega_{1}^{2}\frac{\sin^{2}(\omega_{1} \cdot t)}{r \cdot \sqrt{1 - \lambda^{2} \cdot \sin^{2}(\omega_{1} \cdot t)}} - e^{2}\omega_{1}^{2}\lambda^{2}\sin^{2}(\omega_{1} \cdot t)\frac{\cos^{2}(\omega_{1} \cdot t)}{r \cdot \sqrt{(1 - \lambda^{2} \sin^{2}(\omega_{1} \cdot t))^{3}}}, \quad (3)$$

где $s_2(t)$ — перемещение толкателя; $v_2(t)$ — скорость толкателя; $a_2(t)$ — ускорения толкателя; r — радиус эксцентрика; e — эксцентриситет [1].

Угол давления высшей кинематической пары определяли по следующей формуле:

$$\theta(t) = \arcsin\left(\frac{e\sin(\omega_1 t)}{r}\right). \tag{4}$$

Важным фактором при проектировании механизмов данного класса являются относительные скольжения в высшей кинематической паре. Для этого относительная скорость между эксцентриком и толкателем определяли по выражению

$$V_B(t) = \sqrt{(\rho(t) \cdot \omega_1)^2 + v_2^2(t)}$$
 (5)

Рассмотрим уравнения кинетостатики для данного механизма, например, толкателя, составленные для равновесия три уравнения равновесия:

$$\begin{cases} \sum F_{xi} = 0; \\ \sum F_{yi} = 0; \\ \sum M_B(F_i) = 0; \end{cases} \begin{cases} R_D - R_C + N_B \sin \theta + f_1 N_B \cos \theta = 0, \\ N_B \cos \theta - f_1 N_B \sin \theta - P_{u2} - F_{yn} - mg - F_D - F_C = 0, \\ R_C \cdot z(t) - R_D \cdot (z(t) + l) = 0, \end{cases}$$
(6)

где f_1N_B — сила сопротивления в высшей кинематической паре, $F_{_{2,n}}\!\!=\!\!F_0\!\!+\!\!c\cdot\!s_2(t)$ — сила упругости пружины, действующей на толкатель, $P_{u2}\!\!=\!\!m\cdot\!a_2(t)$ — сила инерции, действующая на толкателя, m — масса толкателя.

Рассмотрим кинетостатику кулачка. Уравнения равновесия кулачка имеют следующий вид:

$$\begin{cases} \sum F_{xi} = 0; \\ \sum F_{yi} = 0; \\ \sum M_B(F_i) = 0; \end{cases} \begin{cases} R_{Ax} - P_{u1} \sin \varphi - N_B \sin \theta - f_1 N_B \cos \theta = 0, \\ R_{Ay} - P_{u1} \cos \varphi - N_B \cos \theta + f_1 N_B \sin \theta = 0, \\ f_1 N_B \cos \theta \cdot s_2(t) + N_B \sin \theta \cdot s_2(t) + Mg \cdot e \sin \theta - M_y = 0, \end{cases}$$
(7)

где $P_{u1} = M\omega_1^2 e$ — сила инерции эксцентрика; M — масса эксцентрика.

Таким образом, кинетостатику эксцентрикового кулачкового механизма можно описать следующими системами алгебраических уравнений:

$$\begin{cases} R_D - R_C + N_B \sin \theta + f_1 N_B \cos \theta = 0, \\ N_B \cos \theta - f_1 N_B \sin \theta - P_{u2} - F_{3\pi} - mg - F_D - F_C = 0, \\ R_C \cdot z(t) - R_D \cdot (z(t) + l) = 0, \end{cases}$$

$$\begin{cases} R_{Ax} - P_{u1} \sin \varphi - N_B \sin \theta - f_1 N_B \cos \theta = 0, \\ R_{Ay} - P_{u1} \cos \varphi - N_B \cos \theta + f_1 N_B \sin \theta = 0, \end{cases}$$

$$\begin{cases} R_{Ay} - R_U \cos \varphi - R_D \cos \theta + f_1 N_B \sin \varphi - R_D \cos \varphi - R_D \cos \varphi + R_D \cos \varphi - R_D \cos \varphi$$

Системы алгебраических уравнений (8) с учётом ускорения толкателя (3) решались на компьютере в среде MathCAD 15. По результатам расчётов определены закономерности изменения реакции в высшей кинематической паре, в опорах толкателя, в опорах кулачка, а также уравновешивающий момент на валу кулачка.

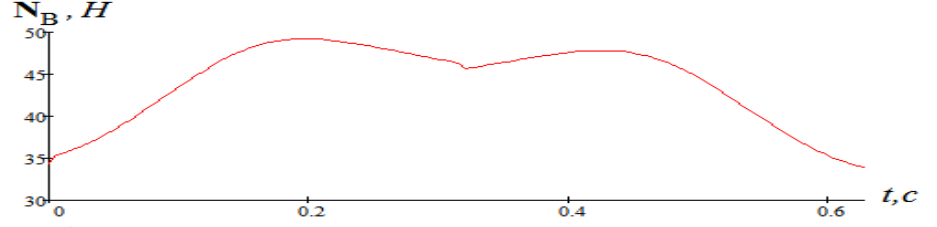


Рис. 2. График изменения реакции в высшей кинематической паре при e=30 мм, r=80 мм, ω_1 =10 с $^{-1}$

Для исследования факторов, влияющих на реакции в кинематических парах эксцентриковых кулачковых механизмов, расчёты на компьютере проводились при вариации угловой скорости эксцентрика от 10 до 20 с⁻¹ шагом в 2 с⁻¹, эксцентриситета с 30 до 60 мм шагом в 5 мм.

Закономерности изменения реакции в высшей кинематической паре при e=30 мм и e=60 мм приведены на рис. 2 и 3.

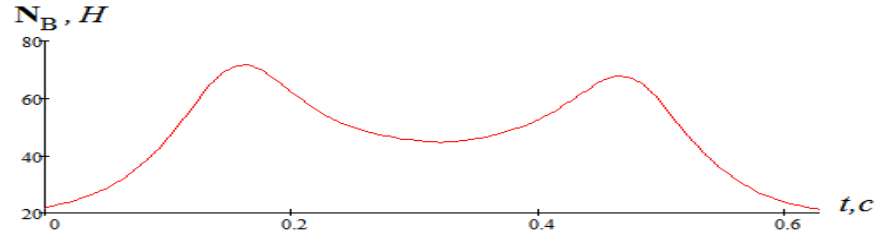


Рис. 3. График изменения реакции в высшей кинематической паре при e=60 мм, r=80 мм, ω_1 =10 c^{-1}

Численные значения расчётов нормальных реакции в высшей кинематической паре и в опоре кулачка приведены в таблице.

Экстремальные значения реакции получены в высшей кинематической паре и в опоре эксцентрика.

№ п/п		R	2=80 мм	<i>e</i> =30 мм	M		<i>R</i> =80 мм <i>ω</i> =30 мм						
	ω , c^{-1}	N_B	, <i>H</i>	R_A ,	Н	0		N_B ,	Н	R_A	, <i>H</i>	0	
	ω ,c	min	max	min	max	Θ	e, mm	min	max	min	max	θ	
1.	10	33.75	49.22	49.15	60.66	21.77	30	33.75	49.22	49.15	60.66	21.77	
2.	12	33.92	49.20	50.91	61.33	21.77	35	31.24	50.1	48.3	62.43	25.6	
3.	14	34.12	49.20	49.55	62.43	21.77	40	29.55	51.63	46.15	63.55	30.02	
4.	16	34.63	49.23	46.69	63.94	21.77	45	27.36	55.4	45.0	65.47	33.6	
5.	18	34.62	49.30	43.83	65.89	21.77	50	25.32	57.07	43.11	69.59	38.67	
6.	20	34.92	49.41	40.44	68.28	21.77	60	21.05	71.51	40.03	84.65	48.58	

Численные значения расчётов нормальных реакций

Анализ результатов расчётов на комьпютере показал, что наибольшее влияние на нагруженность кинематических пар эксцентриковых кулачковых механизмов при вариации ω_1 , e в рассматриваемых диапазонах их вариации оказывает эксцентриситет e.

Важное значение при проектировании эксцентриковых кулачковых механизмов имеет величина контактных напряжений между эксцентриком и толкателем. Контактные напряжения в высшей кинематической паре определяли по формуле

$$\sigma = \frac{0.388 \cdot N_B^{\frac{1}{3}} \cdot E_{np}^{\frac{2}{3}}}{\frac{2}{r^{\frac{3}{3}}}},$$
(9)

где
$$E_{np} = \frac{2 \cdot E_1 \cdot E_2}{E_1 + E_2}$$
 — приведённый модуль упругости [3].

Расчёты показали, что с увеличением эксцентриситета эксцентрика в вышеуказанном диапазоне увеличиваются контактные напряжения между толкателем и эксцентриком с 2.7 до 3.1 МПа при E_1 = E_2 =210 МПа.

Закономерности изменения контактного напряжения между толкателем и эксцентриком при e=30 и 60 мм приведены на рис. 4 и 5.

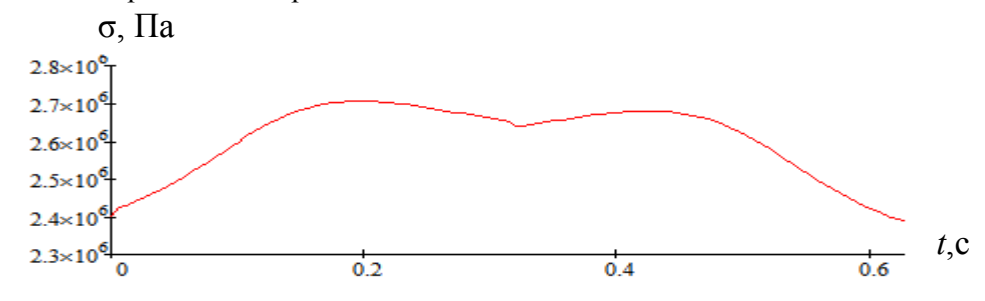


Рис. 4. График изменения контактного напряжения между толкателем и эксцентриком при e=60 мм, r=80 мм, ω_1 =10 c^{-1}

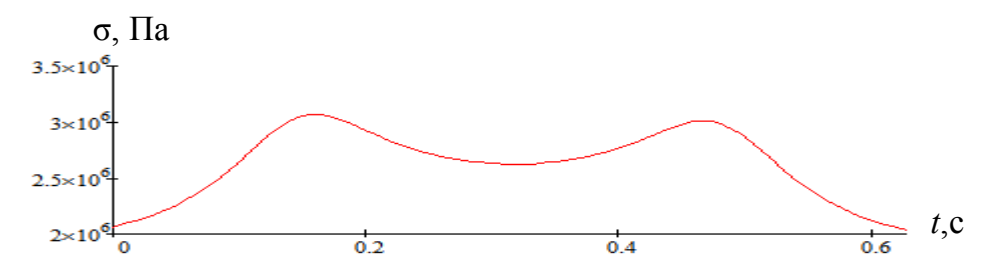


Рис. 5. График изменения контактного напряжения между толкателем и эксцентриком при e=60 мм, r=80 мм, ω_1 =10 c⁻¹

По результатам проведённых исследований были получены следующие научные результаты:

- 1. Разработана математическая модель эксцентрикового кулачкового механизма, дающая возможность производить кинетостатический расчёт механизма и определить контактные напряжения в высшей кинематической паре.
- 2. Математическая модель эксцентрикового кулачкового механизма была реализована на компьютере в среде MathCAD 15. По результатам расчётов получены закономерности изменения реакции в кинематических парах рассматриваемого механизма, а также контактные напряжения в паре эксцентрик толкатель как в графической, так и в численной формах.
- 3. Анализ полученных результатов показал, что наибольшее влияние на нагруженность кинематических пар эксцентриковых кулачковых механизмов при вариации ω_1 , e оказывает эксцентриситет эксцентрика, в частности, увеличение эксцентриситета с 30 до 60 мм нормальных реакций в высшей кинематической паре с 49 до 71 H.
- 4. Разработаны математическая модель и программа её реализации на компьютере. Полученные численные результаты могут быть использованы при проектировании эксцентриковых рабочих механизмов технологических машин, в частности, при модернизации вибростола для сепарации сыпучих материалов.

ЛИТЕРАТУРА

- [1] Каримов Р. И., Садуллаев Ш. А., Шахобутдинов Р. Э. Кулачковые и кулачково-рычажные механизмы. Основы теории и конструкций. Монография. Ташкент: ТашГТУ, 2014. 137 с.
- [2] Иванов М. Н. Детали машин: Учебник для машиностроительных специальностей вузов. 11-е., перераб. М.: Высшая школа, 2010. 408 с.
- [3] Артоболевский И.И. Теория механизмов и машин. Учебник. М.: Транспортная компания, 2016. 639 с.

Ташкентский государственный технический университет им. Ислама Каримова

Дата поступления 11.03.2020

Р.И. Каримов, Т.Д. Хожибеков. Экцентрик кулачокли механизмлар звеноларининг зўрикишларини тадкик килиш

Ушбу мақолада экцентрикли кулачокли механизмлар звеноларининг зўрикшиларини назарий тадкикот натижалари келтирилган. Ушбу механизм учун кинематик жуфтлардаги реакциялар ва олий кинематик жуфтлардаги зўрикшиларни аникловчи мотематик модель тузилган. Математик модель ечимини олиш MathCAD 15 дастурда амалга оширилди. Тузилган дастур кинематик жуфтлардаги контакт кучланишлар ва кинематик характеристикаларни аниклайди. Компьютарда олинган натижаларга кўра, кинематик жуфтлардаги реакция кучлари ва контакт кучланишларнинг ўзгариш конуниятлари график хамда сон кийматларида аникланди. Эксцентрикли кулачокли механизмнинг кинематик ва динамик параметрлари таъсирларида унинг звеноларига тушадиган зўрикшилар тадкик килинди. Кўрилаётган механизмнинг динамик хусусиятларига энг катта таъсир кўрсатадиган омиллар аникланди.

R.I. Karimov, T.D. Xodjibekov. Study of load of links of the excentric cam mechanism

This article presents the results of theoretical studies of the loading capacity of the links of the eccentric cam mechanism. For this mechanism, a mathematical model has been compiled that allows determining reactions in kinematic pairs and contact stresses in the highest kinematic pair of eccentric-pusher. The mathematical model is implemented on a computer in the environment of MathCAD 15. The compiled program allows determining kinetostatic characteristics and contact stresses in the highest kinematic pair. According to the results of calculations on the computer, the laws governing the changes in the reaction in kinematic pairs and contact stresses, both in graphic and numerical forms, are determined. The effects of the kinematic and dynamic parameters of the eccentric cam mechanism on the loading of its links are investigated. The factors that have the greatest influence on the dynamic characteristics of the mechanism under consideration are determined.

А.А. РИЗАЕВ, С. УСАРОВ, А.Т. ЙУЛДАШЕВ, Н.Б. ДЖУРАЕВА, А. ХУНАРОВ

ВЛИЯНИЕ НАПРАВЛЕНИЯ ВРАЩЕНИЯ ШПИНДЕЛЯ НА КИНЕМАТИКУ РАБОЧЕЙ КАМЕРЫ АППАРАТА

Как известно, на современных вертикально-шпиндельных хлопкоуборочных машинах приводные ролики шпинделей барабанов в рабочей камере уборочного аппарата, взаимодействуя с гибкими неподвижными ремнями наружного расположения, совершают гипоциклическое вращательное движение [1, 2]. Следовательно, направления вращения барабана и шпинделя здесь противоположные, что способствует при сборе хлопка дополнительному наклонению растения хлопчатника в направлении движения машины и снижению агротехнических показателей работы. Чтобы компенсировать данный нежелательный процесс, исследователи рекомендовали увеличить опережение барабана [3, 4], что в свою очередь приводит к повышению частоты вращения шпинделя и линейной скорости отдельных точек на его поверхности. Последняя, превышая допустимое значение скорости наматывания хлопка на шпиндель, приводит к разрывам долек хлопка - сырца на части и летучки.

В связи с внедрением на хлопковых полях способов разового сбора урожая с применением вертикально-шпиндельных хлопкоуборочных машин необходимо разработать приспособленный к нему уборочный аппарат. Поэтому целью статьи является исследование влияния изменения направления вращения шпинделей в рабочей камере на кинематические параметры работы уборочного аппарата. Это направление является одним из потенциалов, повышающих эффективность рассматриваемого уборочного аппарата. Поэтому к нему было обращено внимание разработчика теории активности шпинделей М.В. Сабликова, исследователей З.Х. Иззатова, Л.М. Розенблюма и др. [5–8].

Способ разового сбора хлопка при наименьших проходах машин по междурядьям его посева требует выполнения исследований по расширению технологической возможности современных вертикально-шпиндельных аппаратов.

Таким образом, разработка технологической схемы уборочного аппарата с одинаковым направлением вращения барабанов и их шпинделей позволяет расширить резервы эффективности работы современных вертикально-шпиндельных машин.

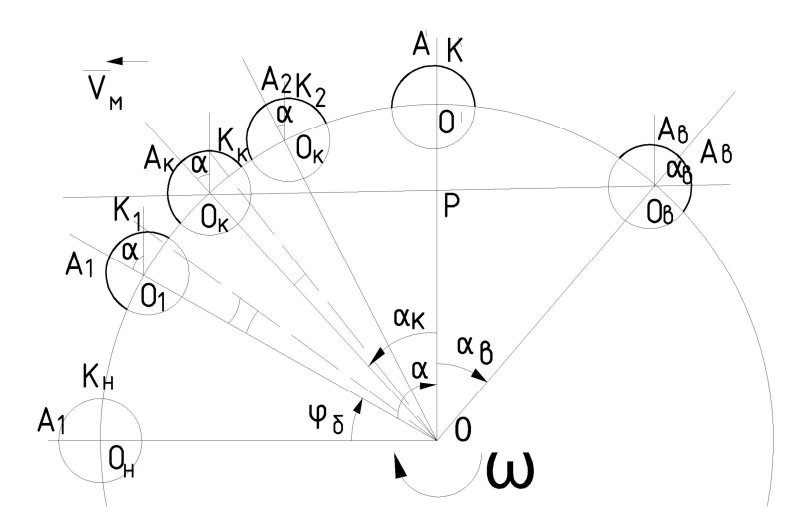


Рис. 1. Кинематическая схема барабана с различными направлениями вращения шпинделей

На рис.1 приведена расчетная схема шпиндельного барабана с гипо- и эпициклическими направлениями движения шпинделей. При движении хлопкоуборочной машины со скоростью $\vec{V}_{_{M}}$ по рядкам хлопчатника шпиндельные барабаны с определенными опережениями вращаются со скоростью ω в обратную сторону, и шпиндели со скоростью $\omega_1 = \omega_{1T}$ при гипоциклическом приводе (или $\omega_1 = \omega_{13}$ при эпициклическом приводе), вращаясь вокруг собственной оси вместе с бараба-

ном, взаимодействуют с кустами хлопчатника (на рис.1 – выделенная линия зубчатой поверхности шпинделя). Исследования кинематики двух характерных точек А и К на поверхности шпинделя позволяют в определенной степени оценить эффективность работы шпиндельного барабана в рабочей камере аппарата.

Как известно [1, 9], точки на поверхности шпинделя совершают сложные плоскопараллельные движения. В работе [10] нами была составлена система параметрических уравнений, определяющих положение любой точки на поверхности шпинделя, и получена формула для расчета ее абсолютной скорости при неподвижном захватывающем элементе в виде

$$V_{a\delta.} = \sqrt{V^2 + U^2 + V_M^2 - 2\left[V \cdot U\cos(\omega_1 t - \varphi) + V \cdot V_M\sin(\Omega t - \varphi) + V_M \cdot U\sin\omega t\right]},$$
 (1)

где $V=r\cdot\Omega$ – линейная скорость точки на шпинделе относительно куста хлопчатника, м/с; $U=R\cdot\omega$ – линейная скорость центра шпинделя на барабане, м/с; $V_{\scriptscriptstyle M}$ – скорость движения машины, м/с; r – радиус окружности сечения шпинделя, м; R – радиус барабана по окружности центров расположения шпинделей, м; $\Omega=\omega\pm\omega_1$ – при соответствующем приводе ролика абсолютная угловая скорость вращения шпинделя вокруг собственной оси, c^{-1} ; ω – угловая скорость (частота вращения) вращения барабана, c^{-1} ; $\omega_1=\omega_{1\Gamma}$ или $\omega_1=\omega_{1\Im}$ – угловая скорость вращения шпинделя относительно собственной оси при гипоциклическом $\omega_{1\Gamma}$ или эпициклическом $\omega_{1\Im}$ в приводах роликов, c^{-1} ; φ – начальное положение точки на шпинделе, рад; t – текущее время, c.

Как отмечалось, захват куста с коробочками хлопчатника шпиндельными барабанами в уборочном аппарате связан точками A и K на поверхности шпинделя (см. рис.1). Подставляя их начальные координаты и при этом учитывая коллениарность (или компланарность) векторов \vec{V} и $\vec{V}_{_{M}}$ (для точки K), \vec{U} и \vec{V} (для точки A) при φ =0° на основе формулы (1), получим выражения для расчета модулей абсолютных скоростей этих точек в виде

$$V_{a\delta. A(K)} = \sqrt{U^2 + V^2 - 2U \cdot V \sin \omega t} , \qquad (2)$$

и направляющих косинусов этих векторов:

$$\cos \beta = \frac{\left| V_1 - V_M \sin \omega \, t \right|}{V_{a\tilde{o}.A(K)}} \,. \tag{3}$$

Следует заметить, что $\cos\beta$ не зависит от направления вращения шпинделя в рабочей камере аппарата, поэтому в числителе выражения (3) принято абсолютное значение разницы между входящими величинами. Исходя из выражения (2), модуль абсолютной скорости точки A равен

$$V_{a\delta, A} = \sqrt{U_A^2 + V_M^2 - 2U_A \cdot V_M \sin \omega t} , \qquad (4)$$

а для точки К

$$V_{a\bar{0},K} = \sqrt{U_K^2 + V^2 - 2U_K \cdot V \sin \omega t} , \qquad (5)$$

где $U_{\rm A} = U \mp V_{uu} = R \cdot \omega \mp r \cdot \Omega$ (векторы скоростей барабана \overrightarrow{U} и шпинделя \overrightarrow{V}_{uu} лежат на касательной к окружности сечения шпинделя в точке A); $U_{\rm K} = \omega \cdot OK_1 = \omega \cdot \sqrt{R^2 + r^2 + 2R \cdot r \sin \omega \, t}$ и $V = V_{uu} \mp V_{uu}$ (векторы скоростей \overrightarrow{V}_{uu} и \overrightarrow{V}_{uu} в точке K лежат на касательной к шпинделю в точке K), где знак « \mp » учитывает направление вращения шпинделей в рабочей камере аппарата.

Как известно [9, 12], скорости вращения шпинделя ω_1 ($\omega_{1\Gamma}$ или ω_{19}) и барабана ω взаимосвязаны через передаточное число, т.е. $\omega_1=i\cdot\omega$ (где $i=R/r_\kappa$, r_κ – радиус качения ролика по ремню привода шпинделя). Значение ω_1 ограничивается скоростью наматывания хлопка без разрывов на поверхность шпинделя, т. е $\omega_1=V_H/r$. По данным исследователей [3, 11], V_H для различных сортов хлопчатника изменяется в пределах 1.65-1.85 м/с. Принимая наименьшее значение $V_H=1.65$ м/с при заданном r=14 мм, частота вращения шпинделя будет равна $\omega_1\approx 118.0$ с⁻¹. Основываясь на данные А.Д. Глущенко [12], радиус качения ролика примем равным $r_\kappa=13$ мм, тогда i=11.23 и $\omega=\omega_1/i=10.5$ с⁻¹ (т. е. $n_\delta=100$ мин⁻¹). Подставляя эти значения в (4) и (5), и с учетом соответствующих заданных направлений вращения шпинделей в рабочей камере уборочного аппарата, получим нижеследующие расчетные формулы для модулей абсолютных скоростей точки A при гипоциклическом приводе шпинделей (существующая кинематическая схема) в виде

$$V_{a\delta,A}^{\Gamma} = \sqrt{1.367 - 0.066 \cdot sin\omega t}$$
, (6)

где при определении угла β в формуле (3) V_1 для данной точки будет равно V_1 = U_A , а при эпициклическом приводе шпинделей

где V_1 в формуле (3) для данной точки будет равно $V_1 = U_K$.

При заданных геометрических $(R, r, r_{\kappa}, \varphi = \omega t)$, кинематических параметрах $(V_{\rm M}, i, \omega, \omega_1)$ и $V_{\it M} > V_{\it M}$, характеризующее надежный захват хлопка шпинделем, получены соответствующие расчетные формулы для определения абсолютной скорости точки K также и при эпициклическом приводе шпинделей. На основе формул (6) и (7) построены графики изменения абсолютных скоростей точек A и K в зависимости от угла поворота барабана $\varphi_6 = \omega t$ (рис. 2,a), а также график изменения направляющего угла $\beta = \beta(\varphi)$ вектора $V_{\it M}$ точки A (рис. $2,\delta$).

Анализируя графики (рис. 2,a), можно заметить, что при гипоциклическом приводе шпинделей абсолютная скорость точки A изменяется в пределах от 1.14 до 1.16 м/с, а точки K – от 1.14 до 2.85 м/с, и они лежат по направлению вектора $\vec{V}_{_{M}}$ (скорости движения машины) и способствуют выталкиванию кустов хлопчатника из рабочей камеры. При эпициклическом приводе скорости этих точек изменяются в пределах 2.16–3.23 и 2.16–1.76 м/с, направлены во внутрь рабочей камеры (т.е. против вектора $\vec{V}_{_{M}}$) и способствуют лучшему захвату кустов хлопчатника. График изменения направляющего угла β абсолютной скорости точки A показывает, что только после угла захода φ_{0} – ωt > 30^{0} шпинделя в рабочую камеру при гипоциклическом приводе следует ожидать начало захвата шпинделем хлопка из коробочек, в то время как при эпициклическом приводе направляющий угол всегда меньше, чем допустимый β_{0on} = 70^{0} [5, 10].

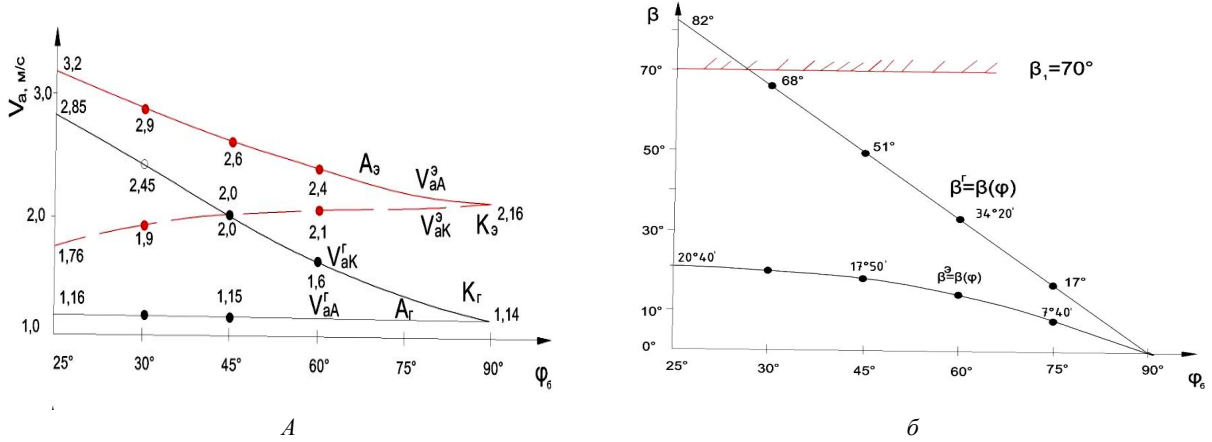


Рис.2. Графики изменения абсолютных скоростей точек A и K шпинделя при различном направлении его вращения и направляющего угла β вектора $\vec{V}_{o\beta}$ точки A в зависимости от угла поворота барабана

Следовательно, применение эпициклического привода шпинделей в рабочей камере вертикально-шпиндельного уборочного аппарата способствует улучшению захвата кустов хлопчатника и в конечном итоге повышению эффективности работы хлопкоуборочной машины.

ЛИТЕРАТУРА

- [1] Усманходжаев Х.Х. Теория механизмов и производительность хлопкоуборочных машин. Ташкент: Фан 1990. –138c.
- [2] Матчанов Р. Д. Хлопкоуборочные машины 1929–2010 гг. Ташкент: Fan va texnologiyalari, 2013. 352с.
- [3] Ш полянский Д. М. Технологические основы параметров рабочих органов и схем хлопкоуборочных машин. Ташкент: Мехнат, 1985. 256с
- [4] Абдазимов А.Д. Научно-технические основы повышения эффективности хлопкоуборочных машин управлением параметрами процесса сбора и уборочного аппарата: Автореф. дис.... докт. техн. наук. Ташкент, 2007. 34с.
- [5] Сабликов М.В. Исследование шпиндельных аппаратов хлопкоуборочных машин. Ташкент: Госиздат РУз, 1959. 184с.
- [6] Иззатов З. Х. Влияние направления вращения рабочих органов аппарата на процесс съема хлопка со шпинделей // Хлопкоуборочные машины: Теория и расчет. Ташкент: Фан, 1968. С. 46–55.
- [7] А.с. 247684 SU. Вертикально-шпиндельный хлопкоуборочный аппарат. Авторы изобрет.: Зарубин. Г.А., Чечель. С.С., Розенблюм. Опубл. Б.И. 1969. № 22.

- [8] Баракаев Н.Р., Ризаев А.А. Исследование кинематики шпинделей при одинаковом направлении их вращения с барабаном в уборочном аппарате // Узбекский журнал «Проблемы механики». Ташкент. 1997. № 6. С. 42–47.
- [9] Файзиев И.Х. Определение повернутых скоростей шпинделя хлопкоуборочной машины в различных масштабах / Кинематика и динамика механизмов хлопкоуборочной машины. Ташкент: Фан, 1966. С. 12–24.
- [10] Глущенко А.Д., Ризаев А.А. Моделирование динамики взаимодействий долек хлопка и шпинделей в хлопкоуборочных аппаратах. Ташкент: Фан, 1995. 131с.
- [11] Абдазизов Т. Обоснование основных параметров хлопкоуборочного аппарата, оснащенного ступенчатыми шпинделями: Автореф. дис канд. техн. наук. Ташкент, 1989. 17 с.
- [12] Γ л у щ е н к о $\ A$. Д . Динамика механизмов привода уборочных аппаратов хлопкоуборочных машин. Ташкент: Фан, 1985. 154 с.

Институт механики и сейсмостойкости сооружений им. М.Т. Уразбаева АН РУ3

Дата поступления 28.05.2020

А.А. Ризаев, С. Усаров, А.Т. Йулдашев, Н.Б. Джураева, А. Хунаров. Терим аппарати ишчи камераси кинематикасига шпиндел айланма харакати йўналишининг таъсири

Мақола шпиндел юзасидаги нуқталар кинематик параметрларига унинг қаракатланувчи ролиги гипо ва эпициклик айланишларини эътиборга олиб қисоблаш услубига бағишланған.

A.A. Rizaev, S. Usarov, A.T. Yuldashev, N.B. Djuraeva, A. Khunarov. The influence of the direction of rotation of the spindle on the kinematics of the working chamber of the apparatus.

The article is devoted to the development of a methodology for calculating the kinematic parameters of the most characteristic spindle points for hypo and epicyclical roller drives in the working chamber of a vertically spindle harvester.

УДК 621.33.02

В.М. ТУРДАЛИЕВ, Г.У. МАХКАМОВ

ТЕОРЕТИЧЕСКОЕ ИССЛЕДОВАНИЕ ДВИЖЕНИЯ СЕМЯН ЛУКА ПОСЛЕ ВЫБРОСА ИЗ ВЫСЕВАЮЩЕГО АППАРАТА

Основной задачей усовершенствования процессов и рабочих органов сельскохозяйственных машин является повышение урожайности сельскохозяйственных культур. Посев семян служит важнейшим этапом возделывания сельскохозяйственных культур. Посев должен обеспечить наиболее благоприятные условия для прорастания семян и их дальнейшего развития, что способствует увеличению полевой всхожести и урожайности сельскохозяйственных культур. Однако в полевых условиях трудно обеспечить штучный посев и определить заделки мелкосеменных овощных культур.

Семена со средним диаметром менее 3 мм, характерно для большинство овощей, цветов и рапса, таких как помидоры, перец, редька, морковь и другие овощий, с плоскими и ворсистыми поверхностями. Поэтому сложно разработать точную сеялку для мелкосеменных культур. В соответствии с сельскохозяйственными требованиями, точный посев может обеспечить наиболее рациональное распределение семян в поле [1]. Оптимальное развитие растений требует оптимальной посадочной площади для каждого отдельного растения. Точность посева семян, равномерное расстояние между растениями, одинаковая глубина посева и лучшие условия для роста и развития семян могут сэкономить много семян и обеспечить стабильный и высокий урожай сельскохозяйственных культур [2, 3].

В литературе [4] рассматривается влияние различных факторов на равномерность посева. Обосновано, что высота сбрасывания семян в 8 мм неизменно обеспечивает лучшую структуру посева, чем высота сбрасывания 15 мм с точной вакуумной сеялкой. Они рекомендовали, чтобы дозирующее устройство на сеялке было расположено как можно ниже, и чтобы семена свободно падали на дно траншеи для почвы. Показано, что изменчивость расстояния между семенами с помощью точной вакуумной сеялки увеличивается с повышением скорости движения вперед и что прямая скорость в 1 м/с обеспечивает лучшую структуру посева, чем скорость 1.5 и 2.0 м/с для точного высева семян дыни и огурца.

Согласно анализу результатов исследования, основными факторами, оказывающими влияние на равномерность размещения семян, является следующие: качество дозирования семян высевающим аппаратом; стабильность времени полета и траектории семян от выбросного окна до дна бороздки; перераспределение семян после удара о почву.

В исследованиях большое внимание уделяется обоснованию угла защемления и месту постановки выталкивателя, так как от этих параметров зависит дробление семян, скорость и направления полёта. В ячейках механического высевающего аппарата семена располагаются свободно и могут выбрасываться без выталкивателя. Отмечается существенное различие траекторий и скоростей полета у семян, выброшенных выталкивателем и вышедших свободно. Исходя из анализа исследования можно перейти на свободную разгрузку ячеек, при которой исключается негативное влияние выталкивателя на траекторию полета семян и уменьшается их дробление.

Нами теоретическим методом были изучены полет и траектория семян от выбросного окна до дна бороздки. Семена лука при выходе из высевающего аппарата имеют начальную скорость v_0 , так как движение передается из опорного колеса с помощью цепной передачи в высевающий аппарат. При этом принимаем начальную скорость v_0 семян лука равной линейной скорости высевающего аппарата.

Движение семян лука исследовано следующим образом (рис. 1). Если учитывать сопротивление воздуха при изучении движения семян лука по рис.1, уравнения движения семян примут вид



$$m\ddot{y} = G - R_{x}, \qquad (2)$$

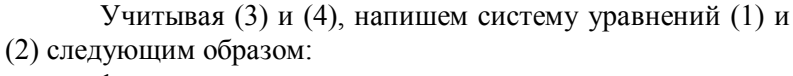
где m — масса семян лука, кг; R_x — сила сопротивления воздуха, H; G — сила тяжести, H.

Силы тяжести и сопротивления воздуха определим следующим образом:

$$G = mg, (3)$$

$$R_{x} = \frac{1}{2}\mu \varsigma S v^{2}, \tag{4}$$

где g—ускорение свободного падения, m/c^2 . μ — коэффициент сопротивления в зависимости от формы тела; ς —плотность воздуха, $\kappa \Gamma/m^3$; S—миделлярная поверхность семян лука, m^2 ; v—скорость семян лука, m/c.



$$m\ddot{x} = -\frac{1}{2}\mu\varsigma Sv^2, \tag{5}$$

$$m\ddot{y} = mg - \frac{1}{2}\mu \varsigma Sv^2. \tag{6}$$

Определим движения семян лука по оси X с помощью уравнения (5). Учитывая, что $\dot{x} = v_x(t)$, запишем уравнение (5)

$$mv_x' = -\frac{1}{2}\mu \varsigma S v_x^2. \tag{7}$$

Разделив две стороны уравнение (7) на массу лука, получим следующую

$$\frac{dv_x}{v_x^2} = -\frac{\mu \varsigma S}{2m} dt . \tag{8}$$

Для определения скорости семян лука по оси x, интегрируем уравнение (8) один раз

$$-\frac{1}{v} = -\frac{\mu \varsigma S}{2m} t + C_1. \tag{9}$$

При $t=0,\,x=0$ и $\dot{x}(0)=v_{0x}$. Тогда $\,C_1=\frac{1}{v_0}\,$ и уравнение (9) образует следующий вид

$$\frac{1}{v} = \frac{\mu \varsigma S v_{0x} t + 2m}{2m v_{0x}} \,. \tag{10}$$

Из уравнение (10) найдем

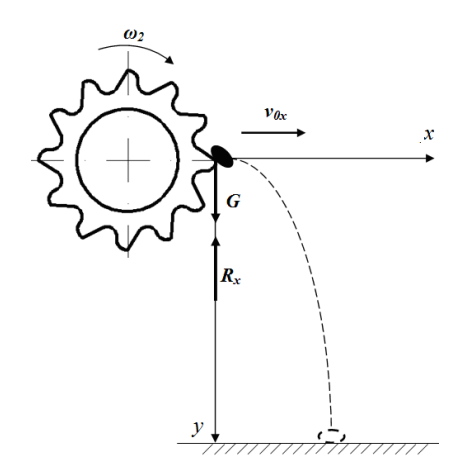


Рис. 1. Схема для определения траекторий движения семян лука при выбросе

$$v_{x} = \dot{x}(t) = \frac{2mv_{0x}}{\mu \varsigma Sv_{0x}t + 2m}.$$
 (11)

Для определения перемещения семян лука по оси x, интегрируем уравнение (11) один раз и получим

$$x = \frac{2mv_{0x}}{\mu \varsigma Sv_{0x}} \ln(\mu \varsigma Sv_{0x}t + 2m) + C_2.$$
 (12)

При t=0, x=0. Поэтому

$$C_2 = -\frac{2m}{\mu \zeta S} \ln(2m). \tag{13}$$

С учетом уравнения (13) можно записать уравнение (12) в следующем виде:

$$x = \frac{2m}{\mu \varsigma S} \ln(\mu \varsigma S v_{0x} t + 2m) - \frac{2m}{\mu \varsigma S} \ln(2m). \tag{14}$$

Учитывая, что $\ln(x + \Delta x) - \ln(x) = \ln \frac{x + \Delta x}{x}$, уравнение (14) примет вид

$$x = \frac{2m}{\mu \varsigma S} \ln \left(\frac{\mu \varsigma S v_{0x} t}{2m} + 1 \right). \tag{15}$$

Определим движение семян лука по оси y с помощью уравнения (6). Для упрощения уравнения разделим две стороны на массу m семян лука. При этом получим

$$\ddot{y} = g - \frac{1}{2m} \mu \varsigma S \dot{y}^2. \tag{16}$$

Если учитывать, что $\dot{y}=v_y(t)$, а также для удобства решения задачи добавим, что $\frac{\mu \varsigma S}{2m}=A^2\,.$ При этом уравнение (16) примет вид

$$v_{y}' = \frac{dv_{y}}{dt} = g - A^{2}v_{y}^{2}. \tag{17}$$

Из уравнения (17) определим dt

$$dt = \frac{dv_y}{g - A^2 v_y^2}. ag{18}$$

Отсюда

$$\int \frac{dv_{y}}{g - (Av_{y})^{2}} = t + \ln C_{3}. \tag{19}$$

Учитывая, что $\int \frac{dx}{a^2 - x^2} = \frac{1}{2a} \ln \frac{a + x}{a - x}$, запишем уравнение (19) следующим образом:

$$\frac{1}{2A\sqrt{g}}\ln\frac{\sqrt{g}+Av_{y}}{\sqrt{g}-Av_{y}} = t + \ln C_{3} \rightarrow \frac{\sqrt{g}+Av_{y}}{\sqrt{g}-Av_{y}} = C_{3}e^{2At\sqrt{g}};$$

$$\sqrt{g}+Av_{y} = C_{3}\sqrt{g}e^{2At\sqrt{g}} - C_{3}Av_{y}e^{2At\sqrt{g}} \rightarrow Av_{y}(1+C_{3}e^{2At\sqrt{g}}) = C_{3}\sqrt{g}e^{2At\sqrt{g}} - \sqrt{g};$$

$$v_{y} = \frac{\sqrt{g}}{A} \cdot \frac{C_{3}e^{2At\sqrt{g}}-1}{C_{3}e^{2At\sqrt{g}}+1} \qquad \text{или} \qquad v_{y} = \frac{\sqrt{g}}{A} \cdot \frac{e^{2At\sqrt{g}}-C_{3}}{e^{2At\sqrt{g}}+C_{3}}.$$
(20)

Так как t=0, y=0 и $\dot{y}(0)=v_{y_0}=0$, то $C_3=1$. Поэтому уравнение (20) примет такой вид:

$$v_{y} = \frac{\sqrt{g}}{A} \cdot \frac{e^{2At\sqrt{g}} - 1}{e^{2At\sqrt{g}} + 1}.$$
 (21)

Для решения задачи умножим правую сторону уравнения (21) на $e^{-At\sqrt{g}}$. Тогда

$$v_{y} = \frac{\sqrt{g}}{A} \cdot \frac{e^{At\sqrt{g}} - e^{-At\sqrt{g}}}{e^{At\sqrt{g}} + e^{-At\sqrt{g}}}.$$
 (22)

Учитывая гиперболические функции, получим $shx = \frac{e^x - e^{-x}}{2}$, $chx = \frac{e^x + e^{-x}}{2}$ и

$$thx = \frac{shx}{chx} = \frac{e^{x} - e^{-x}}{e^{x} + e^{-x}}$$
.

Определим скорость

$$v_{y} = \dot{y}(t) = \frac{\sqrt{g}}{A} \cdot th(At\sqrt{g}). \tag{23}$$

Для определения перемещения семян лука по оси У, проинтегрируем уравнение (22) один раз и получим

$$y(t) = \frac{\sqrt{g}}{A} \int th(At\sqrt{g})dt + C_4 \quad \text{или} \quad y(t) = \frac{\sqrt{g}}{A} \int \frac{sh(At\sqrt{g})}{ch(At\sqrt{g})}dt + C_4.$$
 (24)

Учитывая, что (shx)' = chx, уравнение (24) примет вид

$$y(t) = \frac{\sqrt{g}}{A} \frac{1}{A\sqrt{g}} \int \frac{dch(At\sqrt{g})}{ch(At\sqrt{g})} + C_4 = \frac{1}{A^2} \ln ch(At\sqrt{g}) + C_4.$$
 (25)

При t=0, y=0 и $ch(A0\sqrt{g})=\frac{e^0+e^0}{2}=1$. Тогда $C_4=0$ и уравнение (25) будет иметьсле-

дующий вид:

$$y = \frac{2m}{\mu \zeta S} \ln ch \left(\sqrt{\frac{\mu \zeta S g}{2m}} t \right). \tag{26}$$

Для определения перемещения семян лука по осям x и y решим уравнения (15) и (26) численным методом в программе «MathCAD». Решение осуществлялось при следующих численных значениях параметров: m=0.0035 кг; v_{x0} =(1.4; 2.1; 2.8) м/с; μ =0.25 (температура окружности при 10–15 0 C); ς =1.25 кг/м 3 ; S=0.0006 м 2 ; g=9.8 м/с 2 ; t ϵ [0; 21] с.

На основе численных решений уравнении (15) и (26) получены траектории семян лука на соответствующих осях (рис. 2). Как установлено, траектория полета семян изменится по законам параболы, а с увеличением начальных скоростей семян возрастет значение *x* и *y* по нелинейной закономерности. Это объясняется тем, что начальная скорость семян непосредственно действует на полет семян.

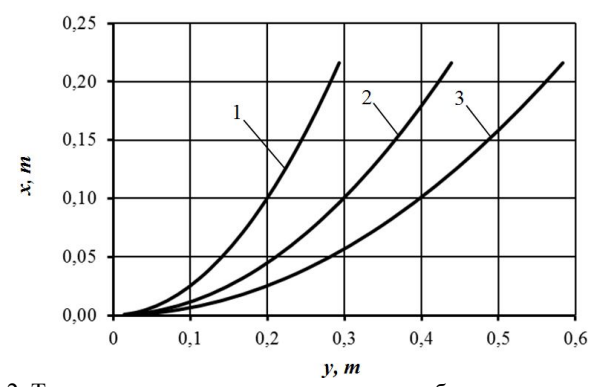


Рис. 2. Траектория падения семян лука при выбросе из высевающего аппарата: $I-v_{ox}$ =1.4 м/c; $2-v_{ox}$ =2.1 м/c; $3-v_{ox}$ =2.8 м/c

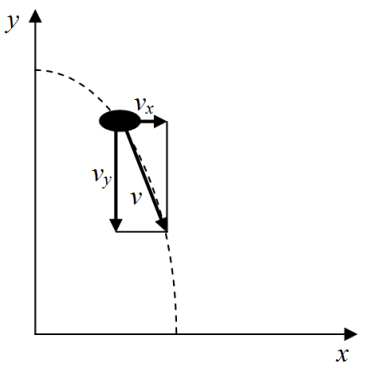


Рис. 3. Схема для определения скорости паления семян

Если начальная скорость семян составит 1.4 м/с, тогда полет лука по оси x будет до 3 см, при оси y-2.1 см. Так, при начальной скорости 2.8 м/с полет лука по оси x будет до 6 см, при оси y-2.1 см. Семян лука с момента выпадения из ячейки высевающего диска до момента соприкосновения с дном борозды находится в состоянии свободного падения. Скорость падения семян v в момент удара о дно борозды по исследованиям определим по рис. 3 следующим образом:

скорость падения семян v:

$$v = \sqrt{v_x^2 + v_y^2} \ . \tag{27}$$

С учетом уравнений (11) и (23), можно записать уравнение (27) в виде

$$v = \sqrt{\frac{4(mv_{x0})^2}{(\mu \zeta S v_{x0} t)^2 + 2m\mu \zeta S v_{x0} t + 4m^2} + \frac{2mg}{\mu \zeta S} th \left(\sqrt{\frac{\mu \zeta Sg}{2m}} t\right)}.$$
 (28)

Рассмотрим соударение семян лука с почвой как на рис. 4. По теории удара известно, что коэффициент восстановления вычисляется по формуле [5]

$$k = \frac{u}{v} = \sqrt{\frac{h_2}{h_1}} \tag{29}$$

где h_1 – высота падения семян лука, м; h_2 – высота отскока семян лука после удара, м.

Найдем высоту установки высевающего аппарата

$$h_1 = \frac{h_2}{k^2} \,. \tag{30}$$

Для численного решения выражения (30), учитывая, что глубина заделки семян лука находится в пределах 1.5–2 см [6], принимаем условия, чтобы высота отскока семян непревышала 1.5 см, а коэффициент восстановления был в пределах k=0.44±0.11. На основе численного решения выражения (30) построена графическая зависимость коэффициента восстановления от высоты установки высевающего аппарата. Как видно из графика рис. 5, чтобы семена оставались на дне борозды при посеве высота установки высевающего аппарата не должна превышать 17 см.

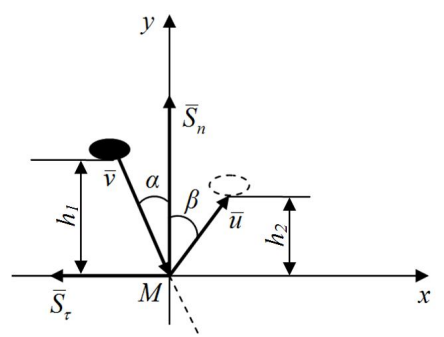


Рис. 4. Схема для изучения соударения семян лука с почвой

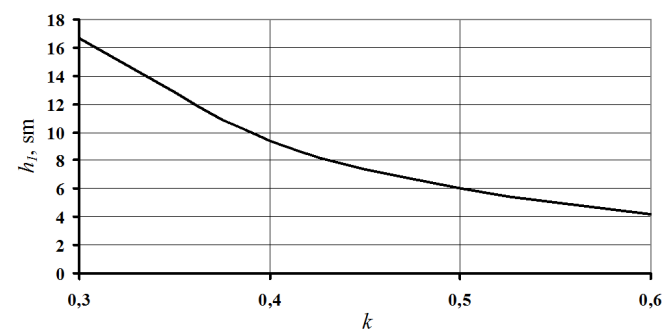


Рис. 5. Графическая зависимость коэффициента восстановления от высоты установки высевающего аппарата

Рассмотрим процесс соударения семян с почвой. Определим количество массы семян во время движения при ударе в векторной форме следующим образом [5]:

$$m(\overline{u} - \overline{v}) = \overline{S} \,, \tag{31}$$

где m — масса семян лука, кг; u — скорость семян лука после удара, м/с; v — скорость семян лука до удара, м/с.

Найдем проекцию уравнения (31) на оси координатной системы

$$\begin{cases}
 m(u \sin \beta - v \sin \alpha) = -S_{\tau}, \\
 m(u \cos \beta + v \cos \alpha) = S_{n}.
\end{cases}$$
(32)

С учетом уравнений (29) и (32) определим коэффициент восстановления при ударе

$$k = -\frac{u\cos\beta}{-v\cos\alpha}\,, (33)$$

из которого следует равенство

$$kv\cos\alpha = u\cos\beta \ . \tag{34}$$

Из второго уравнения системы (32) определяется нормальная составляющая ударного импульса, равная

$$S_n = mv(k+1)\cos\alpha \ . \tag{35}$$

На основе гипотезы Рауса, что касательная и нормальная составляющие ударного импульса связаны коэффициентом ударного трения скольжения, подобному коэффициенту трения скольжения в случае конечных сил, будет иметь место формула Рауса [5]

$$S_{\tau} = f_d S_n \,, \tag{36}$$

где S_{τ} – касательная составляющая ударного импульса, кгм/с; S_n – нормальная составляющая ударного импульса, кгм/c; f_d – коэффициент ударного трения скольжения.

Тогда касательная составляющая ударного импульса будет равна

$$S_{\tau} = f_d m v(k+1) \cos \alpha . \tag{37}$$

Подставив (37) в первое уравнение системы (32), получим

$$m(u\sin\beta - v\sin\alpha) = -f_{\alpha}mv(k+1)\cos\alpha. \tag{38}$$

Разделив две стороны уравнения (38) на массу т семян лука, получим

$$u\sin\beta = v(\sin\alpha - f(k+1)\cos\alpha). \tag{39}$$

Для определения скорости семян лука после удара образуем систему уравнений

$$\begin{cases} u\cos\beta = kv\cos\alpha, \\ u\sin\beta = v(\sin\alpha - f_d(k+1)\cos\alpha). \end{cases}$$
 (40)

Из системы уравнений (40) следует равенство

$$u^{2}(\cos^{2}\beta + \sin^{2}\beta) = v^{2}(k^{2}\cos^{2}\alpha + (\sin\alpha - f_{d}(k+1)\cos\alpha)^{2}). \tag{41}$$

Учитывая, что $cos^2\beta + sin^2\beta = 1$, из уравнения (41) найдем u

$$u = v\sqrt{k^2 \cos^2 \alpha + (\sin \alpha - f_d(k+1)\cos \alpha)^2} . \tag{42}$$

Для определения угла β из системы уравнений (40) следует еще одно равенство

$$\frac{u\cos\beta}{u\sin\beta} = \frac{kv\cos\alpha}{v(\sin\alpha - f(k+1)\cos\alpha)}.$$
 (43)

Учитывая, что $\frac{\cos\beta}{\sin\beta} = ctg\beta$, напишем равенства (43) следующим образом

$$ctg\beta = \frac{k\cos\alpha}{(\sin\alpha - f_d(k+1)\cos\alpha)} \quad \text{или} \quad \beta = arcctg(\frac{k\cos\alpha}{(\sin\alpha - f_d(k+1)\cos\alpha)}). \tag{44}$$

Для определения угла падения семян лука будем учитывать, что он равен углу между траекторий падения семян лука с вертикальной осью (рис. 6). Обозначим координаты семян лука во время падения из высевающего аппарата на почву функциями x=x(t) и y=y(t). Из рис. 6 видно, что $\alpha = 90$ —у или $\gamma = 90 - \alpha$. Отсюда

$$tg\gamma = tg(90 - \alpha) = ctg\alpha = f'(x_0). \tag{45}$$

По условию решение тригонометрических фунций примет вид

$$f'(x_0) = \frac{y'(t_0)}{x'(t_0)}$$
. (46)
Если учесть уравнения (11) и (23), тогда уравнение (46) будет иметь седующий вид:

$$f'(x_0) = ctg\alpha = \frac{\sqrt{2mg}th(\sqrt{\frac{\mu\varsigma Sg}{2m}}t)[\mu\varsigma Sv_{x_0}t + 2m]}{2mv_{x_0}\sqrt{\mu\varsigma S}},$$
(47)

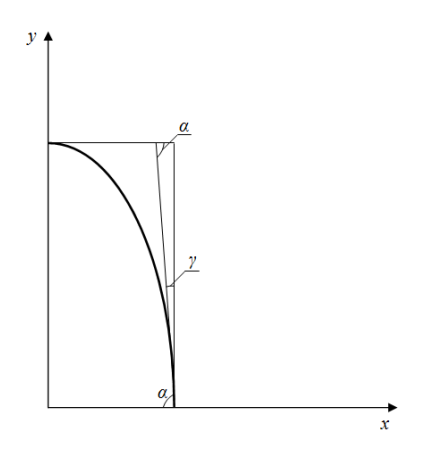
или

$$\alpha = arctg(\frac{2mv_{x0}\sqrt{\mu\varsigma S}}{\sqrt{2mg}th(\sqrt{\frac{\mu\varsigma Sg}{2m}}t)[\mu\varsigma Sv_{x0}t + 2m]}). \tag{48}$$

Для определения зависимости угла α на время падения семян лука мы произвели численное решение уравнения (48) и построили графические зависимости. Из рис. 7 видно, что с повышением скорости высевающего агрегата увеличивается предел изменения угла α .

С учетом вышеуказанного и установки высевающего аппарата на высоту 17 см от почвы угол падения семян лука на почву при скорости v=5 км/ч составит 50° , при скорости v=7.5 км/ч 45°

и при скорости v=10 км/ч 34° . Численное решение уравнения (47) произвели при следующих значениях параметров: $f_d=0.4$; k=0.5; $\alpha=34^{\circ}$, 45° , 50° . При этом угол β отскока семян лука соответственно будет равен $\beta=53.6^{\circ}$ при $\alpha=50^{\circ}$, при $\alpha=45^{\circ}-\beta=38.6^{\circ}$ и при $\alpha=34^{\circ}-\beta=8.4^{\circ}$.



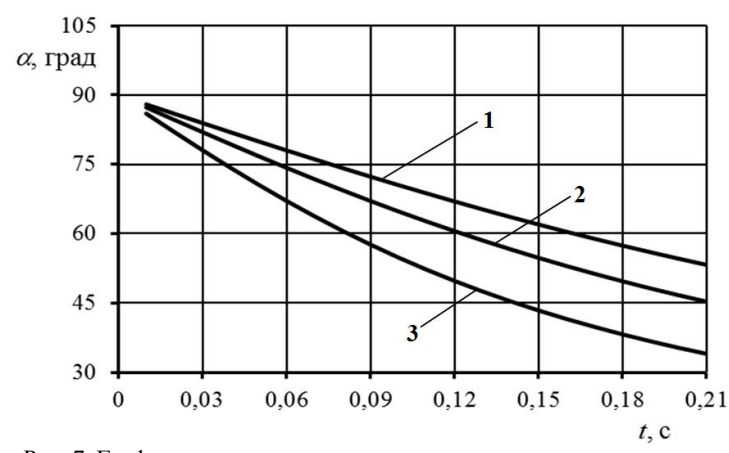


Рис. 6. Схема для определения угла падения семян лука

Рис. 7. Графические зависимости угла падения семян лука во время падения: 1-v=5 км/ч; 2-v=7.5 км/ч; 3-v=10 км/ч

Вывод. В результате данного исследования составлены дифференциальные уравнения для определения движения семян лука, построены графики для определения траекторию и полета семян лука на соответствующих осях *х* и *у*, изменяющийся по законам параболы. Полученные результаты можно использовать при проектировании конструкций высевающих аппаратов и тукопроводов сеялок.

ЛИТЕРАТУРА

- [1] Turdaliev V.M., Igrashev B., Makhamov G.U., Qosimov A.A. Theoretical research on the flight of onion seeds under discharge from the seeding unit. International journal of engineering and advanced technology (IJEAT). Vol. 9. India, 2020. Issue 3. P. 38007–38011.
- [2] Исаев Ю.М., Семашкин, Н.М., Назарова Н.Н.Обоснование некоторых параметров высевающих аппаратов // Вестник УГСХА. 2010. N01(11). С. 123–127.
- [3] Кем А.А., Алгазин Д.Н. Обоснование рациональных параметров катушечного винтового высевающего аппарата для посева рапса // Достижения науки и техники АПК. 2010. №6. С. 67–68.
- [4] Karayel D., Özmerzi A. Effect of tillage methods on sowing uniformity of maize // Canadian biosystems engineering, Vol. 44. 2002. P. 223–226.
- [5] $\,$ Лейбович $\,$ М.В. Теория удара в задачах и примерах. Хабаровск: ТОГУ, 2016. 236 с.
- [6] Каримов А. Сабзавот ва полиз экинлари агротехникаси. Тошкент: Ўзбекистон, 1985. 268 б.

Наманганский инженерно-строительный институт

Дата поступления 12.02.2020

В.М.Турдалиев, Ғ.У.Махкамов. Пиёз уругини экиш аппаратидан тушгандан кейинги харакатининг назарий тадкики

Мақолада майда уругларни аниқ экиш буйича бажарилган ишларнинг таҳлили келтирилган. Шу билан бирга, уругларни экиш аппаратидан пуштадаги уячага тушиши ва траекториялари назарий усулда ўрганилган. Тадқиқотларда олий математика, классик механика ва зарба назарияси қоидаларидан фойдаланиш натижасида тенгламалар олинган. Олинган тенгламаларни сонли ечими асосида, пиёз уругларни экиш аппаратидан тушишидаги траекториясини ифодаловчи ва тикланиш коэффициентини экиш аппаратининг ўрнатилиши баландлигига боглиқлик графиклари қурилган. Шу билан бирга, экиш аппаратининг ўрнатилиш баландлиги белгиланган.

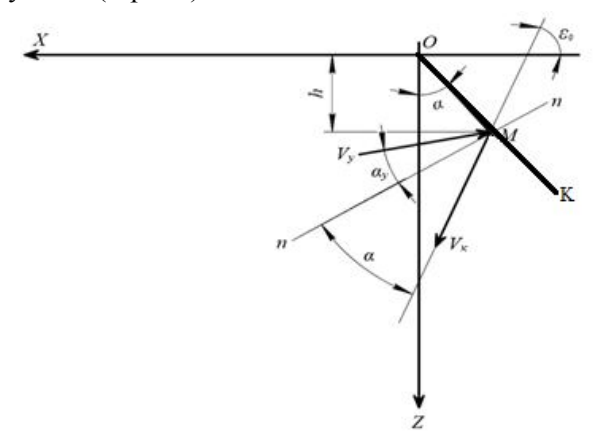
V.M.Turdaliev, G.Maxkamov. Theoretical study the movement of onion seeds after discharge from the seeding unit

The article provides an analysis of previous work on the precise sowing of small-seed crops. And also, the flight and the trajectory of the seeds from the ejection window to the bottom of the groove were studied theoretically. In the research, methods of higher mathematics, classical mechanics, and impact theory were used in which it was possible to obtain the necessary equation. Based on the numerical solution of the obtained equation, graphs are constructed that determine the trajectory of the fall of onion seeds when ejected from the sowing apparatus and the graphical dependence of the recovery coefficient on the height of the sowing apparatus. And also installed, the installation height of the metering unit.

Б.С. МИРЗАЕВ, Б.Қ. ТЎЛАГАНОВ

УРУҒЛИ АРАЛАШМА БЎЛАКЛАРИНИНГ ҚАЙТАРГИЧ БИЛАН ЎЗАРО ТАЪСИРЛАШИШ ЖАРАЁНИНИ ТАДКИК ЭТИШ

Машина роторининг пичоклари томонидан хосил килинган хаво окими таъсири остида дефлектор буйлаб ҳаракатланаётган уруғли аралашма булаклари ундан чиққандан кейин V_{v} тезлик билан ОК ўқида жойлашган қайтаргичга бориб урилади ва ундан α_{κ} бурчак остида V_{κ} тезлик билан қайтиб, ҳавода эркин ҳаракат қилишга ўтади ва бир неча муддатдан кейин саралагичга келиб тушади (1-расм).



1-расм. Уруғли аралашма бўлаклари харакатини қайтаргичнинг холатига боғлаб ўрганиш схемаси

Зарба назариясидан маълумки [1]

$$tg\alpha_{\kappa} = \frac{tg\alpha_{y}}{\kappa_{T}},\tag{1}$$

$$V_{\kappa} = V_{\nu} \sqrt{\sin^2 \alpha_{\nu} + \kappa_T^2 \cos^2 \alpha_{\nu}} , \qquad (2)$$

бунда α_{v} – уруғли аралашма бўлакларини қайтаргичга урилиш бурчаги; κ_T – уруғли аралашма бўлакларининг тикланиш коэффициенти.

Уруғли аралашма бўлакларини кайтаргичдан қайтиб, саралагичга келиб тушгунча бўлган харакатини тадқиқ этамиз. Бунинг учун 1-расмда келтирилган схемадан фойдаланиб уруғли аралашма бўлагининг X ва Z ўклари бўйлаб харакат дифференциал

тенгламаларини тузамиз.

$$m_{y}\frac{dV_{x}}{dt} = -R_{x},\tag{3}$$

$$m_{y}\frac{dV_{z}}{dt} = G - R_{z}, \tag{4}$$

бунда m_v – уруғли аралашма бўлагининг массаси, кг; V_x , V_z – мос равишда қайтаргичдан қайтиб, эркин ҳаракат қилишга ўтган уруғли аралашма бўлаги тезлигининг X ва Z ўқларидаги проекциялари, м/c; t – вақт, c; R_x , R_z – уруғли аралашма бўлагининг эркин ҳаракатига ҳавонинг қаршилик кучи R ни X ва Z ўклари бўйича ташкил этувчилари, H.

Хавонинг қаршилик кучи R тезликнинг биринчи даражасига пропорционал деб қараймиз [1, 2], яъни $R=m_{y}\kappa V_{xz}$ (бунда $\kappa-$ пропорционаллик коэффициенти, c^{-1} ; V_{xz} – уруғли аралашма бўлагининг эркин ҳаракатдаги тезлиги, м/с). Юқорида келтирилганларни, ҳамда $G=m_{\nu}g$ эканлигини хисобга олиб, (3) ва (4) тенгламаларни куйидаги куринишига келтирамиз

$$\frac{dV_x}{dt} = -\kappa V_x \tag{5}$$

ва

$$\frac{dV_z}{dt} = g - \kappa V_y, \tag{6}$$

бунда $g - эркин тушиш тезланиши, <math>m/c^2$

(5) ва (6) тенгламаларни t=0 бўлгандаги V_x = V_κ cos ε_0 ва V_y = V_κ sin ε_0 (бунда ε_0 – уруғли аралашма булагининг қайтиш тезлиги V_{κ} билан ОХ уқи орасидаги бурчак) бошланғич шартларни хисобга олган холда интеграллаб, куйидаги тенгламаларга эга бўламиз

$$V_{x} = V_{\kappa} e^{-\kappa t} \cos \varepsilon_{\theta}, \tag{7}$$

$$V_{x} = V_{\kappa} e^{-\kappa t} \cos \varepsilon_{0}, \qquad (7)$$

$$V_{z} = \frac{g(e^{-\kappa t} - 1) + \kappa V_{\kappa} \sin \varepsilon_{0}}{\kappa e^{\kappa t}}. \qquad (8)$$

Бу тенгламаларни куйидаги куринишга келтирамиз

$$\frac{dX}{dt} = V_{\kappa} e^{-\kappa t} \cos \varepsilon_{0} \,, \tag{9}$$

$$\frac{dZ}{dt} = \frac{g(e^{-\kappa t} - 1) + \kappa V_{\kappa} \sin \varepsilon_0}{\kappa e^{\kappa t}} \,. \tag{10}$$

(9) ва (10) тенгламаларни бошланғич шартлардан (t=0) да $X=htg\alpha$ ва Z=h, бунда h- қайтаргич маҳкамланган нуқтадан унга уруғли аралашма бўлаги келиб урилаётган нуқтагача бўлган тик масофа, м) фойдаланиб интегралласак, уруғли аралашма бўлагини қайтаргичдан қайтгандан кейинги ҳаракатини ифодалайдиган тенгламаларга эга бўламиз

$$X = \frac{1}{\kappa} V_{\kappa} (1 - e^{-\kappa t}) \cos \varepsilon_{0} - h \cdot tg\alpha, \qquad (11)$$

$$Z = \frac{1}{\kappa} \left[gt - \left(\frac{g}{\kappa} - V_{\kappa} \sin \varepsilon_{0} \right) \left(1 - e^{-\kappa t} \right) \right] + h.$$
 (12)

Уруғли аралашма бўлаклари қайтаргичга горизонтал йўналишда келиб урилади деб қараб, 1-расмда келтирилган схема ҳамда (1) ва (2) ифодаларга асосан қуйидагига эга бўламиз

$$\alpha_{v} = \alpha \,, \tag{13}$$

$$tg\alpha_{\kappa} = \frac{tg\alpha}{\kappa_{T}},\tag{14}$$

$$V_{\kappa} = V_{\nu} \sqrt{\sin^2 \alpha + \kappa_T^2 \cos^2 \alpha} \,, \tag{15}$$

$$\varepsilon_0 = \alpha + arctg\left(\frac{tg\alpha}{\kappa_T}\right),\tag{16}$$

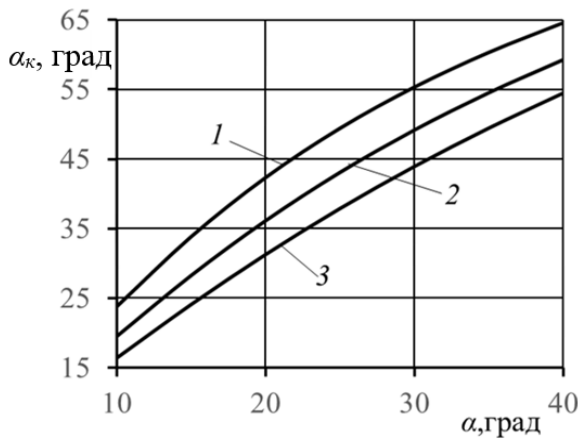
бунда α – қайтаргичнинг вертикал йўналишга нисбатан ўрнатилиш бурчаги.

(13) — (16) тенгламаларни ҳисобга олганда, юқоридаги (11) ва (12) ифодалар қуйидаги кўринишга эга бўлади

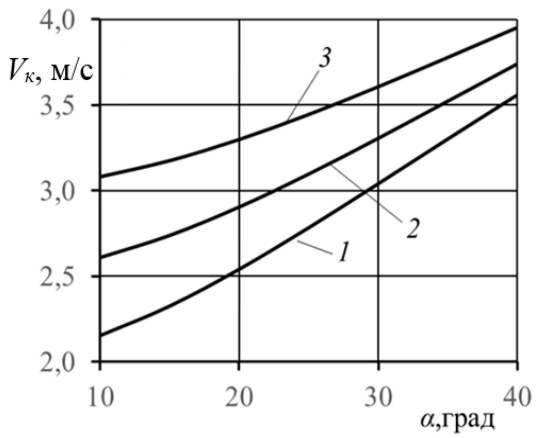
$$X = \frac{1}{\kappa} V_{y} \sqrt{\sin^{2} \alpha + \kappa_{T}^{2} \cos^{2} \alpha} \left(1 - e^{-\kappa t} \right) \cos \left(\alpha + arctg \left(\frac{tg\alpha}{\kappa_{T}} \right) \right) - h \cdot tg\alpha, \tag{17}$$

$$Z = \frac{1}{\kappa} \left[gt - \left(\frac{g}{\kappa} - V_y \sqrt{\sin^2 \alpha + \kappa_T^2 \cos^2 \alpha} \sin \left(\alpha + arctg \left(\frac{tg\alpha}{\kappa_T} \right) \right) \right) \left(1 - e^{-\kappa t} \right) \right] + h. \quad (18)$$

Бу олинган (17) ва (18) тенгламалар уруғли аралашма бўлакларининг қайтаргичдан қайтгандан кейинги ҳаракат тенгламаларини ифодалайди.



2-расм. Тикланиш коэффициентининг турли кийматларида уруғли аралашма бўлакларининг кайтаргичдан қайтиш бурчаги α_{κ} ни унинг нисбатан ўрнатилиш бурчагига боғлиқ равишда ўзгариш графиги



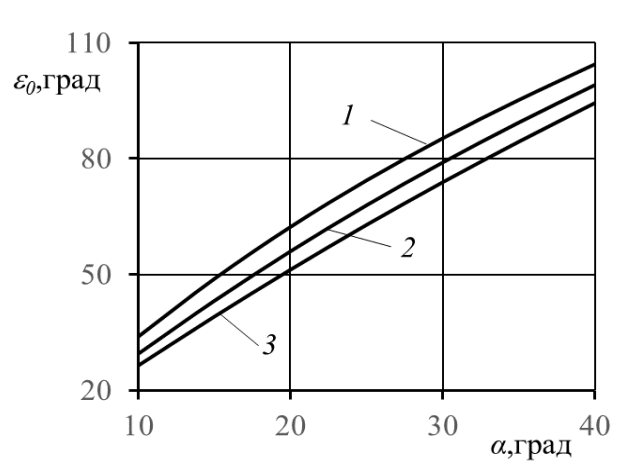
3-расм. Тикланиш коэффициентининг турли кийматларида уруғли аралашма бўлакларининг кайтиш тезлиги V_{κ} (б) ни унинг ОZ ўкига нисбатан ўрнатилиш бурчагига боғлиқ равишда ўзгариш графиги

Юқорида олинган (14), (15) ва (16) ифодалар бўйича 2, 3 ва 4-расмларда V_y =5 м/с, h=0.1 м ва κ =0.1 с⁻¹ қабул қилиниб, уруғли аралашма бўлакларининг қайтаргичдан қайтиш бурчаги ва тезлигининг ҳамда ϵ_0 бурчакнинг α ва κ_T га боғлиқ равишда ўзгариш графиклари келтирилган.

2 ва 3-расмларда келтирилган график боғланишлардан кўриниб турибдики, α бурчак ортиши билан уруғли аралашма бўлакларининг ҳам ҳайтиш бурчаги, ҳам ҳайтиш тезлиги ортган, κ_T ортиши билан эса ҳайтиш бурчаги камайган, ҳайтиш тезлиги эса ортган.

4-расмда келтирилган график боғланишлар бўйича α бурчакни ортиши ε_0 бурчакни ортишига, κ_T ни ортиши эса уни камайишига олиб келган.

Тахлиллар шуни курсатадики, қайтаргич OZ уқига нисбатан 10, 20, ва 30° бурчак остида



4-расм. Тикланиш коэффициентининг турли кийматларида ε_0 бурчакни α бурчакка боғлиқ равишда ўзгариш графиги

ўрнатилганда унга келиб урилган уруғли аралашма бўлаклари ундан қайтгандан кейин харакат йўналишига нисбатан олдинга, 40° бўлганда эса орқага харакатланади. Бунинг асосий сабаби шуки, α бурчак 10, 20, ва 30° бўлганда уруғли аралашма бўлакларининг қайтаргичдан қайтиш тезлиги билан ОХ ўқи орасидаги бурчак 90° дан кичик, 40° бўлганда катта бўлган (бу 4-расмдан кўриниб турибди). ШУНИ таъкидлаш лозимки, ерда қайтаргичдан кайтган уруғли аралашма бўлаклари агрегат ҳаракат йўналишига нисбатан орқага ҳаракатланиши саралагич-нинг ишчи юзаси-дан тўлиқ фойдаланмас-ликка олиб материал хажмдор-лигининг келади ортишига сабаб бўлади.

Тикланиш коэффициенти ортиши билан α бурчак 10, 20, ва 30° бўлганда ҳаракат траекториялари юқорига кўтарилган, 40° бўлганда эса пасайган. Буни κ_T коэффициент ортиши билан α_κ ва ε_0 бурчакларни камайганлиги билан изоҳлаш мумкин (2 – 4 – расмлар).

Ушбу расмларда келтирилган графиклар асосида шуни таъкидлаш ўринлики, α =10 ва 20° бўлганда α =30 ва 40° бўлгандагига нисбатан уруғли аралашма бўлаклари саралагичнинг ишчи юзасига ёйилиб тушади. Бу уруғлар ва майда аралашмаларни йирик поя бўлакларидан ажратиб олиш самарадорлигини оширади.

Хулоса: Юқорида ўтказилган тадқиқотлар ва тахлиллар қайтаргични вертикал йўналишга нисбатан 10–20° бурчак остида ўрнатиш максадга мувофик эканлигини кўрсатди.

АДАБИЁТЛАР

- [1] Рашидов Т.Р., Шозиётов Ш., Мўминов К.Б. Назарий механика асослари. Тошкент: Ўкитувчи, 1990.-584 б.
- [2] Выгодский М.Я. Справочник по высшей математике. М.: Наука, 1972. 870 с.

Тошкент ирригация ва қишлоқ ҳўжалигини механизациялаш муҳандислари институти

12.11.2019 й. кабул килинган

Б.С. Мирзаев, Б.К. Тулаганов. Исследование процесса взаимодействия фракций семенной смеси с отражателем

B статье приведены материалы анализа технологического процесса работы семеноуборочных машин. B процессе сепарации семенного вороха обоснован угол установки отражателя относительно вертикали.

B.S. Mirzaev, B.K. Tulaganov. Investigation of the process of interaction of fractions of the seed mixture with a reflector

The article provides materials for the analysis of the technological process of machine operation. In the process of separation of seed heap, the angle of installation of the reflector relative to the vertical is substantiated.

Б.Ж. АСТАНОВ, А.А. ТОГАЕВ, Ю.А. ШЕРМУХАМЕДОВ

ДИНАМИЧЕСКИЙ РАСЧЕТ ПРОЦЕССА ПОВОРОТА ЧЕТЫРЕХКОЛЕСНОГО ЭНЕРГОНАСЫЩЕННОГО УНИВЕРСАЛЬНО-ПРОПАШНОГО ТРАКТОРА ТТ3-1033

Известно, что в хлопководстве для обеспечения вписываемости конструкции в междурядья с развитыми кустами хлопчатника, а также для обеспечения минимального радиуса поворота с целью минимизации разворотной полосы широко используются трехколесные универсальнопропашные тракторы. Вместе с тем, как показала практика, трехколесные тракторы имеют ряд существенных недостатков в отличие от четырехколесных [1], главные из них—низкая поперечная устойчивость; негативное техногенное воздействие на почву; перегрузка передних шин; недопустимость применения на транспортных работах из-за их низкой устойчивости; низкая годовая загрузка.

Решая вопрос уменьшения радиуса поворота и недостаточного агротехнического просвета под балкой переднего моста, можно полностью использовать вышеприведенные преимущества 4-х колесных тракторов в зоне хлопкосеяния.

В Конструкторско-технологическом центре сельскохозяйственного машиностроения предложена конструкция переднего моста с регулируемым клиренсом и гидравлическим рулевым управлением (ГРУ), обеспечивающим поворот колес с максимальным углом (рис.1).

В работах [2, 3] рассмотрены кинематика рулевого механизма (рулевая трапеция и стойка переднего моста) и работа ГРУ, состоящего из гидравлического рулевого привода и рулевого механизма.

Полученные в статье результаты стали основой для расчета процесса поворота четырехколесного энергонасыщенного универсально-пропашного трактора ТТ3-1033.

Рассмотрим процесс поворота трактора и силы, действующие на него при повороте.

Мгновенный центр поворота машины можно найти, если известно направление скоростей двух любых его точек [4].

Пусть известно направление скоростей V_1 и V_2 точек 1 и 2 (рис.2), являющихся серединами задней и передней осей трактора, направление V_1 и V_2 связано с несколькими процессами, возникающими при повороте. При отсутствии увода или бокового скольжения направление скоростей каждого из колес совпадало бы с плоскостями их вращения.

Возникающие при повороте трактора боковые силы вызывают увод колес, что приводит к отклонению направлений скоростей V_1 и V_2 от указанных выше.

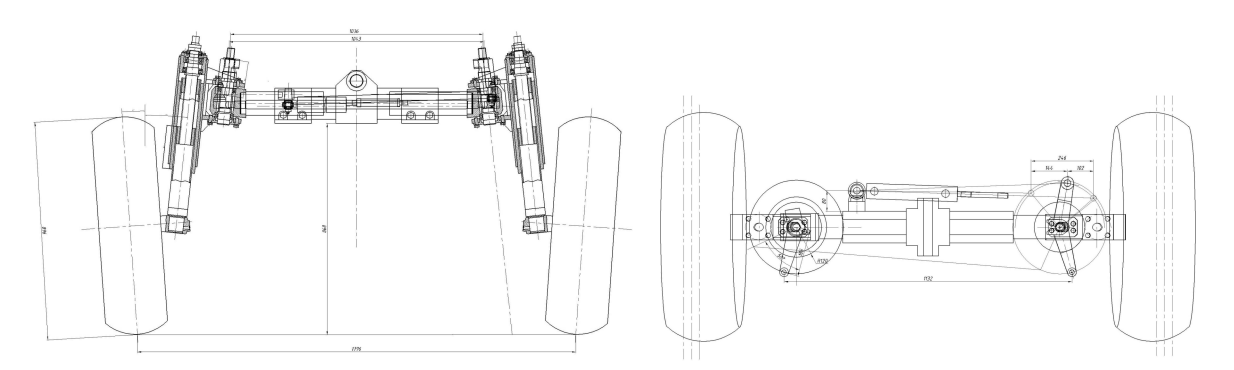


Рис.1. Передний мост трактора с регулируемым клиренсом и рулевым механизмом

Углы δ_1 и δ_2 , на которые отклоняются направления скоростей V_1 и V_2 за счет увода или бокового скольжения, развала и кинематики подвески, будем называть углами увода соответственно передней и задней осей. Отношение боковой силы, действующей на ось к углу, ее увода, назовем коэффициентом сопротивления уводу оси (k_{vI} – для передней оси, k_{v2} – для задней оси).

Мгновенным центром поворота автомобиля является точка O_{π} пересечения перпендикуляров к направлениям скоростей V_1 и V_2 .

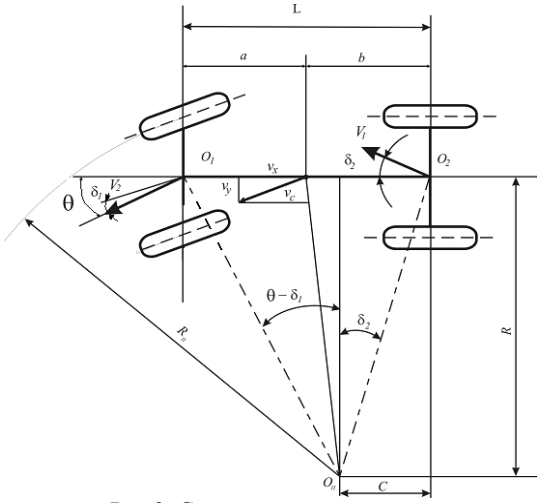


Рис.2. Схема поворота трактора

Радиус поворота определяется выражением [4]

$$R_{II} = (R + 0.5B)/\cos(\alpha - \delta_1),$$

где $R = L/(tg(\alpha - \delta_1) + tg(\delta_2)); B$ – колея по задним колёсам; L- база машины.

Угловая скорость поворота машины определяется выражением

$$\omega_a = V_c / R$$
,

где V_c – скорость поворота машины, по продольной

Тогда
$$\omega_a = V_c / R = V_a (tg(a - \delta_1) + tg(\delta_2)) / L$$
.

Место расположения центра тяжести определяется из соотношения:

$$R_1 a = R_2 b, b = L - a,$$

откуда

$$a = R_2 L / (R_1 + R_2), b = L - a,$$

где R_1 , R_2 — нормальные реакции дороги на колёса передней и задней осей.

Продольная P_{ux} и поперечная P_{uy} — составляющие силы инерции в системе координат, связанной с трактором, имеют вид (рис.3)

$$P_{HX} = ma(j - V_y \omega_a), \quad P_{HY} = m_a(V_a \omega_a + dV_y / dt),$$

где V_{v} , dV_{v}/dt — скорость и ускорение бокового смещения машины.

Положительное направление P_{ux} противоположно направлению движения машины, а P_{uy} – от центра поворота машины.

Боковые силы, действующие на колёса, равны произведению коэффициента сопротивления уводу k_{v} на величину угла увода δ :

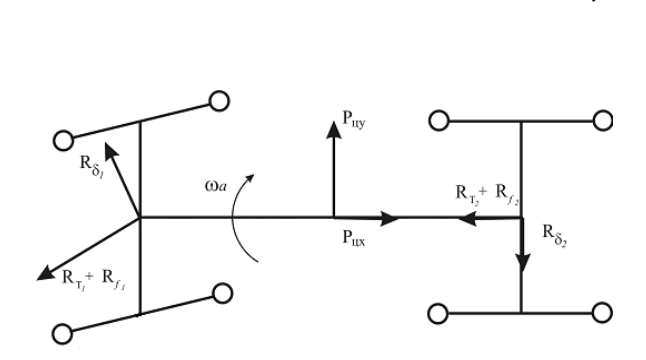


Рис. 3. Схема сил, действующих на трактор

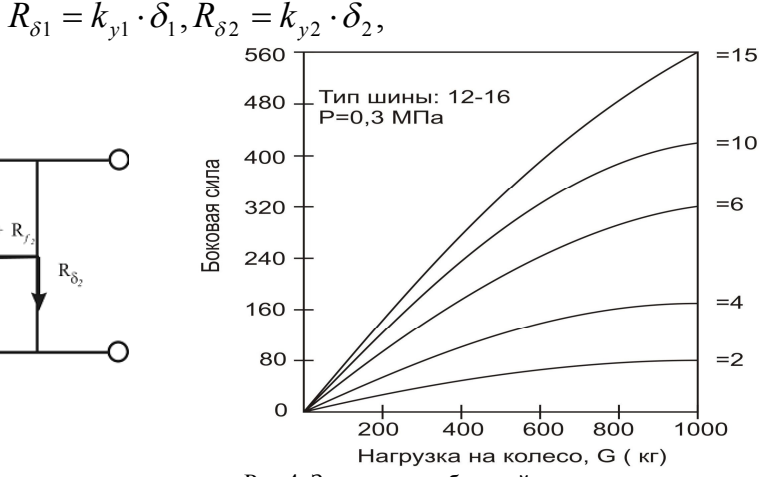


Рис.4. Зависимость боковой силы от нагрузки

Максимальное значение боковой силы ограничено произведением нагрузки, действующей на колесо, на коэффициент сцепления колеса с почвой.

На рис.4 приведены зависимости боковой силы от нагрузки и угла увода. Данную зависимость можно аппроксимировать следующей функцией: k_v =0.0016 δ^2 -0.064 δ +0.83.

Продольные силы состоят из сил сопротивления качению колес по дороге и тормозных (тяговых) сил.

Силы сопротивления качению колес передней и задней осей по дороге с коэффициентом сопротивления f определяются следующим образом:

$$R_{f1} = R_1 \cdot f, \ R_{f2} = R_2 \cdot f.$$

Тормозная сила на каждом колесе при действии дискового тормоза

$$R_{Ti} = R_{T2} = M_T \cdot n \cdot i_p / r_k$$
,

где $M_{\rm T}$ – тормозной момент, развиваемый одним диском; n – количество тормозных дисков; $i_{\rm P}$ – передаточное число колёсного редуктора; r_k – радиус качения колеса.

Напишем уравнение бокового движения центра масс. При этом будем считать, что δ_1 и δ_2 невелики и их косинусы равны единице, а синусы – самим углам. Из рис.3

$$P_{uy} = R_{\delta 1} \cos \alpha + R_{\delta 2} - (R_{T2} + R_{f2}) \sin \alpha$$

или

$$m_a \frac{dV_y}{dt} = \left(k_{y1} \delta_1 \cos \alpha + k_{y2} \delta_2 - \left(R_1 f + M_T i_p / r_k\right) \sin \alpha\right) - V_a \omega_a.$$

Выразим углы увода
$$\delta_{l}$$
 и δ_{2} через α , ω_{a} и V_{y} :
$$\delta_{1}=tg\alpha-\frac{a\omega_{a}+V_{y}}{V_{a}},\;\delta_{2}=\frac{b\omega_{a}-V_{y}}{V_{a}}.$$

Для получения уравнения курсового движения составим уравнение моментов

$$J_{z} \frac{d\omega}{dt} = -R_{\delta 1} a \cos \alpha + R_{\delta 2} b + (R_{T2} + R_{f2}) b \sin \alpha$$

или, считая $J_z = m_a a b$.

$$m_a ab \frac{d\omega}{dt} = -k_{y1} \delta_1 a \cos \alpha + k_{y2} \delta_2 b + (R_2 f + M_T i_p / r_k) b \sin \alpha$$
.

Решая уравнения, можно определить зависимость курсовых и боковых параметров движения колесной машины от угла поворота управляемых колёс.

При известных ω_a и V_y , можно найти в каждый момент времени координаты центра масс машины и его курсовой угол [4]:

$$x = \int (V_a \cos \gamma - V_y \sin \gamma) dt + c_1,$$

$$y = \int (V_a \sin \gamma + V_y \cos \gamma) dt + c_2,$$

$$\gamma = \int \omega_a dt + c_3.$$

Для решения предложенных математических моделей была разработана алгоритмическая программа для численного расчета и реализована на ПЭВМ.

Входным воздействием для численного расчета системы был принят расход насоса дозатора, который выражался зависимостью

$$Q_{{\scriptscriptstyle H}{\scriptstyle \partial}} = \frac{\omega_{{\scriptscriptstyle p}{\scriptscriptstyle K}} \cdot q_{{\scriptscriptstyle H}{\scriptstyle \partial}}}{2 \cdot \pi},$$

где $q_{\rm H,I}$ =100 см 3 /об= $1\cdot 10^{-4}$ м 3 /об; $\omega_{\rm pk}$ – угловая скорость рулевого колеса, развиваемая

На траекторию движения трактора на поворотах влияют, в основном, такие параметры, как угол поворота направляющих колес, скорость движения, общий вес машины, а также углы увода направляющих и ведущих колес.

Поворот трактора на 180° можно разделить на два переходных процесса. При первом трактор от прямого участка пути $R=\infty$ переходит к кривой с постоянным наименьшим радиусом кривизны $R=R_{\rm n}$ ($\gamma=90^{\circ}$), при втором от кривой с радиусом $R=R_{\Pi}$ к прямому участку пути ($\gamma=180^{\circ}$).

Приведены зависимости изменения углов увода δ_1 и δ_2 , (рис. 5,*a*), радиус поворота (рис. 5,*б*) и координаты центра масс трактора (траектория его движения) (рис. 5, ϵ).

При расчетах были приняты следующие значения параметров: ρ =850 кг/м³, E_{π} =0.168·10¹⁰ Па, d_{m} =0.012 м, δ_{m} =0.001 м, E_{m} =0.15·10¹² Па, k_{ϵ} =0.023, L=3.675 м, ν =2.2 c⁻¹, l_{max} =0.40 M, d_{u} =0.08 M, d_{urroka} =0.04 M, k_{B} =40 Hc/M, P_{Tp} =200 H, μ =0.5, τ =0.5 c, d_{y} =0.01 M, m_{3} =350 H, m_{4} = m_{6} =40 H, m_{5} =60 H, m_{7} =930 H, m_{8} = $m_{\text{колесо}}$ + m_{croika} =1090 H, m_{IIM} =3600 H, F_{1} =1.96·10⁻³ M², $F_2=7\cdot10^{-4} \text{ m}^2$, $V_a=3.0 \text{ m/c}$, $\omega_{DK}=6.28 \text{ pag/c}$, $m_5=46800 \text{ H}$, L=2.56 m, a=1.69 m, b=0.951 m, B=1.8 m, $c_1 = c_2 = x_0 = y_0 = 2 \text{ M}.$

На основе элементно-узлового метода произведен расчет рулевого управления энергонасыщенного универсально-пропашного трактора.

Представлены графические зависимости изменения углов увода, угловой скорости, скорости бакового смещения трактора, радиуса поворота, координаты центра масс трактора (траектория движения), а также зависимость боковой силы от нагрузки.

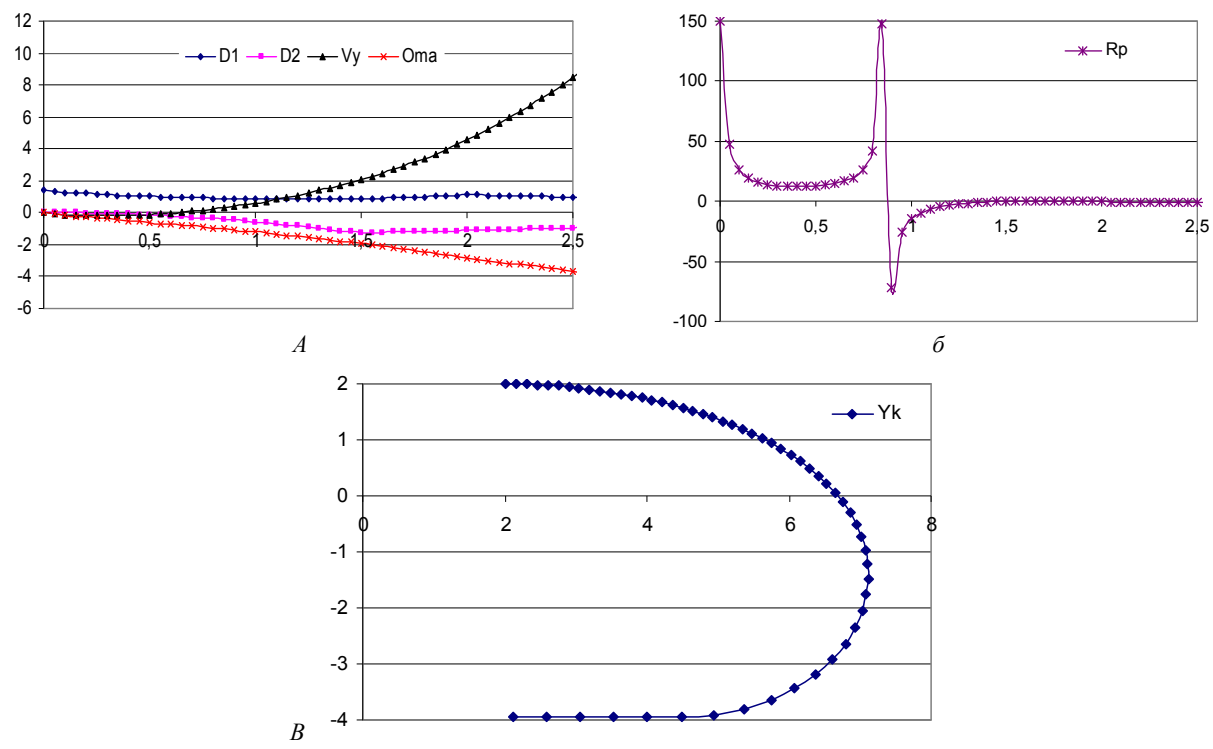


Рис. 5. Зависимости изменения параметров поворота трактора: a — углов $\delta_1, \delta_2, ; \delta$ — радиуса поворота трактора; e — координаты центра масс

Установлено, что для энергонасыщенного универсально-пропашного трактора с базой L=3.675м при его скорости $V_a=3$ м/с радиус поворота составил $R_n=5.8$ м.

Таким образом, для энергонасыщенного универсально-пропашного трактора минимальный безопасный радиус поворота обеспечивается при его скорости до 3 м/с. Результаты расчетов могут быть использованы при обосновании конструктивных параметров проектируемых новых тракторов.

Данная статья подготовлена на основе результатов, полученных в ходе реализации крупного проекта ГНТП МВ-Атех-2018-94 на тему: «Разработка конструктивных и технологических параметров четырехколесного универсально-пропашного трактора с повышенной устойчивостью для работы на пустынных землях».

ЛИТЕРАТУРА

- [1] Ахмедов А.А. Передние мосты универсально-пропашных тракторов хлопкового назначения. Ташкент: Фан, 2014. 176 с.
- [2] Шермухамедов А.А., Аннакулова Г.К., Астанов Б.Ж., Шермухамедов Ю.А. Кинематика рулевой трапеции четырехколесного энергонасыщенного универсально-пропашного трактора ТТЗ-1033 // Вестник ТАДИ. Научно-технический журнал. 2018. №1. С. 51–55.
- [3] Тогаев А.А., Аннакулова Г.К., Астанов Б.Ж., Шермухамедов Ю.А. Динамический расчет гидравлического рулевого управления четырехколесного энергонасыщенного универсально-пропашного трактора ТТЗ-1033 // Научно-технический журнал ФерПИ. Фергана. 2019. №2. Т. 23. С. 190–194.
- [4] Литвинов А.С., Фаробин Я.Е. Автомобиль: Теория эксплуатационных свойств. М.: Машиностроение, 1989. 240 с.

Ташкентский институт по проектированию, строительству и эксплуатации автомобильных дорог

Дата поступления 22.01.2020

Б.Ж. Астанов, А.А. Тогаев, Ю.А. Шермухамедов. ТТЗ-1033 тўрт гилдиракли юқори энергияли универсал -чопиқ трактори бурилиш жараёнининг динамик хисоби

Мақолада ТТ3-1033 тўрт ғилдиракли юқори энергияли универсал - чопиқ трактори гидравлик рул бошқармасининг математик модели ва динамик хисоби натижалари келтирилган. Тракторнинг сурилиш бурчаклари, бурчак тезлиги, ёнлама кўчиш тезлиги, бурилиш радиуси ва массаси маркази координаталари натижалари келтирилган. Хисоблашлар натижаларидан лойихалаштирилаётган тракторларнинг конструктив параметрларини асослашда фойдаланилиши мумкин.

B.J. Astanov, A.A. Togaev, Yu.A. Shermukhamedov. Dynamic calculation of the turn of the four-wheeled energy-saturated universal plough tractor TTZ-1033

In article the mathematical model and results of dynamic calculation of a hydraulic steering four-wheeled energy-saturated universal plough tractor TTZ-1033 consisting of the distributor, pipelines and the steering mechanism-hydrocylinder are resulted. The results of changing the withdrawal angles, angular velocity, tank displacement speed of the tractor, turning radius and coordinates of the center of mass of the tractor are presented. Results of dynamic calculation can be used at research of process of the tractor turn.

УДК 632(575.1)

А.А. АХМЕТОВ, А.И. ЮЛДАШЕВ, Д.У. КАМБАРОВА

ОПРЕДЕЛЕНИЕ ДИАМЕТРА ВЫХОДНОГО ОТВЕРСТИЯ (СОПЛА) РАСПЫЛИВАЮЩЕГО НАКОНЕЧНИКА УНИВЕРСАЛЬНОГО ОПРЫСКИВАТЕЛЯ

Химические меры борьбы с вредителями, болезнями и сорняками предполагают обязательное применение специализированной техники для внесения пестицидов в соответствии с установленными регламентами. В настоящее время основным способом применения химических и биологических средств защиты растений является опрыскивание.

Опрыскиванием наносят на растения жидкие пестициды в виде растворов, суспензий, эмульсий или экстрактов различных концентраций. Чаще применяют малообъемное опрыскивание, при котором уменьшен расход жидкости, а концентрация раствора увеличена.

Опрыскивание сводится к покрытию растений тонким слоем порошка химиката методом распыления [1].

Эффективность работ по защите растений во многом зависит от состояния и технических характеристик опрыскивателя. В настоящее время в сельскохозяйственном производстве для защиты растений применяется множество моделей опрыскивателей, которые различаются по конструктивному исполнению, форме и объему бака, комплектации гидросистемы. Принципиальное же отличие заключается в способе распыла жидкости.

Наибольшее распространение в республике получили вентиляторные опрыскиватели типа ОВХ-600 и ВП-1, но они имеют существенные недостатки, связанные с неравномерностью внесения химикатов из-за колебательного движения их рабочих органов.

В последние годы все больше находят применение опрыскиватели, работающие на принципе распыления химикатов воздушно - капельным потоком без колебательного движения рабочих органов. Одним из них является разработанный в СП «Agrichim» универсальный опрыскиватель (рис.1), производящий обработку культур на основе управляемых воздушно-капельных потоков, вносимых одновременно в пределах $\pm 90^{0}$ от оси симметрии опрыскивателя



Рис. 1. Универсальный опрыскиватель для обработки полевых и садовых культур на основе управляемых воздушно-капельных потоков

(в общей сложности 180^{0}) по всему периметру зоны обработки, обхватываемых всю ширину захвата машины [2].

Универсальный опрыскиватель содержит раму I, на которой смонтированы вентилятор II с патрубком I0, воздуховоды — левый 6 и правый 7, противоположно направленные и несущие на концах распыливающие наконечники (форсунки), соответственно левые 5 и правые 8. Противоположно направленные воздуховоды смещены относительно друг друга в горизонтальной плоскости

по ходу движения трактора и в месте сочленения образуют короб, на котором закреплены наклонные задние наконечники 3 и выдувные трубки 2. Снизу противоположно направленных воздуховодов имеются левый 4 и правый 9 наклонные выдувные сопла, которые также снабжены наконечниками. Универсальный опрыскиватель приводится к работе приводом, связанным валом отбора мощности трактора.

Рабочим элементом универсального опрыскивателя для обработки полевых и садовых культур на основе управляемых воздушно-капельных потоков являются распыливающие наконечники центробежного типа. Рабочий раствор до прохода через сопло, т.е. выходное отверстие, получает в камере завихрения вращательное движение в плоскости, перпендикулярной к продольной оси наконечника. Дробление рабочего раствора, впрыскиваемого через распыливающие наконечники, производится самими наконечниками и частичным воздействием воздушного потока. Транспортировка рабочего раствора на обрабатываемую поверхность производится при помощи воздушного потока, создаваемого вентилятором.

Основным показателем работы наконечника является расход раствора в единицу времени, от величины которого во многом зависит производительность опрыскивателя. Поэтому изучение факторов, влияющих на величину расхода раствора в единицу времени, является необходимым и интересным с научной точки зрения для варьирования его значениями.

Секундный расход рабочего раствора через распыливающий наконечник q_p с учетом работы [3] определяется выражением

$$q_p = 0.001 F \mu \sqrt{2gH} , \qquad (1)$$

где F — площадь выходного отверстия наконечника, мм²; g — ускорение свободного падения, м/с²; H—давление рабочего раствора при входе в распыливающий наконечник, мм/вод. ст. (внесистемная единица давления: 1 мм вод. ст.=9.80665 Па); μ — коэффициент расхода; 0.001 — коэффициент размерности.

В этой зависимости коэффициент расхода μ определяется выражением

$$\mu = \sqrt{\frac{\varepsilon^3}{2 - \varepsilon}} \,\,\,(2)$$

где ε – коэффициент заполнения сопло наконечника рабочим раствором.

Обычно с учетом усредненных значений коэффициента заполнения сопла наконечника рабочим раствором для полевых распылителей коэффициент расхода принимают $\mu = 0.41$.

Выразив сечение выходного отверстия наконечника через его диаметр, после несложного преобразования уравнения (1) находим диаметр выходного отверстия распыливающего наконечника

$$d_{c} = \sqrt{\frac{q_{p}}{0,00025\pi\mu\sqrt{2gH}}},$$
(3)

где d_c – диаметр выходного отверстия распыливающего наконечника, мм.

Анализ выражения (3) показывает (рис. 2), что диаметр выходного отверстия наконечника, в основном, зависит от секундного расхода рабочего раствора через один распыливающий наконечник и давления при входе рабочего раствора в распыливающий наконечник.

Секундный расход рабочего раствора через один распыливающий наконечник определяется из выражения [2]

$$q_p = \frac{V_{\scriptscriptstyle M} B_p Q}{n_p},\tag{4}$$

где q_p — секундный расход рабочего раствора через один распыливающий наконечник, л/с; $V_{\scriptscriptstyle M}$ — скорость агрегата, м/с; B_p — рабочий захват опрыскивателя, м; Q — норма расхода рабочего раствора, л/м²; n_p — общее количество распыливающих наконечников, шт.

Расчет выражения (4), проведенный при числовых значениях, соответствующих реальным условиям работы универсального опрыскивателя, т.е. при $V_{\rm M}$ =1.38 м/с; B_p =24 м; Q=100 л/га (0.01 л/м²); n_p =25 шт. показали, что секундный расход рабочего раствора через один распыливающий наконечник составляет 0.0133 л/с. Тогда, согласно (3), при давлении рабочего раствора при входе в распыливающий наконечник 25 мм/вод. ст. диаметр выходного отверстия наконечника будет 1.37 мм. Округленно принимаем d_c =1.5 мм.

Совместный анализ выражений (3) и (4) показывает, что при неизменном диаметре распыливающего наконечника и ширине захвата опрыскивателя, варьируя значениями поступательной скорости и давления рабочего раствора при входе в распыливающий наконечник, можно получить требуемую норму расхода рабочего раствора.

Для облегчения применения выражений (3) и (4) в расчетах построена номограмма (рис. 2), определяющая давление рабочего раствора при входе в распыливающий наконечник в зависимости от его диаметра, скорости движения опрыскивателя и нормы расхода рабочего раствора.

В первом квадранте номограммы приведены графики зависимости типа $q_p = f(Q, V)$, а во втором – $H = f(d_c, q_p)$.

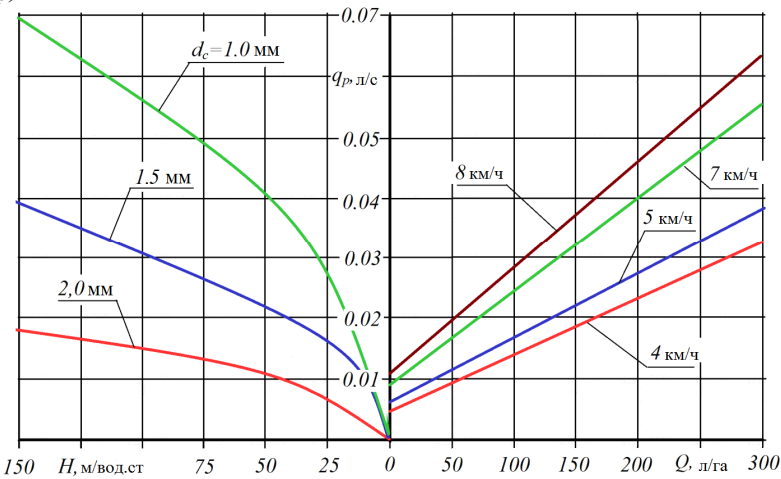


Рис. 2. Номограмма для определения давления рабочего раствора при входе в распыливающий наконечник

Номограмма позволяет определить необходимое давление рабочего раствора при входе в распыливающий наконечник для обеспечения установленной нормы внесения рабочего раствора при заданной скорости движения и диаметре распыливающего наконечника опрыскивателя. Так, например, при скорости движения $V_{\rm M}$ =5 км/ч и диаметре распыливающего наконечника опрыскивателя d_c =1.5 мм для обеспечения нормы внесения рабочего раствора, равной 100 л/га, давление рабочего раствора при входе в распыливающий наконечник должно быть не менее 25 мм/вод.ст.

Таким образом, отсутствие ряда кинематических пар и приводов дает возможность существенно упростить и удешевить конструкцию универсального вентиляторного опрыскивателя, а отсутствие в нем трущихся и движущихся деталей и узлов повышает его надежность. Полученные в ходе проведенных работ зависимости и построенная на их основе номограмма позволяет установить необходимую норму внесения рабочего раствора за счет регулировки давления рабочего раствора при входе в распыливающий наконечник опрыскивателя.

ЛИТЕРАТУРА

- [1] Никитин Н.В., Спиридонов Ю.Я., Шестаков В.Г. Научно-практические аспекты технологии применения современных гербицидов в растениеводстве. М.: РАСХН. ВНИИФ, 2010. 189 с.
- [2] Ахметов А.А., Юлдашев А.И., Камбарова Д.У. Обоснование количества форсунок универсального вентиляторного опрыскивателя // Сельскохозяйственные машины и технологии. 2019. Т. 13. N6.
- [3] Справочник конструктора сельскохозяйственных машин. М.: Машгиз, 1961. Т.2. 862 с.

Ташкентский государственный технический университет им. И.Каримова Ташкентский институт инженеров ирригации и механизации сельского хозяйства Дата поступления 16.01.2020

А.А. Ахметов, А.И. Юлдашев, Д.У. Қамбарова. Универсал пуркагичнинг чиқиш тирқишининг (сопло) диаметрини аниклаш

Серияда шилаб чиқарилаётган вентиляторли пуркагичларнинг камчиликларини бартараф этиш учун "Агрихим" құшма корхонасида универсал пуркагич лойиҳаланди. Унинг экинларга ишлов бериб ишлаш жараёни бошқариладиган ҳаво ва сув оқимлари асосида пуркагичнинг уқ чизиғига нисбатан 900 оралиқда (умумий ҳисобда 1800) барча ишлов бериш кенглиги буйича олинган. Олинган боғлиқликлар ва уларнинг асосида қурилган номограмма маълум бир ҳаракат тезлиги ва пуркагич учининг диаметри билан ишлайдиган эритманинг пуркагич учига кирганда босимни созлаш орқали ишчи эритмани киритиш учун зарур булган меъёрни урнатиш имконини беради.

A.A. Akhmetov, A.I. Yuldashev, D.U. Kambarova. Determination of the diameter that the outlet (Nozzle) of the spray tip of the universal sprayer

In order to eliminate the lack of serial fan sprayers, JV "Agrihim" has developed a universal sprayer that processes crops on the basis of controlled air-drop flows introduced simultaneously in the aisles ± 900 from the axis of symmetry of the sprayer (a total of 1800) along the entire perimeter of the processing zone covered by the entire width of the machine. The dependences and the resulting nomogram allows to set at a given speed and the diameter of the spray tip sprayer required application rate of the working solution by adjusting the pressure at the entrance of the working solution in the spray tip.

УДК 519.872

А.Ш. ФАЗИЛОВ, М.Р. МУСАЕВА, Ф.С. ИСЛАМОВА

РАЗРАБОТКА МАТЕМАТИЧЕСКОЙ МОДЕЛИ И ПРОГРАММНОГО КОМПЛЕКСА ДЛЯ ОПТИМИЗАЦИИ ОБРАБОТКИ ИНФОРМАЦИИ В ИНФОРМАЦИОННЫХ СИСТЕМАХ

Информационные системы (ИС) являются одним из эффективных средств обработки информации в системах коллективного пользования и широко используются в учрежденческих автоматизированных системах управления (АСУ), системах автоматизированного проектирования (САПР) и т.д. Широкое распространение ИС, прежде всего, обусловлено их высокой экономической эффективностью.

Однако во многом успех развития информационных вычислительных систем определяется их доступностью массовому пользователю, с одной стороны, и теми социально-экономическими последствиями, которые они вносят в гибкие автоматизированные комплексы в различных сферах человеческой деятельности, — с другой стороны. Поэтому выбор и оптимизация режимов доступа является важной составной частью задачи оптимизации процессов обработки информации в ИС.

Производительность и пропускная способность ИС определяются комплексом системно взаимосвязанных факторов:

- характеристиками технических средств (выбором компьютеров и рабочих станций, коммуникационного оборудования, операционных систем рабочих станций, серверов и их конфигураций и т. п.),
 - характером распределения и хранения информационных ресурсов,
 - режимами доступа в систему,
 - организацией распределенной обработки информации,
 - распределением файлов базы данных по серверам системы,
 - организацией распределенного вычислительного процесса,
- защитой, поддержанием и восстановлением работоспособности в ситуациях сбоев и отказов.

Таким образом, при проектировании очень важно определить области эффективного использования ИС при заданных ее параметрах. Решение такой задачи возможно на основе проведения системного анализа указанных факторов, характеризующих степень эффективности составных подсистем и компонент ИС. Одним из важных факторов, определяющих общую эффективность функционирования ИС, являются характеристики подсистемы доступа. В свою очередь, исследование характеристик различных режимов доступа и выбор наиболее оптимальных для конкретных режимов функционирования ИС и, соответственно, оптимизации режимов обработки информации при решении заданного класса задач, возможно путём разработки математических моделей этих процессов и организации имитационного моделирования с использованием средств вычислительного эксперимента.

Создание математической модели ИС для анализа ВВХ выполнено в две фазы.

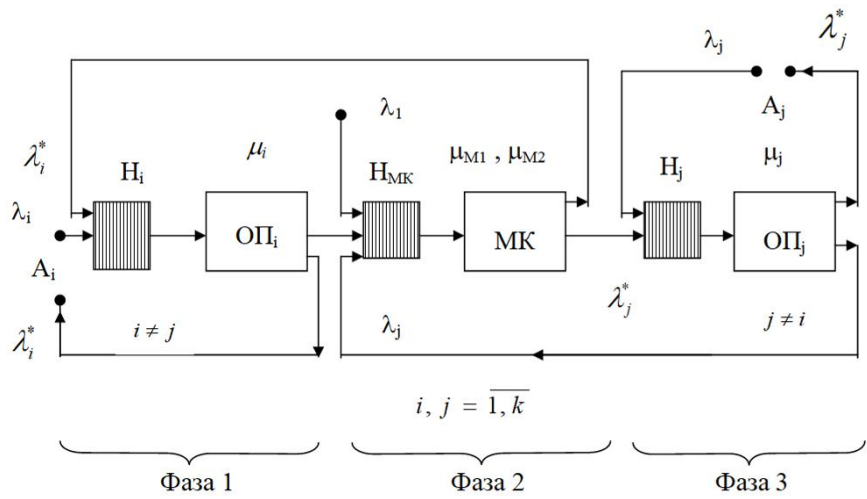
На первой фазе, на основе заданной конфигурации системы, характеристик источников заявок и их обработки, а также алгоритмов потокораспределения, построена математическая модель для определения коэффициентов нагрузки по всем маршрутам движения потоков в ИС. При этом в отношении характера законов распределения потоков и их обработки на элементах системы допускаются самые общие предположения, т.е. потоки заявок и их обработка могут иметь произвольные законы распределения вероятностей.

На второй фазе разработки математической модели, используя полученные значения коэффициентов загрузки по всем фрагментам ИС, формируется эквивалентная по средним модель

экспоненциальной системы массового обслуживания, на основе которой вычисляются ВВХ по всем необходимым маршрутам движения информации в ИС.

На основе функциональной схемы ИС необходимо перейти к ее представлению в терминах систем массового обслуживания, в результате получена модель массового обслуживания, которая отображает работу соответствующих абонентов. Особенность функционирования рассматриваемой ИС состоит в том, что каждый из абонентов может с одинаковой вероятностью связаться с любым другим.

Для построения математической модели выделим фрагмент, определяющий взаимодействие двух любых абонентов «абонента A_i и абонента A_j , $i\neq j$ » (рисунок). Для каждой фазы, исходя из условий экспоненциальности всей системы, можно получить следующие BBX: плотность распределения вероятностей времени пребывания заявки, ее математическое ожидание и дисперсию; плотность распределения вероятностей времени ожидания заявки, ее математическое ожидание и дисперсию; распределение вероятностей числа заявок, находящихся на обслуживании и ожидающих в очереди обслуживания, их математические ожидания и дисперсии; вероятности того что время доставки пакета превысит значения T доп; коэффициенты загрузки оборудования каждой фазы.



Фрагмент взаимодействия двух любых абонентов: «абонента A_i и абонента A_i і $\neq j$ »

Условия возникновения конфликта определяются динамически и зависят от числа заявок, ожидающих обслуживания в моноканале (СМОмк). Вероятность наступления конфликта определяется следующим образом:

$$P_{HK} = P(h \ge 3) - H , \qquad (1)$$

где $P(h \ge 3)$ – вероятность нахождения в CMOM трех или более заявок от всех абонентов, H – вероятность бесконфликтных ситуаций при условии, что в системе находятся три и более заявок.

Вероятность $P(h \ge 3)$ определяется на основе модели CMO M/M/1 с учетом того, что на входе имеем суммарный поток от всех абонентов, т.е.

$$P(h>3)=\rho^3,$$

где

$$\rho = \sum_{i=1}^k \rho_i , \ \rho_i = \frac{\lambda_i}{\mu_i}.$$

В результате анализа ИС с различным числом абонентов равна 3.

В силу независимости входных потоков заявок вероятность того, что в СМО находятся точно n_1 , n_2 , n_3 заявок от 1, 2, 3 абонентов, можно представить, как произведения отдельных составляющих, т.е.

$$P(n_1, n_2, n_3) = P(n_1)P(n_2)P(n_3).$$

Общее выражение H представляется в следующем виде:

$$H = \sum_{i=2}^{\infty} P_{1}(i) \cdot P_{2}(1) \cdot P_{3}(0) + P_{1}(1) \cdot \sum_{j=2}^{\infty} P_{2}(j) \cdot P_{3}(0) + P_{1}(0) \cdot P_{2}(1) \cdot \sum_{k=2}^{\infty} P_{3}(k) + P_{1}(0) \cdot \sum_{j=2}^{\infty} P_{2}(j) \cdot P_{3}(1) + P_{1}(1) \cdot P_{2}(0) \cdot \sum_{k=2}^{\infty} P_{3}(k) + \sum_{i=2}^{\infty} P_{1}(i) \cdot P_{2}(0) \cdot P_{3}(1) + P_{1}(0) \cdot P_{2}(0) \cdot P_{3}(0) + P_{1}(0) \cdot P_{2}(0) \cdot P_{3}(0) + P_{1}(0) \cdot P_{2}(0) \cdot P_{3}(k)$$

Поскольку
$$P_i(0) = 1 - \rho_I$$
, $i = \overline{1,3}$; $P_i(1) = (1 - \rho_I)\rho_I$, $i = \overline{1,3}$; $\sum_{i=R}^{\infty} P_i(j) = \rho_i^R$, $i = \overline{1,3}$

для СМО М/М/1, то

$$\begin{split} H &= \rho_i^2 (1 - \rho_2) \rho_2 (1 - \rho_3) + (1 - \rho_1) \rho_1 \rho_2^2 (1 - \rho_3) + (1 - \rho_1) (1 - \rho_2) \rho_2 \rho_3^2 + \\ (1 - \rho_1) \rho_2^2 (1 - \rho_3) \rho_3 + (1 - \rho_1) \rho_2 (1 - \rho_2) \rho_3^2 + \rho_1^2 (1 - \rho_2) (1 - \rho_3) \rho_3 + \\ \rho_1^3 (1 - \rho_2) (1 - \rho_3) + (1 - \rho_1) \rho_2^3 (1 - \rho_3) + (1 - \rho_1) (1 - \rho_2) \rho_3^3. \end{split}$$

Тогда составляющая коэффициента загрузки для моноканала от каждого i - го абонента можно определить следующим образом:

$$\rho_i = \lambda_i (1/\mu_{M1} + P_{VR} + P_{MK} \cdot \mu_{M2}), i = \overline{1, k}.$$

Таким образом, модель рассматриваемой ИС определена полностью и можно проводить всесторонний анализ вычислительной системы при различных исходных данных. Далее рассмотрена математическая модель ИС с произвольным числом абонентов. Анализ поведения вероятности бесконфликтных ситуаций при возрастании числа абонентов $\langle k \rangle$ показал, что значение H убывает и при k > 4 значением H можно пренебречь и тогда

$$P_{HK} = P(h \ge 3) = \rho^3 \tag{2}$$

При использовании (2) доля коэффициента загрузки в моноканале от і-го абонента определяется следующим образом:

$$\rho_i = \lambda_i \cdot (1/M_{M1} + P_{HK}/M_{M2}), \quad i = 1, k \text{ или } \rho_i = \lambda_i/M_{M1} + (\Lambda/M_{M1})^3/M_{M2}, \quad i = 1, k, \quad (3)$$

где $\Lambda = \sum_{i=1}^k \lambda_i$ — общая суммарная интенсивность потоков, поступающих на вход моноканала; k —

общее число входящих потоков в моноканал; $M_{\rm M1}$ – интенсивность обработки заявок всех абонентов в моноканале; $M_{\rm M2}$ – интенсивность обработки заявок в моноканале в случае возникновения конфликта.

Суммируя по всем элементам ρ_i , i=1, k,

$$\rho_{MK} = \sum_{i=1}^{k} \rho_{i}^{MK} = \frac{1}{M_{M1}} \sum_{i=1}^{k} \lambda_{i} + \frac{1}{M_{M2}} \left(\frac{\Lambda}{M_{M1}}\right)^{3} \sum_{i=1}^{k} \lambda_{i} \text{ или } \rho_{MK} = \frac{\Lambda}{M_{M1}} + \frac{\Lambda}{M_{M2}} \left(\frac{\Lambda}{M_{M1}}\right)^{3}. \quad (4)$$

В выражении (4) необходимо определить M_{M2} .

Вероятность того, что конфликт для данного сообщения произошел «*n*» раз, определяется показательным распределением

$$P_n = (1 - \Omega)\Omega^{n+2} \,. \tag{5}$$

На основании определения математического ожидания для дискретных случайных чисел найдено среднее время отсрочки

$$\begin{split} T_{omcp}(n) &= \frac{1}{2} \sum_{n=0}^{9} \left[\left(2^{n} - 1 \right) P_{n} \right] + \frac{2^{10} - 1}{2} \sum_{n=10}^{15} P_{n} \; ; \; \text{или} \\ T_{omcp}(n) &= \frac{1 - \Omega}{2} \sum_{n=2}^{9} \left[\left(2^{n} - 1 \right) \Omega^{n+2} \right] + 511.5 \sum_{n=10}^{15} \left(\Omega^{11} - \Omega^{16} \right); \end{split}$$

где $\Omega = \left(\sum \lambda_i\right)/M_{M1}$, тогда $M_{M2} = 1/T_{omcp}$.

Каждую из этих характеристик обозначим через $\Pi_m^{n_\phi}$, где $m=\overline{1,s}$ — номер показателя, а $n_\phi=\overline{1,3}$ — номер фазы. ВВХ для первой и третьей фаз могут быть определены на основе хорошо 118

изученной модели массового обслуживания типа M/M/1. При этом надо учитывать, что на вход каждого абонентского узла поступает поток с интенсивностью, который обрабатывается в абонентской станции с интенсивностью μ_i , $i = \overline{1, k}$

$$\lambda_i^{ex} = \lambda_i + \lambda_i^* \,, \tag{6}$$

гле

ния:

$$\lambda_i^* = \left(\sum_{r=1}^k \lambda_r\right) / (k-1), i = \overline{1, k}.$$

В силу экспоненциальности системы ВВХ первой фазы определяются следующим образом: $g_i^{1\phi}(t)$ – плотность распределения вероятностей времени пребывания заявки i - го абонента на первой фазе обработки:

$$g_i^{1\phi}(t) = \left(\mu_I - \lambda_i^{ex}\right) \exp\left[\left(1 - \lambda_i^{ex}\right) \cdot t\right],\tag{7}$$

 $u_{i}^{-1\phi}$ — среднее время пребывания заявки i - го абонента на первой фазе:

$$u_i^{-1\phi} = \left[\mu_I \left(1 - \lambda_i^{ex} \right) / \mu_I \right]^{-1}, \tag{8}$$

 $D_{g_i}^{1\phi}$ — дисперсия времени пребывания заявки i - го абонента на первой фазе:

$$D_{g_i}^{1\phi} = \left[\mu_I - \lambda_i^{ex}\right]^2,\tag{9}$$

 $f_i^{1\phi}ig(tig)$ – плотность распределения вероятностей времени ожидания заявки,

 $f_{\scriptscriptstyle i}^{\scriptscriptstyle 1\phi}(t)$ i - го абонента на первой фазе:

$$f_i^{1\phi}(t) = \left(\lambda_i^{ex} / \mu_I\right) \left(\mu_I - \lambda_i^{ex}\right) \exp\left[-\left(\mu_I - \lambda_i^{ex}\right)t\right],\tag{10}$$

 $w_i^{-1\phi}$ — среднее время ожидания заявки на первой фазе:

$$w_i^{-1\phi} = \frac{1}{\mu_i} \cdot \frac{\lambda_i^{ex} / \mu_i}{1 - \lambda_i^{ex} / \mu_i}, \tag{11}$$

 $D_f^{1\phi}$ — дисперсия времени ожидания заявки i - го абонента на первой фазе:

$$D_f^{1\phi} = (\lambda_i^{ex} / \mu_I)^2 (\mu_I - \lambda_i^{ex})^{-2}. \tag{12}$$

 $P_i^{1\phi}ig(nig)$ – распределение вероятностей числа заявок, находящихся на обслуживании на первой фазе:

$$P_i^{1\phi}(n) = \left(1 - \lambda_i^{ex} / \mu_I\right) \left(\lambda_i^{ex} / \mu_I\right)^n, \tag{13}$$

 $n_i^{-1\phi}$ — среднее число заявок в первой фазе:

$$n_i^{-1\phi} n_i^{-1\phi} = \left(\lambda_i^{ex} / \mu_I \right) \left(1 - \lambda_i^{ex} / \mu_I \right), \tag{14}$$

 $D_{n_i}^{1\phi}$ — дисперсия числа заявок в первой фазе системы:

$$D_{n_{i}}^{1\phi} = \left(\lambda_{i}^{ex} / \mu_{I}\right) / \left(1 - \lambda_{i}^{ex} / \mu_{I}\right)^{2}, \tag{15}$$

 $P_{i}^{*1\phi}(n)$ – распределение вероятностей числа заявок, ожидающих очередного обслужива-

$$P_{i}^{*1\phi}(0) = 1 - \lambda_{i}^{ex} / \mu_{I}; \quad P_{i}^{*1\phi}(n) = \left[1 - \left(\lambda_{i}^{ex} / \mu_{I}\right)\right] \left(\lambda_{i}^{ex} / \mu_{I}\right)^{n+1}, \text{ при } n \ge 1,$$
 (16)

 $\overline{U}_{\scriptscriptstyle i}^{\scriptscriptstyle 1\phi}$ — средняя длина очереди на первой фазе.

$$\overline{U}_{i}^{1\phi} = \left(\lambda_{i}^{ex} / \mu_{I}\right)^{2} / \left(1 - \lambda_{i}^{ex} / \mu_{I}\right), \tag{17}$$

 $D_{D_i}^{1\phi}$ – дисперсия длины очереди заявок на первой фазе:

$$D_{D_{i}}^{1\phi} = \left(1 - \lambda_{i}^{ex} / \mu_{I}\right) \sum_{k=1}^{\infty} k^{2} / \left(\lambda_{i}^{ex} / \mu_{I}\right)^{k+1} - \left(\lambda_{i}^{ex} / \mu_{I}\right)^{2} / \left(1 - \lambda_{i}^{ex} / \mu_{I}\right).$$
(18)

BBX второй фазы обработки определяется на основе модели массового обслуживания M/M/1, где входной поток представлен суммой всех «k» абонентов Λ , циркулирующих в ИС. Интенсивность входного потока второй фазы определяется следующим образом:

$$\Lambda = \sum_{i=1}^{k} (\lambda_i + \lambda_i^*) + \Lambda_{\text{вовие}} + \Lambda_{\text{извие}} . \tag{19}$$

Среднее время обработки пакета сообщения в моноканале $au_{_{_{_{\!\!\!_{\!\!\mathit{JKB}}}}}}^{\mathit{MK}}$ находится следующим образом:

$$\tau_{\mathfrak{K}}^{MK} = \frac{1}{\mu_{\mathfrak{K}}^{MK}} = \frac{\rho_{MK}}{\Lambda}, \quad \Lambda = \sum_{i=1}^{k} \lambda_{i}. \tag{20}$$

Имея в качестве исходных параметров для второй фазы обработки полученные значения « Λ » и « $\mu_{MK}^{_{3KB}}$ » и, используя для определения ту же модель массового обслуживания (M/M/1), что и для первой фазы, получим для второй фазы аналогичный набор BBX:

для первой фазы, получим для второй фазы аналогичный набор BBX:
$$g^{2\phi}(t), \overline{U}^{2\phi}, \overline{D}_{g_i}^{2\phi}, f^{2\phi}(t), \overline{w}^{2\phi}, D_{g_i}^{2\phi}, P^{2\phi}(n), \overline{n}^{2\phi}, D_{n_i}^{2\phi},$$
 где во всех выражениях BBX первой фазы μ_I меняется на $\mu_{MK}^{_{3K6}}$, а λ_I – на Λ .

Для третьей фазы обработки BBX определяются на основе все той же модели массового обслуживания M/M/1. В качестве исходных параметров здесь будут

$$\Lambda = \sum_{i=1}^{k} (\lambda_i + \lambda_i^*) + \Lambda_{\text{вовне}}$$
 и μ^* .

По аналогии с BBX, полученной на первой и второй фазах обработки, получим следующий набор показателей:

$$g^{3\phi}(t), \overline{U}^{3\phi}, \overline{D}_{g_i}^{3\phi}, f^{3\phi}(t), \overline{w}^{3\phi}, D_{g_i}^{3\phi}, P^{3\phi}(n), \overline{n}^{3\phi}, D_{n_i}^{3\phi}.$$

Необходимо заметить, что как для моноканала (вторая фаза), так и для сервера (третья фаза) входной поток представляет собой сумму всех циркулирующих в ИС потоков. Очевидно, что для сервера и моноканала нагрузка будет максимальная.

Имея полный набор BBX для каждой из трех фаз обработки, можно получить интегральные характеристики.

Поскольку моделью ИС является экспоненциальная система, то интегральные BBX для трех фаз маршрута «абонент A_i — абонент A_i » определяются следующими соотношениями:

$$\overline{\Pi}_{m}^{\Sigma}(i,j) = \overline{\Pi}_{m}^{1\phi}(i) + \overline{\Pi}_{m}^{2\phi} + \overline{\Pi}_{m}^{3\phi}(j), \tag{21}$$

для ВВХ, определяющих средние и дисперсии, где

 $\overline{\Pi}_{m}^{\Sigma}(i,j)$ – интегральный показатель, m – номер показателя;

 $\overline{\Pi}_{\scriptscriptstyle{m}}^{\scriptscriptstyle{\Sigma}}\!\left(\!i,j\right)\!-\!m\!-\!$ й показатель $n\!-\!$ й фазы обработки:

$$\overline{\Pi}_{m}^{\Sigma}(i,j) = \overline{\Pi}_{m}^{1\phi}(i) * \overline{\Pi}_{m}^{2\phi} * \overline{\Pi}_{m}^{3\phi}(j), \tag{22}$$

интегральный показатель для BBX, определяющих плотности распределения вероятностей и распределения вероятностей дискретных состояний, где * - знак композиции.

Определим интегральные показатели для всех трех фаз обработки.

Плотность распределения вероятностей времени пребывания заявки в системе:

$$g_{i}(t) = g_{i}^{1\phi}(t) * g_{i}^{2\phi}(t) * g_{i}^{3\phi}(t).$$
(23)

Среднее время пребывания заявки в системе:

$$\overline{u}_i = u_i^{1\phi} + u_i^{2\phi} + \overline{u}_i^{3\phi}. \tag{24}$$

Дисперсия времени пребывания заявки в системе:

$$Dg_{i} = Dg_{i}^{1\phi}(t) + Dg_{i}^{2\phi} + Dg_{i}^{3\phi}.$$
 (25)

Плотность распределения вероятностей времени ожидания заявки в системе:

$$f_{i}(t) = f_{i}^{1\phi}(t) * f_{i}^{2\phi}(t) * f_{i}^{3\phi}(t).$$
(26)

Среднее время ожидания обслуживания заявки в системе:

$$\overline{W}_i = \overline{W}_i^{1\phi} + W_i^{2\phi} + W_i^{3\phi} \,. \tag{27}$$

Дисперсия времени ожидания обслуживания заявки в системе:

$$Df_{i} = Df_{i}^{1\phi} + Df_{i}^{2\phi} + Df_{i}^{3\phi}. {28}$$

Распределение вероятностей числа заявок, находящихся на обслуживании:

$$P_{i}(n) = P_{i}^{1\phi}(n) * P_{i}^{2\phi}(n) * P_{i}^{3\phi}(n).$$
(29)

Среднее число заявок в системе:

$$\overline{n}_i = \overline{n}_i^{1\phi} + \overline{n}_i^{2\phi} + \overline{n}_i^{3\phi} \,. \tag{30}$$

Дисперсия числа заявок в системе

$$Dn_i = g_i^{1\phi} + g_i^{2\phi} + g_i^{3\phi}. \tag{31}$$

Средняя длина очереди:

$$\overline{D}_i = \overline{D}_i^{1\phi} + \overline{D}_i^{2\phi} + \overline{D}_i^{3\phi} \,, \tag{32}$$

$$D_{D_i} = D_{D_i}^{1\phi} + D_{D_i}^{2\phi} + D_{D_i}^{3\phi}. {33}$$

Выполнив операцию композиции для (23) и (26), получим следующие аналитические выражения:

ражения:
$$g_{i}(t) = k_{1} \cdot \exp\left[-\left(\mu_{I} - \lambda_{i}^{ex}\right) \cdot t\right] + k_{2} \cdot \exp\left[-\left(\mu_{M1} - \Lambda\right) \cdot t\right] + \exp\left[-\left(\mu_{M1} - \Lambda\right) \cdot t\right], \qquad (34)$$
где $k_{1} = \frac{\left(\mu_{i} - \lambda_{i}\right)\left(\mu_{M1} - \Lambda\right)\left(\mu_{M2} - \Lambda\right)}{\left[\left(\mu_{M1} - \Lambda\right) - \left(\mu_{i} - \lambda_{i}\right)\right]\left(\mu_{M2} - \lambda\right)}, \quad k_{2} = \frac{\left(\mu_{i} - \lambda_{i}\right)\left(\mu_{M1} - \Lambda\right)\left(\mu_{M2} - \Lambda\right)}{\left[\left(\mu_{i} - \lambda_{i}\right) - \left(\mu_{M1} - \Lambda\right)\right]\left(\mu_{M2} - \Lambda\right) - \left(\mu_{M1} - \Lambda\right)\right]},$

$$k_{3} = \frac{\left(\mu_{i} - \lambda_{i}\right)\left(\mu_{M1} - \Lambda\right)\left(\mu_{M2} - \Lambda\right)}{\left[\left(\mu_{i} - \lambda_{i}\right) - \left(\mu_{M2} - \Lambda\right)\right]\left(\mu_{M2} - \Lambda\right)},$$

$$f_{i}(t) = \frac{\lambda_{i}}{\mu_{i}} \cdot \frac{\Lambda}{\mu_{M1}} \cdot \frac{\Lambda}{\mu_{M2}} \cdot g_{i}(t). \qquad (35)$$

Для выражения (29)

$$P_{i}(n) = \sum_{j=0}^{k} P_{i}^{1\phi}(j) \cdot P^{2\phi}(k-j) \cdot P^{3\phi}(n-k).$$
 (36)

Остальные интегральные BBX полностью определены соответствующими выражениями (24), (25), (27) - (33).

Для получения вероятности того, что время доставки информации от абонента $\langle i \rangle$ к серверу превысит значение $T_{\partial on}$, определяется следующим образом:

$$P_{i}[t > T_{\partial on}] = 1 - \int_{0}^{T_{\partial on}} g_{i}(t)dt.$$

$$(37)$$

Таким образом, мы получили возможность вычислить BBX как для отдельных фаз обработки, так и для типовых маршрутов движения информации. Эти BBX позволяют провести полный анализ функционирования ИС и решить поставленную задачу оптимизации обработки информации в ИС.

Описанная аналитическая модель реализована как составная часть программной системы анализа ИС.

ЛИТЕРАТУРА

- [1] Авен О.И., Гурин Н.Н., Коган А.Я. Оценка качества и оптимизация вычислительных систем. М.: Наука, 1982.-349 с.
- [2] Сабинин О.Ю., Зверев В.В. Символьное имитационное моделирование технических систем //Приборы и системы управления. 1997. №3. С. 133–135.

Ташкентский архитектурно-строительный институт

Дата поступления 18.03.2020

А.Ш. Фазилов, М.Р. Мусаева, Ф.С. Исламова. Информацион тизимларда маълумотларни қайта ишлашни оптималлаштириш учун математик модели ва дастурий комплексини ишлаб чиқиш

Мақолада тасодифий кириш усули билан ахборотни қайта ишлаш тизимининг математик моделини ишлаб чиқилган. Математик моделни ишлаб чиқишда навбат тизими ва симуляция аппаратлари ишлатилган. Ишлаб чиқилган математик модел асосида ахборот тизимининг барча эҳтимоллик-вақт хусусиятлари аниқланади. Бу иунга ўхшаш ҳақиқий ахборот тизимларини ҳар томонлама таҳлил қилишга имкон беради. Ишлаб чиқилган математик моделдан ахборот тизимларида маълумотларни қайта ишлашни оптималлаштириш учун фойдаланиш мумкин.

A.Sh. Fazilov, M.P. Musaeva, F.S. Islamova. Development of mathematical model and complex software for optimization of information processing in information systems

The article discusses the development of a mathematical model of an information processing information system with a random access method. When developing a mathematical model, the apparatus of queuing systems and simulation was used. Based on the developed mathematical model, all probability-time characteristics of the information system are determined. This allows a comprehensive analysis of similar real information systems. The developed mathematical model can be used to optimize information processing in information systems.

УДК 624.042.7

н.а. нишонов

ИЗУЧЕНИЕ И АНАЛИЗ СОСТОЯНИЯ ТРУБОПРОВОДОВ ПРИ ЗЕМЛЕТРЯСЕНИЯХ В ЗАВИСИМОСТИ ОТ ГРУНТОВЫХ УСЛОВИЙ: ВЫВОДЫ И ПРЕДЛОЖЕНИЯ

Известно, что степень повреждения трубопроводов во время землетрясения зависит от целого ряда факторов: интенсивности сейсмического воздействия, геологических и гидрогеологических условий, эксплуатационно-технологических нагрузок и воздействий, конструкции трубопровода, характеристик материала труб, сроков его эксплуатации [1-3].

Грунты, окружающие подземные трубопроводы, не только являются источником сейсмического воздействия, но и участвуют в колебательном процессе совместно с самим трубопроводом. В зависимости от однородности и плотности окружающей трубопровод грунтовой среды, степени обводненности грунтов интенсивность проявления землетрясения и механизм взаимодействия сооружения с грунтом будут различными. В силу этого существенное значение приобретают эмпирические и экспериментальные исследования по анализу фактических данных о поведении подземных и надземных трубопроводов при сейсмических воздействиях.

Рассмотрим наиболее известные и разрушительные последствия от землетрясений на системы жизнеобеспечения, в частности, подземных трубопроводов с учетом условий окружающего их грунта.

В работе [3] дан анализ основных повреждений различных трубопроводов, обусловленных образованием трещин, более редкими переломами неметаллических труб и значительными повреждениями асбестоцементных труб малого диаметра. Разрушения подземных трубопроводов, в основном, были сосредоточены в местах, где плотные грунты холмистой части города сменялись мягкими, слагающими территорию равнинной части. Плотные грунты более благоприятны для труб, чем мягкие. Однако однородный мягкий грунт сравнительно более благоприятен, чем грунт с чередованием плотных и мягких, который приводит к его различным колебаниям в различных местах и является причиной больших повреждений трубопроводов. Кроме грунтовых условий, на степень повреждений трубопроводов при землетрясениях оказывает влияние глубина их заложения.

Во время землетрясения в районе Ниигата (Япония) в 1964 г. отмечались значительные деформации в толще грунтового массива. На поверхности земли образовались трещины и наблюдалось разжижение грунтов. Зафиксировано большое число повреждений на трубопроводах, расположенных параллельно направлению распространения сейсмических волн в виде значительных деформаций в местах тройниковых соединений, углов поворота и отводов. Основными причинами повреждений трубопроводов в твердых и перемежающихся, от плотных до мягких, грунтах служили неравномерные смещения грунтов вдоль трассы, в мягких намывных грунтах, в старом русле реки — выпучивание распределительных колодцев на водопроводной сети, а также осадка зданий вблизи трасс. При всех грунтовых условиях встречались разрывы труб по кольцевому сечению от действия продольных сейсмических сил, особенно трубопроводов, расположенных параллельно направлению распространения сейсмических волн (52%). В мягких намывных грунтах 75% от об-

щего числа повреждений произошло в результате изгиба трубопроводов вследствие значительных неравномерных просадок, выпучивания колодцев из-за песчаного основания.

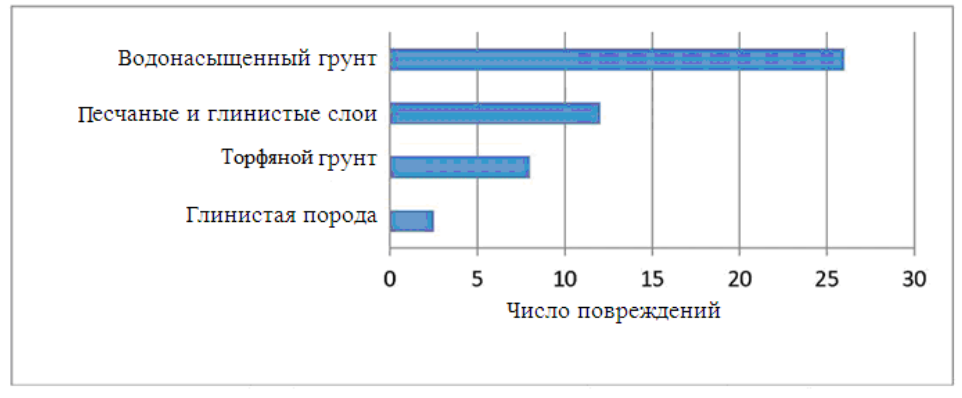
В префектуре Хеуго (Япония, 1995 г.) произошло катастрофическое землетрясение, эпицентр которого находился в северной части острова Аваджи. В результате землетрясения, несмотря на то, что многие здания и сооружения построены по современным стандартам, большая часть из них была разрушена. В их числе пострадали высокоскоростная автотрасса, мост высокоскоростной железной дороги, портовые постройки, а также множество сооружений систем жизнеобеспечения. Изучение последствий землетрясений в Хансин-Аваджи показало, что полимерные трубы меньше пострадали, чем металлические. Это дает основание рекомендовать в сейсмических районах использование труб из полимерных материалов. Ныне этот вопрос приобретает особую актуальность. Всюду указывается на меньшую аварийность полимерных трубопроводов при соблюдении технологии изготовления и строительства полимерных трубопроводов [4].

21 сентября 1999 г. землетрясение в Джей-Джей (Тайвань) вызвало масштабные повреждения в регионе. Системы жизнеобеспечения типа шоссе, мосты, телекоммуникации, трубопроводы систем газоснабжения и водоснабжения получили в отдельных случаях тяжелые повреждения и разрушения. Как установлено, около одной четвертой части трубопроводов газоснабжения были повреждены землетрясением вблизи эпицентра. Этот уровень повреждений также приблизительно соответствует одной четвертой разрушительных хозяйств. Основываясь на этой информации и более детальном отчете о размещении повреждений, выполнена оценка поведения подземных газопроводов. Результаты служат для выявления высоко поврежденных регионов в целях сейсмического районирования, которые полезны в будущем для предотвращения бедствий и аварий трубопроводов.

Со второй половины 2010 г. до конца 2011 г. в г. Крайстчерч (Новая Зеландия) были повреждены здания и системы жизнеобеспечения вследствие сильных землетрясений, прошедших очень близко к черте города. Они вызвали сильные колебания грунта, нанося огромный ущерб всему городу. 22 февраля 2011 г. землетрясение было особенно разрушительным. Широкое разжижение грунта в пригороде Крайстчерч, камнепады и наклон привели к разрушению не только десятка тысяч жилых зданий и земельных участков, но системы жизнеобеспечения и инфраструктуры примерно на одной трети площади города [5, 6].

Анализ последствий землетрясений показывает существенную взаимосвязь между уровнем разжижения и повреждением трубопроводной сети, а также то, что для всех материалов труб повреждения увеличиваются по его длине с увеличением уровня разжижения окружающего грунта. Для сталь (C), асбестцемент (AC) и других материалов труб процент поврежденных труб в зонах интенсивного разжижения был очень высоким – между 15 и 22%. Трубы из полимера (ПВХ) пострадали в два-четыре раза меньше, чем, трубы из C, AC и из других материалов.

Согласно данным о повреждении трубопроводов при землетрясениях [1–9], при малой интенсивности повреждения трубопровода в слабом грунте могут быть выше, чем при высокой интенсивности в жестком основании. Как установлено, на повреждения трубопроводов сильное влияние оказывают грунтовые условия, окружающий грунт, которые под воздействием землетрясения проявляются в виде активного разлома, разжижения, оползня и т.п. Бесспорно, что такие повреждения в результате сейсмических механизмов могли произойти только в конкретных геотехнических условиях и напрямую зависят от местности (рисунок).



Повреждения трубопроводов, проложенных в различных грунтовых условиях

Установление зависимости между интенсивностью сейсмического воздействия и удельной аварийностью подземных трубопроводов позволяет в соответствии с данными сейсморайонирования территории и характеристиками проложенных в ней трубопроводов провести заблаговременный прогноз возможной ситуации, дать оценку уровня возможной сейсмической опасности и разработать план управления сейсмическим риском.

Итак, анализ прошлых сильных землетрясений показал, что, помимо зданий и сооружений, существенные повреждения получают также и подземные трубопроводы. Избежать этих повреждений полностью невозможно, поскольку системы трубопроводов, функционирующие как единое целое, отличаются протяженностью по большой площади. Поэтому основные положения при размещении таких систем сводятся к трем следующим принципам [3]:

- применение методов по максимально возможной локализации повреждений при землетрясениях:
- предусматривание мероприятий, обеспечивающих легкое выполнение ремонта поврежденных землетрясением частей и участков;
- исключение возможности косвенных повреждений систем при сейсмических воздействиях.

В настоящее время системы трубопроводов считаются важными для жизнеобеспечения как в современных мегаполисах, так и в сельском хозяйстве. Следовательно, необходимо предусматривать специальные мероприятия по обеспечению сейсмостойкости таких важных объектов. Повреждения систем трубопроводов при землетрясениях сводятся к отклонениям в качественных показателях воды, загрязнению окружающей среды и повреждениям сооружений.

На основе результатов изучения рассмотренных материалов можно сделать вывод, что повреждения подземных трубопроводов в зависимости от грунтовых условий происходят, в основном, по нижеприведенным причинам, к которым выдвигаются предложения для предотвращения возможных разрушений трубопроводов при землетрясениях:

- 1. Несущая способность грунта при колебаниях снижается. Рыхлый мелкозернистый песок и песок при высоком уровне грунтовых вод при колебаниях теряет несущую способность на сдвиг. В связи с этим линии водопровода, имеющие большой собственный вес, испытывают осадки, а легкие канализационные трубы всплывают. Для предотвращения свайные фундаменты, которые не только повышают несущую способность, но и полезны для ограничения возможности самостоятельных перемещений отдельных труб и их разъединения. Если существует опасность разжижения песка, концы свай должны быть заглублены в неразжижающийся грунт. Кроме того, для прокладки линий трубопроводов в подобных грунтах необходимо использовать стальные и полимерные трубопроводы.
- 2. В связи с местным оползанием грунта трубы по отдельным площадям перемещаются вместе с грунтом и на границах отдельных участков возникают большие поперечные силы. Представляется невозможным запроектировать трубу так, чтобы предотвратить местные сдвиги грунта или воспринять возникающие при этом нагрузки. Поскольку местные сдвиги (скольжение) происходят в мягких грунтах, более целесообразно избегать такие грунты при прокладке ответственных магистральных линий. Когда это невозможно, рекомендуется применять стальные трубы со спиральными стыками через соответствующие расстояния и гофрообразные полимерные трубопроводы, которые способны работать на растяжение и сжатие.
- 3. Трубы выталкиваются в бок благодаря эксцентричному давлению грунта. Даже если это давление грунта воспринимается трубопроводом, в случае малопрочных труб происходит раздавливание от возникающих напряжений. Во время сейсмических воздействий активное давление грунта приходится на одну сторону трубы, в то время как реактивное давление действует с противоположной стороны. Когда равновесие нарушается, происходит перемещение трубы в одну сторону. При этом, однако, возможен сдвиг грунта по верхней поверхности трубы, и степень надежности ее работы существенно снизится. Поскольку такое явление нежелательно, следует предусматривать мероприятие по предотвращению нарушения равновесия грунта над верхней поверхностью трубы.
- 4. Когда жесткости грунта или трубопровода резко изменяются, в этих местах появляются большие местные осевые силы или изгибающие моменты. В этом отмечается влияние неоднородности грунта. Когда грунт неоднороден, при сейсмическом воздействии в разных точках на поверхности грунта, даже на сравнительно небольших площадях, возникают различные колебания. Эта неоднородность проявляется на поверхности грунта, а с увеличением глубины параметры ко-

лебаний уменьшаются. Это влияние особенно значительно для ускорений и менее существенно для скоростей и перемещений. Поэтому в местах неоднородных грунтов напряжения в трубопроводе от неравномерности параметров сейсмических колебаний будут значительны. В практике проектирования необходимо предотвращать разрушения труб от разрыва и раздавливания от сосредоточенных усилий путем устройства с определенным шагом деформационных швов. При землетрясении в Ниигата канализационные трубы, заглубленные в грунт на глубину 3 м, были разорваны на участки примерно 4-метровой длины, что является косвенным указанием на необходимый шаг деформационных швов. В тех случаях, когда трубопроводы присоединяются к смотровым колодцам, очевидно, что оба типа конструкций будут иметь резко отличающиеся колебания и существует опасность возникновения в соединениях сосредоточенных изгибающих моментов. В этих местах обычно устраняются швы. С их помощью, когда диаметр трубы не очень большой, удается избежать большой концентрации напряжений. Однако в бетонных трубах большого диаметра наблюдается резкое увеличение изгибающих моментов. Чтобы уменьшить влияние этих моментов, необходимо предусматривать в местах соединений бетонных труб с колодцами швы с возможно большими зазорами расширения и укорочения, которые могут свободно поворачиваться, а также усиливать сечения труб вблизи колодцев постановкой арматуры.

ЛИТЕРАТУРА

- [1] Рашидов Т.Р. Динамическая теория сейсмостойкости сложных систем подземных сооружений. Ташкент: Фан, 1973. 180 с.
- [2] Ташкентское землетрясение 26 апреля 1966 года. Ташкент: Фан, 1971. -672 с.
- [3] Окамото Ш. Сейсмостойкость инженерных сооружений. Пер. с англ. М.: Стройиздат, 1980. 342 с.
- [4] Shirozu T., Yune S., Isoyama R., Iwamoto T. Report on Damage to Water Distribution Pipes Caused by the 1995 Hyogo-ken-Nanbu (Kobe) Earthquake., Technical Report NCEER-96-0012. National Center for Earthquake Engineering Research, State University of New York at Buffalo. Buffalo; NY, 1996. P. 93–110.
- [5] Yang J., Yan X.R. Nonlinearity in seismic soil-structure interaction // Proceedings of the Intenational Conference on Performance-Based Design in Earthquake Geotechnical Engineering: Performance-Based Design in Earthquake Geotechnical Engineering. Tokyo, 2009. P. 469–472.
- [6] Cubrinovski M., Hughes M., O'Rourke T.D. Impacts of Liquefaction on the Potable Water System of Christchurch in the 2010-2011 Canterbury (NZ) Earthquakes // The 14th World Conference on Earthquake Engineering. China, 2008. Pdf. 06–0128.
- [7] Xie X., Symans M., O'Rourke M.J., Abdoun T.H., O'Rourke T.D., Palmer M.C., Stewart H.E. Numerical modeling of buried HDPE Pipelines subjected to strike-slip faulting// Journal of Earthquake Engineering. Vol.15. 2011. No.8. P. 1273–1296.
- [8] Chian S.C., Madabhushi S.P. Effect of buried depth and diameter on uplift of underground structures in liquefied soils // Soil Dynamics and Earthquake Engineering. Vol.41. 2012. –P.181–190.
- [9] HaD., Abdoun T.H., O'Rourke M.J., Symans M.D., O'Rourke T.D., Palmer M.C., Stewart H.E. Centrifuge modeling of earthquake effects on buried high-density polyethylene (HDPE) pipelines crossing fault zones.// Journal of Geotechnical and Geoenvironmental Engineering, Vol. 134, 2008. No.10. P. 1501–1515.

Институт механики и сейсмостойкости сооружений им. М.Т. Уразбаева АН РУз

Дата поступления 20.05.2020

H.A. Нишонов. Зилзилада қувурлар холатининг грунт шароитига боглиқлигини ўрганиш ва тахлил килиш: хулосалар ва таклифлар

Мақолада булиб утган қучли зилзилалар оқибатларини урганиб, ер ости қувурларининг зарарланиш даражаси атрофидаги грунт шароитига боглиқлиги таҳлил қилинган. Зилзила оқибатида зарарланиш даражаси урганилиб, грунт шароитига боглиқ ҳолда қувурларда буладиган зарарланишларни камайтириш учун тавсиялар келтирилган.

N.A. Nishonov. Studying and analyzing the state of pipelines during earthquakes depending on soil conditions: conclusions and suggestions

In the article studies the consequences of past earthquakes, analyzes the dependence of the degree of damage to the underground pipeline in the surrounding soil. Recommendations are given to reduce the damage to underground pipelines depending on soil conditions, based on the study of the effects of earthquake.

Ч.С. РАУПОВ, У.Б. БЕКМУРОДОВ

ОБЛАСТЬ РАЦИОНАЛЬНОГО ПРИМЕНЕНИЯ РАЗЛИЧНЫХ СИСТЕМ МОСТОВ НА СКОРОСТНЫХ И ВЫСОКОСКОРОСТНЫХ МАГИСТРАЛЯХ

В мостостроении немаловажное место занимают вопрос температурного интервала и условия внешней среды, а именно: при каких погодных и температурных условиях будет эксплуатироваться рассматриваемое мостовое сооружение [1–6]. Эти факторы оказывают существенное влияние на прочность и срок службы мостов. При расчете конструкций, не защищенных от воздействий солнечной радиации, КМК 2.01.01-94 рекомендует средние суточные температуры наружного воздуха в теплое (t_{ew}) и холодное (t_{ec}) время года определять по следующим формулам:

$$t_{ew} = t_{VII} + \Delta_{VII} \,, \tag{1}$$

$$t_{ec} = t_I + \Delta_I \,, \tag{2}$$

где t_I , t_{VII} — многолетние средние месячные температуры воздуха в январе и июле, для Узбекистана соответственно — 15 и 45°С; Δ_I , Δ_{VII} — отклонение средних суточных температур от средних месячных, для Узбекистана Δ_I = 10°С, Δ_{II} = 6°С.

Общая закономерность изменения температуры воздуха за период наблюдений совпадает с закономерностью изменений среднемесячной температурый воздуха по КМК 2.01.01.- 97 (рис. 1).

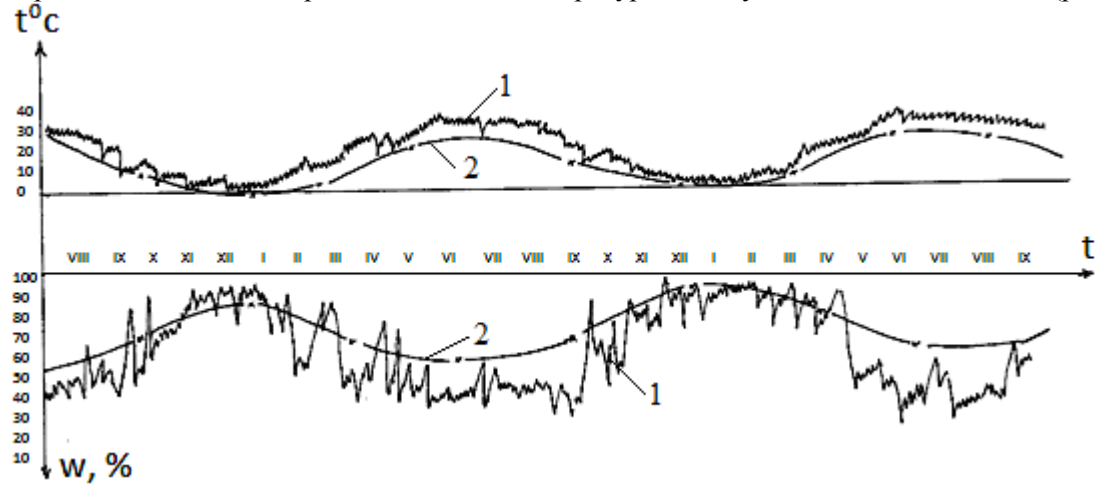


Рис. 1. Изменение температуры и влажности воздуха: I—фактическая температура, (°C) и влажность воздуха (%); 2 — среднемесячные изменения температуры и влажности воздуха по КМК 2.01.01-97

Узбекистан, известный своим резко континентальным климатом, что говорит о большом температурном интервале от -20 до $+55\,^{0}$ С, имеет на своём счету порядка 900 мостовых сооружений, отвечающих вышеперечисленным условиям. Из них 40% мостов являются железнодорожными. Большую часть из них (90%) составляют железобетонные мосты, остальные 10% занимают металлические и сталежелезобетонные мосты. Количественное преимущество железобетонных мостов объясняется конструктивной жёсткостью и долговечностью по сравнению с металлическими и сталежелезобетонными мостами. Возникающие температурные деформации железобетонного элемента при этом можно вычислять по формуле

$$\varepsilon_{bt} = \alpha_{bt} (t_b' - t_b), \tag{3}$$

где α_{bt} – коэффициент температурной деформации бетона; $t_b^{'}$ и t_b – температуры бетона соответственно в наиболее жаркое и холодное время.

По опытным данным опытов можно отметить, что от повышения температуры железобетонный элемент удлиняется на некоторую величину, которая меньше, чем удлинения арматуры. Деформации железобетонного элемента в таких условиях близки к деформациям бетона. Согласно "Рекомендациям по проектированию бетонных и железобетонных конструкций для жаркого климата", удлинение оси элемента и ее кривизну $(l/r)_t$ от нагревания до расчетной летней температуры

наружного воздуха определяют как для бетонного элемента соответственно по следующим формулам:

$$\varepsilon_t = \Delta t_w \cdot \alpha_{bt} \cdot \gamma_t \,, \tag{4}$$

$$(1/r)_t = \frac{v_w \cdot \alpha_{bt}}{h} \gamma_t. \tag{5}$$

При расчете железобетонных конструкций для длительного повременного нагревания до расчетной летней и охлаждение до расчетной зимней температуры наружного воздуха изменение длины оси элемента ε_{tcs} и ее кривизну $(l/r)_{tcs}$ под воздействием температуры и усадки бетона определяют:

- в теплое время года соответственно по формуле

$$\varepsilon_{t,cs} = (\Delta t_w \cdot \alpha_{bt} - \varepsilon_{cx}) \cdot \gamma_t, \tag{6}$$

- в холодное время года соответственно по формуле

$$\varepsilon_{t,cs} = (\Delta t'_{w} \cdot \alpha_{bt} - \varepsilon_{cx}) \cdot \gamma_{t}, \tag{7}$$

где Δt_w — нормативное изменение во времени средней по сечению элемента температуры в теплое время года; Δt_w — то же в холодное время года; α_{bl} — коэффициент температурной деформации бетона; ε_{cs} — укорочение оси элемента от усадки бетона.

На рис. 2 показаны различные системы железобетонных мостов, используемых в условиях Республики Узбекистан.

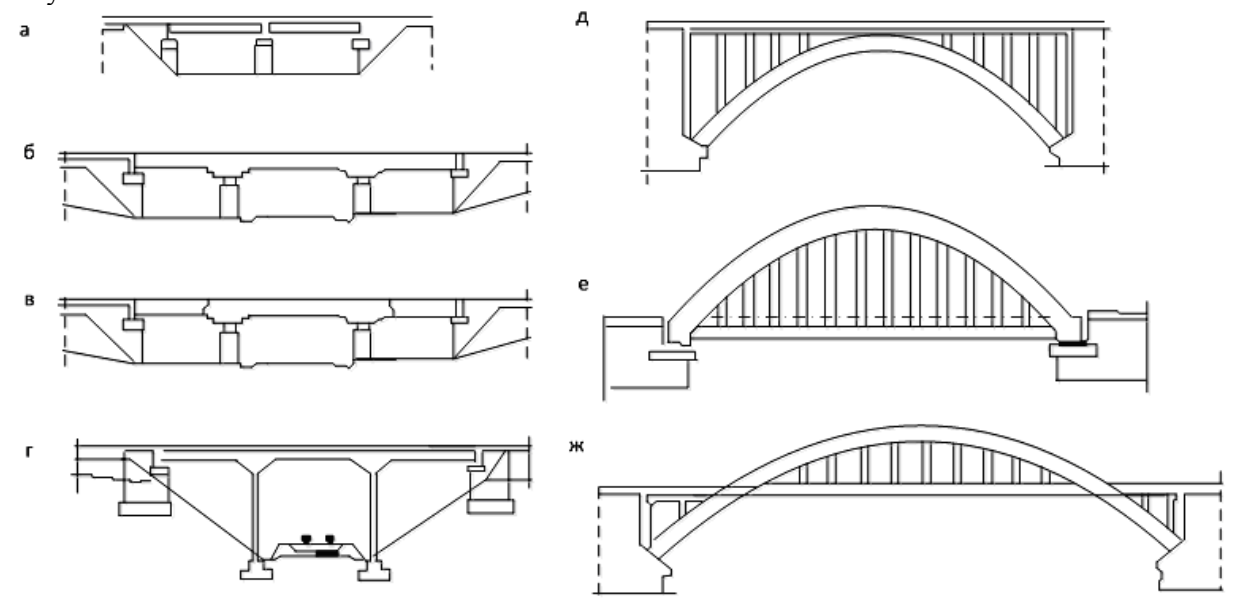


Рис. 2. Железобетонные мосты различных систем: a – балочные разрезные; δ – неразрезные; ϵ – консольные; ϵ – рамные; δ – арочные с ездой поверху; ϵ – с ездой понизу; ϵ – с ездой посередине

Среди железобетонных мостов наиболее многочисленны балочные малых и средних пролетов. Наряду с разрезными (рис. 2, a) распространены, хотя и менее, неразрезные и консольные пролетные строения (рис. 2, δ и ϵ) с целью увеличения пролетов при минимальной строительной высоте балок.

Уменьшение строительной высоты достигается также применением рамных мостов (рис. 2, *г*). В них опоры составляют одно целое с пролетным строением, благодаря чему уменьшается не только высота пролетного строения, но и толщина опор.

Балочные и рамные мосты с увеличением пролетов получаются все более громоздкими и неэкономичными. Устройство ферм вместо балок сокращает расход материалов и снижает массу пролетных строений, но сложнее. Разрабатывались проекты различных пролетных строений с фермами для пролетов 33—110 м. Некоторые из них пролетом до 66 м осуществлены и эксплуатируются, но распространения не получили, уступая сталежелезобетонным пролетным строениям.

Большие пролеты до 200 м и более в железобетонных мостах перекрывают арочными пролетными строениями (рис. 2, д, е, ж) с ездой поверху, понизу и посередине.

Во всех мостах перечисленных видов, исключая рамные, опоры сооружают каменные, бетонные, в том числе с использованием железобетона для подферменников, подферменных плит, свай и ростверков, а также целиком железобетонные.

В рамных мостах из железобетона выполнены и сами опоры, поскольку они составляют одно целое с пролетными строениями. Железобетонные опоры широко применяют для путепроводов, где по условиям подмостового проезда, как правило, недопустима большая толщина опор, неизбежная при бетонной и бутовой кладке из-за их малого сопротивления растяжению [1].

По своим техническим особенностям железобетонные мосты принимаются балластными (рис. 3) и безбалластными (рис. 4).

Опыт эксплуатации мостовых сооружений показывает, что стабильность пути на мосту и подходах при мостовом полотне с ездой на балласте выше, чем при безбалластном. По сравнению с подходами жесткость пути на мосту с ездой на балласте выше в среднем в 1.5 раза и более чем в 2.5 раза при езде по железобетонным плитам безбалластного мостового полотна (БМП). Тем не менее, стабильность пути на подходах к мостам с безбалластным полотном может быть обеспечена при наличии участков переменной жесткости.

Мостовое сооружение, объединенное бесстыковым путем, работает как единая система мост - бесстыковой путь (МБП), причем элементы системы активно взаимодействуют между собой, чем достигается перераспределение усилий внутри системы, зависящее как от параметров её элементов, так и от характера связи между ними.

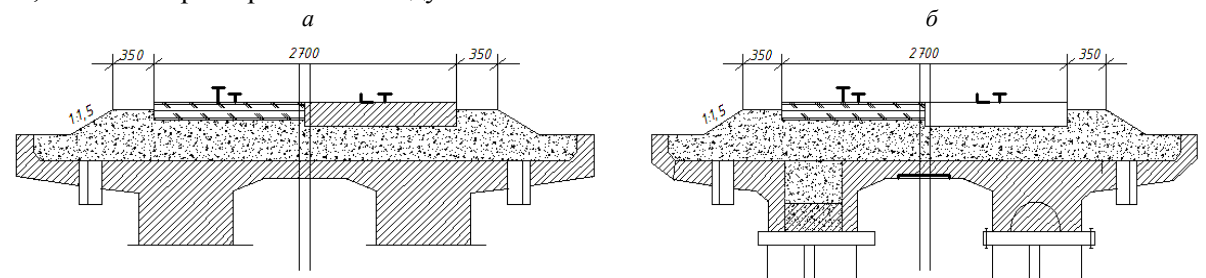


Рис. 3. Типы конструкций мостового полотна железнодорожных мостов: a — на железобетонных пролетных строениях с ездой на балласте и деревянных шпалах; δ — то же на железобетонных шпалах

Мост как основание для бесстыкового пути существенно отличается от земляного полотна повышенной деформативностью конструкций под действием внешних факторов (температурных и силовых), вследствие чего в рельсах пути на мосту появляются дополнительные усилия, отсутствующие в рельсах бесстыкового пути на земляном полотне.

Напряжённое состояние рельсов вне моста определяется, как известно, сосредоточенными давлениями колёс подвижного состава и возникающими температурными силами вследствие изменения температуры рельса в зависимости от температуры закрепления плети на шпалах до текущей температуры. Указанные продольные усилия в рельсах бесстыкового пути относятся к основным.

Дополнительные усилия в рельсах бесстыкового пути на мосту, в основном, обусловлены:

- деформативностью мостовых конструкций вследствие изменений температуры окружающего возлуха:
 - деформативностью мостовых конструкций под действием временных вертикальных нагрузок;
- горизонтальными воздействиями поездной нагрузки вдоль оси пути (силами тяги или торможения).

Рассмотрим подробнее факторы, вызывающие появление напряжений в рельсах в период эксплуатации бесстыкового пути на мосту. Это, прежде всего, факторы, общие для пути на земляном полотне и на мосту.

Изучены температуры рельсовой плети от температуры закрепления рельса на шпалах t_3 до текущей температуры t (в интервале Δt_p). В этом случае температурные осевые напряжения σ_t можно определить из зависимости

$$\sigma_t = \alpha_t \cdot E \cdot \Delta t_p \,, \tag{8}$$

где σ_t – коэффициент температурного расширения; E – модуль упругости стали.

В нормах на укладку и содержание бесстыкового пути [5] приведены наибольшие и наименьшие значения температур рельсов, возможные для различных регионов Узбекистана (соот-

$$\Delta t_p = t_{max} - t_3; \ \Delta t_p = t_3 - t_{min}. \tag{9}$$

При отсутствии отступлений от норм содержания рельсовой колеи прохождение высокоскоростным поездом мостов не оказывает влияния на плавность его хода. Динамическая добавка к напряжениям в элементах моста независимо от рода езды находится на уровне нормативной величины [6].

В случае с нагрузкой от температуры, которая, как правило, вызывает большие смещения (свыше 0.5 мм или 2 мм), щебеночный балластный слой на мосту проваливается на многих участках. При этом расчетные нагрузки от температуры, торможения и прогиба рассчитываются и налагаются соответственно каждый для себя с нагруженным или ненагруженным щебеночным балластным слоем. При нагрузках от торможения (и прогибания) в результате движения транспорта ненагруженное состояние сменяется нагруженным. При этом напряжения в рельсах иногда получают завышенную оценку, а усилия на опоре, тем не менее, не всегда учитываются так, как это соответствует действительности. Тем самым верхнее строение пути не включается в отвод нагрузок, а опоры испытывают повышенную нагрузку. Стальные массивные мосты без уравнительных стыков рельса возможны и при более высоких параметрах абсолютной деформации растяжения. Сведения о максимальной абсолютной деформации растяжения (60 м—для стальных мостов, 90—м для бетонных и комбинированных мостов) представляют собой зарекомендовавшие себя на практике значения, которые должны надежно учесть факторы влияния, обусловленные температурой, троганием с места и торможением, а также, естественно, и конструкцией пролетного строения (конструктивная высота, выступ строительного сооружения) наряду с различными параметрами рельса.

За счет точного ведения документации о подтверждении соответствия требованиям можно отказаться от уравнительных стыков рельса и на длинных мостах. Как правило, здесь можно обеспечить дополнительную длину порядка от 12 до 20 %.

Вместе с тем содержание пути в требуемых показателях перед мостами с безбалластным полотном включает большую долю ручного труда. При этом отметки головки рельса на мосту с пли-

тами БМП жестко зафиксированы, что затрудняет выравнивание пути на подходах. При езде на балласте обслуживание пути на мосту и подходах может производиться в едином технологическом комплексе [3].

Основным преимуществом балластного пролётного строения является то, что верхнее строение пути и мост работают как одна система. Это проявляется равномерным распространением динамической нагрузки по сравнению с БМП. Однако статическая нагрузка является недостатком данной конструкции.

Безбалластное мостовое полотно на железобетонных плитах предназначено для применения на металлических пролетных строениях эксплуатируемых и вновь строящихся железнодорожных мостов, расположенных на прямых участках пути с уклоном 8‰ и менее в районах с расчетной сейсмичностью не более 7 баллов [2].

Безбалластное мостовое полотно на железобетонных плитах обладает высокой ста-

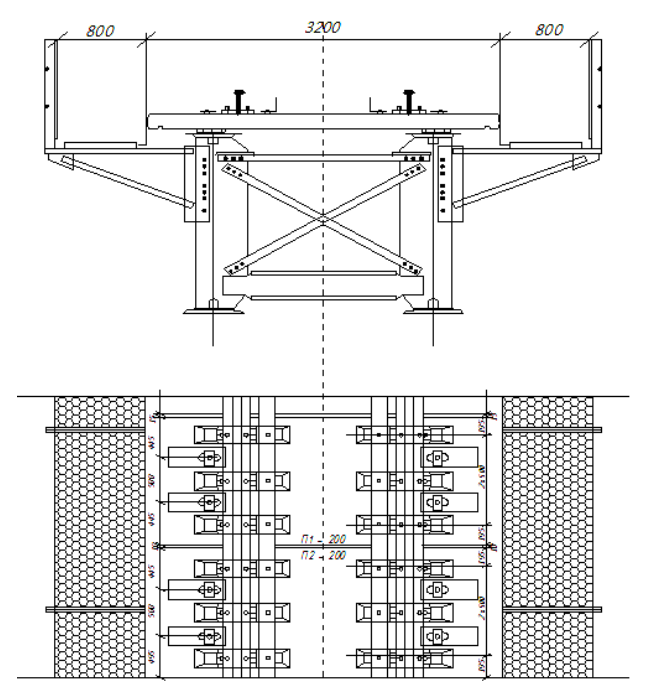


Рис. 4. Вид безбалластного пролётного строения

бильностью положения элементов, имеет длительный срок службы, предохраняет от загрязнения и коррозии верхние пояса балок и связи между ними, дает возможность заменять мостовое полотно на деревянных поперечинах без подъемки или опускания пути на подходах, обеспечивает безопасный проход по мосту колесных пар в случае схода с рельсов, является экономичным по суммарной стоимости изготовления, укладки и эксплуатации в течение срока службы моста.

На эксплуатируемых мостах безбалластное мостовое полотно на железобетонных плитах

целесообразно укладывать вместо полотна на деревянных поперечинах при его сплошной смене, если в течение ближайших 10–15 лет не предполагается замена пролетного строения [4].

Преимуществами безбалластных (рис. 4) пролётных строений перед балластными является:

- их использование на мостах с внеклассовой длиной в 500 м и выше, так как вес всей конструкции будет значительно меньше по сравненнию с балластным пролётным строением;
- обязательная бесстыковая прокладка рельсов, позволяющая поезду проходить по мосту с высокой скоростью (для ВСМ);
 - совместимость работы с пролётными строениями.

Влияние на конструкцию и на расчет размеров безбалластных путей на мостах оказывает в основном способ сооружения безбалластных путей.

Поэтому по соображениям технологии строительства, а также технического обслуживания целесообразно применить сквозной способ сооружения безбалластных путей от свободного участка по мосту, не меняя способ сооружения. Тем не менее, наряду с отводом продольных усилий для применения безбалластного пути на мостах решающее значение имеет переход между мостом и свободным участком, а также между пролетами моста. Вследствие этого определяющим фактором для использования на мостах является, как правило, длина моста.

По вышеизложенному можно сделать вывод, что для ВСМ Узбекистана по всем климатическим и температурным условиям соответствуют железобетонные мостовые сооружения рамочного типа, так как такой тип мостовых сооружений более жёсткий и экономичный. Эти две характеристики играют важную роль при повышении скорости движения поездов в связи с возрастанием динамических нагрузок.

ЛИТЕРАТУРА

- [1] Савин К.Д. Искусственные сооружения. М.: Транспорт, 1977. 153 с.
- [2] СНиП 2.05.03-84. Мосты и трубы / Минстрой России. М ГП ЦПП,1996.— 214с. [3] Богданов Г. И. Смирнов В. Н. Железобетонные мосты. Спб.: ПГУПС, 2005. 127 с.
- [4] Овчинников А.Н., Расулев А.Ф., Фозилов З.Т. Скоростное и высокоскоростное движение на железных дорогах Узбекистана // Журнал «Путь». М. 2012. – 5 с.
- [5] Технические указания по устройству, укладке, содержанию и ремонту бесстыкового пути. М.:Транспорт, 2000. 96с.
- [6] Смирнов В. Н. Расчёт мостов высокоскоростных железнодорожных магистралей на продольные силы. Спб.: Петербургский государственный университет путей сообщения, 2013. – 65 с.

Ташкентский институт инженеров железнодорожного транспорта

Дата поступлания 19.03.2020

Ч.С. Раупов, У. Б. Бекмуродов. Тез ва юқори тезюрар магистралларда турли хил кўприк тизимларидан оқилона фойдаланиш.

Тезюрар темир йўл магистраллари учун турли хил кўприк тизимлари конструкцияларидан оқилона фойдаланиш тахлили асосида, сунъий иншоотлар параметрларининг иқлим ва минтақавий шароитга боглиқлиги олинди. Кўприк иншоотларининг турли хил темирбетон тизимлари, уларнинг техник параметрлари ва динамик юкларнинг ортишига боглиқ холда тезликнинг ошиб боришига мос хусусиятлари кўриб чиқилди. Қурилиш технологияси ва техник хизмат кўрсатиш сабабларига кўра, қурилиш усулини ўзгартирмасдан, кўприкнинг бўш қисмидан иншоотнинг балластсиз йўлларни қуриш усулидан фойдаланиш аниқланди.

Ch.S. Raupov, U.B. Bekmurodov. Area of rational application of various systems bridges on high-speed and highspeed highways.

Based on the analysis of the rational use of bridge structures of various systems for high-speed railways, the dependences of the parameters of artificial structures are obtained, both for climatic and regional conditions. Various systems of reinforced concrete bridge structures, their technical parameters and corresponding characteristics with increasing speed in connection with an increase in dynamic loads are considered. For reasons of construction technology, as well as maintenance, the use of an end-to-end method of constructing ballastless tracks from a free section of a bridge without changing the construction method was revealed.

У.З. ШЕРМУХАМЕДОВ, Х.А. БАЙБУЛАТОВ, О.Т. ИСМАИЛОВ, У.Ю. ХАМДАМОВ

СИРДАРЁ ВИЛОЯТИДАГИ ХАЛҚАРО АХАМИЯТГА МОЛИК АВТОМОБИЛЬ ЙЎЛЛАРИДАГИ КЎПРИКЛАРДА ТАБИИЙ ВА ТЕХНОГЕН ХАЛОКАТЛАР ОКИБАТЛАРИНИНГ ДИАГНОСТИКАСИ

БМТ статистик маълумотларига кўра хозирги вақтда афсуски, деярли ер юзининг барча регионларида табиий ва техноген халокатларнинг барқарор ўсиш тенденцияси мавжуд. Шу билан бирга, зилзилалар, тошкинлар, тўфонлар, тоғ кўчкилари ва селлар, табиий ёнғинлар ва шу каби табиий офатларнинг ўзи ўта хавфли бўлибгина колмай, одатда, улар билан бир вақтда содир бўладиган ва талофот кўрган регионлар иктисодиётга улкан ижтимоий ва иктисодий зарар келтирадиган бир катор бошқа фавкулодда вазиятларни келтириб чиқарувчи омил бўлади.

Ушбу ачинарли статистикага инсониятнинг энергетик объектларни асосли жойлаштириш, худудлардан номакбул фойдаланиш, объектларни лойихалаш ва куришда, табиий ва ер ости ресурсларини казиб олиш, улардан фойдаланишда йўл кўйилган хатолар билан боглик бўлган, хамда узокни кўзламасдан, чукур ўйламасдан нотўгри олиб борилган хўжалик фаолияти натижасида содир бўлган бир катор техноген халокатлар хам кўшилмокда.

Афсуски, Республикамиз табиий ва техноген ҳалокатлар таҳликаси борасида бундан истисно эмас. 2020 йил Бухоро ва Сирдарё вилоятларида юз берган воқеалар кўрсатишича, регионимизнинг юқори сейсмиклиги, тоғ ҳудудларидаги сел ва кўчки ҳавфлари билан биргаликда бўронли шамолларни, атмосфера ёгинларни ва сув тошқинларнинг ҳам ҳавфи мавжуд.

Юкорида айтиб ўтилганларга мувофик табиий ва техноген характерга эга фавкулодда вазиятларни камайтиришга оид глобал масалалар, ушбу таҳликаларни бошқариш муаммолари ўта долзарб ва ҳаётий муҳим деб ўйлаймиз.

Хозирги вақтда дунё фанлари планетамизда содир бўлаётган табиий катаклизмаларни нафақат олдини олишга, балки аник содир бўлиш вақти, жойи ва кучини олдиндан айтиб беришга кодир эмас. Дунёдаги илмий амалиётда, табиий ҳалокатли ҳодисалар (масалан, зилзила ва шу кабилар) башорати соҳасидаги тадқиқотлардан деярли бутунлай воз кечилган. Уларни узоқ муддатли ва ўрта муддатли башорати борасида олиб бориладиган тадқиқотлар булардан самаралироқ ҳамда ҳақиқий илмий ва амалий аҳамиятга эга.

Инсониятнинг узокни кўзламасдан, илмий-амалий жихатдан нотўғри олиб борилган хўжалик фаолияти келтириб чикарган фавкулодда техноген вазиятларга нисбатан муносабат бир мунча бошкача бўлади. Бунда инсоният келиб чикиш омилларига маълум даражада таъсир эта олмайди, табиий халокатлардан фаркли ўларок, техноген фавкулодда ходисалар (энергетик объектларни асосли жойлаштириш, худудлардан номакбул фойдаланиш, объектларни лойихалаш ва куришда, табиий ва ер ости ресурсларини казиб олиш, улардан фойдаланишда ва бошка йўл кўйилган хатолар билан боғлик) хозирги замон илм-фан ва технологияларни ривожланиш даражаси уларнинг олдини олдишга имкон яратади.

Шу билан бирга, ҳам табиий, ҳам техноген катаклизмаларга нисбатан потенциал хавф-хатар натижасида келиб чиқадиган зарар ва талофотларни анчагина камайтирувчи илмий-техник, бошқарув ва ташкилий принциплари, табиий ва техноген таҳликаларга қарши ҳимоя чораларнинг бутун бир мажмуасини амалга ошириш назарда тутилмокда.

Ушбу тахдидлар тахликасининг даражаси (мантикка зид бўлса ҳам) технологияларни, шахарларни ва бошка аҳоли яшаш жойларини ривожланиши билан ортиб боради. Аммо дунёдаги жуда катта Фавкулодда Ҳолат (Φ X) окибатларини ўрганиш натижалари шуни кўрсатадики, агар ҳудудларда олдиндан потенциал таҳликани баҳолаш ишлари, ва уни камайтириш борасида тегишли режалар ва чоралар амалга оширилганда, аҳоли орасидаги курбонлар сони ва моддий зарар микдорини анча камайтириш мумкин эди. Шунда тадқиқотлар ва Φ X таҳликасини камайтиришга доир олдини олувчи чораларнинг сарф-харажатлари бу ҳодисалар окибатларини бартараф этишга кетадиган харажатлардан бекиёс кичик бўлади.

Юкорида қайд этилганларга Республикамизнинг Бухоро ва Сирдарё вилоятларида жорий йилда булиб ўтган ходисалар яна бир ишончли исбот булиб хизмат қилади.

Юқорида келтирилган маълумотларга асосан табиий ва техноген характерга эга ФВ тахликасини камайтириш, қайд этилган худудларда шу тахликаларни бошқаришга оид глобал масалалар, айниқса долзарб ва мухим ҳаётий аҳамиятга эга деб айтиш мумкин.

Хозирги глобаллашган дунё иктисодиётида транспорт логистикаси тизимининг ахамияти жуда хам каттадир. Алохида олинган бир давлатнинг ёки дунё микёсида олинган логистика тизимини товарлар ёки хизматлар харакатланаётган кон томирларига киёсласа бўлади. Хозирги замон талабларига жавоб берадиган, замонавий логистика тизимининг канчалик ривожланганлиги мамлакат ривожининг белгиларидан биридир. Логистика тизимининг асосий кисми сифатида темир ва автомобил йўлларини, бу йўлларда курилган кўприкларни, тоннелларни ва бошка сунъий иншоотларни кўрсатиб ўтишимиз мумкин.

Таъкидлаб ўтиш жоизки, Ўзбекистон Республикасида эксплуатация килинаётган кўприк иншоотларининг кўпчилиги 1960–1970 йилларда курилганлигини айтиб ўтиш лозим. Шу даврда Фарғона водийси, Сирдарё, Жиззах, Навоий, Бухоро вилоятларида ва Республикамизнинг бошка регионларида юкори жадаллик билан экин ерларини ўзлаштириш ишлари олиб борилган эди. Тахминан шу давр мобайнида иккинчи жахон урушидан аввал ёки бевосита урушдан сўнг курилган кўприклар кайта курилди. Яъни умумий фойдаланиш йўлларида эксплуатация килинаётган кўприкларни деярли 70 % нинг хизмат муддати 40 йилдан ортик, ва уларнинг холати асосан қониқарли даражада эмас.

Ўзбекистон Республикаси автомобиль йўлларидаги кўприк иншоотларининг кўпчилиги (36% ортиғи) қониқарсиз, авариявий ёки авария олди холатдадир. Автомобиль йўлларидаги кўприк иншоотларнинг бундай фожиали холатининг сабаби кўприкларнинг хизмат муддати жуда катталигида ва кўприкларни эксплуатацияси тизимидаги камчиликлар мавжудлигидадир.

2019 й. содир бўлган сув тошкинларининг натижасида Қашқадарё, Жиззах, Бухоро ва Навоий вилоятларида 57 та кўприк иншоотлари бузилиб кетган эди. Бу кўприкларнинг аксариятини тиклаб бўлмайди, демак, улар янгидан курилиши лозим. Ўз вактида амалга оширилган диагностика, мавжуд нуксонларни аникланиши ва уларни бартараф этилиши бузилишларнинг кўп кисмини олдини олишга имкон берар эди.

Ушбу мақолада 2020 йил 1 майда Ўзбекистон Республикаси Сирдарё вилоятидаги Сардоба сув омборининг техноген ва табиий шикастланиши натижасида халқаро аҳамиятга молик М39 ва А380 автомобиль йўлларидаги кўприк иншоотлари зарар кўрганлиги кўриб чикилади.





1-расм. Кўприкнинг асосий ва кенгайтирилган қисми қирғоқ таянчларининг умумий кўриниши ва нуқсонлари

Сирдарё вилоятининг халкаро ахамиятга молик автомобиль йўлларидаги кўприк иншоотларида "Автомобиль йўллари илмий тадкикот институти" унитар корхонаси томонидан олиб борилган текширув диагностика ишлари натижаларини эътиборингизга хавола этамиз. Текширув ва диагностика натижалари асосида 13 та кўприкнинг умумий холати бахоланди ва амалий тавсиялар берилди, улардан А-373 "М39 автойўли— Гулистон — Бўка — Ангрен — Қўкон — Андижон — Ўш" автомобиль йўлининг 7,9 км даги кўприкни техноген халокат окибатидан кейинги техник холатини диагностика килиш натижасида куйидагилар аникланди:

- кўприк ўтувининг рельефига қараб, сув оқими кўприкнинг бутун кенглиги бўйлаб тенг равишда оқиб ўтади. Эксплуатация йиллари давомида ўзан тубининг сезиларли пасайиши кузатилмаган. Кўприк ўтувидаги коллекторнинг ўзани лойқаланган ва ифлосланган;
 - коллекторнинг қирғоғи ва ўзани мустаҳкамланмаган;

– қирғоқ таянчлари яқинидаги кўтарма қияликлари мустаҳкамланмаган. Сув хажмининг фавкулодда тез ва катта ҳажмда ўтиши натижасида қирғоқ таянчлари ёнидаги кўтарма қияликлари ювилиб кетган. Энг катта эрозия кўприкнинг асосий қисмида содир бўлган. Кўприк асосий қисмининг қирғоқ таянчлари оркасида бўшлиқ-ўпирилишлар пайдо бўлган. Кўприкнинг кенгайтирилган қисмидаги қирғоқ таянчларининг қозиқлари очилиб қолган (1-2-расмлар);





2-расм. Кўприкнинг асосий ва кенгайтирилган кисми оралик таянчи конструкциясининг нуксонлари

- кўприк ости бўшлиғи ва қирғоққа яқин жойлари ифлосланган (3-расм);
- кўприкнинг асосий қисмидаги сарров усти қисмлари авария олди ҳолатда. Сарровлар бетони қисман бузилган, арматура стерженлари коррозияланган, оралиқ қурилмаларнинг таяниш участкаларидаги бетоннинг синиши мавжуд (4 6-расмлар);





3-расм. Қирғоқ таянчи атрофидаги куприк ости бушлиғининг умумий куриниши



4-расм. Кўприкнинг асосий ва кенгайтирилган кисмларини бирлаштирувчи чокнинг кўриниши



5-расм. Ўрта таянч сарровларининг нуксонлари

- қирғоқ таянчлари сарровининг устки юзаси грунт ва ер ости сувларидаги тузларнинг агрессив таъсирида шўрланган, арматуралар очилиб қолган;

– кўприкнинг асосий қисми таянчлари устидаги чокларни бирлашув жойлари (4-расм) ва қатнов қисми плитаси чеккалари бузилган, бундан ташқари, кўприк оралиқ қурилмалари тўсинларининг бирлашадиган деярли барча жойлари вайрон бўлган. Бунинг асосий сабаби эса, кўприк элементларининг вақтида эксплуатация қилинмаганлиги ва автомобиль ғилдиракларининг динамик таъсири остида деформацион чокларнинг очилиши хисобланади.



6-расм. Оралиқ қурилма тўсинларини сарровга жойлашиш жойидаги нуксон ва шикастланишлар



7-расм. Кўприк асосий кисмидаги оралик курилма конструкцияларининг нуксонлари

- оралиқ қурилма тўсинларининг сарровларга таяниш жойларида уларнинг қовурғаларида бузилиш кузатилади (6-расм). Бу нуксонларнинг пайдо бўлиш сабаби таянч қисмларнинг мавжуд эмаслиги ва эксплуатацияга вактида эътибор берилмаганлиги;
- оралиқ қурилмалар тўсинлари юзасида 2.0 мм гача бўлган горизонтал ёриқлар, бетон синиши ва киришишдан ёриқларнинг мавжуд (7-расм);
- пиёдалар ўтиш жойи плиталаридаги химоя қатлами бузилган, панжара тўсиқлари бетони синган хамда панжаралар секциясининг маълум бир қисми қулаган;
 - қатнов қисми томонидан сув қочириш тизими ишдан чиққан;
- гидроизоляциянинг бузилиши натижасида оралиқ қурилма тўсинлари ва плиталарида шўрланиш бошланган; оралиқ қурилма тўсинлари таянч қисмларисиз рубероид тўшамасига ўрнатилган.

Куприк асосий қисмидаги оралиқ қурилмаларнинг ресурси амалий жиҳатдан деярли ишдан чиққан. Куприк асосий қисмидаги таянчлар ҳам авария олди ҳолатида. Тулиқ ҳажмда кучайтириш ишларини утказишга куп вақт ва катта маблағ сарф этилишини талаб қилади, бажарилган ишларнинг самараси эса қисқа муддатли булади.

Транспорт воситаларининг хавфсизлигини таъминлаш учун янги куприк куриш ёки куприкнинг асосий кисмини алмаштириш тавсия этилади.

Оғирлиги 30 тоннадан ортиқ бўлмаган юк машиналари ва енгил машиналарнинг вақтинча ўтишида кўприкнинг кенгайтирилган қисмидан фойдаланиш мумкин. Бундай ҳолда транспорт воситаларининг тезлигига чекловлар жорий этилиши лозим. Оғирлиги 30 тоннадан ортиқ бўлган транспорт воситаларининг Ховос, Даштобод ва Жиззах йўналиши бўлаб юриши мумкин.

Диагностика натижалари тахлили даврида аникланган камчиликларнинг бир кисми техноген ҳалокат натижасида пайдо бўлган бўлса, бир кисми курилиш ва эксплуатация даврида пайдо бўлган. Мисол учун, ШНҚ 2.05.03-12 "Кўприклар ва кувурлар" [2] ва ШНҚ 2.01.20-16 "Сейсмик ҳудудларда транспорт иншоотлари қурилиши" [4] талабларида белгиланган антисейсмик қурилмалар кўриб чикилган кўприкларда ўрнатилмаган.

Шунинг учун, ер юзида рўй берадиган энг асосий табиий халокатлардан бири бўлган зилзилаларга қарши курашнинг асосий усули — бу турли максадлар учун мўлжалланган объектлар, бинолар ва иншоотларнинг сейсмик хавфсизлигини таъминлашдир [5]. Бунга иншоотларни фан ва техниканинг энг замонавий ютуклари асосида лойихалаш ва куриш, эксплуатациядаги объектларни ишончли тарзда эксплуатация килишга оид тавсияларни ишлаб чикиш, назарий-экспериментал тадкикотлар натижалари асосида курилиш конструкцияларни тиклаш ва кучайтириш, хамда ахолини ўргатиш ва тезкор тизимларининг тегишлича тайёргарлик даражасини ошириш йўли билан амалга оширилади.

Кейинги йилларда қурилган барча кўприк иншоотлари 1970—1975 йй. ишлаб чиқилган намунавий лойиҳаларга мувофиқ лойиҳаланган. Яъни йиғма темирбетон тўсинлар ва плиталар қозиқли ёки устунсимон, гоҳо катта ҳажмли монолит таянчларга ўрнатилган. Бундай кўприк

иншоотларини лойиҳалашда зилзилабардошлик масалалари сейсмик тиргакларни (упор) ўрнатишдан иборат эди. 2013—2018 йиллар оралиғида "Автомобиль йўллари илмий-текшириш институти" УК томонидан ўтказилган кўприк иншоотларининг диагностикаси натижаларига кўра эксплуатациядаги кўприкларнинг оралиқ курилмаларини ярмидан кўпида сейсмик тиргаклар йўклиги аниқланди.

Демак, сейсмик жиҳатдан заифлигини баҳолашнинг зарурлиги ва шу кўприкларни сейсмик таъсирга қарши кучайтириш чораларини кўриш масалалари кўтарилади. Бундан ташқари, эски кўприкларни кучайтирилиши ва кенгайтирилиши замонавий автотранспорт воситаларини ўтказиш учун ҳам зарурдир. Кўприк курилиши участкасида грунт шароитларини ва микросейсмик районлаштиришни етарли даражада ўрганилмагани ҳам камчиликлардан яна бири бўлади. Бундан ташқари, кўприк иншоотларини паспортлаштиришда ушбу кўрсаткичлардан фойдаланилмайди. Кўприклар паспортига ушбу кўрсаткичлар киритилса кўприк иншоотларини сейсмик жиҳатдан заифлигини баҳолаш анча осон кечади.

АДАБИЁТЛАР

- [1] Ўзбекистон Республикаси Президентининг "Йўл соҳасини бошқариш тизимини янада такомиллаштиришга оид чора-тадбирлар тўғрисида" ги 2019 йил 9 декабрдаги ПҚ-4545-сонли Қарори.
- [2] ШНҚ 2.05.03–12. Куприклар ва кувурлар. –Т.: УзР Давархкурилишқум, 2012. 452 б.
- [3] ШНК 3.06.07-08. Мосты и трубы. Правила обследований и испытаний.
- [4] ШНҚ 2.01.20-16. Сейсмик худудларда транспорт иншоотлари курилиши". Тошкент, 2016.
- [5] Shermuxamedov U.Z. Transport inshootlarining zilzilabardoshligi. O'quv qo'llanma. Toshkent, 2019. 181 b.
- [6] Шермухамедов У.З., Абдуахатова М.А. Современное состояние и перспективы проектирования и строительства городских транспортных сооружений Республики Узбекистан// Журнал «Путевой навигатор». Спб.: РФ. 2018. № 36–37. С. 24–28.

Тошкент темир йўл мухандислари институти "Автомобиль йўллари илмий тадкикот институти" УК 20.05.2020 й. кабул килинган

У.З. Шермухамедов, Х.А. Байбулатов, О.Т.Исмаилов, У.Ю. Хамдамов. Диагностика последствий естественных и техногенных аварий мостов на автомобильных дорогах международного значения в Сырдарынской области

В данной статье описываются последствия техногенного и природного ущерба Сардобинскому водохранилищу в Сырдарынской области Республики Узбекистан, а также ущерб мосту на автодороге международного значения. По результатам осмотра-диагностических работ было оценено общее состояние моста и даны практические рекомендации.

U.Z. Shermukhamedov, H.A. Baybulatov, O.T. Ismailov, U.Yu. Hamdamov. Diagnostics of the consequences of natural and man-made accidents of bridges on highways of international importance in the Syrdarya region

This article describes the consequences of technological and natural damage to the Sardoba reservoir in the Syrdarya region of the Republic of Uzbekistan, as well as damage to the bridge on the highway of international importance. Based on the results of the inspection and diagnostic work, the general condition of the bridge was evaluated and practical recommendations were given.

УЎК 625.12.033.38

м.м. собирова

ҚУМ ГРУНТЛАРДАН БАРПО ЭТИЛГАН ТЕМИР ЙЎЛ ЕР ТЎШАМАСИНИНГ КУЧЛАНГАНЛИК – ДЕФОРМАЦИЯЛАНГАНЛИК ХОЛАТИНИ СОНЛИ УСУЛЛАР БИЛАН ТАДҚИҚ ЭТИШ

Янги темир йўл линияси курилиши, темир йўл умумий тармоғига юқори тезликдаги харакатни татбик килиниши, харакат таркиби паркини янгиланиши, харакат интенсивлиги ва поездлар оғирлиги ошиши билан характерланадиган Ўзбекистон Республикаси темир йўл сохасидаги техник тараккиёт ер тўшамасининг юк кўтариш қобилиятини таъминлашда бир катор мураккаб масалаларни ечиш талаб килинади, айникса, кумли худудларда бу яккол намоён бўлмокда [1–3].

Темир йўл ер тўшамаси табиий иклимий мухит ва динамик юклар шароитида ишловчи грунтли объектлар мураккаб комплексини ифода этади. Ер тўшамасининг мураккаблиги, табиий мухит омилларини тасодифий характери ер тўшамаси тургунлиги ва деформативлигига сезиларли таъсир килади. Ўзбекистоннинг чўлли худудларида темир йўлларни куриш ва ишлатиш амалиёти

мазкур худудлардаги темир йўлнинг деформация ва емирилишларга энг кўп мойиллигини кўрсатади.

Темир йўл ер тўшамасининг иши қуйидаги ўзаро боғлиқ омиллар билан аникланишини таъкидлаш лозим [3]:

- Ер тўшамасини ташкил килувчи грунт таркиби, холати ва хоссалари грунт тури, зичлиги, намлиги, гранулометрик таркиби, минорологик таркиби, диссипатив ва ютувчи кобилияти ва бошқалар.
- Таъсир килувчи кучлар характери ва катталиги, эксплуатацион курсаткичлари статик, вибрацион ва динамик таъсирлар, харакат интенсивлиги, харакат таркиби ўкига келиб тушувчи юк микдори, поездлар харакати тезлиги, поездлар узунлиги ва бошкалар.
- Йўл устки қурилмаси конструктив кўрсаткичлари ва унинг холати релс тури, балласт тури ва қалинлиги, шпал эпюраси ва улар тури, бирикмалар тури, релс колеяси, релсдаги нотекисликлар мавжудлиги ва бошкалар.

Кўрсатилган омиллар натижасида ер тушамаси грунтини тебраниш жараёни тавсифи кескин холатини аниклайди, улардан энг мухими ер тўшама танаси ва унинг ташқарисида таркалиши билан бир каторда асосий майдонда тебраниш амплитудаси ва максимал динамик кучланишидир.

Хозирги вактда ер түшамасининг хисоби күйидаги назарий усуллар ёрдамида бажарилиши мумкин [2]:

- 1. Айрим эгри чизикли юзалар бўйлаб грунтнинг силжишидан кияликларни емирилиш эхтимолини кўриб чикувчи усуллар;
- 2. Ер массаларини текис юза бўйлаб силжишини қабул килган содда хисоблаш схемаларига асосланган усуллар;
- 3. Силжиш чизиклари тўрини куриш билан ер тўшамаси грунтларининг чегаравий мувозанат тенгламалар системасини хисоблашга асосланган усуллар.

Бу усуллар қуйидаги чекланишларга эга: қияликлар хисоби олдиндан берилган шаклдаги силжиш чизиклари бўйича бажарилади, поездлар харакатидан хосил бўлувчи инерция кучлари хисобга олинмайди ва бошқалар. Шунинг учун сўнгги йилларда замонавий хисоблаш техникасидан фойдаланиб ер тушамаси грунтининг кучланганлик - деформацияланганлик холатини хисоблаш усуллари жадал ривожланди. Бу хисоблар чекли элементлар усулига асосланган. Чекли элементлар усули грунтнинг мураккаб моделини куллаш, унинг физикомеханика хоссаларини синчиклаб аниклаш хамда моделлаштирилаётган темир йўл ер тўшамасининг реал геометрик ўлчамларини киритиш талаб этилади.

Хозирги вактда мухандислик иншоотларини хисоблаш учун ANSYS, COSMOS/S, PLAXYS, SCAD, Robot, ABAQUS, MSC/NASTRAN, MSC/PATRAN, ЛИРА каби дастурий комплексларидан кенг фойдаланилади. Бу дастурлар қаттиқ жисм механикаси, суюқликлар ва газ механикаси, хусусан масалани динамик күйилишида, иссиклик физикаси масалалари, электромагнетизм хамда боғланған масалаларни ечишга имкон беради.

Поезднинг вибродинамик юки таъсиридаги кумнинг мустахкамлик хоссаларининг ўзгаришини И.В. Прокудин [1] методикаси билан хисоблаш тавсия этилади:

$$c_{\partial uh} = c \cdot \left[(1 - K_c) + K_c \cdot e^{-k(A_{zy} - A_u)} \right], \tag{1}$$

$$\varphi_{\partial un} = c \cdot \left[(1 - K_{\varphi}) + K_{\varphi} \cdot e^{-kA_{zy}} \right]. \tag{2}$$

Бу ерда K_c – боғланишни нисбий камайтириш коэффициенти, қум учун K_c =0.134; K_{φ} – ички ишқаланиш бурчагини нисбий камайтириш коэффициенти, кум учун K_{φ} =0.226; k – грунтнинг виброкайтиш коэффициенти, кум учун k=0.01; A_n — тебраниш бошланиш амплитудаси, $A_n=0$; A_{zv} zва y координаталарига эга нуктадаги кумнинг натижавий тебраниш амплитудаси: $A_{zv} = A_0 e^{z-\ln\delta_1 - \delta_2' \varphi(y) - \delta_2'' \cdot (y-1.35) - \delta_3 h_i} \, .$

$$A_{zy} = A_0 e^{z - \ln \delta_1 - \delta_2' \varphi(y) - \delta_2''(y - 1.35) - \delta_3 h_i}.$$
 (3)

Бу ерда A_0 – ер тушама асосий майданидаги кум тебранишининг максимал эхтимоллиги 90 км/с да поезд максимал тезликда кум учун A_0 =440 мкм; z – асосий майдондаги кўрилаётган нуқтагача вертикал буйича масофа; y – курилаётган нуқтагача горизонтал буйича масофа, м; δ_1 – вертикал текисликда ўсиш коэффициенти, 1/м, кум учун δ_1 =0.497; δ'_2 – биринчи зонадаги тебранишнинг ўсиш коэффициенти, кум учун $\delta_2' = -207$; $\delta_2'' -$ иккинчи зонадаги тебранишнинг

ўсиш коэффициенти, кум учун $\delta_2'' = -008$; $\delta_3 -$ ер тўшамасининг чўкиш кисмидаги ўсиш коэффициенти

$$\delta_3 = \frac{\ln \delta_1}{1.5 \cdot ctg\alpha_1},\tag{4}$$

бу ерда α_1 – кўтарманинг қиялик бурчаги; h_i – кўрилаётган нуқта юқорисидаги кўтарма баландлиги (м)

$$h_{i} = \begin{cases} 0 & npu \quad y \leq 0.5b_{nn}, \\ (y - 0.5b_{nn})tg\alpha_{1} & npu \quad y > 0.5b_{nn}. \end{cases}$$
 (5)

Бу ерда $b_{\rm nn}$ – ер тўшамасининг асосий майдон кенглиги, м;

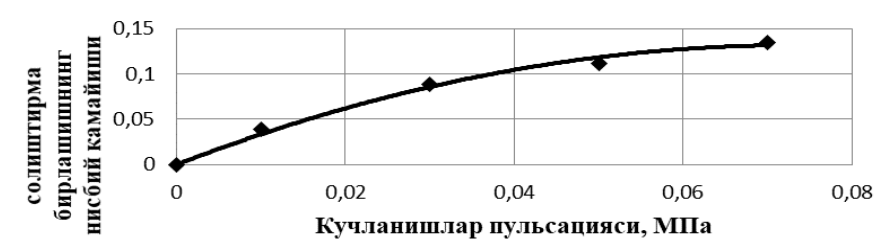
$$\varphi(y) = \begin{cases} (y - 1.35) & npu \quad y \le 3.6, \\ 2.25 & npu \quad y \ge 3.6. \end{cases}$$
(6)

Темир йўл ер тўшамаси грунтларининг қаттиқлик хусусиятлари пасайиши вибродинамик оғирлик таъсири билан асосланади ва оғирликнинг пайдо бўлиш ва ўлчамларидан қатъий назар, унинг катталигига тўлик боғланган. Вибродинамик таъсирининг ортиши билан солиштирма боғланганлик ва ички ишқаланиш бурчагининг ўзгариши қонунияти бархан кумларнинг ташқи оғирликлар таъсирига қарши курашиш холати ва лаёқатини асосий аникловчиси бўлиб хисобланади. Қаттиқлик хусусиятлари ва вибродинамик таъсирнинг катталиги ўзгаришининг орасидаги аналитик алоқасини белгилаш темир йўл ер тўшамасига жойлаштирилган бархан кумларининг юк кўтариш лаёқатининг хисобини олиб бориш учун имкон беради.

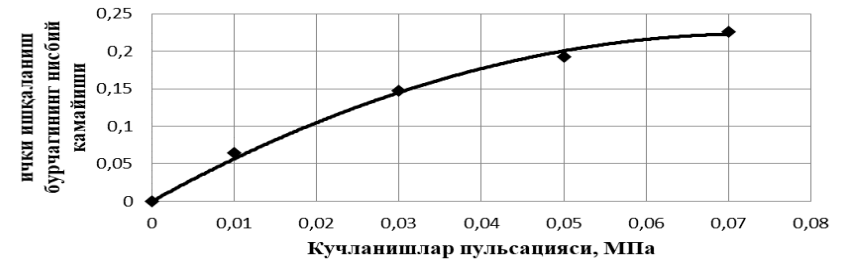
Бархан қумларининг қаттиқлик хусусиятлари ўзгаришига кучланишлар пулсациясининг таъсири оптимал намликка эга бархан қумларидан тайёрланган намуналарда ўрганилган, намлик бизнинг ҳолатимизда тажрибавий тадқиқотлар натижалари бўйича 10%га тенг. Намуналарнинг ҳажм массаси кўрсатилган намлик билан стандарт зичланишда аниқланган максимал қийматга мос келади. Кучланишлар пулсацияси тебранишлар максимал амплитуда билан кучланишлар пулсацияси гидродинамик генератор ёрдамида амалга оширилган (жадвал).

Бирлашишнинг нисбий камайиши ва ички ишқаланиш бурчаги кўрсаткичларининг кучланишлар пулсациясига боғликлиги тадқикотлари натижалари 1- ва 2-расмларда мос равишда такдим этилган. Тадқикотлар шуни кўрсатдики, бирлашишнинг нисбий камайиши ва ички ишқаланиш бурчаги кўрсаткичлари кучланишлар пулсацияси частотасига боғлиқ эмас.

Таъкидлаш жоизки, k_c ва k_{φ} ўсиши характери катта фаркларга эга эмас.



1 — Расм. бархан қумларнинг солиштирма бирлашишининг нисбий камайиши кўрсаткичларининг кучланишлар пулсацияси катталигига боғликлиги: I-1 зичланиш коэффициентида; 2-0.95 зичланиш коэффициентида; 3-0.9 зичланиш коэффициентида



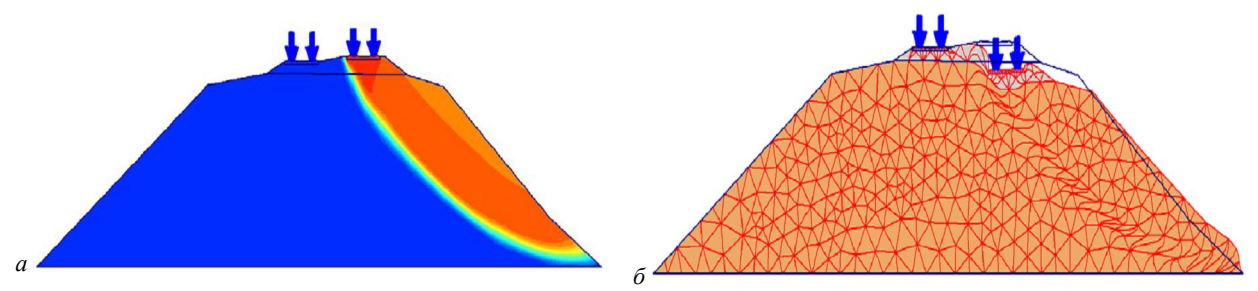
2 — Расм. Бархан қумларининг ички ишқаланиш бурчаги нисбий камайиши кўрсаткичининг кучланишлар пулсацияси катталигига боғлиқлиги: I-1 зичланиш коэффициентида; 2-0.95 зичланиш коэффициентида; 3-0.9 зичланиш коэффициентида

Олинган натижалар тахлили шундан далолат берадики, кучланишлар пулсацияси катталиги ўсиши билан бирлашишнинг нисбий камайиши ва ички ишқаланиш бурчаги кўрсаткичлари катталашади.

Материалларнинг механик кўрсаткичлари

	Материаллар хусусиятлари					
Материал	Эластиклик	Эластиклик	Хажм массаси,	Бирлашиш	Ички ишқаланиш	
	модули E , к Π а	модули, μ	γ , T/M ³	c , к Π а	бурчаги φ , град	
Темир бетон шпаласи	$3.25 \cdot 10^7$	0.2	2.5	1	-	
Щебенли балласт	10^{5}	0.27	1.85	2	27	
Кўтарма грунти (бархан қумлар)	7.10^4	0.31	1.68	0.5	31	

3-расмдан кўриниб турибдики, модел ер тўшамаси кучланганлик-деформацион холатини тўлик изохлаб беради. Намунада кўриниб турибдики, бундай геометрик параметрларга ва каттиклик хусусиятларига эга кўтарма, ўтаётган поездлардан хосил бўладиган вибродинамик оғирликни кўтара олмайди. Шундан келиб чикиб, кўтарма конструкциясини ўзгартириб, хисобни такрорлаш жоиздир.



3 – Расм. ANSYS дастурий мажмуада бархан кумлардан тўпланган кўтарманинг 5.5 м баландлигида, асосий майдончанинг 11.8 м кенглигида олиб борилган хисобнинг натижалари: *a* – тўлик деформациялар; *б* – кўтарманинг деформацияланган кўриниши

Шундай қилиб, темир йўл ер тўшамасини чекли элементлар усули билан хисоблаш тавсия этилади. Чунки бу усул ёрдамида ер тўшамаси ишини ва унинг кучланганлик-деформацияланганлик ҳолатини математик ва механик моделлар билан ифодалаш мумкин. Кўтармалардаги грунт моделларида динамикани Прокудин методикасини кўллаш йўли билан ҳисобга олиш тавсия этилади. Чунки Прокудин методикаси вибродинамик юклар таъсирида грунтларнинг мустаҳкамлик хоссаларини камайишини ҳисобга олади.

АДАБИЁТЛАР

- [1] Прокудин И.В. Влияние промежуточных скреплений на колебания грунтов земляного полотна. М.: Путь и путевое хозяйство. 2009. №6.
- [2] Абдукамилов Ш.Ш. Исследование колебательного процесса барханных песков, уложенных в железнодорожное земляное полотно. Омск // Известия Транссиба. 2014. № 8.
- [3] Стоянович Г. М. Упругопластическое деформирование тела и основания земляного полотна при статических и вибродинамических нагрузках. Хабаровск: ДВГУПС. 2006.

Тошкент автомобиль йўлларини лойихалаш, куриш ва эксплуатацияси институти

22.01.2020 й. кабул килинган

М.М. Собирова. Расчет напряженно-деформированного состояния железнодорожного песочно-грунтового земляного полотна числовым методом

В статье численным методом исследована несущая способность железнодорожного полотна возведенного в песчаных барханах на участке Навои-Мискен и напряженно-деформационного состояния железнодорожного покрытия на основе методики И.В. Прокудина и Ш.Ш. Абдукамилова.

M.M. Sobirova. Improvement of structure - deformation of cleanliness of railway waste

In hired methodology of calculation of bearing strength of railway earthen bed is adjusted from sundress, worked out Prokhudin I.V. and Abdukamilov Sh.Sh. taking into account the features of sundress on the area of Navoi-Misken

М.Н. МУСАЕВ, Г.Х. ГУЛЯЕВА, М.М. МУКИМОВ

ЙИГИРИЛГАН ИПАК ВА ПАХТА ИПЛАРИНИ НАҚШЛИ ТРИКОТАЖНИНГ ХОМ АШЁ САРФИГА ТАЪСИРИНИ ТАҲЛИЛИ

Кириш. Маҳаллий хом ашёларни чуқур қайта ишлаб, сифатли рақобатбардош тайёр маҳсулот ишлаб чиқариш, мамлакатимиз иқтисодиётини экспорт салоҳиятини ошириш масалалари Республика тўқимачилик саноати мутаҳассислари олдида турган энг муҳим ва долзарб муаммоларидан биридир.

Ўзбекистонда йигирилган пахта ва ипак иплари ишлаб чиқарилади. Маълумки, ушбу хомашё турларининг гигиеник хусусиятлари юқори. Бундан ташқари, айнан пахта ва ипак йигирилган ипларидан ишлаб чиқарилган маҳсулотларга истеьмолчиларнинг эҳтиёжи ўсиб бормоқда. Бугунги кунда маҳаллий хом ашёлардан рақобатбардош экспортбоб маҳсулотларни олишнинг илмий асосланган технологияларни яратиш ва ишлаб чиқаришга жорий этиш жуда долзарб масалалар бўлиб келмоқда.

Йигирилган ипак ва пахта ипларидан фойдаланиб, янги таркибли трикотаж тукима турларини ишлаб чикариш трикотаж тукималари ассортиментини кенгайтиради ва уларнинг сифат курсаткичларини ошириш имконини беради. Маълумки, трикотаж тукимаси таркибига бирор бир янги турдаги ип ёки халқа элементлари киритилса, тукиманинг тузилиши ва улчамлари узгаради [1–2].

Трикотажнинг юза зичлиги, горизонтал ва вертикал бўйича зичлик, халқа ипи узунлиги, халқа қаторлари, ҳамда қалинлик трикотаж тўқималари тузилишини тавсифловчи кўрсаткичлар ҳисобланади. Трикотаж тўқимасининг энг асосий тавсифларидан бири - хом ашё сарфининг камлигидадир. Анъанавий ҳолда тўқимада хом ашё сарфининг энг муҳим омили - трикотаж тўқимаси юза зичлиги ҳисобланади.

Тажрибавий тадкикотлар. Юқорида қайд этилган омилларни инобатга олган ҳолда пахта-ипакли трикотаж тўқималарининг янги ассортиментларини олишда тўқима таркибидаги йигирилган ипак ва пахта иплари улуши ўзгаришини тўқиманинг юза зичлигига таъсирини ўрганиш учун керак бўлган математик моделларни қуришни тақозо этади. Таъсир этувчи яъни кирувчи факторлар сифатида йигирилган ипак ипи улуши (X_1) ва пахта ипи улуши (X_2) ва тўқиманинг халқа қатори баландлиги (X_3) кўрсаткичлари олинган. Чикувчи фактор сифатида (Y)-трикотаж тўкимасининг юза зичлиги кўрсаткичи танланди. Демак, трикотаж тўқимаси кўрсаткичлари ўзгаришини юза зичлиги кўрсаткичига таъсири тажриба асосида ўрганилади.

Тажриба ўтказиш шартлари қуйидаги 1-жадвалда келтирилган.

1-жадвал

Тажрибанинг режалаштириш шарти

№	Факторнинг номи, белгиси	Кодлаш- тирилган	Факторнинг ҳақиқий қийматлари		Ўзгариш	
		белгиси	-1	0	+1	оралиғи
1	Йигирилган пахта ипи улуши,	x_I	56	62	68	6
2	Йигирилган ипак ипи улуши,	x_2	32	38	44	6
3	Тўқиманинг халқа қатори баландилиги, В, мм.	x_3	0,91	1,01	1,11	0,1

Тадқиқотда бир жинслилигини баҳолашда Кохрен критериясидан, регрессия коэффициентларини Стьюдент критериясидан, регрессион моделларни баҳолашда Фишер критерияларидан фойдаланилди.

Натижаларнинг мухокамаси. Хар бир шароитда чикувчи параметрни тажрибавий натижалари олинди ва уларнинг ўртача қийматлари 2-жадвалда келтирилди [2—4].

Тажриба натижаларини қайта ишлаш:

1. Ўртача қиймат натижалари қуйидагича аниқланади:

$$\overline{y}_1 = \frac{y_{11} + y_{12} + y_{13}}{3} = \frac{572.3 + 572.2 + 572.1}{3} = 572.2 \tag{1}$$

Ушбу чиқувчи факторлар (y_1, y_2, y_3) тажриба натижалари асосида аниқланди.

Олинган ўртача қиймат натижаларининг ўртачаси қуйидагича топилади:

$$\Sigma \overline{Y} = \frac{\overline{y}_1 + \overline{y}_2 + \overline{y}_3 + \overline{y}_4 + \overline{y}_5 + \overline{y}_6 + \overline{y}_7 + \overline{y}_8}{N} = \frac{572.2 + 580.3 + 585.5 + 590.4 + 572.4 + 581.4 + 585.7 + 590.7}{8} = 582.3.$$

Тажрибалар асосида олинган қийматларни дисперцияси қуйидагича аниқланади ва олинган натижалар 3-жадвалда акс этади.

2-жадвал Режалаштириш матрицаси, тажриба ва ўртача қийматлари хисобий натижалар

y	Факторлар			Чикувчи факторлар Y_{u}			\overline{y}
	x_I	x_2	x_3	y_I	<i>y</i> ₂	У3]
1	-	-	-	572.3	572.2	572.1	572.2
2	+	-	-	580.4	580.3	580.2	580.3
3	-	+	-	585.4	585.6	585.5	585.5
4	+	+	-	590.4	590.5	590.3	590.4
5	-	-	+	572.4	572.3	572.6	572.4
6	+	-	+	581.4	581.3	581.5	581.4
7	-	+	+	585.6	585.7	585.8	585.7
8	+	+	+	590.6	590.7	590.8	590.7

Десперсия қиймати қуйидагича аниқланади:

$$S_{1}^{2} = \frac{(\overline{y}_{1} - y_{11})^{2} + (\overline{y}_{1} - y_{12})^{2} + (\overline{y}_{1} - y_{13})^{2}}{N - 1} = \frac{(582.3 - 572.3)^{2} + (582.3 - 572.2)^{2} + (582.3 - 572.1)^{2}}{3 - 1} = 153.9.(2)$$

2. Смирнов-Грабс критерияси ёрдамида чегаравий қийматлар аниқланади. Бунда, ҳар бир вариант учун ҳисобланган $V_{\rm Rmax}$ ва $V_{\rm Rmin}$ нинг қийматларини жадвалдан олинган $V_{\rm T}$ [$P_{\rm A}$; m] ($P_{\rm A}$ -ишончлилик эҳтимоли) қиймати билан солиштирилади. Масалан, $P_{\rm A}$ =0.95 эҳтимоли билан m (тажриба такрорийлиги)=3 да $V_{\rm T}$ =1.412 га тенг.

Агар $V_{\rm Rmax} > V_{\rm T}$ ёки $V_{\rm Rmin} > V_{\rm T}$ бўлса, у холда у $_{\rm max}$ ёки у $_{\rm min}$ қийматлар кейинги статистик қайта ишлашдан чиқариб ташланади.

Бунда V_{Rmax} < V_T ва V_{Rmin} < V_T шарт бажарилиши керак.

Смирнов-Грабс критерияси ёрдамида чегаравий қийматлар аниқланади:

1-вариант (-;-;-) учун:

$$y_{min} = 572.1; \ y_{max} = 572.3; \ S\{y\} = \sqrt{S_y^2} = \sqrt{153.9} = 12.4;$$
 (3)

$$V_{R \max} = \frac{y_{\max} - y_{\hat{y}pm}}{S\{y\}} \cdot \sqrt{\frac{m}{m-1}} = \frac{572.3 - 572.2}{12.4} \cdot \sqrt{\frac{3}{3-1}} = 0.009;$$
 (4)

$$V_{R\min} = \frac{y_{\tilde{y}pm} - y_{\min}}{S\{y\}} \cdot \sqrt{\frac{m}{m-1}} = \frac{572.2 - 572.1}{12.4} \cdot \sqrt{\frac{3}{3-1}} = 0.009;$$

$$V_{R\max} < V_{T}; \qquad V_{R\min} < V_{T};$$

$$0.009 < 1.412; \qquad 0.009 < 1.412.$$
(5)

Смирнов–Грабс критерияси ёрдамида чегаравий қийматларнинг қолган вариантлари хам юқоридаги кетма-кетлик буйича ҳисоблаб топилади. Демак, Смирнов–Грабс критерияси ёрдамида чегаравий қийматлар аниқланди ва шарт бажарилди.

3. Кохрен критерияси ёрдамида дисперсияларни бир жинслигини текшириш.

Дисперсияларнинг бир жинслилигини текшириш Кохрен критерияси формуласи ёрдамида ҳисобий ҳиймат ҳуйидагича ҳисобланади:

$$S_{\max}^2\left\{y\right\}$$
 — дисперциянинг энг катта киймати — 153.9; $\sum S_{u}^2\left\{y\right\}$ — дисперциянинг йиғиндиси — 544.2

$$G_{R} = \frac{S_{\max}^{2}(y)}{\sum_{i=1}^{N} S_{u}^{2}(y)} \cdot \sqrt{\frac{m}{m-1}} = \frac{153.9}{544.2} \cdot \sqrt{\frac{3}{3-1}} = 0.345.$$
 (6)

Кохрен критериясининг тажрибавий қиймати эса махсус жадвалдан олинади

$$\hat{G}_T\{P_{\pi}=0.95; f\{S_y^2\}=m-1; N\},\$$

 $G_T\{P_{\pi}=0.95; f\{S_y^2\}=3-1; 8\},\$

бу ерда: f=m-1=3-1=2-030длик даражасини кўрсаткичи дейилади.

Агар $G_R < G_T$ бўлса, $\{S^2_y\}$ дисперсиялар бир жинсли дейилади ва ишни давом эттириш мумкин. Агар дисперсиялар бир жинсли бўлмаса, у холда тажрибалар қайтарилишлар сонини кўпайтириш зарур.

Кохрен критериясининг жадвалий киймати:

$$G_T\{P_{\pi}=0.95; f\{S_{\nu}^2\}=3-1; 8\}=0.5157$$
 га тенг экан.

 $G_T\{P_{\pi}{=}0.95; f\{S^2_y\}=$ 3-1; 8}=0.5157 га тенг экан. Демак, $G_R{<}G_T$ яъни 0.345 ${<}0.5157$ бўлгани учун дисперсиялар бир жинсли.

Кичик квадратлар усули ёрдамида регрессия коэффициентлари 3-жадвалда келтирилган ўрта қийматлардан фойдаланиб топилади ва улар қуйидаги формулалар орқали хисобланади.

3-жадвал Режалаштириш матрицаси, тажрибаларнинг ўрта кийматларини хисобий натижалар ва десперцияси

у		Факторлар	Факторлар ўртачаси	S 2	
	x_I	x_2	x_3	${\mathcal Y}_{\check{{\mathcal V}}p}$	S_y
1	-	-	-	572.2	153.9
2	+	-	-	580.3	6.0
3	-	+	-	585.5	15.4
4	+	+	-	590.4	98.4
5	-	-	+	572.4	146.0
6	+	-	+	581.4	1.2
7	-	+	+	585.7	17.4
8	+	+	+	590.7	105.9

Озод хад:

$$b_0 = \frac{1}{N} \sum_{u=1}^{N} \bar{y}_u = \frac{\bar{y}_1 + \bar{y}_2 + \dots + \bar{y}_N}{N} \,. \tag{7}$$

Чизиқли ҳадлар коэффициентлари

$$b_{i} = \frac{1}{N} \sum_{u=1}^{N} x_{iu} \overline{y}_{u} = \frac{x_{i1} \cdot \overline{y}_{1} + x_{i2} \overline{y}_{2} + \dots + x_{iN} \overline{y}_{N}}{N}.$$
 (8)

Чизиксиз хадлар коэффициентлари

$$b_{ij} = \frac{1}{N} \sum_{u=1}^{N} x_{iu} x_{ju} \overline{y}_{u} = \frac{x_{i1} \cdot x_{j1} \cdot \overline{y}_{1} + x_{i2} \cdot x_{j2} \cdot \overline{y}_{2} + \dots + x_{iN} \cdot x_{jN} \cdot \overline{y}_{N}}{N}; \quad i \neq j,$$

бу ерда: x_{iu} - i чи факторнинг u тажрибадаги кодлаштирилган қиймати.

У холда қуйидаги кўп факторли регрессия моделини оламиз:

$$YK = 582.3 + 4.375x_1 + 5.75x_2 + 3.852x_3 - 0.9x_1x_2 + 0.125x_1x_3 - 0.1x_2x_3 - 0.1x_1x_2x_3$$

Стьюдент критерияси ёрдамида регрессия коэффициентларини текширилади.

Бунинг учун критериянинг хисобий қиймати $t_{\rm R}$ критериянинг жадвалий $t_{\rm T}$ қиймати билан солиштирилади.

Стюдент критериясининг жадвалий қиймати:

$$t_T \left[P_{\mathcal{A}}, f(S_u^2) = N(m-1) \right] = t_T \left[P_{\mathcal{A}} = 0.95; f = 8 \cdot (3-1) = 16 \right] = 2.120$$

Хисобий қийматлар (t_r) , Стюдент критериясининг жадвалий қиймати (t_T) билан солиштирилади, яъни, $t_r > t_T$ шарт бажарилгандаги коэффициентлар ахамиятли, акси бўлса ахамиятсиз деб қабул қилинади. Яъни:

$$t_R(b_1) = 2.59 \succ 2.120 = t_T; \quad t_R(b_2) = 3.41 \succ 2.120 = t_T; \quad t_R(b_3) = 2.25 \succ 2.120 = t_T;$$

$$t_R(b_{12}) = 0.534 \prec 2.120 = t_T; \quad t_R(b_{13}) = 0.007 \prec 2.120 = t_T; \quad t_R(b_{23}) = 0.059 \prec 2.120 = t_T;$$

$$t_R(b_{123}) = 0.059 \prec 2.120 = t_T$$

Демак b_0 , $t_R(b_1)$, $t_R(b_2)$, $t_R(b_3) \ge t_T$ коэффицинтларнинг хисобий қийматлари жадвалий қийматдан катта, шунинг учун бу коэффициентлар ахамиятли, қолган коэффициентлар эса ахамиятсиздир.

Натижада қуйидаги моделни ҳосил қиламиз:

$$Y_p = 582.3 + 4.375x_1 + 5.75x_2 + 3.852x_3. (9)$$

Факторларнинг ҳақиқий қийматидан кодлаштирилган қийматига қуйидаги муносабатлар орқали ўтилади:

$$x_1 = \frac{\ddot{M}_{naxma} - 62}{6}$$
; $x_2 = \frac{\ddot{M}_{unax} - 38}{6}$; $x_3 = \frac{B - 1.01}{0.1}$.

Чиқувчи факторнинг хисобий қийматлари модель орқали хисобланади.

1. (-;-;-) бўлганда:

$$x_1 = \frac{56 - 62}{6} = -1;$$
 $x_2 = \frac{32 - 38}{6} = -1;$ $x_3 = \frac{0.91 - 1.01}{6} = -1;$ $Y_R = 582.3 + 4.375 \cdot (-1) + 5.75 \cdot (-1) + 3.852 \cdot (-1) = 568.323$. $Xamoли\kappa = \frac{Y_R - \overline{y}}{\overline{y}} = \frac{568.323 - 572.2}{572.2} = -0.005$.

Чикувчи факторнинг қолган вариантлари учун ҳисобий қийматлар шу тариқа ҳисобланади. Фишер критерияси ёрдамида олинган моделни адекватлигини (кўрилаётган технологик жараёнга мослигини) текшириш.

Регрессия коэффициентларидан камида биттасини ташлаб юборилган холдагина (ахамиятсизини) курилган моделни адекватлигини яъни кўрилаётган жараёнга мослигини текшириб кўриш Фишер критерияси орқали амалга оширилади. Бу холда хам $F_{\rm R}$ —хисобий киймат, $F_{\rm T}$ — жадвалий киймат билан солиштирилади. Агар $F_{\rm R}{<}F_{\rm T}$ бўлса у холда модел $P_{\rm R}$ эхтимоли билан адекват бўлади.

$$F_T \Big[P_{\partial} = 0.95; f_2 \Big(S_y^2 \Big) = 16; \ f_1 \Big(S_{\mu a \partial}^2 \Big) = 5 \Big] = 4.608;$$
 (10)
 $F_p = 1.064; \ F_T = 4.608, 1.064 < 4.608.$

Демак, $F_R < F_T$ бўлганлиги учун модел адекватдир, яъни тўкима таркибида йигирилган ипак ва пахта иплари улушининг, хамда тўкима зичлигининг ортиши, унинг юза зичлиги кўрсаткичини ўзгаришини мос холда ифодалайди.

Хулоса. Келтирилган статистик тахлиллар ва курилган регрессия тенгламасидан куриниб турибдики, йигирилган пахта ва ипак иплари улуши, ҳамда трикотажнинг халқа қатори баландлиги курсаткичлари узгариши туқиманинг юза зичлигига таъсир этиши исботланди. Яъни чикувчи факторларнинг қийматлари усиб боргани сари, пахта-ипакли трикотаж тукимасининг юза зичлигига ҳам (ортиб боради) таъсир этади.

АДАБИЁТЛАР

- [1] Senthil Kumar B., Ramachandran T. Influence of knitting process parameters on the thermal comfort properties of eri silk knitted fabrics // Fibers and Textiles in Eastern Europe. Vol. 26. 2018. Issue 5. P. 47–53.
- [2] Маматов А.З. Технологик жараёнларни математик моделлаштириш. Услубий кўлланма. Тошкент, 2012.–68 б.
- [3] Севостьянов А. Г. Методы и средства исследования механико-технологических процессов текстильной промышленности. М., 2007.-648 с.
- [4] Маматов А.З. Кўп факторли регрессион моделлар куриш бўйича услубий кўлланма. Тошкент, 1997. 32 б.

Тошкент тўкимачилик ва енгил саноат институти

29.01.2020 й. қабул қилинган

М. Н. Мусаев, Г.Х.Гуляева, М.М. Мукимов. Анализ влияния шелковой и хлопчатобумажной пряжи на материалоёмкость рисунчатого трикотажа

В статье приведены результаты статистического анализа изменения влияния доли шелка и хлопка в составе новых структур трикотажа на его материалоёмкость. В результате научного исследования установлена зависимоть и обосновано, что на материалоёмкость трикотажа оказывает влияние количество в составе трикотажа применяемых нитей и его плотность.

M.N. Musaev, G.Kh. Gulyaeva, M.M. Mukimov. Analysis of the influence of silk and cotton yarn on the material capacity of patterned knitted fabrics

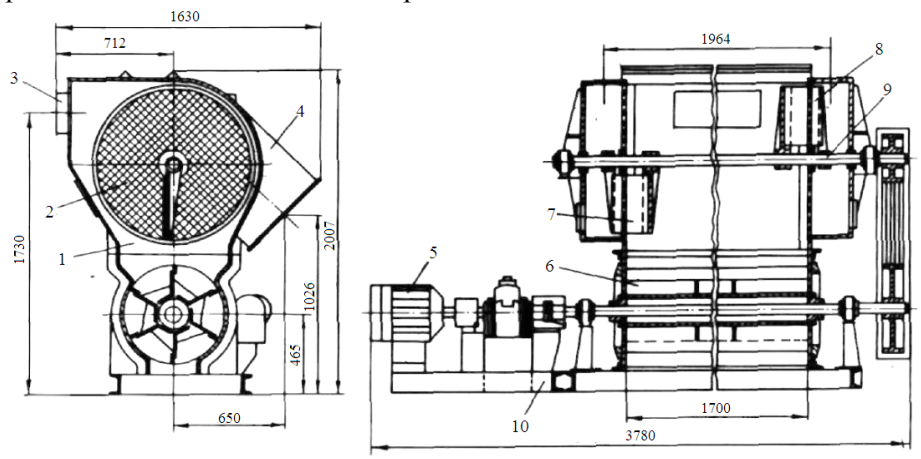
In the article the results of statistic analyze of influence of silk and cotton quantity in the new knitted structures on it's raw material consumption are given. As a result of scientific research, it has been established that it is justified that the material consumption of knitted fabrics is affected by the amount of yarn used in the combination of the knit and its density.

М.Т. ХОДЖИЕВ, Б.М. МАРДОНОВ, Д.Д. ЭШМУРОДОВ

СЕПАРАТОР ТЎРЛИ ЮЗАСИДА ХАРАКАТЛАНЁТГАН ПАХТА ХОМ АШЁСИ ХОЛАТИНИ НАЗАРИЙ ЎРГАНИШ

Кириш. Машина теримининг кенг қўлланилиши ва ишлаб чиқаришни ўсиши пахта тозалаш саноатининг олдига ишлаб чиқариш қувватини ва тайёр махсулот сифатини ошириш талабини қўймокда. Ушбу масалаларни ечиш пахтани ташувчи пневмотранспортнинг ишлашига ҳам кўп томонлама боғлиқ, чунки у пахтани дастлабки ишлаш технологик жараёнида биринчи ва асосий бўлиб ҳисобланади [1]. Пневмотранспорт қурилмасининг самарадорлиги сепараторнинг ишлаш кўрсатгичларига кўп томонлама боғлиқдир.

Сепараторга қуйиладиган асосий талаблар бу пахтани табиий курсаткичларини сақлаган ҳолда, уни ҳаво оқимидан ажратиб олиш ва пневмоқурилманинг босимини минимал йуҳотишлар билан бир маромда ишлашини таъминлашдир.



1-расм. СС-15A сепараторнинг умумий кўриниш схемаси: I—камера; 2—тўрли юза; 3—пахта билан хаво кирадиган кувур; 4—кириш ва чикиш кувури; 5—электроюритма; 6—вакуум - клапан; 7—киргичлар; 8—киргич-тозалагич; 9—вал; 10—рама.

Хозирги вақтда пахта пневмотранспорт қурилмасида СС-15A сепаратори ҳам кенг қўлланилади (1-расм). У қуйидаги қисмлардан ташкил топган: камера I, вакуум-клапан 6, рама 10 га махкамланган электро юритма 5. Ҳавони ажратиш камера Iда орқа девор яхлит пўлат туникадан тайёрланган, ён деворлари эса, ҳавонинг ўтиши учун 6 мм бўлган тешикли тўрли юзадан иборат [2].

Тўрли юзани пахтадан тозалаш вали 9 га ўрнатилган 2 та қирғич 7 лар ёрдамида амалга оширилади. Тўрли юзанинг ташқи юзаси ҳам қирғич-тозалагич 8 ёрдамида тозаланади.

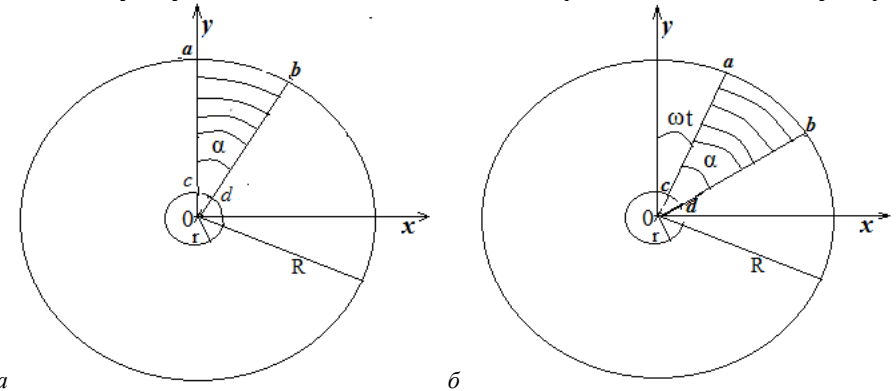
Ишлаш давомида пахта ва ҳаво аралашмаси кириш қувури орқали ҳавони ажратиш камерасига киради. Камера ҳажми катта бўлганлиги учун ундаги оқим тезлиги кескин пасаяди. Пахтанинг асосий қисми инерция кучи бўйича ҳаракатланишни давом эттириб, орқа деворга ўтади, унинг юзасидан сирпаниб вакуум-клапан ёрдамида чиқиб кетади, қолган миқдордаги қисми тўрли юзага келиб урилади. Пахта тўрли юзадан эластик қирғичлар ёрдамида ажратилиб, улар ҳам вакуум-клапанга тушади. Вакуум - клапанга тушаётган пахтанинг ҳаракат қонунияти ҳамда вакуум-клапаннинг ишчи узунлиги бўйича пахтанинг тақсимланиши тўлиқ ўрганилмаган [3].

Маълумотларда кўрсатилишича, сепаратор ёрдамида пахтани қайта кўчиришда тола йўқотилишлари юқори навларда ўртача 0.0285 % ва паст навларда ўртача 0.052 % ни ташкил этади. Кейинги қайта узатишларда йўқотишлар тахминан бир хил микдорга ошади.

СС-15А ва СХ сепараторларини ишлаб чиқаришда қўллашда шу нарса аён бўлдики, уларда толани узилиши ҳамда чигитнинг механик шикастланиш даражасини ошиб бориши рўй бермоқда. Бунга асосий сабаб ҳаводан ажратиб олинаётган пахта тўғридан-тўғри тўрли юза билан тўқнашиб, натижада уни тўрли юзадан қирғич ёрдамида сидириб олинаётганда ҳавонинг босими, пахта билан тўрли юза орасидан ҳосил бўлаётган ишқаланиш кучи таьсирларида пахта толаси узилади ҳамда

чигит механик шикастланади. Мақолада ушбу камчиликларни бартараф этиш мақсадида қушимча ускунадан фойдаланиш ва даставвал сепаратор турли юзасида пахта хом ашёсининг ҳаракатланиш жараёнини назарий урганиш мақсад қилиб қуйилган.

Масаланинг қўйилиши. Тўрли юзага Δp сўриш босим ёрдамида пахта оқими Q_0 микдорда келишини қабул қиламиз (2-расм). Тўрли юзага ёпишиб қолган пахтани тушириш учун ω бурчак тезликда харакатланаётган abcd секторидан фойдаланамиз. Секторнинг пастки қисми (тўрли юзани қоплаётган сепараторнинг вал қисми) ёпиқ бўлиб уни устига тушган пахта эркин холатда бўлиб унинг устидан ўз оғирлиги ва сепаратор вали айланиш хисобига тўсиксиз тушиб кетади. Яъни сектор қисмидан хаво сўрилмаслиги туфайли пахта қатламидан ўтаётган хаво босими 0 га тенг бўлади. Натижада ушбу қисмдаги пахта қатламини қаршиликсиз юзадан тушириб олинади.



2-расм. Тўрли юзага ёпишиб қолган пахтани тушириш учун бурчак тезликда ҳаракатланаётган секторнинг тўрли юзада жойлашиш схемаси: a-t=0; $\delta-t>0$

Қабул қилишимиз бўйича тўрли юзаси устидаги ҳаракатланувчи сектордан ташқари майдондаги бир текисликда жойлашмаган пахтанинг тўлиқ массаси m_0 га тенг.

Секторнинг айланиш жараёнида тўрли юзадаги пахта сидирилиб, очилиб тозаланган майонларга янги пахта қисмлари билан тўлади. Хом ашё ҳаракатини 1-расмда қўрсатилган x0y текисилигида қараймиз, координат бошини тўрли юза марказида ўрнаштириб, 0x ўкини горизонтал 0y ўқини унга перпендикуляр йўналишда оламиз.

Агарда секторнинг *ac* қирраси t=0 моментда 0y ўқи йўналиши бўйича жойлашган бўлса, секторнинг тўрли юзадан ўтиш вақти $t=T=(2\pi-\alpha)/\omega$ ни ташкил этади.

Харакатланувчи abcd секторнинг t > 0 моментдаги холати 2 (б)-расмда акс эттирилган.

Ушбу ҳолатда умумий пахта массаси m (ёпиқ сектордаги пахта массасини инобатга олган холда) қуйидаги ифода орқали аниқланади:

$$m = \frac{Q_0}{\omega}. \tag{1}$$

Агар жараён стационар бўлса, унда $m=m_0$ деб қабул қилинали. (r,θ) қутб координаталарида хом ашё параметрлари факат бурчак θ га боғлиқ деб қабул қиламиз ва стационар холатда ушбу ўзгарувчи $\varphi=\theta-\omega t$ дан фойдаланамиз.

Бу холатда ac ва bd қирраларнинг жойлашуви φ бурчакнинг қуйидаги қийматларига мос келади: $\varphi=0$ ва $\varphi=\alpha$.

Тўрли юзанинг хаво сўриладиган ихтиёрий қисмида пахтани зичлигини ρ орқали белгиласак, унинг хажми сўриладиган майдондаги пахта қатламида босим ўзгаришига боғлиқ бўлган холда унинг микдори куйидагича аникланади [4]

$$\rho = \rho_0 (1 + B\Delta p), \tag{2}$$

бу ерда: ρ_0 – пахтанинг тўрли юзагача бўлган зичлиги; B – тажрибадан аникланадиган коэффициент, $\Delta p = p - p_0$ — босим ўзгариши микдори, бу ерда $p = p(\varphi)$ ва p_0 мос равишда ихтиёрий бурчак φ даги дастлабки босим микдорлари. Сектор юзасидаги босимнинг микдорини куйидагича кабул киламиз: $\Delta p = 0$.

Пахта қатламининг қалинлиги тўрли юза ва сектор майдонида ўзгарувчан бўлганлиги сабабли, унинг ушбу жойларда зичлиги ҳам ўзгарувчан бўлади [5].

Ечиш усули ва натижалар тахлили. Сектор ва тўрли юзадаги пахтанинг массасини m_I ва m_2 деб қабул қиламиз. $d\varphi$ орқали юқоридаги юзаларида қатлам массасини аниқлаштирамиз 2 – расмга кўра:

$$dm_1 = \pi (R^2 - R_0^2) \rho_0 h(\varphi) d\varphi$$
 $0 < \varphi < \alpha$ бўлганда, (3)

$$dm_2 = \pi (R^2 - R_0^2) \rho_0 (1 + B\Delta p) h(\varphi) d\varphi \qquad \qquad \alpha < \varphi < 2\pi - \alpha \; \mbox{бўлганда}, \eqno(4)$$

бу ерда: R_0 – вал радиуси, $h(\varphi)$ – тўрли юзадаги пахта қатламининг қалинлиги. (3) ва (4) тенгламаларни интеграллаш орқали пахта қатламининг ўзгариш қонуниятини қуйидагича келтириш мумкин:

$$m_1 = \pi (R^2 - R_0^2) \rho_0 \int_0^{\varphi} h(\varphi) d\varphi \qquad 0 < \varphi < \alpha , \qquad \text{бўлганда,}$$
 (5)

Тенглама (1) га биноан пахтанинг умумий массаси m_0 га тенг бўлса, ушбу шарт ўринли бўлади:

$$m_1(\alpha) + m_2(2\pi - \alpha) = \frac{Q_0}{\omega}$$
.

(5) ва (6) кўринишдаги тенгламаларни инобатга олган холда, куйидаги ифодалар келиб чиқади:

$$\pi(R^2 - R_0^2)\rho_0\{\int_0^\alpha h(\varphi)d\varphi + \int_\alpha^{2\pi - \alpha} (1 + B\Delta p)h(\varphi)d\varphi\} = \frac{Q_0}{\omega}.$$

Бу тенгламани куйидаги кўринишда ифодалаймиз:

$$\int\limits_0^{2\pi-\alpha}h(\varphi)d\varphi+B\int\limits_\alpha^{2\pi-\alpha}\Delta ph(\varphi)d\varphi=\frac{Q_0}{\pi\omega(R^2-R_0^2)\rho_0}\,.\eqno(7)$$
 $0<\varphi<\alpha$ ораликда Δp =0 шартини эътиборга олиб (7) тенгламани кўйидагича ёзиш мумкин

$$\int_{0}^{2\pi-\alpha} h(\varphi)(1+B\Delta p)d\varphi = \frac{Q_0}{\pi\omega(R^2 - R_0^2)\rho_0}.$$
 (8)

(8) ифода пахтани катламининг калинлиги $h(\varphi)$ ни аниклаш учун интеграл тенгламани беради. Бу тенгламани математик усуллар билан ечими қийин бўлганлиги сабабли пахтанинг қалинлигини аналитик күринишда, яъни тажрибалар асосида қабул қилиниб бир нечта холатларни кўриб чикамиз.

Хисоблаш жараёнида босим ўзгаришини қуйидагича қабул қиламиз:

$$\Delta p = \Delta p_0 = p_1 - p_0 = const.$$

1. Агарда тўрли юза бўйича пахтанинг қалинлиги h_0 бир хил деб қабул қилсак, унда:

$$h_0 = \frac{Q_0}{\pi w (R^2 - R_0^2) [2\pi - \alpha + 2B\Delta p_0(\pi - \alpha)]}.$$

3 - расмда хар хил босим ўзгариши Δp_{θ} (Па) ва иш унумдорлиги Q_{θ} (кг/соат) қийматларида марказий бурчак α (град) га нисбатан h_0 нинг ўзгариш графиклари келтирилган.

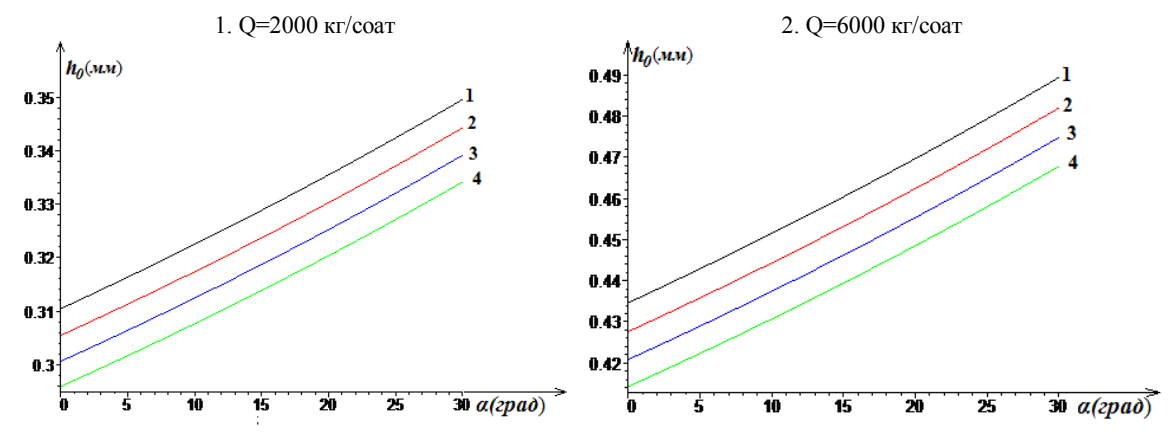
Хисобларда R=0.5 м, $R_0=0.045$ м, B=0.0001 м²/H, $\omega=15$ с⁻¹ қийматлари қабул қилинган.

Графиклар тахлили буйича марказий бурчакнинг α нинг ва босим Δp_0 ошиб бориши билан сектор қалинлиги чизиқли қонуният буйича ошади. Қатлам қалинлиги турли сирт бир хил тақсимланганлиги сабабли, сектор марказий бурчагининг ўзгариши қатлам қалинлиги ошишига катта таъсир этмайди.

Пахта қатламининг қалинлиги ϕ бурчакка нисбатан чизикли қонуният буйича камаяди:

$$h = h_0 (1 - k\varphi) \,, \tag{9}$$

бу ерда: k – мутаносиблик коэффициенти ва $k < 1/(2\pi - \alpha)$, h_0 – секторнинг бошланғич қисмидаги пахта қатлами қалинлиги.

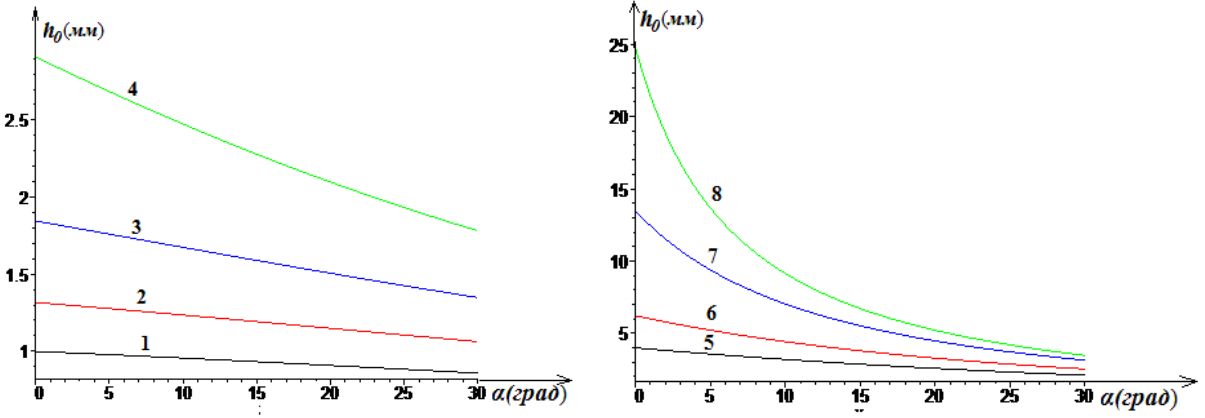


3-расм. Турли хил иш унумдорлиги Q_0 (кг/соат) ва босим ўзгаришини тўрли юзадаги пахта қатлами қалинлигининг α бўйича ўзгариш графиклари Δp_0 (Па): 1– Δp_0 =1050, 2– p_0 =1100, 3– Δp_0 =1150, 4– Δp_0 =1200

(7) тенгламага h қийматларини қуйиб интегралларни ҳисоблаб h_0 ва k ўртасидаги боғлиқликни аниқлаймиз:

$$h_0 = \frac{1}{\pi \rho_0 \omega (R^2 - R_0^2)} \frac{2kQ_0}{1 - [1 - k(2\pi - \alpha)]^2 + B\Delta p_0 \{(1 - k\alpha)^2 - [1 - k(2\pi - \alpha)]^2\}}.$$
 (10)

4-расмда Q_0 =2000 кг/соат иш унумдорлигидаги k параметрнинг турли кийматлари буйича h_0 курсаткичнинг α бурчакка нисбатан графиклари курсатилган. Хисоб натижалари тахлилидан секторнинг бошланғич кисмидаги пахта қатламининг қалинлиги h_0 га босим узгариши деярли таъсири йуқлиги кузатилади. Шунинг учун хисоб-китоблар Δp_0 =1100 Па киймати буйича утказилган. Графикда курсатилгандек, пахта қатламининг қалинлиги оғиш бурчаги k нинг ушбу k_m = $1(2\pi$ - $\alpha)$ қийматига яқинлашиши билан кескин ошиши кузатилади.



4-расм. Қатлам қалинлиги h_0 =h(0) (мм) эгриликларининг k параметри турли кўрсаткичлардаги микдорига боғликлиги: 1-k=0.11; 2-k=0.12; 3-k=0.13; 4-k=0.14; 5-k=0.145; 6-k=0.15; 7-k=0.155; 8-k=0.158

Утказилган назарий тадкикотлар натижасида күйидагиларни хүлоса килиш мүмкин:

СС-15A сепаратордаги тўрли юзага сўриш босими Δp ёрдамида хаво сарфи Q_{θ} бўлган пахта окимини тушиши ва тўрли юзага ёпишиб колган пахтани тушириш учун ω бурчак тезликда харакатланаётган abcd секторини харакат қонуниятлари ўрганилди.

Тўрли юзага жойлаштирилган секторнинг пахта қатламининг қалинлигига таъсирини ўрганишнинг назарий усули таклиф этилган ва бу усулни қўллаш натижасида қатлам қалинлигини аниқлаш учун интеграл тенглама олинди.

Тажриба натижалари билан таққослаш мақсадида қатлам қалинлигининг тўрли юза бўйлаб ўзгаришининг хусусий кўринишларидан фойдаланиш таклиф этилди. Хусусан, қатлам қалинлиги тўрли юза бўйлаб ўзгармас деб қабул қилинса, қалинлик сектор марказий бурчагига ва ташқи босимга нисбатан чизиқли қонуният билан ўзгариши аникланди.

Қатлам қалинлиги юза марказий бурчагига φ га нисбатан чизиқли қонуни $h=h_0(1-k\varphi)$ билан олинса, секторнинг бошланғич қиррасида қатламнинг қалинлиги бурчак коэффициенти k ошиши билан кескин ошиши кузатилди. Шундай қилиб, қатлам қалинлигининг юза бўйлаб нотекислиги

ошиб бориши юзага берилаётган пахта массанинг асосий улуши сектор юзасига тарқалиши мумкинлиги аникланиб, бундай ҳолат қирғичнинг юзадаги пахтани бир текисда сўриш жараёнига салбий таьсир этиши мумкинлигини кўрсатади.

Пахтани хаво окимидан ажратиш жараёнида тўрли юзанинг чигитли пахтага таъсирини назарий ўрганиш натижасида янги такомиллаштирилган изоляцион камерали сепаратор курилмаси яратилади. Шунинг натижасида чигитни механик шикастланиш даражаси 1.74 кг/соатга ва калта толаларни пайдо бўлишини 1.52 баробарга камайишига эришилади.

АДАБИЁТЛАР

- [1] Зикриев Э. Технологический регламент переработки хлопка-сырца // Ассоциация «Узхлопкопромсбит» и РНЦ «Хлопкопром». Ташкент: Мехнат, 1997. 110с.
- [2] Жабборов Ғ.Ж., Отаметов Т.У., Хамидов А. Чигитли пахтани дастлабки ишлаш технологияси. Тошкент, 1987. 99 б.
- [3] Шодиев 3.О. СХ сепараторида пахта окимини тенг таксимлаш тизимини яратиш // номзодлик диссертацияси. Тошкент, 2009. 18 б.
- [4] Ходжиев М.Т. Основы процесса уплотнения хлопка- сырца. Ташкент: Фан, 1996. 156 с.
- [5] Khodjiev M.T., Murodov O.J., Eshmurodov D. "Creation of Scientific-Based Construction of the Separator with Insulation Camera // International Journal of Innovative Technology and Exploring Engineering (IJITEE). Vol. 9. Issue-4. February 2020.

Тошкент тўкимачилик ва енгил саноат институти

07.02.2020 қабул қилинган

М.Т.Ходжиев, Б.М.Мардонов, Д.Д.Эшмуродов. Теоретическое изучение положения хлопка-сырца, перемещающегося по сетчатой поверхности сепаратора

В статье проанализированы недостатки сепаратора, связанные с ухудшением качественных показателей хлопка-сырца в процессе съема его с сетчатой поверхности. Предложена теоретическая модель описания этого процесса при наличии на поверхности сектора с нулевым давлением.

M.Т.Ходжиев, Б.M.Мардонов, Д. \mathcal{A} . Эшмуродов. Theoretical study of the position of cottonseed moving on the mesh surface of the separator

The article analyzes the disadvantages of the separator associated with the deterioration of the quality indicators of raw cotton in the process of removing it from the mesh surface. A theoretical model is proposed for describing this process in the presence of a sector with zero pressure on the surface.

УЎК 677.21.07

А.Х. СИДИКОВ, О.Ш. САРИМСАКОВ.

ЦИЛИНДРИК ТОШТУТГИЧДА ЗАРБА КУЧИНИ КАМАЙТИРИШ

Чизикли тоштутгичлар ташилаётган пахтанинг технологик ва сифат кўрсаткичларига таъсир киладиган биринчи курилма бўлиб, пахтани хаво ёрдамида ташиш жараёнида ёт жисмлардан, шунингдек оғир аралашмалардан тозалаш учун хизмат қилади.

Тадқиқотлар шуни кўрсатдики, пахта хом-ашёси чизикли тоштутгичлар деворларига маълум бир куч билан урилади. Бу урилишлар толада нуксонлар хосил бўлишига ва чигит сифатининг пасайишига олиб келади.

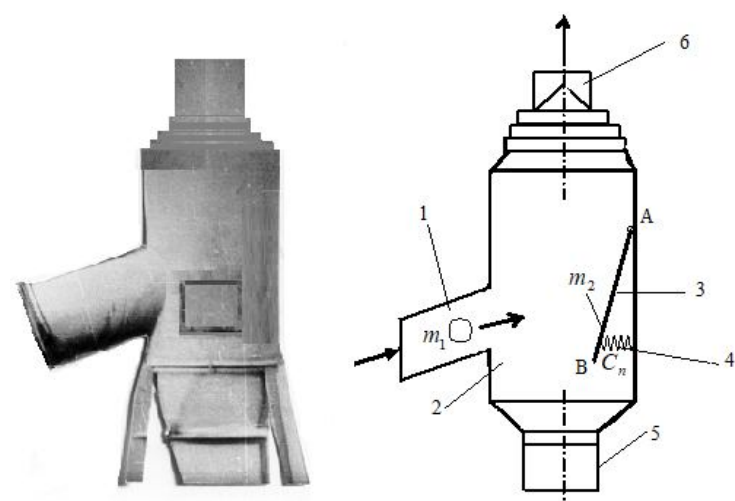
Кўплаб олимларимиз томонодан тоштутгич камерасида пахта бўлакчаларнинг харакатини ўрганиш ва курилманинг айрим конструктив ва технологик параметрларини аниклаш оркали назарий асослар яратилган.

Ўтказилган тадқиқотлар натижасига кўра 1.2–1.7% чигитнинг шикастланиши, пахта бўлакчаларини ҳаво ёрдамида ташувчи қурилма қувурлари ичидаги ҳаракати давомида, унинг деворларига урилиш оқибатида содир бўлар экан. Бу эса ўз навбатида пахта толасида 0.3–0.4% гача нуксонларнинг ҳосил бўлишига олиб келади.

Бундан ташқари пахтани ҳаво билан ташувчи қурилманинг асосий элементларидан бири бўлган пахтанинг такибидаги оғир аралашмалардан тозаловчи тоштутгичда ҳам чигитнинг шикастланиши юз беради.

Бу жараён пахтанинг цилиндрик тош тутгичнинг ишчи камераси деворига урилиши натижасида хосил бўладиган зарба кучи таъсирида содир бўлар экан.

Ушбу тадқиқот ишида зарба кучини камайтириш мақсадида, тоштутгичнинг ишчи камерасининг пахта уриладиган қисмига пружина ўрнатилган пластинка жойлаштирилган (1-расм). Бу ўз навбатида пахта бўлакларининг ҳаво оқимидаги тезлигини ошириш имкониятини яратади.



1 - расм. Цилиндриктоштутгич (М.Г.-1454882): 1 – кириш қувури; 2 - ишчи камера; 3 - пластинка; 4 – пружина; 5 – чўнтак; 6 – чикиш қувури.

Тоштутгич қуйидагича ишлайди: Ҳаво ёрдамида ташувчи қурилмада ташилаётган пахта, ҳаво билан тоштутгичнинг кириш қувури (1) орқали ишчи камера (2)га кириб келади. Бунда пахта ишчи камерасида пружина (4)га ўрнатилган пластинка (3)га келиб урилади. Пахтанинг тезлиги бироз камайган ҳолда, вертикал йўналишда юқорига чиқиш қувури (6) орқали кейинги машинага узатилади. Пахтага нисбатан оғир бўлган аралашмалар юқорига кўртарила олмасдан пахтадан ажралади ва пастга чўнтак (5) га келиб тушади.

Тоштутгич ишчи камерасига кириб келаётган m_I массали пахта бўлаги V_I тезлик билан AB пластинка ўртасига келиб урилиши натижасида $P_{\partial u H}$ динамик куч хосил бўлади ва уни куйидаги формула ёрдамида аниклаймиз:

$$P_{\partial uH} = kP_{CT}, \qquad (1)$$

бу ерда k – динамик коэффициент; P_{CT} – статик куч.

Динамик коэффициент энергиянинг сақланиш қонунига кўра қўйидаги формула бўйича хисобланади

$$k = 1 + \sqrt{1 + \frac{v_n^2}{g\Delta_{CT}(1 + \frac{m_2}{m_1})}},$$
(2)

бу ерда v_n — пахтанинг тезлиги м/c; g — эркин тушиш тезланиши м/c²; Δ_{CT} — статик куч таъсирида ҳосил бўладиган деформация м; m_I — пахта бўлагининг массаси кг; m_2 — пластинканинг массаси, кг.

Статик куч таъсирида ҳосил бўладиган деформацияни пружина ва пластинкаларни мос деформациялари йиғиндиси каби олинади, яъни

$$\Delta_{CT} = \Delta_{npv \to c} + \Delta_{n\pi ac} \,, \tag{3}$$

бу ерда $\Delta_{npyж}$ – пружинанинг статик деформацияси; Δ_{nnac} – пластинканинг статик деформацияси.

Пружина ва пластинканинг статик деформациялари, статиканинг мувозанат шартлари орқали қуйидаги формулалар билан ҳисобланади:

$$\Delta_{CT} = \frac{8D^3n}{cd^4},\tag{4}$$

$$\Delta_{nnac} = \frac{Pl^3}{48EJ_{v}},\tag{5}$$

бунда D — пружинанинг катта диаметри; d — пружина кичик диаметри; n — ўрамлар сони; c — пружинанинг эластиклик коэффициенти; P — пластинкага таъсир қилувчи куч; l — пластинка узунлиги; J_y — инерция моменти; E — эластиклик модули.

Статик куч қуйидаги формула ёрдамида аниқланади:

$$P_{CT} = m_1 g + m_2 g , \qquad (6)$$

бунда m_1 – пахта бўлагининг массаси; m_2 – пластинканинг келтирилган массаси; g – эркин тушиш тезланиши, м/с.

Ўтказилган тадқиқотлар натижасига кўра олинган пружинанинг кичик ва катта диаметрларини ўзгартириш натижасида пружина деформацияси ва ҳосил бўлган динамик куч микдорлари ўзгариши 1-жадвалда келтирилган.

1-жадвал. Пружина диаметрлари ўзгаришининг унинг деформациясига ва динамик куч микдорининг ўзгаришига таъсири

№	D, mm	d, mm	n	v_n	Δ_{CT} , M	с – пружинанинг эла- стиклик коэффициенти	ΔK_g динамик коэффициент	$P_{ m g}$ динамик куч, Н
1	30	3	12	10	0.45	1,25	2,9	33,06
2	40	4	12	10	0.35	1,6	3,1	35,34
3	16	2	12	10	0.35	1,6	3,1	35,34
4	24	2,4	12	10	0.6	0,9	2,7	30,88

1-жадвалда олинган натижаларни тахлил қилиб пружинанинг катта ва кичик диаметрларини ўзгартириш динамик куч микдорини унча катта микдорга ўзгармаслигини кўрдик. Шунинг учун, уни танлашда ўрнатилиши кулай пружинани олиш мумкин экан.

Тадқиқотлар натижасига кўра, пружина деформацияси ва динамик куч микдори, геометрик ўлчамларига (1-жадвал), ҳамда ўрамлар сонига боғлиқ ҳолда ўзгариши эса 2-жадвалда келтирилган.

2-жадвал. Пружина ўрамлар сонининг унинг деформациясига ва динамик куч микдорининг ўзгаришига таъсири

№	<i>D,</i> мм	<i>d,</i> мм	n	v_n	Δ_{CT} , M	с-пружинанинг эластик- лик коэффициенти	$\Delta K_{ m g}$ динамик коэф- фициент	$P_{ m g}$ динамик куч, Н
1	30	3	10	10	0.38	1.5	3.06	35
2	30	3	15	10	0.57	1	2.7	31.79
3	30	3	8	10	0.3	1.87	3.26	37.31
4	30	3	6	10	0.22	2.5	3.57	40.85
5	30	3	20	10	0.76	0.75	2.62	29.97

2-жадвалда олинган натижаларга кўра ўрамлар сонини ўзгартириб кўрилганда, динамик куч микдорининг сезиларли даражада ўзгариши мумкинлиги аникланди. Шунинг учун ўрамлар сони имкон даражада кўпайтириш максадга мувофик эканлиги белгилаб олинди [1–4].

Хаво ёрдамида ташувчи курилмада, куритиш-тозалаш цехи билан ғарамлар орасидаги масофанинг ўзгариб туриши, унда ҳаракатланаётган пахта тезлигини ўзгариб туришига сабабчи бўлади. Шунинг учун, кувурдаги ҳавонинг тезлигини ўзгартириб кўрилди. Олинган натижалар 3-жадвалда келтирилган.

Хаво тезлиги ўзгаришининг динамик куч микдоринин гўзгаришига таъсири

No	<i>D</i> ,	<i>d,</i> мм	n	v_n	Δ_{CT} , м	c – пружинанинг эластик- лик коэффициенти	$\Delta K_{ m g}$ динамик коэф- фициент	P_g динамик куч, Н
1	30	3	10	8	0.38	1.5	2.75	31.51
2	30	3	10	10	0.38	1.5	3.06	35
3	30	3	10	15	0.38	1.5	3.88	44.38
4	30	3	10	20	0.38	1.5	4.74	54.23

Хулоса. Шундай қилиб, 3-жадвалда тоштутгич камерасида пахтанинг кўпрок харакатланиши мумкин бўлган 15 м/с тезлигини танлаб олинди ва унда хосил бўлган динамик куч микдорини чигитни шикастлантириш мумкин бўлган куч микдоридан 1.5 маротаба камлигини аникланди.

Назарий тадкикотлар натижасида тоштутгич камерасида ҳаво ёрдамида ташувчи курилманинг иш унумдорлиги ва кувурдаги пахта тезлигининг ўзгаришларини ҳисобга олган ҳолда чигитнинг шикастланишининг олдини олиш имконига эга бўлган пружина асосда жойлашган қайтаргич ўрнатиш таклиф қилинди. Олинган натижалар зарба кучи сезиларли камайганлиги ва унинг микдори чигитни шикастлантирмаслигини кўрсатди.

3-жадвал

АДАБИЁТЛАР

- [1] Рустам Мурадов. Пахтани хаво ёрдамида ташувчи курилма самарадорлигини ошириш асослари// Тошкент, Фан. 2014.
- [2] Мурадов Р. Изучение движения частиц в разделительной камере цилиндрического камнеуловителя // Узбек-
- ский журнал «Проблемы механики». 2002. №1. С. 13–16.
 [3] Мурадов Р., Каримов А., Азизов Ш. Тош тутгичда пахтага таъсир килувчи зарба кучини камайтириш // "Механика муаммолари" Ўзбекитон журнали. 2003. № 5. 44–47 б.
- [4] Мурадов Р. Изыскание путей снижения поврежденности семян в рабочей камере камнеуловителей. // Тезисы докладов межд. конференции. Ташкент, 1993. – 123 с.

Наманган мухандислик-технология институти

11.02.2020 й. қабул қилинган

А.Х.Сидиков, О.Ш.Саримсаков. Снижение силы удара на цилиндрический уловитель

В процессе перемещения кусков хлопка в уловитель камеры были продемонстрированы способы снижения силы удара на основе как теоретических, так и практических исследований.

A.Kh. Sidikov, O.Sh. Sarimsakov. Reducing the impact force on the cylindrical catcher

In the process of moving pieces of cotton into the trap chamber, methods for reducing the impact force were demonstrated on the basis of both theoretical and practical studies.

УЎК 621

А.АБДУКАРИМОВ, И.Х. САЙДОҚУЛОВ, А.А. АБДУЛЛАЖОНОВ

ВАЛИКЛИ МАШИНАЛАР УЗАТИШ МЕХАНИЗМЛАРИНИНГ ЭКСПЕРИМЕНТАЛ ТАХЛИЛИ

Ишчи валларидан бирининг айланиш маркази вертикал харакатланувчи валикли машинада қўлланиладиган узатиш механизмларининг ишлов бериладиган материал сифатига ва ишчи валлар қопламасининг умрбокийлигига таъсирини аниклаш мақсадида синов тадкиқотлари ўтказилган [1, 2]. Синовлар сиқувчи валикли машинага икки турдаги, олдин иккита тишли ғилдиракдан ташкил топган узатиш механизмини, сўнг тишли-ричагли дифференциал узатиш механизмини қўйиб ўтказилган. Синов натижаларида валикли машинага тишли-ричагли дифференциал узатиш механизми (ТРДУМ) қўлланилганда фойдалирок экани кўрсатилган.

Тадқиқотлар шуни кўрсатадики, ишчи валларининг ўклараро масофаси ўзгарувчан валикли машиналарда ТРДУМ дан фойдаланиш, ишчи валларнинг ўклараро масофасининг ўзгаришига боғлиқ бўлган ишчи вал ва ишлов бериладиган материал орасидаги геометрик сирпанишларни, ишчи валларнинг ўклараро масофасининг ўзгаришига боғлик бўлмасдан валларнинг синхрон айланишини таъминлаш туфайли бартараф этиш мумкинлиги курсатилган [1, 2].

Бошқа томондан жуда күп текшириш ишларида [3] узатиш механизмларисиз ишлайдиган валикли машиналардан фойдаланиш жараёнида етакланувчи вални айланишига мажбур киладиган омил сифатида ишлов бериладиган материалнинг ишлатилиши ишлов бериладиган материал сифатига салбий таъсир кўрсатгани ва вал копламаларининг тез емирилиши вужудга келгани кўрсатилган. Чунки ишчи валлар орқали ўтадиган буровчи момент ишчи валлар қопламалари ва ишлов бериладиган материал орқали фрикцион кучлар таъсирида узатилади.

Сикувчи валикли машиналарда ишлов бериладиган материалдан (тери хом ашёсидан) намликни яхши сикиб чикариш учун суюкликни ютадиган эгилувчан моншонлардан фойдаланилади [4]. Улар ишчи валларга ташкари томандан кийдириладиган цилиндир шаклидаги қоплама ёки сиқувчи ва тутиб турувчи валларни ўрайдиган чексиз лента сифатида тайёрланади. Фойдаланиладиган покришкалар қалинлиги ва материали буйича турлича. Валикли сиқув машиналари ишчи валларининг покришкалари қалинлиги 8 мм, асосига 20 % капрон аралаштирилган түрт қатламли жүн түкимадан тайёрланади. Шүнингдек, тоза жүндан тайёрланган қалинлиги 30 мм хорижда ишлаб чиқарилган покришкалардан ҳам фойдаланилади [5].

Узбекистондаги тери заводларида BOПМ-1800 K ва 07599/P3 русумидаги сикувчи валикли машиналари ишлатилади. Улардан бирида сукном – 0 (артикул № 77, ТУ 17 – 6057-73, сукно БМ), иккинчисида 07599/877 Е2 4 мм қалинликка ва валга 4 марта ўралган синтетик қоплама (обшивка) (сукно ЛАШ) покришкалари қўлланилади [6].

Ишлов бериладиган (тери хом ашё) материалнинг кўринишига, сикувчи валлари диаметрлари орасида хосил қилинадиган босимга, ишлатиладиган машиналарнинг сикиш тезлигига қараб моншонлар 2 ойдан 4 ойгача, баъзан ундан ҳам камроқ хизмат қилади [1, 5].

Моншонларнинг ишлаш муддати асосан уларнинг ейилиши билан боғлиқ. Эксплуатация жараёнида сиқувчи машиналарнинг ишчи валлари моншони ейилади ва уларнинг қалинлиги камаяли.

Сиқувчи валларнинг покришкаларини ейилишини бир нечта классификациялари мавжуд. Энг кўп тарқалган ейилиш турларига абразив, толиқишдан ейилиш, коррозион, кавигацион ва бошқалар киради [7].

Ишчи валларидан бирининг айланиш маркази ёйсимон ҳаракатланувчи валикли машиналар узатиш механизмини валлар покришкаси ейилишига (жумладан, ишлов бериладиган материалнинг сифати бузилиши билан ейилишига) таъсирини аниклаш мақсадида синов тадқиқот ишлари ўтказилди

Синов тадкикотлари ЎзР ФА М.Т.Ўрозбоев номидаги Механика ва иншоотлар сейсмик мустахкамлиги институтининг «Машина ва механизмлар назарияси» лабораториясида ўрнатилган экспериментал валикли сикиш машинасида ўтказилди.

Сиқиш машинаси иккита сиқувчи валлардан иборат бўлиб, унинг сиртига тўрт қатлам моншонлар (сукно ЛАШ) ўралган. Пастки сиқувчи вал ўз ўқи атрофида айланиш имкониятига эга қилиб станинага ўрнатилган. Юқори сиқувчи вал ўз ўқи атрофида айланишга эга ва айланиш маркази ёйсимон ҳаракатланиш имкониятини берувчи ричаг ёрдамида таянчга ўрнатилган.

Машинанинг юритмаси электродвигатель, муфта, РЧУ-100 типидаги червякли редуктор, етакловчи сикувчи вал учун занжирли узатмадан тузилган.

Ишчи валлардан бирининг айланиш маркази ёйсимон ҳаракатланувчи валикли машина сиқувчи валлар орасига ТРДУМ ўрнатилган. Машина конструкцияси бу механизмни иккита тишли ғилдиракдан иборат узатиш механизмига алмаштириш имконини беради.

Синов сикувчи машина куйидагича техник характеристикага эга:

- сиқувчи валларнинг диаметри (моншонсиз), 0.125 м;
- тўрт қатламли қоплама қалинлиги (юкланишсиз), 0.016 м;
- сиқувчи валларнинг ишчи кенглиги, 1.0 м;
- сикувчи валнинг тезлиги, 0.3 м/с;
- сикувчи валлар орасидаги ишчи босим, 6000 н/пог.м.

Ейилиш катталиги турлича усуллар билан аникланади. Унча катта булмаган деталлар оғирлигини тортиш усули билан аникланади. Шунингдек, ейилишни пневматик микрометрлаш, ричагли мослама, соат типидаги индикатор, индукцион датчиклар, тензометрик микрометрлаш ва бошқа усуллар билан аникланади.

Ейилиш катталигини аниклашнинг энг кўп таркалган усулларидан бири микрометрик ўлчаш усули ҳисобланади. Бу усул кўпрок деталларнинг катта абсолют ейилишини аниклашда ишлатилади. Бу усул деталларнинг механик контакт ёрдамида ўлчашга асосланган, ёки бошка приборларда ейилишгача ва ейилгандан кейин ўлчашга асосланган. Моншонлар ейилишини ўлчаш учун микрометрик ўлчаш усулидан фойдаланилди [7].

Юкоридаги сикувчи вал копламаси ейилишини ўлчаш бир мунча кийинчилик туғдиради, чунки юкори вал айланма ҳаракатдан ташқари ёйсимон ҳаракатга ҳам эга. Валларнинг покришкалари нотекисликларга эга, ейилиш катталигини бирдан-бир жойда ўлчаш қийин. Ейилишни ўлчаш учун бирданига юкори ва пастки сикувчи валларни ейилиш йиғиндисини аниқлаш жуда қулай, бунинг учун валнинг четларида копламасиз юзалар қолдирилади, бу эса ўлчашда синовгача ва синовдан кейинги қопламанинг ейилиши йиғиндисини беради. Моншонни валда силжишини олдини олиш учун моншонларнинг бир учи валга клей билан ёпиштириб куйилади.

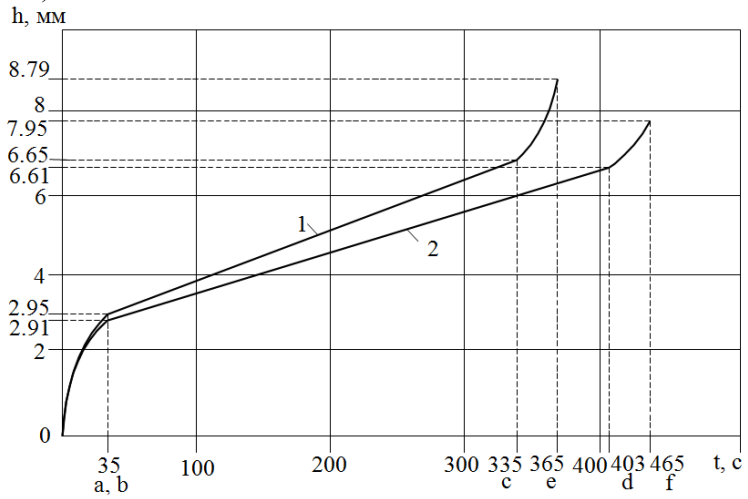
Ўлчашлар ҳар сиқувчи валнинг қоплама юзаси билан мос тушадиган тўртта чизиқ бўйича ўтказилади, Ҳар бир сиқувчи вал айлана юзаси бўйлаб ҳар бири 90° дан 4 та чизиққа бўлинади. Юқори ва пастки валларни шундай ўрнатилдики, чизиқлар шахмат тартибида 45° орқали мос тушсин.

Ейилиш катталигини ўлчаш учун №2 ва 3 шуплардан (0,00002 ва 0,00005 бўлиш шкаласига эга бўлган ГОСТ 882-64) фойдаланилди.

Сиқувчи валларнинг моншонлари юзаси 8 та чизиқ бўйича ҳар 8 соатлик ишлаганидан сўнг ўлчашлар ўтказилди. Синов натижаларини ишончлилигини орттириш ҳамда уни ишлаб чиқариш шароитига яқинлаштириш учун моншонлар синов вақтида сув билан намлаб турилди. Синов сиқувчи валикли машинада иккита тишли ғилдиракдан иборат узатиш механизмини ва ТРДУМ ни қўллаш билан ўтказилди.

Қопламининг ейилишини ўлчаш, ишчи (сиқувчи) валларнинг бошланғич диаметри (иш бошланишдан аввалги ўлчами) ҳамда маълум давр мобайнида ишлагандан сўнг ҳисоблаш орқали аниқланди.

Ўлчаш натижалари асосида моншонларнинг ейилиш даражасини вақтга боғлиқ ўлчаш графиги қурилди (расм).



Турлича узатиш механизмларидан фойдаланилганда сиқувчи валларнинг қопламасини валлар орасидаги ейилишга боғлиқлиги: I – иккита тишли ғилдиракдан ташкил топган узатиш механизми; 2 – тишли-ричагли дифференциал узатиш механизми

Материалнинг ейилишини чизикли, массавий, энергетик интеграл интенсив ейилишдан фойдаланиб бахолаш кабул килинган [8].

Бизга ейиладиган қатлам қалинлигини $h_{e\bar{u}}$ унинг ишқаланиш йўлига L_{uu} нисбати ейилиш ҳосил бўлиб ўтиши, J_n интеграл чизиқли ейилиш интенсивлиги кўпроқ мос келади.

$$J_n = \frac{h_{e\bar{u}}}{L_{uu}}.$$

Катталикнинг ўзгариши фақат ейилиш билан асосланган, балки қоплама материалининг қолдиқ пластик деформацияси билан ҳам машина деталларининг бириккан юзалари ишқаланиши интенсивлиги ишнинг давомийлига боғлиқ.

1-расмдан кўринадики, кўриб чиқилаётган ҳолатда сиқувчи валнинг ейилиши турлича вақт оралиқларида турлича бўларкан. Ейилиш жараёнини қуйидаги даврларга бўлса бўлади:

- 1) бошланғич давр ёки O_a ва O_b ишлаш вақтлари оралиғи;
- 2) ейилиш даврини ўрнатилиши ёки ad ва bc меъёрий ишлаш вақтлар оралиғи;
- 3) емирилиш даври ёки *ce* ва *df* вактлар оралиғидаги аварияли емирилиш.

Ишлаш вақтида сиқувчи валларнинг ейилиши иккита тишли ғилдиракдан иборат бўлган узатиш механизмларида ва тишли-ричагли типидаги узатиш механизмларида сезиларли тезликда деярли бир хилда бўлиб ўтади. Шу билан тушунтириладики, бошланғич даврларда ейилиш чўккан жойларда бўлиб ўтади, яъни қопламанинг қолдиқ деформацияланган жойларида бўлиб ўтади.

Сиқувчи валлар қопламасининг ўрнатилган ейилиш даврида иккала узатиш механизмларида ейилиш бир хилда ва текис бўлиб ўтади, чунки ишлаш давридан сўнг қоплама юзалари соф ейилишга учрайди.

Аварияли емирилиш даврида емирилиш даражаси бирданига ортиб кетади. Бу шу билан тушунтириладики, шу лахзадан бошлаб сикувчи валлар копламасининг кўп марта такрорланиб деформацияланишидан, толикишдан емирилиши ортади. Бундан ташкари бу даврда сикувчи валнинг копламаси юзасида нуксонлар кўринади. Нуксонлар пайдо бўлиши билан моншонларнинг

юзасида бирданига ёмонлашиши кузатилади, шунингдек нуксон бўлган жойларда қаватланади ва юзанинг нотекислиги ортади.

Сиқувчи валнинг қопламасини чизиқли интенсив емирилишни аниқлаймиз. Ишқаланиш йўли L_{uu} қуйидаги формуладан аниқланади:

$$L_{uu} = V_{ob} \cdot t$$
,

бу ерда $V_{o\delta}$ – вал тезлиги; t – ейилиш вақти.

Сикувчи валнинг қопламаси юзаси ишлаш даврида иккита тишли ғилдиракдан иборат узатиш механизми қўлланилганда $h_{e\bar{u}} = 0.00295$ м, t=126000 с.Формулалардан

$$J_{1m} = \frac{0.00295}{37800} = 78 \cdot 10^{-8}$$
.

Тишли-ричагли дифференциал узатиш механизмидан фойдаланилганда

$$h_{e\ddot{u}} = 0.00291 \text{ m}, \text{ t} = 126000 \text{ c}; \ J_{1mp} = \frac{0.00291}{37800} = 76.98 \cdot 10^{-8}.$$

Меъёрий ишлаш жараёнида ишқаланадиган юзаларда сиқувчи вал оралиғида иккита тишли ғилдиракдан иборат узатма бўлса $h_{e\ddot{u}}=0.004$ м, t=990000 с, тишли-ричагли дифференциал узатиш механизмидан фойдаланилса, $h_{e\ddot{u}}=0.004$ м, t=1440000 с.

Бундан

$$J_{2m} = 1.35 \cdot 10^{-8}$$
, $J_{2mn} = 0.925 \cdot 10^{-8}$.

Аварияли емирилиш даврида ишқаланиш юзаси қуйидаги параметрларга эга бўлади $h_{e\ddot{u}}=0.0018$ м, t=126000 с, $h_{e\ddot{u}}=0.00123$ м, t=126000 с, бунга мос холда сиқувчи валнинг ишлаш режими бўйича иккита тишли ғилдиракдан иборат узатма ва ТРДУМ да

$$J_{3m} = 4.84 \cdot 10^{-8}$$
, $J_{3mp} = 3.25 \cdot 10^{-8}$.

Юқоридаги формулалардан кўринадики, сикувчи вал қопламасининг ейилиш интенсивлиги ишлаб чикиш жараёнида деярли бир хилда, жуда кам фарк килади. Бу шу билан тушунтириладики, бу ҳолатда емирилишга нисбатан деформациянинг хиссаси кўпрок, емирилишнинг хиссаси агарда иккита тишли ғилдиракдан иборат узатиш механизмига нисбатан ТРДУМ дан фойдаланилса камрок бўлади, емирилиш интенсивлигини унча катта бўлмаган фарки билан асосланади.

Ўрнатилган емирилиш даврида, ишчи валлар қопламасининг умрбоқийлигини айнан емирилиш интенсивлиги аниқлайди, бу даврда тишли-ричагли узатиш механизмларида (J_{2mp}) иккита тишли ғилдирақдан иборат узатиш механизмларига (J_{2m}) нисбатан деярли 40 % га паст.

Бу шу билан тушунтириладики, ўқлар орасидаги масофаси ўзгарадиган иккита тишли ғилдиракдан иборат узатувчи механизмни қўллашда ишчи вал моншонлари ва ишлов бериладиган материал орасида механик сирпаниш содир бўлади. Ўқлараро масофани орттирилганда эса етакловчи вал қолиб кетади, қисқартирилишида эса етакловчи вал буралиш бурчаги етакловчиникидан олдинлаб кетади. Авриялик емирилиш даврида ейилиш интенсивлиги ўрнатилган ейилиш давридагиникига нисбатан кичик фарқ билан бўлиб ўтади, бироқ ишга тушиш вақтидагига нисбатан катта фарқ қилади. Иккала ҳолатда ҳам ейилиш интенсивлиги катта бўлади. Бу шу билан тушунтириладики, толикиш характеридаги емирилишнинг хиссаси бу ҳолатда нуқсонларнинг пайдо бўлиши билан кучаяди. Бунга қарамай, айланиш маркази ёйсимон ҳаракатланувчи валикли машиналар узатиш механизмида ейилиш интенсивлиги иккита тишли ғилдиракдан иборат узатиш механизмидан камрок. Бунга асосан ҳудди вал қопламаларининг ўрнатилган давридагидек сабабни кўрсатиш мумкин.

Шундай қилиб, исботланадики, ейилиш интенсивлигига айланиш маркази ёйсимон ҳаракатланувчи валикли машиналар узатиш механизмидан фойдаланилганда узатувчи механизмининг хоссаси сезиларли таъсир кўрсатади. Ишчи валларидан бирининг айланиш маркази ёйсимон ҳаракатланланувчи валикли машиналарда ТРДУМ дан фойдаланилганда сиқувчи валлар иккита тишли ғилдиракли узатиш механизмларига нисбатан 1.4 мартага узокрок хизмат қилади.

Шунингдек, валлар моншонининг ейилиши ишлов бериладиган материал ейилишига тўғри пропорционал, бундан ишчи валларидан бирининг айланиш маркази ёйсимон ҳаракатланувчи

валикли машиналарда тишли-ричагли дифференциал узатиш механизми қўлланилганда материалнинг сифати ортиши кўриниб турибди.

Хулоса қилиб айтганда, биз таклиф қилаётган тишли-ричагли дифференциал узатиш механизмидан фойдаланилганда, технологик жараённи сифатли бажариш, ишлов берилаётган материалнинг сифатини яхшилаш ва ишлаб чиқариш курсаткичини ошириш учун қуллаш мумкин.

АДАБИЁТЛАР

- [1] Бахадиров Г. А., Абдукаримов А, Цой Г.Н. Исследование исполнительных механизмов технологических машин с вертикальной подачей обрабатываемого материала // Решение проблемных вопросов теории механизмов и машин. Республиканская научно-практическая конференция. Тезисы докладов. Ташкент, 1992. 86 с.
- [2] Абдукаримов А.А., Бахадиров Г.А. Теоретико-экспериментальные исследования по определению влияния механизма передачи валковых машин на свойства обрабатываемого материала // Ученые и специалисты в решении проблемных вопросов теории механизмов, машин хлопкового комплекса. Тезисы докладов. Ташкент, 1990 45 с
- [3] Бахадиров Г. А. Механика отжимной валковый пары. Ташкент: Фан, 2010. 155 с.
- [4] Бахадиров Г.А., Аманов Т.Ю., Цой Г.Н., Набиев А.М., Мусиров М.У. Экспериментальное исследование деформационных свойств влагонасыщенного кожевенного полуфабриката // Научнотехнический журнал. ФерПИ. Фергана, 2019. № 4. С. 174–178.
- [5] Бурмистров А.Г. Машины и аппараты производства кожи и меха. М.: Колос, 2006. 384 с.
- [6] Инструкция по наладке и обслуживанию. 07599-РЗ. Текстовая часть и перечень спецификации. Прага, 1979. 79 с.
- [7] Крачельский И.В. Михин Н. М. Узлы трения машин. Справочник. М.: Машиностроение, 1984. –280 с.
- [8] Аманов Т.Ю., Бахадиров Г. А. Экспериментальное исследование степени износа покрытий отжимных валов // Деп. в ВИНИТИ. 1987. № 5378-В87. 11 с.

ЎзР ФА М.Т. Ўрозбоев номидаги Механика ва иншоотлар сейсмик мустахкамлиги институти

08.03.2020 й. қабул қилинган

А.Абдукаримов, И.Х. Сайдокулов, А.А. Абдуллажонов. Экспериментальный анализ передаточных механизмов валковых машин

В статье приведены результаты экспериментальных исследований двух передаточных механизмов для валковых машин с дугообразным перемещением центров вращения одного из рабочих валов.Показано, что один механизм состоит из двух зубчатых колес, а другой зубчато-рычажный дифференциальный передаточный механизм (ЗРДПМ) и в сравнении раскрыты преимущества ЗРДПМ.

A.Abdukarimov, I.Kh. Saidoqulov, A.A. Abdullajonov. Experimental analysis of gears of roll machines

The article presents the results of experimental studies of two transfer mechanisms for roller machines with an arc-like movement of the centers of rotation of one of the working shafts, one mechanism consists of two gears and the other gear-lever differential transfer mechanism (GLDTM), in comparison, the advantages of GLDTM are shown.

УЎК 621.78

А.А. ЮСУПОВ, Д.М. БЕРДИЕВ

ПЎЛАТ МАХСУЛОТЛАРИНИ ЕЙИЛИШГА БАРДОШЛИЛИГИНИ ЦИКЛИК ТЕРМИК ИШЛОВ БЕРИШ УСУЛИДА ОШИРИШ

Жаҳонда машинасозлик ва автомобилсозликда қўлланиладиган пўлат деталларнинг хизмат муддатини оширишни таъминлайдиган технологияларни кўллаш алоҳида аҳамият касб этади. Шу билан бирга пўлат деталларнинг асосий ишчи қисмларини ейилишга бардошлилигини таъминлаш, иш унумдорлигини ошириш ишлаб чиқариш корхоналарининг муҳим муаммоларидан бири ҳисобланади. Бу борада ривожланган мамлакатлар, жумладан, АҚШ, Англия, Германия, Канада, Хитой, Россия ва бошқа мамлакатларнинг илмий-тадқиқот марказларида деталларнинг ейилишга бардошлилигини ошириш учун термик ишлов беришнинг турли хил усулларини такомиллаштиришга, ишқаланиб ишлайдиган деталларнинг хизмат муддатини оширишни таъминлайдиган технологияларни ишлаб чиқишга алоҳида эътибор қаратилмоқда.

Металл қотишмаларни ейилиш бардошлилигига таъсир кўрсатувчи кўрсаткичлардан бири (ташқидан бошқа), унинг структуравий холати хисобланади. Абразив ейилиш жуда тез емирилувчи хисобланади, шунинг учун деталларга эҳтиёт қисмлар тайёрлаш учун катта микдорда металл сарфланади.

Жахонда пўлатларни киздиришда фазали ўзгариш жараёни билан термик ишлов бериш усули асосида хоссаларни ошириш бўйича кенг кўламда илмий-тадкикот ишлари олиб борилмокда. Ушбу йўналишда, жумладан, пўлатларнинг зарбий ковушкоклигини ошириш бўйича термик ишлов бериш тартибини ишлаб чикиш, пўлат деталларнинг ейилишга бардошлилигини оширишнинг ресурс тежамкор технологияларини такомиллаштириш, циклик термик ишлов бериш ёрдамида пўлатнинг майда структураларини хосил килиш ва унинг механик хоссасини яхшилаш хамда уларнинг хизмат муддатини ошириш мухим ахамият касб этмокда. Шу билан бирга пўлатларнинг ейилишга бардошлилигини ошириш учун ноанъанавий термик ишлов беришнинг бир тури циклик киздириб термик ишлов бериш технологияларини такомиллаштириш, пўлатларнинг ейилиш бардошлилигига таъсир килувчи ички структураларни хосил килишнинг технологик усулини ишлаб чикиш зарур хисобланади.

Пўлатарни ейилишга бардошлилиги биричи бўлиб унинг қаттиқлик ва дислокация зичлигининг даражасига боғликдир [1]. Шу билан бирга пўлатларни ейилишга бардошлилигини ошириш учун ноанъанавий термик ишлов бериш тартибларидан фойдаланиш самарали хисобланади. Ноанъанавий термик ишлов бериш тартибларидан фойдаланишнинг асосий максади юкори даражадаги каттикликни таъминлаш билан бирга, структуравий хусусиятини самарали хосил килишдан иборатдир. Ушбу ишда ноанъанавий термик ишлов бериш усулларидан бири бўлган циклик термик ишлов бериш тартиби тавсия этилган. Асосий максад абразив ейилиш шароитида ишлайдиган пўлат махсулотларни кристалл панжарадаги дислокация зичлик даражасини юкори частотали ток (ЮЧТ) ёрдамида циклик тоблаш билан ошириб, абразив ейилишга бардошлиликни ва бошка механик хоссаларни оширишга харакат килинган. Циклик тоблаш металл ва котишмаларга турли хароратларда кўп маротаба киздириб ва совитиш билан бажарилади. Бундан максад, зарур структураларни шакллантириш ва механик хусусиятга эга бўлишдир.

Тадқиқот ва синовларни ўтказиш усуллари. Дасталабки маълумотларни олиш учун 65Г маркали пўлат намуналаридан фойдаланилди, ўрганилаётган пўлатни кимёвий таркиби 1-жадвалда келтирилган. Солиштирилувчи намуна сифатида оддий холатда 900°С индукцион қиздириб, мойда совутилган, 180°С да бўшатиш термик ишлов беришдан ўтказилган пўлат намуналардан фойдаланилди [2]. Тадқиқот учун намуналар турли ҳароратларда 450°, 550°, 700 °С қиздирилди, циклларни қайтарилиш сони 7 маротабагача бажарилди. Қиздириш ҳарорати термоциклик ишлов бериш тартибидан келиб чиқиб танлаб олинди.

Намуналарни ҳар қиздириш ҳароратидан кейин ҳавода совитилди. Охирги циклик қиздиришдан кейин намуналар 950°С да қиздирилиб мойда совутиш билан тобланди ва 180°С қиздириш ҳароратида бушатиш термик ишлови утказилди.

Қизидириш вақти қуйидагича белгилаб олинди: 450° C гача — 5.5 сония; 550° C гача — 7 сония; 700° C гача — 11 сония.

Тадқиқот ўтказилаётган пўлатни кимёвий таркиби

1-жадвал

Пўлат	Элементлар таркиби, %							
маркаси	С	Mn	Si	S	P			
65Г	0.65	1.05	0.2	0.035	0.035			

Тадқиқот ўтказиш учун $20 \times 20 \times 7$ мм ўлчамдаги намуналаридан фойдаланилди. Цикл жараёнлари оралиғидаги структура ўзгаришларини ўрганиб бориш учун, намуналарнинг бир қисмида тугалланган тоблаш ва бўшатиш термик ишлови ўтказилмади.

Термик ишов бериш учун ВЧГ2-100/066 (100 кВт, 66 к Γ ц) замонавий индукцион қиздириш қурилмасидан фойдаланилди.

Намуналарни цикллашда бир хилда қиздиришни таъминлаш учун 110-120 °/с қиздириш тезлиги таъминланди. Ҳарорат – вақт кўрсаткичларини баҳолаш учун, циклик тобланаётган намуналарга термопара бириктирилди. Термопара тез ҳарактланиб ҳароратни кўрсатувчи потенциометрга уланди.

Намуналарни абразив ейилишга бардошлилигини синаш ПВ–7 синов курилмасида ўтказилди, битта намунада синов беш маротабагача қайта такрорланди [3]. Бу қурилмадан фойдаланиш материалнинг юзасида ишқаланишни кўп маротаба ўта деформацияланиш хисобига емирилиш хосил қилиши, яъни материалнинг тажриба шароитида ейилишга қаршилик кўрсатиш томонлари дала шароитидаги ейилишга анча ўхшашдир [4]. Синовдан олдин ва кейин ВЛА-200г-

М аналитик тарозида ўлчаниб, материалнинг ейилишдан кейинги оғирлигини ўзгариши аниқланиб турилди.

Намуналарнинг металлографик тахлили 100 дан 1000 маротабагача катталаштириб кўрсатувчи МИМ-8М микроскопида ўрганилди [5]. Шлифларни эритиш, тадкикотларнинг вазифаларига боғлиқ равишда реактивлар билан ўтказилган. Хусусан, пўлатнинг микроструктурасини аниклаш учун азот кислотасининг этил спиртидаги 3% ли эритмасидан, аустенит донасини аниклаш учун - ювиш воситаларини кушиш билан пикрин кислотасининг сувдаги тўйинтирилган эритмасидан фойдаланилган. Аустенит донасининг катталиги ГОСТ 5639 – 82 бўйича аникланган: бир катор холларда аустенит донасининг чегараларини аниклаш учун оксидлаш ва кейинчалик азот кислотасининг этил спиртдаги 3% ли эритмасида эритиш услубидан фойдаланилган. Услубнинг мохияти шундан иборатки, тадкик килинадиган ялтиратилган (полировкаланган) шлифлар куринишидаги намуналар химояловчи атмосферага эга булган контейнерда талаб қилинадиган ҳароратгача қиздирилади. Тоблашдан олдин контейнер 30 сонияга очилади ва шлифларнинг оксидланиши содир бўлади. Аустенит доналарининг чегаралари чуқурроқ оксидланади. Кўрсатилган ушлаб туришдан кейин намуналар тобланади. Унчалик катта бўлмаган ялтиратишдан кейин, бунда юзадаги оксид пардаси чикариб юборилади, аустенит доналарининг чегаралари оксидларнинг аустенит доналари атрофидаги халкалари (окантовкаси) кўринишида яхши кўзга ташланади.

Юпқа структуранинг ҳолати рентгенографик тарзда аниқланган. Когерент сочилиш соҳаларининг ўлчамлари ва кристалл панжаранинг микрооғишлари катталигини баҳолаш эмас, дислокациялар зичлигини баҳолаш тўғрироқ бўлади деб ҳисобланади. Рентгеноструктуравий таҳлили ДРОН-2.0 дифрактометрида ўтказилди. Синовларда темир анод нурланишидан фойдаланилди. Рентген линиясининг физикавий энидан синалувчи пўлатларнинг дислокация зичлиги ҳисобланди [6].

Тадқиқот натижалари. 65Г маркали пўлат намуналарини циклик қиздириб, тугалланган совитиш хавода ўтказилганда дастлабки пўлат структурасини такомиллашишига сабаб бўлади. Такомиллашган пўлатнинг структураси намуналарни 450°, 550° ва 700 °C хароратлар оралиғида қиздирилганда аникланди (2-жадвал).

 $2\text{-}{\it жадвал}$ 65Г маркали пўлатни циклик қиздириб ҳавода тугалланган совитиш ўтказилгандаги хоссасининг ўзгариши

No	То нешест услуби	Цикллар сони					
745	Тадқиқот услуби	1 цикл	2 цикл	3 цикл	4 цикл	5 цикл	
		450 °С гача	і қиздириш				
1.	Қаттиқлик, НВ	269	255	241	241	255	
2.	Рентген чизиғи энининг ўртача қиймати, β ўр 10-3 рад	9.87	9.45	9.69	9.27	9.88	
		550 °С гача	і қиздириш				
1.	Қаттиқлик, НВ	241	229	241	207	207	
2.	Рентген чизиғи энининг ўртача қиймати, β ўр 10-3 рад	9.1	9.59	8.71	8.3	8.3	
700 °С гача қиздириш							
1.	Қаттиқлик, НВ	229	217	207	255	285	
2.	Рентген чизиғи энининг ўртача қиймати, β ўр 10-3 рад	9.88	8.72	9.3	12.5	12.8	

65Г маркали пўлатни критик хароратгача бўлган ораликда циклик ишлов беришдан хосил бўлган кристалл тузилишини нуксони даражаси циклик ишлов беришнинг хароратига ва цикллар сонига жудаям боғлик эмас. Кейинчалик Ac₁ критик нуқтадан юқори хароратда қиздириб тугалланган совитиш хавода ўтказилганда деярли анча мувозанатланган структура ва юқори даражадаги кристалл панжаранинг нуксони шаклланади.

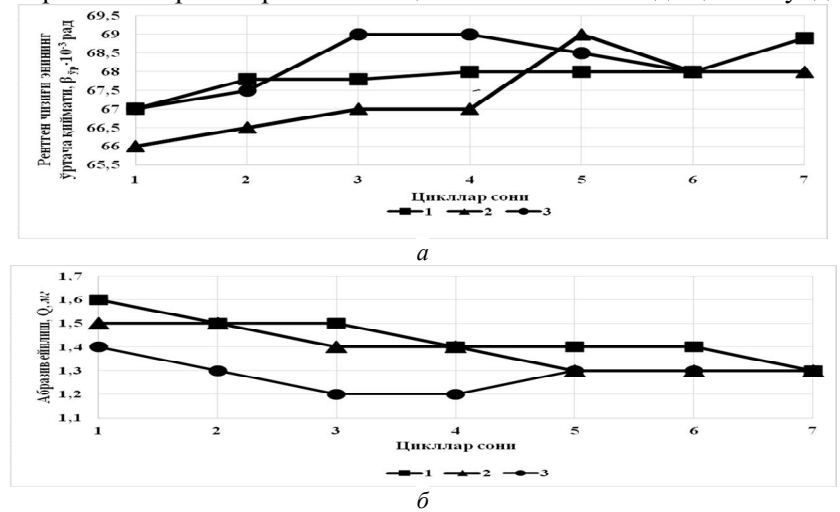
Юқори натижалар тугалланган индукцион тоблаш ва паст ҳароратда бўшатиш натижасида ҳосил бўлади. Намуналарни турли усулларда термик ишлов бериш натижасида бир хилда структура, дона ўлчами ва қаттиқлик (59-60 HRC), фақатгина кристалл тузилишининг нуқсонлик даражасини ҳар хиллиги билан фарқланди (1-расм, а). Пўлат намуналарини 450°С 2 ва 5 маротаба циклик қиздириш ўтказилганда баъзи афзалликларни аниклаш мумкин. Дастлабки циклик ишлов беришнинг бошқа ҳароратларида кристалл тузилишнинг нуқсон даражасини ҳосил бўлиши паст ёки таъсир даражаси барқарор эмас (масалан, 550° ва 700°С ҳароратларда қиздирилганда).

Кузатилган натижа шидатли иссиклик алмашинувига боғлиқ бўлган микропластик деформациянинг пайдо бўлиши билан изохланади. Иккинчи фазанинг мавжудлиги хамда турли термик фазанинг кенгайиши хисобига микропалстик деформацияланиш хусусияти ортишига шароит яратади. Шундай килиб, дислокацион структуранинг ўсиши кузатилади, температуранинг ортиши полиганизацияга олиб келади. Полиганизация структураси, кристалл панжарадаги нуксонни юкори даражасига эга бўлмасада, юкори термик мўътадиллик хосил бўлади. Фазалар алмашиниш нуктасидан юкори хароратда кайта киздириш натижасида, полиганизацияли структураларнинг дислокация зичлик даражаси юкори бўлган структурани хосил бўлишини таъминлайди.

450°C қиздириш ҳарорати атрофида циклик термик ишлов берилганда рекристализация жараёни фаол ўтади, полиганал структура ҳосил бўлмайди.

Шу билан бирга, 450° С дастлабки циклик термик ишлов беришдан кейин индукцион тоблангандаги дислокация зичлигини ўсиши доимий индукцион тоблашдан олинган қийматга солиштирилганда сезиларли даражада ўсиши кузатилмайди. Бир хил қаттиқликда рентген чизиғини (220) физик энининг фарқи $5\cdot 10^{-3}$ рад. тенг (1-расм, a).

Пўлат намуналарини ейилишга бардошлилигининг синов натижалари микро- ва субмикроскоп тадқиқотлар натижаларига мос келди. Бу фарқ пўлат намуналарини маҳкамланмаган абразив материаллар билан ишқаланиши натижасида ҳосил бўлди (1-расм, б).



1-расм. Циклик термик ишлов берилган 65 Γ маркали пўлатни кристалл тузилишни нуксон даражасини (a) ва абразив ейилиш (δ) бардошлилигини ўзгариши.



2-расм. 65Г маркали пўлатнинг 450 °C хароратда циклик киздирилган ва хаво билан совитилгандан кейинги микроструктураси (\times 1000): a) 3-циклда киздириш; δ) 5-циклда киздириш; δ) 6-циклда киздириш



3-расм. 65Г маркали пўлатнинг 550 °C хароратда циклик қиздириш ва хаво билан тугалланган совитилгандан кейинги микроструктураси (×1000): *а*) 1-циклда киздириш; *б*) 3-циклда қиздириш; *в*) 5-циклда қиздириш





донали перлит

донали перлит

4-расм. 65Г маркали пўлатнинг 700 °С хароратда циклик қиздириб ва тугаланган совитиш хаво билан совитилгандан кейинги микроструктураси ($\times 1000$): a-3-циклда қиздириш; b-5-циклда қиздириш

Циклик термик ишлов берилган пўлатларни тугалланган совитиш хаво узатиш воситасида совитилиши, дастлабки структурани пластинкали структура холатида шакланишига кўмаклашади. Бу холат айникса пўлатларни хароратнинг критик нукталар оралиғида киздирилганда аник кўринади (2-4 расмлар). Ас₁ (800°С) критик хароратдан юкори киздириш кайта кристалланишнинг тўлик бўлмаслигига олиб келади ва хаво билан совитилгандан кейинги структуранинг мувозанатланганлиги сезиларсиз холатда бўлади.

Хулоса. 65Г маркали пўлатни циклик термик ишлов бериш усули билан кристалл тузилишдаги нуксонлик даражасидаги юкори структурасини хосил килиш мумкин. Энг самарали варианти дастлаб 450°С циклик киздиришни кўшган холатда хосил килинган тартибда хисоблаш мумкин. 65Г маркали пўлатни самарали вариантда циклик термик ишлов берилгандаги ейилишга бардошлилиги, 900°С доимий хароратда индукцион киздиришдаги ейилишга бардошлилигига нисбатан солиштирилганда 30% га юкори бўлиши таъминланди.

Циклик қиздириш ва совитиш 400–550°С оралиқ ҳароратларда ўтказилса термик тобланишга қулай бўлган полигонал структура ҳосил бўлади. Самарали натижа пўлатларни циклик қиздириш вақтида юзага келади.

АДАБИЁТЛАР

- [1] Евдокимов А.И., Зелин М.Г., Коротков В.А. Циклическая закалка стали ХВГ // МиТОМ. 2002. №9. С. 33 34.
- [2] Бердиев Д.М. Повышение абразивной износостойкости сталей // Техника и технологии машиностроения. VI международная конференция, г. Омск. 20–21 апреля 2017. Омск, 2017. С. 3 8.
- [3] Тененбаум М. М. Сопротивление абразивному изнашиванию. М.: Машиностроение, 1976. 267 с.
- [4] Мухамедов А.А., Тилабов Б.К. Повышение износостойкости деталей с твердосплавными покрытиями термической обработкой // Известия Вузов. Черная металлургия, 2013. №12. С. 35 37.
- [5] Горелик С.С., Скаков Ю.А., Расторгуев Л.Н. Рентгенографический и электронно-оптический анализ. М.: МИСИС, 1994. 328 с.
- [6] Батаев В.А., Батаев А.А., Алхимов А.П. Методы структурного анализа материалов и контроля качества деталей. М.: Наука, 2007. 224 с.

Ислом Каримов номидаги Тошкент давлат техника университети

25.02.2020 қабул қилинган

А.А.Юсупов, Д.М.Бердиев. Повышение износостойкости стальных изделий методом термоциклической обработки

В статье рассматриваются результаты исследования повышения абразивной износостойкости малолегированной стали 65Г. Предлагается циклическая термическая обработка при различных температурах. Обосновывается, что определенный оптимальный вариант предварительного циклического нагрева до температуры 450°С для стали 65Г может обеспечить повышение абразивной износостойкости до 30% по сравнению с обычной индукционной закалкой.

A.A.Yusupov, D.M.Berdiyev. Improving the wear resistance of steel products method thermal cycling

The article deals with the results of increasing abrasive wear resistance of low alloyed steels. 65G. Cyclic heat treatment at various temperatures is proposed. A certain optimum variant of preliminary cyclic heating up to 450°C temperature of 65G steel can provide an increase in abrasive wear resistance up to 30% in comparison with conventional induction hardening.

ХРОНИКА

Д.А. БЕКМИРЗАЕВ, Н.А. НИШОНОВ

СИРДАРЁ ВИЛОЯТИДАГИ «САРДОБА» СУВ ОМБОРИДА РЎЙ БЕРГАН ТЕХНОГЕН ОФАТ ОҚИБАТЛАРИ ҲАҚИДА

Жорий йилнинг 1 май куни соат 05:55 да Сирдарё вилоятида жойлашган «Сардоба» сув омбори дамбасининг 6 пикет деворида сув чикиши юзага келган. Сардоба, Мирзаобод ва Околтин туманларидаги бир катор ахоли пунктларига сув тошкини жиддий зарар етказди. Натижада, ана шу учта тумандаги 22 та ахоли пунктларидан 70 мингга якин фукароларни Сирдарё вилоятининг ва кушни Жиззах вилоятининг туман ва шахарларидаги укув муассасаларининг ётокхоналари, ахоли хонадонларига кучирилган.

Президентимиз ходиса юз берган дастлабки соатлардаёк офат юз берган худудга зудлик билан етиб келиб, вилоятда колиб, вазиятни баркарорлаштириш ишларига шахсан бош-кош бўлдилар. Шу боис ҳам халкимиз бу кутилмаган талофат олдида ўзини йўкотиб куймади. Ҳамма бир тану бир жон бўлиб, ҳудудларда сув тошкини окибатларини бартараф этиш ишларини олиб боришмокда.

Ўзбекистон Республикасининг иктисодиёт секторини ривожланишида кишлок хўжалагини ўрни юкори бўлганлиги сабабли, уларни сув билан таъминлаш мухим масалалардан бири хисобланади. Ушбу масалаларни ечимида янги йирик гидроузелларни куриш ва эксплуатация килинаётган гидротехник иншоотларни хавфсиз ишлашини таъминлаш асосий мухим роль ўйнайди.

Сардоба сув омбори тўғони ёрилиши натижасида келиб чиққан техноген офат оқибатида юз берган бино ва иншоотлардаги зарарланишлар ҳамда бузилишларни ўрганиш мақсадида ЎзР ФА Механика ва иншоотлар сейсмик мустаҳкамлиги институти томонидан 8-10 май кунлари Сардоба туманига экспедиция уюштирилди.

Техноген авария туфайли турар жой худудлари, боғлар ва экин майдонлари миллионлаб кубометр сув оқибатда балчиқ ва лой остида қолди. Оқим ўз йўлида кўплаб хусусий уйларни вайрон қилди, 8 та болалар боғчаси, 16 та мактаб, 7 та тиббиёт муассасаси, битта коллеж, 7 та қабристон, 3 та масжид ва 13 та республика аҳамиятига эга кўприклар шикастланган. Йўллар ювилиб кетган ва деҳқон бозори вайрон бўлган. Бундан ташқари 10 та маҳалла фукаролар йиғинининг 20 та аҳоли яшаш пунктида жами 5969 та турар ва 277 та нотурар жой объектлари зарарланганлиги аниқланган. 5 969 турар жойларнинг 4 587 таси якка тартибдаги уй жой, 1 337 таси кўп қаватли хонадон ва 45 таси қурилиши тугалланмаган уй жойлардир.









1-расм. Деворлари хом ғиштдан (пахсадан) қурилган уйларни сув таъсирида мустаҳкамлигини йуҳотишидан бузилиш ҳолатлари

Сардоба туманидаги турар жой биноларни кўздан кечирилганда қишлоқларда асосан 3 турдаги анъанавий типдаги турар жой биноларидан иборатлиги аниқланди:

деворлари лойдан (пахсадан) қурилган уйлар;

деворлари хом ғиштдан қурилган уйлар;

ёғоч синч каркасли (деворлари хом ғишт ёки гувалак билан тўлдирилган) уйлар.

Ушбу типдаги турар жой биноларининг юк кўтарувчи деворлари асосан маҳаллий хом ашёлардан, яъни курилиш материали сифатида соз тупрокдан фойдаланилганлиги билан характерлидир. Бу курилган бинолар деворларининг намланиши таъсирида ўз мустаҳкамлигини йўқотиши, уларнинг шикастланиши ва бузилишларининг асосий сабабидир (1-расм). Бундан ташқари ушбу яшаш ҳудудларида 70-80 йилларда курилган бир ва икки қаватли темир бетон ораёпмали ғиштли ҳамда янги типдаги намунавий лойиҳалар асосида қурилган бир қаватли ғиштли темир бетон каркасли бинолар ҳам учрайди. Бу типдаги биноларда юк кўтарувчи деворларни пишган ғиштдан тайёрланганлиги сабабли сув таъсирида бузилишлар кузатилмаган.



2-расм. Табиий офат оқибатида йўлларни жиддий зарарланиши

Ўрганишлар шуни кўрсатадики, сув чикиши муносабати билан юзага келган табиий офат окибатида сув ювиб кетишидан йўллар (2-расм) ва транспорт иншоотлари жиддий зарарланган, бунинг натижасида кишлоклараро транспорт алокаси узилиб колган.

Кўприкларнинг икки тарафидаги кириш қисмидаги таянч деворларининг атрофлари мустаҳкамлиги темибетон қопламалар билан керакли даражада таъминламаганлиги сабабли ҳамда катта микдордаги сув ҳисобига кириш йўллари тўлиқ ювилган (3-расм), бу эса кўприклардан фойдаланиш имкониятини йўқотган, айримлари тўла яроқсиз ҳолга келган.



3-расм. Табиий офат оқибатида куприкларни жиддий зарарланиши

Талофат кўрган худудларда барча давлат ва жамоат ташкилотлари ходимлари томонидан талофат окибатларини бартараф этиш, ахолига ёрдам кўрсатиш борасида ҳамкорликдаги ишлар жадал суръатларда олиб борилмокда.

Дунёдаги кучли табиий офатлар окибатларини бахолашдан куринадики, агар худудларнинг хавфни бахолаш уз вактида утказилса, уни камайтириш буйича тадбирлар ва режалар тайёрланса ҳамда фойдаланилса аҳоли уртасида улим ва моддий зарар қийматини етарли даражада камайтириш мумкин.

Ер юзидаги асосий табиий офатлардан бири бўлган сув тошкинларига карши курашнинг асосий йўли, бу турли соха объектларидаги бино ва иншоотларни хавфсизлигини таъминлашдан иборатдир. Бу эса бино ва иншоотларни фан ва техниканинг охирги ютуклари асосида лойихалаш ва куриш, экспулатация

килинаёттан объектларни техник холатини бахолаш бўйича доимий равишда мониторинг ишларини олиб бориш хамда инструментал кузатув тадкикотлар натижаларига асосланган холда ишончли эксплуатация килиш учун тавсиялар ишлаб чикиш, курилиш конструкцияларини экспериментал — назарий тадкикотлар натижалари асосида мустахкамлигини таъминлаш, шунингдек ахолини хавфга карши тура олиш йўлларини ўргатиш ва тезлик билан ёрдам кўрсатадиган тизимларни харакатини ташкил килиш оркали амалга оширилади.

Хулоса ўрнида шуни айтиб ўтиш керакки, юз берган табиий офат окибатларини зудлик билан бартараф этиш худуднинг тупрок-иклим шароитларини яхшилаш, кишлок хўжалиги экинларини тез кунларда қайта жойлаштириш ва экишни ташкил этиш технологияларини ишлаб чиқиш, юзага келган экологик ҳолатни юмшатиш ҳамда зарар кўрган аҳолига ҳар томонлама тезкор тиббий-психологик ва амалий ёрдам кўрсатишни ташкил этиш, шунингдек келгусида бундай табиий офатлар рўй беришини олдини олишнинг энг мақбул илмий ечимларини ишлаб чиқиш ҳамда мамлакатимизнинг мавжуд илмий-инновацион салохиятини жалб этишни талаб этмокда.

Хозирда турли куринишдаги табиий, техноген ва бошқа фавқулодда вазиятларда барқарорлик ва хавфсизликни таъминлаш, жумладан сейсмик хавфни бошқариш ва камайтириш буйича стратегия ишлаб чикиш, сейсмик хавфсизликни таъминлаш буйича муаммоларни ҳал этиш ҳамда фавқулодда вазиятларда мавжуд ва янги қурилаётган объектларни мустаҳкамлигини кучайтириш, улардан хавфсиз фойдаланиш буйича чора-тадбирлар ишлаб чикиш, аҳолининг кенг қатламига ва бошқарув ҳодимларига етказиш буйича илмий тадқиқотлар олиб бориш, ушбу йуналишларда бажарилган илмий ишларни ривожлантириш ва такомиллаштириш лозимлигини даврнинг узи курсатиб турибди.

Шу муносабат билан Ўзбекистон Республикаси Инновацион ривожланиш вазирлиги томонидан табиий офат окибатларини бартараф этишнинг илмий ечимини таъминлашга мавжуд илмий-инновацион салохиятни жалб этиш максадида амалий ва инновацион лойихаларнинг махсус танловини эълон килинди. Биз олимлардан ушбу танловда иштирок этиб ушбу йўналишда янги ишланмаларни яратиш ёки мавжуд (тайёр) технологияларни (ишланмани) жорий этишни (худудга мослаштиришни) назарда тутувчи бажарилиши бир йилга мўлжалланган амалий ва инновацион лойихалар амалга ошириш ва жорий этиш талаб этилади.

Т.Р. РАШИДОВ, И.И. САФАРОВ, М.Х. ТЕШАЕВ

О СТИХИЙНОМ БЕДСТВИИ И ПРЕДУПРЕЖДЕНИИ КАТАСТРОФ НА ПРИМЕРЕ БУХАРСКОЙ ОБЛАСТИ РЕСПУБЛИКИ УЗБЕКИСТАН

В работе дано краткое описание ураганного стихийного бедствия, приведшего к разрушению важных зданий и сооружений Алатского и Каракульского районов Бухарской области, расположенных в степной зоне. Для снижения ущерба от ураганного стихийного бедствия указано на необходимость предусматривания мероприятий по своевременному оповещению об урагане, составления плана локализации ущерба, разработки порядка эвакуации населения из пострадавших районов.

Стихийное бедствие – разрушительное природное или природно-антропогенное явление, т.е. процесс значительного масштаба, в результате которого могут возникнуть угроза жизни и здоровью людей, произойти разрушение или уничтожение материальных ценностей и компонентов окружающей природной среды. Стихийные бедствия могут возникать как независимо друг от друга, так и во взаимосвязи: одно из них может повлечь за собой другое. Некоторые из них часто возникают в результате деятельности человека (например, лесные и торфяные пожары, производственные взрывы в горной местности, при строительстве плотин, закладке (разработке) карьеров, что зачастую приводит к оползням, снежным лавинам, обвалам ледников и т.п.). Независимо от источника возникновения стихийные бедствия характеризуются значительными масштабами и различной продолжительностью - от нескольких секунд и минут (землетрясения, ураганы, бури, смерчи, снежные лавины, лимнологические катастрофы) до нескольких часов, дней (оползни) и месяцев (наводнения) [1-3]. Ураганы, бур – чрезвычайно быстрые и сильные явления, нередко большой разрушительной силы и значительной продолжительности движение воздуха. Скорость урагана достигает до 30 м/с и более. Он является одной из мощных сил стихии и по своему пагубному воздействию может сравниться с землетрясением. Ураганный ветер разрушает прочные и сносит легкие строения, опустошает поля, обрывает провода, валит столбы линий электропередачи и связи, ломает и выворачивает с корнями деревья, топит суда, повреждает транспортные магистрали. А бури – разновидность ураганов и штормов.

В Узбекистане ураганы, бури и штормы чаще всего возникают в Алатском и Каракульском районах Бухарской области, которые расположены в степной зоне. В ночь на 28 апреля 2020 г. сильные ураганные ветры, дующие из Туркменистана, в некоторых районах Бухарской, Навоийской, Самаркандской и Кашкадарьинской областей достигали до 40 м в секунду. В результате в вышеназванных регионах произошли перебои в подаче электроэнергии и газа, отчего Бухарская область понесла самые большие потери. По данным администрации Бухарской области, в ночь на 28 апреля 2020 г. 41 человек пострадал от сильного ветра и

проливных дождей. Сюда же, к ветрам огромной разрушительной силы, следует отнести и смерчи – восходящие вихри быстро вращающегося воздуха, имеющие вид темного столба диаметром от нескольких десятков до сотен метров с вертикальной, иногда и загнутой осью вращения. Смерч как бы «свешивается» из облака к земле в виде гигантской воронки. Внутри его давление всегда пониженное, поэтому туда засасываются любые предметы.

Хотя синоптики заранее передали местным властям и населению тревожный сигнал, мало что было сделано, чтобы встретить стихию в наибольшей готовности. Вышло из строя электроснабжение. Населенные пункты остались без света и воды. Замолчали телевидение и радиовещание. Нельзя было передать населению нужную информацию. Гидрометслужба за несколько часов, как правило, подает штормовое предупреждение. Следует закрыть двери, чердачные помещения, слуховые окна. Стекла заклеить полосками бумаги или ткани. С балконов, лоджий, подоконников убрать вещи, которые при падении могут нанести травмы людям. Выключить газ, потушить огонь в печах. Подготовить аварийное освещение — фонари, свечи. Создать запас воды и продуктов на 2-3 суток. Положить в безопасное и видное место медикаменты и перевязочные материалы. Радиоприемники и телевизоры держать постоянно включенными: могут передаваться различные сообщения и распоряжения. Из легких построек людей перевести в прочные здания. Остерегаться ранения стеклами и другими разлетающимися предметами. Если вы оказались на открытой местности, лучше всего укрыться в канаве, яме, овраге, любой выемке: лечь на дно и плотно прижаться к земле.

На следующий день после стихийного бедствия в Бухарскую область вылетел Президент Узбекистана Шавкат Мирзиёев, чтобы напрямую пообщаться с жителями пострадавшего от стихийного бедствия региона, изучить воочию последствия катастрофы в Алате и Каракуле. Президент также встретился с активистами, строителями и жителями Алатского района, наиболее пострадавшего от техногенной катастрофы. Как сообщил Кun.uz, в пресс-службе Генеральной прокуратуры, скорость ветра в Бухарской области достигала 25 м в секунду. По предварительным данным, в регионе 5 293 здания, 415 автомобилей, 42 400 деревьев были повреждены, произошло 295 происшествий с природным газом и электричеством, десятки человек пострадали.

По поручению академика Т.Р. Рашидова в Алатский и Каракульский районы Бухарской области была организована экспедиция (рис. 1–3). Ураганный ветер разрушил и снёс легкие строения, опустошил поля, оборвал электрические провода, валил столбы линий электропередачи и связи, ломал и выворачивал с корнями деревья, повреждал транспортные средства и магистрали. В тысячах квартир выбило стекла и двери, в сотнях домов сорвало крыши. Ветер валил деревья, словно как с игрушками расправлялся с сараями, где содержалась домашняя птицу. Этот ураганный ветер является одной из мощных сил стихии и по своему пагубному воздействию может сравниться с землетрясением.





Рис.1. Разрушение сельских домов после воздействия урагана

Поскольку предотвращение разрушений стихийного бедствия зависит от детерминированного человеческого фактора, изучению подлежит весь спектр составляющих, которые могут привести к ошибочности действий обслуживающего персонала в различных отраслях строительства.

Так, наиболее важным следует считать социальную комфортность: условия проживания, полноценный восстановительный отдых, отсутствие материальных проблем и особых забот в части занятости населения. Соответствующие органы также должны следить за соблюдением строительными организациями государственных норм и правил (КМК). Самостоятельно построенный дом в деревне также должен быть проверен на соответствие КМК.

Поскольку полностью предотвратить возможное стихийное бедствие нельзя, то как отмечалось, необходимо предусмотреть мероприятия по своевременному оповещению о его возможном начале, составить планы ущерба его локализации, разработать порядок эвакуации населения из пострадавшего района и организацию помощи пострадавшим и выжившим в зоне бедствия.





Рис. 2. Разрушение селских типовых домов после воздействия урагана





Рис. 3. Разрушение двухэтажных государственных помещений после воздействия урагана

Как установлено, (см. рис. 1-3), дома и государственные типовые здания пострадали и не пригодны для дальнейшего использования. Требуются капитальный ремонт. Для ремонта пострадавших домов и государственных зданий и сооружений необходимы ответственные организации, проверяющие соответствие построений, зданий и сооружений КМК РУз. Необходимо также обучать население тому, как оно должно вести себя во время урагана (бури, смерча). Например, если ураган застал человека в здании, то нужно отойти от окон и занять более безопасное место у стен внутренних помещений, в коридоре, у встроенных шкафов, в ванных комнатах, туалете, кладовых, в прочных шкафах, под столами. Погасить огонь в печах, отключить электроэнергию, закрыть краны на газовых сетях. В темное время суток использовать фонари, лампы, свечи. Следует включить радиоприемник для получения информации управления гражданской обороны и комиссии по чрезвычайным ситуациям; по возможности, находиться в заглубленном укрытии, в убежищах, погребах и т.п. Если ураган, буря или смерч застали человека на улицах населенного пункта, тогда ему нужно держатся как можно дальше от легких построек, зданий, мостов, эстакад, линий электропередачи, мачт, деревьев, рек, озер и промышленных объектов. Для защиты от летящих обломков и осколков стекла следует использовать листы фанеры, картонные и пластмассовые ящики, доски и другие подручные средства. Нужно стараться быстрее спрятаться в подвалах, погребах и противорадиационных укрытиях, имеющихся в населенных пунктах. Не следует заходить в поврежденные здания, так как они могут обрушиться при новых порывах ветра.

ЛИТЕРАТУРА

- [1] Катастрофы конца XX века / Под общ. ред. д-ра техн. наук Владимирова В.А. https://web.archive.org/web/20130621192850/http://www.culture.mchs.gov.ru/
- [2] https://web.archive.org/web/20130524195016/http://www.culture.mchs.gov.ru/medical.
- [3] Организация Объединенных Наций: уменьшение опасности бедствий-межучрежденческая целевая группа по уменьшению опасности бедствий. Рамки для действий по осуществлению Международной стратегии уменьшения опасности бедствий (МСУОБ) ОСНА/ISDR/2001/13 GE.01-02322 (R) 100901 120901. 2001.

ТЕХНИКА ФАНЛАРИ ДОКТОРИ, ПРОФЕССОР КУБАЙМУРАТ ИСМАЙИЛОВ – 70 ЁШДА



Кубаймурат Исмайилов 1950 йил 20 апрелда Самарканд вилояти, Нурота туманида таваллуд топган. 1967 – 1972 йилларда Тошкент ирригация ва кишлок хўжалигини механизациялаш мухандислари институтида тахсил олган. 1972 — 1977 йилларда Жонбой тумани кишлок хўжалиги техникаси бирлашмасида турли лавозимларда ишлаган. 1977 — 1978 йилларда Самарканд давлат архитектура-курилиш институти ассистенти, 1978 — 1983 йилларда В.В.Куйбишев номидаги Москва мухандислик курилиши институтида изланувчи-тадкикотчи, аспирант, 1983 йилдан хозирга кадар СамДАКИ да катта ўкитувчи, доцент, профессор лавозимларида ишлаб келмокда.

Олим 1983 йилда В.В.Куйбышев номидаги Москва мухандислик курилиши институти қошидаги докторлик илмий даражасини берувчи ихтисослашган илмий Кенгашда "Бикир ҳалҳа бўйлаб маҳҳамланган юпҳа деворли ёпиҳ цилиндрга параллели бўйлаб босим таъсир этганда эластиклик чегарасидан ташҳари ҳолатда кучланиш ва деформацияни тадҳиҳ этиш" мавзусидаги номзодлик диссертациясини, 2005 йилда ЎзР ФА Механика ва

иншоотлар сейсмик мустаҳкамлиги институти ҳузуридаги ихтисослашган илмий Кенгашда "Стерженлар, пластинкалар ва қобиқларнинг эластиклик чегарасидан кейинги устуворлиги" мавзусидаги техника фанлари доктори илмий даражасини олиш учун диссертациясини муваффақиятли ҳимоя қилган.

Олимнинг илмий ишлари асосан, деформацияланувчан қаттиқ жисм механикасига бағишланган. Айниқса, "Қобиқлар устиворлиги" монографияси Германиянинг нуфузли нашриётида чоп этилиши унинг тадқиқотларининг эътирофидир. Бу тадқиқотлар натижаси ўлароқ эластиклик чегарасидан кейин конструкция элементларини хисоблаш усули такомиллаштирилган, эластиклик чегарасидан кейин конструкция элементларининг устиворлик назарияси ишлаб чиқилган.

Кубаймурат Исмайилов халқаро илмий анжуманлар, конгресслар, конференциялар ва республика илмий конференцияларида мунтазам қатнашиб, 3 та монография, 180 дан ортиқ илмий ва илмий услубий мақолаларни, шу жумладан, хорижий давлатларда 23 та илмий мақолаларни нашр қилдирган. Ихтиролари учун 3 та патент олинган, бир қанча илмий тўпламларга масъул муҳаррирлик қилган. ЎзР ОЎМТВ грифи билан, 3 та дарслиги ҳамда 15 та ўкув кўлланмаси чоп этилиб, республика олий ўкув юртлари талабалари томонидан ўрганилмоқда.

Олим Олий ва ўрта махсус таълим, Халк таълими вазирликлари хамда Ўзбекистон Республикаси Президентининг истикболли ёш педагог ва илмий кадрларнинг малакасини ошириш "Истеъдод" жамғармаси томонидан 2010 ва 2013 йилларда ўтказилган "Йилнинг энг яхши дарслик ва ўкув адабиёти муаллифи" Республика танловлари ғолиби бўлди.

Олимнинг жамоат ишларидаги фаоллиги ҳам таҳсинга лойиқ. У деформацияланувчан қаттиқ жисмлар механикаси соҳасида ихтисослаштирилган тўртта илмий Кенгаш аъзоси сифатида малакали кадрлар тайёрлаш масаласига кўп куч сарф этмокда.

Кубаймурат Исмайилов СамДАҚИ талабалари ўртасида ўзига хос нуфузга эга. Механиканинг турли йўналишлари бўйича талабаларга юксак савияда маърузалар ўкиб, уларнинг магистрлик диссертацияларига рахбарлик килмокда. Ишда халол ва талабчан, оилада мехрибон ота сифатида бешта фарзандни тарбиялаб вояга етказган. Бугун улар халқ хўжалигининг турли соҳаларида самарали хизмат килмокдалар.

Олимнинг узок йиллик илмий-педагогик фаолияти хукуматимиз томонидан муносиб такдирланган. У "Ўзбекистон Республикаси Олий ва ўрта махсус таълим аълочиси", "Ўзбекистон Республикаси мустакиллигининг 15 йиллиги" кўкрак нишонлари билан, 2010 ва 2015 йилларда Самарканд вилоят хокимлиги "Фахрий ёрлик"лари билан такдирланган.

Кубаймурат Исмайилов ўзининг 70 ёшини тафаккури тиниклашган ва янги-янги ғоялар билан тўлиб-тошган бир паллада кутиб олмокда. Фидойи, изланувчан, мақсад сари собит интилувчан олимга мустаҳкам соғлик, оилавий хотиржамлик, ижодига барака ва баркамоллик тилаймиз!

Журнал тахририяти

ДОКТОРУ ТЕХНИЧЕСКИХ НАУК, ПРОФЕССОРУ АНВАРУ ИШАНОВИЧУ АДЫЛХОДЖАЕВУ– 70 ЛЕТ

20 мая 2020 г. исполнилось 70 лет видному ученому, доктору технических наук, профессору, Почетному железнодорожнику Республики Узбекистан Анвару Ишановичу Адылходжаеву.

Он родился в семье интеллигентов. Его отец – Ишан Агзамович, долгие годы руководил Ташкентским институтом инженеров железнодорожного транспорта, единственной кузницей кадров для железной дороги в Центральной Азии. Вид отца в форме железнодорожника пробудил интерес и любовь у юного Анвара к этой профессии. Именно эти обстоятельства и привели вчерашнего выпускника средней школы в храм науки – Ташкентский институт инженеров железнодорожного транспорта. Успешно сдав вступительные экзамены, он становится студентом факультета «Промышленное и городское строительство». Окончив институт в 1973 г. по специальности «Промышленное и гражданское строитель-



ство», молодой специалист был направлен инженером конструкторского отдела Института «Ташметропроект». Будучи инженером, он все время чувствовал в себе тягу к научным изысканиям. Интерес к науке становится определяющим фактором в его дальнейшей судьбе. Начиная с 1975 г., почти вся трудовая биография Анвара Ишановича будет неразрывно связана с его родным высшим учебным заведением – Ташкентским институтом инженеров железнодорожного транспорта.

В 1977 г. в Москве он успешно защитил кандидатскую диссертацию на тему «Разработка составов и применение госсиполосмольной эмульсии для закрепления подвижных песков», а в 1994 г. – докторскую диссертацию на тему «Разработка научных основ интенсивной раздельной технологии приготовления бетонных смесей».

Наряду с научной работой Анвар Ишановуч ведёт активную педагогическую деятельность, являясь профессором кафедры, читает лекции студентам строительных специальностей бакалавриата, ведет спецкурсы магистров, издаёт учебную литературу. Он – автор более 150 научных работ, четырёх фундаментальных монографий, трех учебников, пяти учебных пособий. Имеет 35 авторских свидетельств на изобретение и 9 патентов Российской Федерации. Под непосредственным руководством профессора А.И. Адылходжаева были подготовлены 5 кандидатов и 2 доктора технических наук.

В 1998 г. он назначается на должность ректора ТашИИТ. Надо признать, что к этому моменту институт уже сдавал свои былые позиции среди высших учебных заведений республики, постепенно утрачивались его долголетние научные связи с ведущими мировыми учебными заведениями. Молодой ректор начинает кропотливую работу, разрабатывается план развития ТашИИТ на перспективу, налаживаются научные связи, в корне меняются система подготовки научно-педагогических кадров, принципы обучения студентов. Преемственность становится главным критерием при определении дальнейшей стратегии развития вуза. Под его руководством коллектив института добивается возврата утраченных традиций. Он энергично берется за кардинальное изменение не только внешнего облика института, но и структуры учебного, трудового процесса. Складывается сплоченный работоспособный коллектив. Резко выросло количество докторов и кандидатов наук. Это даёт возможность поддерживать на высоком уровне потенциал профессорскопреподавательского состава. Число остепененных преподавателей составляет 60 % от всего педагогического состава. За короткий срок Ташкентский институт инженеров железнодорожного транспорта становится одним из самых престижных и авторитетных вузов страны. Увеличивается число желающих получить профессию железнодорожника, в рейтинге высших учебных заведений республики институт постоянно занимает ведущие места.

Руководя институтом, Анвар Ишанович большое внимание уделял возможности студентов и работников института заниматься спортом. На территории института создается уникальная парковая зона с комплексом спортивных сооружений и объектов соцкультбыта. Особое внимание в своей деятельности он придаёт социальной защите сотрудников и студенчества.

Являясь талантливым руководителем, трудолюбивым, принципиальным, требовательным в работе, Анвар Ишанович, прежде всего, требователен к себе. Он всегда умело отстаивает интересы института. В этот период он постоянно добивался существенного повышения заработной платы преподователей и сотрудников, учреждения именных стипендий компании для магистров и бакалавров, существенного повышения финансовых поступлений, что позволило за короткий период капитально отремонтировать общежития, учебные корпуса, построить на территории института спортивный комплекс, обогатить материальную базу института современными лабораторными базами, компьютерами, оргтехникой, приборами и установками.

В 2011 г. решением Правительства Республики Узбекистан А.И. Адылходжаев назначается ректором крупнейшего высшего учебного заведения страны — Ташкентского государственного технического университета имени И.Каримова. Проявляя свои организаторские качества и опыт умелого руководителя, он осуществляет коренные преобразования в университете.

Принципиальность и прямолинейность — вот два основных качества, которые отличают Анвара Ишановича как руководителя, как и талантливого ученого. Он непримирим к проявлениям нарушений в этике поведения, ко лжи, ханжеству и недобропорядочности. Стиль его руководства всегда отличался демократичностью, умением выделить и сосредоточиться на приоритетных направлениях деятельности, настойчивостью в достижении поставленных целей, вниманием и заботой окружающих.

Редколлегия Узбекского журнала «Проблемы механики» поздравляет Анвара Ишановича Адыл-ходжаева с 70-летнем, желает ему крепкого здоровья, семейного счастья, больших творческих успехов в деле процветания Узбекистана.

Редакция журнала

ЎЗБЕКИСТОННИНГ МЕХАНИК ОЛИМЛАРИ

ЙЎЛДОШЕВ ШУКУРУЛЛО УБАЙДУЛЛАЕВИЧ (1935)



Таниқли механик олим, техника фанлари доктори, профессор, Ўзбекистон қишлоқ хўжалиги ФА академиги, Ўзбекистон Республикаси халқ таълими аълочиси, Ўзбекистон Республикасида хизмат кўрсатган фан арбоби.

Йўлдошев Ш.У. 1935 йил 11 апрелда Тошкент шахрида таваллуд топган. У 1957 йилда Ўрта Осиё Политехника институтини (хозирги ТДТУ) тамомлаб, мухандис-механик мутахассислигига эга бўлган. Мехнат фаолиятини шу йили Тошкент шахридаги 3-автобазада механик лавозимида ишлаб бошлаган. 1958—1959 йилларда "Ўзавтойўл" вазирлигида катта мухандис, 1959—1964 йилларда Ўрта Осиё кишлок хўжалигини механизациялаш ва электрлаштириш илмий-тадкикот институти аспиранти, кичик ва катта илмий ходими, 1964—1974 йилларда СредазГОСНИТИ "Машина-трактор паркидан фойдаланиш, техник хизмат кўрсатиш, нефт хўжалиги" лабораторияси мудири, 1974—1977 йилларда САИМЭ директорининг илмий ишлар бўйича ўринбосари, 1977—1982 йилларда

Тошкент ирригация ва кишлоқ хўжалигини механизациялаш мухандислари институтининг (ТИҚХММИ) "Материалшунослик" кафедраси мудири, 1982—1986 йилларда шу институтнинг илмий ишлар бўйича проректори, 1986—1991 йилларда мазкур институтнинг "Мехнат мухофазаси ОТ-3" илмий-тадкикот лабораторияси мудири, 1991—1995 йилларда Ўзбекистон кишлок хўжалиги ФА вице-президенти, академик, 1995—2004 йилларда ТИҚХММИ "Машиналар пухталиги ва таъмирлаш" кафедраси мудири, 2004 йилдан хозирга кадар "Гидромелиоратив ишларни механизациялаш" кафедраси профессори лавозимларида ишлаб келмокла.

Йўлдошев Ш.У. 1963 йилда "Исследование износа некоторых трущихся пар хлопковых машин" мавзусида номзодлик диссертациясини Тошкентда, 1982 йилда «Оценка показателей и повышение технического уровня уборочной техники» мавзусида докторлик диссертациясини Санкт-Петербургда химоя килган ва техника фанлари доктори илмий даражасини олган. Олимга 1977 йилда "Доцент", 1983 йилда "Профессор" илмий унвони берилган.

Олимнинг илмий ишлари асосан қишлоқ хўжалиги ва мелиорция техникаларини ишлатиш, тиклаш ва таъмирлаш масалаларига бағишланган. У қишлоқ, мелиорация ва сув хўжаликлари тизимидаги машина ва агрегатларни такомиллаштириш, фойдаланиш, таъмирлаш, сақлаш, диагностикалаш муаммолари; машиналар ишончлилиги, деталларнинг ишқаланиши, ейилиши (трибоника) назарияси ва амаллиёти; машиналарни таъмирлаш ва деталлар ресурсини тиклаш технологияси; машиналарга техник хизмат кўрсатиш, таъмирлаш, сақлаш технологияси ва ёнилғи-мойлаш материалларидан фойдаланиш муаммолари бўйича ўз илмий мактабини яратган. У 1990 йилда Ўзбекистон қишлоқ хўжалиги ФА академиги қилиб сайланган.

Олим илмий-педагогик фаолият билан бир қаторда, жамоат ишларида ҳам фаол қатнашиб келган. 1977 йилдан ТИҚХММИ илмий Кенгашининг аъзоси, 1982 йилдан ихтисослашган илмий Кенгашларнинг аъзоси, илмий котиби, раис ўринбосари ва раиси, 1988 йилдан Республика "Нуронийлар" жамғармаси марказий Кенгаши ва Вазирлар Маҳкамаси ҳузуридаги "Васийлик" Кенгашининг аъзоси, "Аграрная наука" (Москва шаҳри) журналининг таҳририят Кенгаши аъзоси сифатида фаол иш олиб борган. У 1995 — 2000 йилларда Ўзбекистон Республикаси Олий Мажлиси депутати бўлган.

Олим Туркияда (Кушадас ш., 1993), СУАР КНР (1993), Москва (1993), Минск (1994), Санкт-Петербург (1994), Исроил (Технион Университети, 1999), Покистон (Лоҳар ш., 2001) да бўлиб ўтган халқаро анжуманларда маърузалар билан қатнашиб, фанимиз ютуқларини жаҳонга танитган. 2010 – 2018 йилларда "Қишлоқ ва сув хўжаликларида фойдаланиладиган машина деталлари ресурсини тиклаш технологияларини модернизациялаш" бўйича Давлат грантларига раҳбарлик қилган.

Сермахсул олим 4 та монография, 3 та дарслик, 1 та муаммоли маърузалар тўплами, 475 дан ортик маколалар ёзган, 15 дан ортик монография ва илмий тўпламларга масъул мухаррирлик килган. 40 дан ортик

технологик хариталар, тавсиялар яратган ва чоп қилдирган, улар Марказий Осиё хўжаликларига тарқатилган. У 3 та фан доктори ва 21 та фан номзоди тайёрлаб етиштирган. Уларнинг кўпчилиги хорижий мамлакатларда ва Ўзбекистонда самарали ишламокдалар.

Олимнинг илмий-педагогик фаолияти давлатимиз томонидан муносиб такдирланган. Унга 1993 йилда "Ўзбекистонда хизмат кўрсатган фан арбоби" фахрий унвони берилган. У "Мустакиллик" (1992), "Ўзбекистон белгиси" (1997), "Ўзбекистон Республикаси халқ таълими аълочиси" (2001), Академик Селиванов А.И. номли юбилей медали (Москва, 2009), "Ўзбекистон мустакиллигига 20 йил, 25 йил, 26 йил" (2011, 2016, 2017), "Меҳнат фахрийси" каби кўкрак нишонлари билан мукофотланган.

Асосий асарлари:

- 1. Техническое совершенствование хлопкоуборочных машин. Ташкент: «Ўзбекистон», 1976. 104 с.
- 2. Основы технического уровня хлопкоуборочных машин. Ташкент: «Фан», 1980. 238 с.
- 3. Системный подход к оценке машин. Ташкент: «Мехнат», 1988. 206 с.
- 4. Машиналар ресурсидан тўлик фойдаланиш асослари ва муаммолари. Тошкент: ЧП «Югай», 2009. $-45\,$ б.
- 5. Mashinalar ishonchliligi va taъmirlash asoslari. Toshkent: «Ozbekiston», 2006. 693 b. У ҳақидаги адабиётлар:
- 1. ЎзМЭ. 2002. Т.4. Б.363.
- 2. Шукурулло Убайдуллаевич Йўлдошев 75 ёшда // Механика муаммолари. 2010. № 1. Б. 67.
- 3. Академик Ш.У.Йўлдошевнинг ҳаёти, илмий педагогик ва ижтимоий фаолиятининг тавсияномаси. Тошкент: Фан, 1995. 48 б.
- 4. Камолот чегара билмас (Академик Ш.У.Йўлдошевнинг ҳаёти ва илмий-педогогик фаолиятидан лавҳалар. Ўзбек ва рус тилларида). Тошкент: Шарқ, 2005. 161 б.

ХАДЖИЕВ АБДУМУТАЛИБ ХАДЖИЕВИЧ (1936)

Қишлоқ хўжалиги ва мелиорация ишларини механизациялаш соҳасида таникли олим, Абу Райҳон Беруний номидаги Ўзбекистон давлат мукофоти совриндори, Ўзбекистонда хизмат кўрсатган фан арбоби, Ўзбекистон кишлоқ хўжалик ФА академиги, техника фанлари доктори, профессор.

Олим 1936 йил 20 июнда Чимкент вилоятининг Туркистон туманида таваллуд топган. 1958 йилда Ўрта Осиё политехника институтини (хозирги — ТДТУ) тамомлаган. 1958 - 1961 йилларда шу институтнинг "Машиналар механизмлари назарияси ва деталлари" хамда "Тракторлар ва кишлок хўжалик машиналари" кафедраларида ассистент, 1961-1964 йилларда Ўрта Осиё кишлок хўжалигини механизациялаш ва электрлаштириш илмий-тадкикот институти (САИМЭ, хозирги ЎзМЭИ)нинг аспиранти, 1964 — 1970 йилларда шу институтда илмий ходим, лаборатория мудири, 1970 — 1974 йилларда САИМЭ директорининг илмий ишлар бўйича муовини, 1974 — 1998 йилларда институт директори, 1998-2010 йилларда институт директорининг маслахатчиси лавозмларида ишлаган. 2010 йилдан хозиргача лойиха рахбари сифатида ишлаб келмокда.



Илмий ишлари кишлоқ хужалиги ва мелиорация машиналари, қишлоқ хужалиги ва мелиорация ишларини мехнизациялаш муаммоларига доир. 1965 йили "Ғуза култиватори ўғитлаш сошнигининг юкори тезликда ишловчи ўлчамларини асослаш ва танлаш" мавзусида номзодлик, 1989 йили "Ғузани локал равишда ўғитлаш технологиясини ва комплекс машиналарни ишлаб чикиш" мавзуси буйича докторлик диссертацияларини муваффакиятли химоя килган. Унга 1990 йили "Профессор" илмий унвони берилган, 1991 йили Ўзбекистон кишлок хужалиги Фанлари Академияси (ЎзҚХФА)нинг ҳакикий аъзоси (академиги) этиб сайланган.

Олимнинг изланишлари самараси сифатида озика моддаларни чигит уялари ва ғўза кўчатлари тупларига якин килиб, бир текисда локал жойлаштириш, тупрокка экишдан олдин ишлов бериш жараёнида минерал ўғитларни кенг тасма усулида бўлажак ғўза каторларига тўғрилаб солиш, чигит экиш ва ғўза парваришлаш даврида эса икки катламга бир текисда солишни таъминлайдиган, минерал ўғитларни локал солиш интенсив технологиясининг илмий асослари хамда уни амалга ошириш учун техника воситалари комплекси ишлаб чикилди.

Илмий тадкикотлари натижасида чизель ўғитлагичи, оғир дискли борона учун мосламаси, чукурюмшатгич учун мослама ва ғўза қатор ораларига ишлов бериш культиваторларининг ўлчамларини асослаш услубияти ва математик усуллари таклиф этилди. Ўғит солиш аппаратларининг макбул ўлчамларини танлаш имкониятини берувчи, солиш меъёри ҳамда ўғит доналарининг ўлчамлари билан сочилиш нотекислиги ўртасидаги математик боғликлик аникланди. Чигитни экиш схемаси, ўғит тасмасининг кенглиги ҳамда ўғитлаш агрегатининг бўлажак ғўза қаторларига нисбатан ҳаракат йўналишига боғлик ҳолда чигит уяларининг кўмилган ўғит тасмасига тўғри келиб тушиш қонуниятлари келтириб чиқарилди.

Олимнинг изланишлари ўларок ток илдизларини бир йўла кесиб регенерация этувчи, минерал ўғитларни чукур, локал солувчи ҳамда ҳосилдорликни оширувчи янги технология ва универсал қурилмаси

Изланувчан олим 3 та монография, 4 та илмий-оммабоп адабиётлар ва 348 тадан ортик илмий маколалар ёзган, 58 та ихтирога муаллифлик гувохномалари ва патентларига эга, 15 та монография ва илмий тўпламларга масъул мухаррирлик килган, 35 та фан доктори ва фан номзоларини етиштириб берган, 28 та халқаро анжуманларда иштирок этиб, маъруза килган.

Олим илмий-тадқиқот ишлари билан бир қаторда жамоат ишларида ҳам фаол қатнашган. 1975-1977, 1994-1996 йилларда Тошкент вилояти Янгийўл туман Кенгаши депутати, 1987 йил Тошкент вилоят Кенгаши депутати килиб сайланган.

Олимнинг илмий ва ижтимоий фаолияти давлатимиз томонидан муносиб такдирланган. Унга 1977 йили фан ва техника сохасида Абу Райхон Беруний номидаги Ўзбекистон давлат мукофоти, 1982 йили "Ўзбекистонда хизмат кўрсатган фан арбоби" фахрий унвони берилган. 1976 йили "Мехнатдаги жасорати учун" медали, 1985 йили "Мехнат фахрийси" медали, ВДНХ нинг кумуш (1974), олтин (1982) медали билан мукофотланган. 1972 й. ЎзР Олий Кенгаши Президиумининг "Фахрий ёрлиғи", 1986 йили ВАСХНИЛнинг "Фахрий ёрлиғи", 1992 йили "Мустақиллик" эсталик нишони билан тақдирланган.

Асосий асарлари:

- 1. Новая техника для хлопководства. Ташкент: Ўзбекистон, 1981. 124 с. (в соавторстве).
- 2. Механизация локального внесения минеральных удобрений под хлопчатник. Ташкент: Мехнат, 1988. 185 с.
- 3. Технологические основы механизации внесения органно-минеральных удобрений под хлопчатник. УзМЭИ (УзНПЦСХ при МСВХ РУз), 2002. 170 с.
- 4. История Узбекского научно-исследовательского института механизации и электрификации сельского хозяйства. УзМЭИ (УзНПЦСХ при МСВХ РУз), 2007. 120 с.
- 5. Пахтачилик культиваторининг комбинациялашган иш органи. Тошкент: "Адабиёт учкунлари", 2014. 72 б.(ҳаммуаллифликда).

У хақидаги адабиётлар:

1. Бибутов Н.С., Муродов М.М. Механика-тарихи ва тараққиёт йўли. Тошкент: Мухаррир, 2019. –80-81 б.

САДРИДДИНОВ АЗМИДДИН САДРИДДИНОВИЧ (1936)

Ўзбекистонда хизмат кўрсаттан механизатор, Олий таълим аълочиси, ЎзР ҚХФА мухбир аъзоси, техника фанлари доктори, профессор.

А.С.Садриддинов 1936 йил 26 июнда Тошкент шахрида зиёли оиласида таваллуд топган. 1954 йилда Тошкент шахридаги 24-ўрта макатабни олтин медал билан тамомлаб, шу йили Ўрта Осиё политехника институти механика факультетининг кишлок хўжалиги машиналари мутахассислиги бўйича ўкишга кирди.

1959 йилда Ўрта Осиё политехника институтини битириб, "Машина ва механизмлар назарияси" кафедрасида ассистентликдан ўз фаолиятини бошлаган. 1962—1965 йилларда шу кафедра аспиранти, у таникли олим Н. Б. Мюнстер рахбарлигида пахта териш машиналари вертикал шпинделлари юритмалари бўйича илмий изланишлар олиб борган ва 1968 йилда "Пахта териш машинаси шпинделлари асосий параметрлари тезликларини аналоглари ёрдамида аниклаш" мавзусида номзодлик диссертациясини ёклаган.

Олимнинг ҳаёти ҳозирги Тошкент давлат техника университети билан чамбарчас боғлик, У 1968 – 1971 йилларда ТошПИ Механика факультети декани муовини, 1971 – 1977 йилларда Механика факультети кечки-сиртки бўлимининг декани, 1977 – 1983 йилларда "Қишлоқ хўжалик машиналари" кафедраси мудири, 1979 – 1992 йилларда "Трактор ва кишлок хўжалиги машинасозлиги" факультети декани, 1992 – 1996 йилларда ТДТУ ўкув ишлари бўйича 1-проректори, 1996 – 1997 йилларда "Қишлоқ хўжалиги машиналари" кафедраси профессори, 1997 - 2005 йилларда ЎзР кишлок хўжалиги вазирлигига қарашли илмий-ишлаб чиқариш Марказининг Тошкент вилоят бўлимининг рахбари, 2005 – 2010 йилларда "Мурувват" агросаноат шўъба корхонасида маслаҳатчи, 2010 йилдан ҳозиргача "Ер усти транспорт тизимлари" кафедраси профессори лавозимида ишлаб келмоқда.

Олимнинг илмий ишлари асосан, кишлок хўжалиги машинасозлиги муаммоларига бағишланган.1985 йилда собик Иттифокда танилган Ростов-Дон кишлок хўжалиги машинасозлиги институти илмий Кенгашида "Ингичка толали пахта териш агрегатларини оптимал лойихалашнинг илмий асослари" мавзусида докторлик диссертациясини муваффакиятли химоя килган ва техника фанлари доктори илмий даражасини олган. 1991 йилда "Профессор" илмий унвони берилган.

Олим 4 та илмий монография, бир қанча ўкув кўлланмалар, 350 дан зиёд илмий маколалар ёзган, 41 та мауллифлик гувохномаси ва патентларга эга, 5 та илмий монография ва 10 та илмий тўпламларга масъул мухаррирлик килган. У янги турдаги пахта териш машинаси яратиш борасида кўрсатмалар муаллифидир. Кишлок хўжалигини механизациялаш соҳасидаги илмий-тадкикотларни ривожлантиришдаги хизматлари

эътиборга олиниб, 1991 йилда у Ўзбекистон Республикаси Қишлоқ хўжалиги ФА мухбир аъзоси этиб сайланган.

Олимнинг бевосита ташаббуси билан Тошкент вилояти Охангарон тумани худудида кафедранинг ўкув- тажриба полигони ташкил килинган. Унинг рахбарлигида Тошкент политехника институти Механика факультети кошида самарали фаолият юритаётган, кучли интеллектуал ва моддий-техника базасига эга бўлган кишлок хўжалик машиналарини, хусусан, пахта териш машиналарини такомиллаштириш бўйича илмий мактаб яратилган. У ТошПИ Механика факультетида номзодлик диссертацияларининг химояси бўйича ихтисослашган илмий Кенгаш тузишнинг ташкилотчиси, шу кенгаш раис ўринбосари бўлган.

Унинг рахбарлигида яратилган бир қанча ишланмалар «Политехник» туркумидаги қатор пахта териш машиналарида жорий қилиниб, давлат ва тармоқлараро илмий-техник марказ (МНТЦ) синовларидан муваффакиятли ўтган, кўргазмаларда намойиш қилиниб, совринли ўринларни эгаллаган. Ушбу ишланмалар Тошкент қишлоқ хўжалиги машинасозлиги заводида, пахтачилик хўжаликларида ва таъмирлаш корхоналарида ишлаб чиқаришга татбиқ этилган. Ушбу хизматлари учун давлатимиз томонидан олимга 1984 йили "Ўзбекистонда хизмат кўрсатган механизатор" фахрий унвони берилган. У илм-фан ютукларини ишлаб чиқаришга, вилоят фермер хўжаликларида амалиётга татбиқ килиш ишларини ташкил қилишга бевосита рахбарлик қилмоқда.

Олимнинг куп йиллик хизматлари эътироф этилиб, 2016 йилда Ўзбекистон Республикасининг "Мехнат шухрати" ордени билан мукофотланган.

Асосий асарлари:

- 1. Фазовое дискретное моделирование процессов уборочных сепаратов при управлении движением хлопковых коробочек. Ташкент: Изд. НБ им. А.Навоий, 2011. –180 с. (в соавторстве).
- 2. Научные основы машинного проектирования и совершенствования хлопкоуборочных аппаратов. Ташкент: Фан, 1986. –197 с.
- 3. Моделирование и оптимизация уборочных машин. Ташкент: ТГТУ, 1994. –230 с. (в соавторстве). У ҳаҳидаги адабиётлар:
- 1. Мадаев О. Хаёт хикматини хандаса илмидан топди // "Кишлоқ хўжалиги" журнали. 2016. № 8.
- 2. Турсунов Ш. Дўстим хакида дил сўзлари //"Қишлок хўжалиги" журнали, 2016. № 7.
- 3. Камолов Б. Азмиддин ака ибрати. Тошкент: ТДТУ, 2016.

БОЙМЕТОВ РУСТАМ ИСАЕВИЧ (1936)

Қишлоқ хўжалик машиналари соҳасида таниқли олим, Ўзбекистонда хизмат кўрсатган механизатор, техника фанлари доктори, профессор.

У 1936 йил 30 апрелда Қашқадарё вилояти, Шахрисабз туманида таваллуд топган. 1949 йилда Тошкент ирригация ва қишлоқ хўжалигини механизациялаш инженерлари институтига (ТИИИМСХ) ўкишга кириб, уни 1954 йилда "Қишлоқ хўжалигини механизациялаш" мутахассислиги бўйича тугатган. 1959 йилда Ўрта Осиё кишлоқ хўжалигини механизациялаш ва электрлаштириш илмий-тадқиқот институтига (ўша пайтдаги САИМЭ, хозирги ҚХМИТИ) йўлланма билан келиб, "Тупрокқа ишлов берувчи машиналар" лабораториясида катта илмий ходим лавозимида илмий фаолиятини бошлаган. 1962 — 1965 йилларда мазкур институтнинг аспиранти, 1966 — 1975 йилларда лаборатория бошлиғи, 1975 — 1978 йилларда Яман Араб Республикаси давлат хўжалигида



инженер-механик, 1978 — 1991 йилларда САИМЭнинг "Тупроққа экишгача ишлов беришни механизациялаш" бўлими рахбари, 1991 — 2010 йилларда Ўзбекистон кишлок хўжалигини механизациялаш ва электрлаштириш илмий-тадқиқот институти директорининг илмий ишлар бўйича ўринбосари лавозимларида ишлаган. 2011 йиилдан хозиргача шу институтнинг лабораториясида бош илмий ходим лавозимида ишлаб келмокда.

Илмий ишлари қишлоқ хужалик машиналарини такомиллаштириш ва меҳнат самарадорлигни ошириш, хусусан, пахтачилик соҳасида экишгача ишлов бериш машиналарининг технологиясини ишлаб чикишга бағишланган. У 1969 йилда "Технологические основы и параметры орудия для обработки тяжелых глыбистых почв в зоне хлопководства" мавзусида номзодлик, 1990 йилда «Разработка технологий и комплекса машин для предпосевной обработки почвы в зоне хлопководства» мавзусида докторлик диссертациясини муваффакиятли ҳимоя қилган ва техника фанлари доктори илмий даражасини олган.

Олимнинг олиб борган тадқиқотлари натижасида қуйидаги мухим илмий натижалар олинган:

- Турли шаклдаги деформаторлар орқали берилган зарба таъсирида кесакларнинг парчаланиш жараёнларини ифодаловчи қонуниятлар ўрганилган. Олинган натижалар оғир ва серкесак тупроқларга ишлов берувчи иш органларининг турлари ва параметрларини асослаш имконини берган;
- Тупроққа қатламлаб ишлов берадиган чизел-култиваторлар ишлаб чиқилган ва параметрлари асосланган;
- Тупроққа унинг пастки нам қатламини юқорига олиб чиқмасдан ишлов беришни таъминлайдиган иш органлари билан жиҳозланган фрезали култиватор ишлаб чиқилган;

- Икки ярусли шудгорлашда плугнинг сифат ва энергетик иш кўрсаткичларининг унинг иш органлари параметрлари ва жойлашиш схемасига боғлиқ равишда ўзгариш қонуниятлари ўрганилган.

Мутакиллик йилларида унинг рахбарлиги ва бевосита иштирокида катор янги турдаги тупрокка ишлов бериш машиналари ишлаб чикилган хамда ишлаб чикаришга жорий килинган. PHB-8,5 осма юмшаткич-текислагич, ПДО-4-4.5, ПД-4-4.5, МР-2/3-45 икки ярусли хамда ОР-4/5-40, ПН-3/4-35 умумий ишларга мўлжалланган плуглар, ПТ-3.6 плёнка тўшагич машинаси шулар жумласидандир. Бугунги кунда олим дехкон ва фермер хўжаликларида дон, картошка етиштиришнинг илмий-техникавий ечимларини асослаш йўлида тинмай изланмокда.

Сермаҳсул олим 8 та монография, 520 дан ортиқ илмий мақолалар ёзган, 72 та муаллифлик гувоҳномаси ва ихтироларга патент олган, 12 та асарга масъул муҳаррирлик қилган, 5 та халқаро анжуманда қатнашиб, маъруза қилган, қишлоқ ҳужалигини меҳанизациялаш соҳасида 7 та фан доктори ва 24 та фан нозодини етиштириб берган. Унга эришган ютуқлари учун 2002 йилда "Профессор" илмий унвони берилган.

Олим "Механика муаммолари" Ўзбекистон журналининг, Қозоғистоннинг "Международная агроинженерия" журналининг тахририят аъзоси сифатида фаол қатнашиб келади. У ТИҚХММИ хузуридаги докторлик илмий даража берувчи илмий Кенгаш ва илмий семинар аъзосидир.

Олимнинг илмий-педагогик фаолияти давлатимиз томонидан муносиб такдирланган. Унга "Узбекитонда хизмат кўрсатган механизатор" фахрий унвони берилган. "Қишлоқ хўжалиги аълочиси" ва "Ихтирочи" кўкрак нишонлари билан мукофотланган.

Асосий асарлари:

- 1. Механико-технологические основы и параметры орудий для разуплотнения почвы. Ташкент: Фан, 1988. 115 с. (в соаторстве).
- 2. Оптимизация параметров рабочих органов почвообрабатывающих машин. Ташкент: Фан, 1991. 138 с. (в соаторстве).
- 3. Перспективные технологические процессы механизации возделывания хлопчатника. Ташкент: Фан, 1985. 184 с. (в соаторстве).
- 4. Технология улучшения плодородия почвы. Ташкент: Узбекистан, 1985. 80 с. (в соаторстве). У хакидаги адабиётлар:
- 1. Бибутов Н.С., Муродов М.М. Механика тарихи ва тарақкиёт йўли. Тошкент: "Мухаррир", 2019. 107–108 бетлар.

ШОУМАРОВА МУХАЙЁ (1939)



Техника фанлари номзоди, профессор, Ўзбекистонда биринчи механизатор олима аёл.

Шоумарова Мухайё 1939 йил 10 майда Тошкентда шахрида таваллуд топган. 1956 йили ўрта мактабни имтиёзли тугатиб, Тошкент ирригация ва кишлок хўжалигини механизациялаштириш инженерлари институти (ТИҚХММИ)нинг "Қишлок хўжалигини механизациялаш" факультетига ўкишга кирган ва уни 1961 йилда инженер-механик мутахассислиги бўйича битирган. 1961-1973 йиллари ЎзР ФА Механика ва иншоотлар сейсмик мустаҳкамлиги институтида инженер, аспирант, кичик ва катта илмий ходим бўлиб ишлаган. 1973 йилдан ҳозиргача ТИҚХММИнинг "Қишлок ҳўжалиги машиналари" кафедрасида доцент, профессор лавозимида ишлаб келмокда. М.Шоумаровага 2001 йил ТИҚХММИда ҳизмат кўрсатган доцент, 2009 йили профессор илмий унвони берилган.

1971 йили "Вертикал шпинделли пахта териш машинаси шпинделларига ғўза тупи динамик таъсирининг тадқиқоти" мавзусидаги

номзодлик диссертациясини ЎзР ФАнинг физика-техника илмий Кенгашида химоя қилиб, техника фанлари номзоди илмий даражасини олган.

Илмий ишлари қишлоқ хужалиги ва мелиорация машиналари, қишлоқ хужалиги ва мелиорация ишларини механизациялаш, қишлоқ хужалиги ва мелиорация техникаларини ишлатиш, тиклаш ва таъмирлаш масалаларига бағишланган. Олима ерга ишлов берадиган машиналар (плуг, култиватор), экиш машиналари, ўрим-йигим машиналари (комбайн, пахта териш машинаси) технологик жараёнлари ва сифат курсаткичларини яхшилаш учун бир нечта илмий ғояларни шакллантирган. Талабаларга турли машиналарни ўргатишда айрим илгор техник ечимларни тўгридан-тўгри машинада курсатиб тушунтиришнинг иложи булмаганлиги сабабли, уларнинг моделидан фойдаланиш мақсадга мувофиклигини курсатиб берган. У бугунги кунда ҳам илмий маколалари асосида методик кулланмалар, дарсликлар ёзиш, пахта териш машинаси аппаратини такомиллаштириш буйича илмий изланишлар олиб бормоқда.

Сермаҳсул олима 5 тадан ортиқ ўқув қўлланма ва дарсликлар, 250 дан ортиқ илмий мақола ёзган, ихтиролари учун 5 та муаллифлик гувоҳномасига эга, кўплаб илмий тўпламларга масъул муҳаррирлик қилган. Охирги уч йилда 5 та халқаро анжуманларда маърузалар билан қатнашган. 2017 йилда тажрибали

услубиётчи сифатида 5430100 – Қишлоқ хўжалигини механизациялаш таълим соҳасининг давлат таълим стандартларини ишлаб чиқишда иштирок этган.

Олиманинг жамоат ишларидаги фаолияти ҳам таҳсинга сазовор. У факультет аёллар кенгашининг раиси, Олий аттестация комиссияси илмий семинарининг актив аъзоси, ҳишлоҳ ҳужалигини меҳанизациялаш факультетида бош мураббий ҳамда кафедра маънавий-маърифий ишлари буйича масъулдир.

Олиманинг илмий-педагогик фаолияти давлатимиз томонидан муносиб такдирланган. У Ўзбекистон Республикаси Олий ва ўрта махсус таълим вазирлиги ва Қишлоқ хўжалиги вазирлигининг "Фахрий ёрлиқ"лари, "Мустақилликнинг 20 йиллиги", "Мустақилликнинг 25 йилллиги" кўкрак нишонлари билан мукофотланган.

Асосий асарлари:

- 1. Пиллачиликда ишлатиладиган машина ва механизмларга техник хизмат кўрсатиш. Ўқув қўлланма. Тошкент: "Илм-зиё", 2016. 3,5 б.т. (ҳаммуаллифликда).
- 2. Қишлоқ хўжалиги машиналари. Дарслик. Тошкент: "Шарқ" ва "Фан ва технология", 2016. №18. 25 б.т. (ҳаммуаллифликда).
- 3. Қишлоқ хўжалиги техникаларининг тузилиши ва уларга техник хизмат кўрсатиш. Ўқув қўлланма. Тошкент: "Ношир", 2017. 18,5 б.т. (ҳаммуаллифликда).
- 4. Қишлоқ хўжалигида механизациялаштирилган ишлар технологияси. Дарслик. Тошкент: "Чўлпон", 2017. 11 б.т. (хаммуаллифликда).
- 5. Қишлоқ хўжалиги машиналари. Олий ўқув юртлари учун дарслик. Тошкент: "Фан ва технология", 2019. 576 б. (ҳаммуаллифликда).

У ҳақидаги адабиётлар:

Ризаев А.А. Шоумарова Мухайё 80 ёшда // Механика муаммолари. 2019. № 2. –105 бет.

МАТЧАНОВ РАФИК ДОСЧАНОВИЧ (1942)

Доктор технических наук, профессор, член-корреспондент Узбекской Академии сельскохозяйственных наук, член Нью-Йоркской академии наук, заслуженный работник сельского хозяйства Республики Каракалпакстан.

Р.Д. Матчанов родился 9 марта 1942 г. в г. Турткуле Каракалпакской АССР. Окончил Ташкентский политехнический институт (ныне Ташкентский госудрственный технический университет) в 1965 г. по специальности «Сельско-хозяйственные машины».

В 1965 г. инженер-технолог Узбекского тракторосборочного завода (ныне – Агрегатный завод), в 1965–1966 гг. – служба в армии, в 1967–1983 гг. инженер-конструктор, руководитель бригады, заведующий отделом конструирования хлопкоуборочных машин, заместитель начальника Головного специализированного конструкторского бюро (ГСКБ) по машинам для хлопководства, в 1983–1989 гг. – главный инженер, первый заместитель председателя Всесоюзного



промышленного объединения (ВПО) «Союзмашхлопководства», в 1989–1992 гг. – заместитель Председателя Президиума САО «ВАСХНИЛ», И.о. Вице-президента, академик-секретарь Узбекской академии сельско-хозяйственных наук, в 1992–1996 гг. – Председатель Правления АО «ВМКВ-Agromash», в 1996–2007 гг. – заместитель Председателя, Председатель Правления ХК «Узсельхозмаш-холдинг», в 2007 г. по настоящее время заместитель директора СП «Agroxim» по научной работе.

Основные научные труды посвящены механизации сельскохозяйственного производства. Область его научных исследований – повышение потребительских свойств сельхозмашин путем совершенствования их динамических характеристик.

В 1972 г. Рафик Досчанович защитил кандидатскую диссертацию на тему: «Вопросы интегрирования уравнений вариационной задачи полета в центральном поле» (УДН, Москва). В 1988 г. защитил докторскую диссертацию на тему: «Научно-технические решения проблемы повышения эффективности работы многорядных хлопкоуборочных машин» и получил ученую степень доктора технических наук. Им разработаны научно-технические основы проектирования многорядных хлопкоуборочных машин, как многомассовых механических систем (на примере 4- и 6-рядных хлопкоуборочных машин).

В 1991 г. Р.Д. Матчанов присвоено ученое звание профессора по кафедре «Сельскохозяйственные машины» ТИИИМСХ. Автором опубликовано более 300 научных работ, в том числе 13 книг и монографий. Получено около 180 авторских свидетельств на изобретение и патентов. Автор непосредственно участвовал в разработке и производстве отечественных хлопкоуборочных машин: 17XB-1,8; 14XB-2,4; XH-3,6; XBA-1,2; XBБ-1,8; XHП-1,8; XMГ-01, где внедрены его изобретения.

Р.Д. Матчанов является ответственным редактором 7 монографий. Участник более 10 международных конференций. Им подготовлено 1 доктор и 7 кандидатов технических наук.

В 2000–2005 гг. являлся депутатом Олий Мажлиса РУз от Кегейлийского и Нукусского районов Каракалпакстана.

В настоящее время руководит фундаментальными, прикладными и инновационными проектами по созданию хлопкоуборочной техники в отрасли сельскохозяйственного машиностроения.

После обретения независимости Республики Узбекистан руководил отраслью сельскохозяйственного машиностроения республики. В последние годы также осуществляет научное руководство в части проектирования и производства техники для химической защиты растений от вредителей и болезней. В течение 8 лет по совместительству руководил кафедрой «Сельскохозяйственные машины» ТИИИМСХ. Является членом экспертного совета ВАК РУз, заместителем главного редактора журнала «Агротехника дунёси».

Научно-педагогическая деятельность Р.Д. Матчанова высоко оценена правительством Узбекистана. Ему присвоено почетное звание «Заслуженный работник сельского хозяйства Республики Каракалпакстан». Основные публикации:

- 1. Расчет и оценка качества хлопкоуборочных машин. Ташкент: Фан, 1992. 90 с.
- 2. Уплотнение хлопка в бункере и эффективность хлопкоуборочных машин. Ташкент: Фан, 1993.-87 с.
- 3. Моделирование динамических процессов в горизонтально-шпиндельных уборочных аппаратах. Ташкент: Фан, 2004. 163 с. (в соавторстве).
- 4. Хлопкоуборочные машины (1929-2010 гг.). Ташкент: «Фан ва технология», 2011. 353 с.
- 5. Защита растений в системе «Культура–вредитель–препарат–машина». Ташкент: Фан, 2016. 335 с. *Литература о нем*:
- 1. Рафик Досчанович Матчанов: к 60-летию со дня рождения. Библиография. Ташкент: АО «ВМКВ-Agromash», 2002. 25 с.
- 2. О книге Р.Д.Матчанова «Поиск своей истины». // Агротехника олами. 2017. №10.
- 3. Тиниб тинчимаслик махсули (Р.Д.Матчанов хакида) // Агротехника олами. 2018. №5.

КОРШУНОВА НАТАЛЬЯ АЛЕКСАНДРОВНА (1947)



Доктор физико-математических наук, профессор, видная представительница аналитической механики.

Н.А. Коршунова родилась 13 ноября 1947 г. в городе Кыштым Челябинской области (России). После окончания средней школы в 1965 г. поступила на учёбу механико-математический факультет ТашГУ (ныне –НУУз) и окончила в 1970 г. по специальности «Механика» со специализацией по общей механике. С сентября 1970г. работала в Ташкентском государственном университете на кафедре общей механики факультета прикладной математики и механики, занимая должности ассистента (с 1970 г.), старшего преподавателя (1979 г.), доцента (1980 г.), профессора (1993 г.). В 1997 – 2001 гг. работала в Межбанковской рейтинговой компании «Ахбор-рейтинг» (Ассоциация банков Узбекистана) в должности зав. аналитическим

отделом, а затем в должности генерального директора этой компании. С 2001 г. работает в должности профессора кафедры теоретической и прикладной механики (ныне – теоретических основ механики) НУУз.

Н.А. Коршунова является представителем научной школы аналитической механики, руководимой проф. Ахмедом Ганиевичем Азизовым (1935–1997). Область её научных исследований–аналитическая механика; управление движением механических систем; методы оптимизации в механике; механика космического полета, в частности, оптимизация траекторий в гравитационных полях.

В 1977 г. она защитила кандидатскую диссертацию на тему «Вопросы интегрирования уравнений вариационной задачи полета в центральном поле» (УДН, Москва). В 1993 г. защитила докторскую диссертацию на тему «Аналитическая теория оптимизации траекторий точки в гравитационных полях» (МГУ, Москва). В 1983 г. присвоено ученое звание доцента по кафедре общей механики, а в 2012 г. присвоено ученое звание профессора по кафедре теоретической и прикладной механики. К настоящему времени ею опубликовано более 115 научных работ. Она является ответственным редактором многих научных трудов и монографий и единственной женщиной доктором наук по теоретической механике в республике. Под её руководством защищены 1 кандидатская и 1 докторская диссертации.

Н.А. Коршуновой была предложена теория, основанная на классических методах аналитической механики, определения аналитических решений на активных участках оптимальной траектории центра масс космического аппарата, движущегося в различных центральных и нецентральных гравитационных полях. Результаты играют важную роль при исследовании космического пространства и применяются в небесной баллистике при построении конкретных межпланетных траекторий.

Наталья Александровна успешно сочетает педагогическую, учебно-методическую, научноисследователь-скую и организационно-воспитательную работу. Она пользуется заслуженным авторитетом среди сотрудников и студентов факультета. Н.А. Коршунова на высоком научно-методическом уровне читает общий курс теоретической механики, а также специальные курсы «Теория устойчивости движения», «Небесная механика», «Вариационные задачи динамики полета», «Аналитическая механика» «Теория управляемого движения» и др. Руководила фундаментальным грантом Ф-4-29 «Динамика управляемых механических систем с неидеальными и условными связями», является членом специализированных советов по защите диссертаций, членом редколлегии Узбекского журнала «Проблемы механики». Н.А. Коршунова вкладывает огромную лепту в дело подготовки высококвалифицированных научно-педагогических кадров не только в Узбекистане, но и за рубежом.

Основные труды:

- 1. Вариационные задачи механики космического полёта. Учебное пособие. Ташкент: Университет, 1991.-84 с. (с Азизовым А.Г.).
- 2. Избранные главы теории устойчивости движения. Учебное пособие. Ташкент: Университет, 1995. –32 с. (с Азимовым Д.М.).
- 3. Космик парвозлар механикасига кириш (методик қўлланма). Тошкент: XTРХМОМИ, 2006. 32 с. (соавторы Т.Т.Кодиров, М.Н.Сидиков).
- 4. Космик парвозлар механикасига кириш (услубий кўлланма), 2 кисм. Тошкент: XTXКТМОМИ, 2009. 43 с. (соавторы Т.Т.Кодиров, М.Н.Сидиков)
- 5. Analytical Solutions for Thrust Arcs in a Field of Two Fixed Centers // «Journal of Guidance, Control, and Dynamics» (AIAA), USA, V.37. 2014. №5. Р. 1716-1719. Литература о ней:
- 1. Профессору Коршуновой Наталье Александровне 70 лет // Вестник НУ Узбекистана им. Мирзо Улугбека, 2017. № 1.
- 2. Доктору физико-математических наук, профессору Коршуновой Наталье Александровне 60 лет // Узбекский журнал «Проблемы механики». 2007. № 4.
- 3. Бибутов Н.С., Муродов М.М. Механика тарихи ва тараққиёт йўли. Тошкент: "Мухаррир", 2019. 99-101 бетлар.

ХАМИД ТУРСУНОВИЧ АХМАДХЎЖАЕВ (1949)

Таниқли механик олим, техника фанлари доктори, профессор, Ўзбекистон Республикаси олий таълим аълочиси.

Хамид Турсунович Ахмадхўжаев 1949 йил 7 февралда Наманган шахрида харбий хизматчи оиласида таваллуд топган. 1971 йил Тошкент тўкимачилик институтини тамомлаган. 1971—1973 йилларда Ўзбекистон Республикаси пахта тозалаш саноати вазирлигининг экспертиза бўлимида мухандис, катта мухандис, 1973—1982 йилларда Тошкент тўкимачилик ва енгил саноат институтида аспирант, ассистент, доцент, 1982—1988 йилларда шу институтнинг Наманган филиалида директор, 1988—1992 йилларда ТТЕСИнинг «Пахтани дастлабки ишлаш» кафедраси мудири, 1993—1998 йилларда НамМТИ ректорининг ўкув ишлари бўйича проректори, 1998—2005 йилларда эса шу институт ректори лавозимида ишлаган. 2005 йилдан



хозирга қадар шу институтнинг "Табиий толаларни дастлабки ишлаш технологияси" кафедраси профессори лавозимида ишлаб келмоқда.

Олимнинг илмий ишлари пахта саноати техника ва технологияларини такомиллаштириш хамда самарадорлигини ошириш муаммоларига бағишланган. У 1980 йилда "Исследование транспортирования хлопка-сырца в металлополимерних трубопроводах и их влияния на качество волокна и семян" мавзусида номзодлик, 1995 йилда "Разработка основ теории и технологии обработки производних хлопка-сырца после джинирования" мавзусида докторлик диссертациясини Кострома шахрида химоя қилган ва техника фанлари доктори илмий даражасини олган. 2011 йилда унга "Профессор" илмий унвони берилган.

Сермаҳсул олим 7 та монография, 350 дан зиёд илмий мақолалар ёзган, 50 дан ортиқ рационализаторлик ва ихтирочилик таклифларига муаллифлик гувоҳномаси ва давлат патентларини олган, кўплаб илмий тўпламлар ва монографияларга масъул муҳаррирлик қилган. Унинг илмий раҳбарлигида 10 дан ортиқ фан номзоди тайёрланган.

Олимнинг ташкилотчилик фаолияти, айникса, тахсинга лойикдир. У ТТЕСИ Наманган филиалида директор лавозимида ишлаганида, филиалда 4 та мутахассислик кафедраси ташкил этилган, кундузги ўкув бўлими очилган, профессор-ўкитувчилар илмий салохияти 26 фоизга ўсган.

НамМТИ ректорлик даврида унинг саъй-ҳаракатлари билан дунёдаги ривожланган мамлакатлардаги илм даргоҳлари — АҚШнинг Мериленд университети, Ҳиндистоннинг Жавоҳарлал Неру, Индира Ганди номли очик миллий университетлар, Россиянинг Кострома давлат техника университети, Иваново давлат туҳимачилик академияси, Санк-Петербург технология ва дизайн университети, Москва туҳимачилик академияси билан икки томонлама алоҳалар йҳлга қҳйилган.

Олим ижтимоий-сиёсий ҳаётнинг фаол иштирокчиси, талабчан раҳбар ва меҳрибон устоздир. У 2000 йили Президент сайловини ўтказувчи Наманган вилояти округи раиси, вилоят "Билим" жамияти раиси, "Адолат" СДП вилоят Кенгаши раҳбари бўлган. У ҳозирги кунда ҳам юртимизда ўтказилаётган ислоҳотларнинг рўёбга чиҳишида атрофдагиларга ўрнак бўлмоҳда.

Олимнинг илмий-педагогик фаолияти давлатимиз томонидан муносиб такдирланган. 2019 йилда Ўзбекистон Республикаси «Шухрат» медали билан, 1999 йилда "Ўзбекистон Республикаси Олий таълим аълочиси" кўкрак нишони, 2011 йилда "Ўзбекистон Республикаси мустақиллигининг 20 йиллиги" эсдалик нишони билан мукофотланган.

Асосий асарлари:

- 1. Машинасозликда махсулотлар сифатини таъминлаш. Тошкент: Молия, 2002. 84б. (Хаммуаллифликда).
- 2. Триботехникадан амалий машғулотлар. Тошкент: Молия, 2006. 256 б. (Хаммуаллифликда).
- 3. Основы теорий и технологии производных джинирования. Ташкент: "Фан", 2005. –161с. (Хаммуаллиф-ликда).
- 4. Чигитларни тозалаш ва саралаш технологиясини такомиллаштириш. Тошкент: "Фан", 2009. 128 б. (Хаммуаллифликда).
- 5. Тўкимачилик материалларини ўраш назарияси. Тошкент: "Ворис", 2010. 336 б. (Хаммуаллифликда).
- 6. Чигитларни тозалаш ва саралаш технологиясини такомиллаштириш. Наманган: "Наманган" нашриёти, 2015. 129 б. (Хаммуаллифликда).
- 7. Совершенствование конструкций и разработка методов расчета рабочих органов очистителей хлопкасырца от мелкого сора. Ташкент: "Фан", 2016. 125 с. (В соавторстве)
- 8. Тола сифатини яхшилаш мақсадида аррали жинни таъминлаш жараёнини такомиллаштириш. Тошкент: "Наврўз", 2018. 140 б. (Хаммуаллифликда) У хакидаги адабиётлар:
- 1. Саримсаков О. Ҳаёт формуласи (Ҳ. Аҳмадҳўжаев ҳаёти ва фаолиятидан лавҳалар). Наманган: "Наманган" нашриёти, 2019. 420 б.

ХУДАЙКУЛОВ САВЕТ ИШОНКУЛОВИЧ (1949)



Суюқлик, газ ва плазма механикаси соҳасида кўзга кўринган олим, техника фанлари доктори, профессор.

У 1949 йил 7 сентябрда Сирдарё вилояти, Гулистон шахрида таваллуд топган. 1974 йилда Тошкент давлат университетининг механика-математика факультетини тамомлаган. 1974 — 1975 йилларда Сирдарё давлат педагогика институтининг "Олий математика" кафедрасида лаборант, 1975 — 1976 йилларда Тошкент ирригация ва кишлок хужалигини механизациялаштириш мухандислари институти Янгиер филиали тайёрлов курси мудири, 1976 — 1987 йилларда мазкур институтнинг Янгиер филиали "Олий математика" кафедраси ассистенти, "Хисоблаш техникаси" кафедраси катта ўкитувчиси, 1987 — 1993 йилларда Тошкент ирригация ва кишлок хужалигини механизациялаштириш мухандислари институти "Олий математика" кафедраси катта ўкитувчиси, доценти, 1993 — 1996 йилларда Гулистон давлат университети "Укув жараёнида

янги информацион технологияларни кўллаш" кафедраси доценти, мудири, 1996—998 йилларда Тошкент автомобил йўллари институтининг тест маркази бошлиғи, "Хисоблаш техникаси ва информатика" кафедраси доценти, 1998—2008 йилларда Тошкент ирригация ва мелиорация институти "Олий математика" ва "Гидравлика" кафедраси доценти, 2008—2012 йилларда ЎзР ФА Сув муаммолари институти илмий ишлар бўйича директор ўринбосари, 2012—2018 йилларда Тошкент ирригация ва кишлок хўжалигини механизациялаш мухандислари институти кошидаги Ирригация ва сув муаммолари илмий-тадкикот институти "Сув хўжалиги иктисодиёти ва тизимини такомиллаштириш" лабораторияси етакчи илмий ходими, 2018 йилдан хозиргача Ирригация ва сув муаммолари илмий-тадкикот институти "Гидротехника ва мелиорацияда гидродинамика жараёнларини моделлаштириш" лабораторияси бош илмий ходими лавозимида ишлаб келмокда.

Илмий ишлари суюклик ва газ механикаси муаммоларига бағишланган. Олим номзодлик диссертациясини 1986 йилда ЎзР ФА Механика ва иншоотлар сейсмик мустаҳкамлиги институти ҳузуридаги ихтисослаштирилган кенгашда «Истечение жидкости с последующими присоединениями притоков при различных конфигурациях стенки и его приложения» мавзусида ҳимоя қилган. 2005 йилда "Икки фазали окимлар назариясини ривожлантириш ва улар ёрдамида техника масалаларини ечиш" мавзусида докторлик диссертациясини ҳимоя қилган. Унга 1995 йилда "Доцент", 2019 йилда "Профессор" илмий унвони берилган.

Сермаҳсул олим 6 та монография, 2 та дарслик, 150 дан зиёд илмий мақолалар ёзган. Бир неча муллифлик гувоҳномасига ва ихтиролари учун 4 та патентга эга. 10 дан зиёд илмий тўпламларга масъул муҳаррирлик қилган. Фанимиз учун 3 та фан номзодини етиштириб берган.

Олим республикамизнинг ижтимоий-сиёсий ҳаётида ҳам фаол қатнашиб келади. Давлат илмий-техника дастурлари доирасида бажарилаётган илмий-тадқиқот ишлари натижалари буйича Ўзбекистон Республикаси Вазирлар Маҳкамаси, Олий Мажлис, Сув ҳужалиги вазирлиги йиғилишларида иштирок этмоқда ҳамда Тошкент ирригация ва қишлоқ ҳужалигини меҳанизациялаш муҳандислари институти ва Ирригация ва сув муаммолари илмий-тадқиқот институтида ташкил этилган илмий-амалий семинарларда узининг чиқишлари билан қатнашмоқда. Олиб борган илмий-тадқиқотлари ва чоп этган илмий ишлари чет элда ҳам яҳши танилган ва илмий адабиётларда унинг ишларидан фойдаланиб келмоқдалар.

"Фан-таълим-ишлаб чикариш ўртасидаги интеграцияни" ривожлантиришда Президентимиз ташаббуси ва рахбарлигида ишлаб чикилган, бугун ўзининг юксак самарасини бераётган "Кадрлар тайёрлаш миллий дастури"да белгиланган вазифаларни бажариш максадида, Олий ўкув юртидан кейинги таълим сифатини оширишда Олий таълим муассасаларида ўкув стандартлари, фан дастурлари, ўкув кўлланма ва монографиялар ёзилишида ўзининг маслахатини бериб келмокда. Техника йўналишидаги олий ўкув юртларида ўриндошлик асосида профессор бўлиб дарс бериш билан бирга, магистрлик диссертация ишларига рахбарлик килмокда.

Асосий асарлари:

- 1. Теория струй многофазных жидкостей. Ташкент: «Фан», 2003. 140 с. (в соавторстве).
- 2. Гидротехник иншоотлардаги сув ўтказиш трактлари курилмаларининг турли конструкцияларини тадкик килиш. Тошкент: «Наврўз», 2018. 128 бет. (Хаммуаллифликда).
- 3. Дренаж ва дренаж тизимидаги ер ости сувлари ҳаракатини моделлаштиришнинг математик усуллари. Буҳоро: «Durdona», 2017. 160 бет. (Ҳаммуаллифликда).
- 4. Математические модели гидравлического удара в гидросооружениях и производственных комплексах. Ташкент: «Наврўз», 2017. 162 с. (в соавторстве).
- 5. Моделирование динамики развития стратификационных течений многофазных жидкостей. Ташкент: «Наврўз», 2017. 135 с. (в соавторстве).
- 6. Стационарное и нестационарное течения воды с наносами в водотоках. Бухара: «Durdona», 2017. 160 с. (в соавторстве).
- 7. Дисперс аралашмалар оқимидаги кавитация ва пульсация жараёнларнинг шаклланиш қонуниятини моделлаштириш ва сув омборларига қўллаш. Бухоро: «Durdona», 2019. 126 бет. (Хаммуаллифликда).
- 8. Gidravlika. Ўқув қўлланма. Buxoro: «Durdona», 2017. 316 b.
- 9. Гидромехника. Ўкув қўлланма. Тошкент: "Фан", 2008. 436 бет. (Хаммуаллифликда). У хакидаги адабиётлар:
- 1. Оқил ва одил олим. // "Ozbekiston qishloq va suv xo'jaligi" журнали, №3. 2019. 47 бет.
- 2. Хаётини илмга бағишлаган инсон. // Наманган вилояти касб-хунар таълими худудий бошқармасининг газетаси, 26 сентябрь 2019 й.

ТЎХТАҚЎЗИЕВ АБДУСАЛИМ (1950)

Қишлоқ хўжалигини механизациялаш соҳасидаги таниқли олим, техника фанлари доктори, профессор.

У 1950 йилда Фарғона вилоятининг Бешариқ туманида таваллуд топган. 1966 йилда Тошкент давлат политехника институтига (хозирги И.А.Каримов номидаги Тошкент давлат техника университети) ўкишга кириб, 1971 йилда инженер-механик мутахассислиги бўйича тамомлаган. 1971—1973 йилларда Фарғона политехника институти стажер-изланувчиси, кафедра ассистенти; 1973—1987 йилларда Ўрта Осиё қишлоқ хўжалигини механизациялаш ва электрлаштириш илмий-тадқиқот институти инженер-конструктори, аспиранти, кичик ва катта илмий ходими; 1987—2011 йилларда Ўзбекистон қишлоқ хўжалигини механизациялаш ва электрлаштириш илмий-тадқиқот институти бўлинма рахбари, лаборатория рахбари; 2012—2017 йилларда мазкур институтнинг "Тупрокка ишлов бериш ва ер текислаш машиналари" лаборатория рахбари,



лойиҳалар раҳбари; 2018 йилдан ҳозирги вақтгача Қишлоқ ҳўжалигини механизациялаш илмий-тадқиқот институти "Тупроққа ишлов бериш ва ер текислаш машиналари" лабораторияси ва бир қатор лойиҳалар раҳбари лавозимларида ишлаб келмоқда.

Илмий ишлари кишлок хужалик техникасини такомиллаштиришга, хусусан, тупрокка ишлов бериш техникасининг илмий-техник асосларини шакллантиришга бағишланган. Олим 1979 йилда "Исследование и обоснование параметров зубовой бороны для работы на повышенных скоростях движения в зоне хлопководства" мавзусида номзодлик, 1998 йилда "Механико-технологические основы повышения эффективности почвообрабатывающих машин хлопководческого комплекса" мавзусида докторлик диссертацияларини химоя килган ва техника фанлари доктори илмий даражасини олган.

Олимнинг илмий-тадкикотлари натижаси ўларок, тупрокка кам энергия сарфлаб, деформациялаш ва парчалашнинг илмий-техник асослари ишлаб чикилган ва бунда олинган натижалар асосида энергия-ресурстежамкор тупрокка ишлов бериш машиналари яратилган; тупрокка ишлов бериш машиналарининг ишлов бериш чукурлиги ва барқарорлигига тупрок физик-механик хоссалари ва агрегат ҳаракат тезлигининг таъсирини камайтириш ва бартараф этишнинг илмий-техник ечимлари ишлаб чикилган.

Айниқса, мустақиллик йилларида қишлоқ хўжалик техникасини такомиллаштиришга ва иш самарадорлигини оширишга катта куч сарф килди. Мустакиллик йилларида унинг рахбарлиги ва бевосита иштирокида 10 дан ортик янги турдаги тупрокка ишлов бериш машиналари ишлаб чикилган (ГРП-3/5 ва ГНУ-1МС чукур юмшаткичлар, ПД-4-45, ПНЯ-4/5-45, МР-2/3-45, АМР-2/3-45 икки ярусли хамда ОР-4/5-40, OP-3/4-40 ва OPZ-3/4-40 умумий ишларга мўлжалланган плуглар, DP-3/4-дискли плуг, КМ-3,0 комбинациялашган машина, КДБ-3,0 комбинициялашган дискли борона, РВН-8,5 юмшаткич-текислагич) ва улар қишлоқ хўжалиги ишлаб чиқаришга жорий этилмокда. Уларни қўллаш ерларни экишга тайёрлашга сарфланадиган ёнилғи ва бошқа харажатларни 1.2-1.3 марта камайиши ва иш унумини 1.5 мартагача ортишини таъминлайди. Кейинги йилларда у томонидан юкори кувватли тракторлар учун кенг камровли ҳамда даладан бир ўтишда турли технологик жараёнларни қўшиб бажарадиган комбинациялашган, шу жумладан тракторни олди ва орқасига осиладиган ишчи қисмлардан ташкил топган машиналарни ишлаб чикиш бўйича тадкикотлар олиб борилмокда. Сўнги уч йилда ўтказилган тадкикотларнинг натижалари буйича 4 та монография, илмий журналлар ва тупламларда 112 та макола эълон килинган, 6 та ихтирога патент олинган. Изланувчан олим бүгүнги күнда тупрокка ишлов бериш ва ер текислаш машиналарининг иш сифати ва унумини ошириш, материал-энергия-хажмдорлигини камайтириш муаммолари буйича тадкикотлар олиб бормокда.

Сермахсул олим 5 та монография ва 540 тадан зиёд илмий маколалар эълон килган, 78 та муаллифлик гувохномаси ва патентларга эга, 14 та халкаро анжуманларда катнашиб маърузалар килган, 22 та фан доктори ва фан номзодларини тайёрлаб берган, бир канча илмий тўпламларга масъул мухаррирлик килган. Унга илмда эришган ютуклари учун "Профессор" илмий унвони берилган.

Олим илмий фаолият билан бир қаторда жамоат ишларида ҳам фаол қатнашған. У Тошкент ирригация ва қишлоқ ҳўжалигини механизациялаш муҳандислари институти ҳузуридаги Dsc.27.06.2017.Т.10.01 рақамли илмий кенгаш аъзоси ва шу илмий кенгаш қошидаги илмий семинарнинг раис ўринбосаридир, олий ўқув юртларида педагогик фаолият олиб бориб, 5 та магистрлик диссертацияларига илмий раҳбарлик қилган.

Асосий асарлари:

- 1. Тупрокни кам энергия сарфлаб деформациялаш ва парчалашнинг илмий-техник асослари. Тошкент: "Komron Press", 2013. 120 б. (ҳаммуаллифликда).
- 2. Тракторларнинг олди ва орқасига осиладиган ишчи қисмлардан ташкил топган тупроққа ишлов бериш машиналарини ишлаб чиқишнинг илмий асослари. Тошкент: "Mashhur Press", 2016. 136 б. (ҳаммуаллифликда).
- 3. Тракторларнинг олди ва орқасига осиладиган ишчи қисмлардан ташкил топган тупроққа ишлов бериш машиналарини агрегатлашнинг илмий-техник асослари. Тошкент: ҚХМЭИ ЎзҚХИИЧМ, 2019. 158 б. (ҳаммуаллифликда).
- 4. Иш органлари рамага қўзғалмас бириктирилган тупроққа ишлов бериш машиналарининг ишлаш чуқурлиги барқарорлигини таъминлашнинг илмий-техник ечимлари. Тошкент: "Muxr Press", 2019. 70 б. (ҳаммуаллифликда).
- 5. Иш органлари рамага қўзғалувчан бириктирилган тупроққа ишлов бериш машиналарининг ишлаш чуқурлиги барқарорлигини таъминлашнинг илмий-техник ечимлари. Тошкент: "Muxr Press", 2019. 84 б. (ҳаммуаллифликда).

"Ўзбекистоннинг механик олимлари" материалларини доцент Муҳаммад Раҳим тайёрлади.

МУНДАРИЖА

Г.Р.Рашидов, Б. Мардонов, Н.Б. Джураева. Тупроқ (грунт) мухити билан ўзаро таъсирдаги	
тупроққа ишлов берувчи машина ишчи органларининг бўйлама тебраниши	3
4 . А . А б д у р а х и м о в . Реакторда реагентни харакати даражасига бўйлама кўчишнинг стацонар бўлмаган силжишга таъсири	7
Стацонар булмаган силжишта тавсири	/
деформацияланганлик холатини ва хусусий тебранишини материалларни ноэластиклик хусусиятини	
эътиборга олган холда тадқиқ қилиш	10
Р.И.Каримов, Н.Н.Бегимов, Ш.А.Садуллаев. Эркинлик даражаси бирга тенг бўлган	10
планетар-ричагли механизмни кинетостатик моделлаштириш	16
3 . Р . Т е ш а б о е в . Ўзбекистонда марказдан қочма усулда моделлаштиришни ривожланиши	
Ф. Х. Назаров. Сикилмайдиган ёпишкок суюкликнинг эгри деворли кувурлардаги харакати	
Х.С.Сагдиев, А.С.Ювмитов, З.Р.Тешабоев, В.А.Галиаскаров, Х.О.Шерниёзов,	
Б. Н. Мирзақобилов. Умумтаълим мактаб биноларини сейсмик кучлар таъсирига хисоблаш ва	
уларни хавфсиз эксплуатация қилиш бўйича тавсиялар	29
М. Х. Миралимов., Р. А. Абиров. Шикастланишларга эга бўлган конструкцияларнинг	
мустахкамлигини хисоблаш усули	34
Х.А.Байбулатов, М.Ж.Бердибаев. Темирбетон конструкцияларининг юк кўтариш кобилиятига	•
коррозиянинг таъсири	39
А. А. Ризаев, А. Т. Йулдашев, Р. Р. Худайкулиев, Ж. Султанов. Пахта териш машинасида	15
пахтани хаво кувурида ташиш тизимини тахлил килиш ва бахолаш	43
эгилишининг трактор ғилдираги формуласига таьсири	17
Этилишинин трактор ғилдираги формуласита тавсири	4/
асосини турли материаллардан фойдаланган холда кучланганлик-деформацияланиш холатини сонли тахлили	50
А.Д.Каюмов, Д.А.Каюмов. Харакатланувчи юк таъсирида шўрланган тупрокларнинг таркибий	50
элементлари орасидаги боғланиш күчини бузилиш механизми	54
А.Г.Естифеева, И.Р.Мифтахова, К.Д.Салямова, Х.Х.Турдикулов. Натуравий кузатиш	
маълумотларини хисобга олган холда Чорвок ГЕС грунтли тугонининг хавфсиз эксплуатациясини таъминлаш	60
А.И.Адилходжаев, Т.Ж.Амиров, У.Г.Юсупалиев, М.Б.Тўхтаев. Цемент билан	
мустахкамланган чақиқтош-шағал - қум қоришмасининг сиқилишдаги мустахкамлиги орқали	
эгилишдаги чўзилишга мустахкамлигини прогнозлаш	64
Г. А. Бахадиров, Г. Н. Цой, А. М. Набиев. Сувга тўйинган материаллардан сикиб чикарилган	
суюқлик микдорига таъсир этувчи омилларни экспериментал аниклаш	67
Ц. М. Мухаммадиев, Б. Х. Примов, Х. А. Ахмедов, Л. Ю. Жамолова. Хомашё валигининг	
аррали жин олд брус юзасидаги ҳаракатини тадқиқи	71
Р. Ш. Сулаймонов, М. Х. Ахмедов, М. А. Гаппарова. Такомиллаштирилган колосникли	
панжарани чигитни линтерлаш жараёнига ва ишлаб чиқарилаётган маҳсулот сифатига	77
таъсирининг тадкикотлари А. Мамахонов, К.Юлдашев. Пахта линтини ташувчи ва тозаловчи винтли конвейернинг самарали	//
конструкциясини ишлаб чикиш ва параметрларини асослаш	80
Н. М. Мусаев, М. М. Мукимов, М. А. Мансурова. Ясси игнадонли фанг трикотаж машинасининг	00
тортиш механизми конструкциясинини ишлаб чикиш ва асослаш	83
Б. Мардонов, Х.С.Усманов, Ф.Н.Сирожиддинов, Г.А.Юлдошева. Қозиқчали барабанда	0.5
харакатланаётган пахта окимидаги ифлослик заррачаларини ажратиш жараенининг назарий тадкикоти	87
Илмий ахборотлар	
Р. И. Каримов, Т. Д. Хожибеков. Экцентрик кулачокли механизмлар звеноларининг	
зўрикишларини тадкик килиш	92
А.А.Ризаев, С.Усаров, А.Т.Йулдашев, Н.Джураева, А.Хунаров. Терим аппарати	0.0
ишчи камераси кинематикасига шпиндел айланма ҳаракати йўналишининг таъсири	96
В. М. Турдалиев, Г.У. Махкамов. Пиёз уругини экиш аппаратидан тушгандан кейинги	00
харакатини назарий тадқиқи	99
5. С. Мирзаев, Б. К. Тулаганов. Уруғли аралашма оулакларининг қайтаргич ойлан ўзаро таъсирлашиш жараёнини тадқик этиш	104
узаро таьсирлашиш жараенини тадкик этиш	100
универсал - чопиқ трактори бурилиш жараёнининг динамик хисоби	109
универсал - чолик трактори бурилиш жарасиний динамик хиссои	10.
(сопло) диаметрини аниклаш	113
А. Ш. Фазилов, М. Р. Мусаева, Ф. С. Исламова. Информацион тизимларда маълумотларни	
қайта ишлашни оптималлаштириш учун математик модели ва дастурий комплексини ишлаб чикиш	110
Н . А . Н и ш о н о в . Зилзилада кувурлар холатининг грунт шароитига боғликлигини ўрганиш ва	
тахлил қилиш: хулосалар ва таклифлар	122

Ч. С. Раупов, У. Б. Бекмуродов. Тез ва юкори тезюрар магистралларда турли хил	126
куприк тизимларидан оқилона фоидаланиш	120
У. З. Шермухамедов, Х. А. Байбулатов, О. Т. Исмаилов, У. Ю. Хамдамов. Сирдарё вилоятидаги халқаро ахамиятта молик автомобиль йўлларидаги кўприкларда табиий ва	
техноген халокатлар окибатларининг диагностикаси	131
М . М . С о б и р о в а . Кум грунтлардан барпо этилган темир йўл ер тўшамасининг кучланганлик –	
деформацияланганлик холатини сонли усуллар билан тадкик этиш	135
М. Н. Мусаев, Г. Х. Гуляева, М. М. Мукимов. Йигирилган ипак ва пахта ипларини	
нақшли трикотажнинг хом ашё сарфига таъсирини тахлили	139
М. Т. Ходжиев, Б. М. Мардонов, Д. Д. Эшмуродов. Сепаратор тўрли юзасида харакатланётган	
пахта хом ашёси холатини назарий ўрганиш	
А. Х. С и д и к о в , О . Ш . С а р и м с а к о в . Цилиндрик тоштутгичда зарба кучини камайтириш	147
А. Абдукаримов, И.Х. Сайдокулов, А.А. Абдуллажонов. Валикли машиналар узатиш	
механизмларининг экспериментал тахлили.	150
А. А. Ю с у п о в, Д. М. Б е р д и е в. Пўлат махсулотларини ейилишга бардошлилигини циклик	
термик ишлов бериш усулида ошириш.	154
Хроника	
Д.А. Бекмирзаев, Н.А. Нишонов. Сирдарё вилоятидаги «Сардоба» сув омборида	
рўй берган техноген офат окибатлари хакида	159
Т.Р.Рашидов, И.И.Сафаров, М.Х.Тешаев. ЎзР Бухоро вилояти мисолида табиий офат ва	
талофатлардан огохлантириш хакида	
Техника фанлари доктори, профессор Кубаймурат Исмайилов – 70 ёшда	
Техника фанлари доктори, профессор Анвар Ишанович Адылходжаев – 70 ёшда	
Ўзбекистоннинг механик олимлари.	166

СОДЕРЖАНИЕ

Т. Рашидов, Б. Мардонов, Н.Б. Джураева. О продольном колебании рабочих органов	
почвообрабатывающей машины при взаимодействии с почвенной средой (грунтом)	. 3
А. А. Абдурахимов. Влияние продольного перемешивания на нестационарный сдвиг	_
степени превращения реагента в реакторе.	7
А. Абдусаттаров, Ф.Э. Абдукадиров, Н.Х. Сабиров. Исследование НДС и собственных	1.0
колебаний оболочечных конструкций с учетом неупругих свойств материалов	10
Р.И.Каримов, Н.Н. Бегимов, Ш.А. Садуллаев. Моделирование кинетостатики планетарно-рычажного механизма с одной степенью подвижности	16
планстарно-рычажного механизма с однои степенью подвижности 3 . Р . Т е ш а б а е в . Развития метода центробежного моделирования в Узбекистане	
Ф . X . H a з a p о в . Поведение несжимаемой вязкой жидкости в изогнутых трубках	
X.С.Сагдиев, А.С.Ювмитов, З.Р.Тешабоев, В.А.Галиаскаров, Х.О.Шерниёзов,	23
Б. Н. Мирзакабилов. Расчет зданий общеобразовательных школ на сейсмические воздействия и	
рекомендации по обеспечению их безопасной эксплуатации	29
М.Х.Миралимов, Р.А. Абиров. К расчету железобетонных конструкций с наличием повреждений	
Х.А.Байбулатов, М.Ж. Бердибаев. Влияние коррозии на несущую способность	
железобетонных мостовых конструкций	39
А.А.Ризаев, А.Т. Йулдашев, Р.Р. Худайкулиев, Ж. Султанов. Анализи оценка	
пневмотранспортной системы хлопкоуборочной машины	45
А.А.Ахметов, Ш.А. Ахмедов, Д.У. Камбарова. Влияние колесной формулы трактора	
на увод и прогиб шины переднего колеса	47
А.А.Шермухамедов, А.А. Тогаев, Н.Т. Эргашев. Численный анализ напряженно-	
деформационного состояния основания кузова прицепа универсального шасси	
с использованием различных материалов	50
А. Д. Каюмов, Д. А. Каюмов. Механизм нарушения прочности связей между структурными элементами	<i>-</i> 4
засоленных грунтов под воздействием подвижной нагрузки	54
А. Г. Е стифеева, и. Р. Мифтахова, к. д. Салямова, х. х. Гурдикулов. Ооеспечение безопасной эксплуатации грунтовой плотины Чарвакской ГЭС с учетом данных натурных наблюдений	60
оезопасной эксплуатации грунтовой плотины чарвакской г ЭС с учетом данных нагурных наолюденииА.И.Адилходжаев, Т.Ж.Амиров, У.Г.Юсупалиев, М.Б.Тўхтаев. Прогнозирование	00
прочности на растяжение при изгибе щебеночно-гравийно-песчаной смеси обработанной цементом	64
Г. А. Бахадиров, Г. Н. Цой, А. М. Набиев. Экспериментальное определение влияния факторов	, 04
на количество удаленной влаги из влагонасыщенных материалов.	67
Д. М. Мухаммадиев, Б. Х. Примов, Х. А. Ахмедов, Л. Ю. Жамолова. Исследование	. 07
вижения сырцового валика по поверхности лобового бруса пильного джина	71
Р. Ш. Сулай монов, М. Х. Ах медов, М. А. Гаппарова. Исследование влияния модернизированной	
колосниковой решетки на процесс линтерования семян и качество выпускаемой продукции	77
А. Мамахонов, К.Юлдашев. Разработка эффективной конструкции и обоснование параметров	
винтового конвейера для транспортировки и очистки хлопкового линта	80
Н. М. Мусаев, М. М. Мукимов, М. А. Мансурова. Разработка эффективной конструкции и	
обоснование параметров механизма оттяжки плосковязальной трикотажной машины	83
Б. Мардонов, Х.С.Усманов, Ф.Н.Сирожиддинов, Г.А.Юлдошева. Теоретическое	0.7
исследование процесса отделения сорных примесей из потока хлопка, движущегося на колковом барабане	8 /
Научные сообщения	
Р. И. Каримов, Т. Д. Хожибеков. Исследование нагруженности звеньев эксцентрикового	
кулачкового механизма	92
А.А.Ризаев, С.Усаров, А.Т.Йулдашев, Н.Джураева, А.Хунаров. Влияние направления	
вращения шпинделя на кинематику рабочей камеры аппарата	
В. М. Турдалиев, Г.У. Махкамов. Теоретическое исследование движения семян лука	
после выброса из высевающего аппарата	99
Б.С.Мирзаев, Б.К.Тулаганов. Исследование процесса взаимодействия фракций семенной смеси	
с отражателем	106
Б.Ж.Астанов, А.А.Тогаев, Ю.А.Шермухамедов. Динамический расчет процесса поворота	
четырехколесного энергонасыщенного универсально-пропашного трактора ТТЗ-1033	109
А. А. Ахметов, А. И. Юлдашев, Д. У. Камбарова. Определение диаметра выходного отверстия	
(сопла) распыливающего наконечника универсального опрыскивателя	113
А. Ш. Фазилов, М. Р. Мусаева, Ф. С. Исламова. Разработка математической модели и	
программного комплекса для оптимизации обработки информации в информационных системах	116
Н . А . Н и ш о н о в . Изучение и анализ состояния трубопроводов при землетрясениях в зависимости	122
от грунтовых условий: выводы и предложения	122
Ч. С. Раупов, У. Б. Бекмуродов. Область рационального применения различных систем мостов на скоростных и высокоскоростных магистралях	126
на скоростных и высокоскоростных магистраляхУ.З.Шермухамедов, Х.А.Байбулатов, О.Т.Исмаилов, У.Ю.Хамдамов.Диагностика	
последствий естественных и техногенных аварий мостов на автомобильных дорогах международного	
значения в Сырдарьинской области	121
Copparposition Constitution Constitut	131

М. М. Собирова. Расчет напряженно-деформированного состояния железнодорожного песочно-грунтового	
земляного полотна численным методом	135
М. Н. Мусаев, Г. Х. Гуляева, М. М. Мукимов. Анализ влияния шелковой и хлопчатобумажной	
пряжи на материалоёмкость рисунчатого трикотажа	139
М.Т.Ходжиев, Б.М.Мардонов, Д.Д.Эшмуродов. Теоретическое изучение положения	
хлопка-сырца перемещающегося по сетчатой поверхности сепаратора	
А. Х. С и д и к о в, О. Ш. Сар и м сак о в. Снижение силы удара на цилиндрической уловитель	147
А. Абдукаримов, И.Х. Сайдокулов, А.А. Абдуллажонов. Экспериментальный анализ	
передаточных механизмов валковых машин	150
А. А. Ю с у п о в , Д. М. Бердиев. Повышение износостойкости стальных изделий	
методом термоциклической обработки	154
Хроника	
Д.А. Бекмирзаев, Н.А. Нишонов. О последствиях техногенной катастрофы	
на Сырдарьинском водохранилище «Сардоба»	159
Т.Р.Рашидов, И.И.Сафаров, М.Х.Тешаев. Остихийном бедствии и предупреждении катастроф	
на примере Бухарской области Республики Узбекистан	161
Доктору технических наук, профессору Кубаймурату Исмайилову – 70 лет	164
Доктору технических наук, профессору Анвару Ишановичу Адылходжаеву – 70 лет	165
Ученые-механики Узбекистана	166